

2. 浸水防護施設に関する補足資料

2.1 防波壁に関する補足説明

2.1.5 防波壁（波返重力擁壁）の耐震性についての計算書に関する補足説明

目 次

1. 概要	1
2. 基本方針	2
2.1 位置	2
2.2 構造概要	3
2.3 評価方針	7
2.4 適用規格・基準等	15
3. 耐震評価	18
3.1 評価対象断面	18
3.2 評価対象部位	38
3.2.1 施設・地盤の健全性評価	38
3.2.2 施設の変形性評価	38
3.2.3 基礎地盤の支持性評価	38
3.3 荷重及び荷重の組合せ	38
3.3.1 耐震評価上考慮する状態	38
3.3.2 荷重	39
3.3.3 荷重の組合せ	39
3.4 許容限界	40
3.4.1 重力擁壁	40
3.4.2 ケーソン	41
3.4.3 H形鋼	44
3.4.4 MMR	44
3.4.5 改良地盤⑥	44
3.4.6 止水目地	45
3.4.7 基礎地盤	45
4. 2次元有限要素法	46
4.1 解析方法	46
4.1.1 地震応答解析手法	47
4.1.2 施設	48
4.1.3 地盤物性のばらつき	48

4.1.4	減衰定数	49
4.1.5	解析ケース	55
4.1.6	入力地震動	56
4.1.7	解析モデル及び諸元	117
4.1.8	評価方法	145
4.2	耐震応答解析結果	153
4.2.1	解析ケースと照査値	155
4.2.2	重力擁壁の曲げ照査	180
4.2.3	重力擁壁のせん断照査	183
4.2.4	過剰間隙水圧分布	185
4.2.5	最大せん断ひずみ分布	191
4.2.6	重力擁壁	202
4.2.7	H形鋼	214
4.2.8	MMR	215
4.2.9	改良地盤⑥	220
4.2.10	止水目地	222
4.2.11	基礎地盤	228
5.	3次元構造解析	241
5.1	解析方法	241
5.1.1	3次元構造解析手法	241
5.1.2	照査時刻の設定	243
5.1.3	入力値の設定	244
5.1.4	解析モデル及び諸元	251
5.1.5	評価方法	271
5.2	3次元構造解析結果	273
5.2.1	解析ケースと照査値	273
5.2.2	3次元構造解析の照査時刻の選定	393
5.2.3	作用荷重分布図	400
5.2.4	評価対象部材と照査値	406
5.2.5	断面力分布 (曲げ・軸力系の破壊に対する照査：②-②断面及び④-④断面)	423
5.2.6	断面力分布 (せん断破壊(面外)に対する照査：②-②断面及び④-④断面)	427
5.2.7	断面力分布 (せん断破壊(面内)に対する照査：②-②断面及び④-④断面)	428

5.2.8	断面力分布 (圧縮破壊に対する照査：③－③断面)	429
5.2.9	断面力分布 (引張破壊に対する照査：③－③断面)	430
5.2.10	断面力分布 (せん断破壊（面外）に対する照査：③－③断面)	431
5.2.11	断面力分布 (せん断破壊（面内）に対する照査：③－③断面)	432
5.3	前壁，後壁，側壁，隔壁，底版及びフーチング (②－②断面及び④－④断面)	433
5.3.1	曲げ照査	433
5.3.2	せん断力照査（面外）	473
5.3.3	せん断力照査（面内）	493
5.4	隔壁，頂版，側壁及び底版（③－③断面）	513
5.4.1	圧縮に対する照査	513
5.4.2	引張に対する照査	519
5.4.3	せん断力照査（面外）	525
5.4.4	せん断力照査（面内）	538
5.4.5	3次元非線形構造解析によるせん断破壊に対する照査	545
6.	防波壁（波返重力擁壁）の耐震性に関する影響検討	546
6.1	改良地盤⑥の解析用物性値に関する影響検討	546
6.1.1	概要	546
6.1.2	評価内容	551
6.1.3	評価結果	552

(参考資料 1) 防波壁（波返重力擁壁）における既設部分と新設部分の一体性確認

(参考資料 2) 改良地盤⑥の物性値の設定方法について

(参考資料 3) ケーソン中詰材改良体の解析用物性値について

(参考資料 4) 3次元構造解析の照査時刻の選定の妥当性について

(参考資料 5) 発生応力度の平均化について

(参考資料 6) ケーソン及び重力擁壁の一体性について

(参考資料 7) 放水路ケーソンの耐震評価について

(参考資料 8) ⑤－⑤断面の重力擁壁下端の境界条件

1. 概要

本資料は、VI-2-1-9「機能維持の基本方針」に設定している構造強度及び機能維持の設計方針に基づき、防波壁（波返重力擁壁）が基準地震動 S_s に対して十分な構造強度及び止水機能を有していることを確認するものである。

防波壁（波返重力擁壁）に要求される機能の維持を確認するにあたっては、構造部材の健全性評価では、地震応答解析又は3次元構造解析に基づく施設・地盤の健全性評価及び施設の変形性評価を行う。基礎地盤の支持性能評価では、基礎地盤に発生した接地圧を確認する。

漂流物対策工については、「2.1.8 漂流物対策工に関する補足説明」で説明する。

2. 基本方針

2.1 位置

防波壁（波返重力擁壁）の位置図を図 2.1-1 に示す。

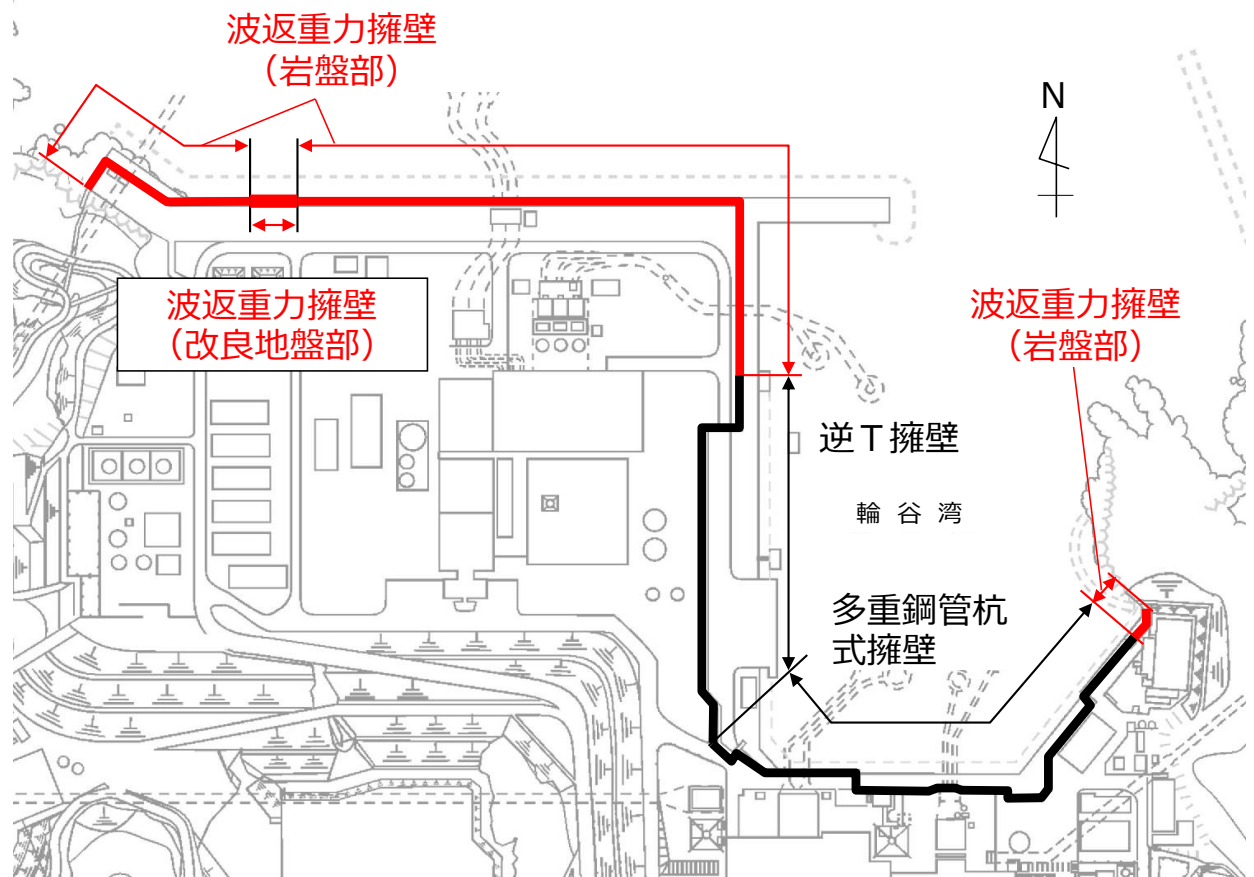


図 2.1-1 防波壁（波返重力擁壁）の位置図

2.2 構造概要

防波壁（波返重力擁壁）の構造概要図及び構造図を図 2.2-1 及び図 2.2-2 に、止水目地の概念図及び配置位置図を図 2.2-3 に示す。

防波壁（波返重力擁壁）は、入力津波高さ（EL 11.9m）に対して余裕を考慮した天端高さ（EL 15.0m）とする。

防波壁（波返重力擁壁）は、岩盤、若しくはマンメイドロック（以下「MMR」という。）を介して岩盤若しくは改良地盤に支持されており、図 2.1-1 に示すとおり波返重力擁壁（岩盤部）と波返重力擁壁（改良地盤部）に分類される。この内、波返重力擁壁（岩盤部）は、ケーソン設置部と岩盤直接支持部に分類される。

ケーソン設置部は鉄筋コンクリート造のケーソン及び鉄筋コンクリート造の重力擁壁がMMRを介して岩盤に直接支持される構造であり、岩盤直接支持部は重力擁壁が岩盤に直接支持される構造である。波返重力擁壁（改良地盤部）は、ケーソン及び重力擁壁がMMR及び改良地盤を介して岩盤に支持される構造である。

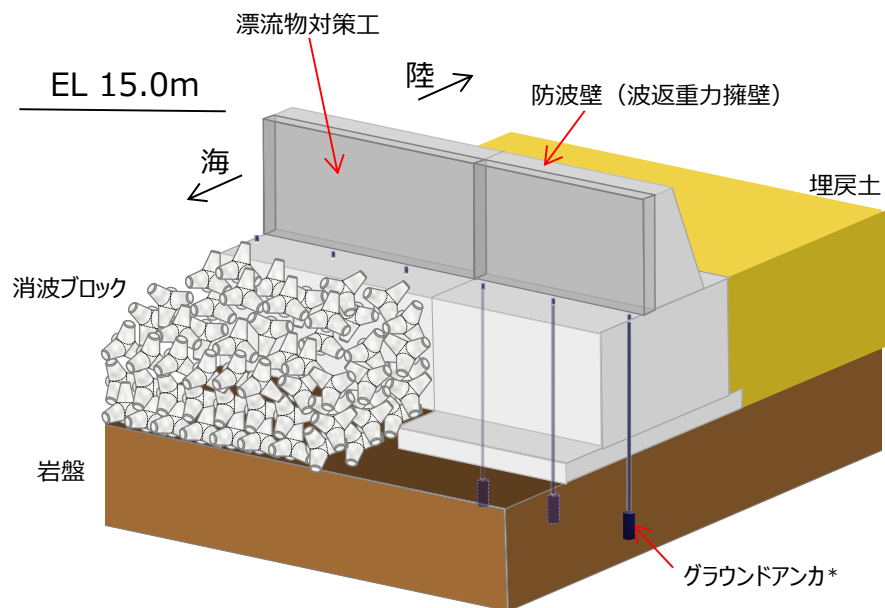
ケーソンは箱型形状であり、箱型内部には格子状に複数隔壁を配置しており、隔壁により囲まれた箇所に、中詰コンクリート又は中詰材（銅水砕スラグ及び砂）を充填しており、すべての中詰材（銅水砕スラグ及び砂）を高圧噴射攪拌工法により改良する。

重力擁壁及び前壁の背面に中詰コンクリートが充填されていないケーソンの海側には、鉄筋コンクリート版により構成された漂流物対策工を設置し、重力擁壁の陸側の境界部には、試験等により止水性を確認した止水目地を設置する。

なお、構造概要図にグラウンドアンカを示しているが、その効果を期待せずに耐震評価を行う。

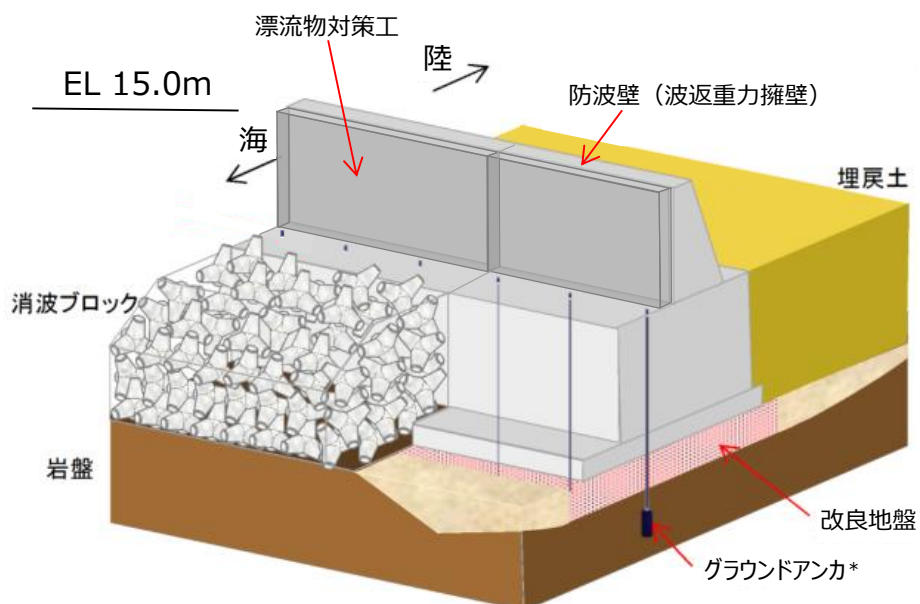
防波壁に設置する漂流物対策工については、「2.1.8 漂流物対策工に関する補足説明」で説明する。

波返重力擁壁（岩盤部）



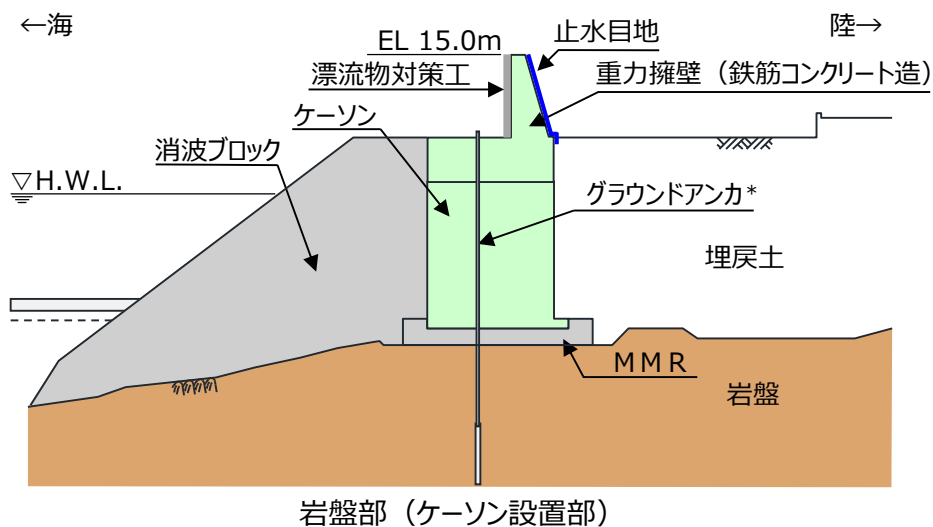
注記*：防波壁（波返重力擁壁）は、グラウンドアンカの効果を期待しない設計とする。

波返重力擁壁（改良地盤部）

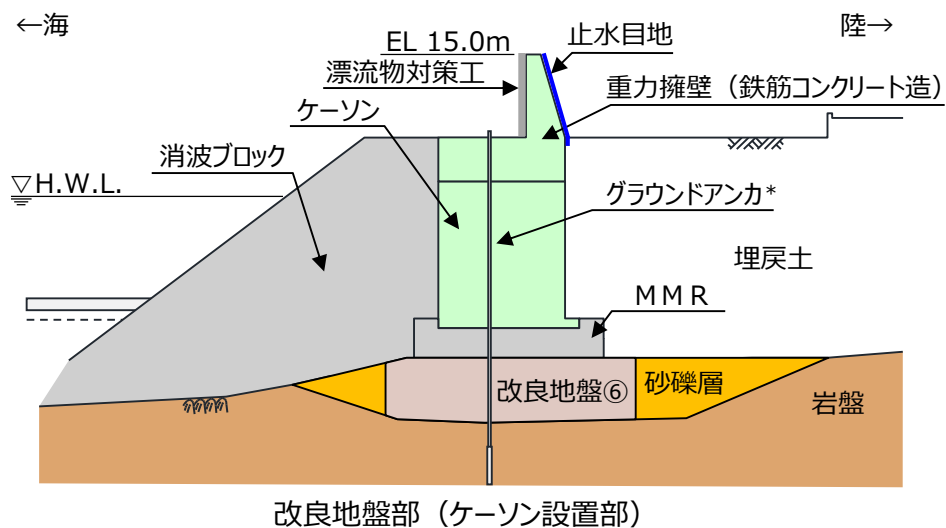
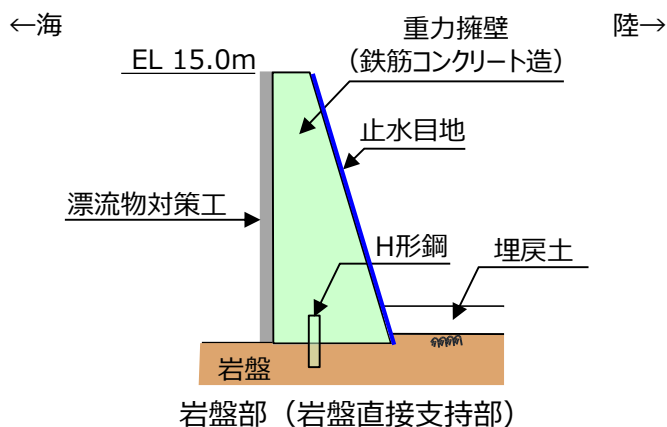


注記*：防波壁（波返重力擁壁）は、グラウンドアンカの効果を期待しない設計とする。

図 2.2-1 防波壁（波返重力擁壁）の構造概要図（鳥瞰図）



注記* : 防波壁 (波返重力擁壁) は, グラウンドアンカの効果を期待しない設計とする。



注記* : 防波壁 (波返重力擁壁) は, グラウンドアンカの効果を期待しない設計とする。

図 2.2-2 防波壁 (波返重力擁壁) の構造概要図 (断面図)

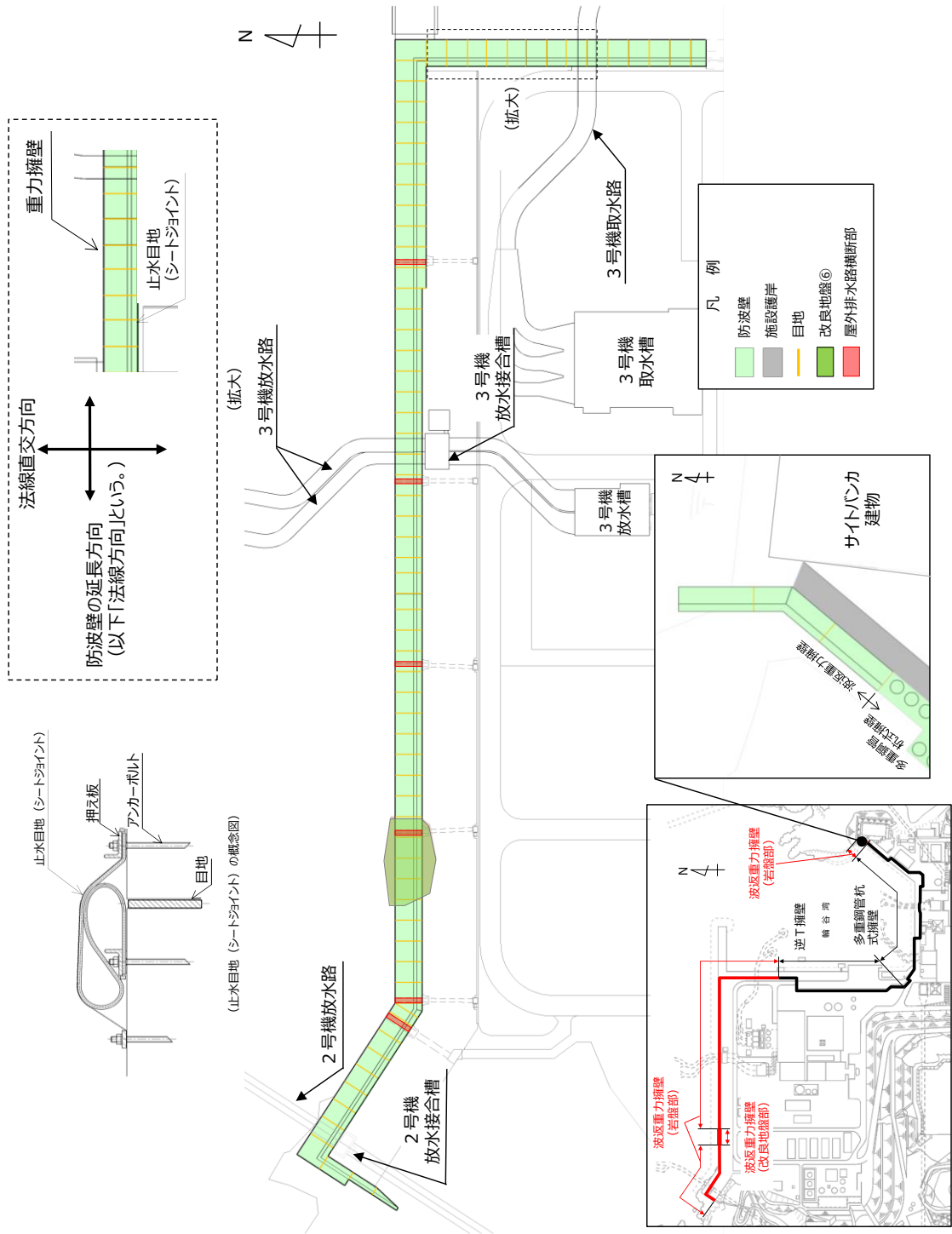


図 2.2-3 防波壁（波返重力擁壁）の止水目地の概念図及び配置位置図

2.3 評価方針

防波壁（波返重力擁壁）は，Sクラス施設である津波防護施設に分類される。

防波壁（波返重力擁壁）の各部位の役割及び性能目標を表 2.3-1 及び表 2.3-2 に示す。

防波壁（波返重力擁壁）の耐震評価は，地震応答解析及び3次元構造解析の結果に基づき，設計基準対象施設として，表 2.3-3 に示すとおり，施設・地盤の健全性評価，基礎地盤の支持性能評価及び施設の変形性評価を行う。

施設・地盤の健全性評価，基礎地盤の支持性能評価及び施設の変形性評価を実施することで，構造強度を有すること及び止水性を損なわないことを確認する。

施設・地盤の健全性評価については，施設・地盤ごとに定める照査項目（発生応力度，発生ひずみ及びすべり安全率）が許容限界を満足することを確認する。

基礎地盤の支持性能評価においては，基礎地盤の接地圧が許容限界以下であることを確認する。

施設の変形性評価については，止水目地の変位量を算定し，有意な漏えいが生じないことを確認した許容限界以下であることを確認する。

防波壁（波返重力擁壁）の耐震評価フローを図 2.3-1 に示す。

表 2.3-1(1) 防波壁(波返重力擁壁)の各部位の役割

部位の名称		地震時の役割	津波時の役割	
施設	重力擁壁	・ 止水目地及び漂流物対策工を支持する。	・ 止水目地及び漂流物対策工を支持するとともに、遮水性を保持する。	
	止水目地	・ 重力擁壁間の変位に追従する。	・ 重力擁壁間の変位に追従し、遮水性を保持する。	
	ケーソン	・ 重力擁壁及び漂流物対策工を支持する。	・ 重力擁壁及び漂流物対策工を支持するとともに、遮水性を保持する。	
	放水路 ケーソン	頂版	・ 重力擁壁を支持する。	・ 重力擁壁を支持するとともに、遮水性を保持する。
		底版		
		側壁	・ 重力擁壁を支持する。	・ 重力擁壁を支持する。
	H形鋼	・ 重力擁壁を支持する。	・ 重力擁壁を支持する。	
漂流物対策工 (鉄筋コンクリート版) *	・ 役割に期待しない(解析モデルに重量として考慮し、防波壁(波返重力擁壁)への影響を考慮する)。	・ 漂流物衝突荷重を分散して防波壁(波返重力擁壁)に伝達する。 ・ 漂流物衝突荷重による防波壁(波返重力擁壁)の局所的な損傷を防止する。		
地盤	MMR	・ ケーソン及び重力擁壁を支持する。 ・ 基礎地盤のすべり安定性に寄与する。	・ ケーソン及び重力擁壁を支持する。 ・ 難透水性を保持する。	
	改良地盤⑥	・ ケーソン及び重力擁壁を支持する。 ・ 基礎地盤のすべり安定性に寄与する。	・ ケーソン及び重力擁壁を支持する。 ・ 難透水性を保持する。	
	岩盤	・ ケーソン及び重力擁壁を支持する。 ・ 基礎地盤のすべり安定性に寄与する。	・ ケーソン及び重力擁壁を支持する。	

注記*：漂流物対策工は「2.1.8 漂流物対策工に関する補足説明」で説明する。

表 2.3-1(2) 防波壁(波返重力擁壁)の各部位の役割

	部位の名称	地震時の役割	津波時の役割
地盤	埋戻土, 砂礫層	・役割に期待しない(解析モデルに反映し, 防波壁(波返重力擁壁)への相互作用を考慮する)。	・防波壁(波返重力擁壁)より陸側については, 津波荷重に対して地盤反力として寄与する。
	消波ブロック	・役割に期待しない。	・役割に期待しない。

表 2.3-2(1) 防波壁(波返重力擁壁)の各部位の性能目標

部位		性能目標				
		鉛直支持	すべり安定性	耐震性	耐津波性 (透水性, 難透水性)	
施設	重力擁壁		-	-	構造部材の健全性を保持するために、重力擁壁がおおむね弾性状態にとどまること。	止水目地の支持機能を喪失して重力擁壁間から有意な漏えいを生じないために、重力擁壁がおおむね弾性状態にとどまること。
	止水目地				重力擁壁間から有意な漏えいを生じないために、止水目地の変形性能を保持すること。	重力擁壁間から有意な漏えいを生じないために、止水目地の変形・遮水性能を保持すること。
	ケーソン				構造部材の健全性を保持するために、ケーソンがおおむね弾性状態にとどまること。	構造部材の健全性を保持し、有意な漏えいを生じないために、ケーソンがおおむね弾性状態にとどまること。
	放水路ケーソン	頂版 底版 側壁			構造部材の健全性を保持するために、ケーソンがおおむね弾性状態にとどまること。	構造部材の健全性を保持し、有意な漏えいを生じないために、ケーソンがおおむね弾性状態にとどまること。
		隔壁			構造強度を有すること。	構造強度を有すること。
	H形鋼				構造部材の健全性を保持するために、H形鋼がおおむね弾性状態にとどまること。	構造部材の健全性を保持するために、H形鋼がおおむね弾性状態にとどまること。

表 2.3-2(2) 防波壁(波返重力擁壁)の各部位の性能目標

部位		性能目標			
		鉛直支持	すべり 安定性	耐震性	耐津波性 (透水性, 難透水性)
施設	漂流物対策工* (鉄筋コンクリート版)	—	—	防波壁(波返重力擁壁)から分離しないために, 漂流物対策工がおおむね弾性状態にとどまること。	漂流物衝突荷重を分散して, 防波壁(波返重力擁壁)に伝達するために, 鉄筋コンクリート版がおおむね弾性状態にとどまること。
地盤	MMR	ケーソン及び重力擁壁を鉛直支持するため, 十分な支持力を保持すること。	基礎地盤のすべり安定性を確保するため, 十分なすべり安全性を保持すること。	—	地盤中からの回り込みによる流入を防止(難透水性を保持)するため, MMR及び改良地盤⑥が破壊しないこと。(内的安定を保持)
	改良地盤⑥				
	岩盤				—

注記* : 漂流物対策工は「2.1.8 漂流物対策工に関する補足説明」で説明する。

表 2.3-3(1) 防波壁(波返重力擁壁)の評価項目

評価方針	評価項目	部位	評価方法	許容限界	
構造強度を有すること	施設・地盤の健全性	重力擁壁	発生する応力(曲げ応力及びせん断応力)が許容限界以下であることを確認	短期許容応力度	
		ケーソン	発生する応力(曲げ応力及びせん断応力)が許容限界以下であることを確認	短期許容応力度	
		放水路ケーソン	頂版 底版 側壁	発生する応力(曲げ応力及びせん断応力)が許容限界以下であることを確認	短期許容応力度 材料強度
			隔壁	発生する応力(曲げ応力及びせん断応力)又はひずみが許容限界以下であることを確認	短期許容応力度 材料強度 許容ひずみ
		H形鋼	発生する応力度(せん断力)が許容限界以下であることを確認	短期許容応力度	
		MMR	すべり破壊しないこと(内的安定を保持)を確認	すべり安全率 1.2以上	
		改良地盤⑥	すべり破壊しないこと(内的安定を保持)を確認	すべり安全率 1.2以上	
		漂流物対策工*1 (鉄筋コンクリート版)	発生する応力(押抜きせん断力、アンカーボルトの引張力及びせん断力)が許容限界以下であることを確認	短期許容応力度	
	基礎地盤の支持性能	基礎地盤	発生する応力(接地圧)が許容限界以下であることを確認	極限支持力度*2 支圧強度	

注記*1: 漂流物対策工は「2.1.8 漂流物対策工に関する補足説明」で説明する。

*2: 妥当な安全余裕を考慮する。

表 2.3-3(2) 防波壁(波返重力擁壁)の評価項目

評価方針	評価項目	部位	評価方法	許容限界	
止水性を損なわないこと	施設・地盤の健全性	重力擁壁	発生する応力(曲げ応力及びせん断応力)が許容限界以下であることを確認	短期許容応力度	
		ケーソン	発生する応力(曲げ応力及びせん断応力)が許容限界以下であることを確認	短期許容応力度	
		放水路ケーソン	頂版 底版 側壁	発生する応力(曲げ応力及びせん断応力)が許容限界以下であることを確認	短期許容応力度 材料強度
		H形鋼	発生する応力(せん断力)が許容限界以下であることを確認	短期許容応力度	
		MMR	すべり破壊しないこと(内的安定を保持)を確認	すべり安全率 1.2以上	
		改良地盤⑥	すべり破壊しないこと(内的安定を保持)を確認	すべり安全率 1.2以上	
	基礎地盤の支持性能	基礎地盤	発生する応力(接地圧)が許容限界以下であることを確認	極限支持力度* 支圧強度	
	施設の变形性	止水目地	発生変位量が許容限界以下であることを確認	有意な漏えいが生じないことを確認した変位量	

注記* : 妥当な安全余裕を考慮する。

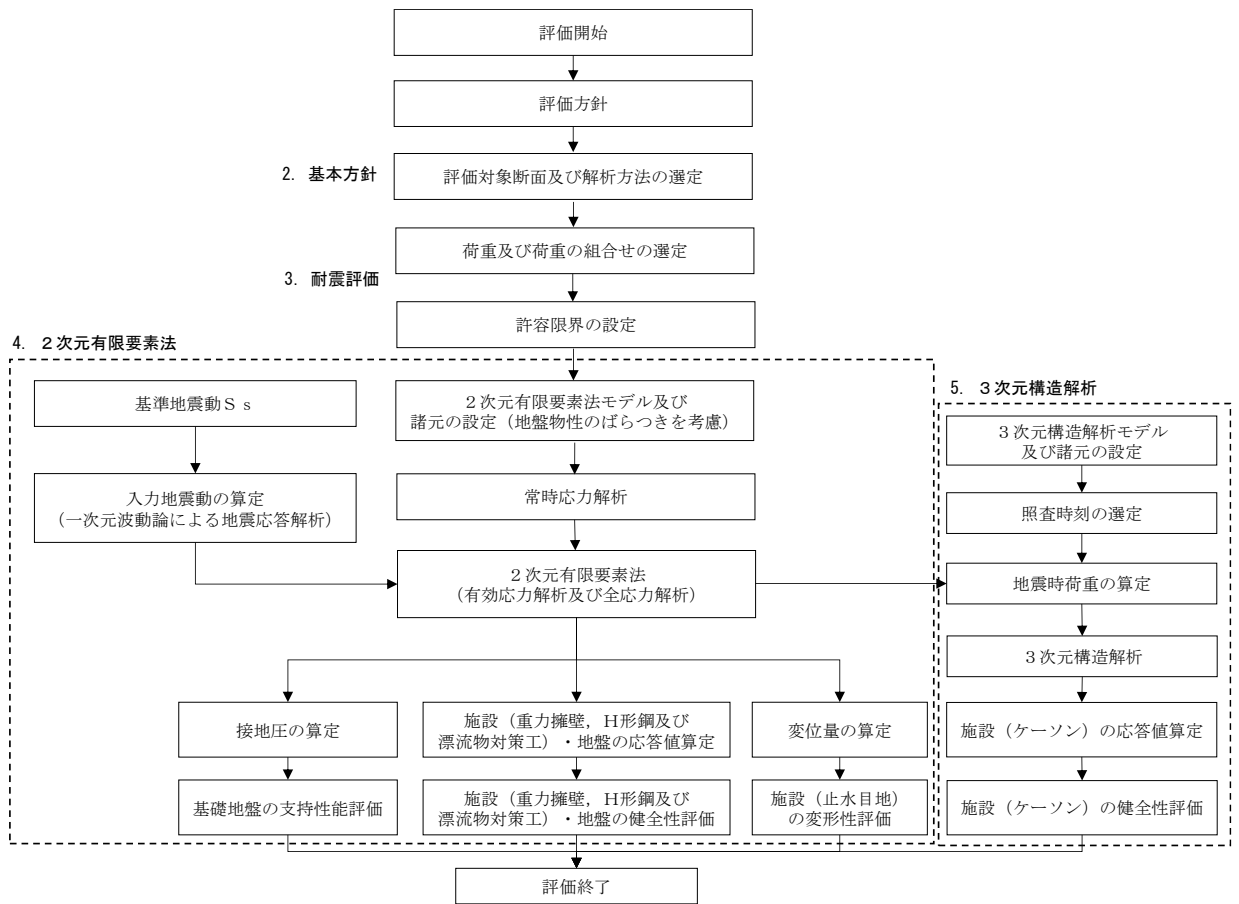


図 2.3-1 防波壁(波返重力擁壁)の耐震評価フロー

2.4 適用規格・基準等

適用する規格・基準等を以下に示す。また、項目ごとに適用する規格・基準等を表 2.4-1 に示す。

- ・コンクリート標準示方書[構造性能照査編]（（社）土木学会，2002 年制定）
- ・耐津波設計に係る工認審査ガイド（平成 25 年 6 月 19 日原管地発第 1306196 号）
- ・道路橋示方書（I 共通編・IV 下部構造編）・同解説（（社）日本道路協会，平成 14 年 3 月）
- ・原子力発電所耐震設計技術指針 J E A G 4 6 0 1 -1987（（社）日本電気協会）
- ・港湾の施設の技術上の基準・同解説（国土交通省港湾局，2007 年版）
- ・港湾構造物設計事例集（沿岸技術研究センター，平成 19 年 3 月）
- ・コンクリート標準示方書[設計編]（（社）土木学会，2012 年制定）
- ・コンクリート標準示方書[設計編]（（社）土木学会，2017 年制定）
- ・建築基準法・同施行令

表 2.4-1(1) 適用する規格・基準類

項目	適用する規格, 基準類	備考	
使用材料及び材料定数	コンクリート標準示方書[構造性能照査編]((社) 土木学会, 2002年制定) 道路橋示方書 (I 共通編・IV 下部構造編)・同解説 ((社) 日本道路協会, 平成 14年 3月)	—	
荷重及び荷重の組合せ	コンクリート標準示方書[構造性能照査編]((社) 土木学会, 2002年制定) 建築基準法・同施行令	永久荷重+偶発荷重+従たる変動荷重の適切な組合せを検討	
許容限界	重力擁壁	コンクリート標準示方書[構造性能照査編]((社) 土木学会, 2002年制定)	曲げ照査及びせん断照査は, 発生応力度が, 短期許容応力度以下であることを確認
	ケーソン	コンクリート標準示方書[構造性能照査編]((社) 土木学会, 2002年制定) 原子力発電所耐震設計技術指針 J E A G 4 6 0 1 -1987((社) 日本電気協会)	曲げ照査及びせん断照査は, 発生応力度が, 短期許容応力度以下であることを確認
	放水路 ケーソン	コンクリート標準示方書[構造性能照査編]((社) 土木学会, 2002年制定) 原子力発電所耐震設計技術指針 J E A G 4 6 0 1 -1987((社) 日本電気協会) コンクリート標準示方書[設計編]((社) 土木学会, 2012年制定) コンクリート標準示方書[設計編]((社) 土木学会, 2017年制定)	曲げ照査及びせん断照査は, 発生応力度が, 短期許容応力度以下であること又は発生ひずみが許容ひずみ以下であることを確認。引張照査は, 材料強度以下であることを確認
	H形鋼	道路橋示方書 (I 共通編・IV 下部構造編)・同解説 ((社) 日本道路協会, 平成 14年 3月)	せん断照査は, 発生応力度が, 短期許容応力度以下であることを確認
	MMR	耐津波設計に係る工認審査ガイド (平成 25年 6月 19日, 原管地発第 1306196号)	すべり安全率が 1.2 以上であることを確認

表 2.4-1(2) 適用する規格・基準類

項目		適用する規格，基準類	備考
許容 限界	改良地盤 ⑥	耐津波設計に係る工認審査ガイド（平成 25 年 6 月 19 日，原管地発第 1306196 号）	すべり安全率が 1.2 以上であることを確認
	基礎地盤	道路橋示方書（I 共通編・IV 下部構造編）・同解説（（社）日本道路協会，平成 14 年 3 月） コンクリート標準示方書〔構造性能照査編〕（（社）土木学会，2002 年制定）	支持力照査は，接地圧が極限支持力度又は支圧強度以下であることを確認
地震応答解析		原子力発電所耐震設計技術指針 J E A G 4 6 0 1 -1987（（社）日本電気協会）	有限要素法による 2 次元モデルを用いた時刻歴非線形解析
		港湾の施設の技術上の基準・同解説（国土交通省港湾局，2007 年版） 港湾構造物設計事例集（沿岸技術研究センター，平成 19 年 3 月）	ジョイント要素の物性値の設定
3次元構造解析		道路橋示方書（I 共通編・IV 下部構造編）・同解説（（社）日本道路協会，平成 14 年 3 月）	地盤ばねの設定

3. 耐震評価

3.1 評価対象断面

防波壁（波返重力擁壁）の評価対象断面は、設置変更許可段階における構造成立性評価断面として選定した断面を基本としたうえで、「1.8 浸水防護施設の設計における評価対象断面の選定について」で記載したとおり、耐震評価においては、構造的特徴、周辺地盤状況、地下水位、**周辺**構造物の有無及び間接支持される機器・配管系の有無が耐震評価結果に及ぼす影響の観点から、耐震評価上厳しいと考えられる断面を評価対象断面として選定する。

評価対象断面選定結果を表 3.1-1 に、評価対象断面位置図を図 3.1-1 に、縦断面図を図 3.1-2 に、防波壁（波返重力擁壁）の各区分における横断面図を図 3.1-3～図 3.1-8 に示す。また、評価対象断面における構造図を図 3.1-9 に、概略配筋図を図 3.1-10 に示す。

防波壁（波返重力擁壁）のうちケーソンについては、位置によってケーソンの構造が異なり、また重力擁壁については、既設の重力擁壁を巻き立てるように嵩上げた区間と、新たに重力擁壁を構築した区間がある。重力擁壁及びケーソンの構造種別を図 3.1-11 に示す。

⑦-⑦断面は変位量が最大となる④-④断面に直交する縦断方向の断面である。④-④断面位置における縦断方向の止水目地の**変位**量を求めるため、変形性評価の評価対象断面に選定した。

なお、防波壁（波返重力擁壁）のケーソンは、耐震・耐津波安全性を向上させるためにすべての中詰材を改良している。（「**（参考資料3）ケーソン中詰材改良体の解析用物性値について**」参照）

評価対象断面選定の詳細については、「1.8 浸水防護施設の設計における評価対象断面の選定について」の「1.8.2 防波壁」に示す。

表 3.1-1 評価対象断面選定結果（防波壁（波返重力擁壁））

検討断面	評価対象断面整理上の観点					該当する 観点	選定理由
	(1)重力擁壁 寸法(m)	(2)支持構造及び 寸法(m)	(3)地表面から 岩盤上面まで の深さ(m)	(4)地表面高さ EL(m)	(5)改良地盤 の有無		
一般部 (①-①断面)	天端幅：1.5m 高さ：8.5m	ケーソン B：15.0 L：19.9 H：15.0	21.2	6.5	—	—	改良地盤部(②-②断面)と比較して、ケーソンの幅が広く、改良地盤が無いことに加え、岩盤上面深さも浅いことから改良地盤部(②-②断面)に代表させる。
改良地盤部 (②-②断面)	天端幅：1.5m 高さ：8.5m	ケーソン B：13.0 L：19.9 H：15.0	29.0	6.5	有	(2) (3) (5)	支持構造がケーソンとなる他断面のうち、ケーソン高さに対するケーソン幅が最も狭く、岩盤上面深さも最も深いことに加え、改良地盤⑥が配置してあることから評価対象断面に選定する。
放水路貫通部 (③-③断面)	天端幅：1.5m 高さ：8.5m		16.3	6.5	—	(2)	改良地盤部(②-②断面)と比較して、ケーソンの高さが低いが、開口部（放水路）を有するため、評価対象断面に選定する。
輪谷部 (④-④断面)	天端幅：1.5m 高さ：6.5m	ケーソン B：15.0 L：18.95 H：15.0	23.2	8.5	—	(4)	改良地盤部(②-②断面)と比較して、ケーソンの幅が広いが、地表面高さが高いことから評価対象断面に選定する。
東端部 (⑤-⑤断面)	天端幅：1.0m 高さ：7.5m	H形鋼 H350×350×12×19	0.0	8.5	—	(1) (2) (4)	重力擁壁が岩盤に直接設置され、支持構造がH形鋼であり、西端部(⑥-⑥)断面と比べて重力擁壁の天端幅及び下端幅が狭いことから、評価対象断面に選定する。
西端部 (⑥-⑥断面)	天端幅：1.5m 高さ：8.5m	H形鋼 H350×350×12×19	0.0	6.5	—	(2)	東端部(⑤-⑤)断面と比較して、天端幅及び下端幅が広いことから、東端部(⑤-⑤)断面に代表させる。

□：番号を付与する観点

□：観定の番号付与が多い

□：選定した評価対象断面

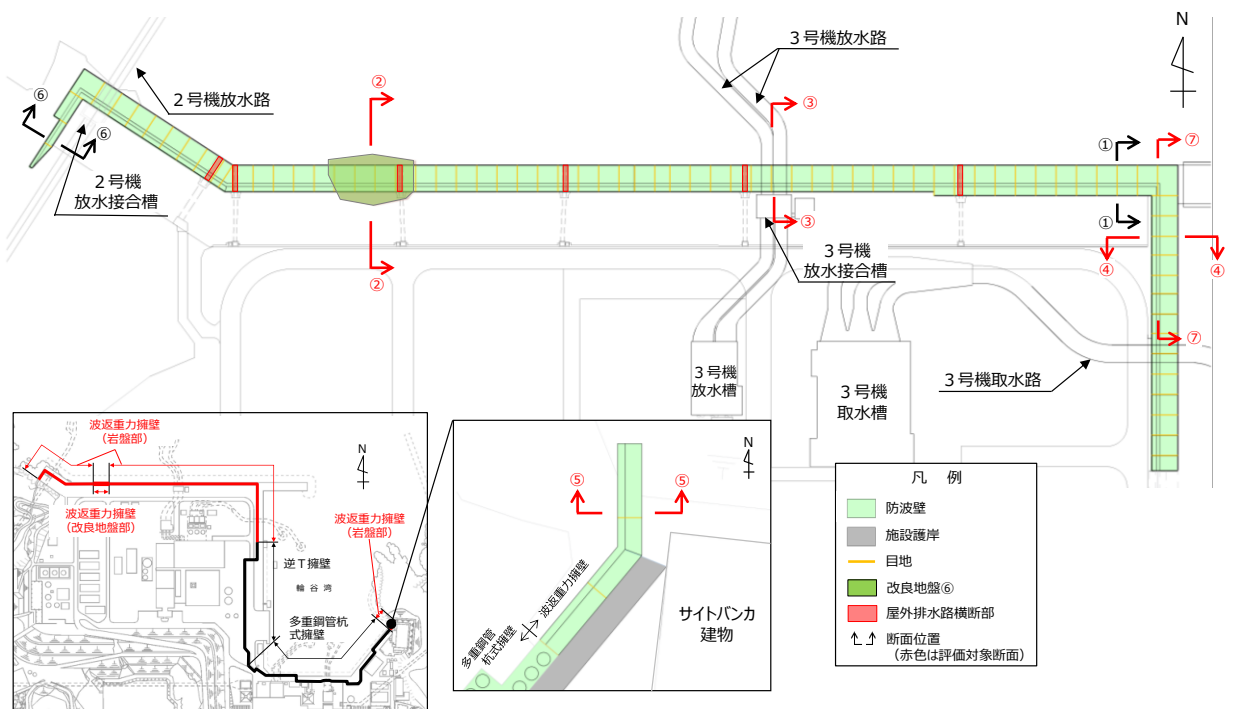


図 3.1-1 防波壁（波返重力擁壁）の評価対象断面位置図

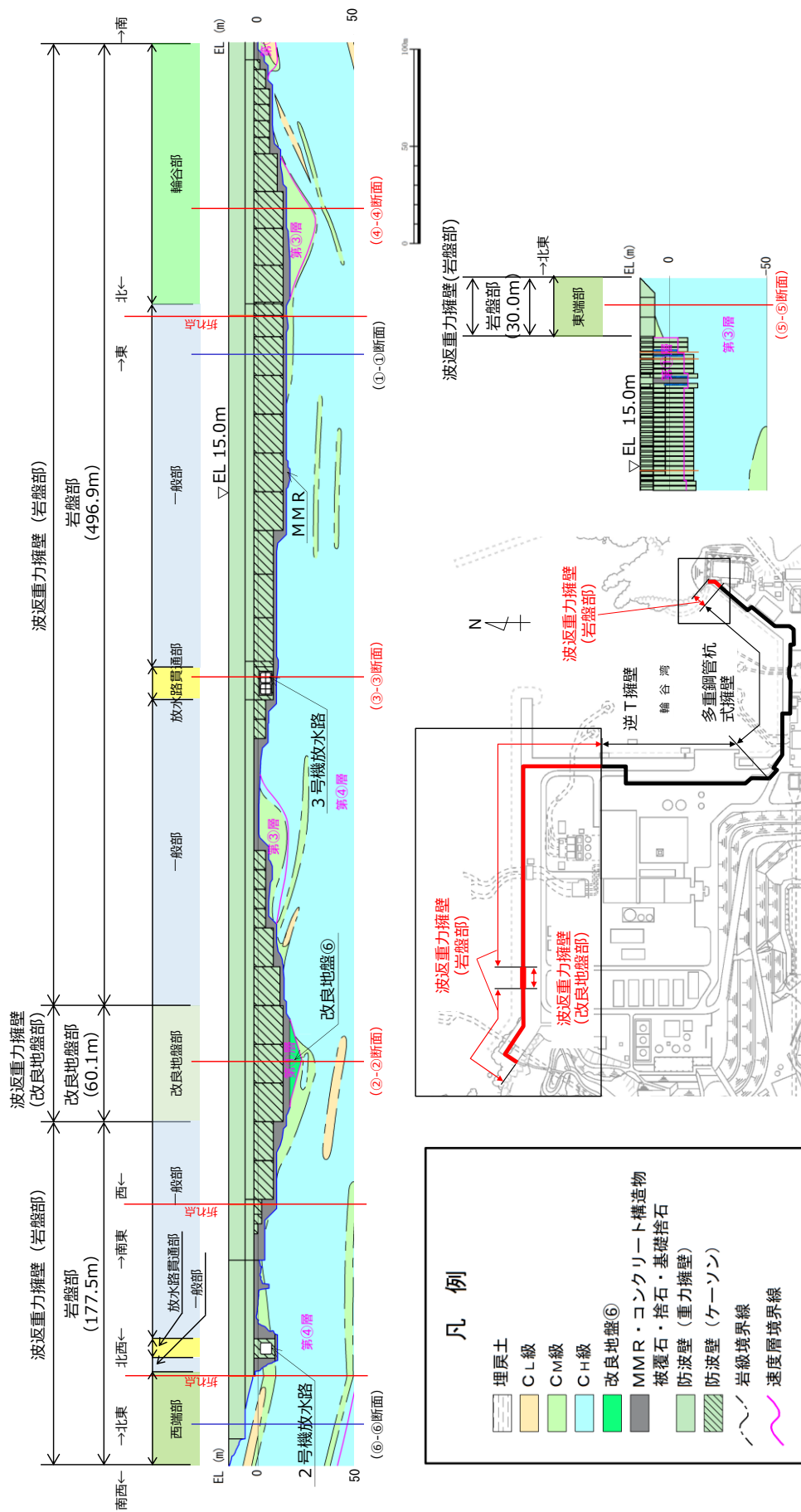


図 3.1-2 防波壁 (波返重力擁壁) の縦断面図

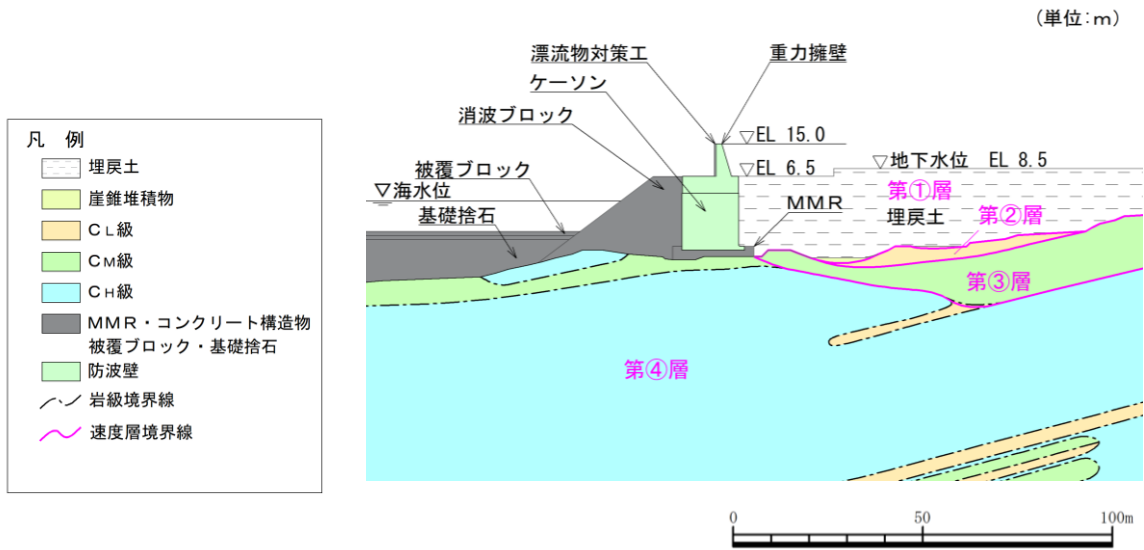


図 3.1-3 防波壁（波返重力擁壁）の横断面図（①-①断面）

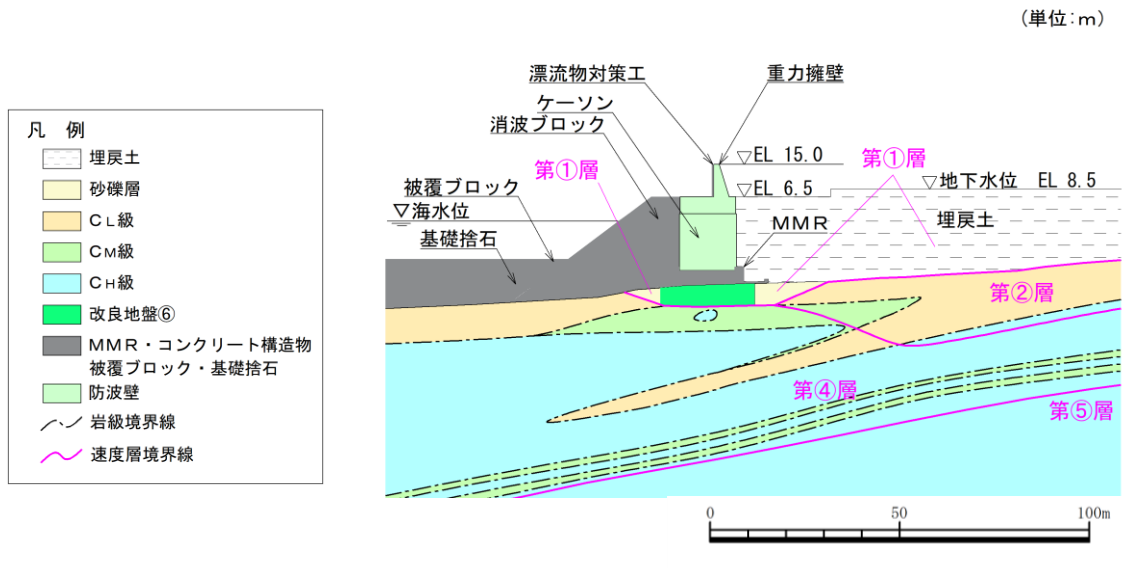


図 3.1-4 防波壁（波返重力擁壁）の横断面図（②-②断面）

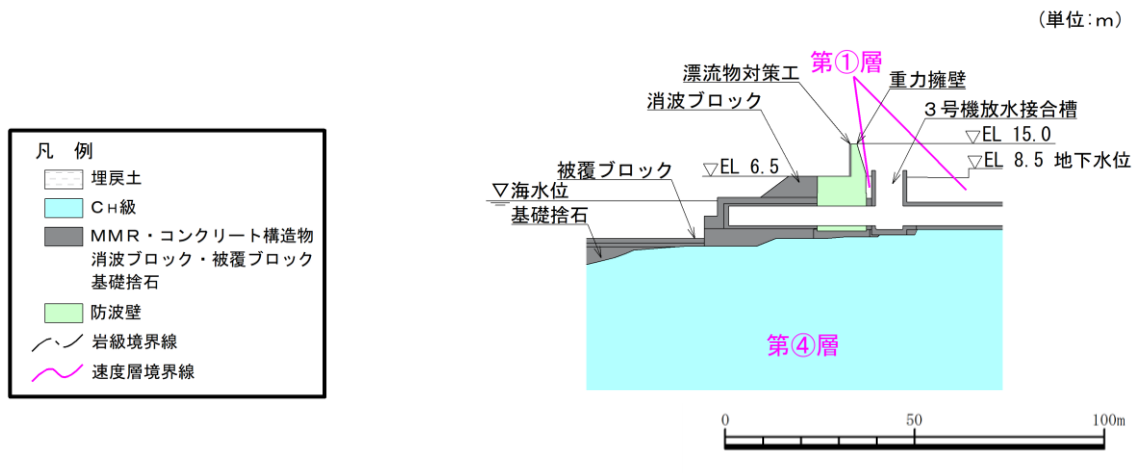


図 3.1-5 防波壁（波返重力擁壁）の横断面図（③-③断面）

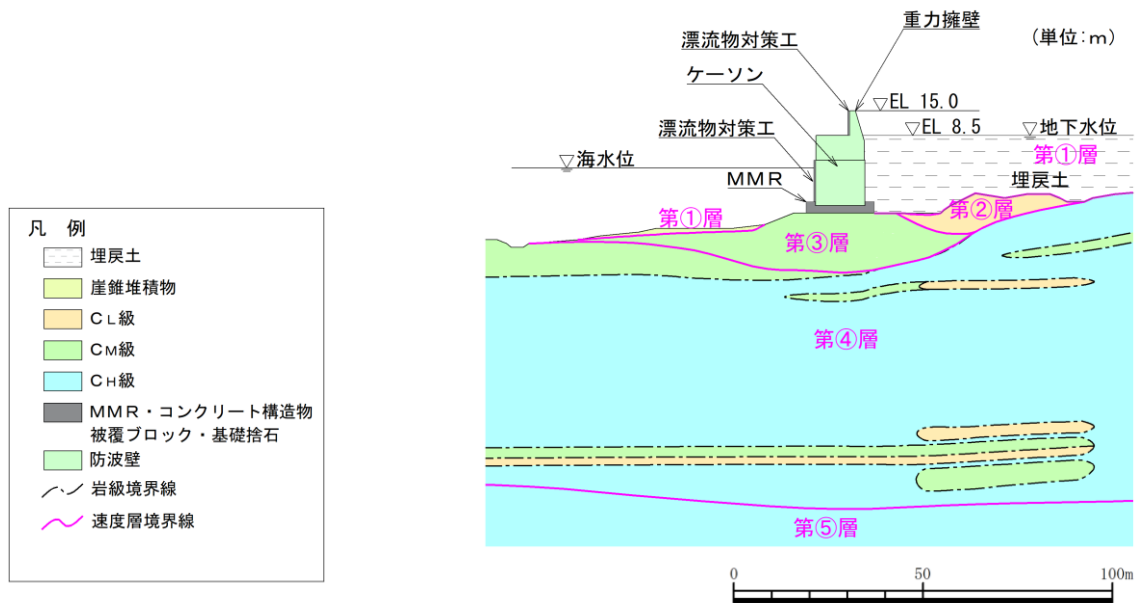


図 3.1-6 防波壁（波返重力擁壁）の横断面図（④-④断面）

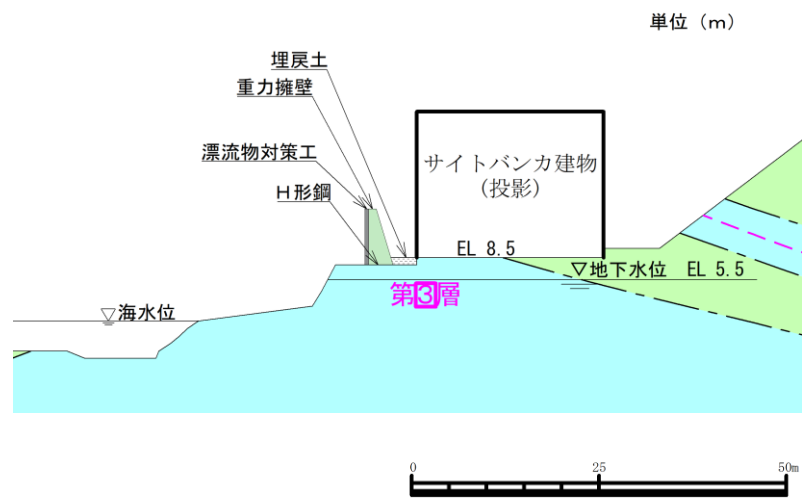


図 3.1-7 防波壁 (波返重力擁壁) の横断面図 (⑤-⑤断面)

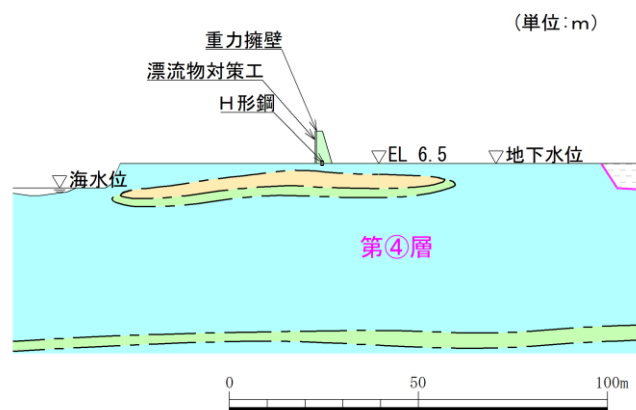
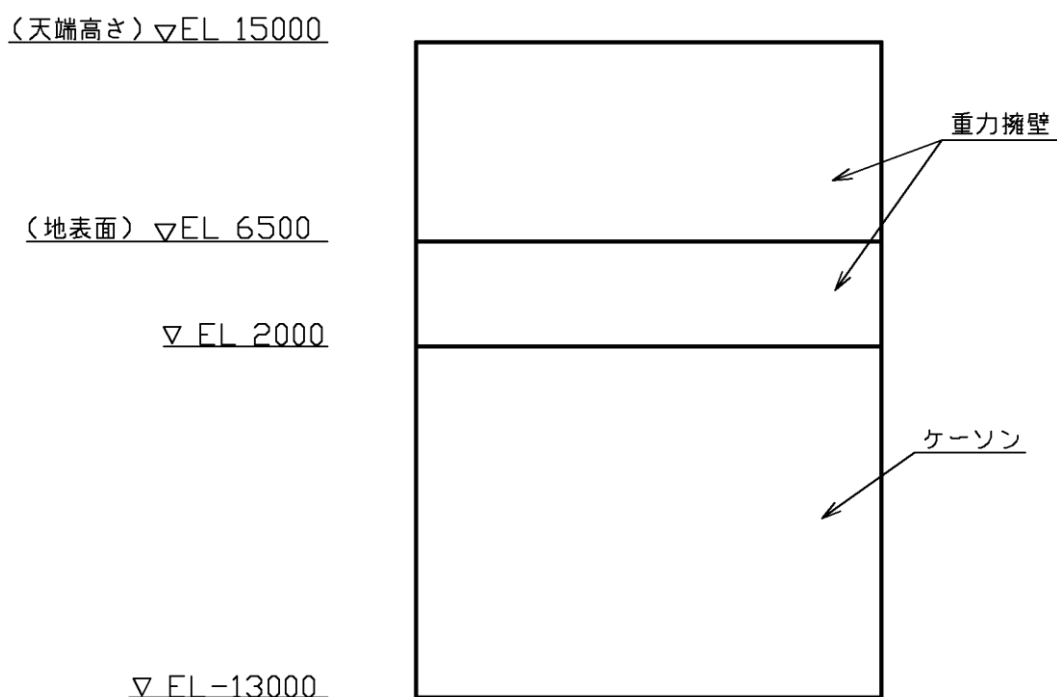
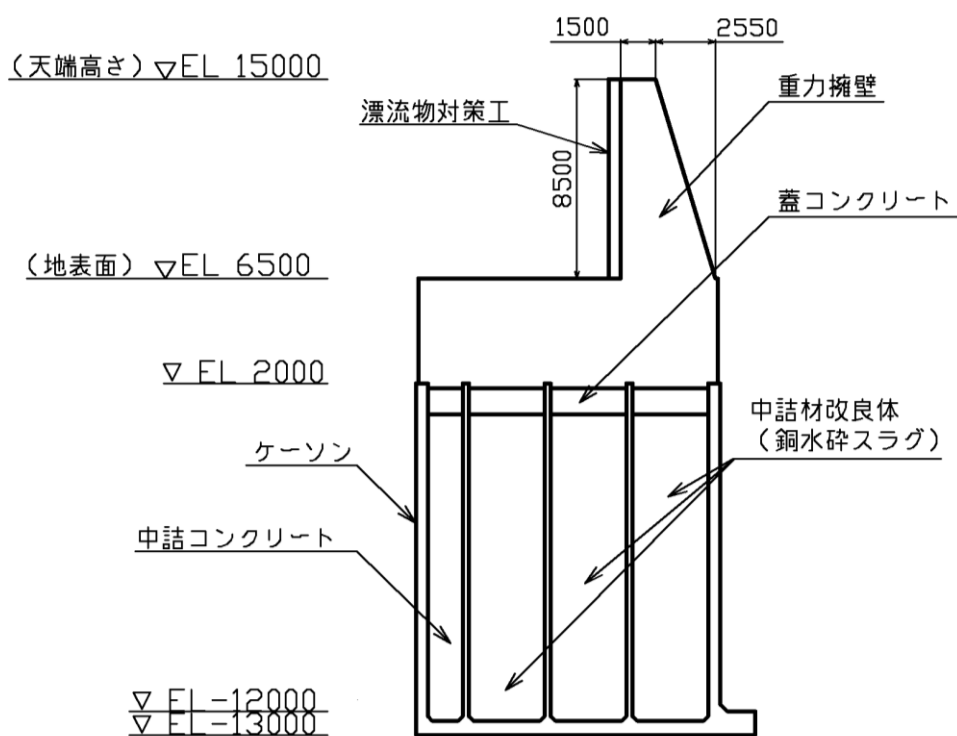


図 3.1-8 防波壁 (波返重力擁壁) の横断面図 (⑥-⑥断面)

(単位：mm)



(正面図)



(断面図)

図 3.1-9(1) 防波壁 (波返重力擁壁) の構造図 (②-②断面)

(単位 : mm)

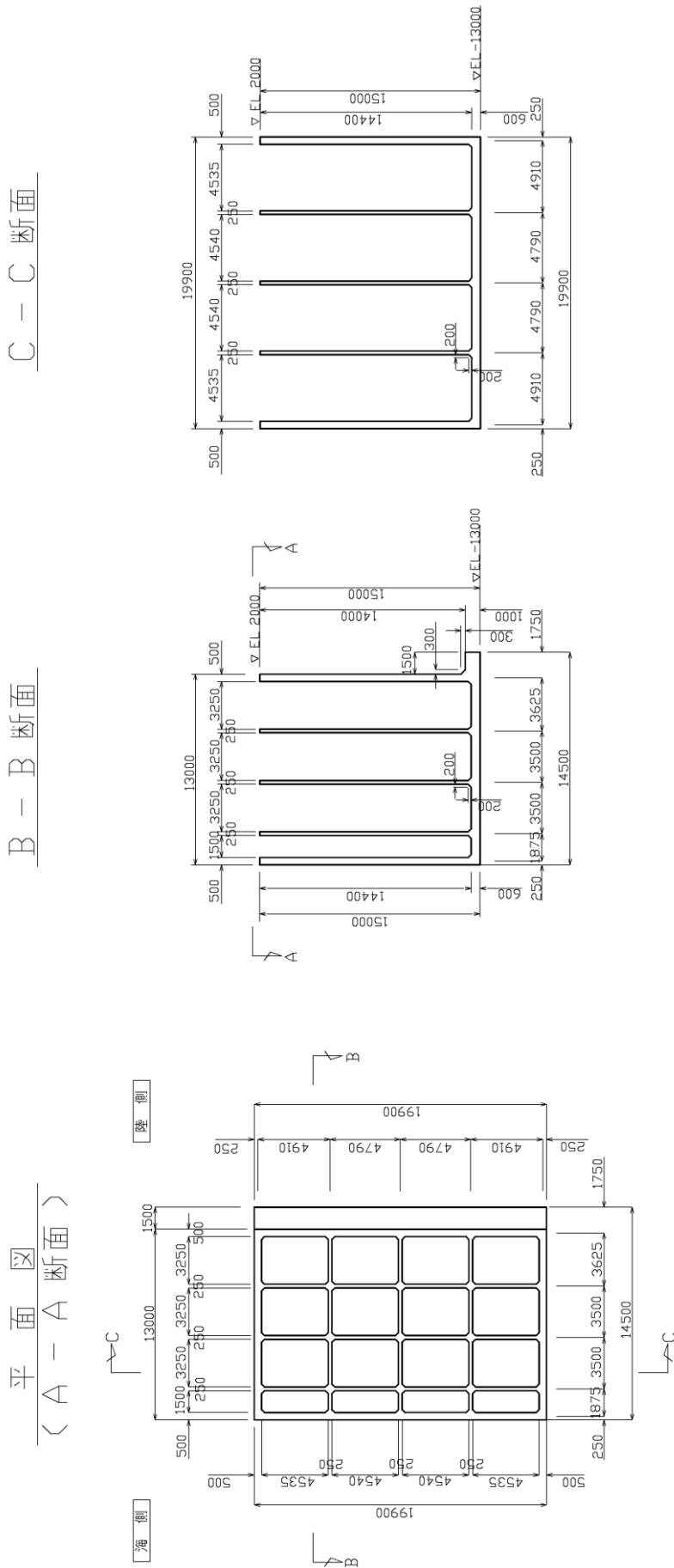


図 3.1-9(2) 防波壁 (波返重力擁壁) のケーソン構造図 (②-②断面)

(単位：mm)

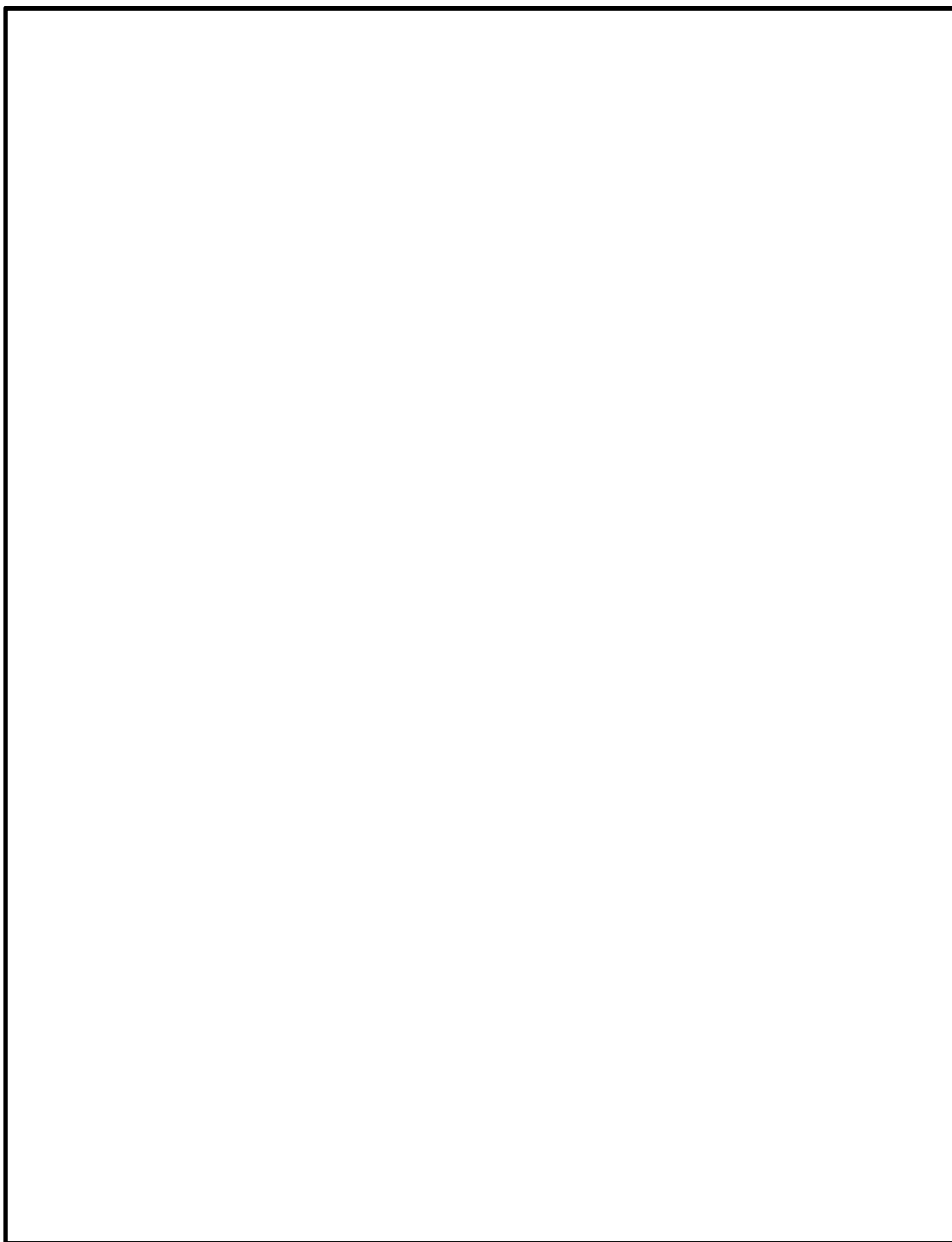


図 3.1-9(3) 防波壁（波返重力擁壁）の構造図（③-③断面）

(単位 : mm)

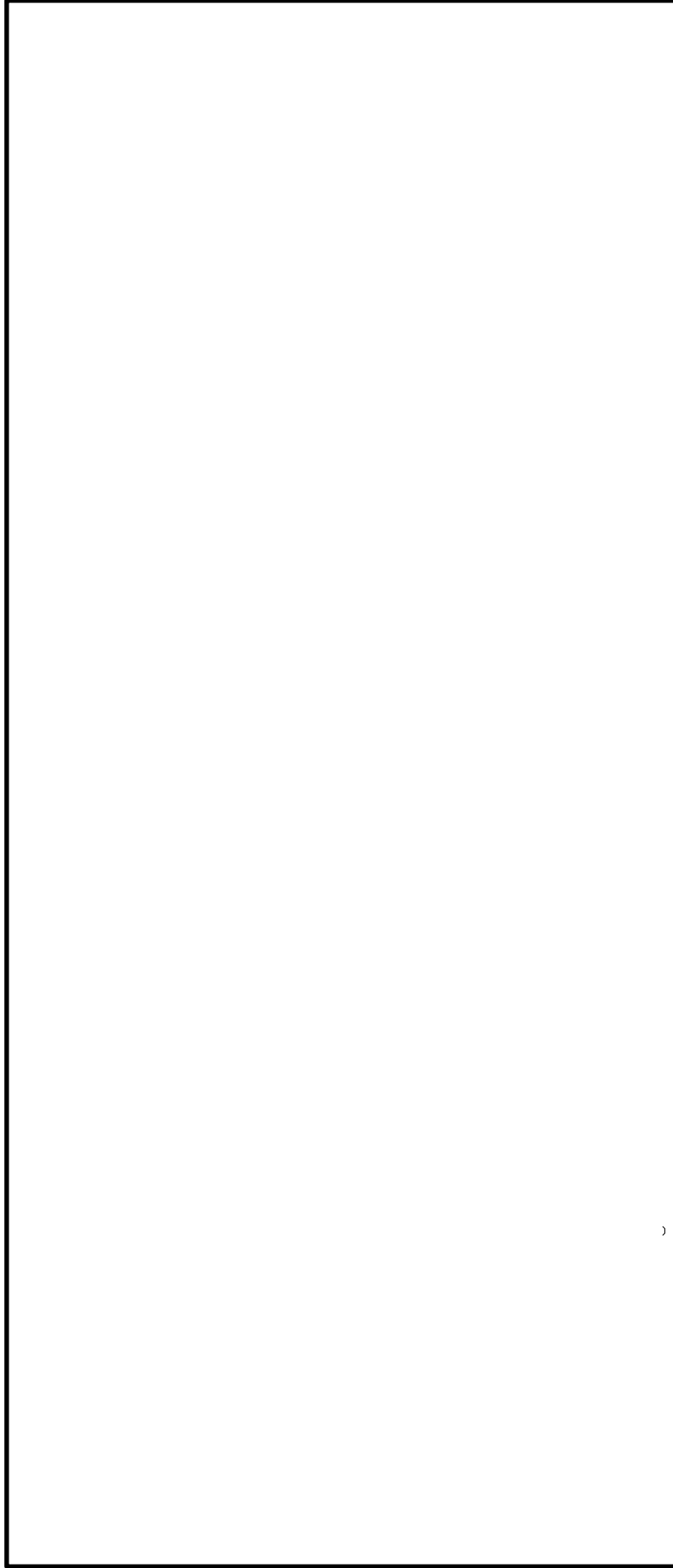
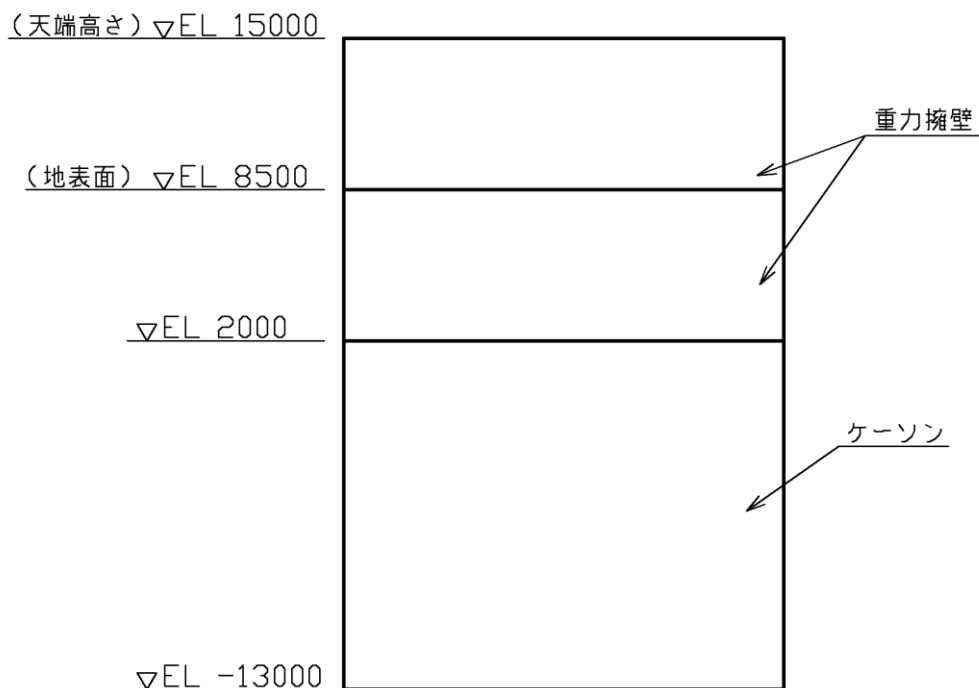
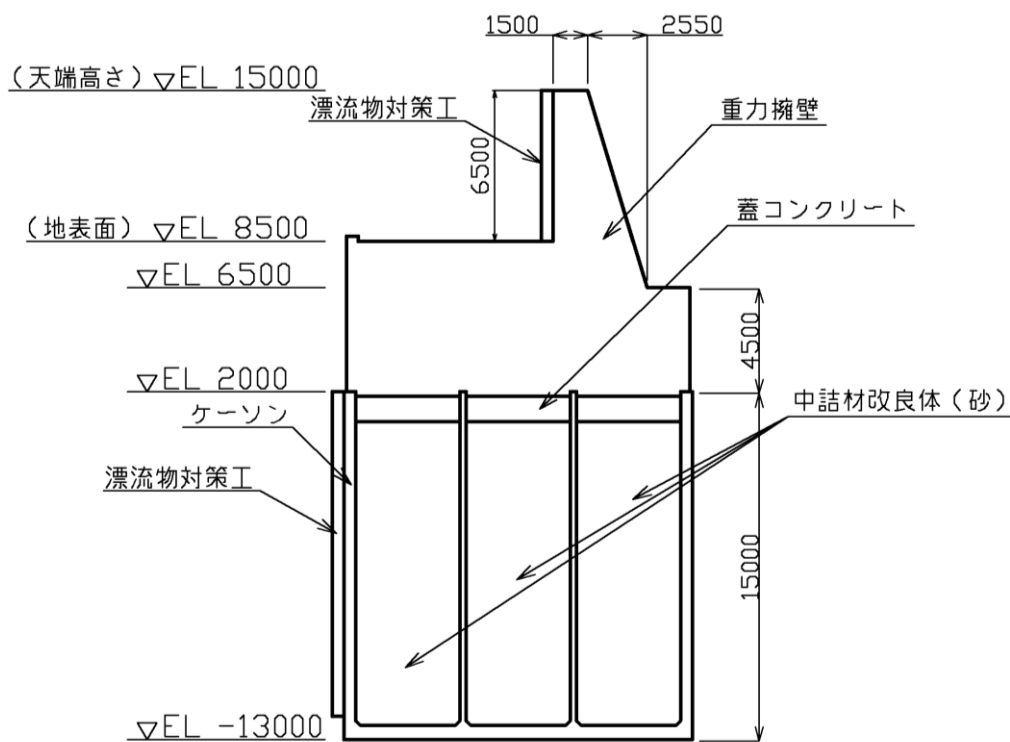


図 3.1-9(4) 防波壁 (波返重力擁壁) の放水路ケーソン構造図 (㊸-㊸断面)

(単位：mm)



(正面図)



(断面図)

図 3.1-9(5) 防波壁 (波返重力擁壁) の構造図 (④-④断面)

(単位 : mm)

平面図
(A-A断面図)

B-B断面図

C-C断面図

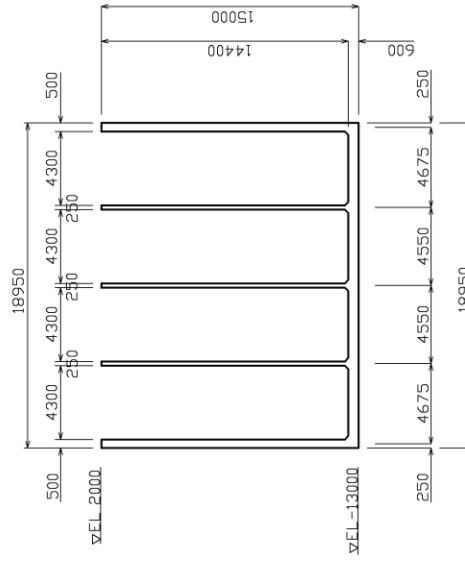
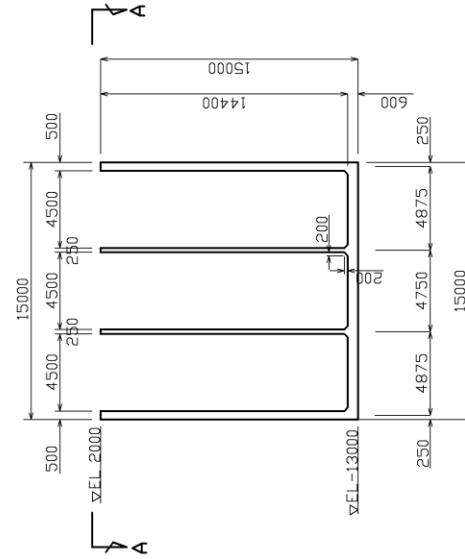
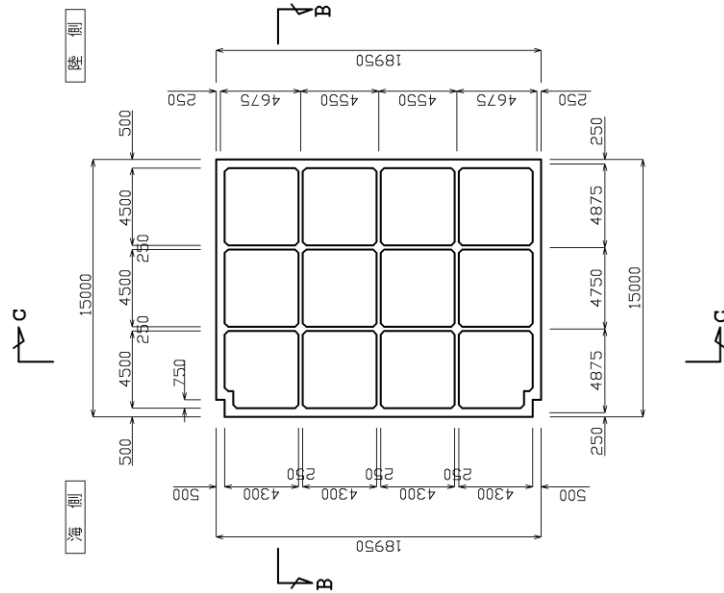
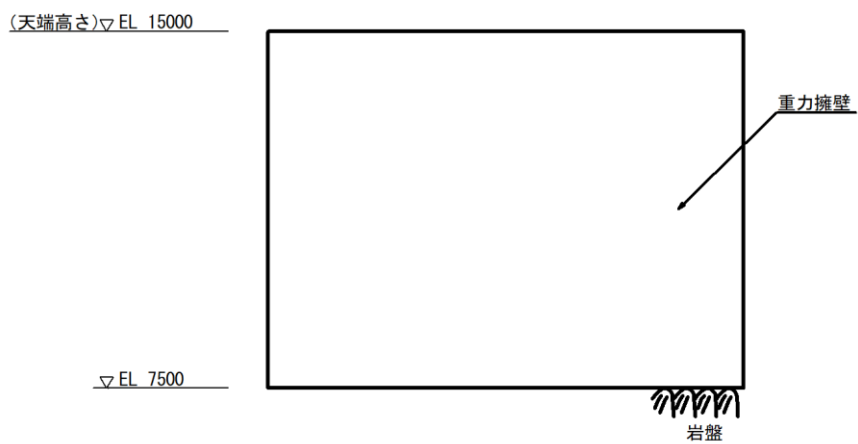
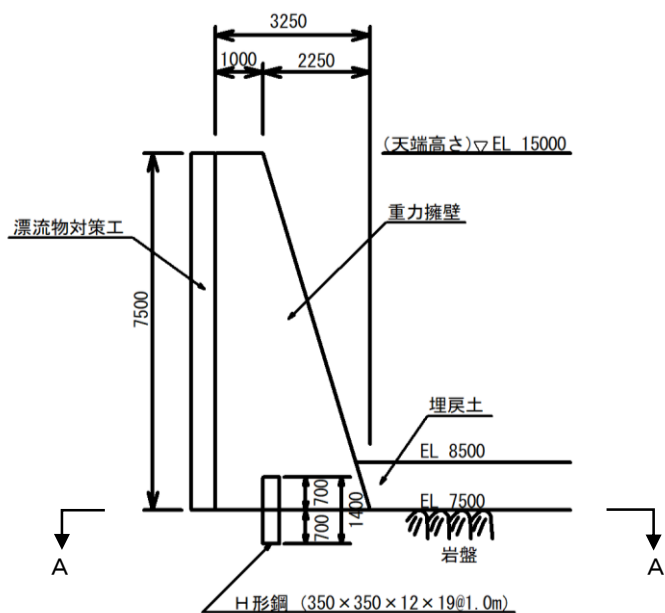


図 3.1-9(6) 防波壁 (波返重力擁壁) のケーソン構造図 (④-④断面)

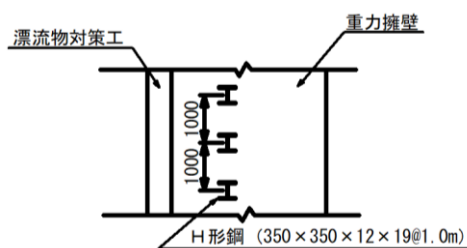
(単位：mm)



(正面図)



(断面図)



(平面図 (A-A断面))

図 3.1-9(7) 防波壁 (波返重力擁壁) の構造図 (⑤-⑤断面)

(単位：mm)

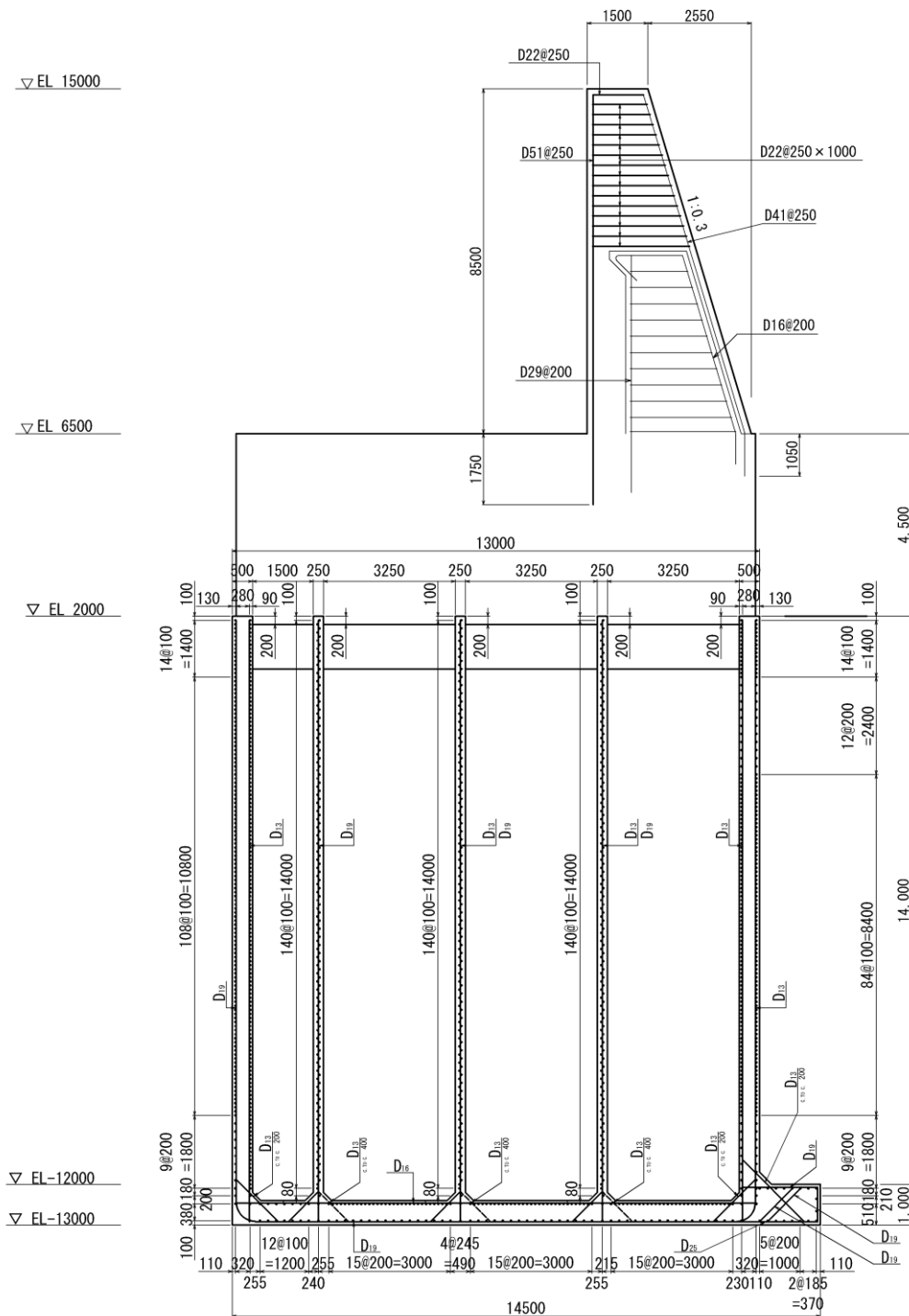


図 3.1-10(1) 防波壁（波返重力擁壁）の重力擁壁及びケーソンの概略配筋図
 (②-②断面)

(単位：mm)

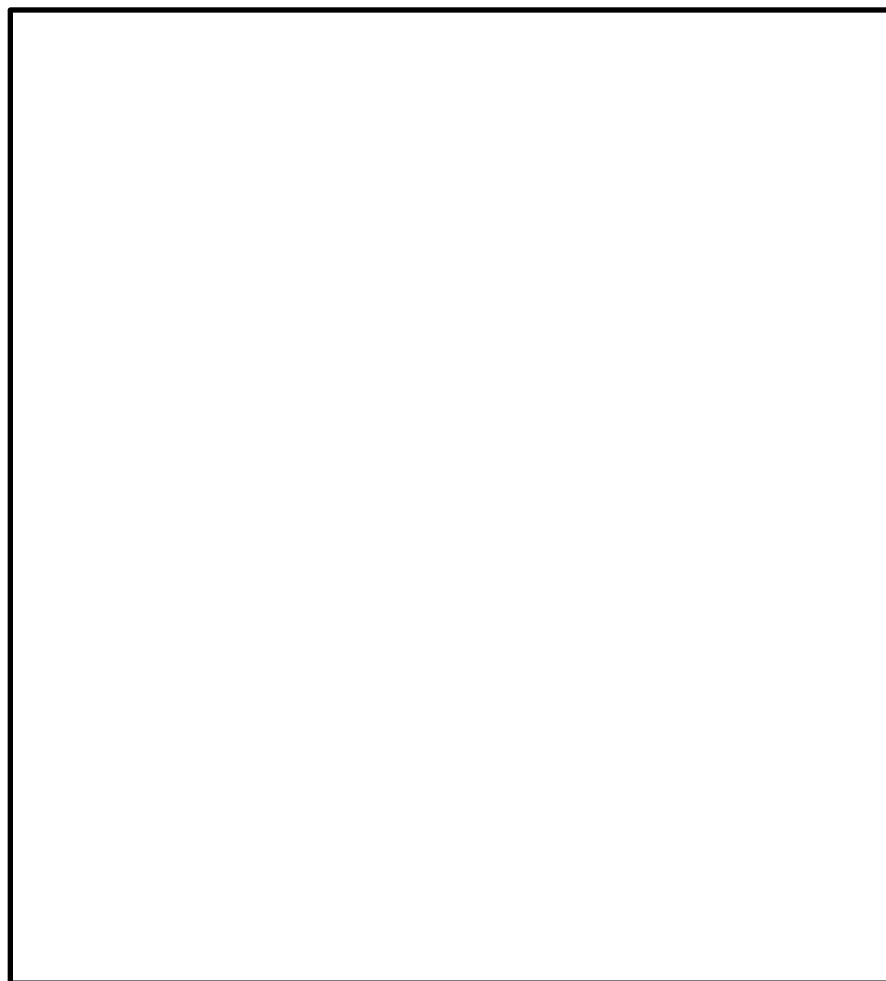


図 3.1-10(2) 防波壁（波返重力擁壁）の重力擁壁の概略配筋図（③-③断面）

(単位：mm)

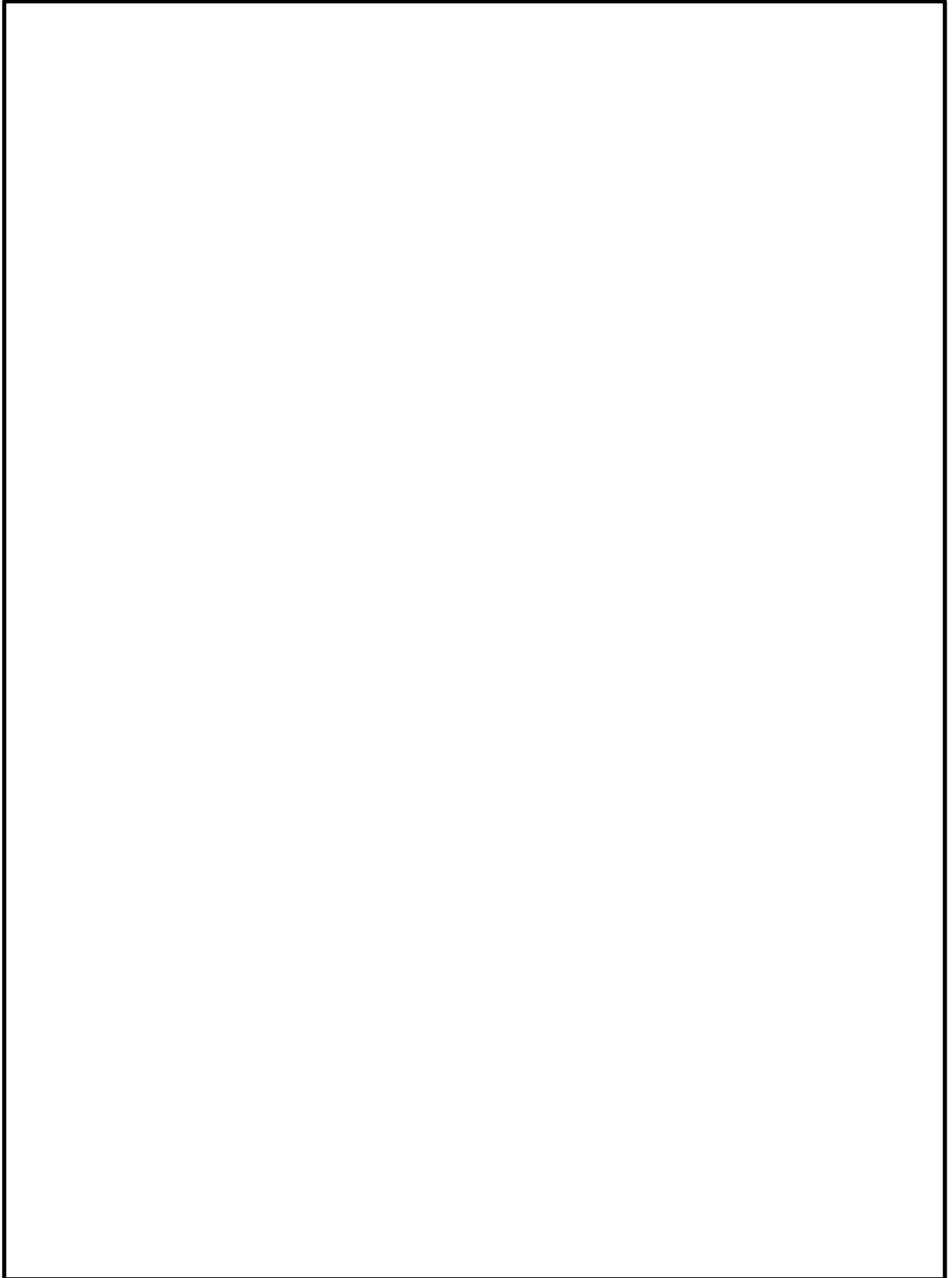


図 3.1-10(3) 防波壁（波返重力擁壁）の放水路ケーソンの概略配筋図（③-③断面）

(単位：mm)

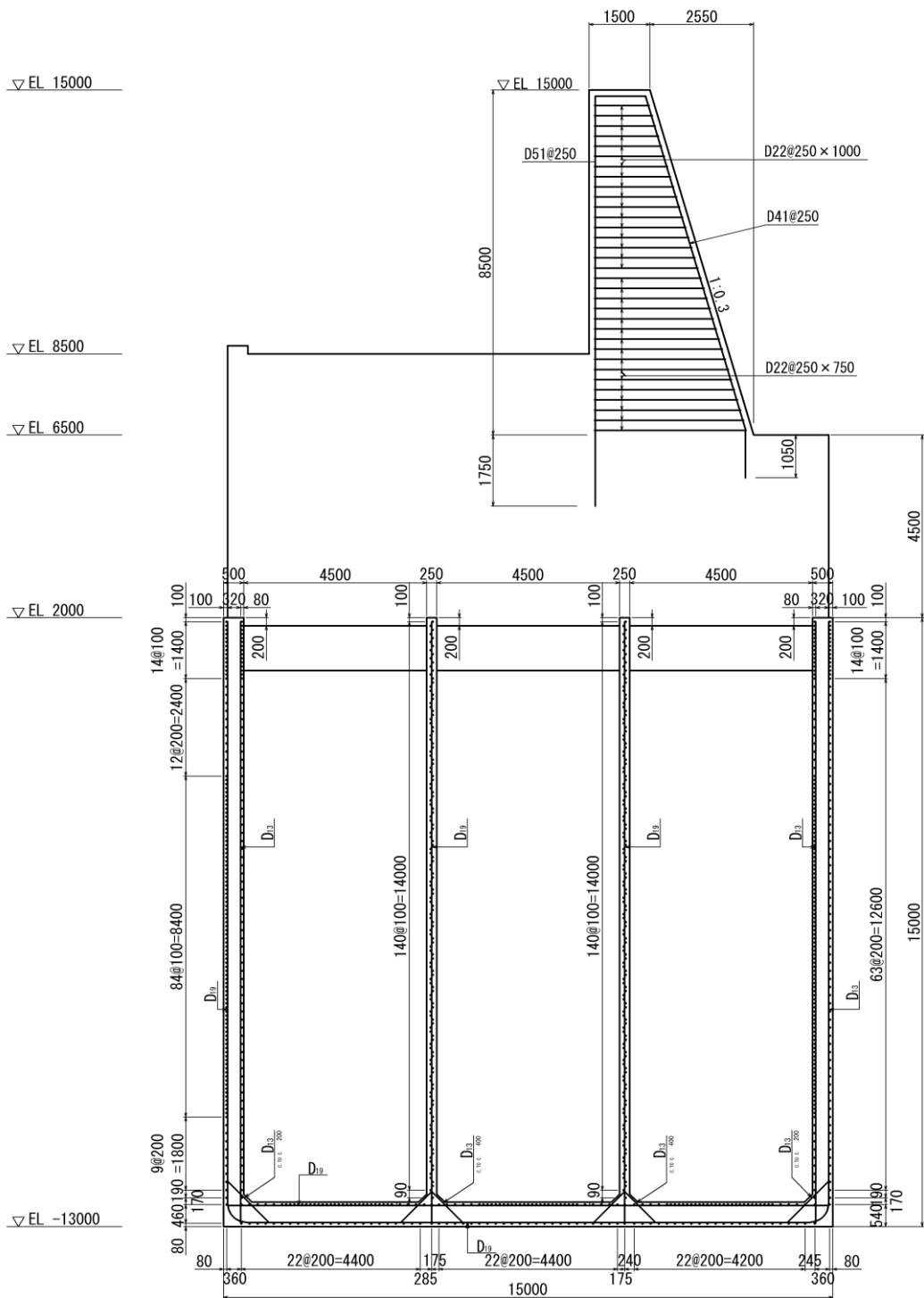


図 3.1-10(4) 防波壁（波返重力擁壁）の重力擁壁及びケーソンの概略配筋図
 (④-④断面)

(単位：mm)

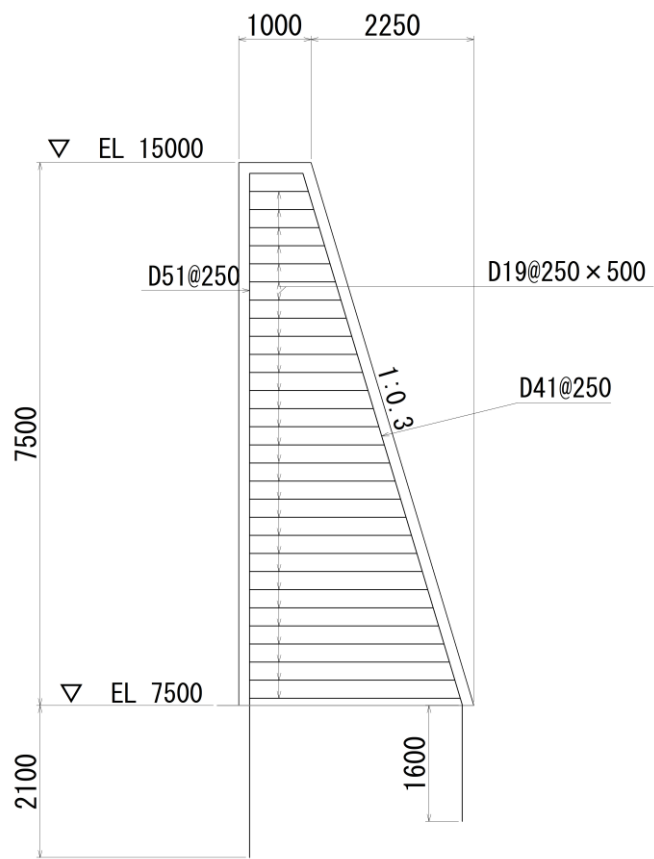
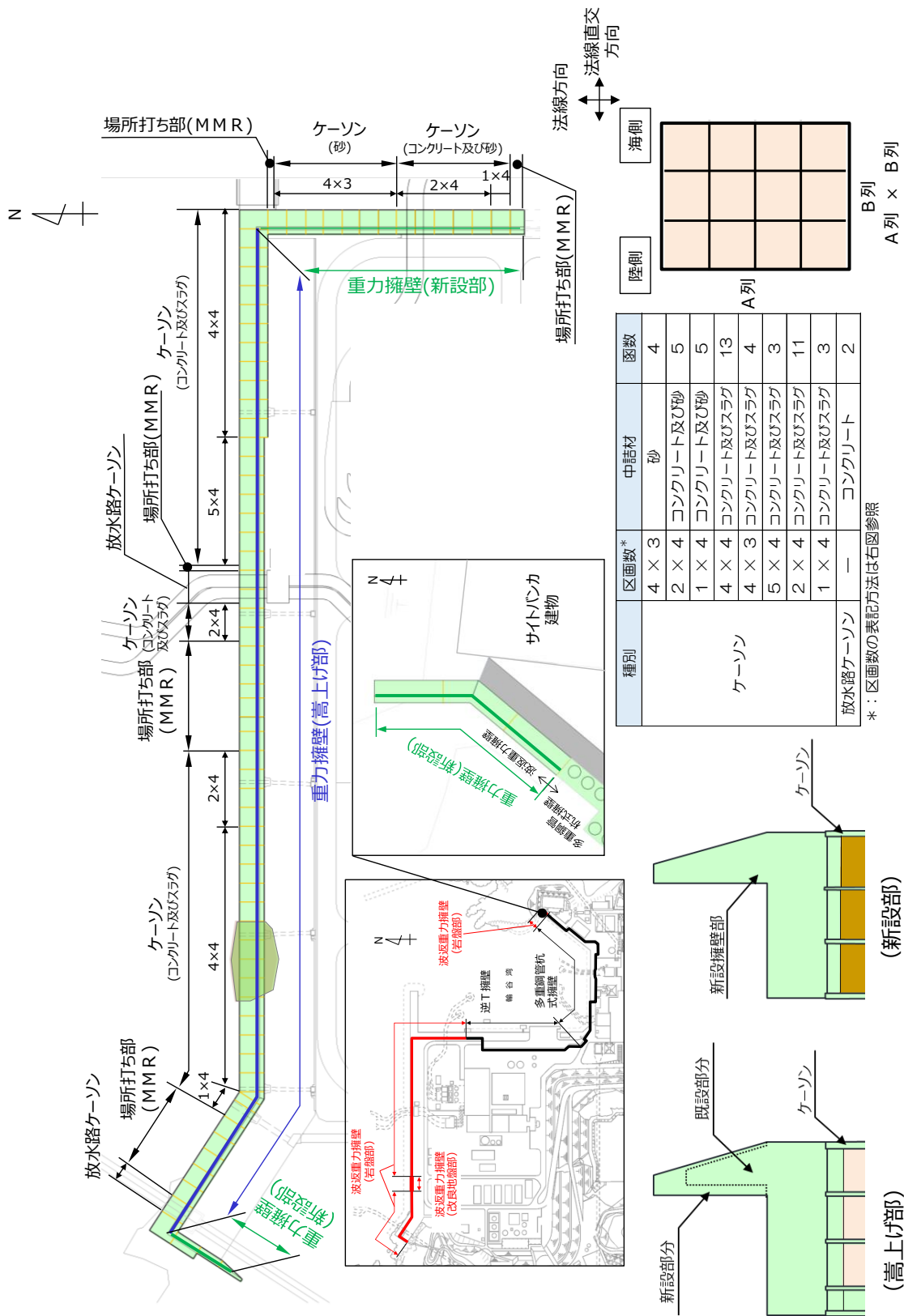


図 3.1-10(5) 防波壁（波返重力擁壁）の重力擁壁の概略配筋図（⑤-⑤断面）



ケーソン種別一覧及び区画数イメージ図

重力擁壁構造図

図 3.1-11 防波壁（波返重力擁壁）における重力擁壁及びケーソンの構造種別

3.2 評価対象部位

評価対象部位は、防波壁（波返重力擁壁）の構造上の特徴を踏まえ設定する。

3.2.1 施設・地盤の健全性評価

2次元有限要素法による施設・地盤の健全性評価に係る評価対象部位は、重力擁壁，H形鋼，MMR及び改良地盤⑥とする。

3次元構造解析による施設の健全性評価に係る評価対象部位は，ケーソンの各部材とする。

3.2.2 施設の変形性評価

2次元有限要素法による施設の変形性評価に係る評価対象部位は，構造物間に設置する止水目地とする。

3.2.3 基礎地盤の支持性能評価

2次元有限要素法による基礎地盤の支持性能評価に係る評価対象部位は，防波壁（波返重力擁壁）を支持する基礎地盤（MMR，改良地盤⑥及び岩盤）とする。

3.3 荷重及び荷重の組合せ

荷重及び荷重の組合せは，VI-2-1-9「機能維持の基本方針」に基づき設定する。

3.3.1 耐震評価上考慮する状態

防波壁（波返重力擁壁）の地震応答解析において，地震以外に考慮する状態を以下に示す。

(1) 運転時の状態

発電用原子炉が運転状態にあり，通常の条件下におかれている状態。ただし，運転時の異常な過渡変化時の影響を受けないことから考慮しない。

(2) 設計基準事故時の状態

設計基準事故時の影響を受けないことから考慮しない。

(3) 設計用自然条件

積雪及び風荷重を考慮する。

(4) 重大事故等時の状態

重大事故等時の状態の影響を受けないことから考慮しない。

3.3.2 荷重

防波壁（波返重力擁壁）の地震応答解析において，考慮する荷重を以下に示す。

(1) 固定荷重(G)

固定荷重として，躯体自重及び機器・配管荷重を考慮する。

(2) 積雪荷重 (P_s)

積雪荷重として，発電所最寄りの気象官署である松江地方気象台（松江市）での観測記録（1941～2018年）より，観測史上1位の月最深積雪100cm（1971年2月4日）に平均的な積雪荷重を与えるための係数0.35を考慮し35.0cmとする。

積雪荷重については，「松江市建築基準法施行細則（平成17年3月31日，松江市規則第234号）」により，積雪量1cmごとに20N/m²の積雪荷重が作用することを考慮し設定する。

(3) 風荷重 (P_k)

風荷重については，設計基準風速を30m/sとし，「建築基準法・同施行令」に基づき算定する。

(4) 地震荷重(S_s)

基準地震動S_sによる荷重を考慮する。

3.3.3 荷重の組合せ

荷重の組合せを表3.3-1に示す。

表 3.3-1 荷重の組合せ

区分	荷重の組合せ
地震時 (S _s)	G + P _s + P _k + S _s

G : 固定荷重

P_s : 積雪荷重

P_k : 風荷重

S_s : 地震荷重 (基準地震動S_s)

3.4 許容限界

許容限界は、VI-2-1-9「機能維持の基本方針」に基づき設定する。

3.4.1 重力擁壁

重力擁壁の許容限界は、「コンクリート標準示方書[構造性能照査編]（(社)土木学会，2002年制定）」（以下「コンクリート標準示方書(2002)」という。）に基づき、表3.4.1-1に示す短期許容応力度とする。

表 3.4.1-1 重力擁壁の許容限界

種別	許容応力度 (N/mm ²)		短期許容応力度* ¹ (N/mm ²)
	コンクリート (f' _{ck} =24N/mm ²)	許容曲げ圧縮応力度 σ_{ca}	9.0
許容せん断応力度 τ_{a1} * ²		0.45	0.67
コンクリート	許容せん断応力度 τ_{a1} * ³	0.43* ⁴	0.64
鉄筋 (SD345)	許容曲げ引張応力度 σ_{sa}	196	294

注記*1：短期許容応力度は、「コンクリート標準示方書（2002）」より許容応力度に対して1.5倍の割増を考慮する。

*2：④-④断面及び⑤-⑤断面の評価に用いる。

*3：設計基準強度の異なるコンクリートが重力擁壁に混在している②-②断面及び③-③断面の評価に用いる。

*4：設計基準強度 21N/mm² 及び 24N/mm² の各々の許容せん断応力度を用い、評価断面の面積按分により算定

3.4.2 ケーソン

(1) ②-②断面及び④-④断面

ケーソンの曲げ軸力系の破壊及びせん断破壊（面外）に対する許容限界は「コンクリート標準示方書（2002）」に基づき、表 3.4.2-1 に示す許容応力度とする。

せん断破壊（面内）に対する許容限界は、図 3.4.2-1 に示す「原子力発電所耐震設計技術指針 J E A G 4 6 0 1 -1987（（社）日本電気協会）」（以下「J E A G 4 6 0 1 -1987」という。）に規定されているスケルトンカーブの第 1 折点の許容せん断応力度（面内）を許容限界とし、（式 1）に基づき設定する。

表 3.4.2-1 曲げ・軸力系の破壊及びせん断破壊（面外）に対する許容限界

種別	許容応力度 (N/mm ²)		短期許容応力度* (N/mm ²)
	コンクリート (f'ck=24N/mm ²)	許容曲げ圧縮応力度 σ_{ca}	9.0
	許容せん断応力度 τ_{a1}	0.45	0.67
鉄筋 (SD345)	許容曲げ引張応力度 σ_{sa}	196	294

注記*：短期許容応力度は、「コンクリート標準示方書（2002）」より許容応力度に対して 1.5 倍の割増を考慮する。

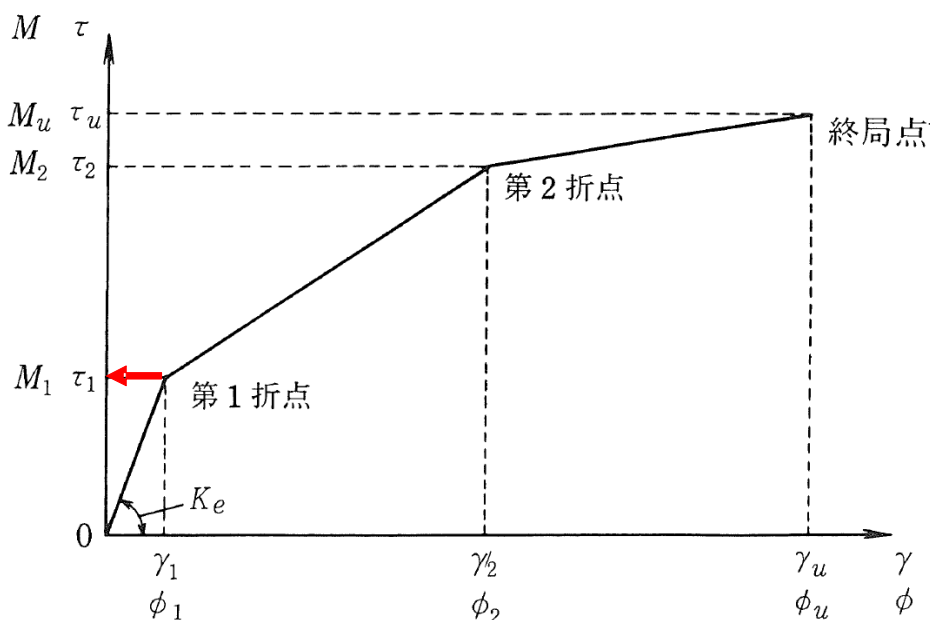


図 3.4.2-1 せん断破壊（面内）に対する許容限界
（「J E A G 4 6 0 1 -1987」に加筆）

$$\tau_1 = \sqrt{0.31\sqrt{F_c}(0.31\sqrt{F_c} + \sigma_v)} \quad (\text{式 1})$$

ここに,

τ_1 : 許容せん断応力度 (面内) (N/mm²)

F_c : 設計基準強度 (N/mm²)

σ_v : 鉛直方向軸応力度 (N/mm²)

(2) ③-③断面

③-③断面のうち頂版、側壁及び底版は、重力擁壁を支持する機能及び遮水性を保持する機能を有する必要があることから、ケーソンがおおむね弾性状態にとどまることを確認するために、3次元線形構造解析による耐震評価を行う。また、③-③断面のうち隔壁は、重力擁壁を支持する機能を有する必要があることから、構造強度を有することを確認するために、3次元線形構造解析を行い、3次元線形構造解析による許容限界を超える場合は、3次元非線形構造解析による耐震評価を行う。

a. 3次元線形構造解析の許容限界

3次元線形構造解析による耐震評価における放水路ケーソンの曲げ軸力系の破壊及びせん断破壊（面外）に対する許容限界は、H形鋼を部材内に有する構造であるが、保守的に無筋コンクリートとみなし、「コンクリート標準示方書(2002)」に基づき、表 3.4.2-2 及び表 3.4.2-3 に示す短期許容応力度及び強度とする。せん断破壊（面内）に対する許容限界は、図 3.4.2-1 に示す「J E A G 4 6 0 1-1987」に規定されているスケルトンカーブの第1折点の許容せん断応力度（面内）を設定する。

表 3.4.2-2 放水路ケーソンの許容限界（圧縮応力度及びせん断応力度（面外））

種別	許容応力度 (N/mm ²)		短期許容応力度* (N/mm ²)
	コンクリート (f' _{ck} =24N/mm ²)	許容曲げ圧縮応力度 σ_{ca}	9.0
許容せん断応力度（面外） τ_{a1}		0.45	0.67

注記*：短期許容応力度は、「コンクリート標準示方書（2002）」より許容応力度に対して1.5倍の割増を考慮する。

表 3.4.2-3 放水路ケーソンの許容限界（引張強度）

種別	材料強度 (N/mm ²)	
コンクリート (f' _{ck} =24N/mm ²)	引張強度 f _{tk} *	1.91

注記*：「コンクリート標準示方書（2002）」よりコンクリートの設計基準強度 f'_{ck}を用いて、算定式 $0.23f'_{ck}{}^{2/3}$ により算定。

b. 3次元非線形構造解析の許容限界

3次元非線形構造解析による耐震評価における放水路ケーソンの許容限界は、「J E A G 4 6 0 1-1987」に基づき許容ひずみを設定する。設定する許容限界は、せん断ひずみ 2000 μ (2/1000) とする。

3.4.3 H形鋼

H形鋼の許容限界は、「道路橋示方書（Ⅰ共通編・Ⅳ下部構造編）・同解説（（社）日本道路協会，平成14年3月）」（以下「道路橋示方書（平成14年）」という。）に基づき，表3.4.3-1に示す短期許容応力度とする。

表 3.4.3-1 H形鋼の許容限界

種別	許容応力度 (N/mm ²)		短期許容応力度* (N/mm ²)
	許容せん断応力度 τ_{Ha}	105	
H形鋼 (SM490)			157

注記*：短期許容応力度は，「道路橋示方書（平成14年）」より許容応力度に対して1.5倍の割増を考慮する。

3.4.4 MMR

MMRの許容限界は，「耐津波設計に係る工認審査ガイド（平成25年6月19日，原管地発第1306196号）」を準拠し，すべり安全率とする。表3.4.4-1にMMRの許容限界を示す。

表 3.4.4-1 MMRの許容限界

評価項目	許容限界
すべり安全率	1.2以上

3.4.5 改良地盤⑥

改良地盤⑥の許容限界は，「耐津波設計に係る工認審査ガイド（平成25年6月19日，原管地発第1306196号）」を準拠し，すべり安全率とする。表3.4.5-1に改良地盤⑥の許容限界を示す。

表 3.4.5-1 改良地盤⑥の許容限界

評価項目	許容限界
すべり安全率	1.2以上

3.4.6 止水目地

止水目地（シートジョイント）の許容限界は、メーカ規格、漏水試験及び変形試験より、有意な漏えいが生じないことを確認した変位量とする。評価対象断面である④－④断面及び⑦－⑦断面位置における止水目地（シートジョイント）の変位量に対する許容限界を表 3.4.6-1 に示す。

表 3.4.6-1 止水目地（シートジョイント）の許容限界

評価項目	許容限界 (mm)
変位量	1,936

3.4.7 基礎地盤

基礎地盤に発生する接地圧に対する許容限界は、VI-2-1-3「地盤の支持性能に係る基本方針」に基づき設定する。

基礎地盤の許容限界を表 3.4.7-1 に示す。

表 3.4.7-1 基礎地盤の許容限界

評価項目	基礎地盤		許容限界 (N/mm ²)
極限支持力度	岩盤	C _H 級	9.8
		C _M 級	
	改良地盤⑥		3.0
支圧強度	MMR		24.0

4. 2次元有限要素法

4.1 解析方法

防波壁（波返重力擁壁）の地震応答解析は、VI-2-1-6「地震応答解析の基本方針」のうち、「2.3 屋外重要土木構造物」に示す解析方法及び解析モデルを踏まえて実施する。

地震応答解析は、構造物と地盤の相互作用を考慮できる2次元有限要素法を用いて、基準地震動 S_s に基づき設定した水平地震動と鉛直地震動の同時加振による逐次時間積分の時刻歴応答解析により行うこととする。2次元有限要素法において、②-②断面、③-③断面及び④-④断面は、地震時における地盤の有効応力の変化に伴う影響を考慮するため、解析方法は有効応力解析とし、⑤-⑤断面は、地下水位以深に液状化対象層が分布しないことから、解析方法は全応力解析とする。

構造部材については、線形の平面ひずみ要素でモデル化する。また、地盤については、地盤のひずみ依存性を適切に考慮できるようモデル化する。

地震応答解析については、有効応力解析では「FLIP」、全応力解析では「TDAP III」を使用する。なお、解析コードの検証及び妥当性確認等の概要については、VI-5「計算機プログラム(解析コード)の概要」に示す。

防波壁（波返重力擁壁）の各部位のうち、重力擁壁、H形鋼、MMR及び改良地盤⑥の健全性評価、基礎地盤の支持性能評価並びに止水目地の変形性評価については2次元動的有限要素法（有効応力解析及び全応力解析）による耐震評価を行う。なお、ケーソンについては、「5. 3次元構造解析」により健全性評価を行う。

4.1.1 地震応答解析手法

防波壁（波返重力擁壁）の地震応答解析は、地盤と構造物の動的相互作用を考慮できる連成系の地震応答解析を用いて、基準地震動に基づき設定した水平地震動と鉛直地震動の同時加振による逐次時間積分の時刻歴応答解析にて行う。

地震応答解析手法の選定フローを図 4.1.1-1 に示す。

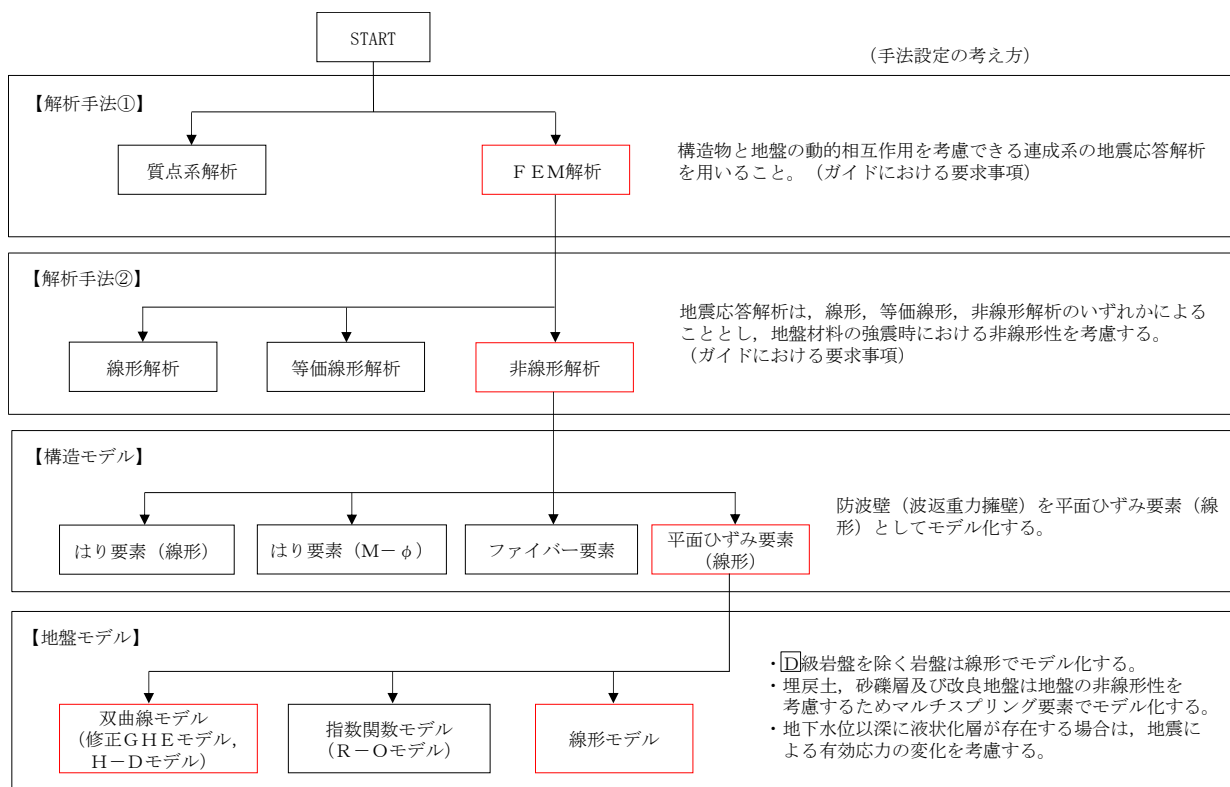


図 4.1.1-1 地震応答解析手法の選定フロー

4.1.2 施設

重力擁壁は、線形の平面ひずみ要素でモデル化する。

ケーソンは、線形の平面ひずみ要素でモデル化し、等価な剛性を有する2次元等価剛性モデルとする。

機器・配管荷重は解析モデルに付加質量として与えることで考慮する。

漂流物対策工は重力擁壁，④－④断面については重力擁壁に加えケーソンに固定して設置することから，漂流物対策工設置位置に漂流物対策工の重量を考慮する。

H形鋼は，重力擁壁と岩盤は一体としていることから，モデル化しない。なお，重力擁壁と岩盤の一体性については「(参考資料8) ⑤－⑤断面の重力擁壁下端の境界条件」で確認している。

4.1.3 地盤物性のばらつき

防波壁（波返重力擁壁）の地震時の応答は，周辺地盤との相互作用によることから，地盤物性のばらつきの影響を考慮する。地盤物性のばらつきについては，表4.1.3-1に示す解析ケースにおいて考慮する。

以下の理由から，防波壁（波返重力擁壁）の応答に与える影響が大きいと考えられる埋戻土の物性（初期せん断弾性係数）のばらつきについて影響を確認する。

- ・ ②－②断面，③－③断面，④－④断面及び⑤－⑤断面は，動的変形特性にひずみ依存性がある地盤が広範囲に分布しており，地震時の繰返し载荷により剛性が低下することから，剛性の違いが地盤応答に影響し，防波壁（波返重力擁壁）の応答に影響する。
- ・ ②－②断面，③－③断面及び④－④断面は，地震時の繰返し载荷により液状化し，有効応力が低下することから，剛性の違いが重力擁壁及びケーソンに対する主働土圧に影響し，防波壁（波返重力擁壁）の応答に影響する。

詳細な解析ケースの考え方は，「4.1.5 解析ケース」に示す。

表 4.1.3-1 解析ケース

解析ケース	地盤物性	
	埋戻土 (G_0 : 初期せん断弾性係数)	岩盤 (G_d : 動せん断弾性係数)
ケース① (基本ケース)	平均値	平均値
ケース②	平均値 + 1 σ	平均値
ケース③	平均値 - 1 σ	平均値

4.1.4 減衰定数

Rayleigh 減衰を考慮することとし、②-②断面、③-③断面及び④-④断面を対象に実施する 2 次元有限要素法（有効応力解析）では剛性比例型減衰（ $\alpha = 0$, $\beta = 0.002$ ）を考慮する。なお、係数 β の設定については、「FLIP 研究会 14 年間の検討成果のまとめ「理論編」」を基に設定している。

⑤-⑤断面を対象に実施する 2 次元有限要素法（全応力解析）では、粘性減衰を考慮することとし、固有値解析にて求められる固有周期と各材料の減衰比に基づき、質量マトリックス及び剛性マトリックスの線形結合で表される以下の Rayleigh 減衰を解析モデル全体に与える。

Rayleigh 減衰の設定フローを図 4.1.4-1 に示す。

$$[C] = \alpha [m] + \beta [k]$$

[C] : 減衰係数マトリックス

[m] : 質量マトリックス

[k] : 剛性マトリックス

α , β : 係数

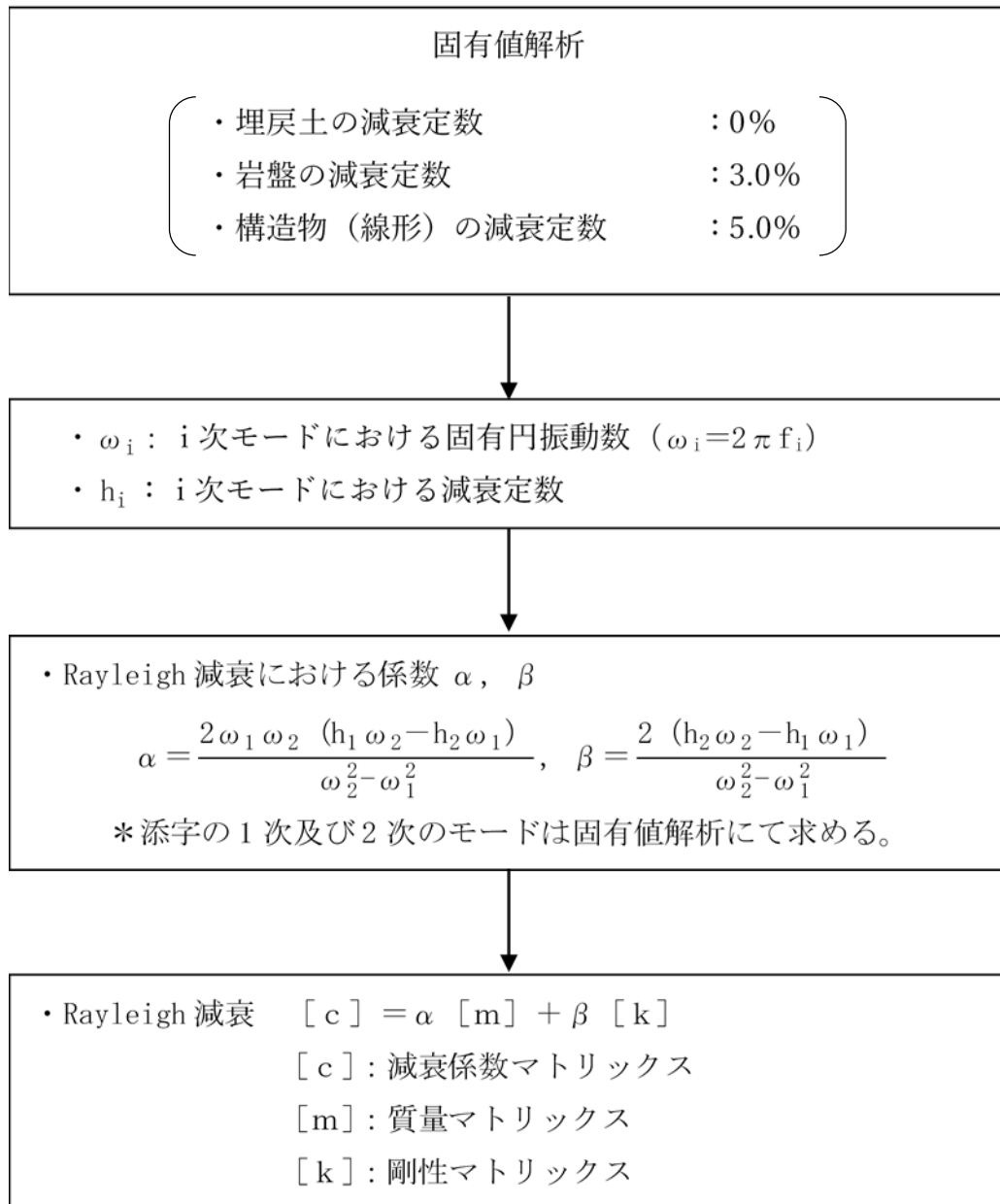


図 4.1.4-1 Rayleigh 減衰の設定フロー (全応力解析)

Rayleigh 減衰における係数 α , β は、低次のモードの変形が支配的となる地中埋設構造物に対して、その特定の振動モードの影響が大きいことを考慮して、固有値解析結果より得られる卓越するモードの減衰と Rayleigh 減衰が一致するように設定する。なお、卓越するモードは全体系の固有値解析における刺激係数及びモード図にて決定するが、係数 α , β が負値となる場合は当該モードを選定しない。

固有値解析結果の一覧を表 4.1.4-1 に、固有値解析におけるモード図を図 4.1.4-2 に、係数 α , β を表 4.1.4-2 に、固有値解析結果に基づき設定した Rayleigh 減衰を図 4.1.4-3 に示す。

表 4.1.4-1 固有値解析結果

	固有振動数 (Hz)	有効質量比 (%)		刺激係数		備考
		Tx	Ty	β_x	β_y	
1	11.699	71	1	57.15	-5.46	1次として採用
2	17.726	2	0	-10.50	3.93	-
3	21.425	9	35	20.41	40.09	2次として採用
4	24.624	3	3	-11.92	12.88	-
5	28.388	3	10	10.74	-21.48	-
6	34.277	0	9	-1.27	19.65	-
7	36.478	3	1	-12.97	8.53	-
8	38.882	0	15	-0.31	26.00	-
9	42.336	0	7	-3.53	18.09	-
10	44.351	1	1	-6.11	-6.89	-

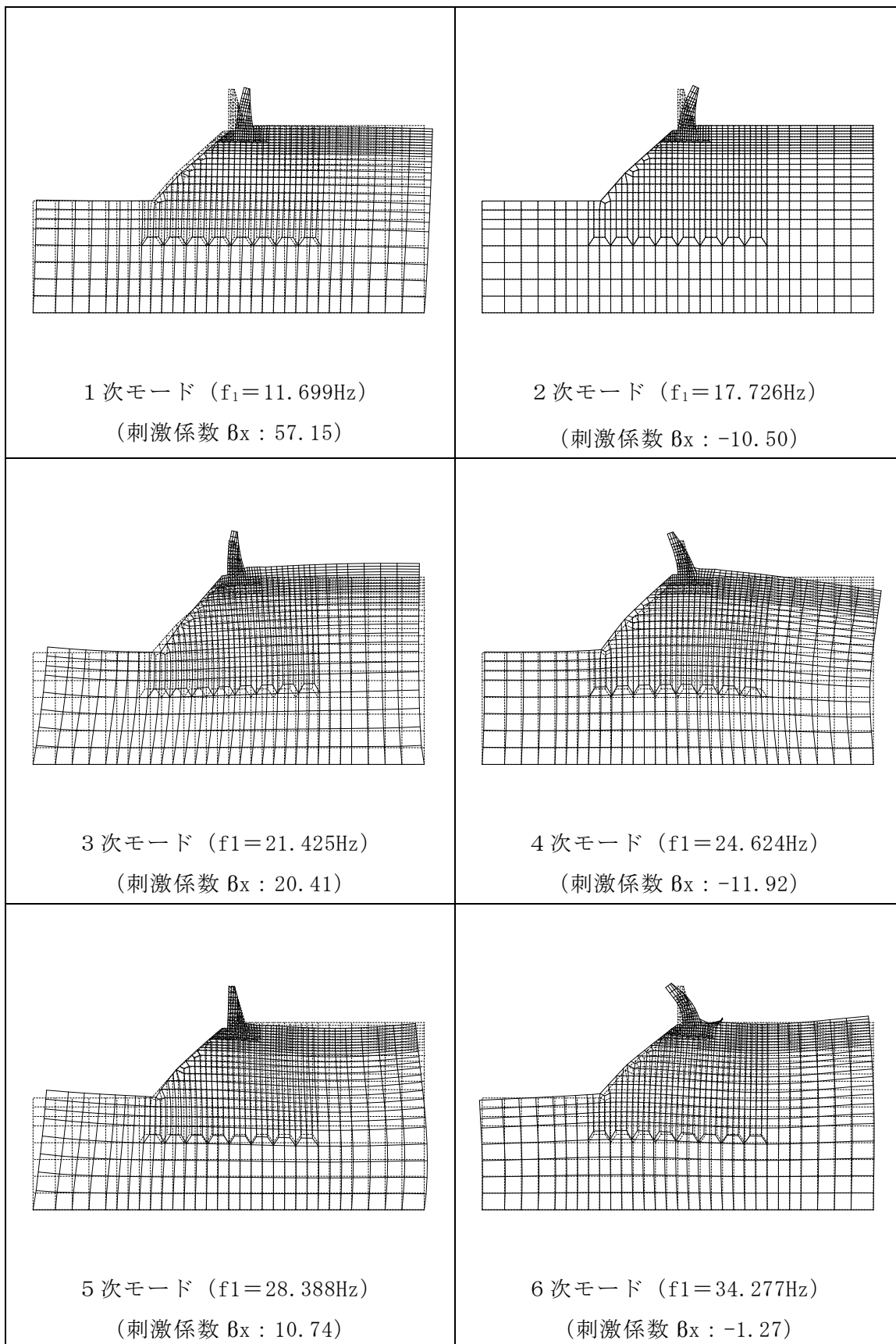


図 4.1.4-2(1) 固有値解析結果 (モード図)

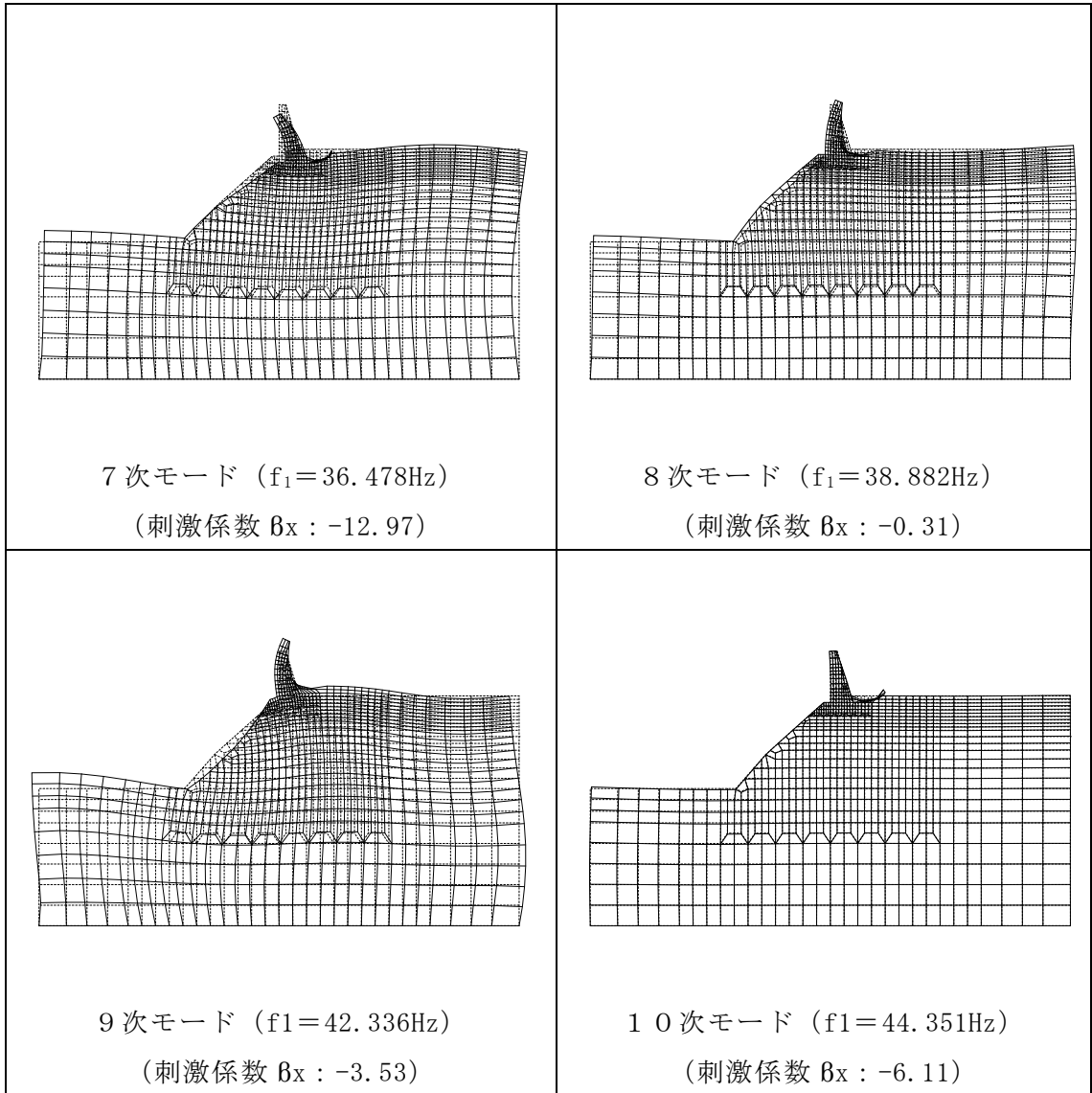


図 4.1.4-2(2) 固有値解析結果 (モード図)

表 4.1.4-2 Rayleigh 減衰における係数 α , β の設定結果
(解析手法：全応力解析)

評価対象断面	α	β
⑤-⑤断面	2.916	2.852×10^{-4}

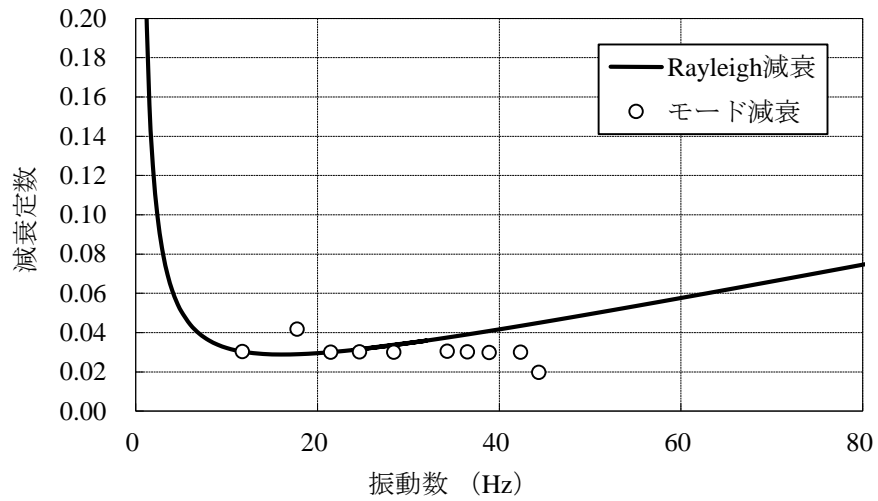


図 4.1.4-3 設定した Rayleigh 減衰

4.1.5 解析ケース

耐震評価においては、すべての評価対象断面及び基準地震動 S_s に対し、解析ケース①（基本ケース）を実施する。すべての基準地震動 S_s に対して実施したケース①の解析において、各照査値が最も厳しい地震動を用いて、解析ケース②及び③を実施する。

耐震評価における解析ケースを表 4.1.5-1 に示す。

表 4.1.5-1 耐震評価における解析ケース

解析ケース		ケース①	ケース②	ケース③
		基本ケース	地盤物性のばらつき (+1 σ) を考慮した解析ケース	地盤物性のばらつき (-1 σ) を考慮した解析ケース
地盤物性		平均値	平均値 + 1 σ	平均値 - 1 σ
地震動 (位相)	$S_s - D$	(++)*	○	基準地震動 S_s (6波) に位相反転を考慮した地震動 (6波) を加えた全 12 波に対し、ケース① (基本ケース) を実施し、曲げ・軸力系の破壊、せん断破壊及び基礎地盤の支持力照査の各照査項目に対して、最も厳しい (許容限界に対する裕度が最も小さい) 地震動を用いてケース②及び③を実施する。 すべての照査項目の照査値がいずれも 0.5 以下の場合、照査値が最も厳しくなる地震動を用いてケース②及び③を実施する。
		(-+)*	○	
		(+-)*	○	
		(--)*	○	
	$S_s - F1$	(++)*	○	
	$S_s - F2$	(++)*	○	
	$S_s - N1$	(++)*	○	
		(-+)*	○	
	$S_s - N2$ (NS)	(++)*	○	
		(-+)*	○	
$S_s - N2$ (EW)	(++)*	○		
	(-+)*	○		

注記*：地震動の位相について、(++) の左側は水平動，右側は鉛直動を表し，「-」は位相を反転させたケースを示す。

4.1.6 入力地震動

入力地震動は、VI-2-1-6「地震応答解析の基本方針」のうち「2.3 屋外重要土木構造物」に示す入力地震動の設定方針を踏まえて設定する。

地震応答解析に用いる入力地震動は、解放基盤表面で定義される基準地震動 S_s を一次元波動論により地震応答解析モデル下端位置で評価したものをを用いる。なお、入力地震動の設定に用いる地下構造モデルは、VI-2-1-3「地盤の支持性能に係る基本方針」のうち「7.1 入力地震動の設定に用いる地下構造モデル」を用いる。

図 4.1.6-1 に入力地震動算定の概念図を、図 4.1.6-2～図 4.1.6-61 に入力地震動の加速度時刻歴波形及び加速度応答スペクトルを示す。入力地震動の算定には、解析コード「SHAKE」を使用する。解析コードの検証及び妥当性確認の概要については、VI-5「計算機プログラム(解析コード)の概要」に示す。

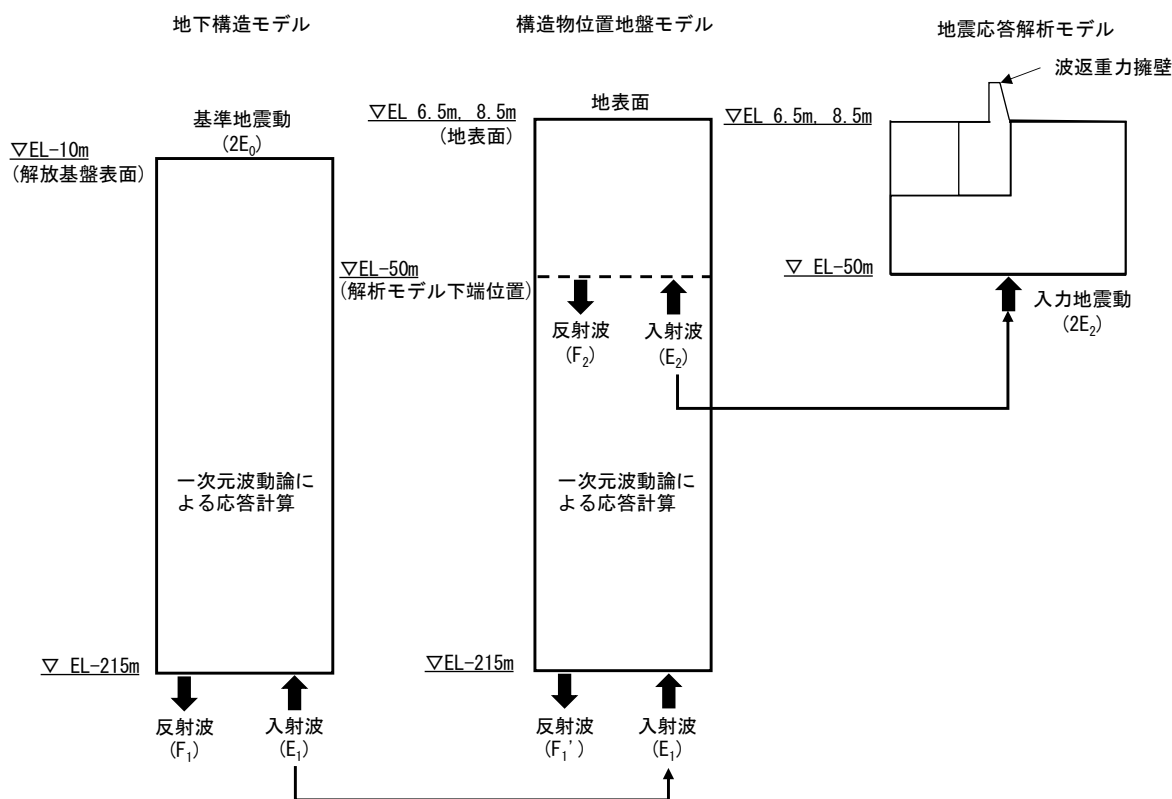
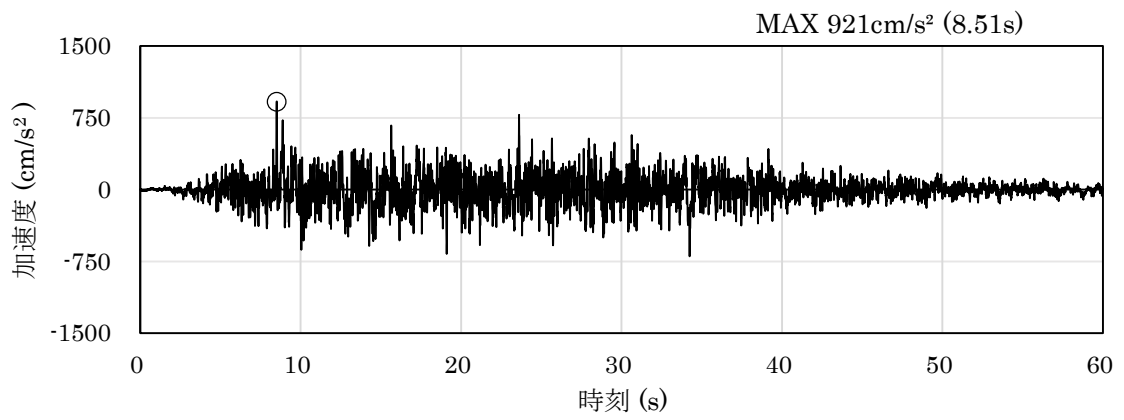
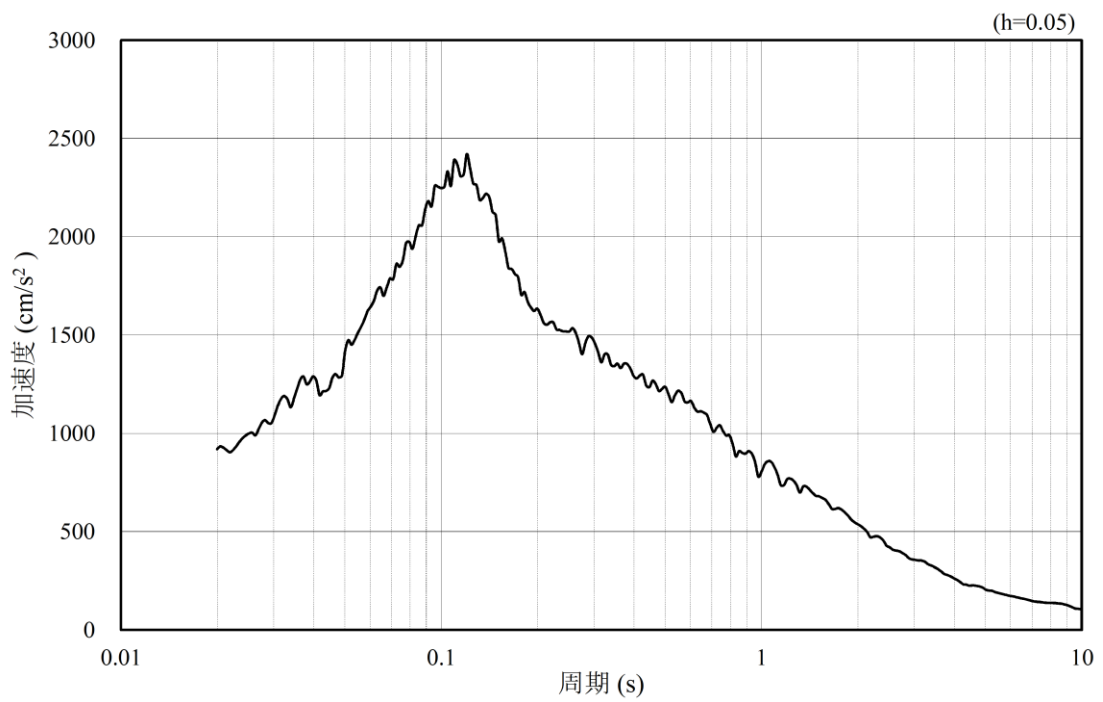


図 4.1.6-1 入力地震動算定の概念図

(1) ②-②断面

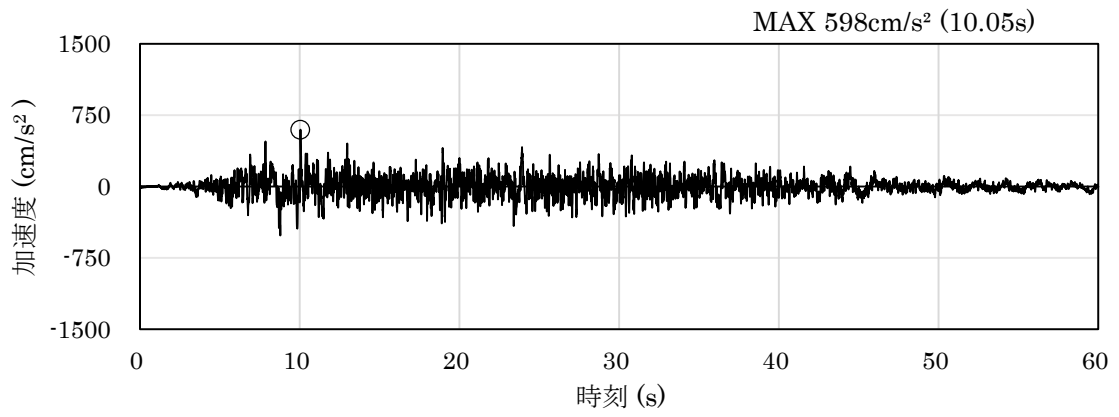


(a) 加速度時刻歴波形

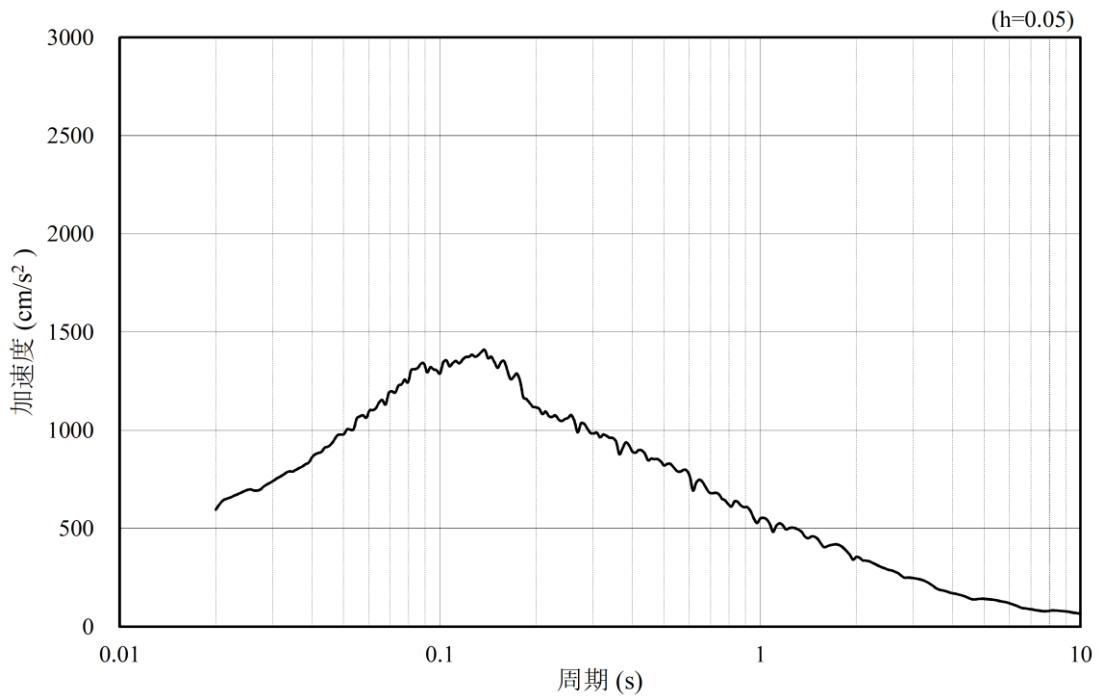


(b) 加速度応答スペクトル

図 4.1.6-2 入力地震動の加速度時刻歴波形及び加速度応答スペクトル
(水平成分 : S s - D)

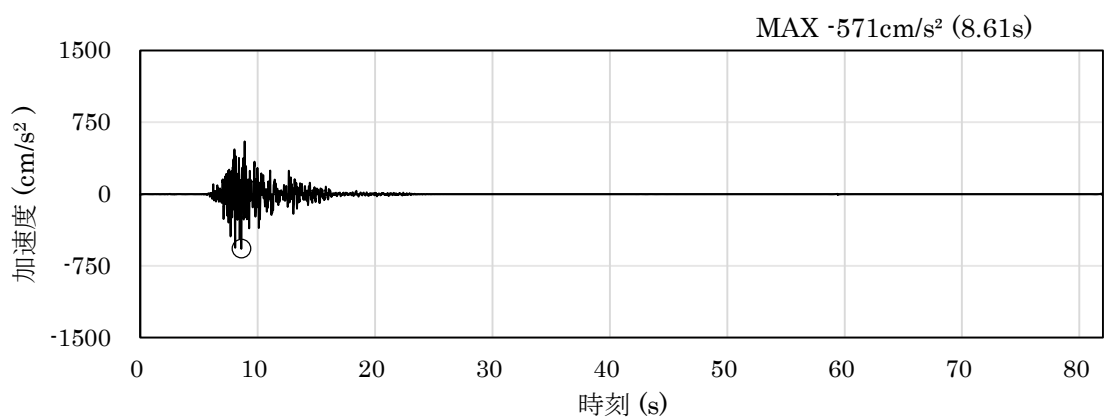


(a) 加速度時刻歴波形

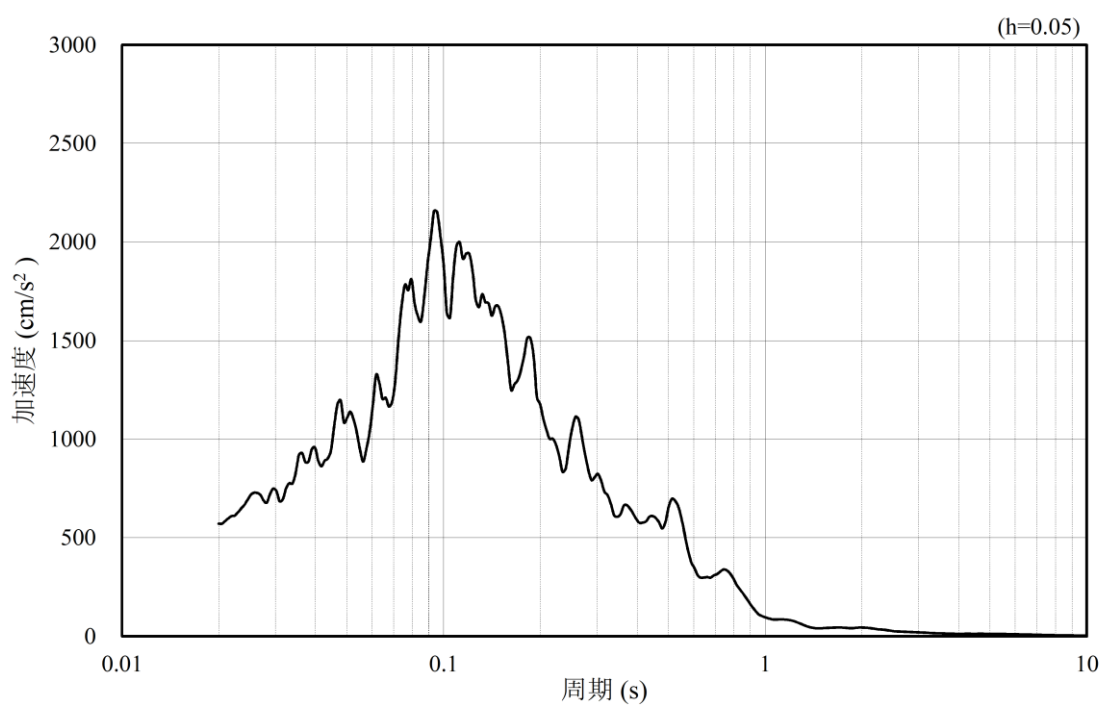


(b) 加速度応答スペクトル

図 4.1.6-3 入力地震動の加速度時刻歴波形及び加速度応答スペクトル
(鉛直成分：S s - D)

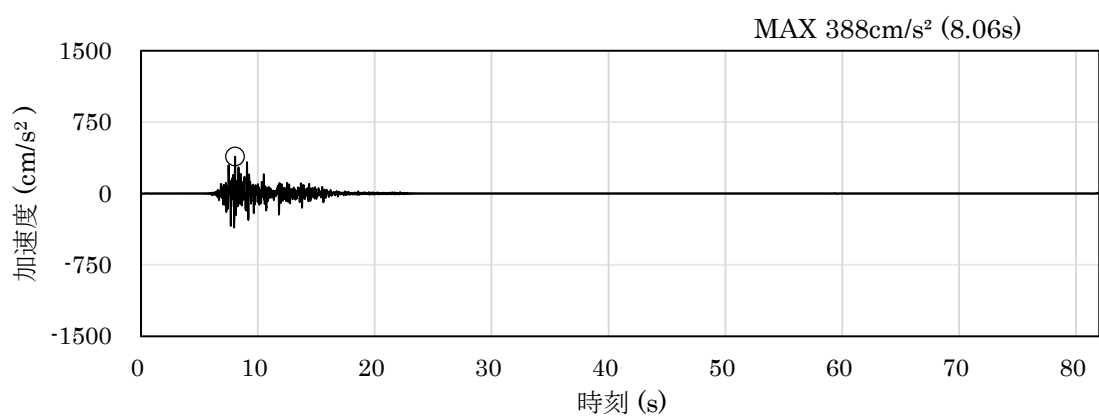


(a) 加速度時刻歴波形

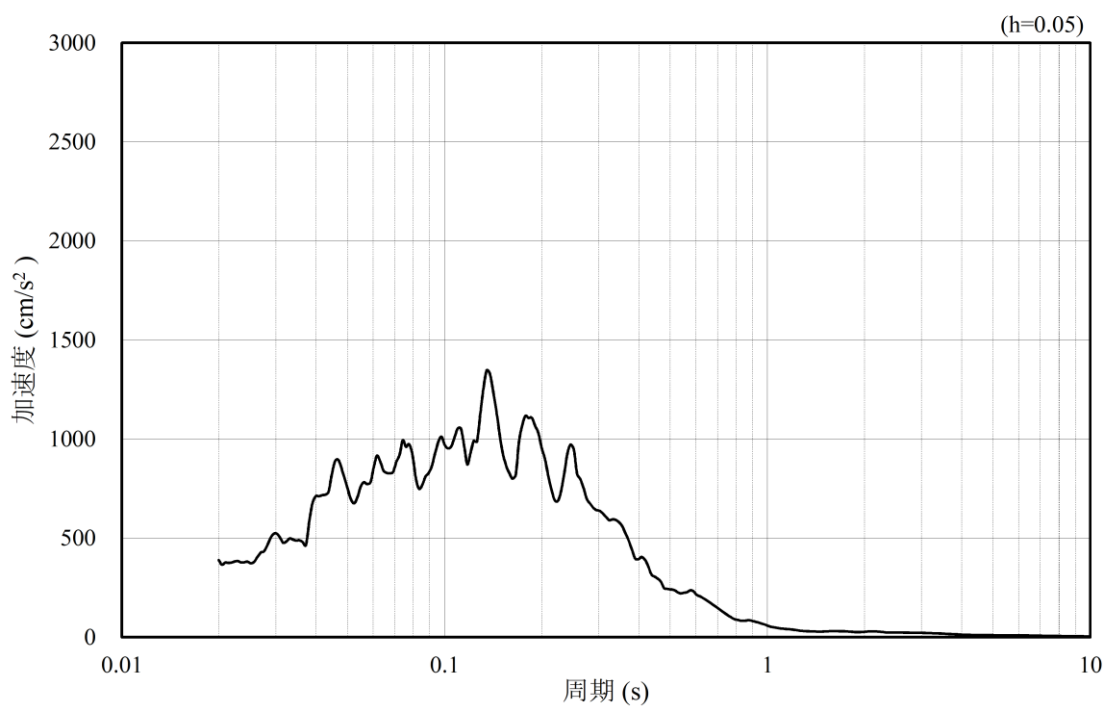


(b) 加速度応答スペクトル

図 4.1.6-4 入力地震動の加速度時刻歴波形及び加速度応答スペクトル
(水平成分 : S s - F 1)

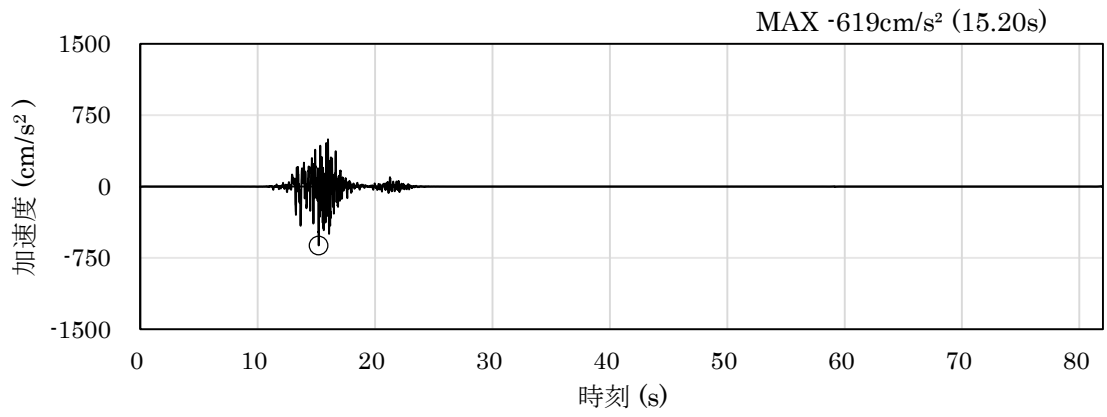


(a) 加速度時刻歴波形

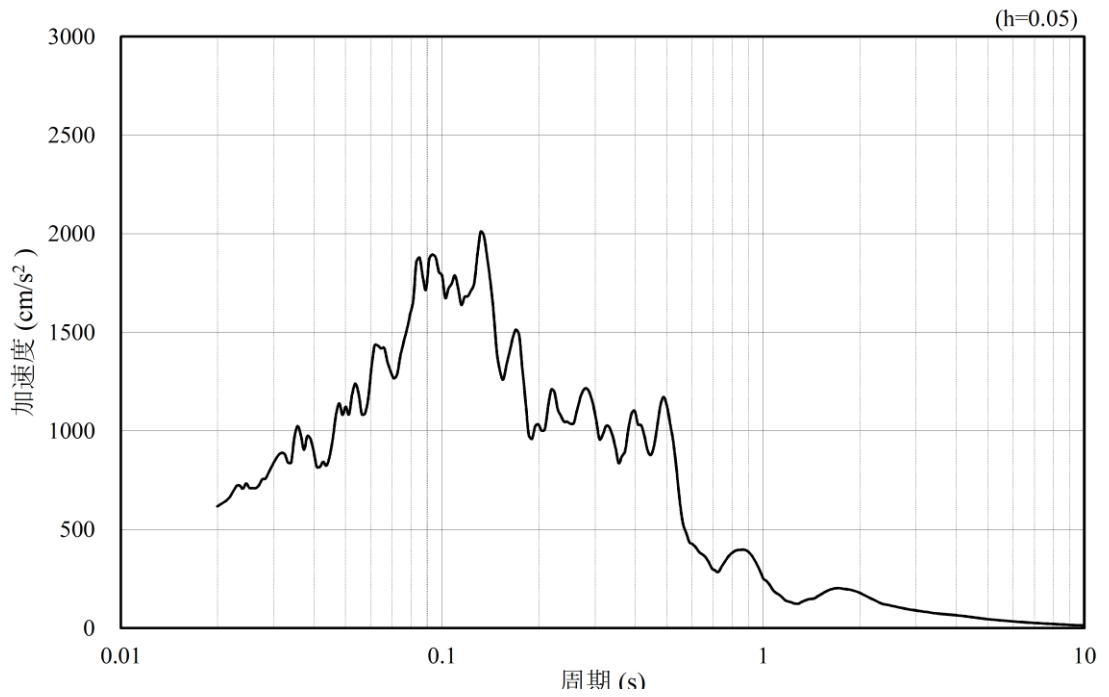


(b) 加速度応答スペクトル

図 4.1.6-5 入力地震動の加速度時刻歴波形及び加速度応答スペクトル
(鉛直成分：S s - F 1)

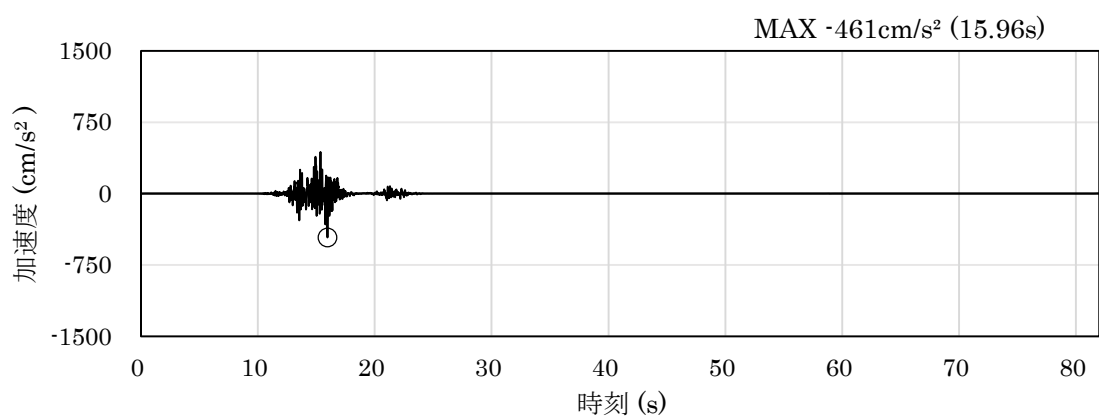


(a) 加速度時刻歴波形

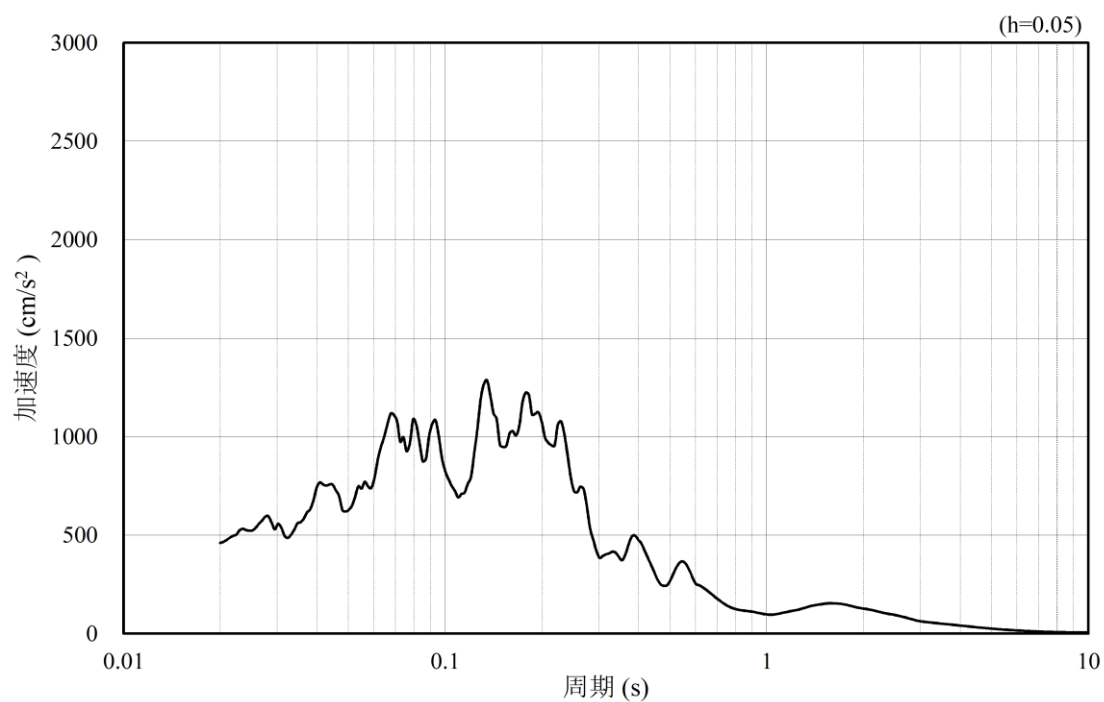


(b) 加速度応答スペクトル

図 4.1.6-6 入力地震動の加速度時刻歴波形及び加速度応答スペクトル
(水平成分：S_s-F2)

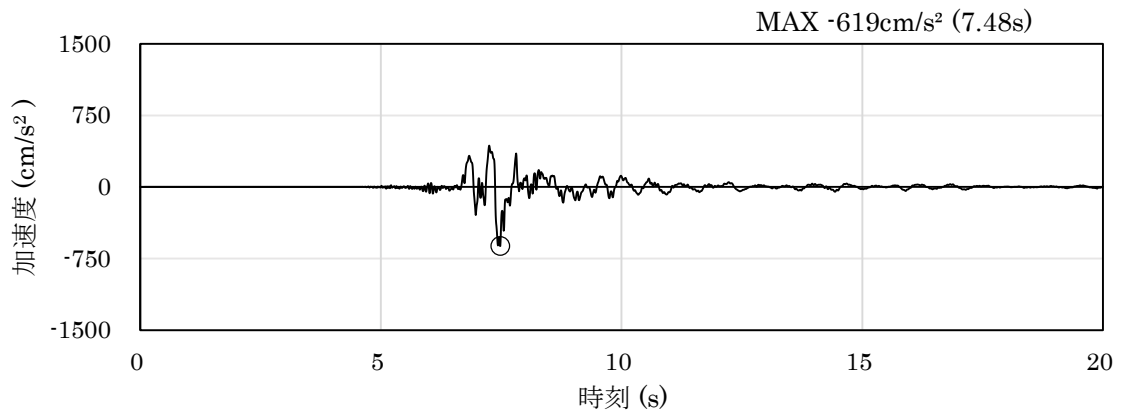


(a) 加速度時刻歴波形

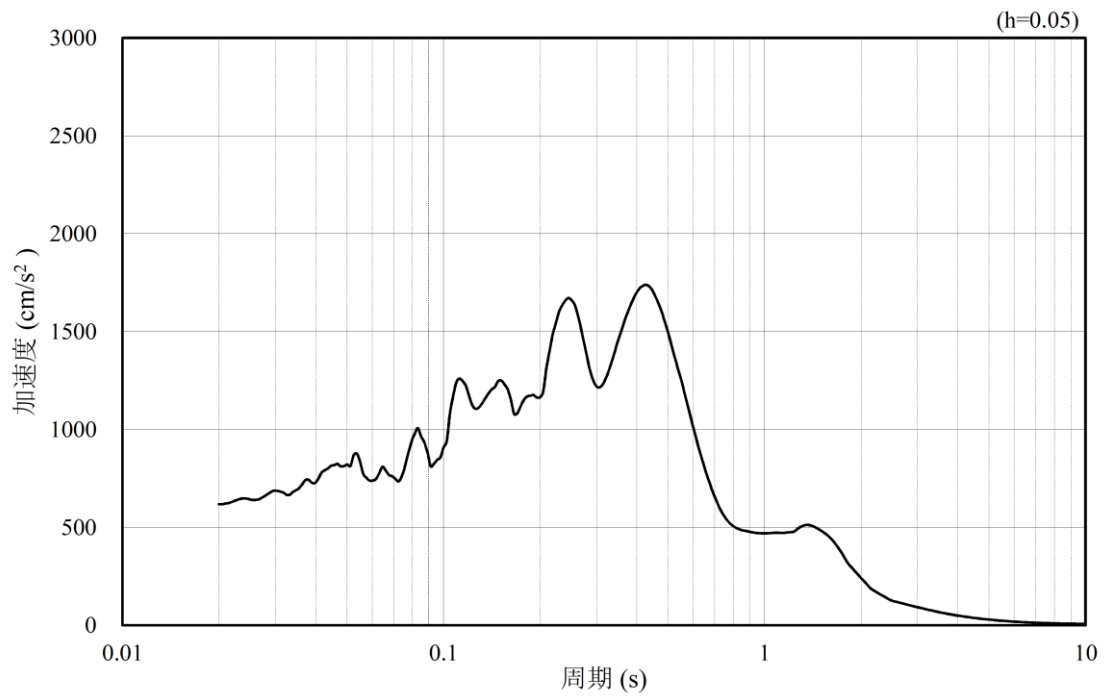


(b) 加速度応答スペクトル

図 4.1.6-7 入力地震動の加速度時刻歴波形及び加速度応答スペクトル
(鉛直成分：S s - F 2)

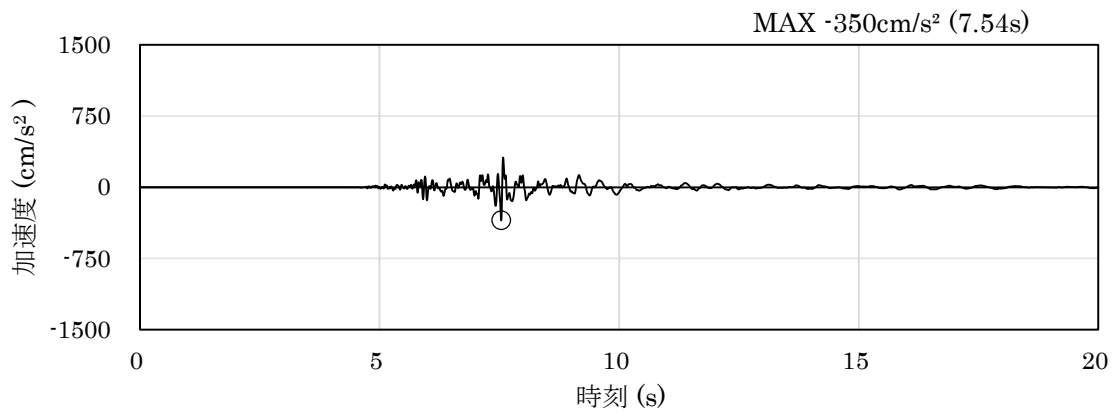


(a) 加速度時刻歴波形

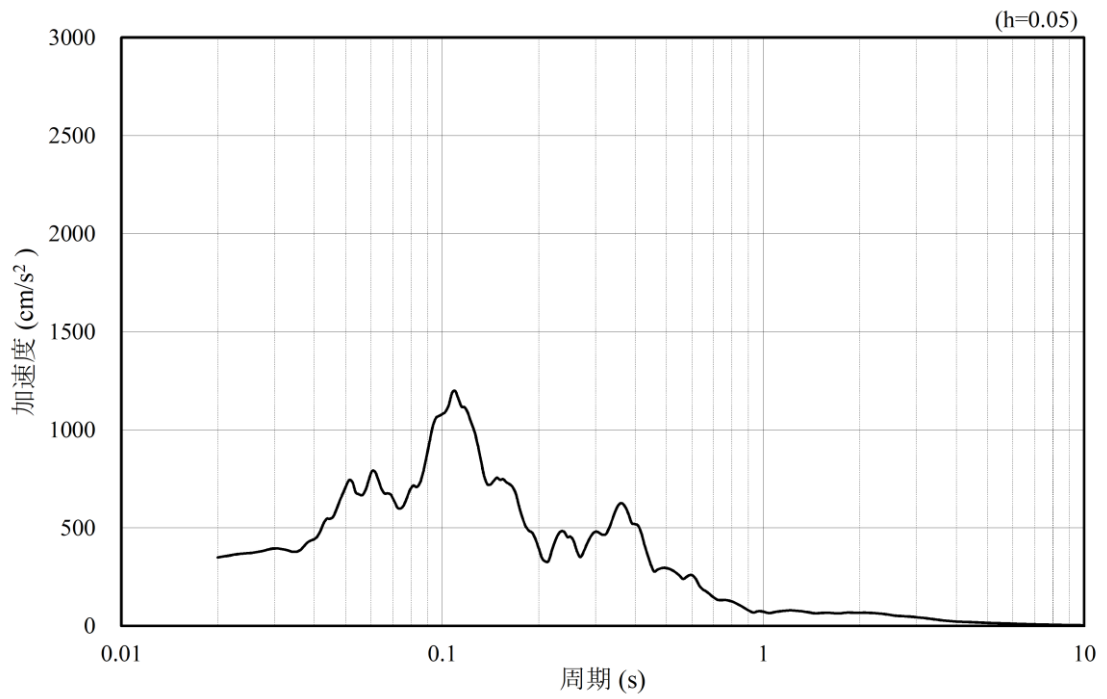


(b) 加速度応答スペクトル

図 4.1.6-8 入力地震動の加速度時刻歴波形及び加速度応答スペクトル
(水平成分：S s - N 1)

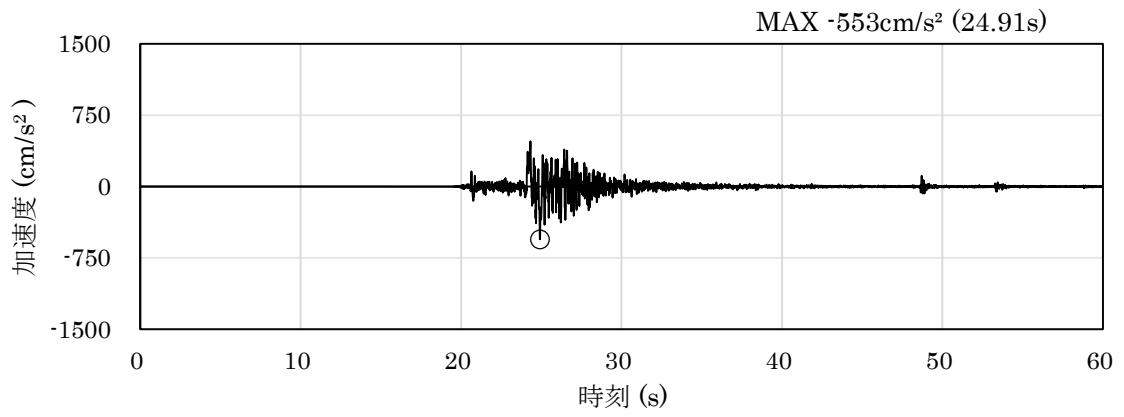


(a) 加速度時刻歴波形

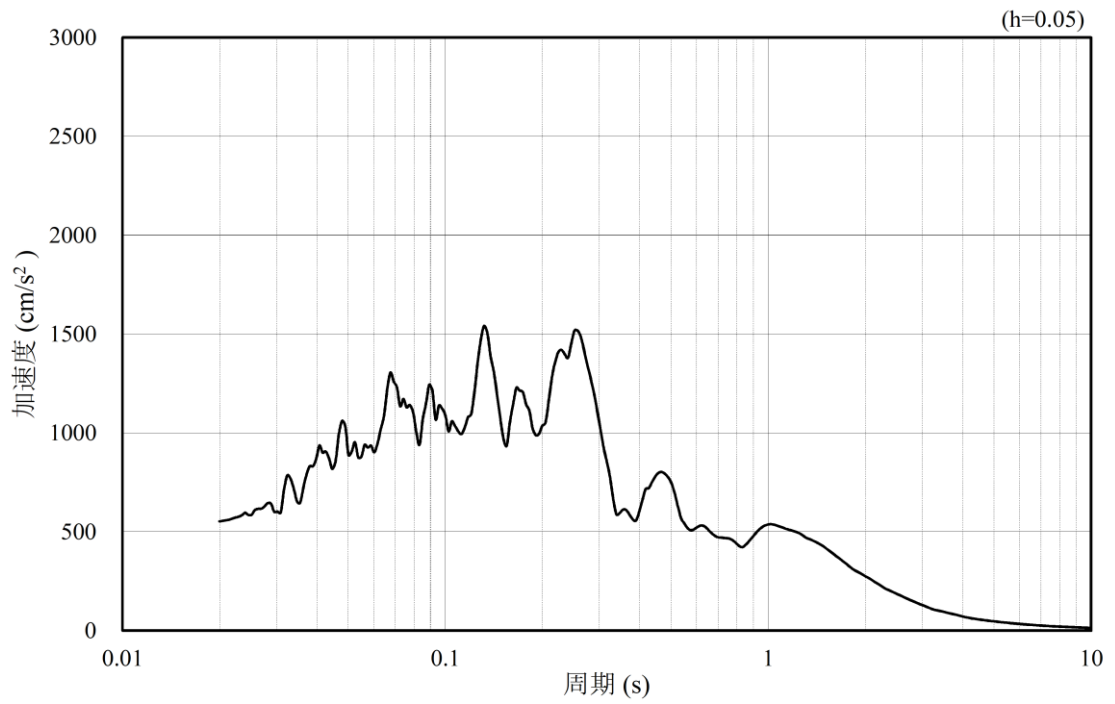


(b) 加速度応答スペクトル

図 4.1.6-9 入力地震動の加速度時刻歴波形及び加速度応答スペクトル
(鉛直成分：S_s-N1)

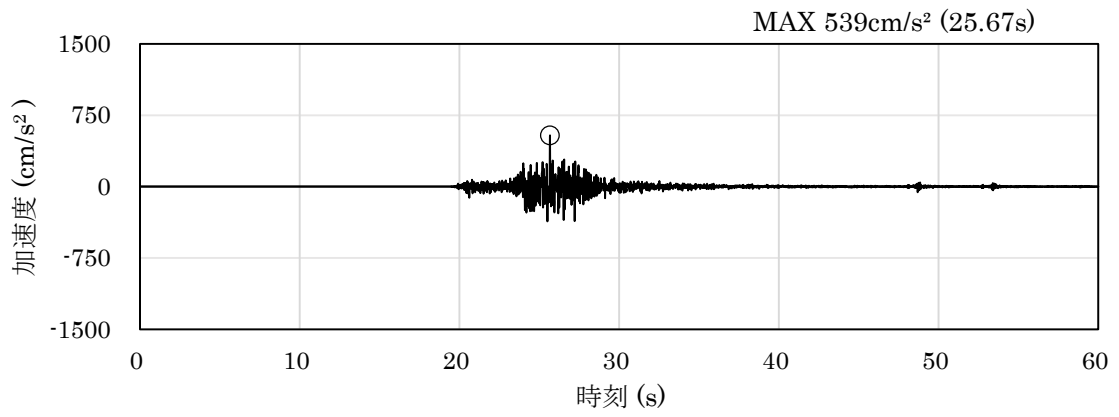


(a) 加速度時刻歴波形

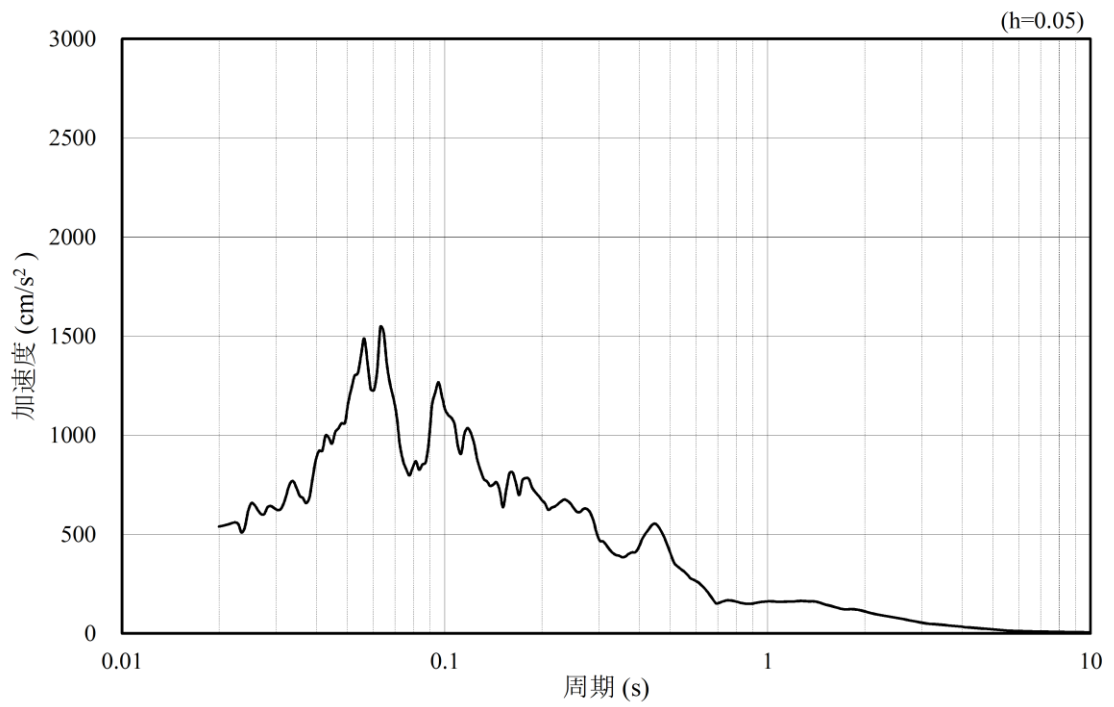


(b) 加速度応答スペクトル

図 4.1.6-10 入力地震動の加速度時刻歴波形及び加速度応答スペクトル
(水平成分：S_s-N₂，NS方向)

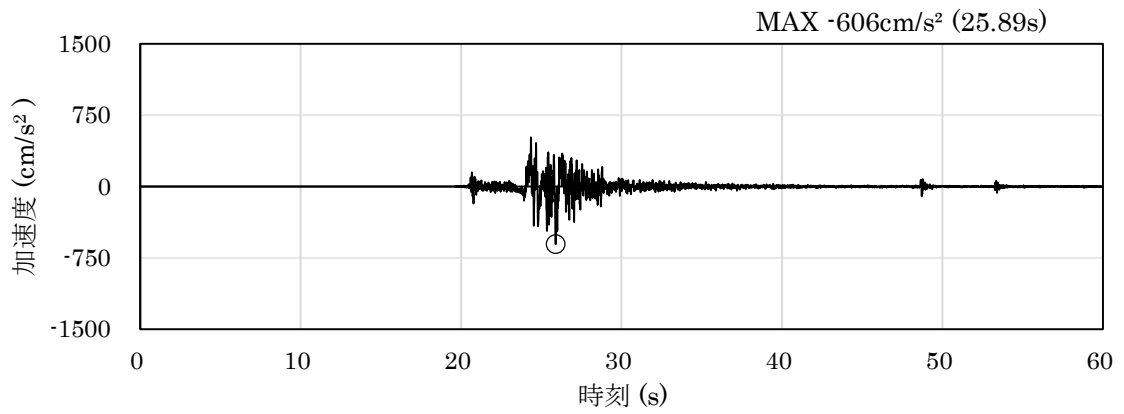


(a) 加速度時刻歴波形

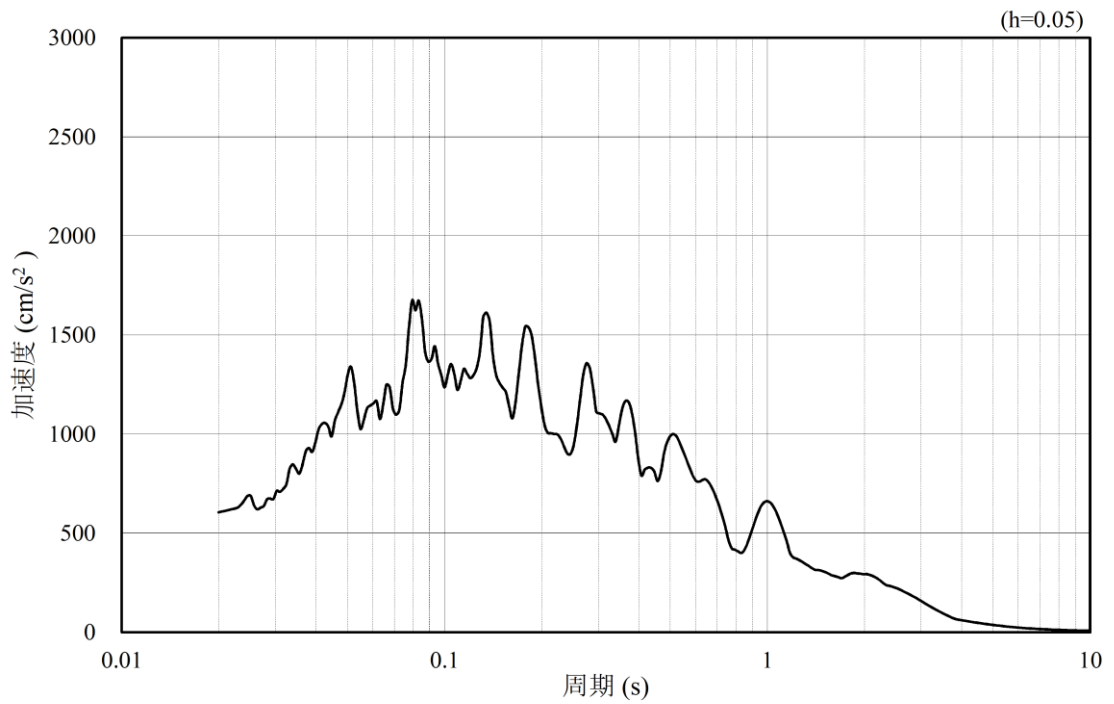


(b) 加速度応答スペクトル

図 4.1.6-11 入力地震動の加速度時刻歴波形及び加速度応答スペクトル
(鉛直成分：S_s-N₂，NS方向)

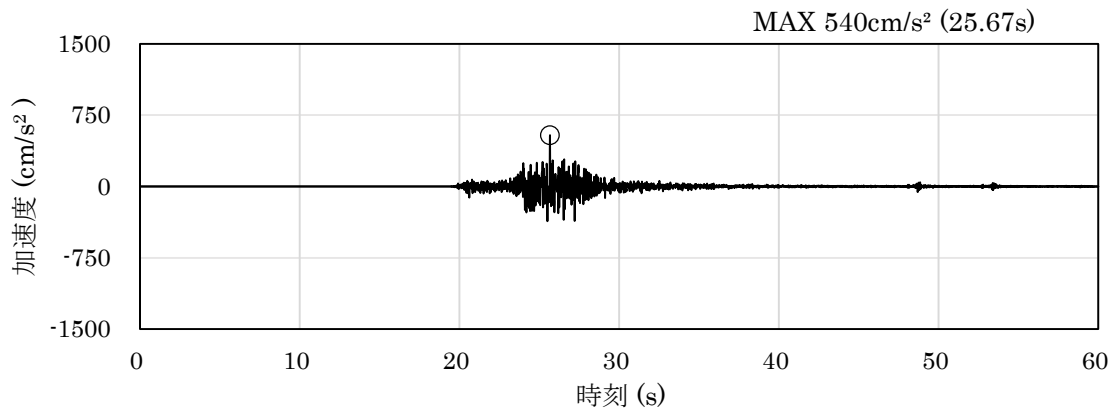


(a) 加速度時刻歴波形

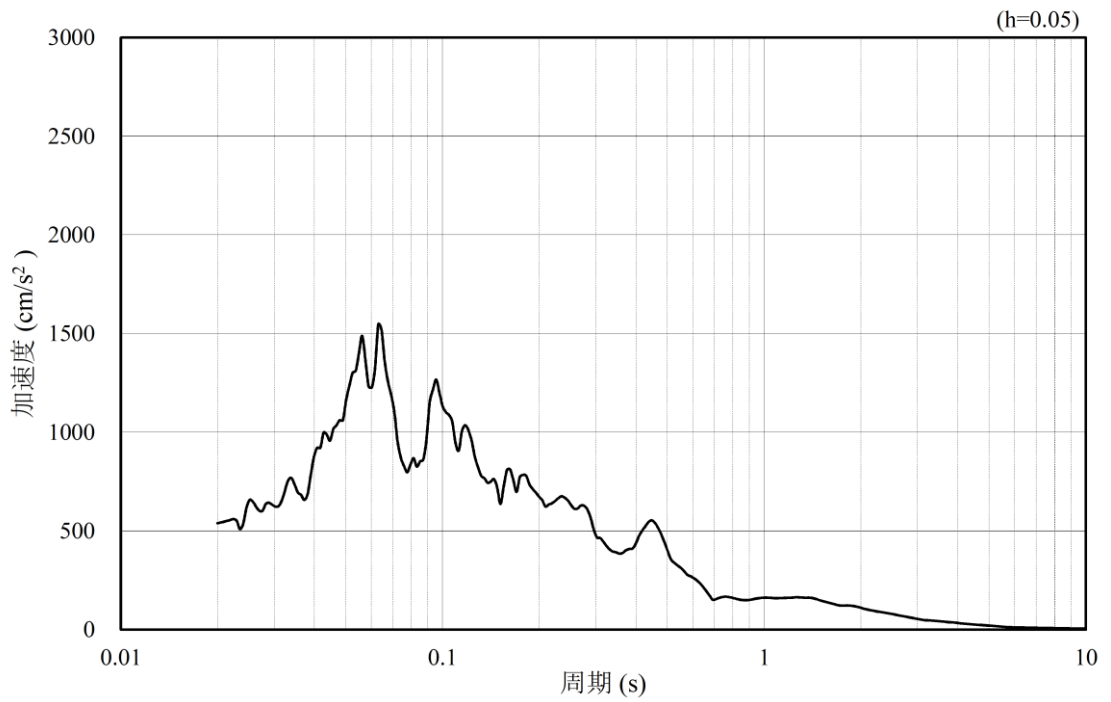


(b) 加速度応答スペクトル

図 4.1.6-12 入力地震動の加速度時刻歴波形及び加速度応答スペクトル
(水平成分：S_s-N₂，EW方向)



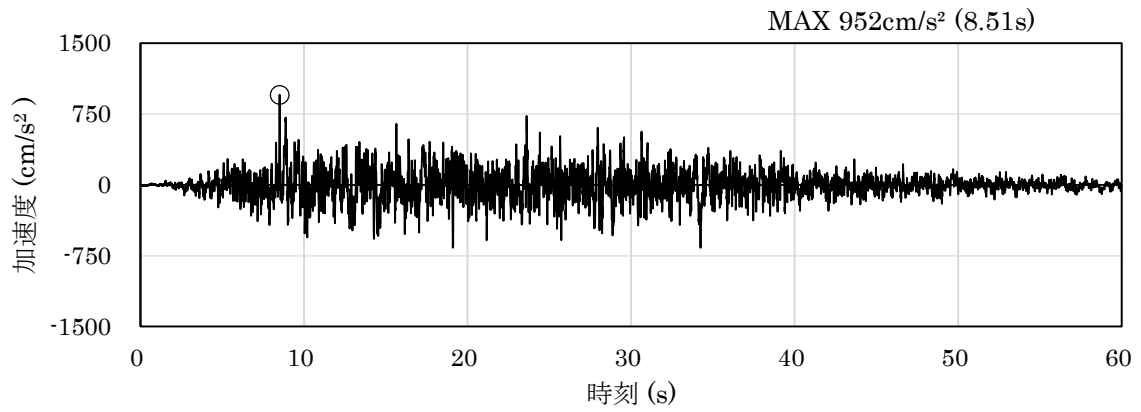
(a) 加速度時刻歴波形



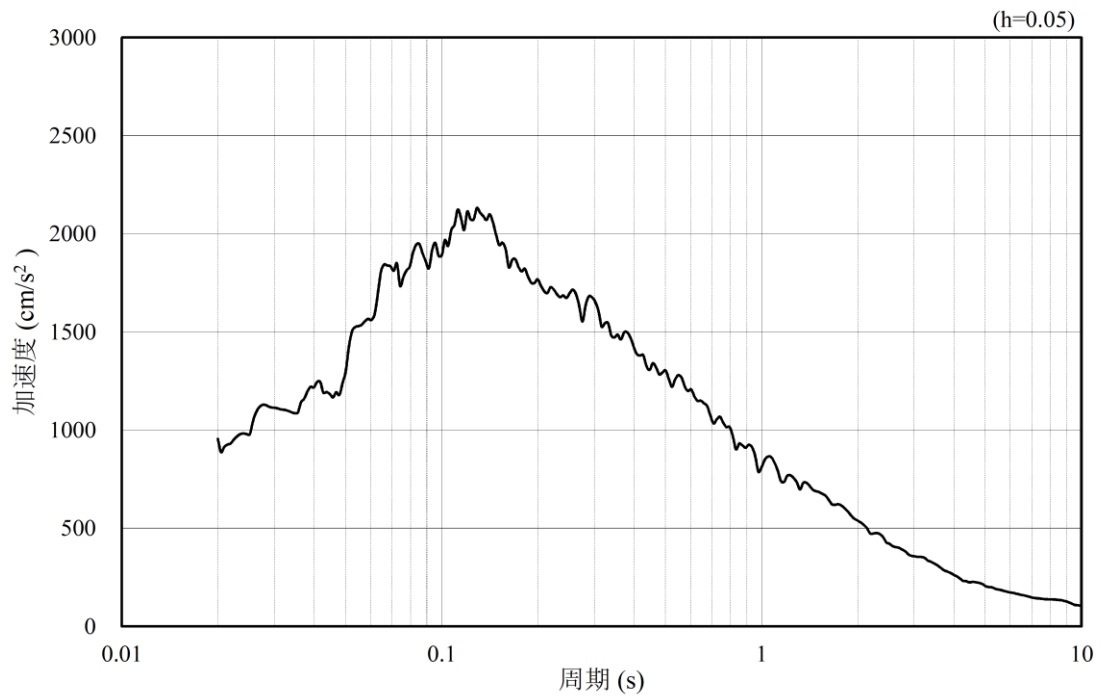
(b) 加速度応答スペクトル

図 4.1.6-13 入力地震動の加速度時刻歴波形及び加速度応答スペクトル
(鉛直成分：S_s-N2, EW方向)

(2) ③-③断面

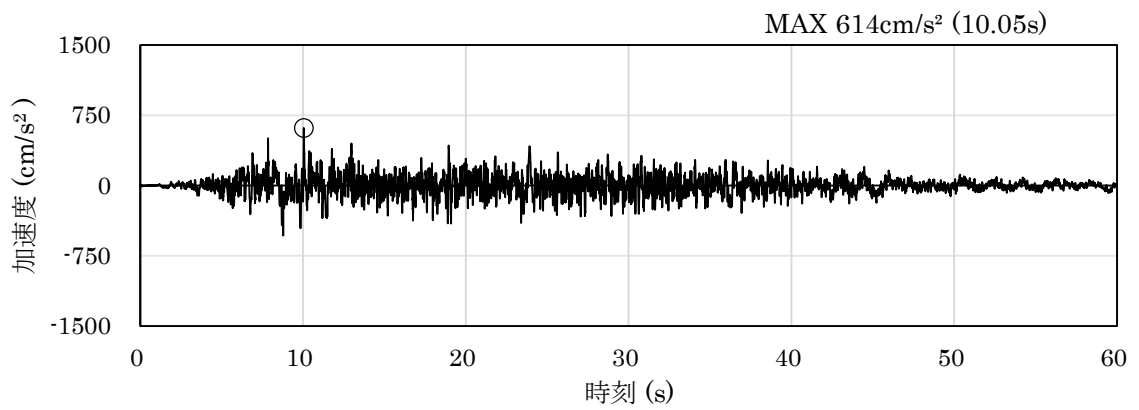


(a) 加速度時刻歴波形

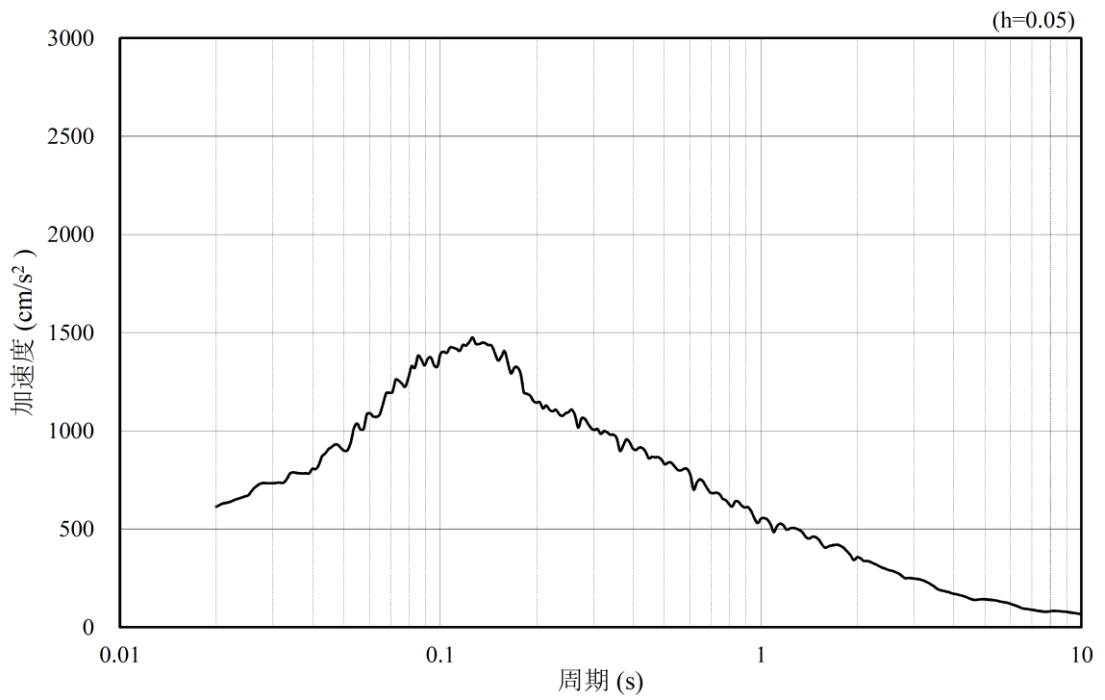


(b) 加速度応答スペクトル

図 4.1.6-14 入力地震動の加速度時刻歴波形及び加速度応答スペクトル
(水平成分 : S s - D)

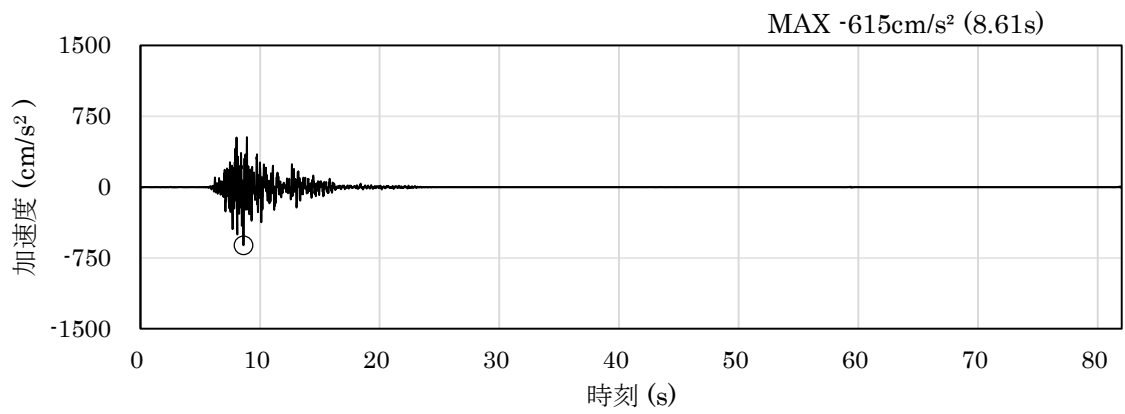


(a) 加速度時刻歴波形

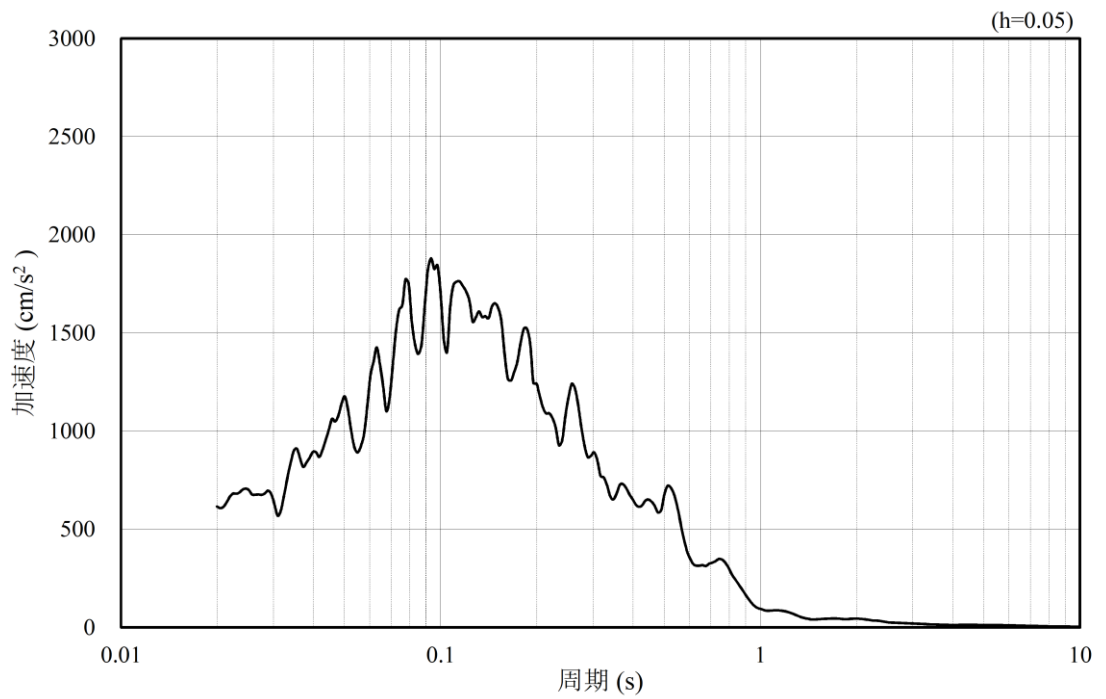


(b) 加速度応答スペクトル

図 4.1.6-15 入力地震動の加速度時刻歴波形及び加速度応答スペクトル
(鉛直成分：S s - D)

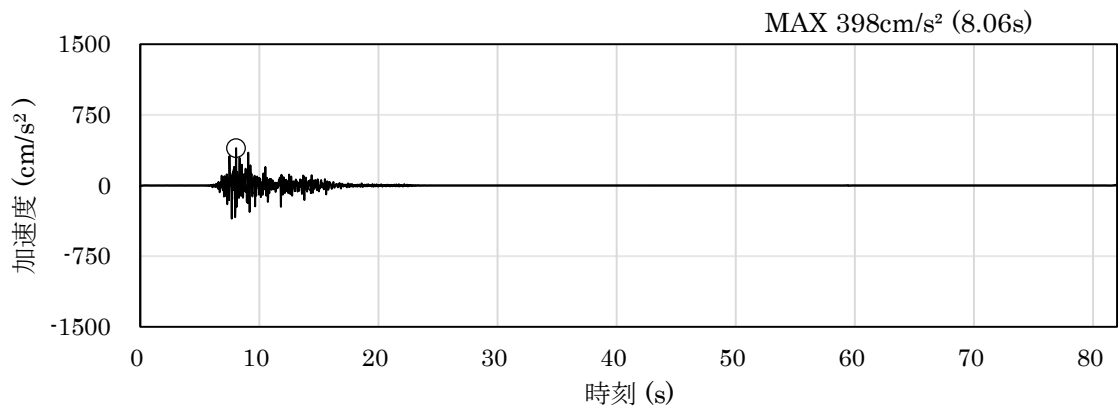


(a) 加速度時刻歴波形

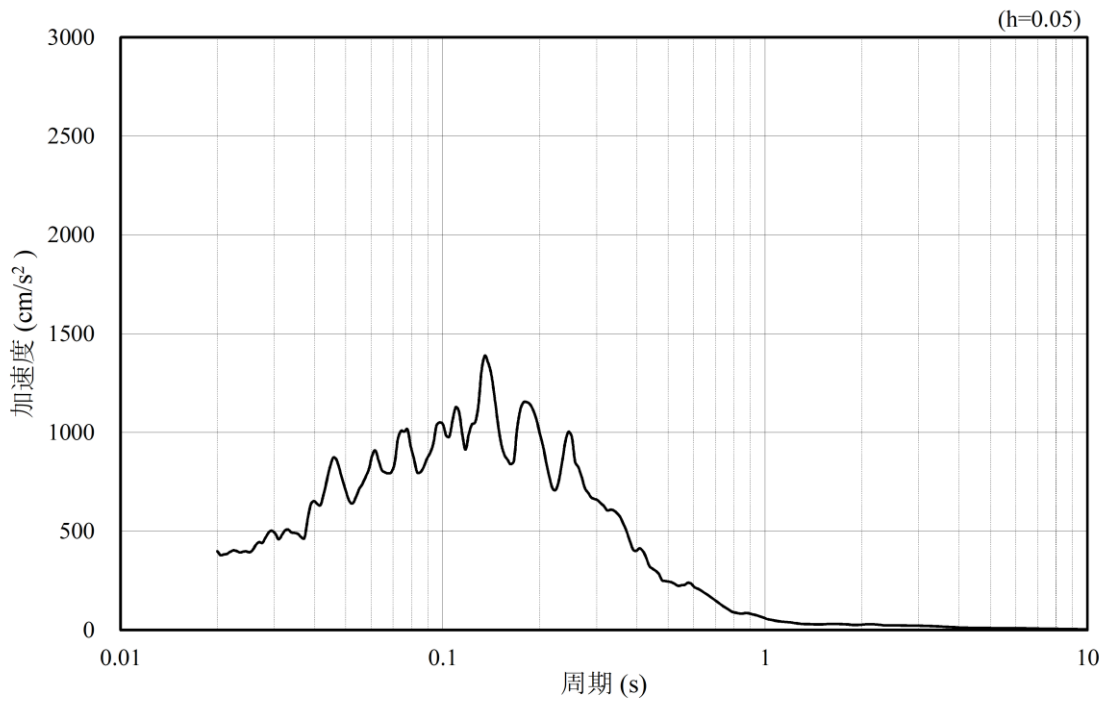


(b) 加速度応答スペクトル

図 4.1.6-16 入力地震動の加速度時刻歴波形及び加速度応答スペクトル
(水平成分 : S s - F 1)

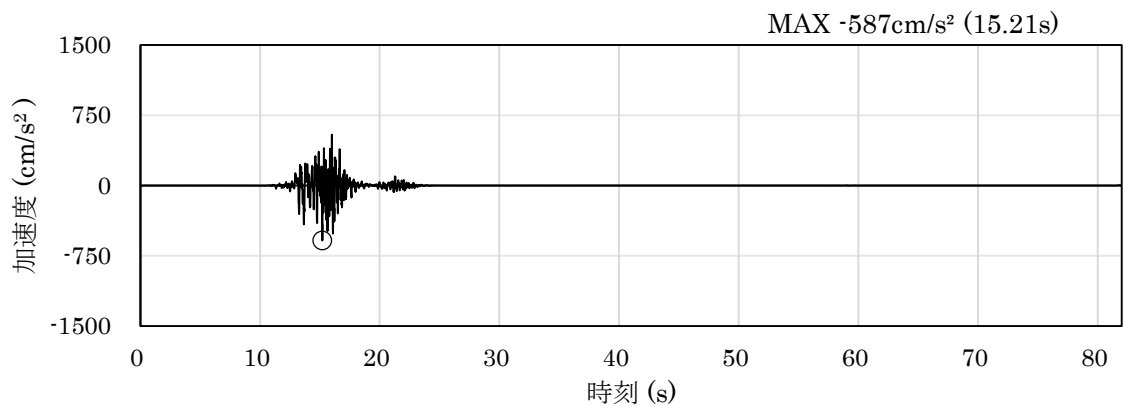


(a) 加速度時刻歴波形

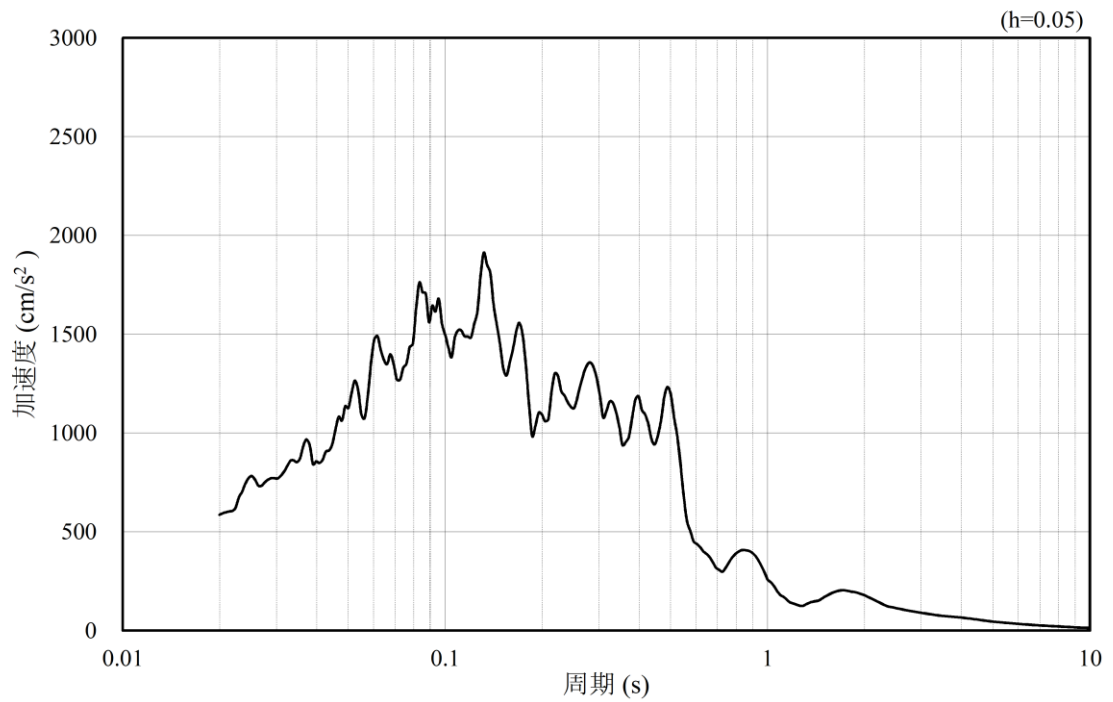


(b) 加速度応答スペクトル

図 4.1.6-17 入力地震動の加速度時刻歴波形及び加速度応答スペクトル
(鉛直成分：S s - F 1)

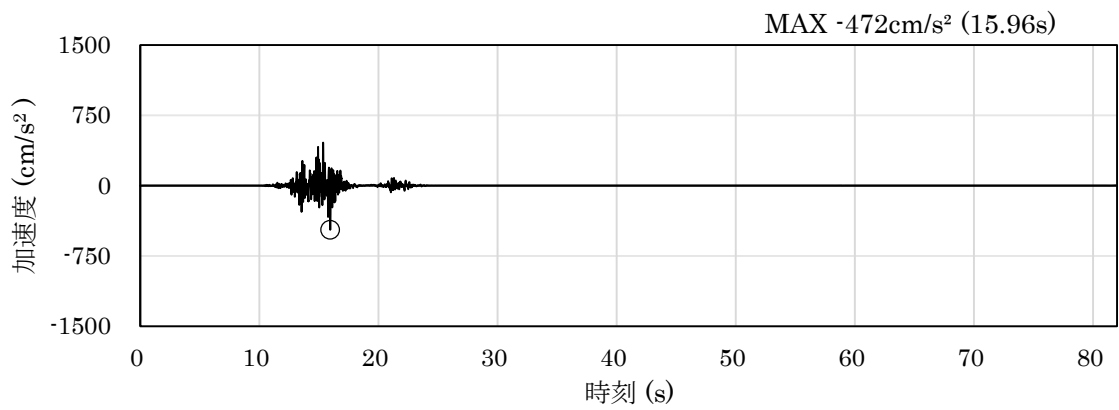


(a) 加速度時刻歴波形

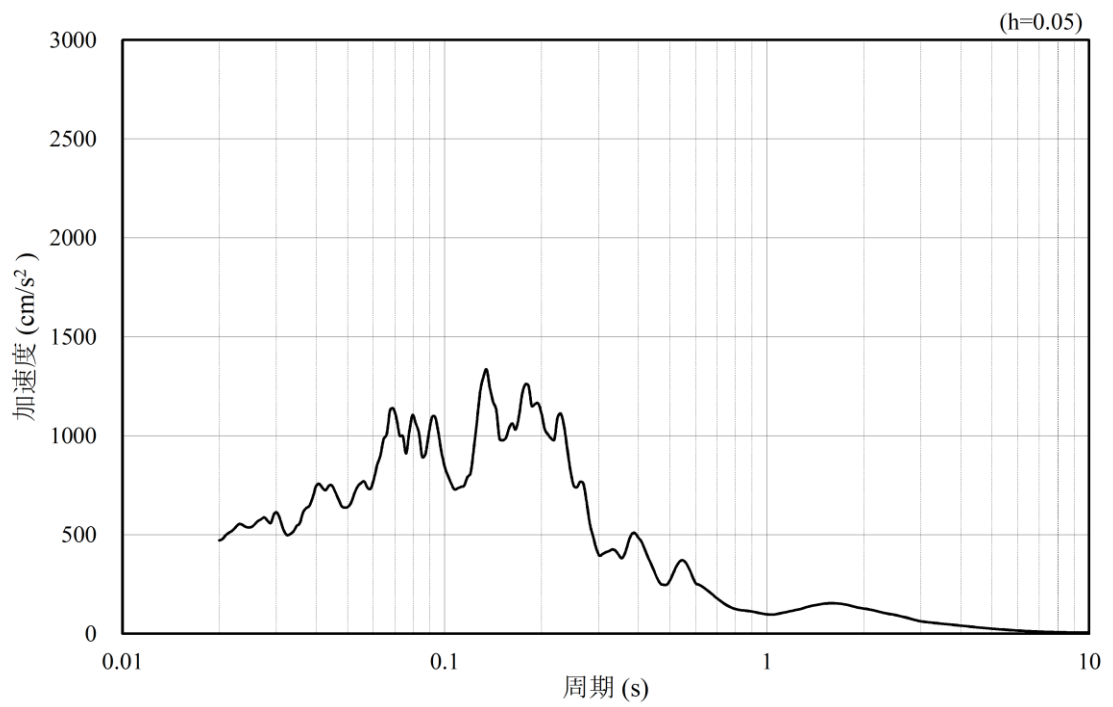


(b) 加速度応答スペクトル

図 4.1.6-18 入力地震動の加速度時刻歴波形及び加速度応答スペクトル
(水平成分：S_s-F2)

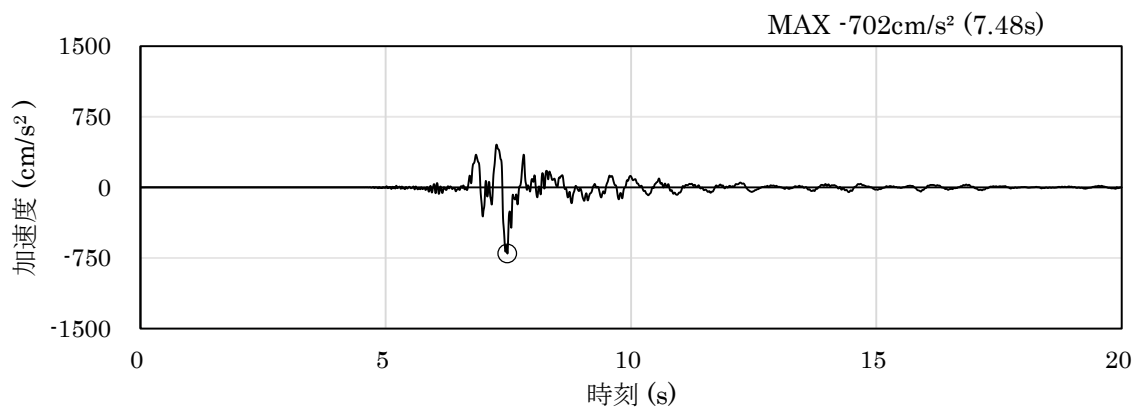


(a) 加速度時刻歴波形

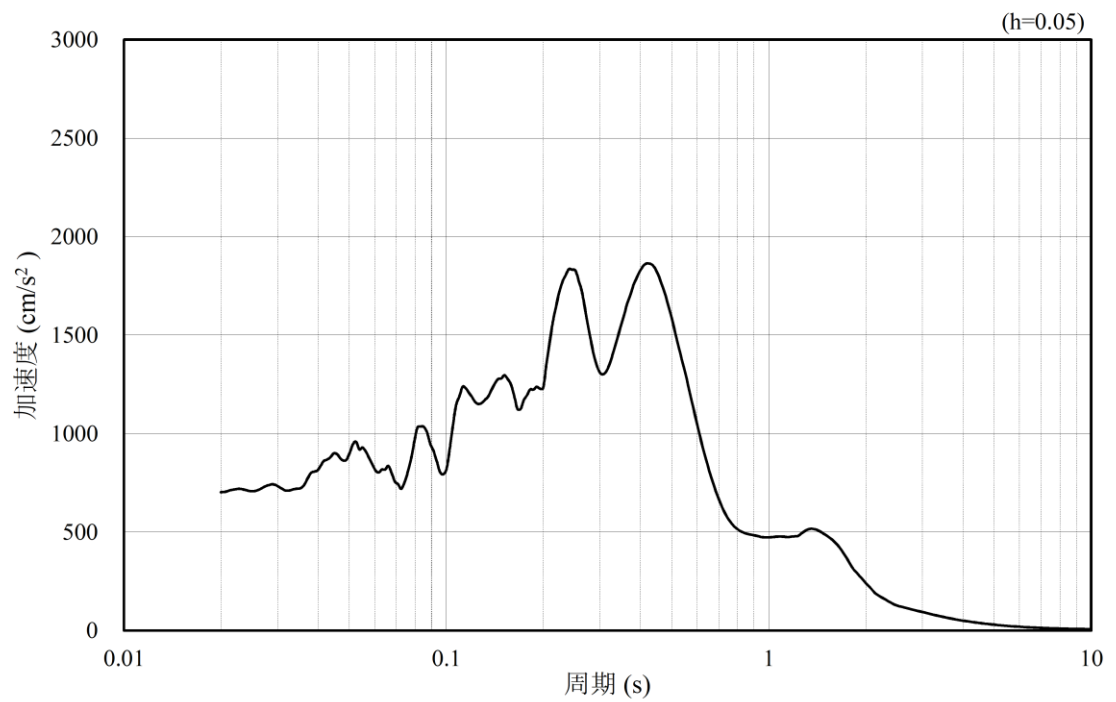


(b) 加速度応答スペクトル

図 4.1.6-19 入力地震動の加速度時刻歴波形及び加速度応答スペクトル
(鉛直成分：S_s-F2)

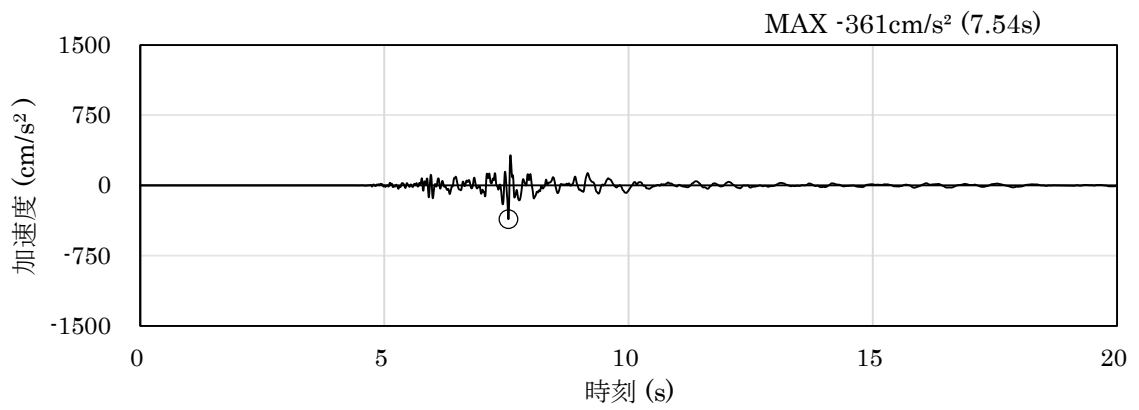


(a) 加速度時刻歴波形

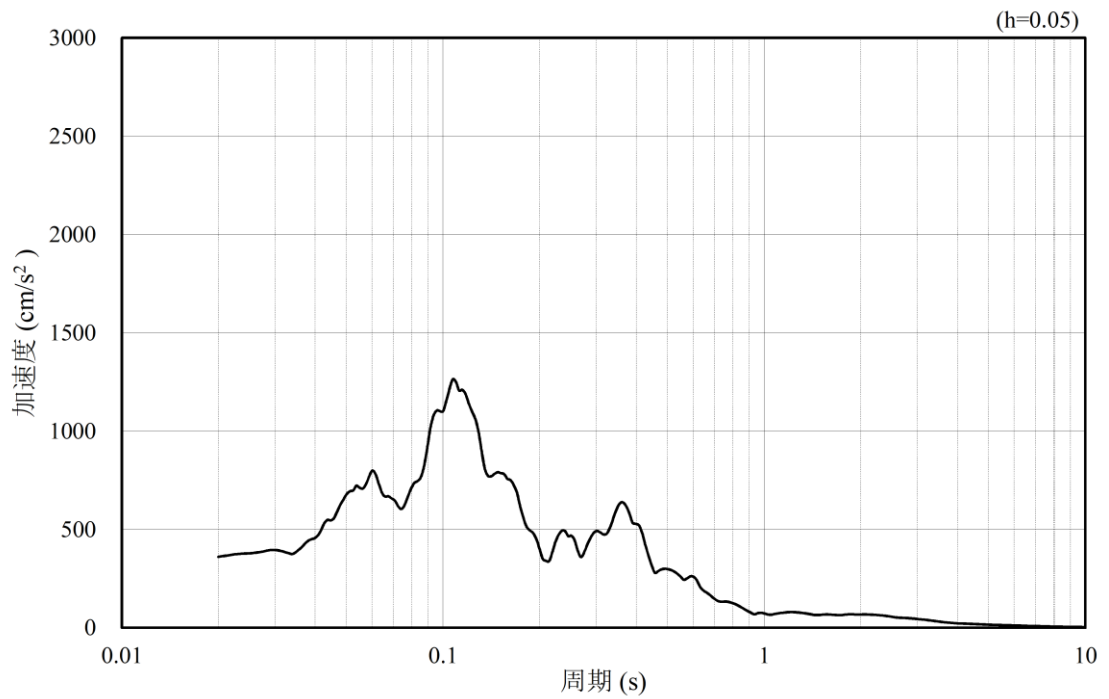


(b) 加速度応答スペクトル

図 4.1.6-20 入力地震動の加速度時刻歴波形及び加速度応答スペクトル
(水平成分：S s - N 1)

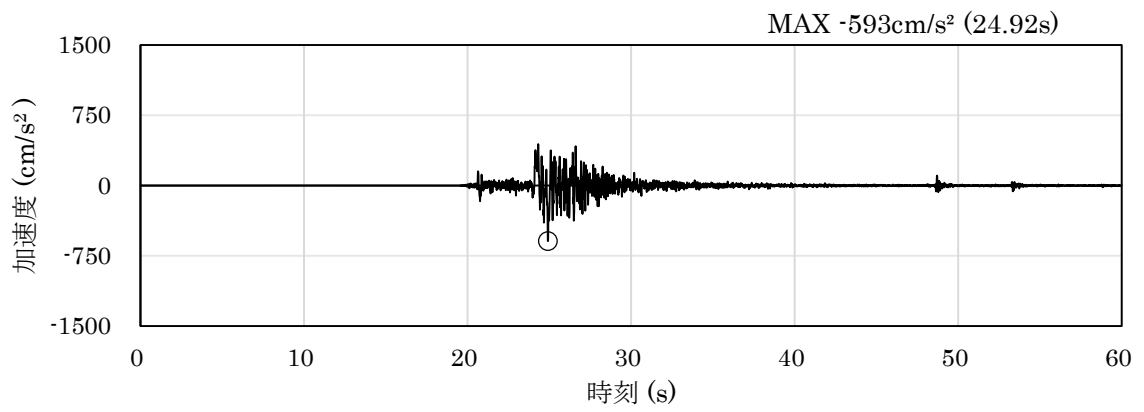


(a) 加速度時刻歴波形

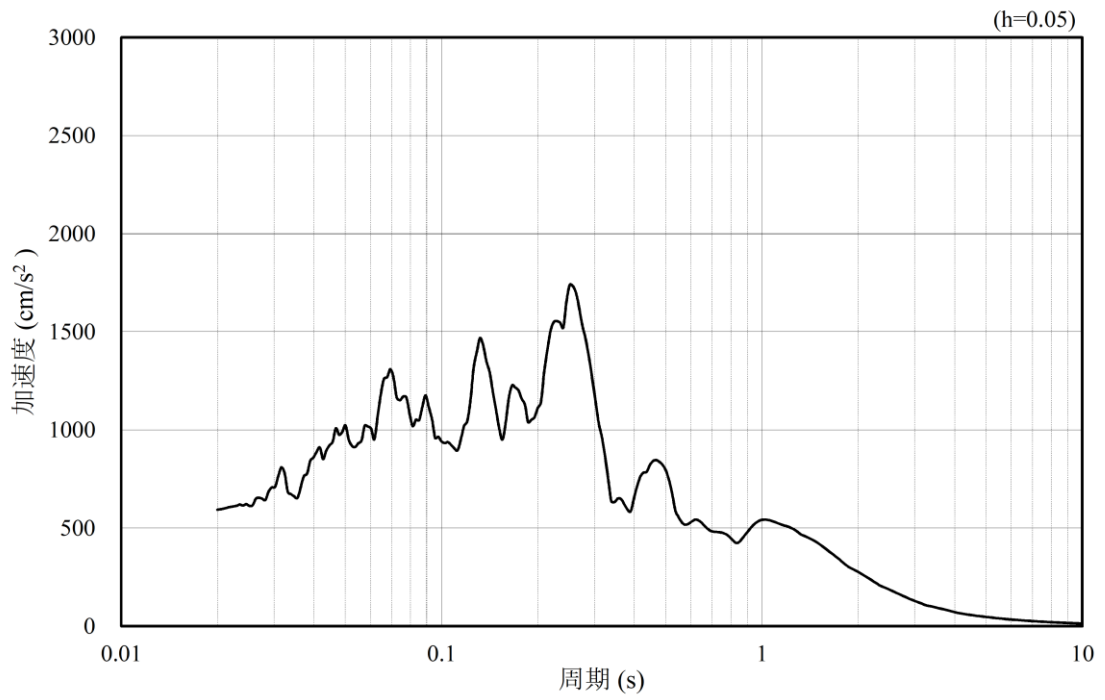


(b) 加速度応答スペクトル

図 4.1.6-21 入力地震動の加速度時刻歴波形及び加速度応答スペクトル
(鉛直成分：S s - N 1)

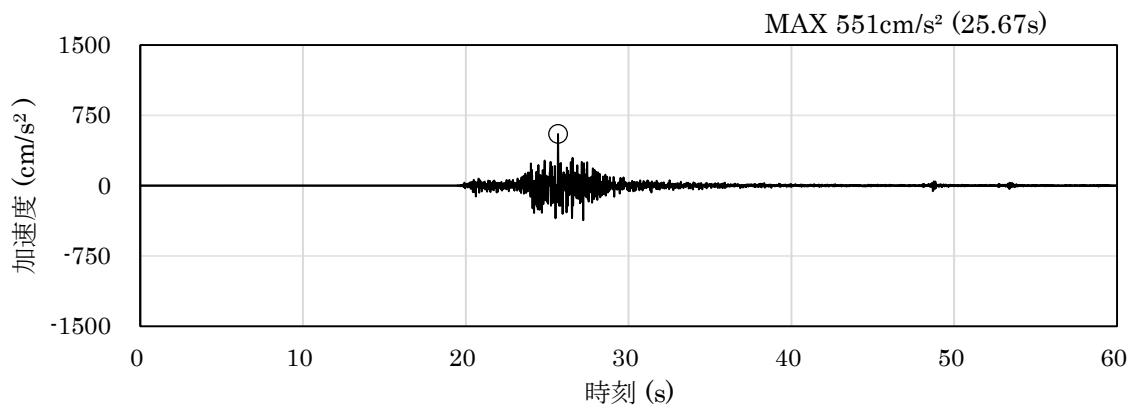


(a) 加速度時刻歴波形

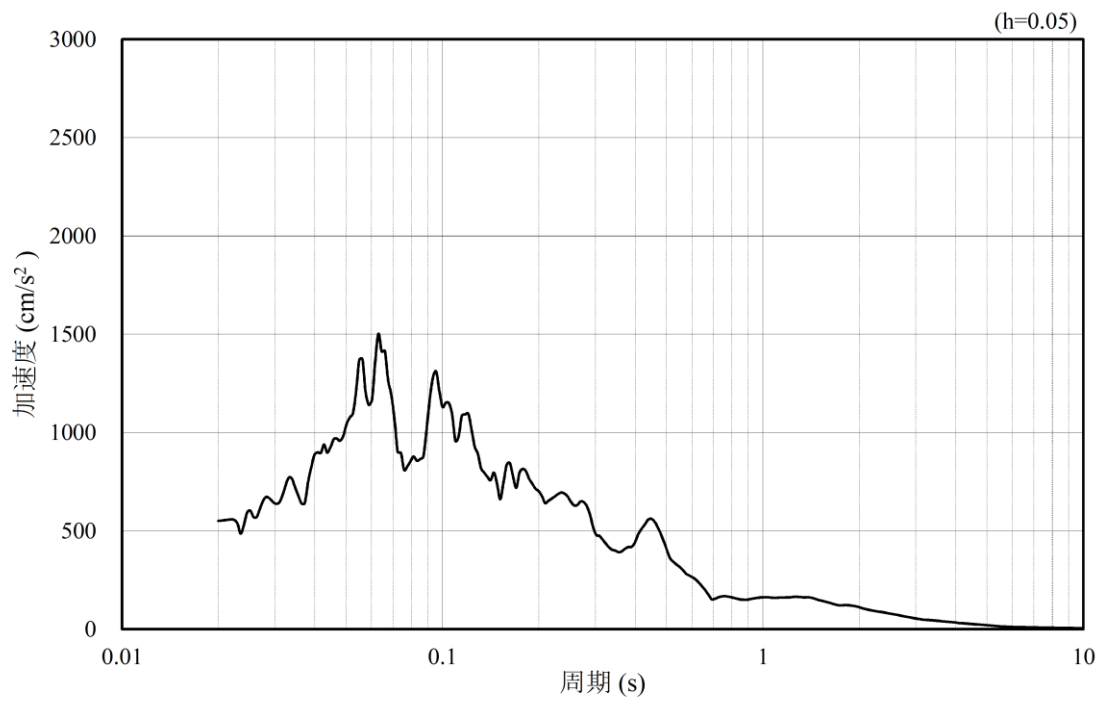


(b) 加速度応答スペクトル

図 4.1.6-22 入力地震動の加速度時刻歴波形及び加速度応答スペクトル
(水平成分：S_s-N₂，NS方向)

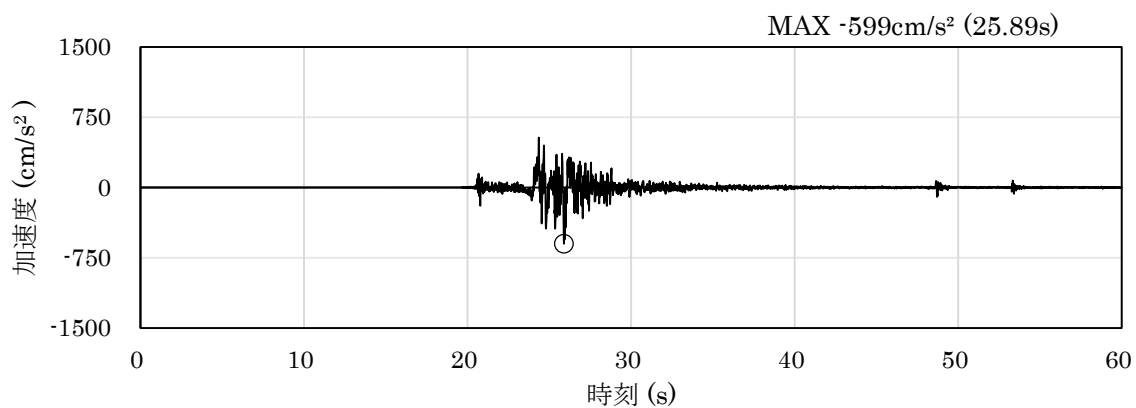


(a) 加速度時刻歴波形

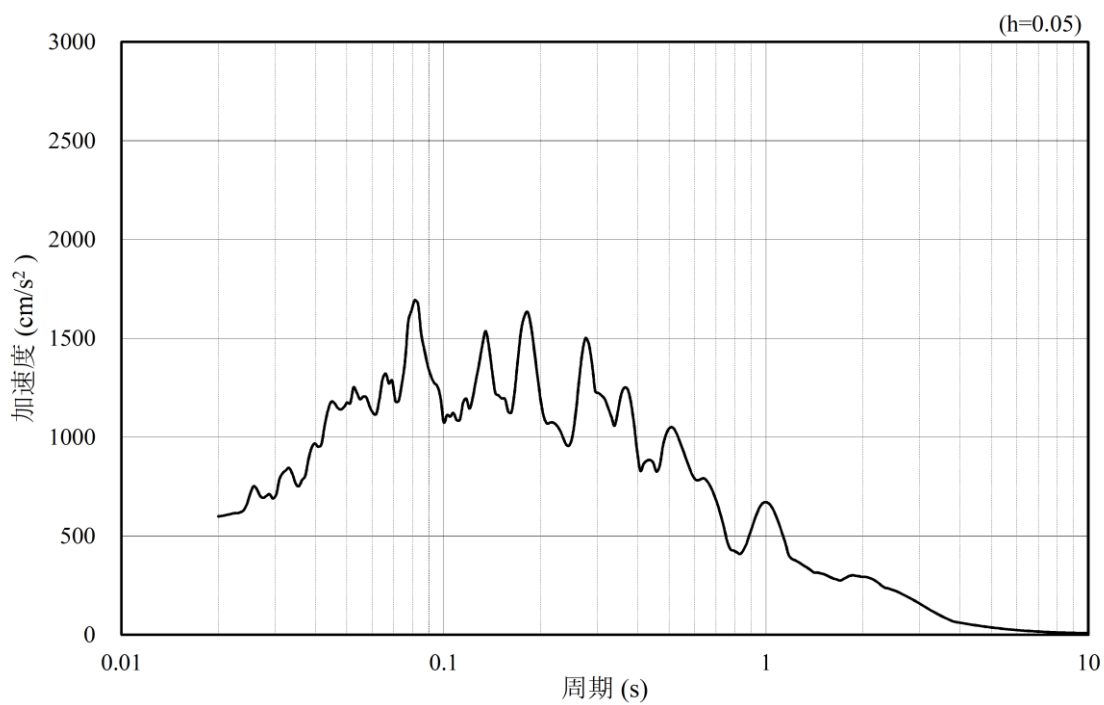


(b) 加速度応答スペクトル

図 4.1.6-23 入力地震動の加速度時刻歴波形及び加速度応答スペクトル
(鉛直成分：S_s-N₂，NS方向)

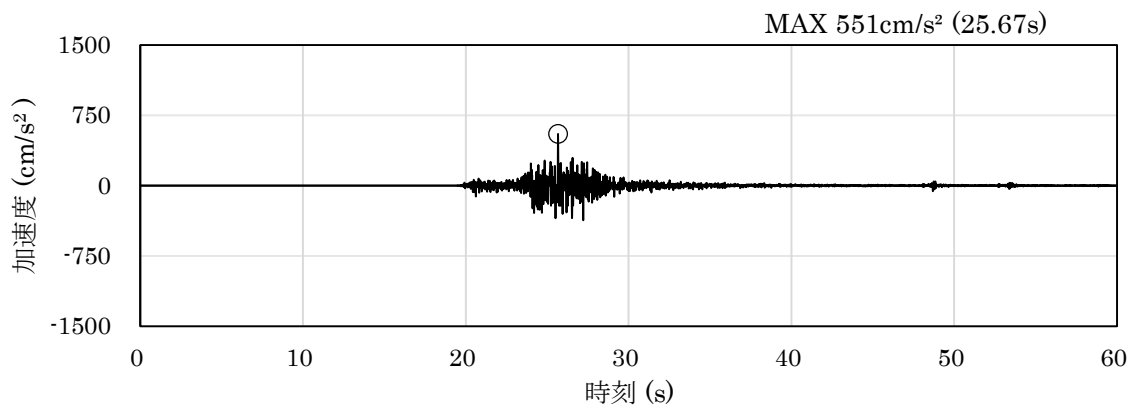


(a) 加速度時刻歴波形

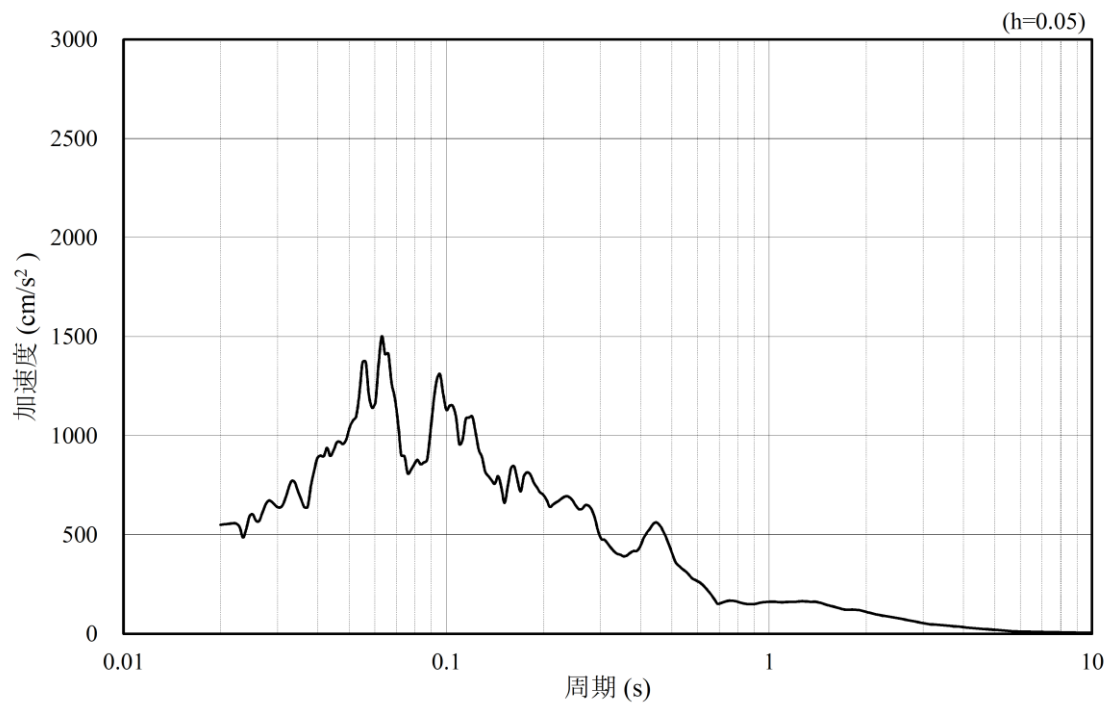


(b) 加速度応答スペクトル

図 4.1.6-24 入力地震動の加速度時刻歴波形及び加速度応答スペクトル
(水平成分：S s - N 2, E W方向)



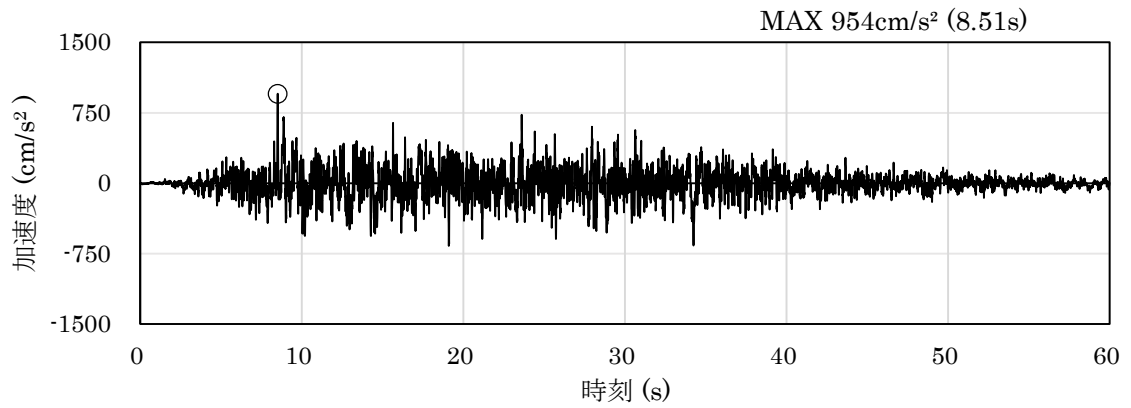
(a) 加速度時刻歴波形



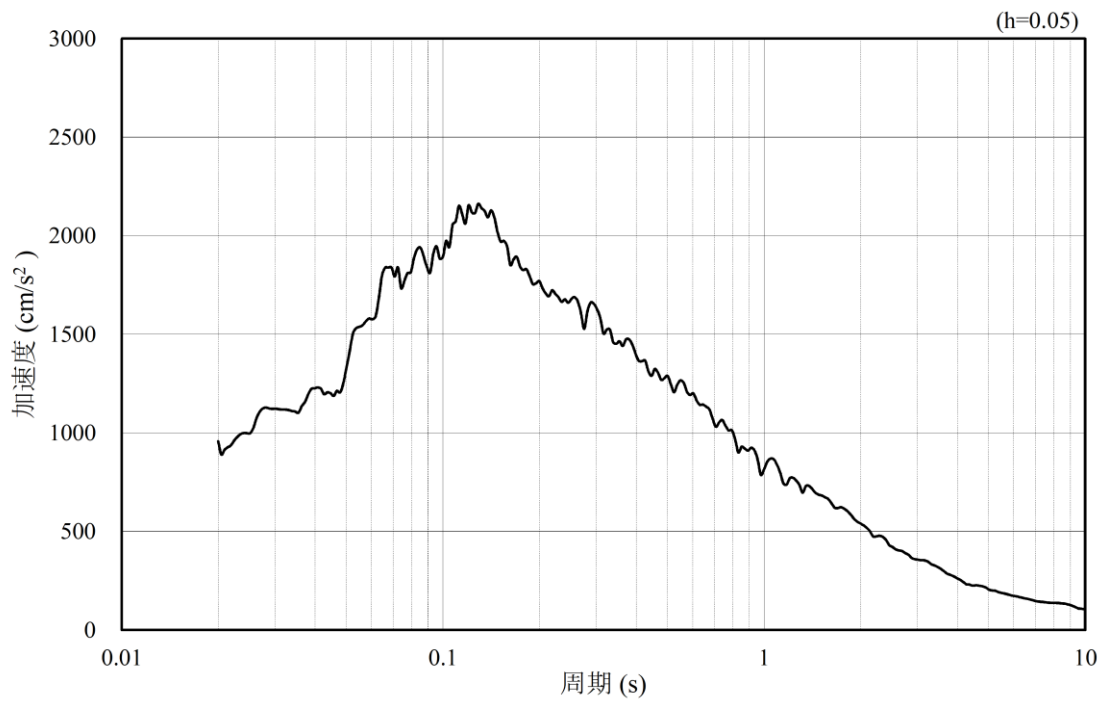
(b) 加速度応答スペクトル

図 4.1.6-25 入力地震動の加速度時刻歴波形及び加速度応答スペクトル
(鉛直成分：S_s-N2, EW方向)

(3) ④-④断面

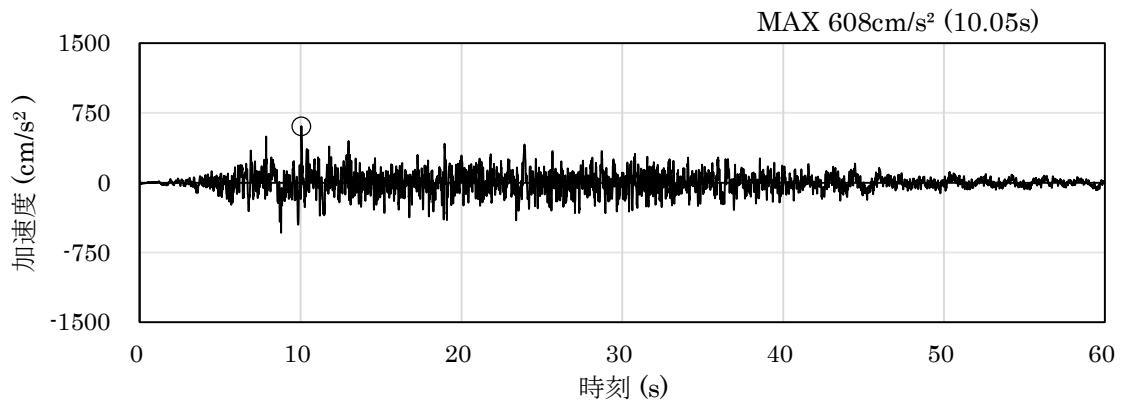


(a) 加速度時刻歴波形

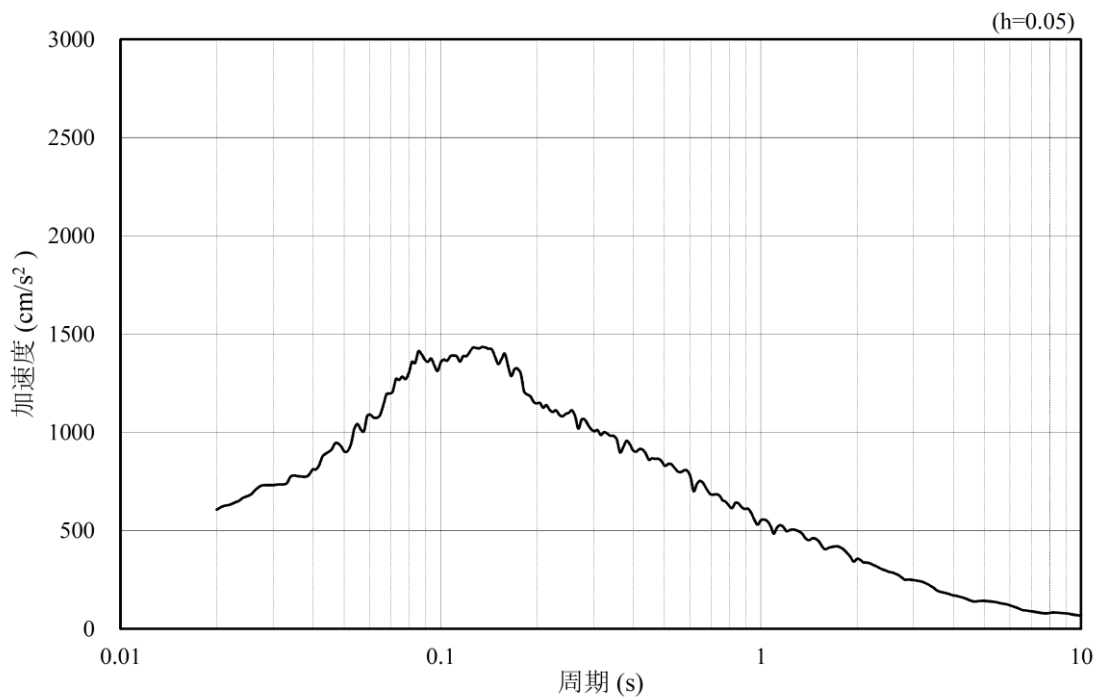


(b) 加速度応答スペクトル

図 4.1.6-26 入力地震動の加速度時刻歴波形及び加速度応答スペクトル
(水平成分 : S s - D)

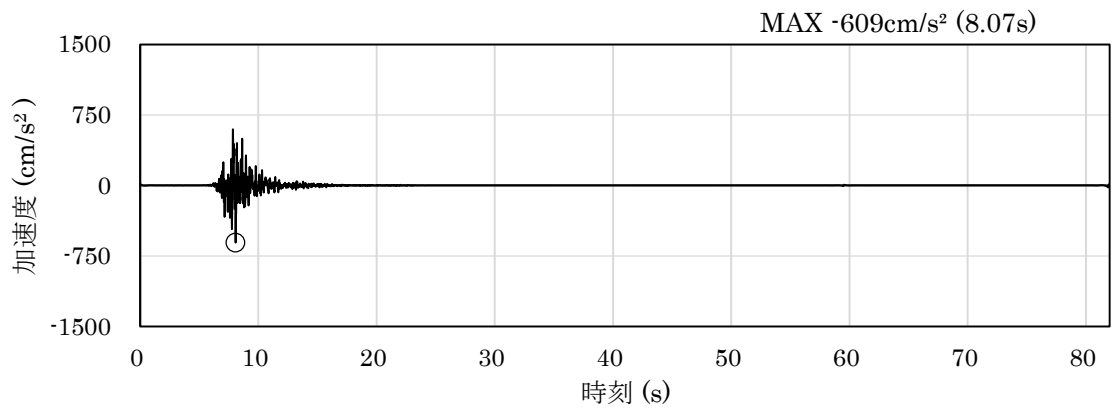


(a) 加速度時刻歴波形

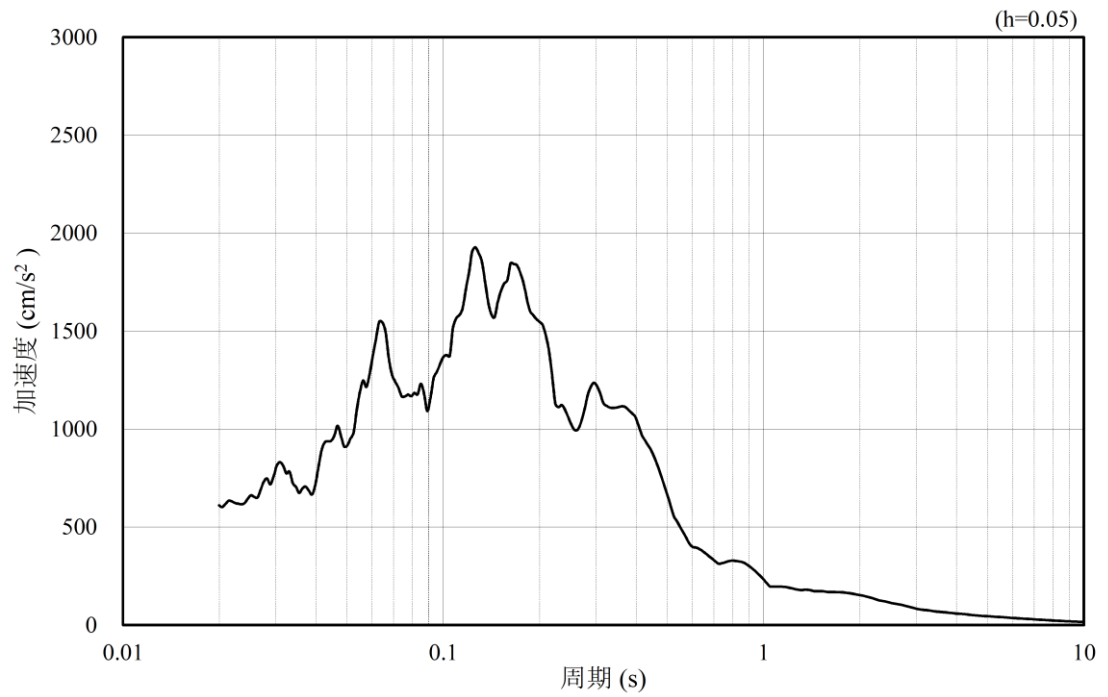


(b) 加速度応答スペクトル

図 4.1.6-27 入力地震動の加速度時刻歴波形及び加速度応答スペクトル
(鉛直成分：S s - D)

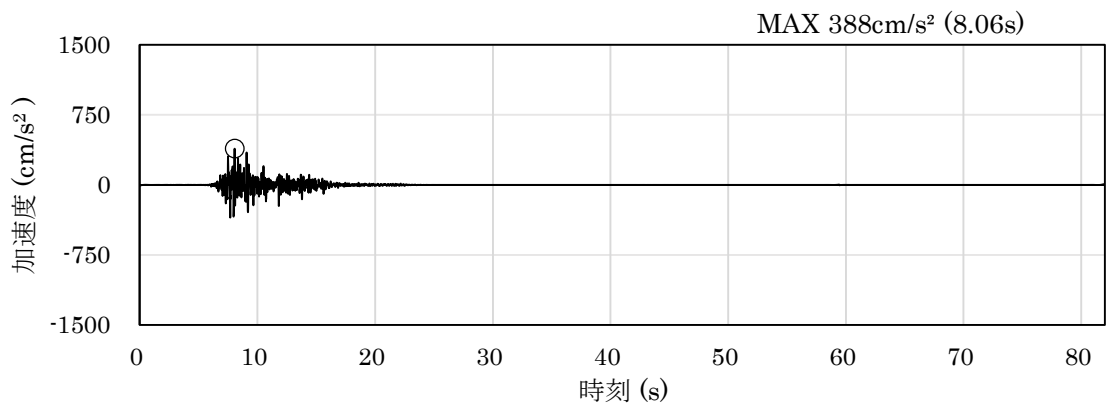


(a) 加速度時刻歴波形

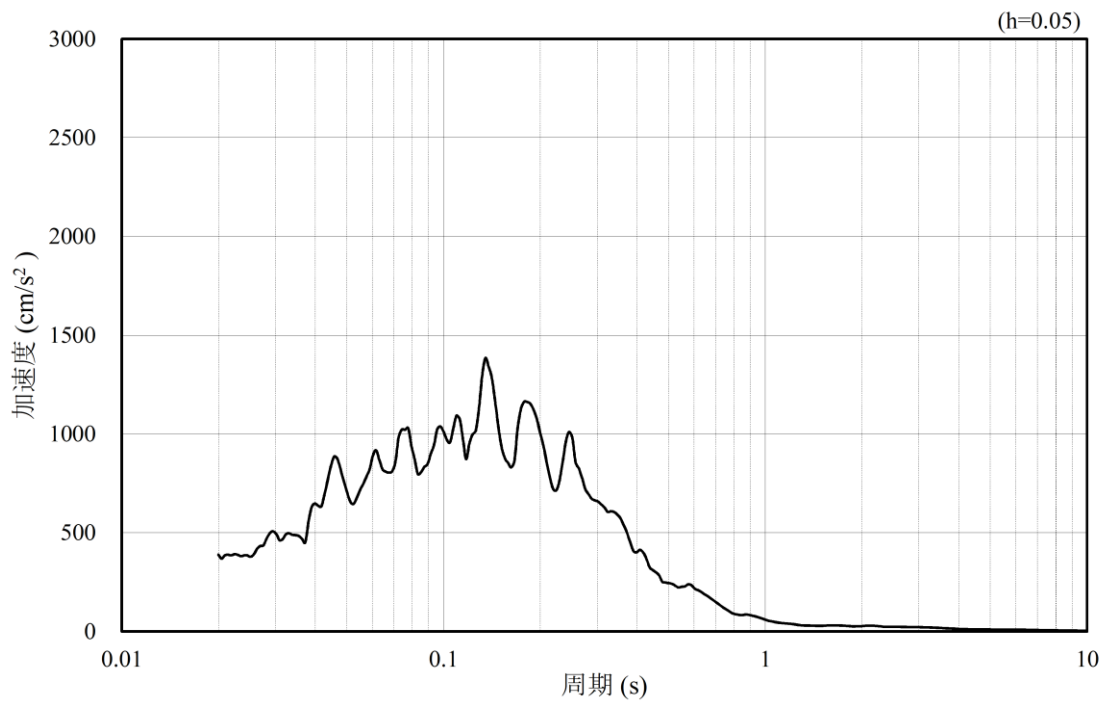


(b) 加速度応答スペクトル

図 4.1.6-28 入力地震動の加速度時刻歴波形及び加速度応答スペクトル
(水平成分 : S s - F 1)

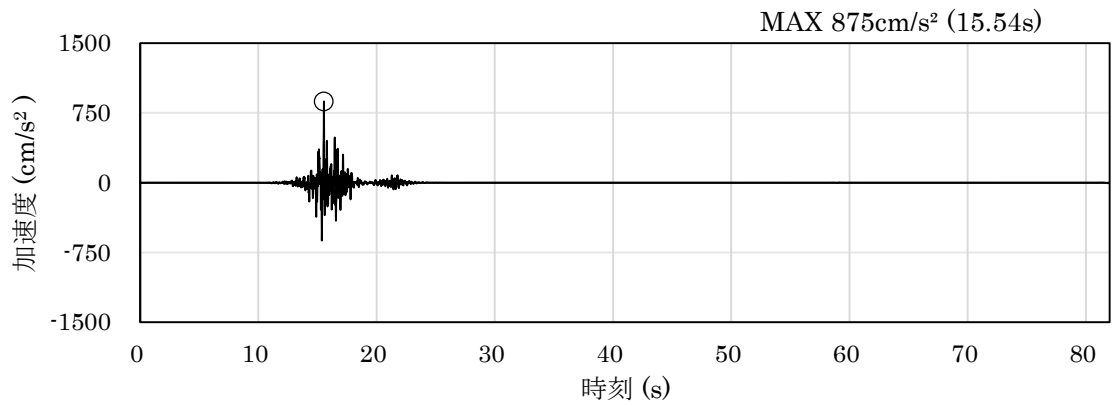


(a) 加速度時刻歴波形

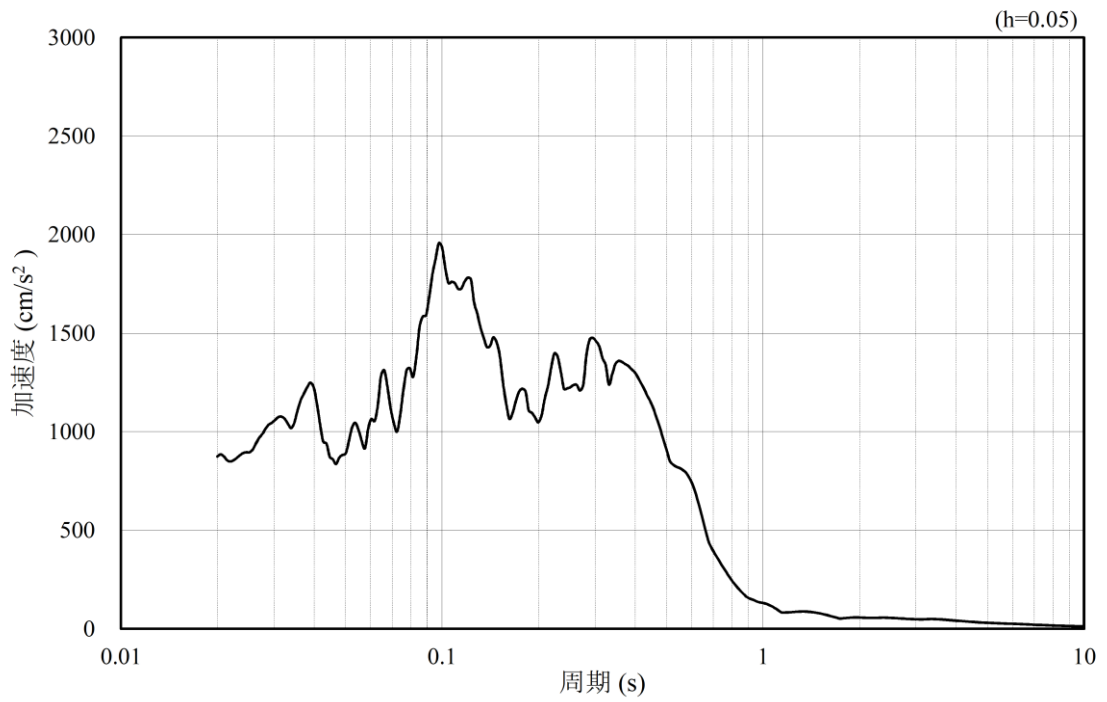


(b) 加速度応答スペクトル

図 4.1.6-29 入力地震動の加速度時刻歴波形及び加速度応答スペクトル
(鉛直成分：S s - F 1)

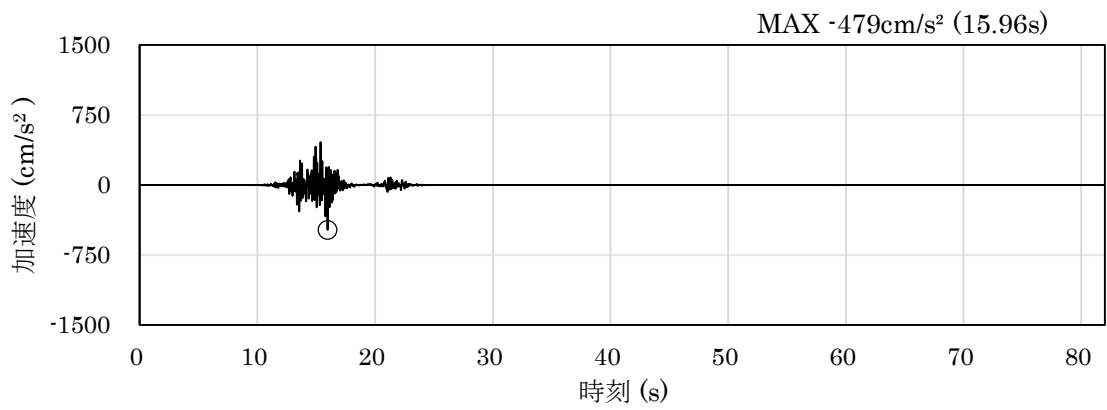


(a) 加速度時刻歴波形

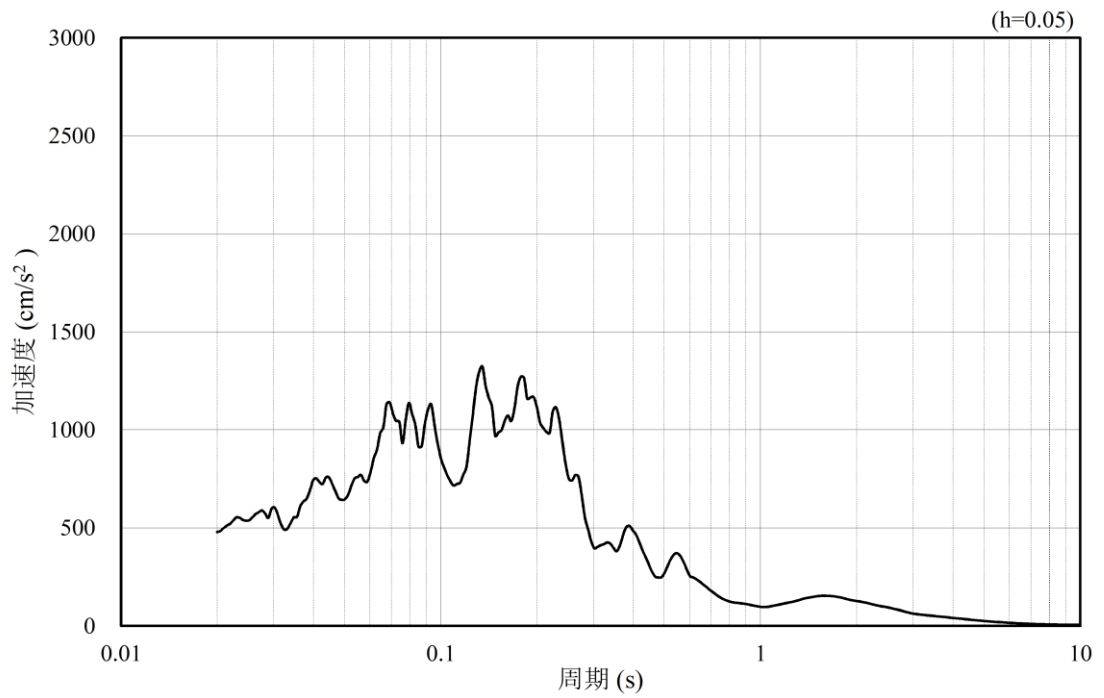


(b) 加速度応答スペクトル

図 4.1.6-30 入力地震動の加速度時刻歴波形及び加速度応答スペクトル
(水平成分 : S s - F 2)

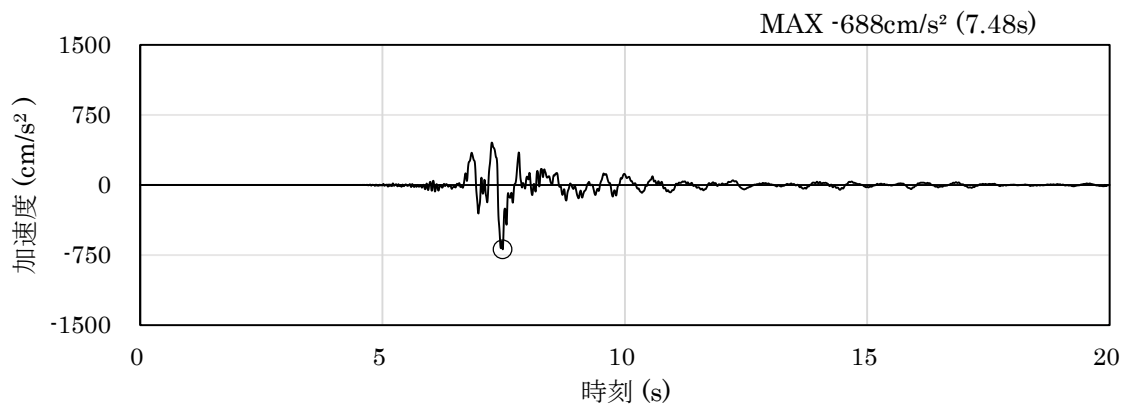


(a) 加速度時刻歴波形

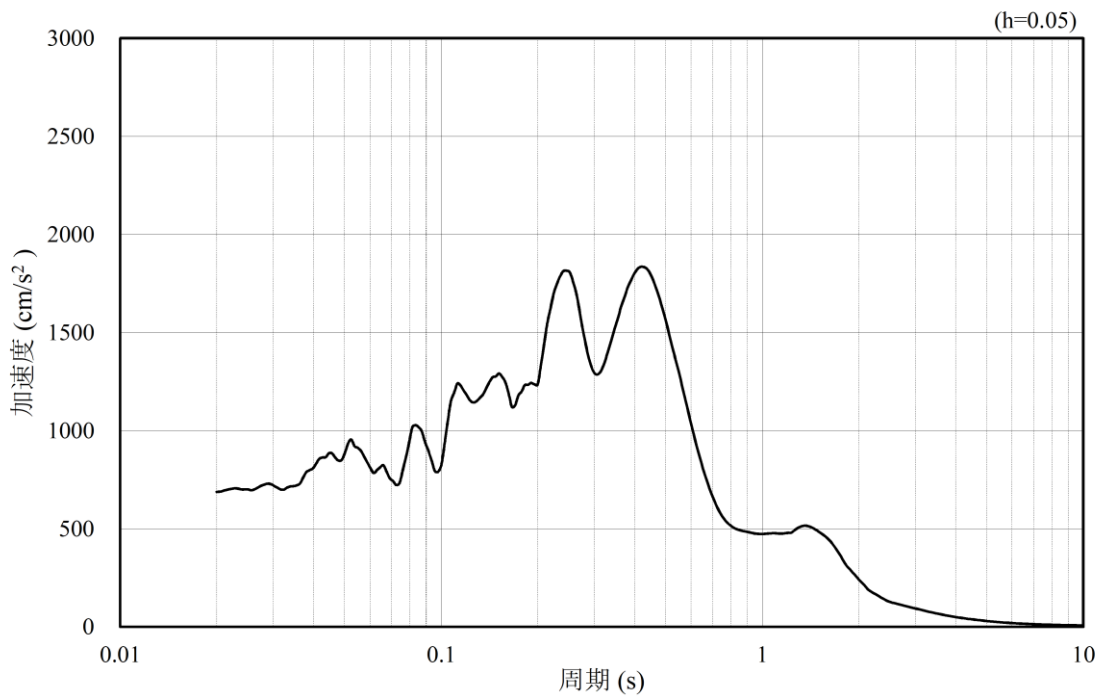


(b) 加速度応答スペクトル

図 4.1.6-31 入力地震動の加速度時刻歴波形及び加速度応答スペクトル
(鉛直成分：S s - F 2)

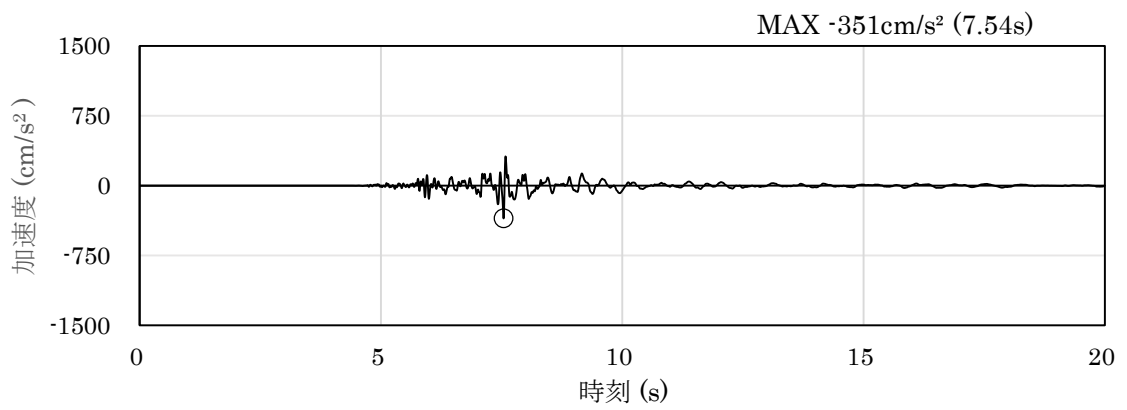


(a) 加速度時刻歴波形

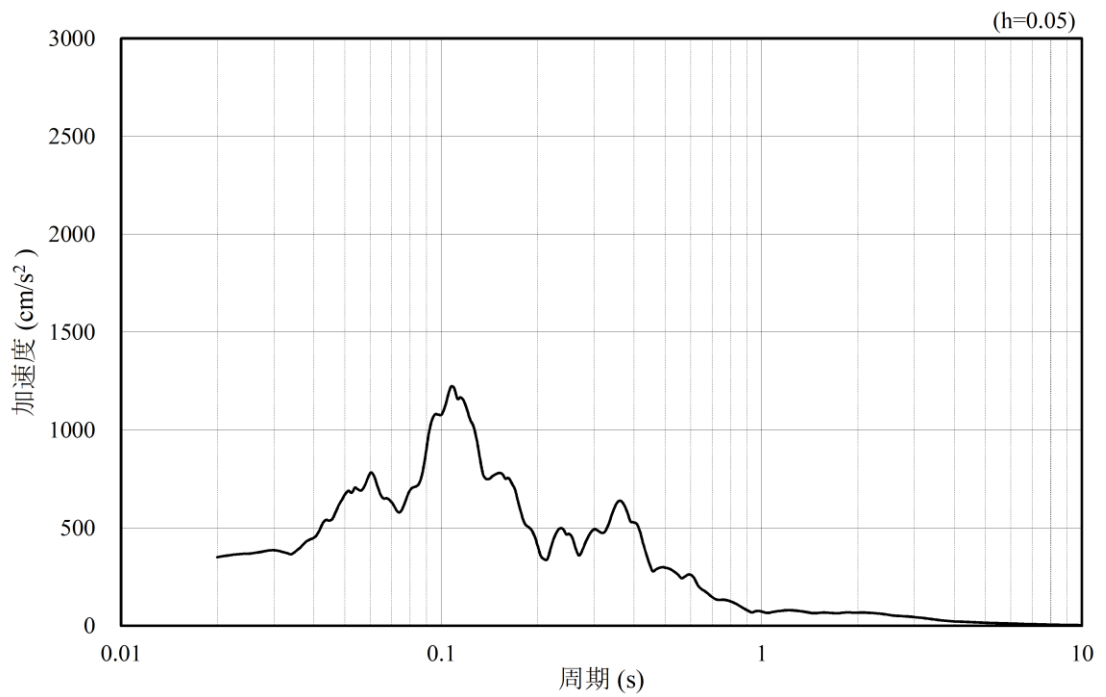


(b) 加速度応答スペクトル

図 4.1.6-32 入力地震動の加速度時刻歴波形及び加速度応答スペクトル
(水平成分：S s - N 1)

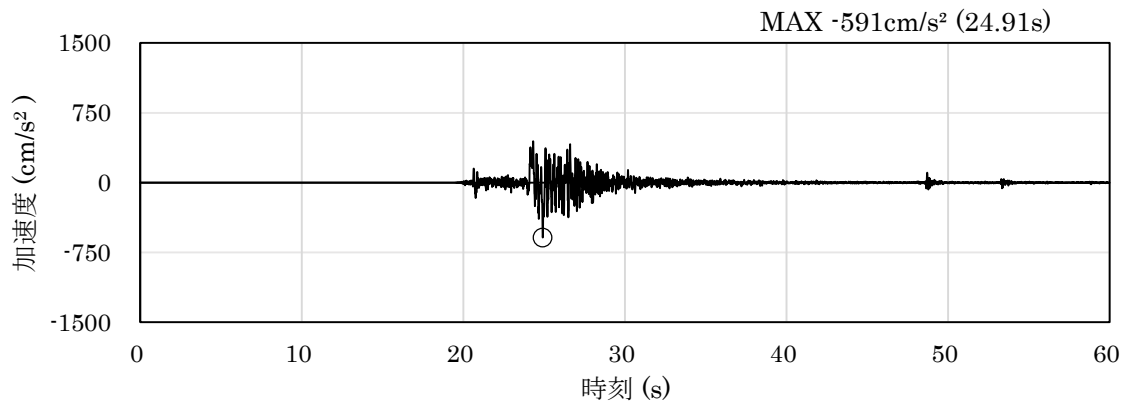


(a) 加速度時刻歴波形

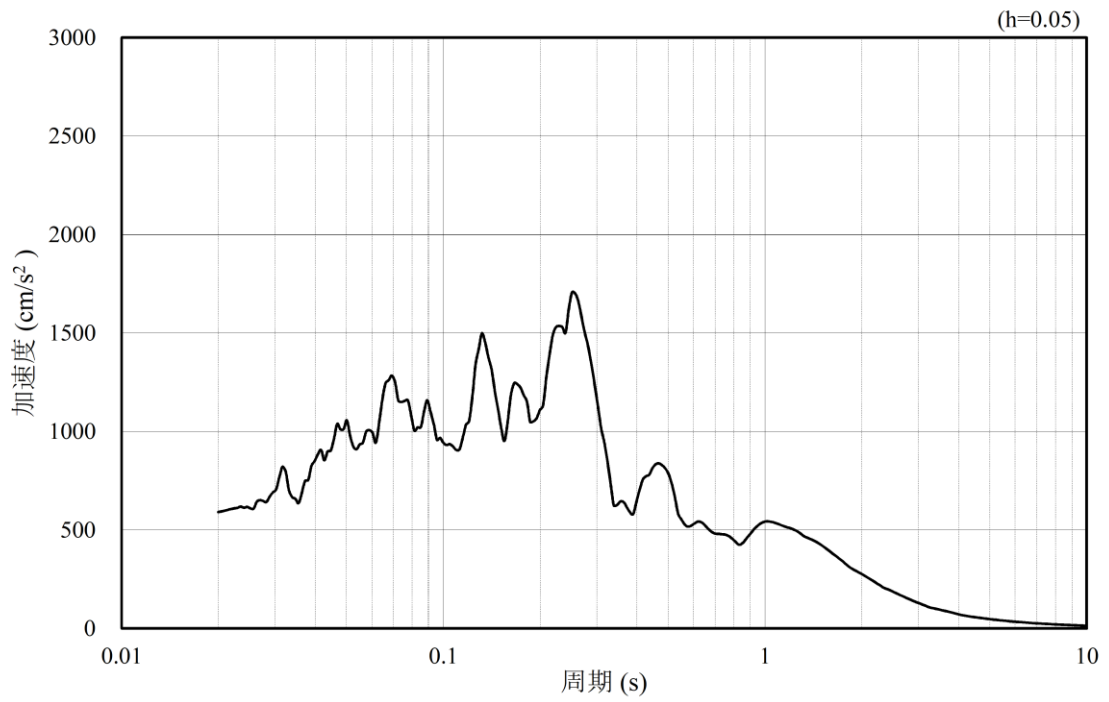


(b) 加速度応答スペクトル

図 4.1.6-33 入力地震動の加速度時刻歴波形及び加速度応答スペクトル
(鉛直成分：S s - N 1)

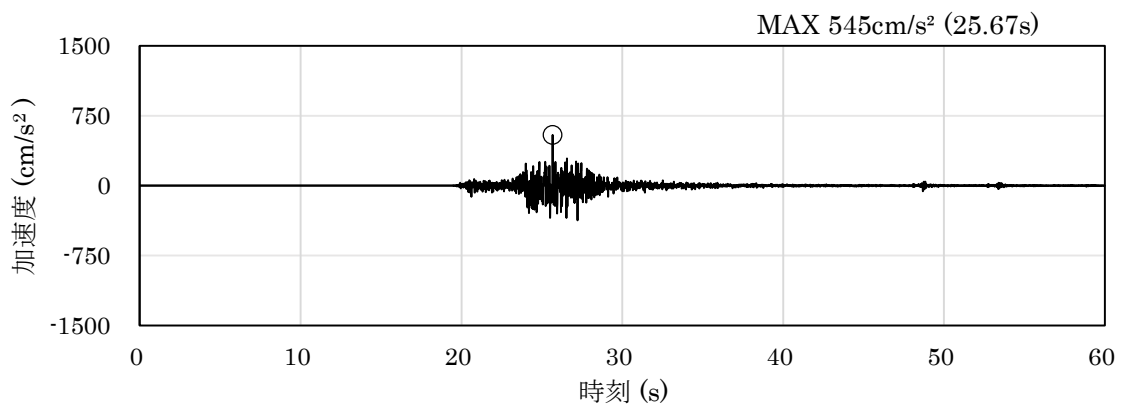


(a) 加速度時刻歴波形

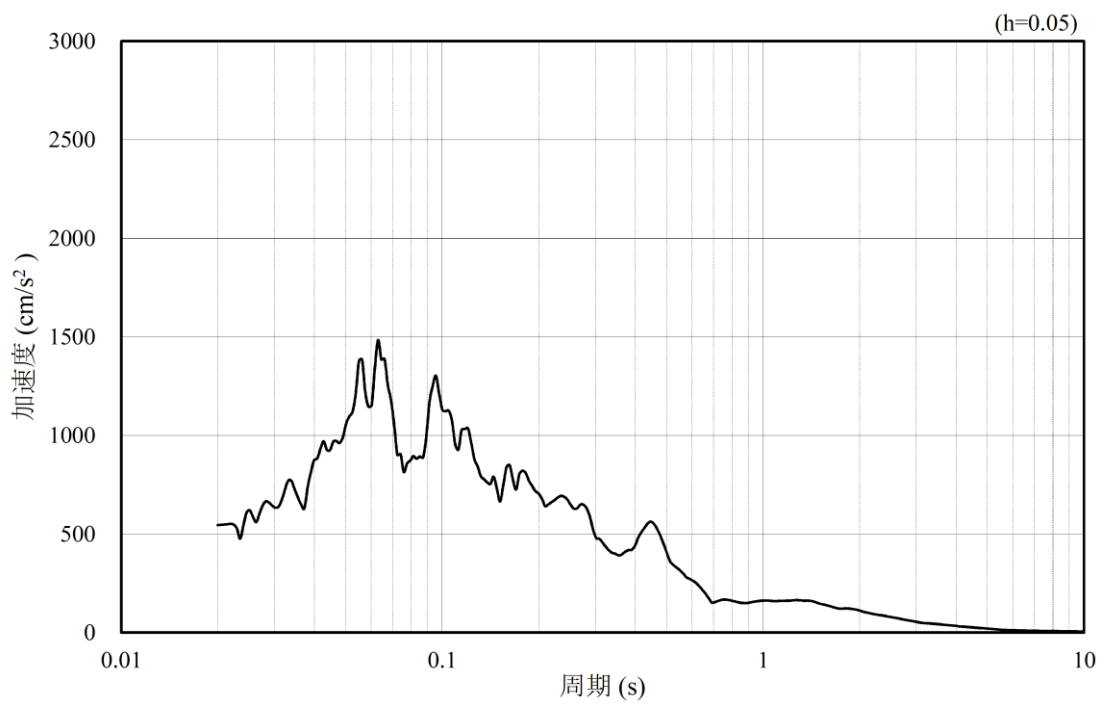


(b) 加速度応答スペクトル

図 4.1.6-34 入力地震動の加速度時刻歴波形及び加速度応答スペクトル
(水平成分：S_s-N₂，NS方向)

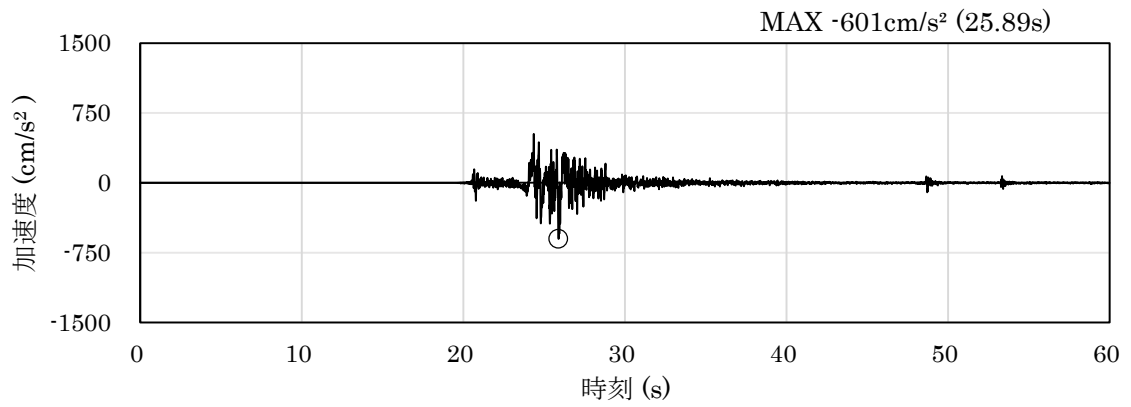


(a) 加速度時刻歴波形

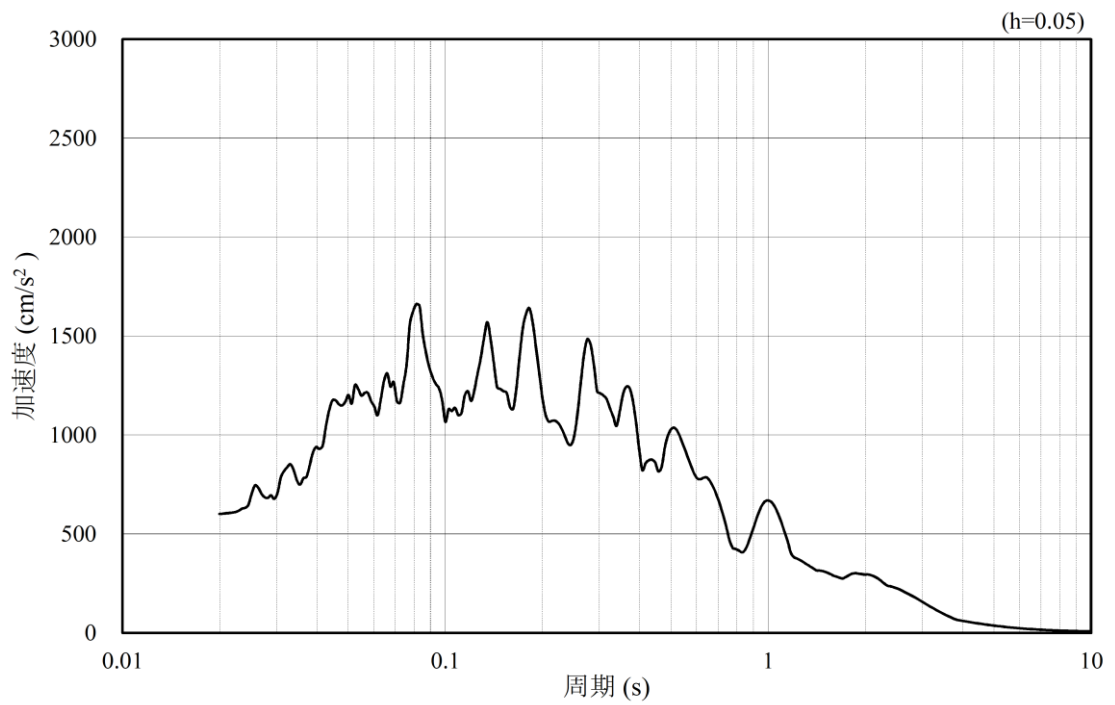


(b) 加速度応答スペクトル

図 4.1.6-35 入力地震動の加速度時刻歴波形及び加速度応答スペクトル
(鉛直成分：S_s-N₂，NS方向)

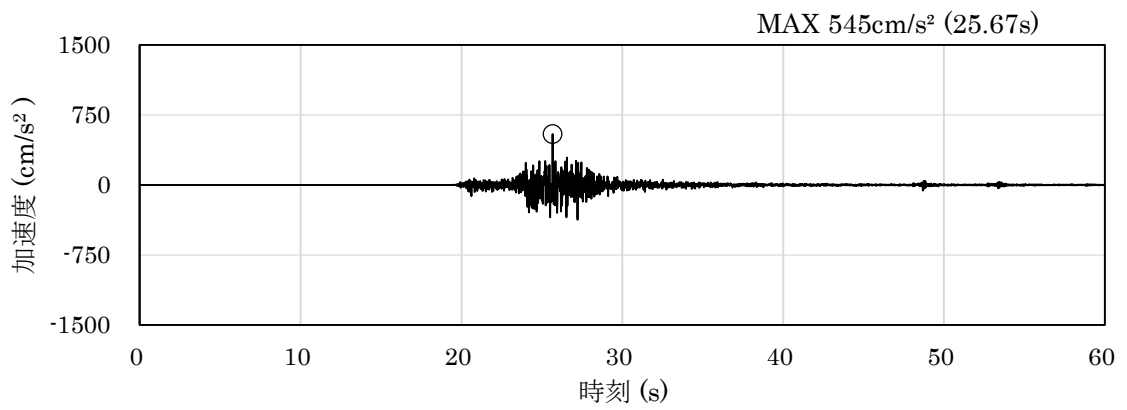


(a) 加速度時刻歴波形

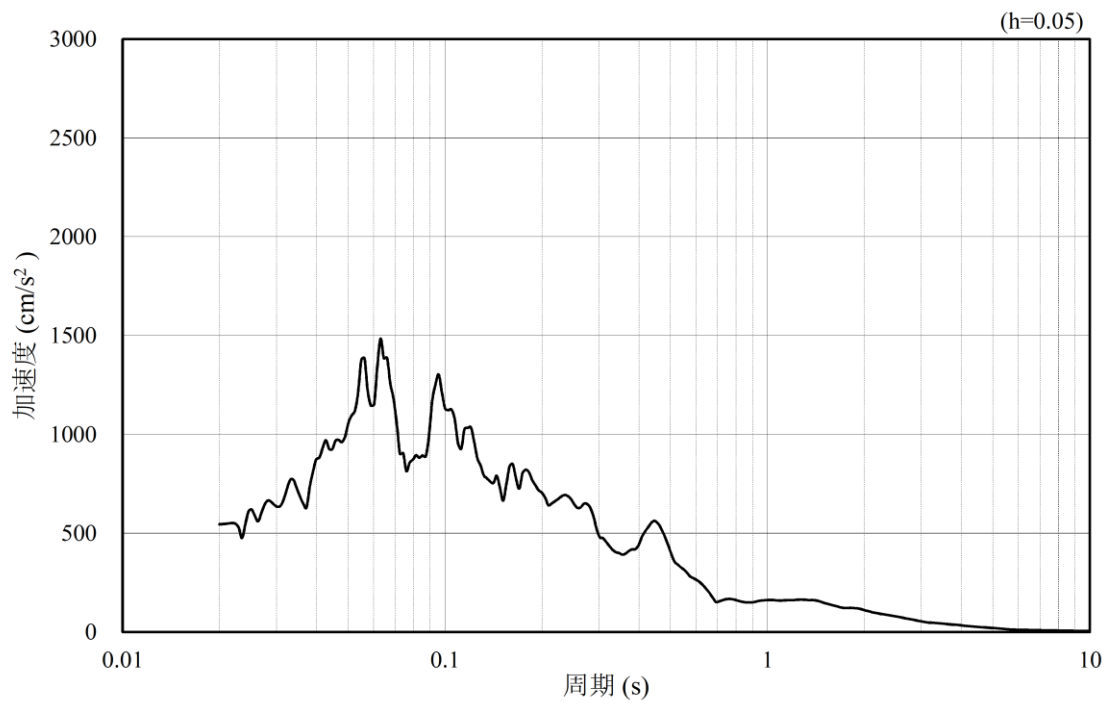


(b) 加速度応答スペクトル

図 4.1.6-36 入力地震動の加速度時刻歴波形及び加速度応答スペクトル
(水平成分：S s - N 2, E W方向)



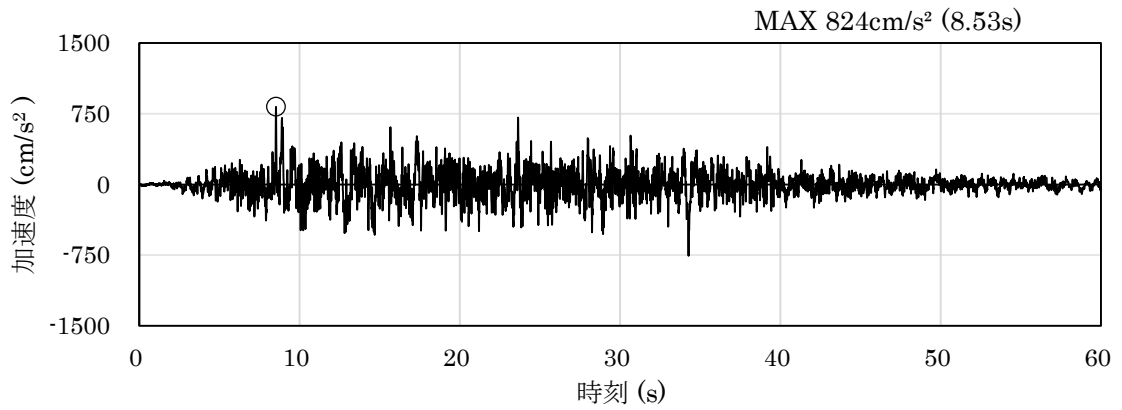
(a) 加速度時刻歴波形



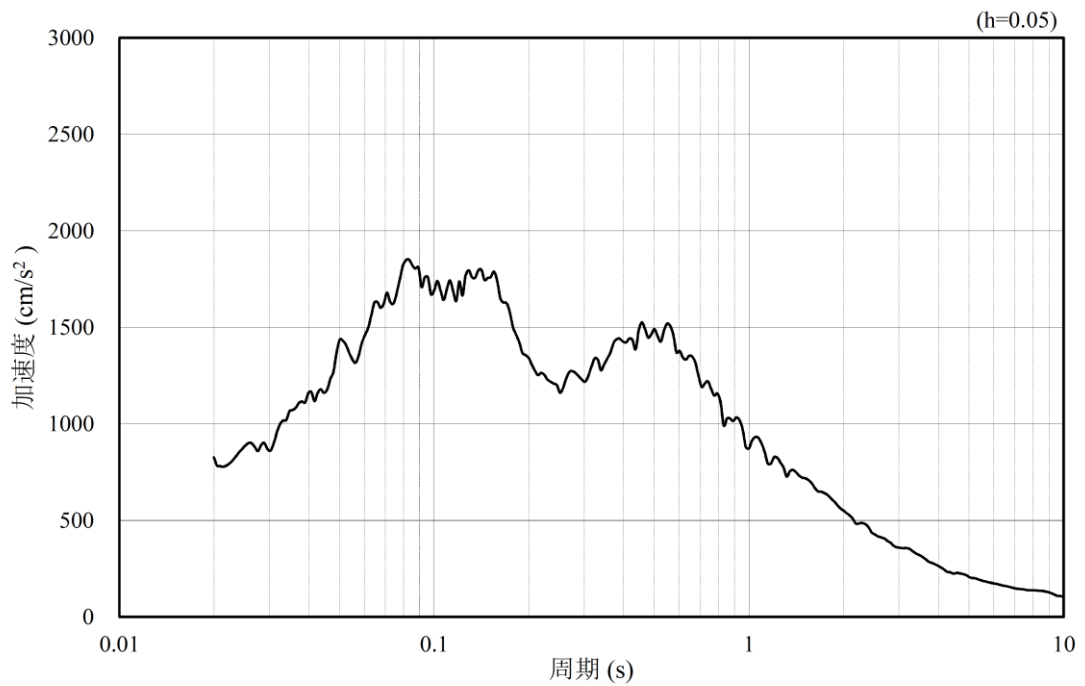
(b) 加速度応答スペクトル

図 4.1.6-37 入力地震動の加速度時刻歴波形及び加速度応答スペクトル
(鉛直成分：S_s-N2, EW方向)

(4) ⑤－⑤断面

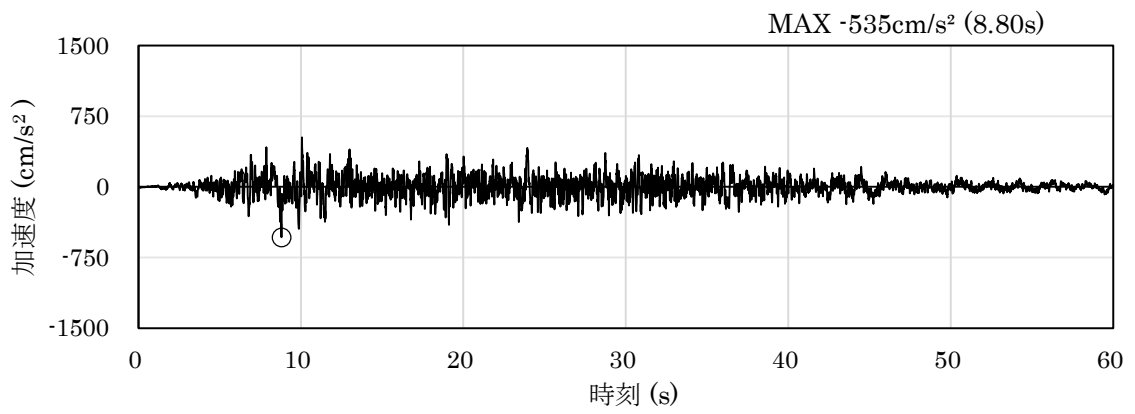


(a) 加速度時刻歴波形

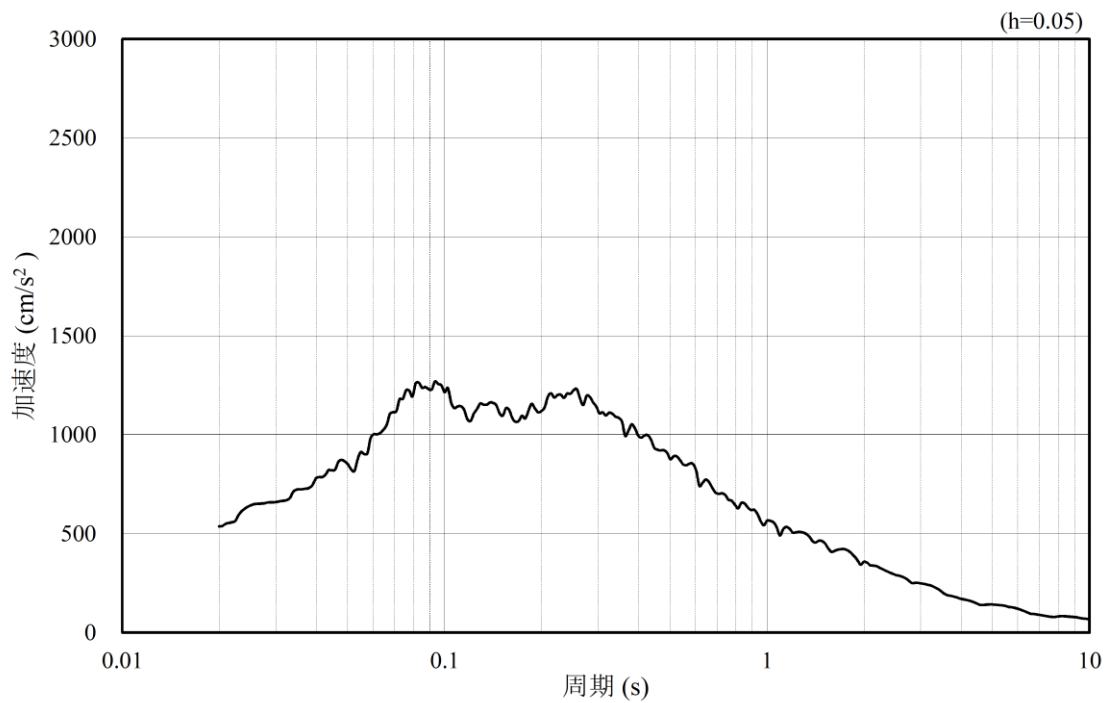


(b) 加速度応答スペクトル

図 4.1.6-38 入力地震動の加速度時刻歴波形及び加速度応答スペクトル
(水平成分：S s - D)

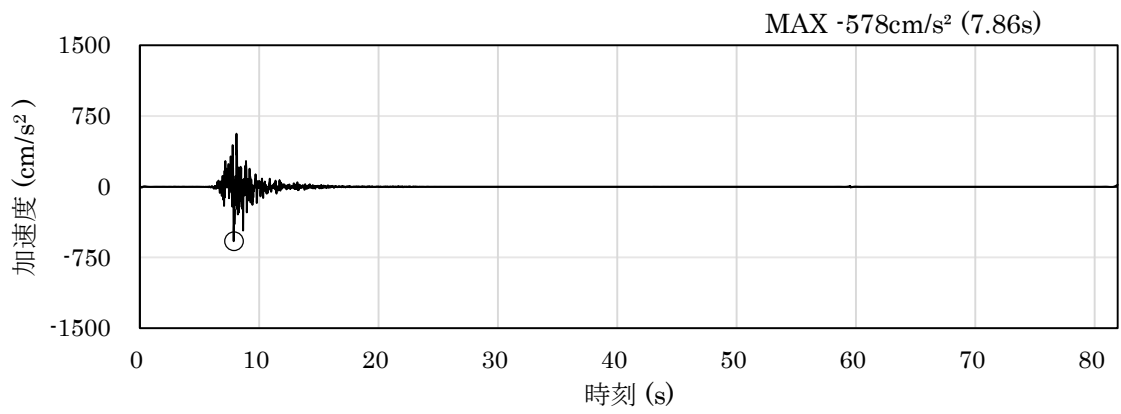


(a) 加速度時刻歴波形

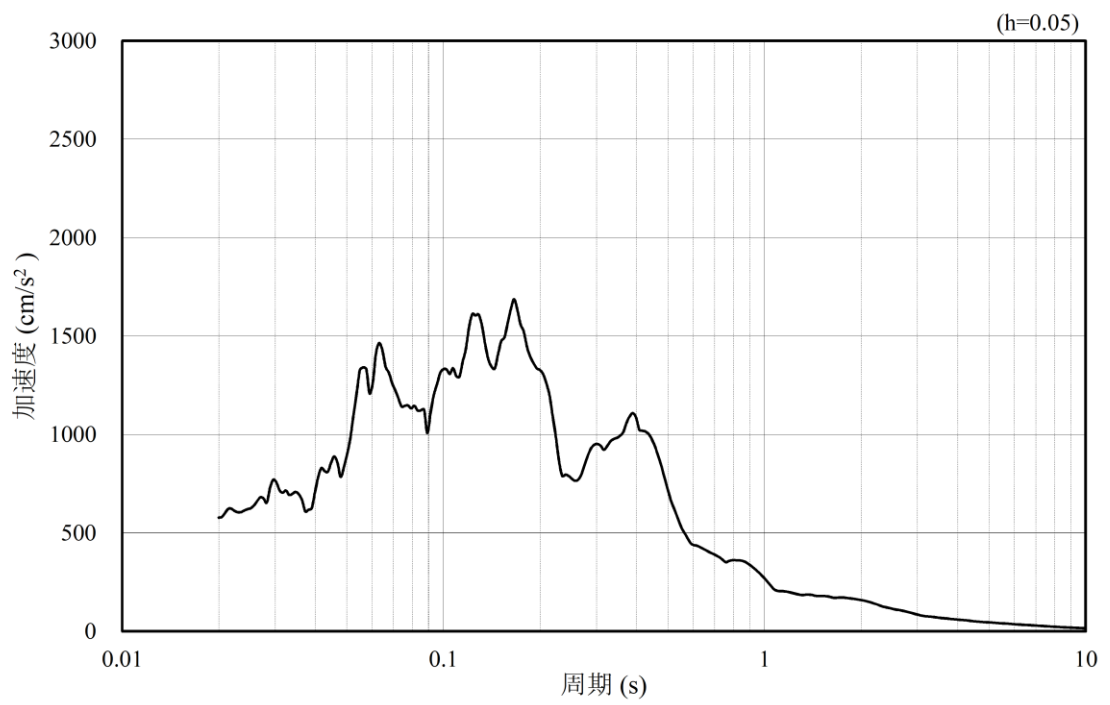


(b) 加速度応答スペクトル

図 4.1.6-39 入力地震動の加速度時刻歴波形及び加速度応答スペクトル
(鉛直成分：S s - D)

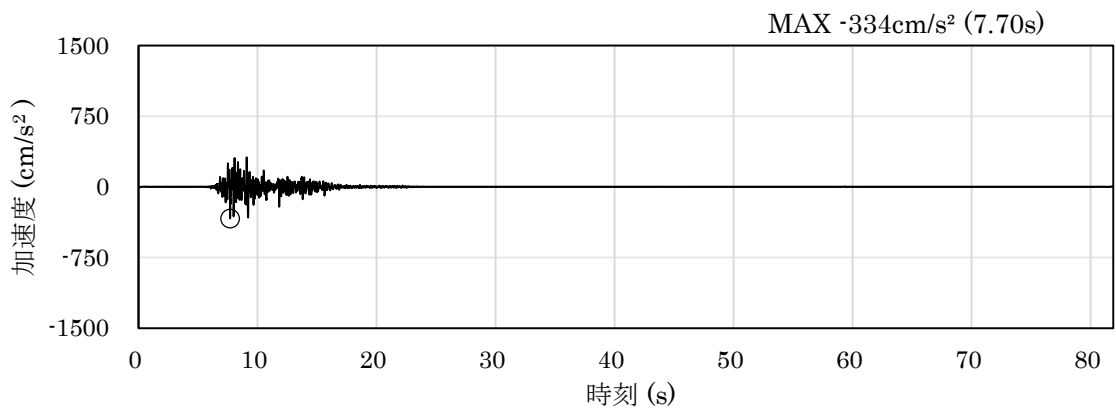


(a) 加速度時刻歴波形

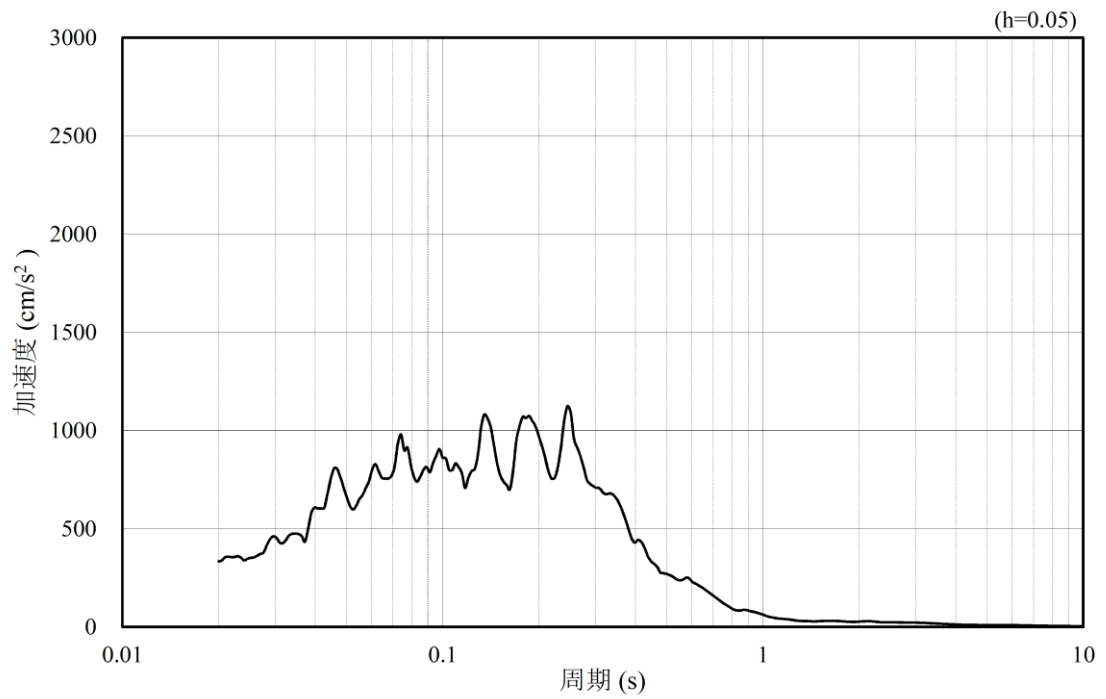


(b) 加速度応答スペクトル

図 4.1.6-40 入力地震動の加速度時刻歴波形及び加速度応答スペクトル
(水平成分 : S s - F 1)

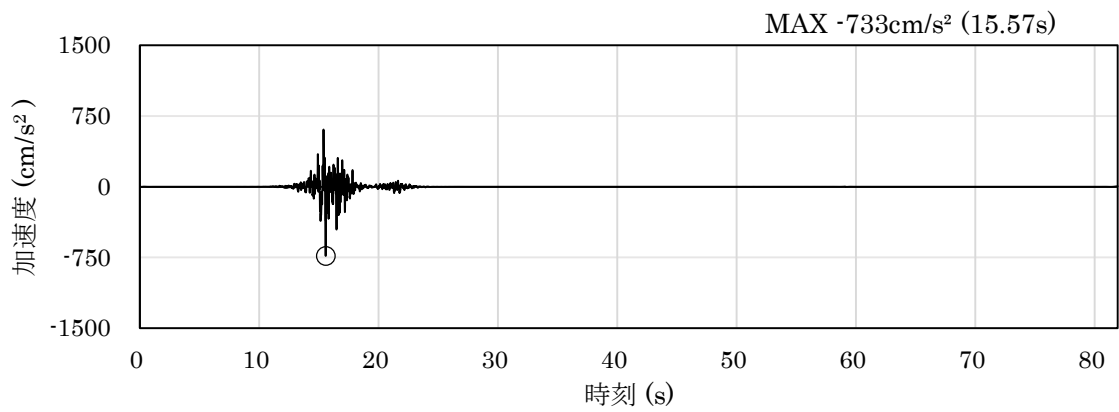


(a) 加速度時刻歴波形

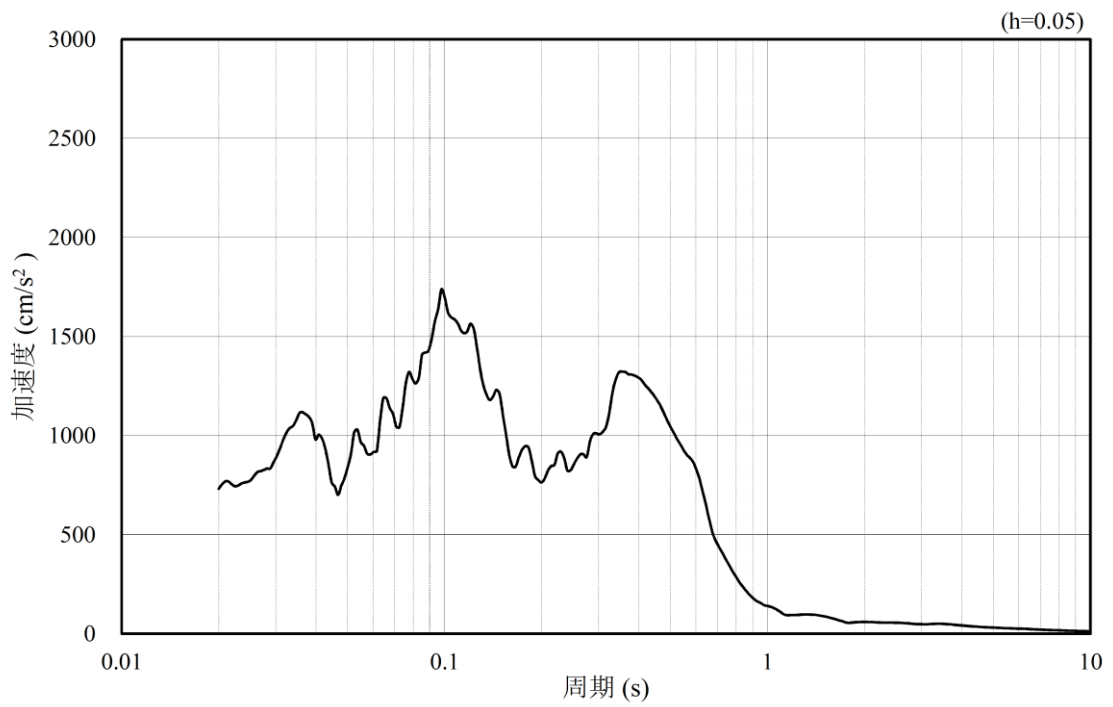


(b) 加速度応答スペクトル

図 4.1.6-41 入力地震動の加速度時刻歴波形及び加速度応答スペクトル
(鉛直成分：S s - F 1)

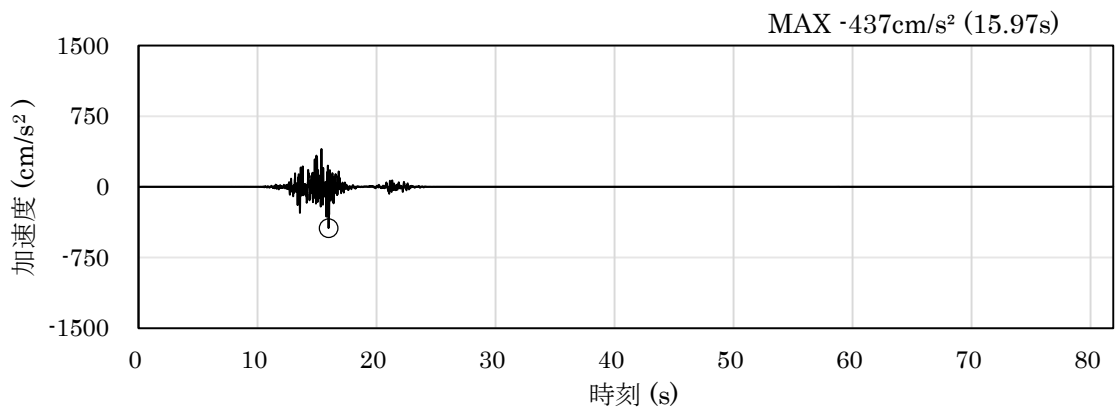


(a) 加速度時刻歴波形

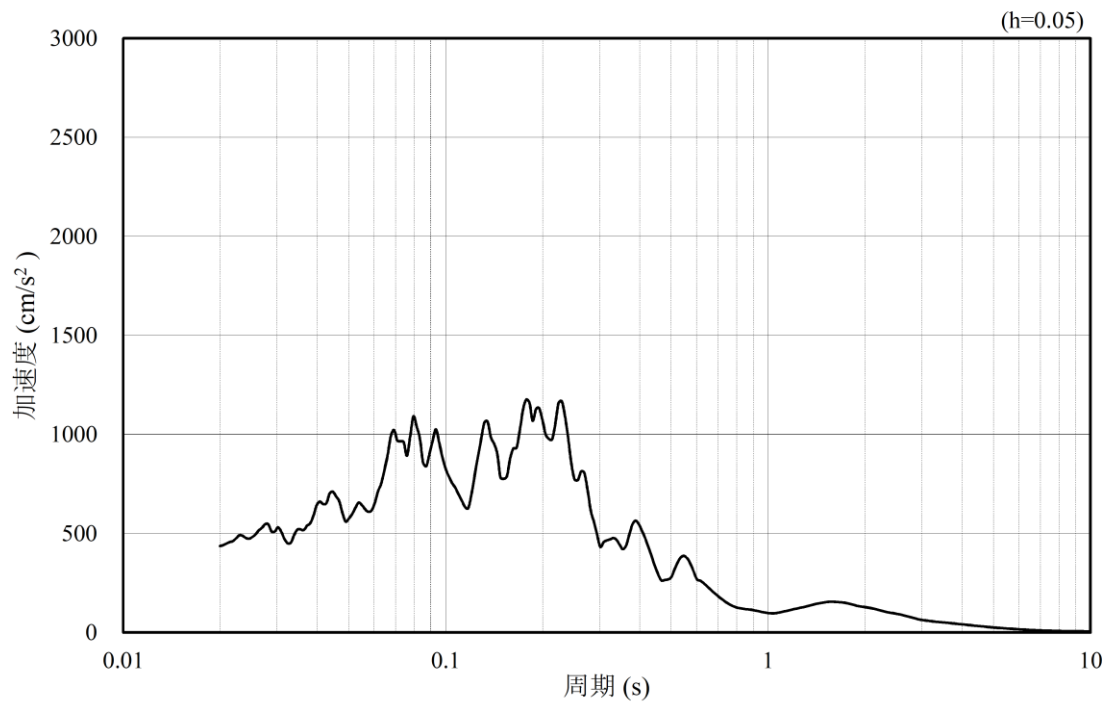


(b) 加速度応答スペクトル

図 4.1.6-42 入力地震動の加速度時刻歴波形及び加速度応答スペクトル
(水平成分：S s - F 2)

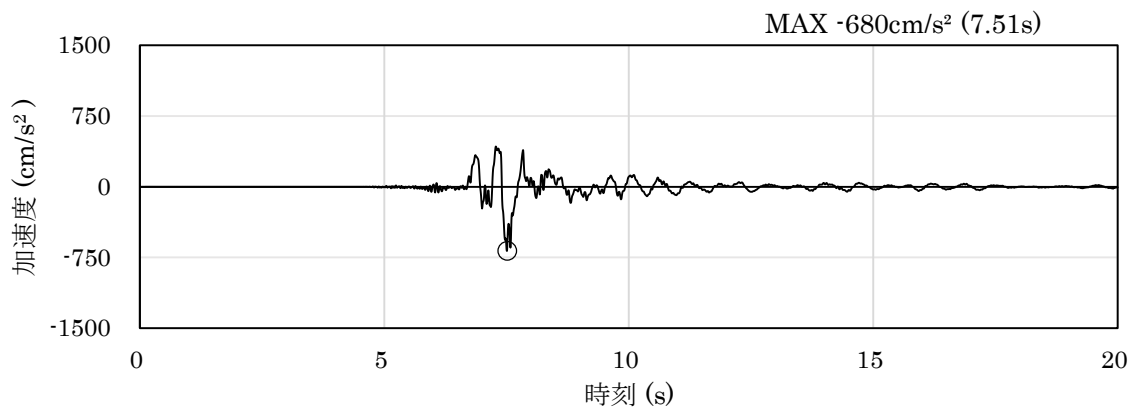


(a) 加速度時刻歴波形

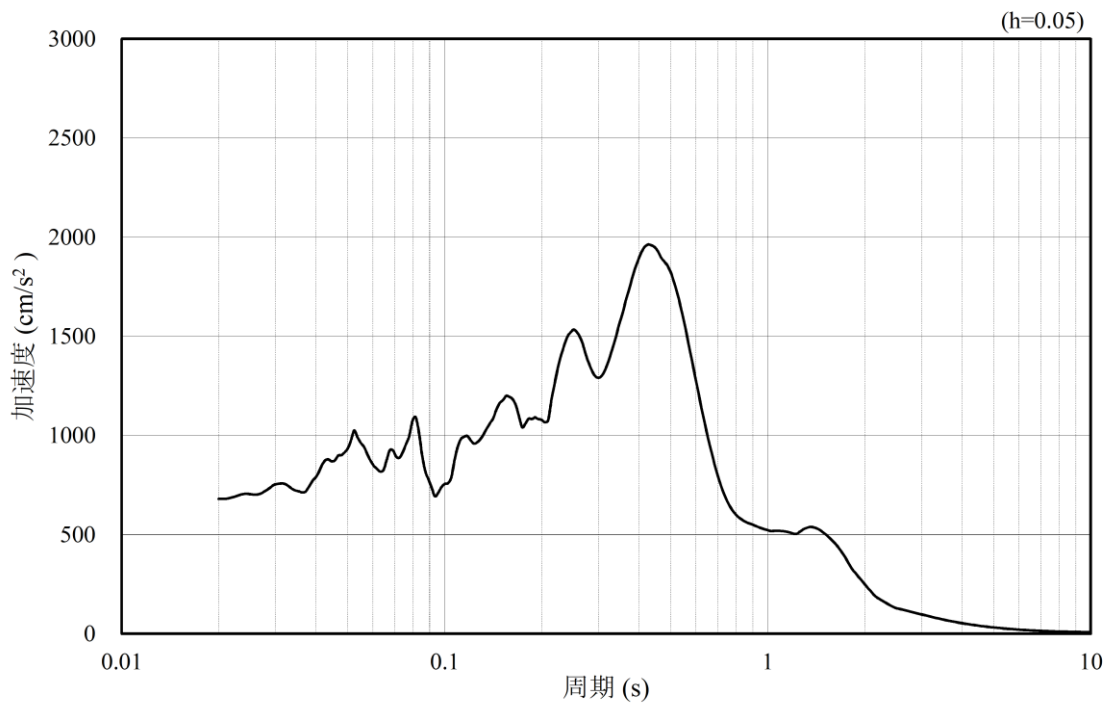


(b) 加速度応答スペクトル

図 4.1.6-43 入力地震動の加速度時刻歴波形及び加速度応答スペクトル
(鉛直成分：S_s-F2)

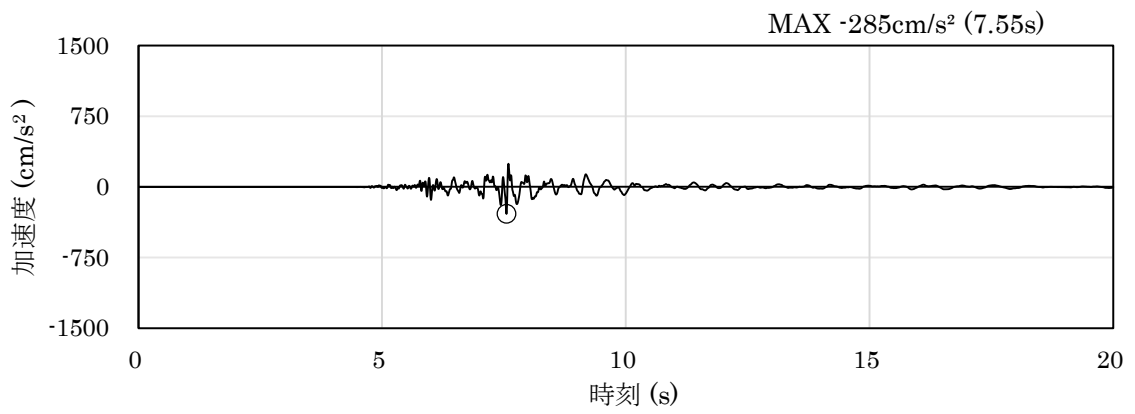


(a) 加速度時刻歴波形

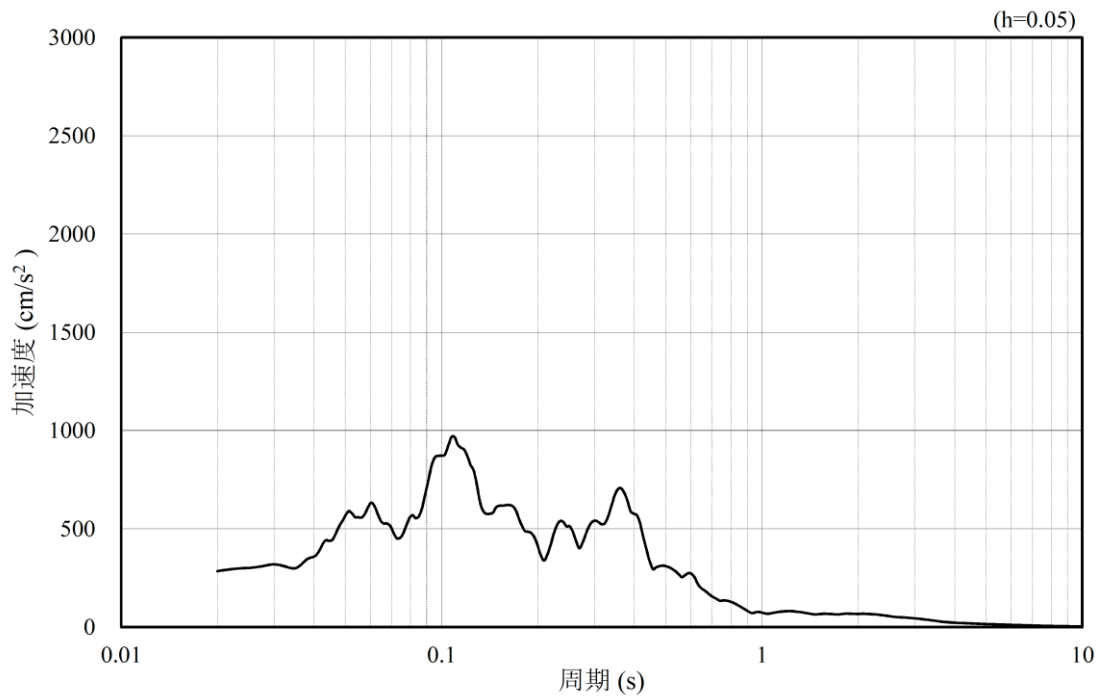


(b) 加速度応答スペクトル

図 4.1.6-44 入力地震動の加速度時刻歴波形及び加速度応答スペクトル
(水平成分：S s - N 1)

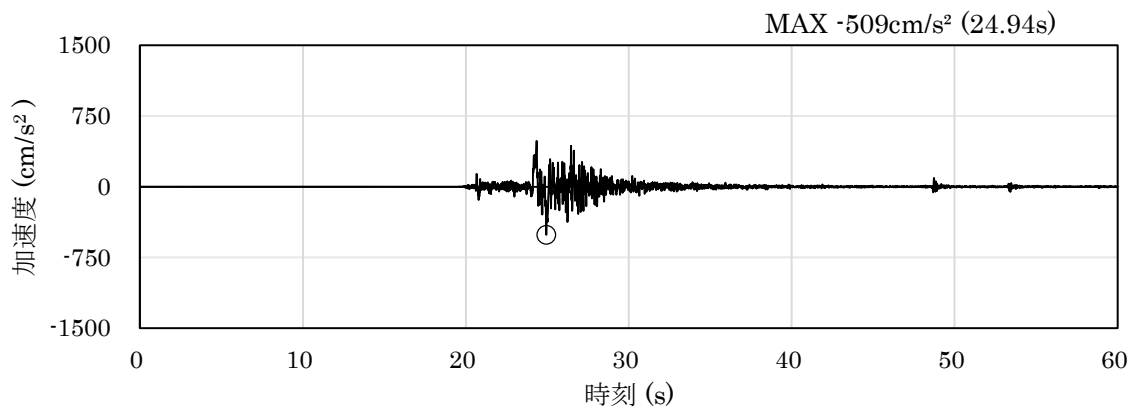


(a) 加速度時刻歴波形

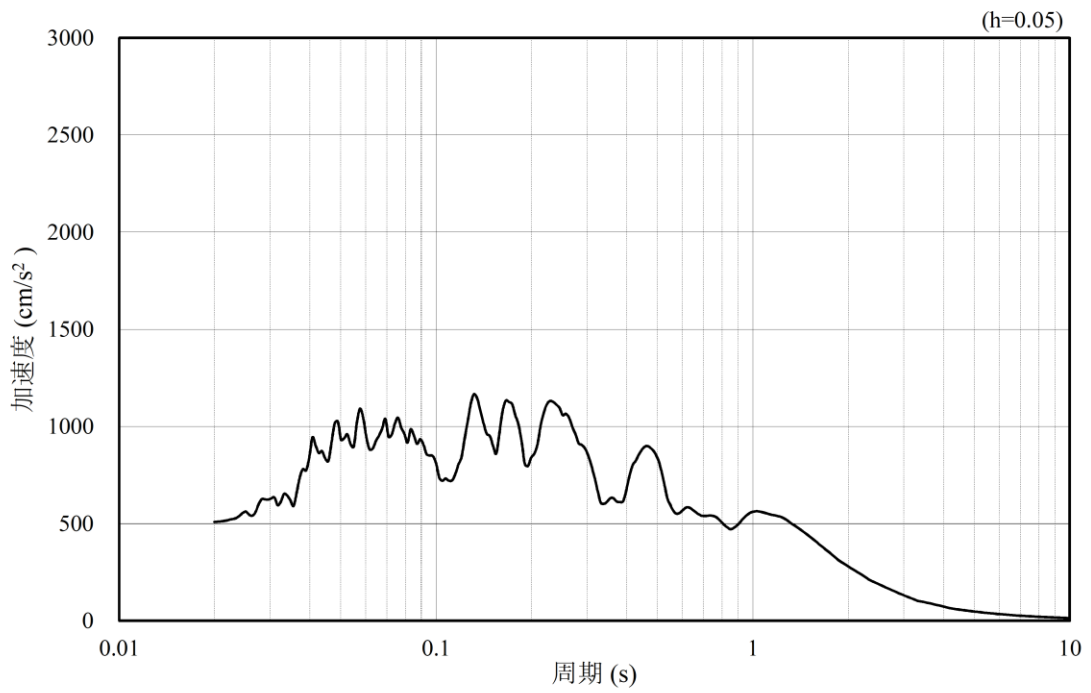


(b) 加速度応答スペクトル

図 4.1.6-45 入力地震動の加速度時刻歴波形及び加速度応答スペクトル
(鉛直成分：S_s-N1)

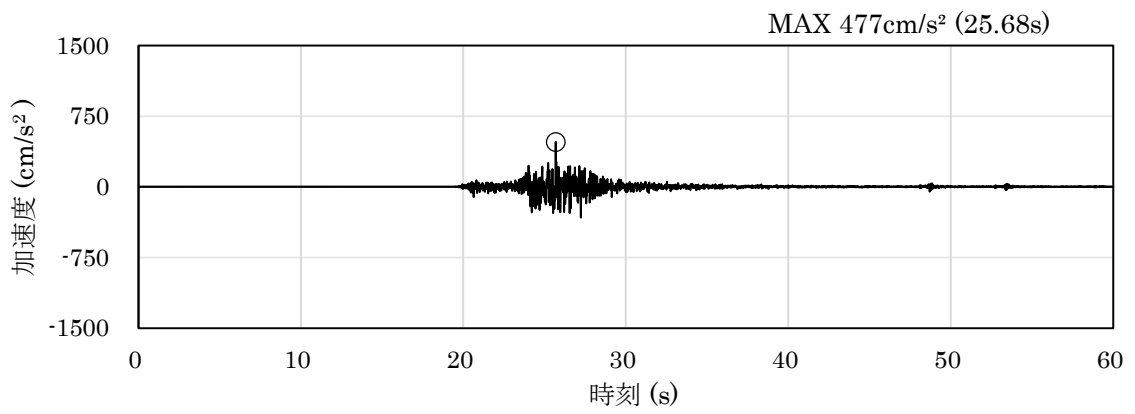


(a) 加速度時刻歴波形

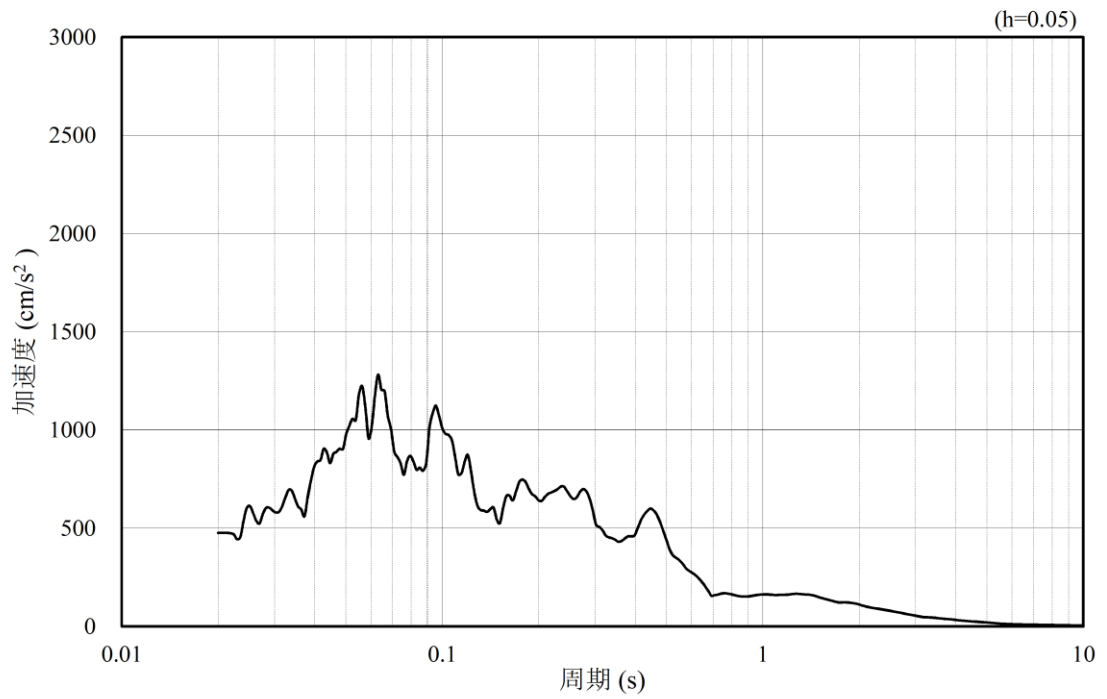


(b) 加速度応答スペクトル

図 4.1.6-46 入力地震動の加速度時刻歴波形及び加速度応答スペクトル
(水平成分：S_s-N₂，NS方向)

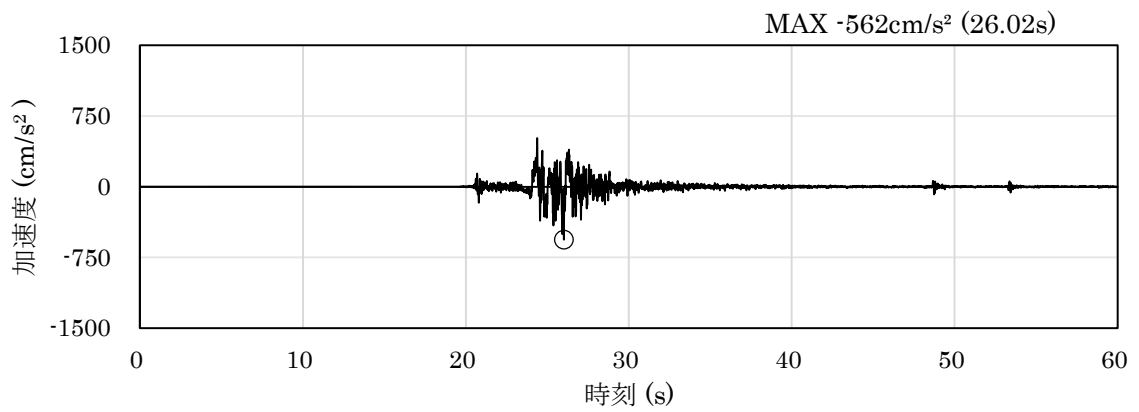


(a) 加速度時刻歴波形

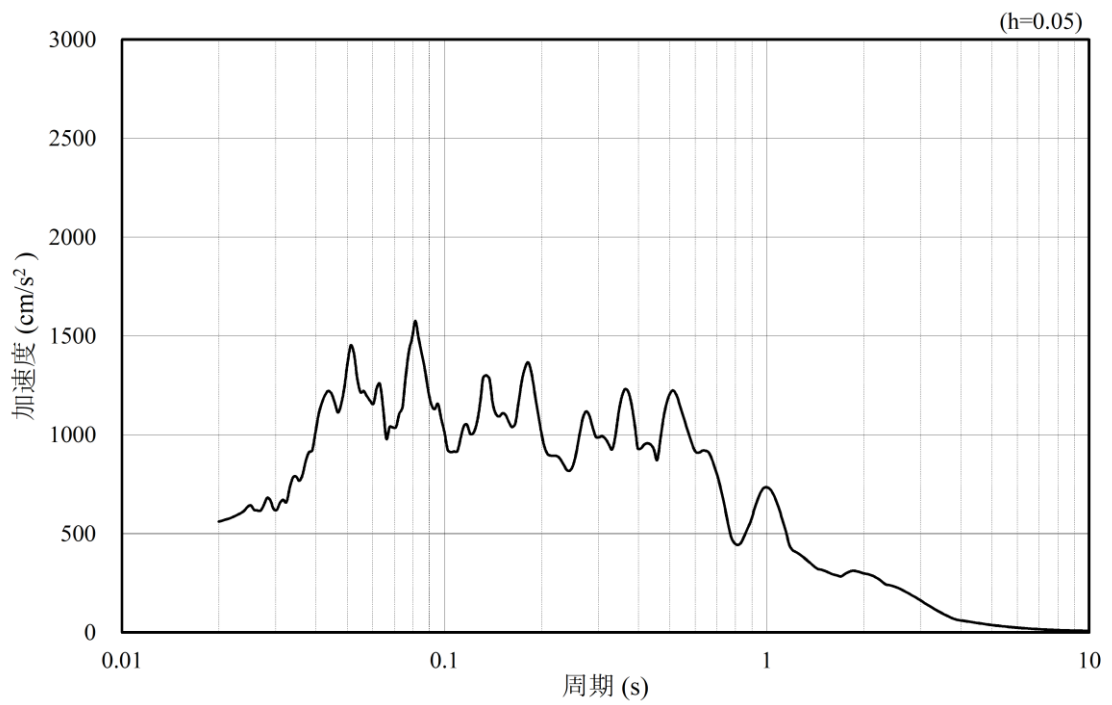


(b) 加速度応答スペクトル

図 4.1.6-47 入力地震動の加速度時刻歴波形及び加速度応答スペクトル
(鉛直成分：S s - N 2, N S 方向)

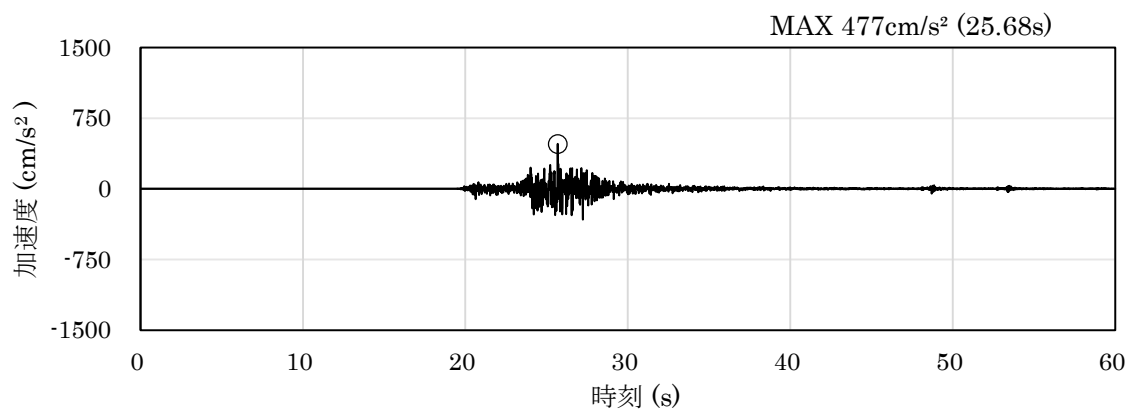


(a) 加速度時刻歴波形

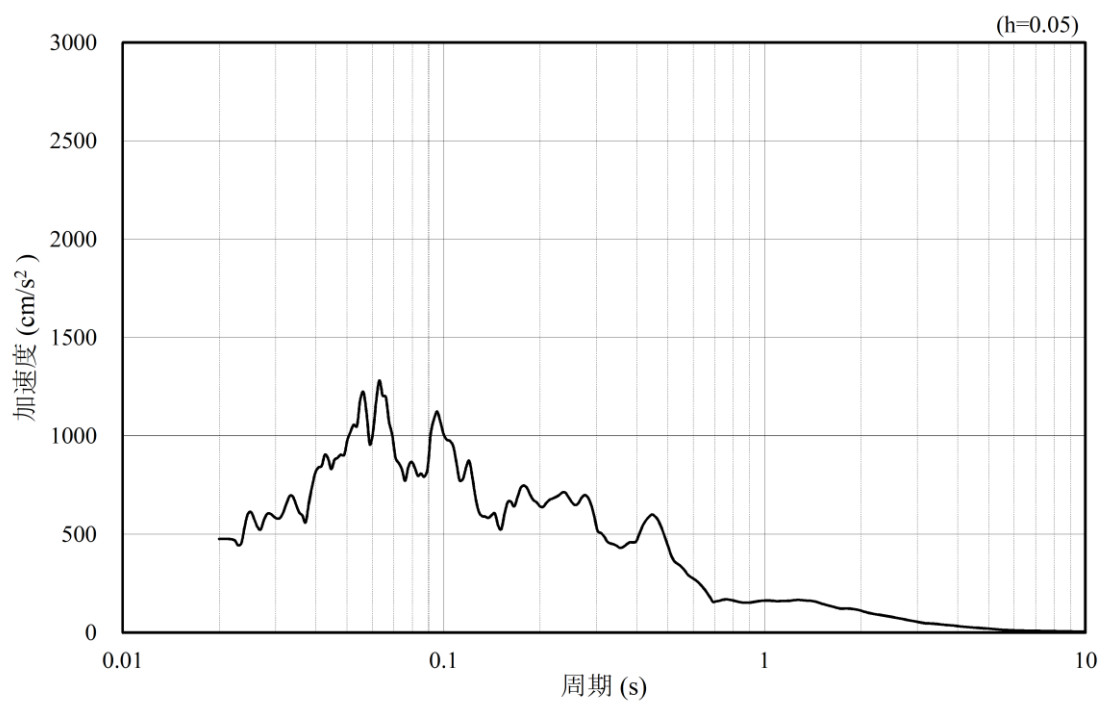


(b) 加速度応答スペクトル

図 4.1.6-48 入力地震動の加速度時刻歴波形及び加速度応答スペクトル
(水平成分：S s - N 2, E W方向)



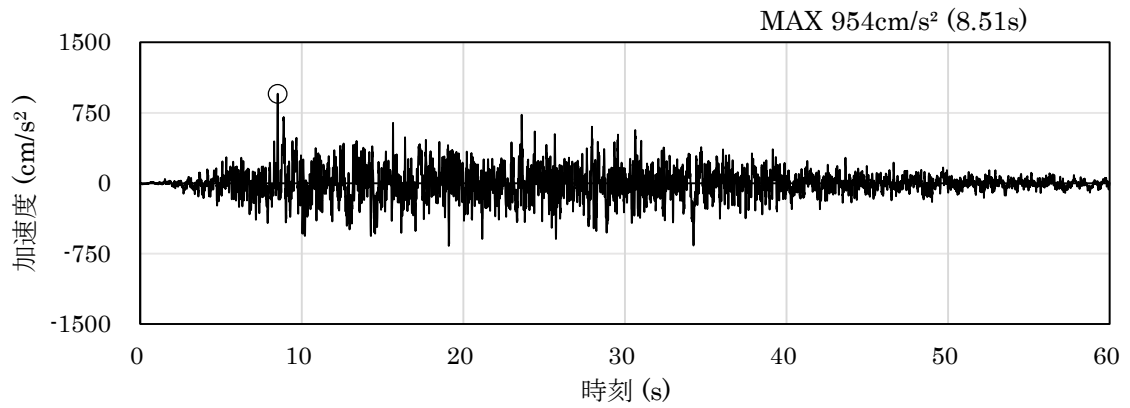
(a) 加速度時刻歴波形



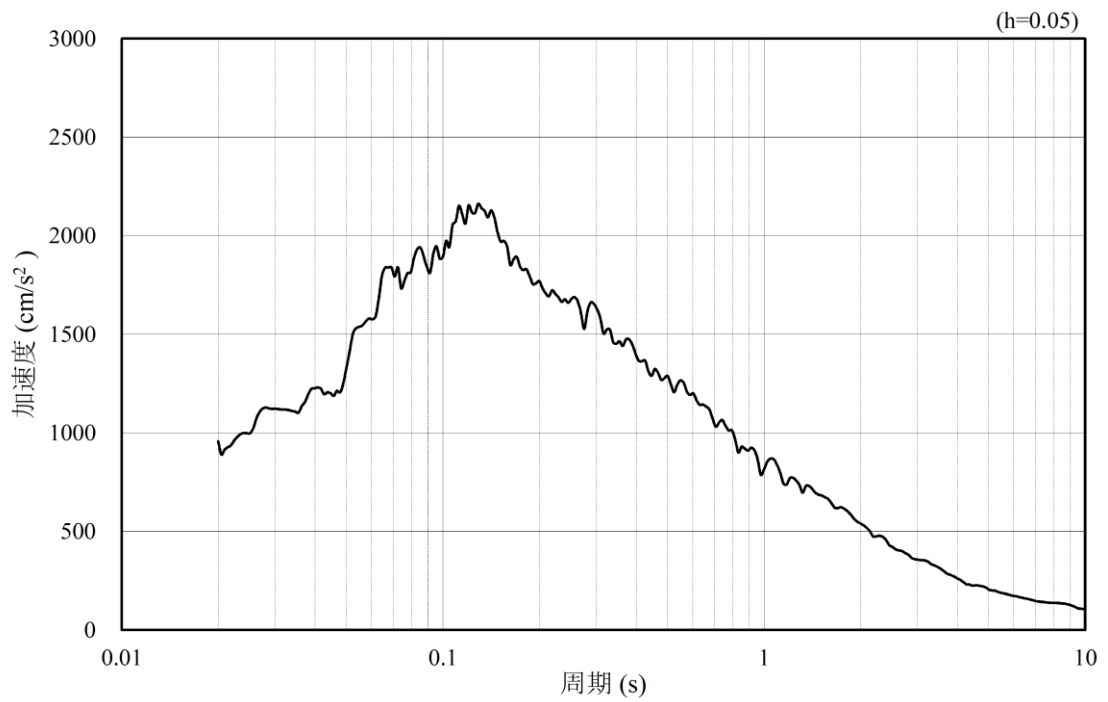
(b) 加速度応答スペクトル

図 4.1.6-49 入力地震動の加速度時刻歴波形及び加速度応答スペクトル
(鉛直成分：S s - N 2, E W方向)

(5) ⑦-⑦断面

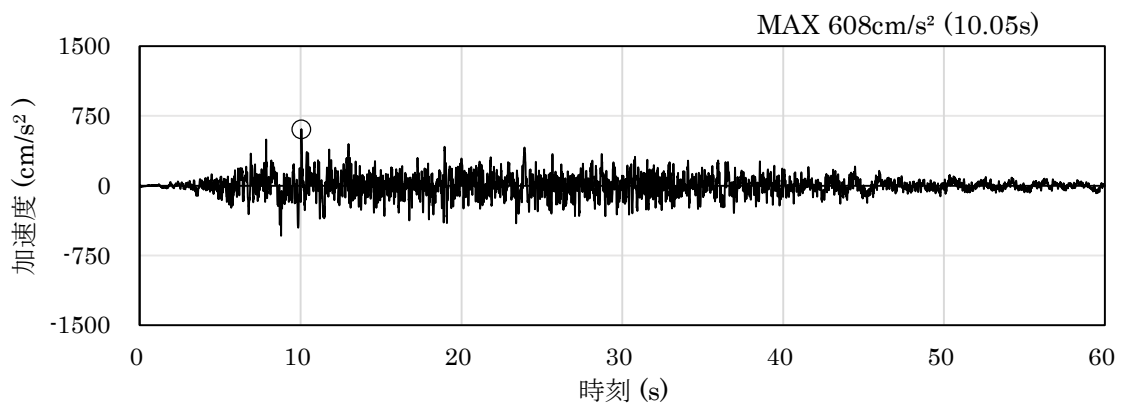


(a) 加速度時刻歴波形

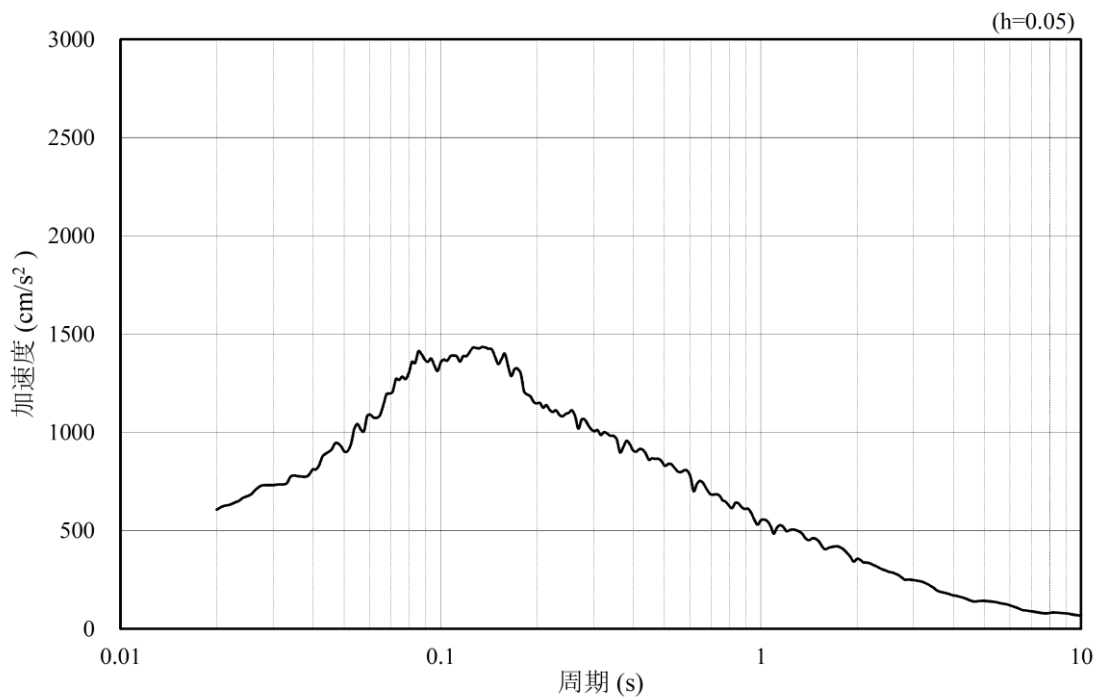


(b) 加速度応答スペクトル

図 4.1.6-50 入力地震動の加速度時刻歴波形及び加速度応答スペクトル
(水平成分：S s - D)

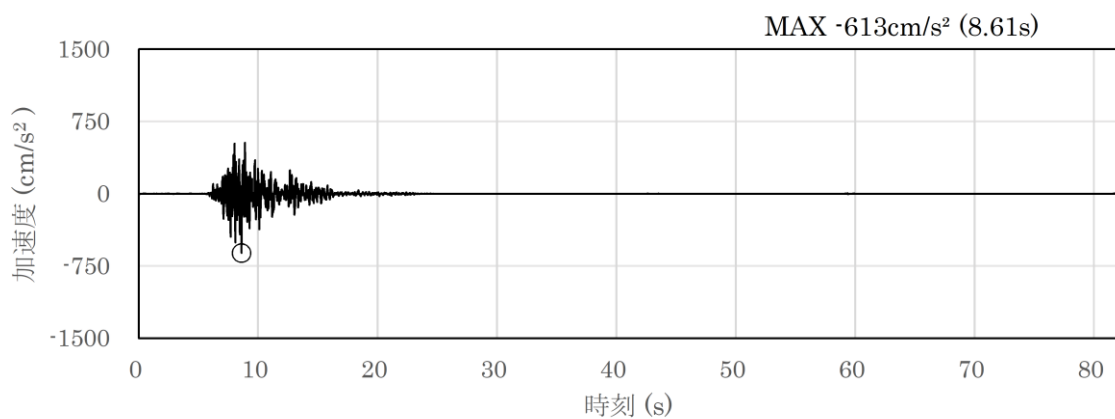


(a) 加速度時刻歴波形

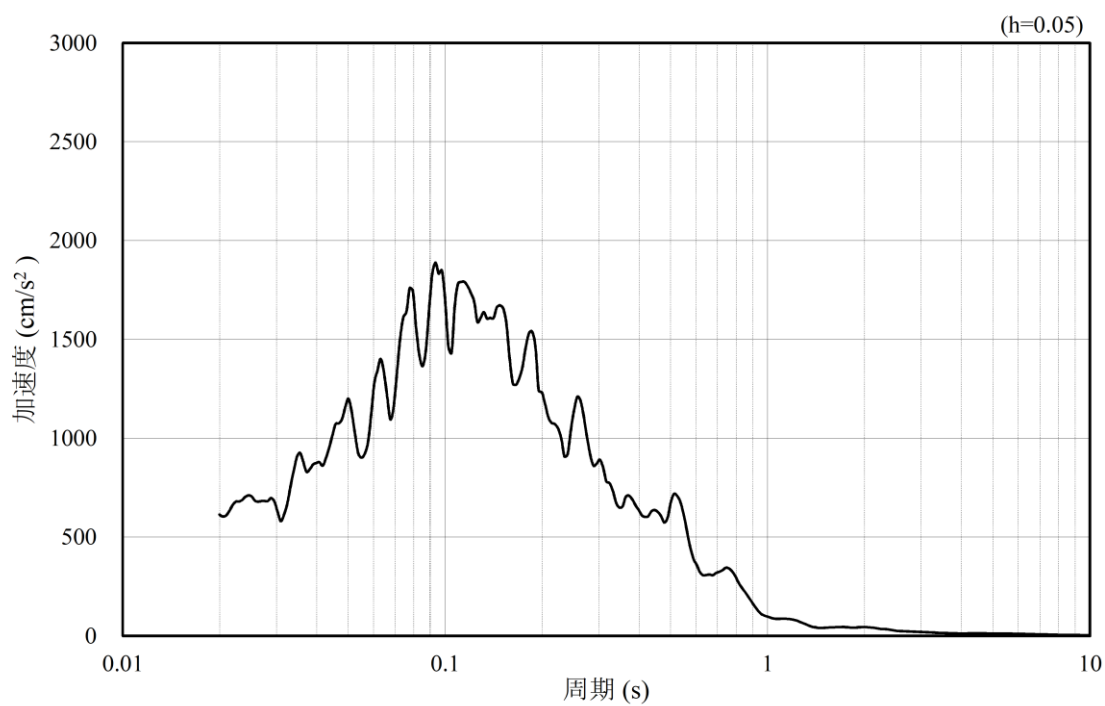


(b) 加速度応答スペクトル

図 4.1.6-51 入力地震動の加速度時刻歴波形及び加速度応答スペクトル
(鉛直成分：S s - D)

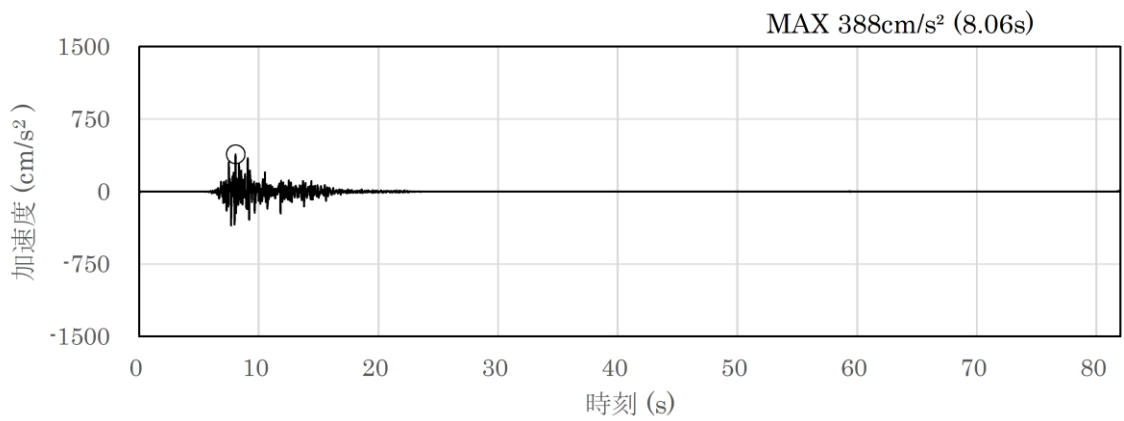


(a) 加速度時刻歴波形

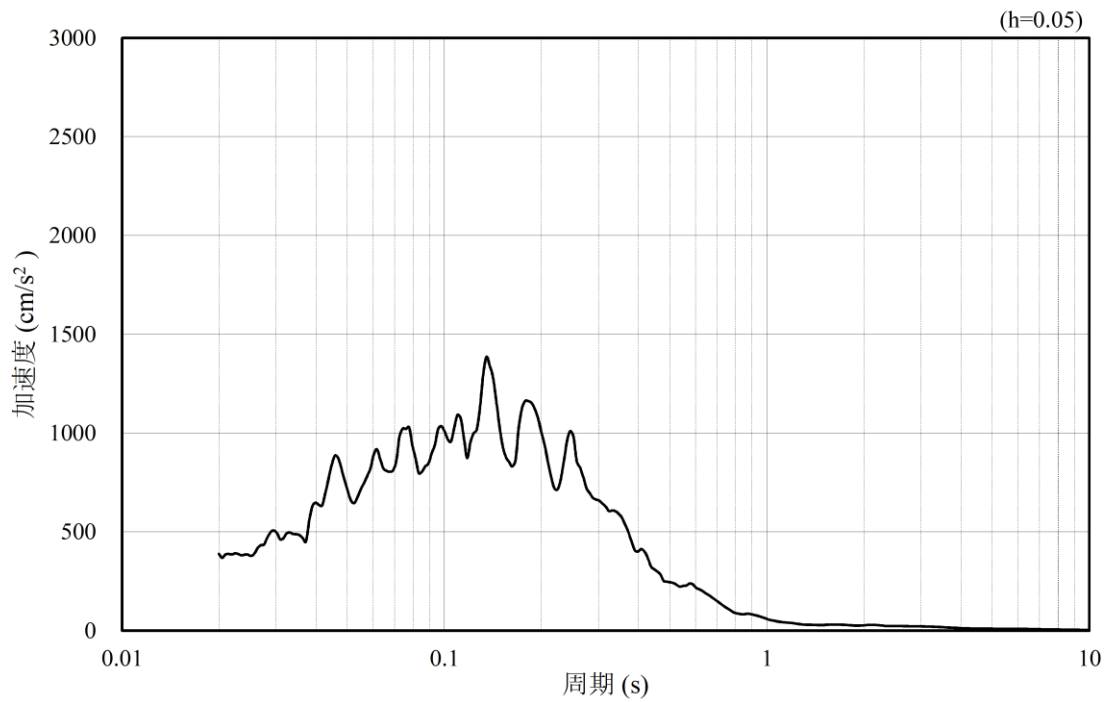


(b) 加速度応答スペクトル

図 4.1.6-52 入力地震動の加速度時刻歴波形及び加速度応答スペクトル
(水平成分：S s - F 1)

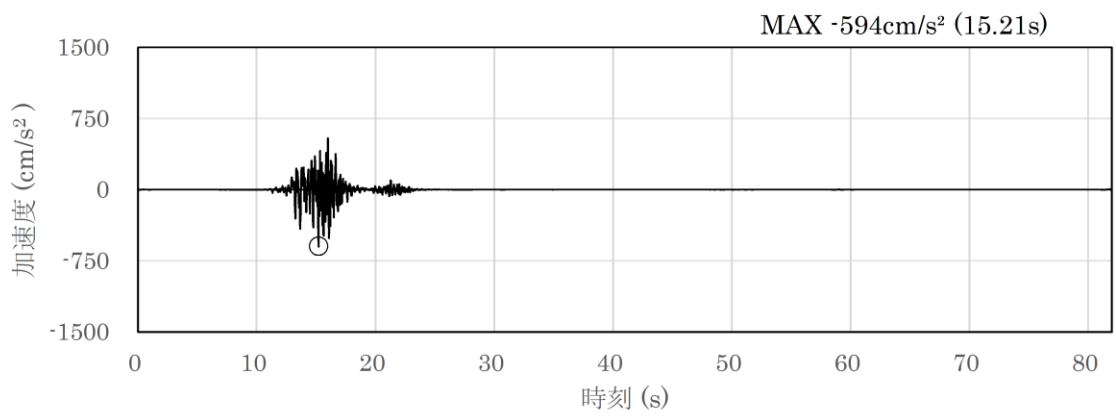


(a) 加速度時刻歴波形

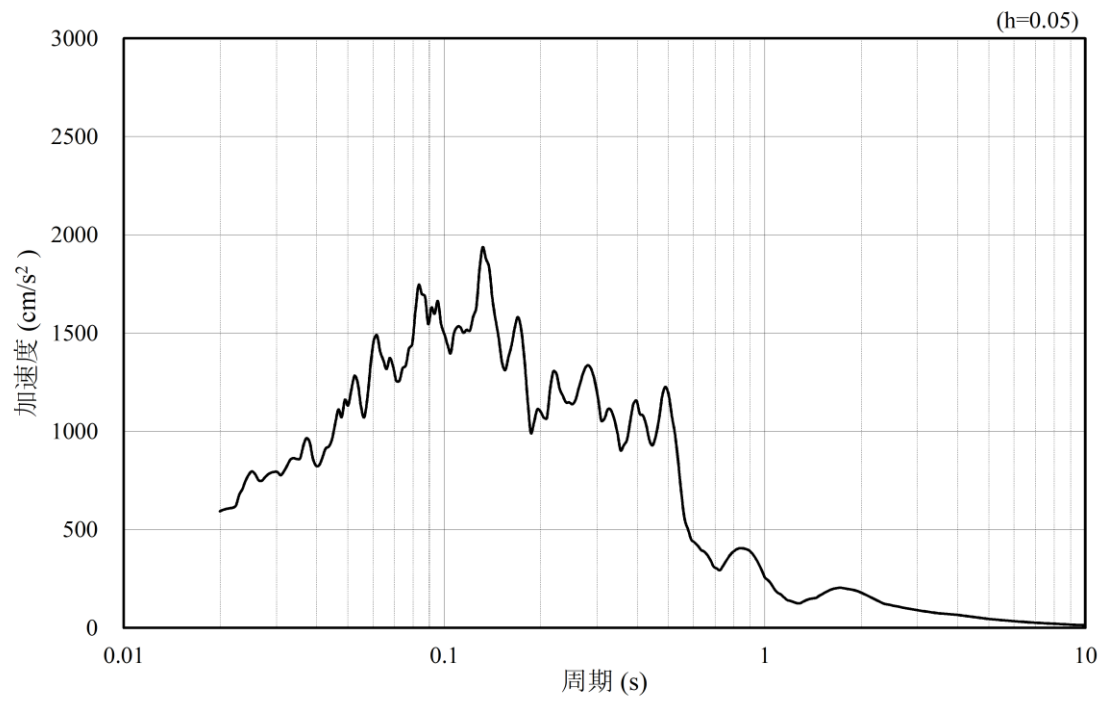


(b) 加速度応答スペクトル

図 4.1.6-53 入力地震動の加速度時刻歴波形及び加速度応答スペクトル
(鉛直成分：S s - F 1)

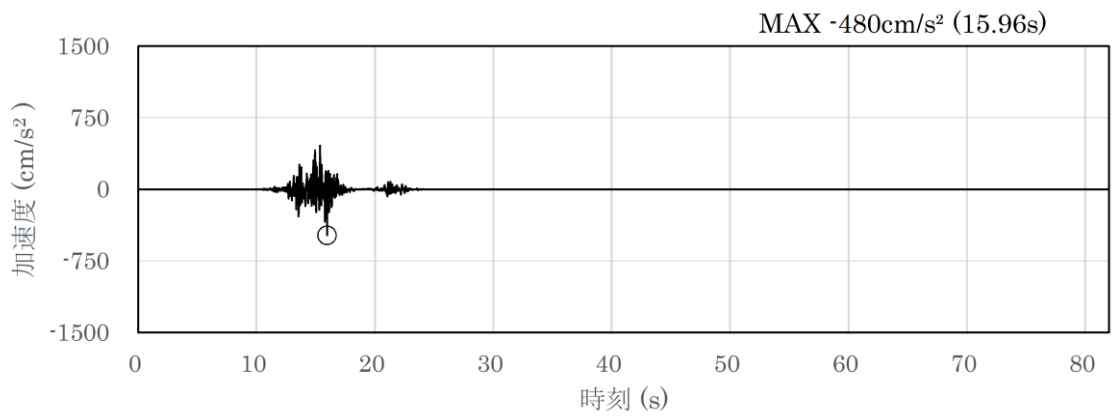


(a) 加速度時刻歴波形

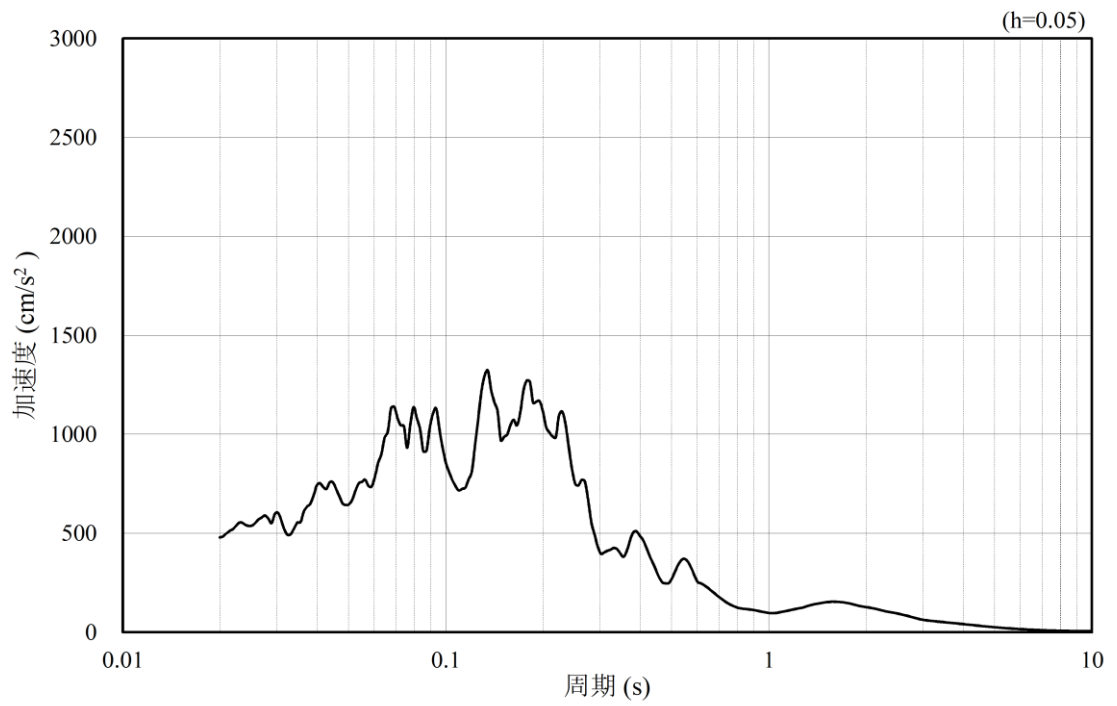


(b) 加速度応答スペクトル

図 4.1.6-54 入力地震動の加速度時刻歴波形及び加速度応答スペクトル
(水平成分：S s - F 2)

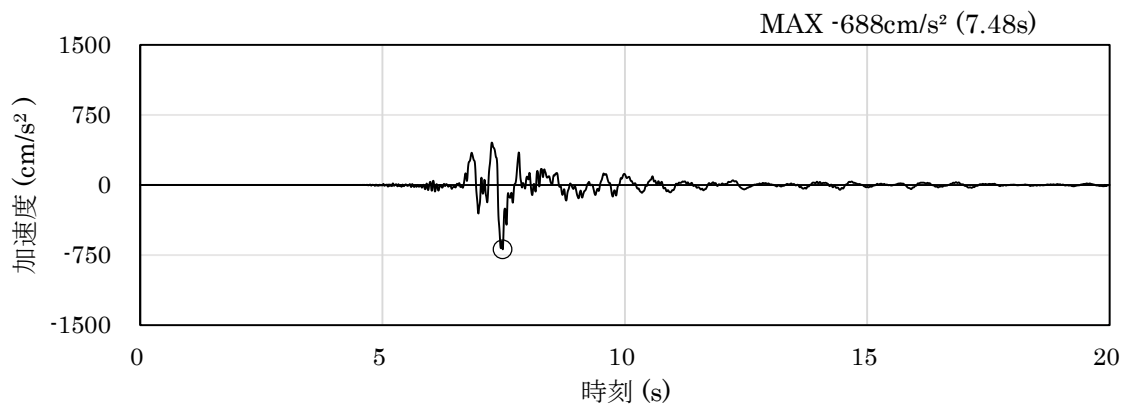


(a) 加速度時刻歴波形

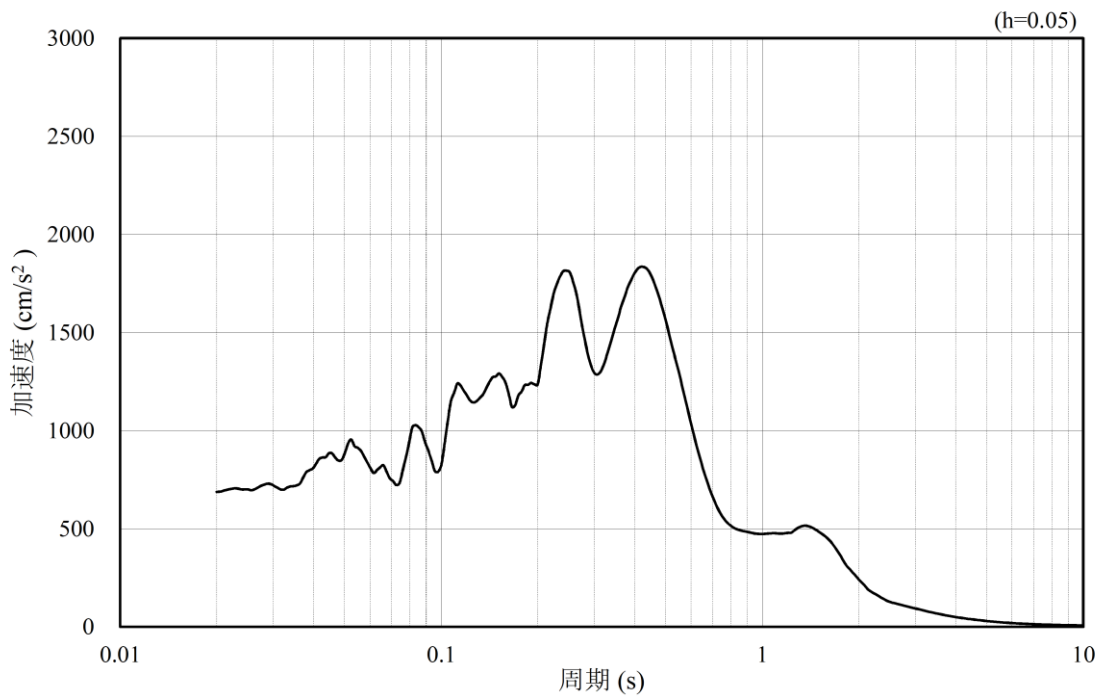


(b) 加速度応答スペクトル

図 4.1.6-55 入力地震動の加速度時刻歴波形及び加速度応答スペクトル
(鉛直成分：S_s-F2)

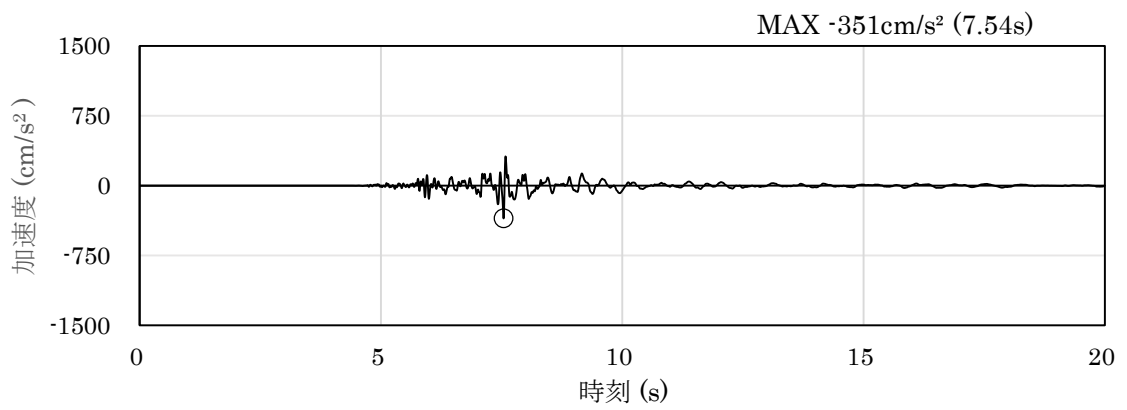


(a) 加速度時刻歴波形

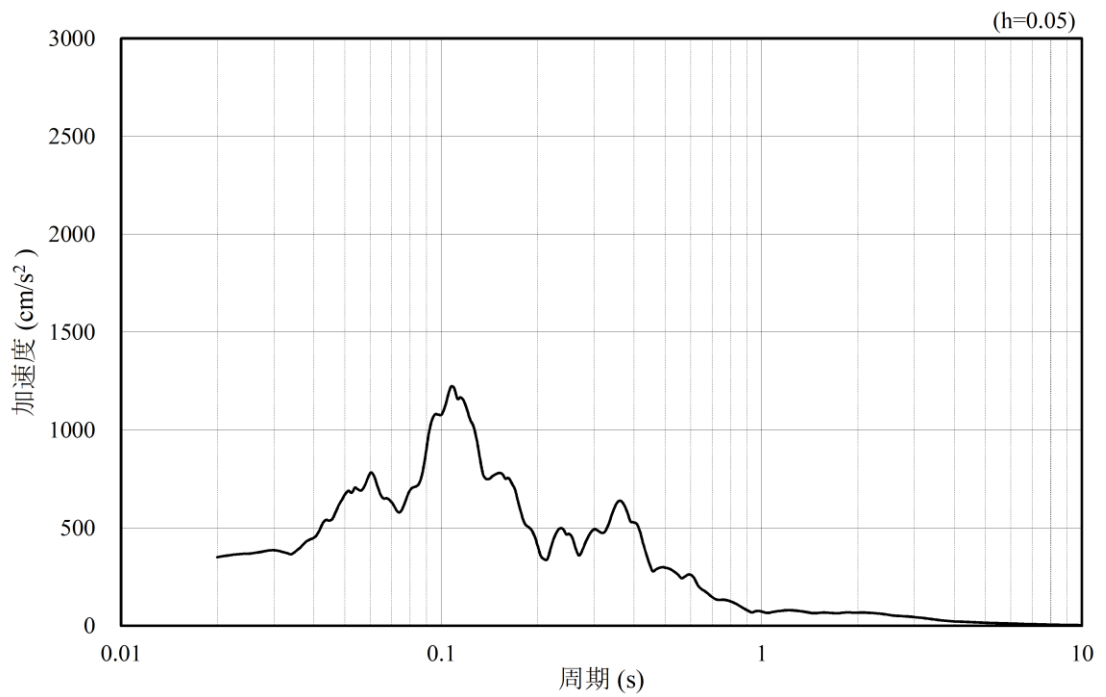


(b) 加速度応答スペクトル

図 4.1.6-56 入力地震動の加速度時刻歴波形及び加速度応答スペクトル
(水平成分 : S s - N 1)

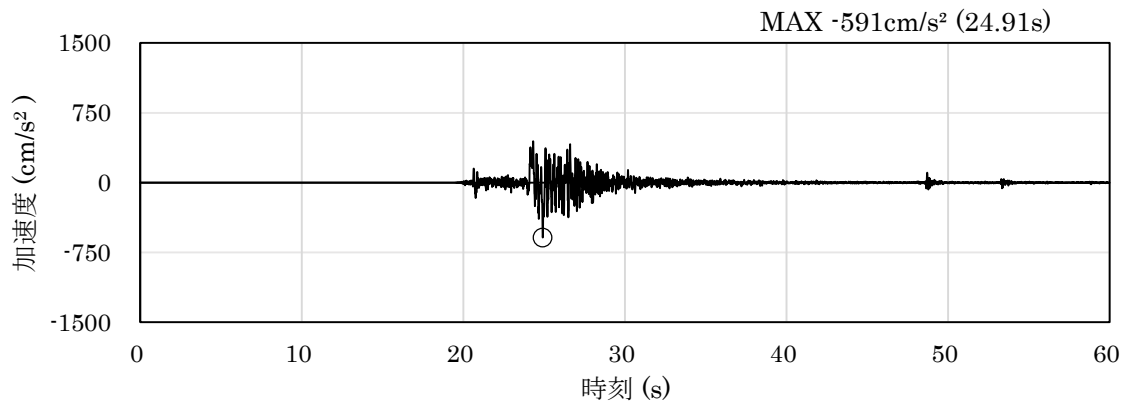


(a) 加速度時刻歴波形

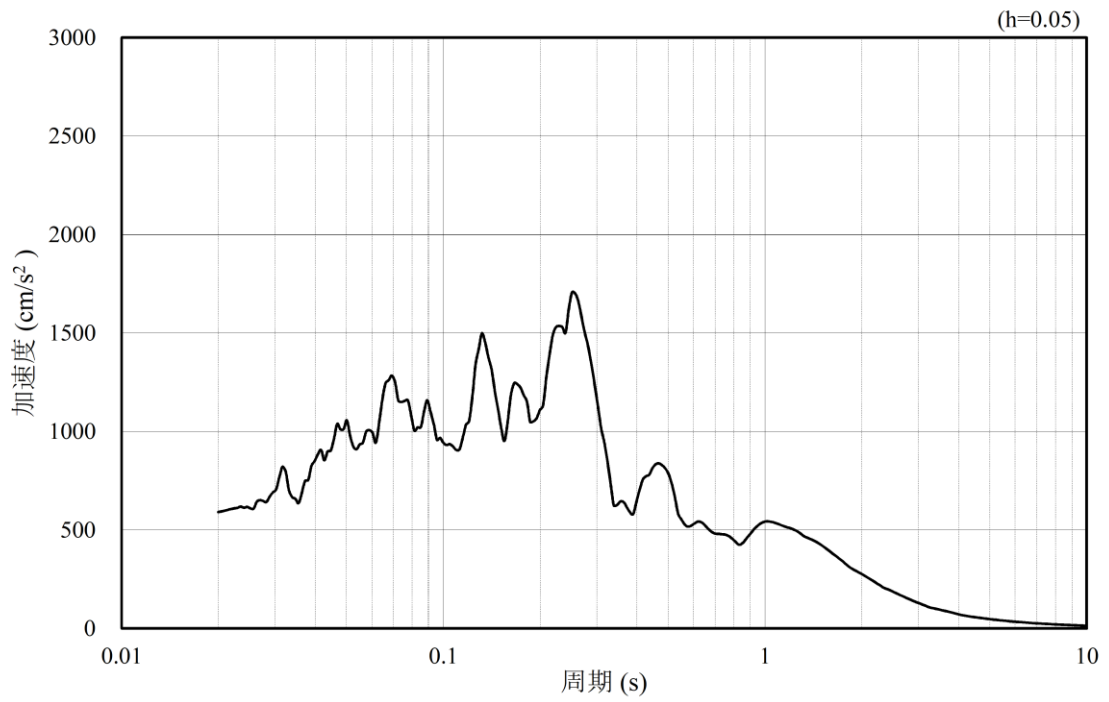


(b) 加速度応答スペクトル

図 4.1.6-57 入力地震動の加速度時刻歴波形及び加速度応答スペクトル
(鉛直成分：S_s-N1)

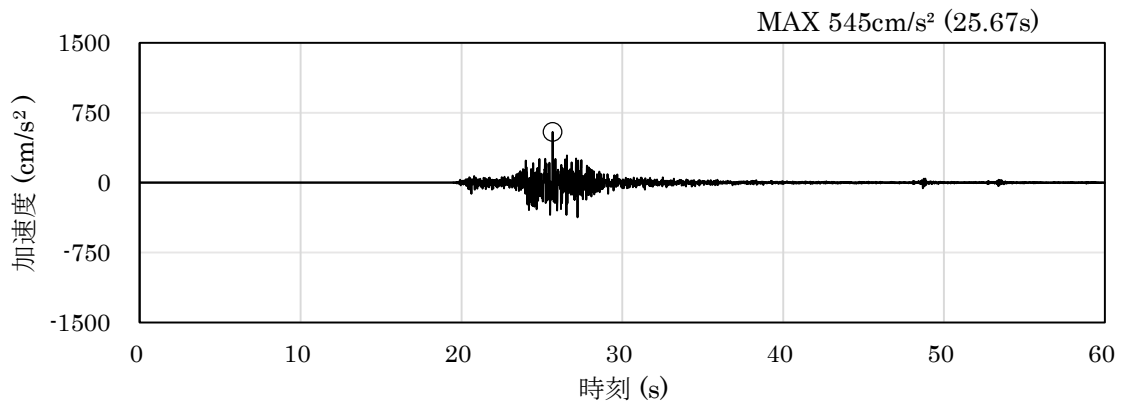


(a) 加速度時刻歴波形

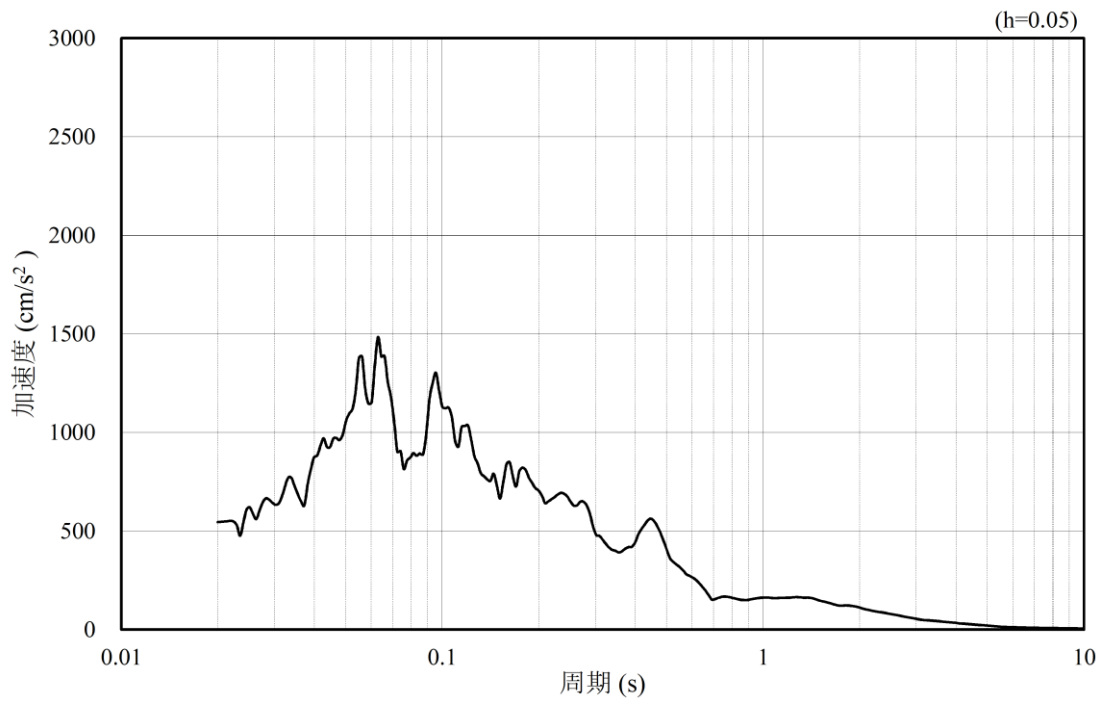


(b) 加速度応答スペクトル

図 4.1.6-58 入力地震動の加速度時刻歴波形及び加速度応答スペクトル
(水平成分：S_s-N2, NS方向)

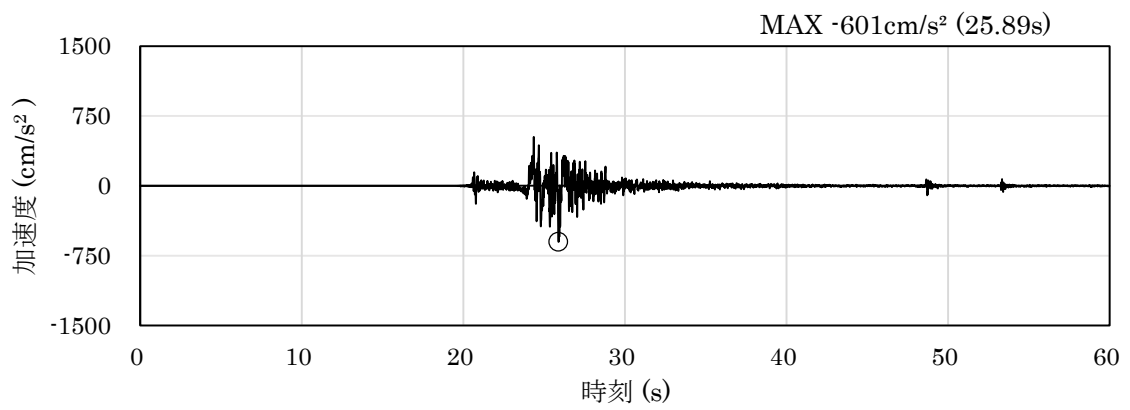


(a) 加速度時刻歴波形

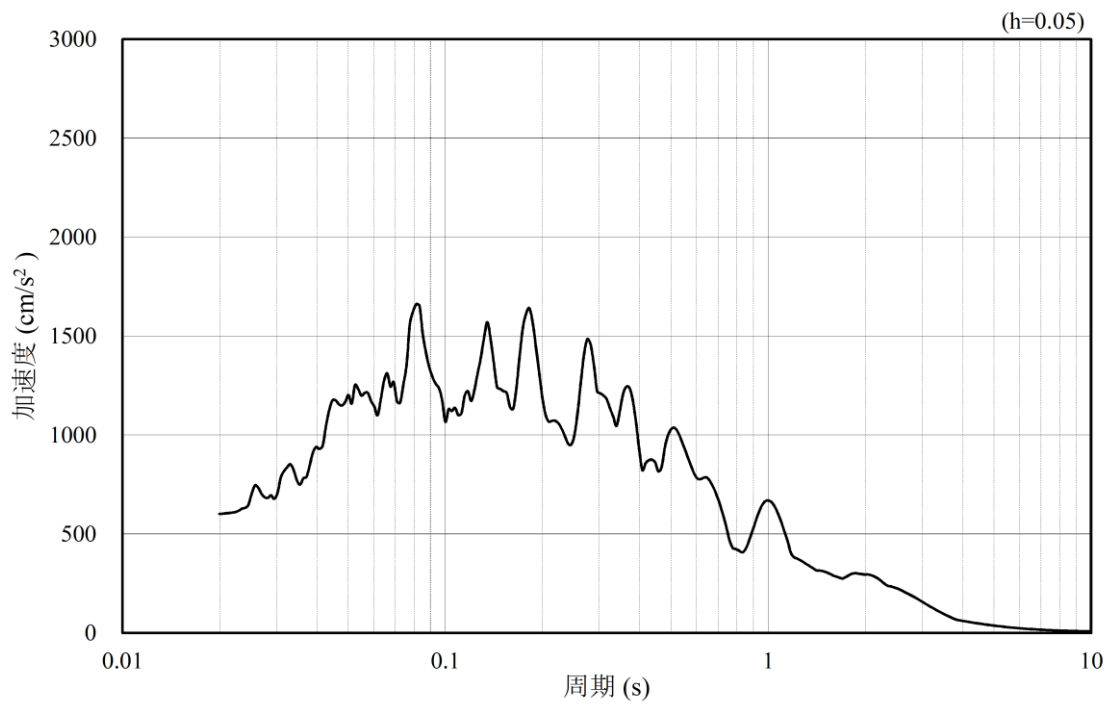


(b) 加速度応答スペクトル

図 4.1.6-59 入力地震動の加速度時刻歴波形及び加速度応答スペクトル
(鉛直成分：S_s-N2, NS方向)

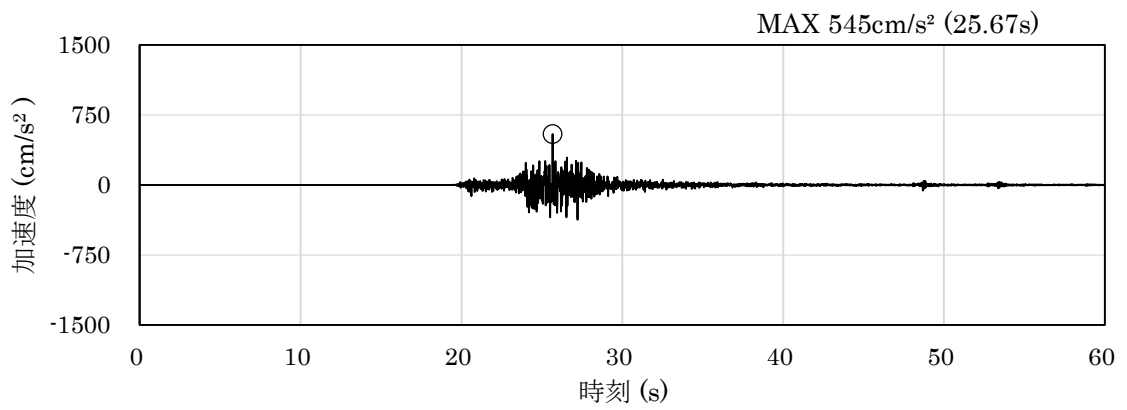


(a) 加速度時刻歴波形

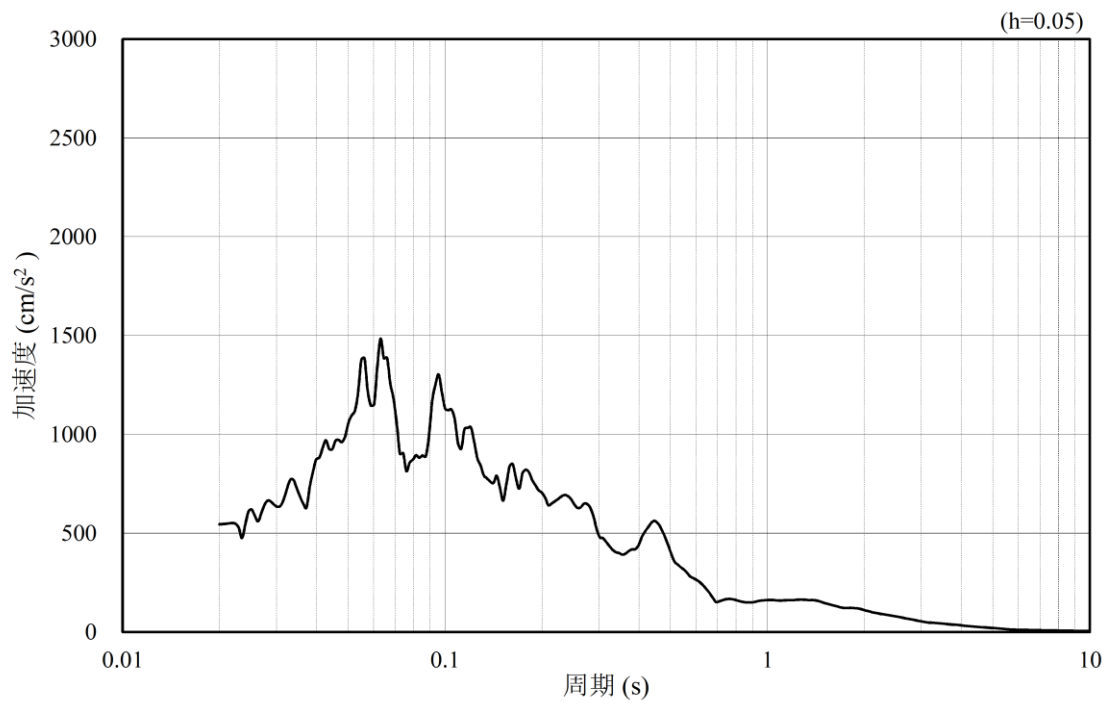


(b) 加速度応答スペクトル

図 4.1.6-60 入力地震動の加速度時刻歴波形及び加速度応答スペクトル
(水平成分：S_s-N₂，EW方向)



(a) 加速度時刻歴波形



(b) 加速度応答スペクトル

図 4.1.6-61 入力地震動の加速度時刻歴波形及び加速度応答スペクトル
(鉛直成分：S_s-N2, EW方向)

4.1.7 解析モデル及び諸元

(1) 解析モデル

防波壁（波返重力擁壁）の評価対象断面位置図を図 4.1.7-1 に、地震応答解析モデルを図 4.1.7-2、図 4.1.7-4、図 4.1.7-6、図 4.1.7-8 及び図 4.1.7-10 に、地質断面図を図 4.1.7-3、図 4.1.7-5、図 4.1.7-7 及び図 4.1.7-9 に示す。

なお、③-③断面の解析モデル範囲において、防波壁に隣接している 3号機放水
 接続槽は耐震性を説明しない構造物であるため、保守的に埋戻土としてモデル化す
 る。3号機放水路の影響については、「2.1.9 防波壁の設計・管理に関する補足説
 明」において説明する。⑤-⑤断面の解析モデル範囲において、隣接するサイトバ
 ンカ建物は、地表面付近の岩盤上に設置され、防波壁（波返重力擁壁）へ与える応
 答の影響は小さいことから隣接構造物としてモデル化しない。

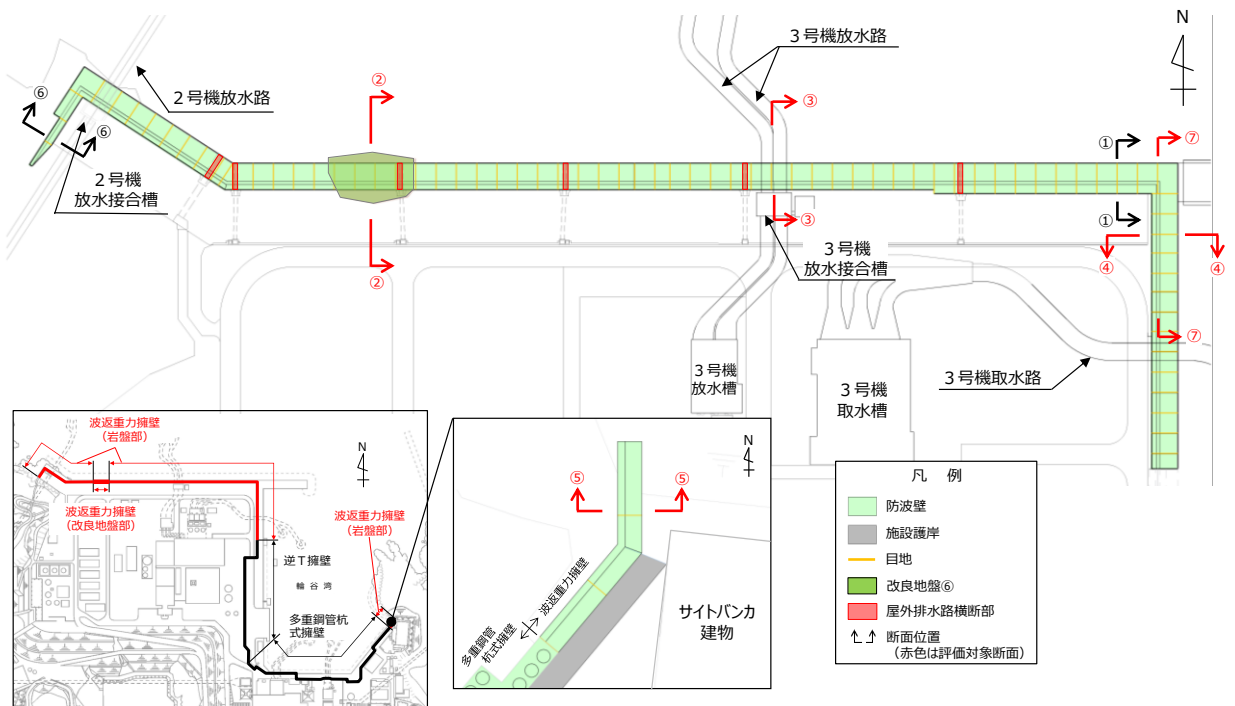


図 4.1.7-1 防波壁（波返重力擁壁）の評価対象断面位置図

- | | | | |
|--------------|----------------|---------|-------------|
| : 岩盤 (第②速度層) | : 防波壁 (波返重力擁壁) | : MMR | : ジョイント要素 |
| : 岩盤 (第④速度層) | : 埋戻土 (護岸背面) | : 砂礫層 | : 地下水面及び海水面 |
| : 岩盤 (第⑤速度層) | : 海水 | : 改良地盤⑥ | |
| : 埋戻土 | | | |

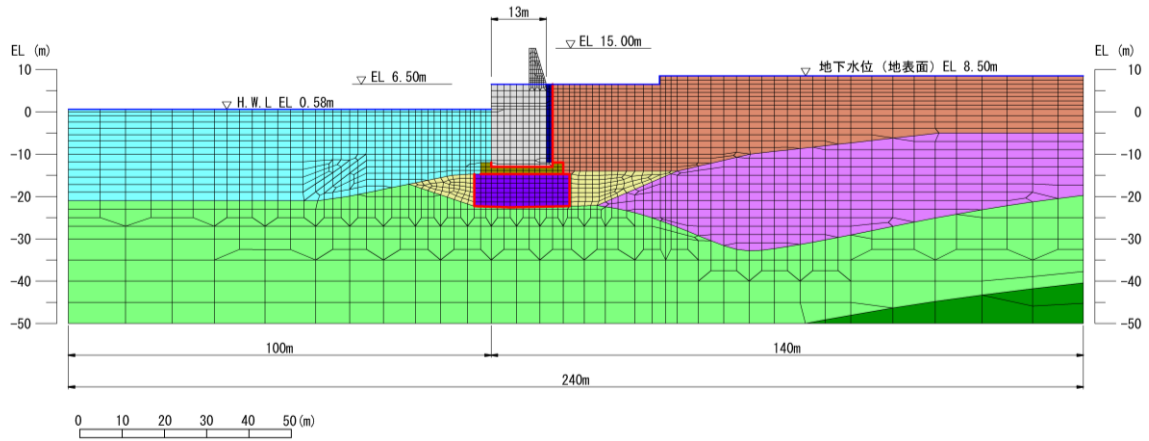


図 4.1.7-2 地震応答解析モデル (②-②断面)

(単位:m)

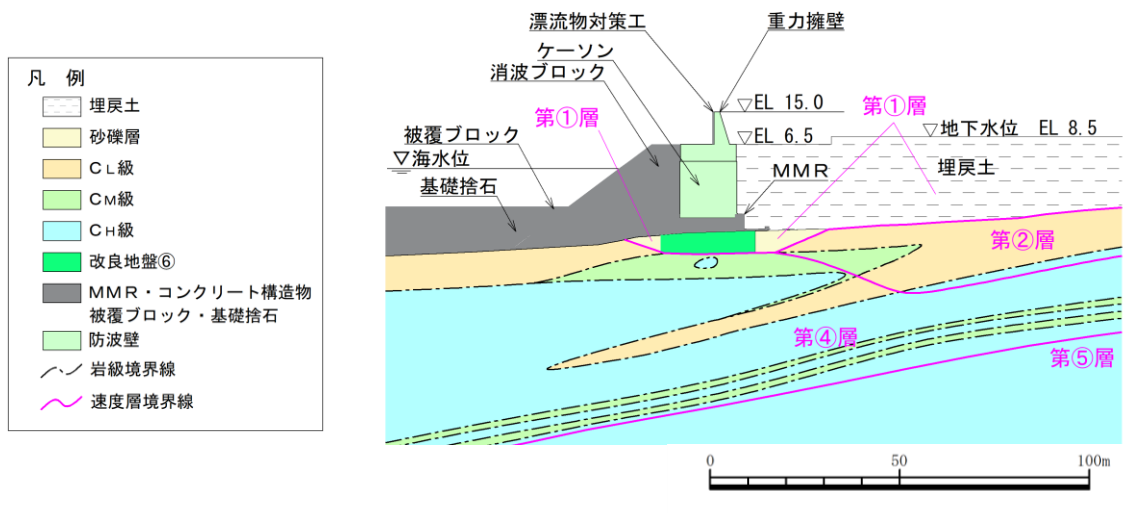


図 4.1.7-3 地質断面図 (②-②断面)

- : 岩盤 (第④速度層)
- : MMR
- : ジョイント要素
- : 埋戻土
- : 海水
- : 地下水面及び海水面
- : 防波壁 (波返重力擁壁)

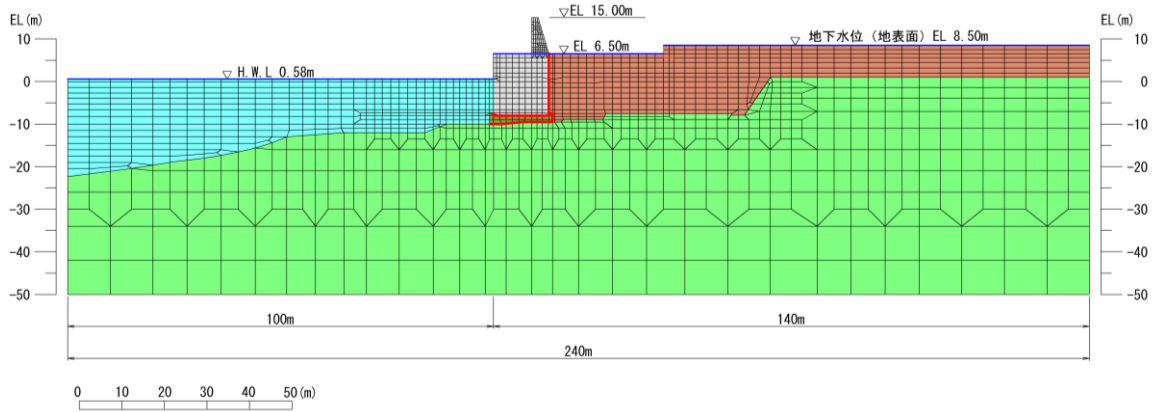


図 4.1.7-4 地震応答解析モデル (③-③断面)

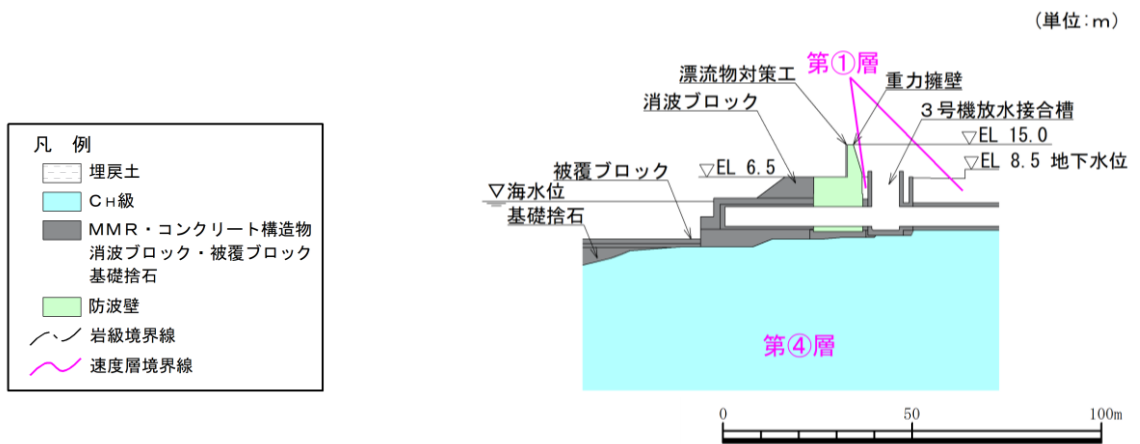


図 4.1.7-5 地質断面図 (③-③断面)

- | | | |
|----------------|------------------|---------------|
| ■ : 岩盤 (第③速度層) | ■ : 防波壁 (波返重力擁壁) | ■ : 海水 |
| ■ : 岩盤 (第④速度層) | ■ : 埋戻土 (護岸背面) | ■ : ジョイント要素 |
| ■ : 埋戻土 | ■ : MMR | ■ : 地下水面及び海水面 |

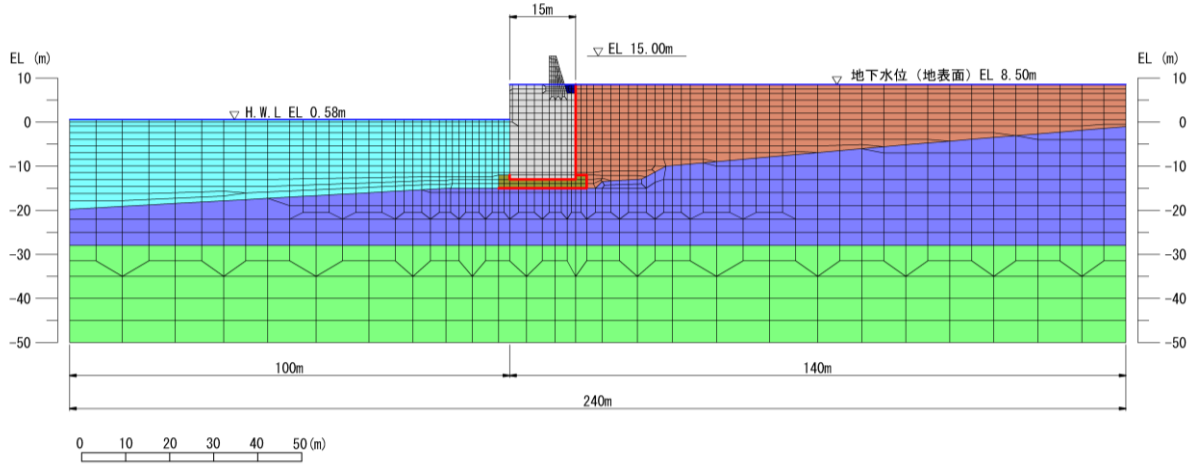


図 4.1.7-6 地震応答解析モデル (④-④断面)

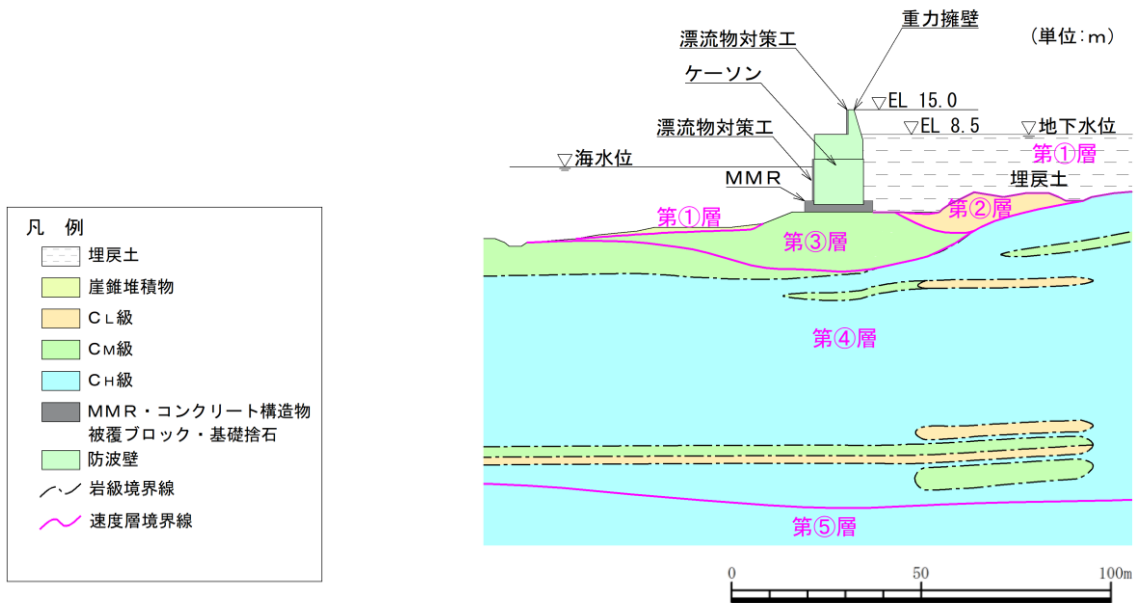


図 4.1.7-7 地質断面図 (④-④断面)

- : 岩盤 (第③速度層)
- : 防波壁 (波返重力擁壁)
- : ジョイント要素
- : 埋戻土
- : 地下水面及び海水面

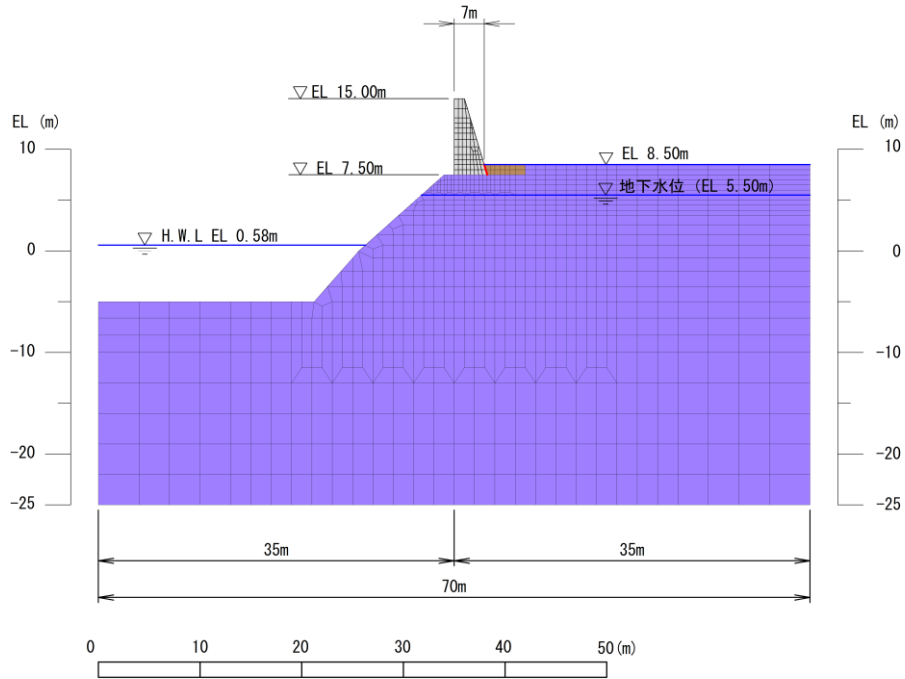


図 4.1.7-8 地震応答解析モデル (⑤-⑤断面)

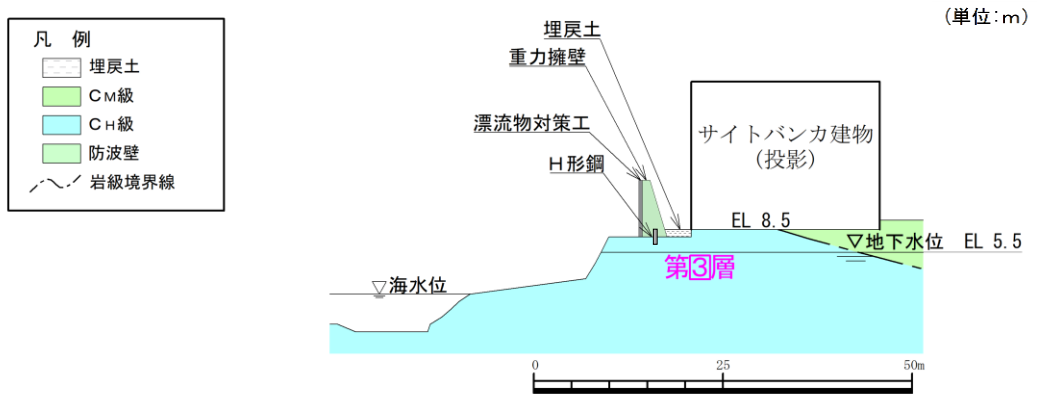


図 4.1.7-9 地質断面図 (⑤-⑤断面)

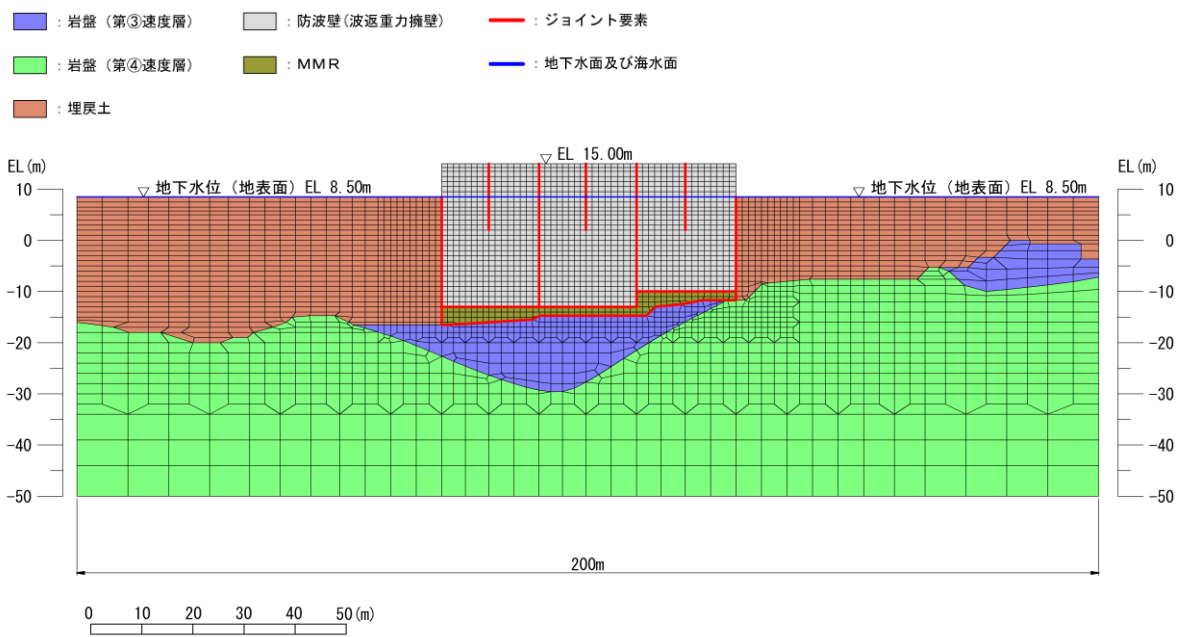


図 4.1.7-10 地震応答解析モデル (⑦-⑦断面)

a. 解析領域

地震応答解析モデルは、境界条件の影響が地盤及び構造物の応力状態に影響を及ぼさないよう、十分広い領域とする。具体的には、「J E A G 4 6 0 1 -1987」を参考に、図 4.1.7-11 に示すとおりモデル幅を構造物基礎幅の 5 倍以上、構造物下端からモデル下端までの高さを構造物基礎幅の 2 倍以上確保する。なお、対象断面によって、地層形状に合わせてモデル化領域を調整する。

地盤の要素分割については、波動をなめらかに表現するために、対象とする波長の 5 分の 1 程度を考慮し、要素高さを 1 m 程度以下まで細分割して設定する。

解析モデルの下端については、EL-50m までモデル化する。

有効応力解析における地震応答解析モデルは、検討対象構造物とその周辺地盤をモデル化した不整形地盤に加え、この不整形地盤の左右に広がる地盤をモデル化した自由地盤で構成される。この自由地盤は、不整形地盤の左右端と同じ地質構成を有する一次元地盤モデルである。地震応答解析における自由地盤の常時応力解析から不整形地盤の地震応答解析までのフローを図 4.1.7-12 に示す。

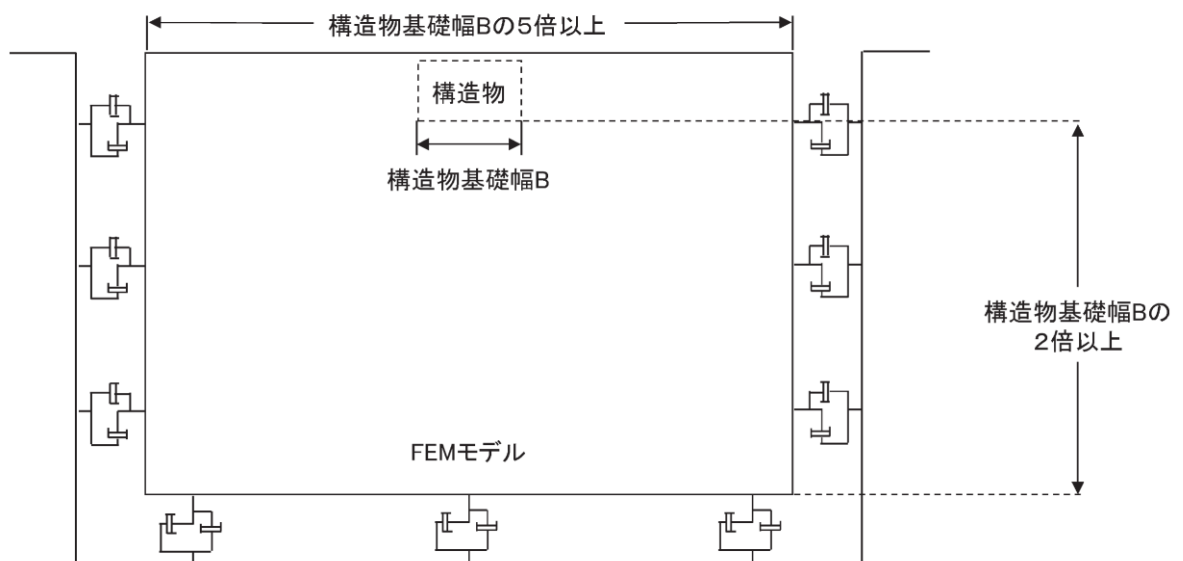


図 4.1.7-11 モデル化範囲の考え方

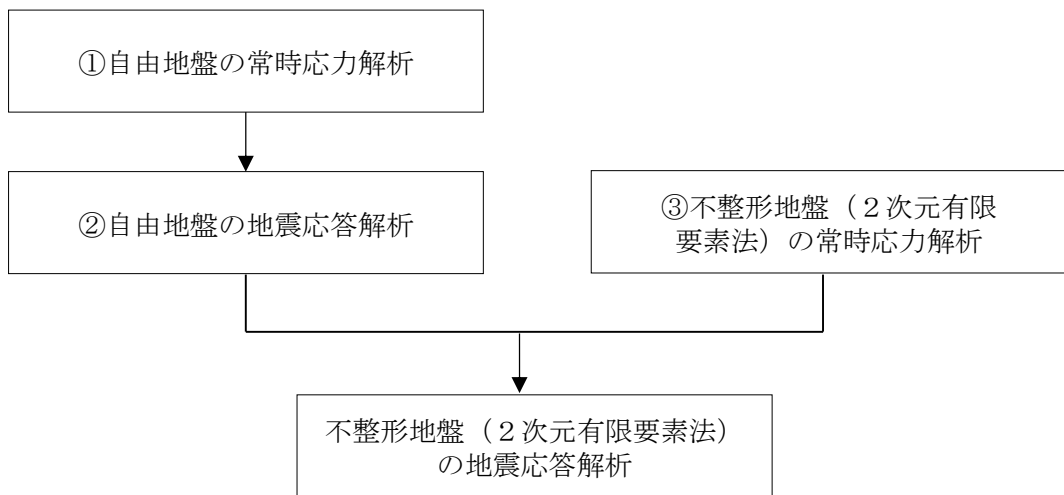


図 4.1.7-12 自由地盤の常時応力解析から不整形地盤の地震応答解析までのフロー（有効応力解析）

b. 境界条件

(a) 常時応力解析時

常時応力解析は、地盤や構造物の自重及び風荷重等の静的な荷重を載荷することによる常時応力を算定するために行う。そこで、常時応力解析時の境界条件は底面固定とし、側方は自重等による地盤の鉛直方向の変形を拘束しないよう鉛直ローラーとする。境界条件の概念図を図 4.1.7-13 に示す。

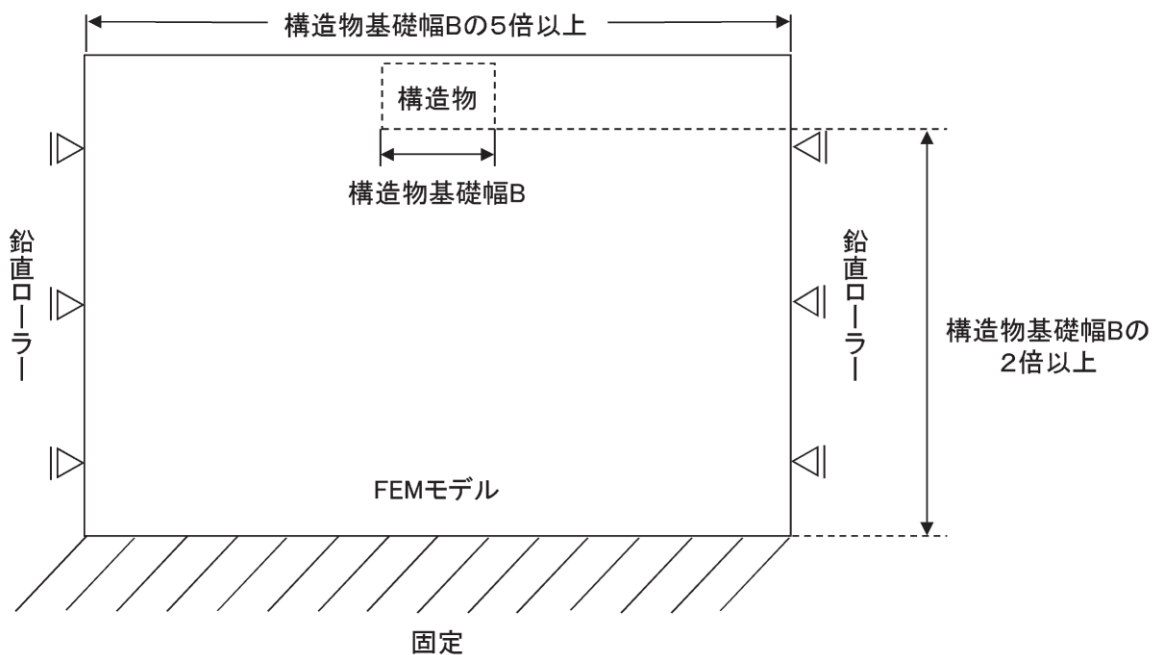


図 4.1.7-13 常時応力解析における境界条件の概念図

(b) 地震応答解析時

地震応答解析時の境界条件については、有限要素解析における半無限地盤を模擬するため、粘性境界を設ける。底面の粘性境界については、地震動の下降波がモデル底面境界から半無限地盤へ通過していく状態を模擬するため、ダッシュポットを設定する。側方の粘性境界については、自由地盤の地盤振動と不整形地盤側方の地盤振動の差分が側方を通過していく状態を模擬するため、自由地盤の側方にダッシュポットを設定する。境界条件の概念図を図 4.1.7-14 に示す。

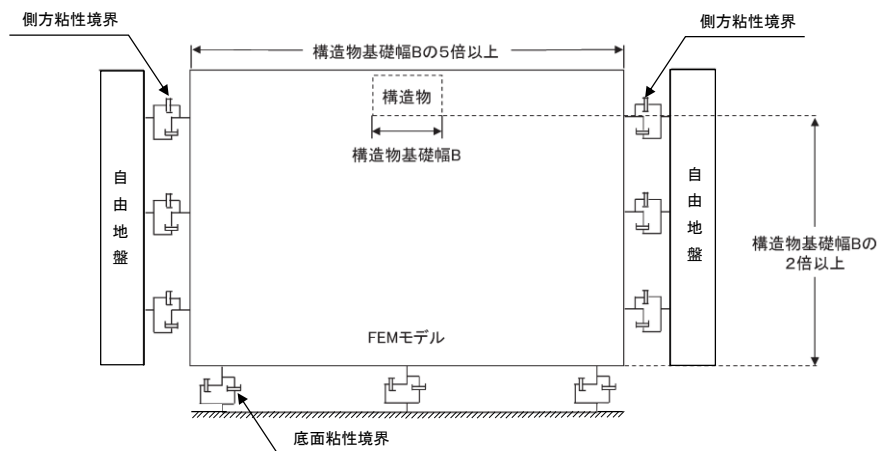


図 4.1.7-14 地震応答解析における境界条件の概念図

c. 構造物のモデル化

(a) 重力擁壁

重力擁壁は、線形の平面ひずみ要素でモデル化する。なお、重力擁壁とケーソンについては、「(参考資料 6) ケーソン及び重力擁壁の一体性について」で一体性を確認していることから、一体としてモデル化する。

(b) ケーソン

防波壁（波返重力擁壁）のケーソンは、線形の平面ひずみ要素でモデル化する。ただし、ケーソンは側壁及び隔壁を有する箱型形状であることから、地震応答解析モデルの平面ひずみ要素の設定については、3次元構造解析により側壁及び隔壁の影響を考慮した等価な剛性となるように調整して設定を行う。ケーソンの等価剛性の調整手順を以下に示す。

3次元構造解析モデルのケーソンに水平荷重として単位荷重（100kN/m²）を作用させ、ケーソン上端の奥行方向の平均的な水平変位を算定する。次に、地震応答解析モデルにおいて、ケーソンに同じ単位荷重を作用させ、ケーソン上端における変位が、3次元構造解析モデルで算定したケーソン上端の水平変位

と等しくなるようにケーソンの弾性係数を設定する。3次元構造解析モデルと地震応答解析モデルの水平変位比較位置を図4.1.7-15に、剛性調整方法を図4.1.7-16に、剛性調整結果を表4.1.7-1に示す。なお、単位荷重を載荷させる3次元構造解析モデル及び地震応答解析モデルの底面の境界条件は、構造物の変位に着目するため固定境界としている。

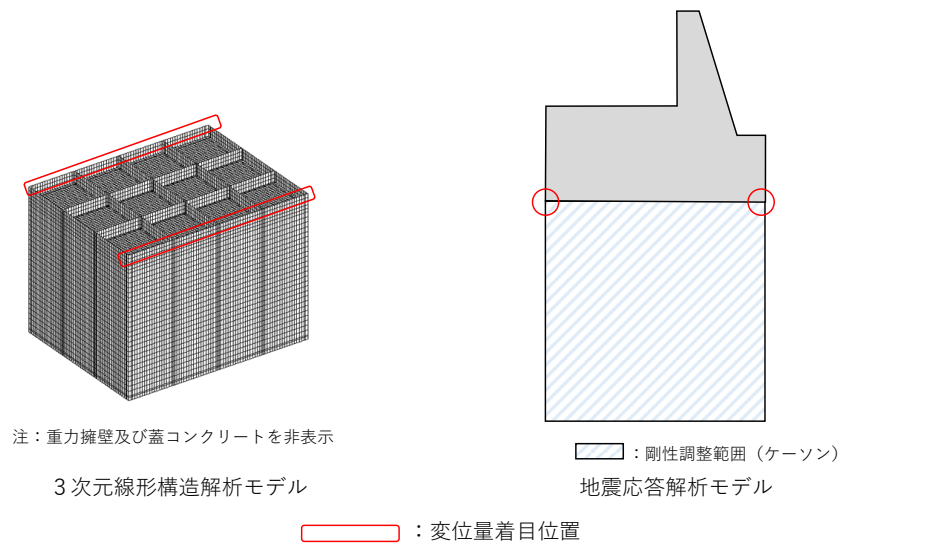


図 4.1.7-15 解析モデル水平変位比較位置図

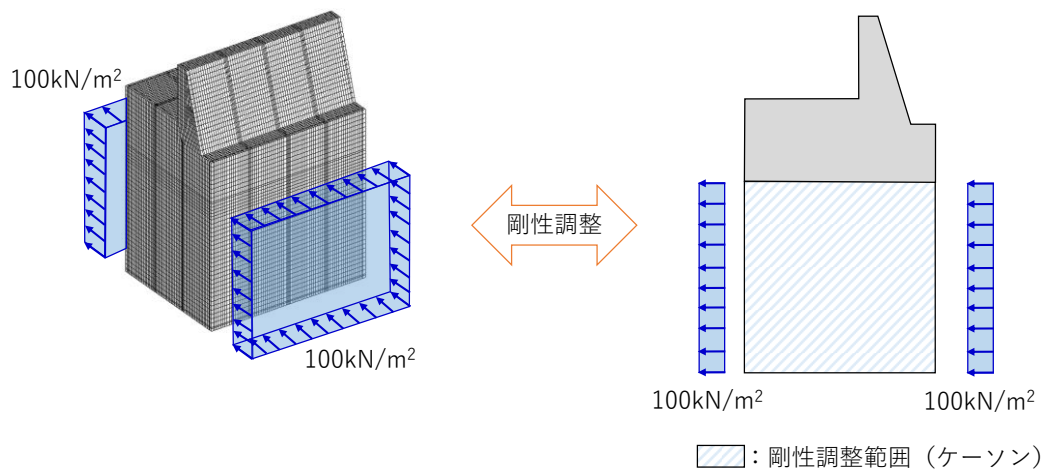


図 4.1.7-16 剛性調整方法図

表 4.1.7-1 剛性調整結果一覧

断面	地震応答解析モデルにおける ケーソン剛性 E (kN/m ²)
②-②断面	1.740×10 ⁷
③-③断面*	1.039×10 ⁷
④-④断面	1.388×10 ⁷

注記* : ③-③断面は貫通部のみ上記の剛性とする。

貫通部以外はコンクリートの剛性 (2.5×10⁷ (kN/m²))
を設定する。

(c) H形鋼

⑤-⑤断面の解析モデルにおいて、重力擁壁と岩盤は一体としていることから、H形鋼はモデル化しない。なお、重力擁壁と岩盤の一体性については「(参考資料 8) ⑤-⑤断面の重力擁壁下端の境界条件」で確認している。

d. 地盤のモデル化

岩盤は線形の平面ひずみ要素でモデル化する。

埋戻土、砂礫層及び改良地盤⑥は、地盤の非線形性を考慮するためマルチスプリング要素でモデル化し、有効応力解析においては、地下水位以深の要素は間隙水要素を重ねて定義する。動的変形特性は有効応力解析では、双曲線モデル(H-Dモデル)を、全応力解析では双曲線モデル(修正GHEモデル)を用いる。有効応力解析における埋戻土及び砂礫層は、液状化パラメータを設定することで、地震時の有効応力の変化に応じた非線形せん断応力～せん断ひずみ関係を考慮する。

また、防波壁(波返重力擁壁)の背面に位置する埋戻土(護岸背面)については、「港湾の施設の技術上の基準・同解説(国土交通省港湾局, 2007年版)」(以下「港湾基準」という。)(図4.1.7-17参照)に準拠し、重力擁壁の一部として、線形の平面ひずみ要素でモデル化し、剛性は重力擁壁と同じ値を用い、背後の埋戻土との境界にジョイント要素を設定する。

(3) 壁体のとり方

- ① 地震動による作用を慣性力に置き換えて安定性の照査を行う場合には、壁体を適切に設定して慣性力を評価する必要がある。この場合には、構造様式に応じて、以下に示すように壁体を設定することができる。ただし、非線形有効応力解析等の詳細法により変形量を直接評価する場合には、これによる必要はない。
- ② 重力式係船岸の壁体は、図-2.2.8に示すように壁体後趾を通る鉛直面から前の部分とすることができる。通常、壁体の背後には裏込材料があり、この一部は壁体の上に載っている形式のものが多い。この部分の裏込めは壁体の一部として働いていると考えられるが、壁体の形状及び破壊形式により、壁体とみなせる裏込めの範囲は変化し、一概に決めることは困難である。しかし、壁体の境界面を多少変えても壁体の安定への影響は小さいため、一般的に、計算の取扱いが簡便なように壁体とみなす範囲を図のように設定することができる。

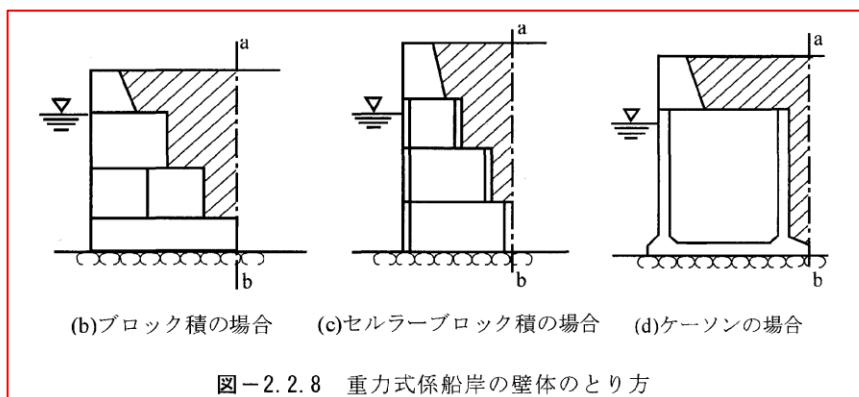


図-2.2.8 重力式係船岸の壁体のとり方

図 4.1.7-17 埋戻土(護岸背面)のモデル化について(「港湾基準」抜粋)

e. ジョイント要素の設定

地盤と構造体の接合面の法線方向に対して地震時の引張荷重を与えると、地盤は構造体から剥離する特徴がある。また、地盤と構造体の接合面のせん断方向に対して地震時のせん断荷重を与え、せん断ひずみを増加させていくと、地盤及び構造体のせん断応力は上限に達し、それ以上はせん断応力が増加しなくなる特徴がある。

時刻歴応答解析では、地震時における実挙動を正確に把握するために、地盤と構造体の接合面にジョイント要素を設定し、地震時の地盤と構造体の接合面における剥離及びすべりを考慮する。

ジョイント要素は、地盤と構造体の接合面で法線方向及びせん断方向に対して設定する。法線方向については、常時状態以上の引張荷重が生じた場合、剛性及び応力をゼロとし、剥離を考慮する。せん断方向については、地盤と構造体の接合面におけるせん断抵抗力以上のせん断荷重が生じた場合、せん断剛性をゼロとし、すべりを考慮する。

せん断強度 τ_f は次式の Mohr-Coulomb 式により規定される。

鉛直方向のジョイント要素の粘着力 c 及び内部摩擦角 ϕ は、「港湾基準」(図 4.1.7-18 参照) に準拠し、 $c=0$ 、 $\phi=15^\circ$ に設定する。

水平方向のジョイント要素の粘着力 c 及び内部摩擦角 ϕ は、「港湾構造物設計事例集(沿岸技術研究センター、平成 19 年 3 月)」(以下「港湾構造物設計事例集」という。)(図 4.1.7-19 参照) に準拠し、静止摩擦係数 μ から、 $c=0$ 、 $\phi=\tan^{-1}(\mu)$ より設定する。静止摩擦係数 μ の値は、「港湾基準」(図 4.1.7-20 及び図 4.1.7-21 参照) に準拠し、隣り合う地盤等に応じた静止摩擦係数を用いる。

ジョイント要素の粘着力及び内部摩擦角を表 4.1.7-2 に、ジョイント要素の配置を図 4.1.7-22 に示す。

$$\tau_f = c + \sigma' \tan \phi \quad (1)$$

ここで、

τ_f : せん断強度

c : 粘着力

ϕ : 内部摩擦角

1. 3 地震時土圧

1. 3. 1 砂質土の土圧

構造物の壁面に作用する地震時土圧及び崩壊面が水平面と成す角度は、一般的に次に掲げるところによって算定する。

(1) 主働土圧及び崩壊面が水平面と成す角度

$$p_{ai} = K_{ai} \left[\sum \gamma h_i + \frac{\omega \cos \psi}{\cos(\psi - \beta)} \right] \cos \psi \quad (1.3.1)$$

$$\cot(\zeta_i - \beta) = -\tan(\phi_i + \delta + \psi - \beta) + \sec(\phi_i + \delta + \psi - \beta) \sqrt{\frac{\cos(\psi + \delta + \theta) \sin(\phi_i + \delta)}{\cos(\psi - \beta) \sin(\phi_i - \beta - \theta)}} \quad (1.3.2)$$

この場合において、

$$K_{ai} = \frac{\cos^2(\phi_i - \psi - \theta)}{\cos \theta \cos^2 \psi \cos(\delta + \psi + \theta) \left[1 + \sqrt{\frac{\sin(\phi_i + \delta) \sin(\phi_i - \beta - \theta)}{\cos(\delta + \psi + \theta) \cos(\psi - \beta)}} \right]^2}$$

(2) 受働土圧及び崩壊面が水平面と成す角度

$$p_{pi} = K_{pi} \left[\sum \gamma h_i + \frac{\omega \cos \psi}{\cos(\psi - \beta)} \right] \cos \psi \quad (1.3.3)$$

$$\cot(\zeta_i - \beta) = \tan(\phi_i - \delta - \psi + \beta) + \sec(\phi_i - \delta - \psi + \beta) \sqrt{\frac{\cos(\psi + \delta - \theta) \sin(\phi_i - \delta)}{\cos(\psi - \beta) \sin(\phi_i + \beta - \theta)}} \quad (1.3.4)$$

この場合において、

$$K_{pi} = \frac{\cos^2(\phi_i + \psi - \theta)}{\cos \theta \cos^2 \psi \cos(\delta + \psi - \theta) \left[1 - \sqrt{\frac{\sin(\phi_i - \delta) \sin(\phi_i + \beta - \theta)}{\cos(\delta + \psi - \theta) \cos(\psi - \beta)}} \right]^2}$$

ここに、 p_{ai} 、 p_{pi} 、 K_{ai} 、 K_{pi} 、 ζ_i 、 ω 、 γ 、 h_i 、 ψ 、 β 、 δ 及び ϕ_i は、1. 2 永続状態における土圧に準じて、1. 2. 1 砂質土の土圧の式(1.2.1)～(1.2.4)と同じ数値を表すものとする。また、 θ は次の数値を表すものとする。

θ : 次の(a)又は(b)で表される地震合成角 (°)

(a) $\theta = \tan^{-1} k$

(b) $\theta = \tan^{-1} k'$

ここで、 k 及び k' は、それぞれ次の数値を表すものとする。

k : 震度

k' : 見掛けの震度

(3) 見掛けの震度は、1. 3. 3 見掛けの震度による。

(4) 地震時土圧は、物部¹⁾・岡部²⁾が提案した理論に基づいたものである。

(5) 壁面摩擦角
一般に、±15°以下とする。裏込材のせん断抵抗角 ψ の1/2程度を目安とすることができる。

(6) 残留水位以下の土圧

一般的に、残留水位以上においては空気中における震度を用いて土圧分布を求め、残留水位以下においては各境界面において1. 3. 3 見掛けの震度を用いて土圧分布を求める。

(7) 土圧係数等

土圧係数と崩壊角の算定図を図-1.3.1に示す。

(8) 上記土圧式は、土と間隙水が一体となって運動すると仮定しており、液状化した土には適用できない。その場合には別途、動的有効応力解析又は模型実験などで、地盤と構造物の地震時安定性を評価すべきである。

図 4.1.7-18 ジョイント要素 (鉛直方向) の物性値の設定根拠
(「港湾基準」抜粋)

よって、

$$\phi^{sp}_f = \tan^{-1}(0.838) = 40(^{\circ})$$

③ケーソン
 図-1.54 にケーソン周辺のモデル化を示す。ケーソンのモデル化は、ケーソン本体、上部コンクリート、フーチング、ケーソン拡張部（陸側フーチング上部地盤）に分けてモデル化した。陸側フーチング上部の裏込石および裏埋土地盤は、剛性をケーソン本体と同じ値を用いて、単位体積重量は裏込石および裏埋土地盤の値を用いる⁸⁾。表-1.63 にケーソンの入力パラメータを示す。

④ジョイント要素
 ケーソン要素と基礎捨石および裏込石との間に生じる滑動と剥離はジョイント要素によりモデル化する⁸⁾。ジョイント要素は、圧縮側では垂直方向接線剛性 K_n に応じた応力を負担する。せん断方向（滑り方向）は、せん断応力がせん断強度に達するまではせん断方向接線剛性 K_s に応じた力を負担する。せん断強度 τ_f は垂直方向の有効拘束

圧 σ'_n に基づき式(1.62)より求める。剥離状態ではせん断強度は0となる。

$$\tau_f = C_f + \sigma'_n \tan \phi_f \quad (1.62)$$

よって、本事例のジョイント要素のせん断強度に関する定数は以下のとおり設定できる。まず、ケーソン底面と捨石の間の摩擦係数は摩擦増大マットが敷設されていないので $\mu=0.6$ と設定して、摩擦角 ϕ_f は $\tan^{-1}(0.6)=31^{\circ}$ を用いる。また、ケーソン背面と裏込石の間の摩擦角は $\phi=15^{\circ}$ を用いる。

・ジョイント要素のレーレー減衰の与え方
 FLIP 研究会では、ジョイント要素のレーレー減衰の与え方に関する検討が実施された²⁰⁾。従来の解析では、レーレー減衰行列の組立の際に、ジョイント要素の初期接線剛性 K_s や K_n に全体系の剛性比例係数 β を乗じたものを取り込んでいた（従来型）。 K_s や K_n の値は物理的な根拠に基づいて設定するのではなく、周囲の土の変形よりも大きな変形がジョイント要素の線形部分で生じることのないように、比較的大きな値が指定される。この

図 4.1.7-19 ジョイント要素（水平方向）の物性値の設定根拠（「港湾構造物設計事例集」抜粋）

9 摩擦係数

(1) 施設の滑動に対する摩擦抵抗力の算定に用いる材料の摩擦係数は、静止摩擦係数とすることができ。この場合において、材料の摩擦係数は、対象となる施設の特性及び材料の特性等を勘案して適切に設定することが望ましい。

(2) 港湾の施設の性能照査に用いる静止摩擦係数の特性値は、一般に表-9.1 に掲げる数値を用いてもよい。同一条件のもとで繰り返し摩擦係数を実測する場合、一般にばらつきが多いことに注意が必要である。表-9.1 で示した値は、以前からなかば経験的に用いられてきたものであり、ここに明記していない場合については、実験を行って定めることが望ましい。

(3) 表-9.1 に示した値は、施設の滑動に対する安定性の照査に用いる場合の値であり、杭の支持力計算に用いる杭周面と土との間の摩擦係数、傾斜堤の安定性の照査に用いる摩擦係数、斜路によるケーソンの進水計算に用いる摩擦係数、土圧計算に用いる壁面摩擦角等に対しては適用できない。なお、表-9.1 に示した値は、静的な作用が生じるときの静止摩擦係数であるが、地震動作用時のような動的な作用が生じる場合においては、適切な資料が皆無であるため、本数値を用いているのが実情である。

コンクリートとコンクリート	0.5
コンクリートと岩盤	0.5
水中コンクリートと岩盤	0.7~0.8
コンクリートと捨石	0.6
捨石と捨石	0.8
木材と木材	0.2(湿)~0.5(乾)
摩擦増大マットと捨石	0.75

注 1) 水中コンクリートと岩盤の場合、標準的な条件のもとでは、0.8 とすることができる。ただし、基岩がぜい弱若しくは亀裂が多い場合、基岩を覆っている砂の移動が激しい場所等では、それらの条件に応じて 0.7 程度まで低減させることができる。

注 2) セルラブロックの性能照査における摩擦係数は、第 4 編第 5 章 2. 2 重力式係船岸を参照することができる。

図 4.1.7-20 ジョイント要素（水平方向）の物性値設定に用いる静止摩擦係数（「港湾基準」抜粋）

(8) セルラーブロックの性能照査

- ① 壁体が底版のないセルラーブロックで構成されている重力式係船岸は、他の重力式係船岸と異なり、中詰めにより壁体との一体性を保持する構造となっている。このため、他の重力式係船岸の安定検討に加えて、転倒に対して中詰めの抜け出しを十分考慮した検討を行うべきである。
- ② セルラーブロックの安定照査式
セルラーブロックの中詰めの抜け出しを考慮した転倒に対する検討は、次式によって行うことができる。

$$aW_d - bP_B + cP_V + M_f \geq \gamma_a (dP_H + eP_w + gP_{aw} + hP_d) \quad (2.2.19)$$

ここに、

- W : 壁体を構成する材料の重量 (kN/m)
- P_B : 壁体に作用する浮力 (kN/m)
- P_V : 壁体に作用する鉛直土圧合力 (kN/m)
- M_f : 中詰めによる壁面摩擦によって生じる抵抗モーメント (kN·m/m)
- P_H : 壁体に作用する水平土圧合力 (kN/m)
- P_w : 壁体に作用する残留水圧合力 (kN/m)
- P_{aw} : 堤体に作用する動水圧合力 (kN/m) (地震動作用時の場合のみ)
- P_f : 堤体に作用する慣性力 (kN/m) (地震動作用時の場合のみ)
- a : 壁体重量合力の作用線から堤体前趾までの距離 (m)
- b : 浮力の作用線から壁体前趾までの距離 (m)
- c : 鉛直土圧合力の作用線から壁体前趾までの距離 (m)
- d : 水平土圧合力の作用線から壁体底面までの距離 (m)
- e : 残留水圧合力の作用線から壁体底面までの距離 (m)
- g : 重力加速度 (m/s^2)
- h : 動水圧合力の作用線から堤体底面までの距離 (m) (地震動作用時の場合のみ)
- γ_a : 構造解析係数

式中の設計用値は、式(2.2.9)及び以下の式(2.2.20)により算出することができる。

$$M_{fd} = \gamma_{M_f} M_{fi} \quad (2.2.20)$$

なお、ケーソンが海側と陸側の両側に長方形断面のフーチングを有する場合、浮力の設計用値 P_{Bd} は、式(2.2.12)に準じてよい。また、式中の壁体の重量の設計用値 W_d は、鉄筋コンクリートの重量 W_{RC} 、無筋コンクリートの重量 W_{NC} を用いて、次式により算定することができる。

$$W_d = \sum \gamma_w W \quad (2.2.21)$$

③ 部分係数の値

セルラーブロックの性能照査に用いる標準的な部分係数の値は、表-2.2.2の転倒に関する部分係数を用いることができる。ただし、中詰めによる壁面摩擦によって生じる抵抗モーメント M_f の部分係数 γ_{M_f} については、中詰め砂の重量 W_{SAND} の部分係数 $\gamma_{W_{SAND}}$ と同じ値を用いてよい。

- ④ (耐力の設計用値) / (作用効果の設計用値) < 1 の場合は、作用による転倒モーメントが中詰めに除く全鉛直力及び中詰めによる壁面摩擦によって生じる抵抗モーメントより大きいことになり、中詰めに置いてセルラーブロックが抜け出すことになる。このような場合はセルラーブロックの重量を増すか、隔壁を設けるなどの対処が必要である。
- ⑤ 中詰めによる壁面摩擦力 F_1, F_2 によって生じる抵抗モーメントの特性値 M_f は次のようにして求める。

図-2.2.14において、A点に対するモーメントは $\ell_1 F_1 + \ell_2 F_2$ となる。ここで、 $F_1 = P_1 f$ 、 $F_2 = P_2 f$ であり、 f の値としては中詰め材料と壁面との摩擦係数をとる。 $(P_1, P_2$ はそれぞれ中詰土圧である。) 壁面に作用する中詰土圧の考え方については、本編第2章1.4セルラーブロックに準じることができる。なお、これと同様にセルラーブロックの隔壁に生じる摩擦抵抗も考慮することが望ましい。

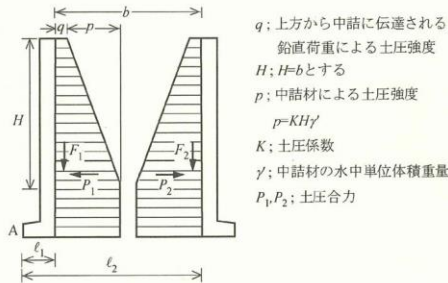


図-2.2.14 壁面摩擦抵抗の求め方

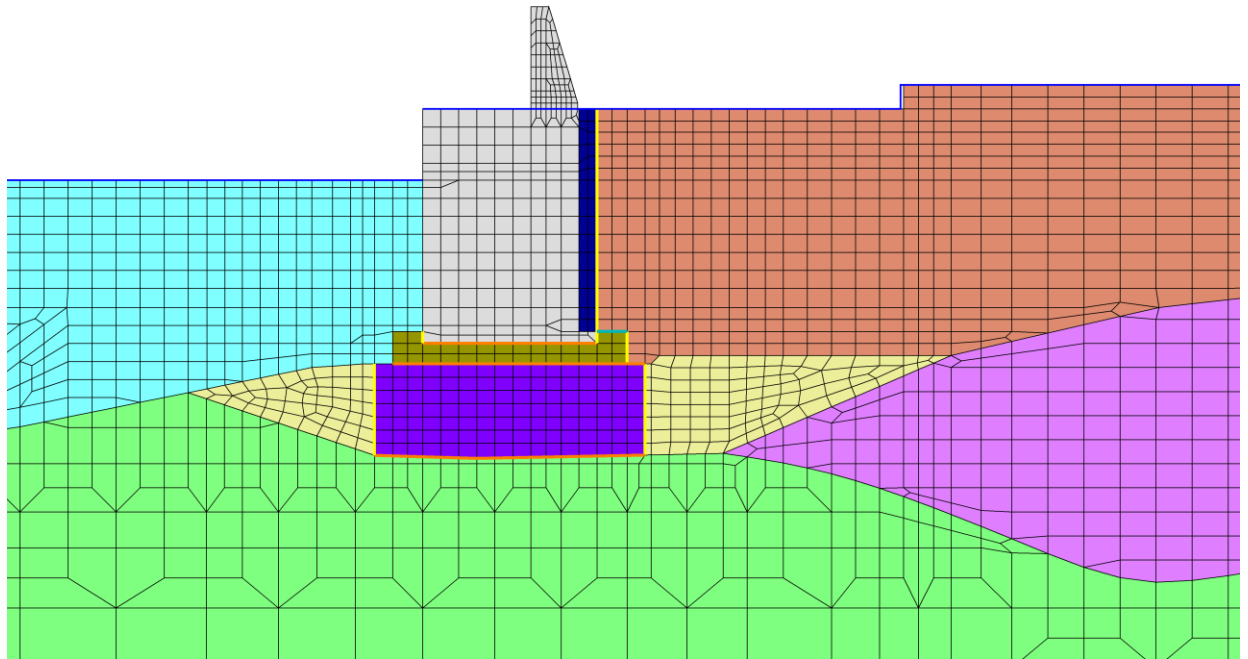
- ⑥ 底版のないセルラーブロックの滑動の性能照査に用いる摩擦係数の特性値は、厳密には鉄筋コンクリート部底版の受ける反力については0.6、中詰り石底部の受ける反力については0.8を用いて計算すべきであるが、便宜的に0.7としてもよい。

図 4.1.7-21 ジョイント要素（水平方向）の物性値設定に用いる
静止摩擦係数（「港湾基準」抜粋）

表 4.1.7-2 ジョイント要素の粘着力と内部摩擦力

		接合条件		粘着力 c (N/mm ²)	内部摩 擦角 φ (°)	備考
		材料 1	材料 2			
鉛直方向	境界 1	埋戻土	埋戻土 (護岸背面)	0	15.00	構造物の壁面摩擦角の設定方法を準用し, c=0, φ=15° と設定
			MMR			
			防波壁 (波返重力擁壁)			
		防波壁 (波返重力擁壁)	MMR			
		砂礫層	改良地盤⑥			
境界 2	防波壁 (波返重力擁壁)	埋戻土	0	22.00	構造物と土の接触する埋戻土より, c=0, φ=22° と設定	
境界 3	防波壁 (波返重力擁壁)	防波壁 (波返重力擁壁)	0	0	目地部であるため, 保守的にゼロに設定	
		MMR				
水平方向	境界 4	MMR	防波壁 (波返重力擁壁)	0	26.57	剛性の高い岩盤等の境界であるため, 「コンクリートとコンクリート」及び「コンクリートと岩盤」の静止摩擦係数 (μ=0.50) より, φ=tan ⁻¹ (μ)≒26.57°
			改良地盤⑥			
			岩盤 (第③速度層)			
			岩盤 (第④速度層)			
		改良地盤⑥	埋戻土			
	岩盤 (第④速度層)					
境界 5	埋戻土	MMR	0	30.96	「礫とコンクリート」の静止摩擦係数 (μ=0.60) より, φ=tan ⁻¹ (μ)≒30.96°	

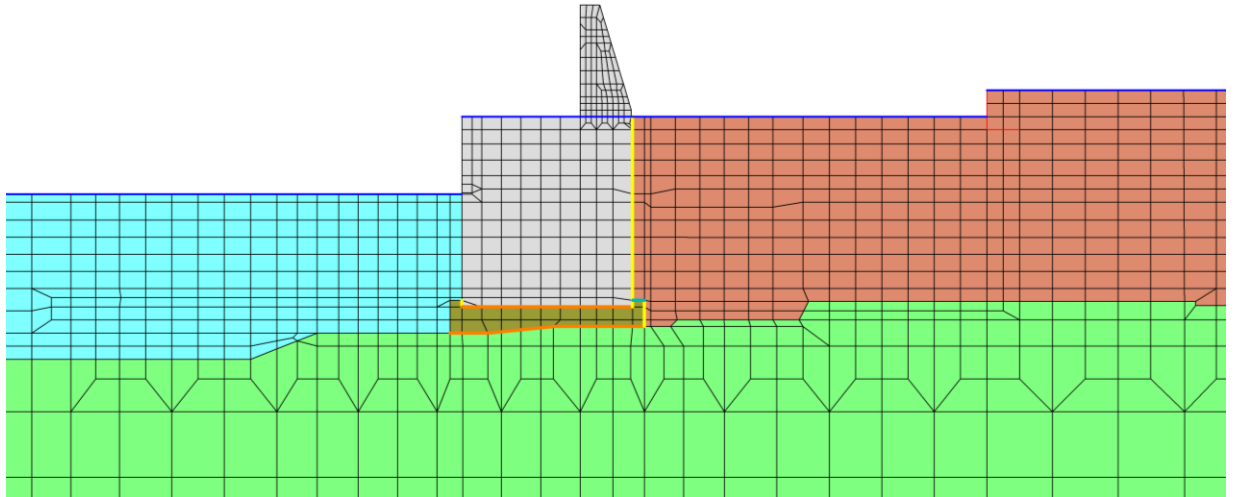
- : 岩盤 (第②速度層)
 - : 岩盤 (第④速度層)
 - : 埋戻土
 - : 防波壁 (波返重力擁壁)
 - : 埋戻土 (護岸背面)
- : 海水
 - : MMR
 - : 砂礫層
 - : 改良地盤⑥
- : ジョイント要素 (境界 1)
 - : ジョイント要素 (境界 4)
 - : ジョイント要素 (境界 5)
 - : 地下水面及び海水面



項目		粘着力 c (N/mm^2)	内部摩擦角 ϕ ($^\circ$)
鉛直方向	境界 1	0	15.00
水平方向	境界 4	0	26.57
	境界 5	0	30.96

図 4.1.7-22(1) ②-②断面におけるジョイント要素の配置図

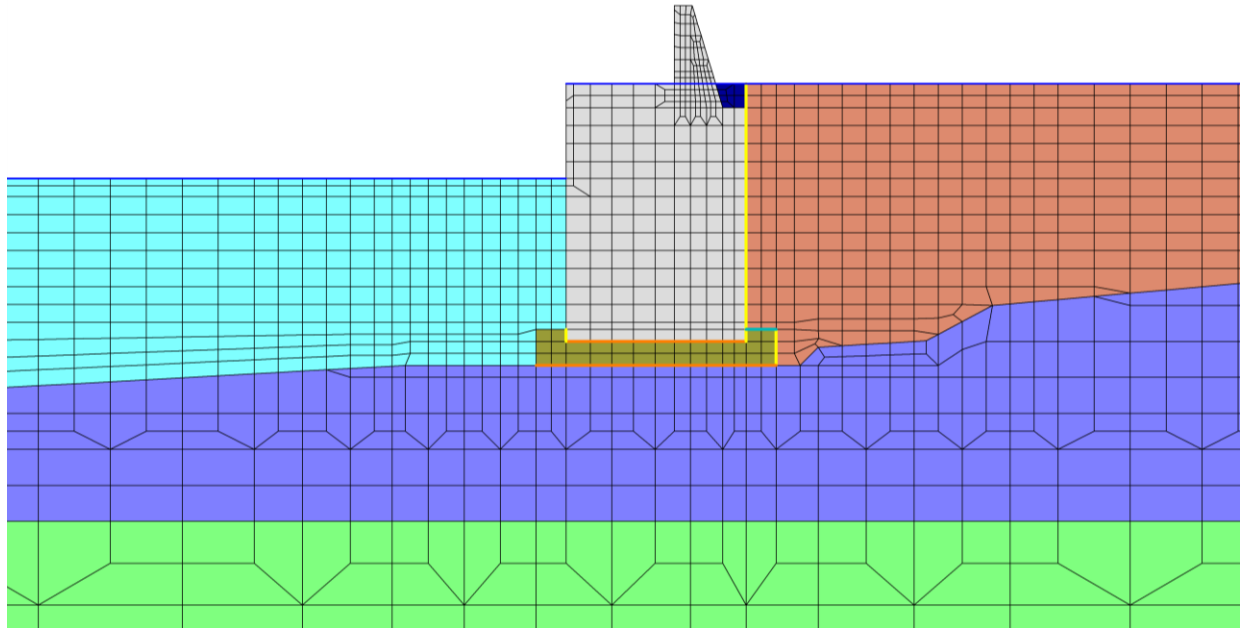
- : 岩盤 (第④速度層)
 - : MMR
 - : 埋戻土
 - : 海水
 - : 防波壁 (波返重力擁壁)
- : ジョイント要素 (境界 1)
 - : ジョイント要素 (境界 4)
 - : ジョイント要素 (境界 5)
 - : 地下水面及び海水面



項目		粘着力 c (N/mm ²)	内部摩擦角 φ (°)
鉛直方向	境界 1	0	15.00
水平方向	境界 4	0	26.57
	境界 5	0	30.96

図 4.1.7-22(2) ③-③断面におけるジョイント要素の配置図

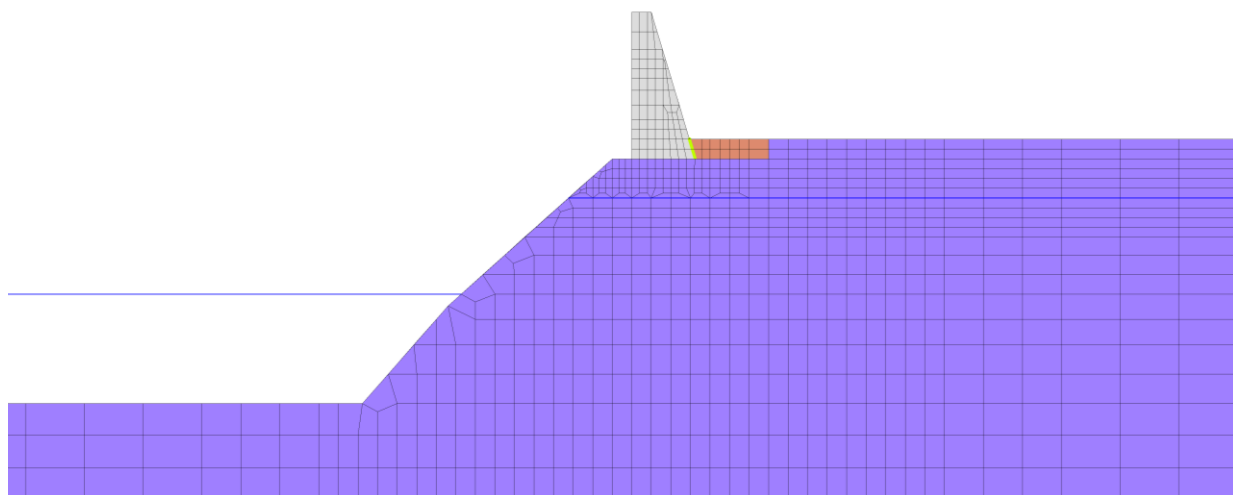
- : 岩盤 (第③速度層)
 - : 岩盤 (第④速度層)
 - : 埋戻土
 - : 防波壁 (波返重力擁壁)
- : 埋戻土 (護岸背面)
 - : MMR
 - : 海水
- : ジョイント要素 (境界 1)
 - : ジョイント要素 (境界 4)
 - : ジョイント要素 (境界 5)
 - : 地下水面及び海水面



項目		粘着力 c (N/mm^2)	内部摩擦角 ϕ ($^{\circ}$)
鉛直方向	境界 1	0	15.00
水平方向	境界 4	0	26.57
	境界 5	0	30.96

図 4.1.7-22(3) ④-④断面におけるジョイント要素の配置図

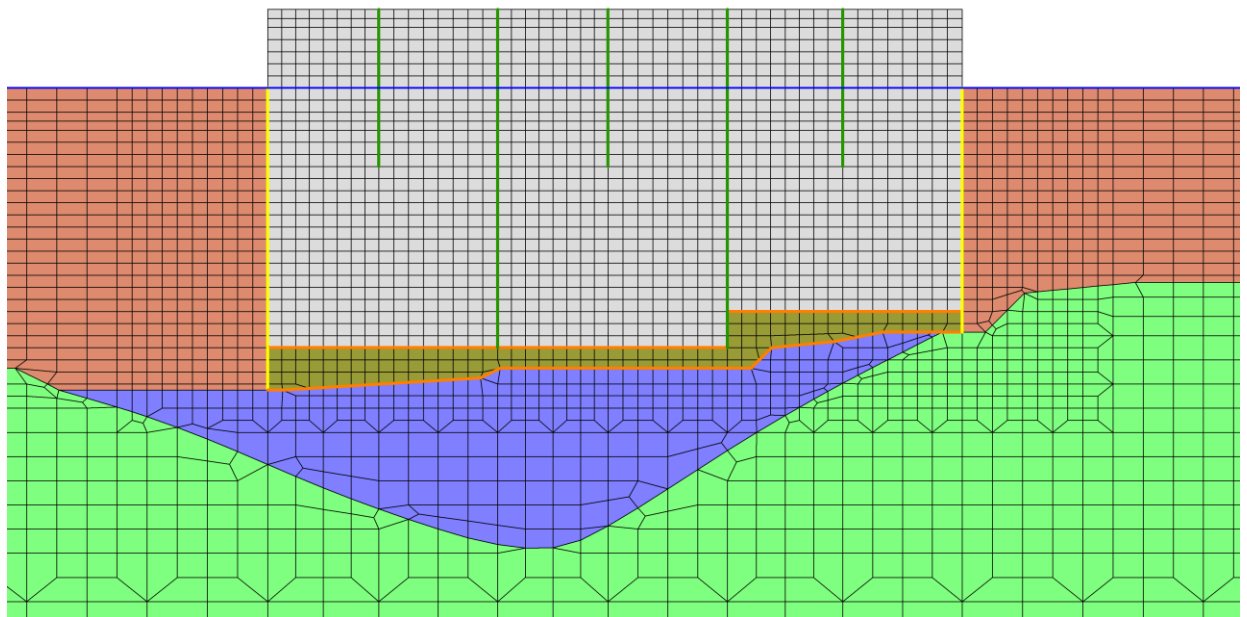
- : 岩盤 (第③速度層)
- : 防波壁 (波返重力擁壁)
- : ジョイント要素 (境界 2)
- : 埋戻土
- : 地下水面及び海水面



項目		粘着力 c (N/mm^2)	内部摩擦角 ϕ ($^{\circ}$)
鉛直方向	境界 2	0	22.00

図 4.1.7-22(4) ⑤-⑤断面におけるジョイント要素の配置図

- : 岩盤 (第③速度層)
 - : 岩盤 (第④速度層)
 - : 埋戻土
- : 防波壁 (波返重力擁壁)
 - : MMR
- : ジョイント要素 (境界 1)
 - : ジョイント要素 (境界 3)
 - : ジョイント要素 (境界 4)
 - : 地下水面及び海水面



項目		粘着力 c (N/mm^2)	内部摩擦角 ϕ ($^{\circ}$)
鉛直方向	境界 1	0	15.00
	境界 3	0	0
水平方向	境界 4	0	26.57

図 4.1.7-22(5) ⑦-⑦断面におけるジョイント要素の配置図

ジョイント要素のばね定数は、「港湾構造物設計事例集」を参考に、数値解析上、不安定な挙動を起こさない程度に周囲材料の剛性よりも十分に大きな値を設定する。表 4.1.7-3 にジョイント要素のばね定数を示す。

また、ジョイント要素の力学特性を図 4.1.7-23 に示す。

表 4.1.7-3 ジョイント要素のばね定数

項目	せん断剛性 k_s (kN/m^2)	圧縮剛性 k_n (kN/m^2)
境界 1, 2, 4, 5	1.0×10^6	1.0×10^6
境界 3	0*	1.0×10^6

注記*：せん断剛性を保守的にゼロに設定

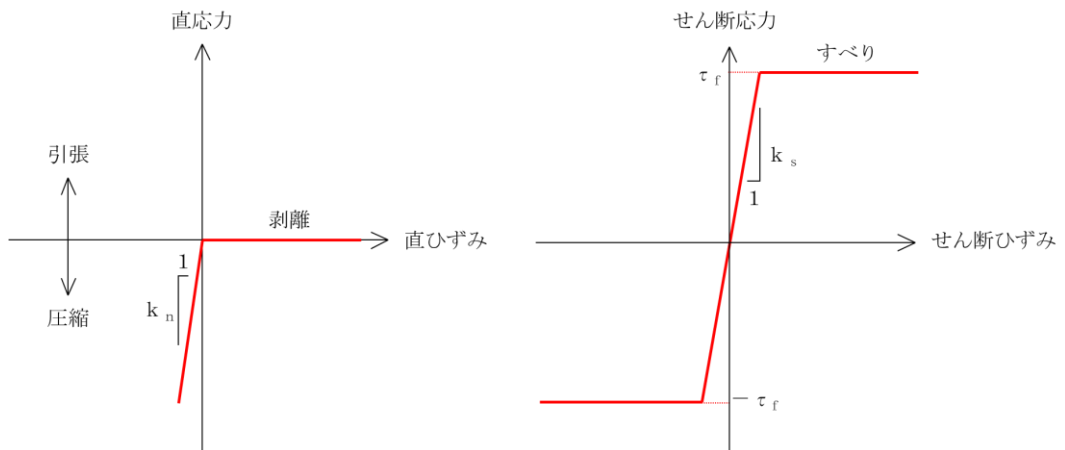


図 4.1.7-23 ジョイント要素の力学特性

(2) 使用材料及び材料の物性値

耐震評価に用いる材料定数は、適用基準類を基に設定する。使用材料を表 4.1.7-4 に、材料の物性値を表 4.1.7-5 に示す。

表 4.1.7-4 使用材料

材料		仕様
コンクリート	重力擁壁 (基部コンクリート)	設計基準強度 18.0 N/mm ²
	重力擁壁 (既設部分)	設計基準強度 21.0 N/mm ²
	重力擁壁 (新設部分) ケーソン	設計基準強度 24.0 N/mm ²
鉄筋		SD345
H形鋼		SM490

表 4.1.7-5 材料の物性値

材料	単位体積重量 (kN/m ³)	ヤング係数 (N/mm ²)	ポアソン比
鉄筋コンクリート	24.0 ^{*1}	2.5×10 ⁴ ^{*1}	0.2 ^{*1}
無筋コンクリート	22.6 ^{*2}	2.2×10 ⁴ ^{*1}	0.2 ^{*1}

注記*1：コンクリート標準示方書(2002)

*2：港湾基準

(3) 地盤の物性値

地盤の物性値は、VI-2-1-3「地盤の支持性能に係る基本方針」にて設定している物性値及び「港湾基準」に基づき設定した物性値を用いる。地盤の物性値を表 4.1.7-6～表 4.1.7-11 に示す。

表 4.1.7-6 地盤の解析用物性値（有効応力解析，液状化検討対象層）

		埋戻土	砂礫層	
物理特性	密度 ρ^{*1} (g/cm ³)	2.11 【2.00】	2.05	
	間隙率 n	0.45	0.45	
変形特性	動せん断弾性係数 G_{ma}^{*2} (kN/m ²)	154,600	230,700	
	基準平均有効拘束圧 $\rho_{ma}'^{*2}$ (kN/m ²)	98.0	98.0	
	ポアソン比 ν	0.33	0.33	
	減衰定数の上限値 h_{max}	0.095	0.095	
強度特性	粘着力 c' (kN/m ²)	0.00	0.00	
	内部摩擦角 ϕ' (°)	40.17	38.82	
液状化特性	変相角 ϕ_p (°)	28	28	
	液状化パラメータ*2	S1	0.005	0.005
		w1	4.080	4.020
		P1	0.500	0.500
		P2	0.990	1.100
		C1	2.006	1.913

注記*1：括弧内【】の数字は地下水位以浅の数値を表す。

*2：動せん断弾性係数，基準平均有効拘束圧及び液状化パラメータは代表的な数値を示す。

表 4.1.7-7 地盤の解析用物性値（有効応力解析，改良地盤⑥）

対象施設		防波壁 (波返重力擁壁)
物理特性	密度 ρ (g/cm ³)	2.05
	間隙率 n	0.45
変形特性	動せん断弾性係数 G_{ma} (kN/m ²)	360,500
	基準平均有効拘束圧 ρ_{ma}' (kN/m ²)	98.0
	ポアソン比 ν	0.33
	減衰定数の上限値 h_{max}	0.095
強度特性	粘着力 c' (kN/m ²)	1250
	内部摩擦角 ϕ' (°)	-

表 4.1.7-8 地盤の解析用物性値（有効応力解析，埋戻土（護岸背面））

対象施設		防波壁 (波返重力擁壁)
物理特性	密度 ρ^{*1} (g/cm ³)	2.11 【2.00】
変形特性	ヤング係数 ^{*2} (N/mm ²)	2.5×10^4
	ポアソン比 ν	0.20

注記*1：括弧内【】の数字は地下水位以浅の数値を表す。

*2：「港湾基準」を踏まえ，線形の平面ひずみ要素として，ヤング係数 2.5×10^4 N/mm² を設定。

表 4.1.7-9(1) 地盤の解析用物性値
(改良地盤⑥の残留強度及び引張強度)

地盤	残留強度		引張強度 σ_t (N/mm ²)
	c' (N/mm ²)	ϕ' (°)	
改良地盤⑥*	0.0	48.80	0.43

注記* : 残留強度及び引張強度は「(参考資料2) 改良地盤⑥の物性値の設定方法について」に従い設定する。

表 4.1.7-9(2) 地盤の解析用物性値
(MMRのせん断強度及び引張強度)

地盤	せん断強度 τ (N/mm ²)	引張強度 σ_t (N/mm ²)
MMR	4.8	1.91

表 4.1.7-10 地盤の解析用物性値
(全応力解析(1, 2号機エリア))

		岩盤③速度層*
P波速度	V_p (m/s)	3,600
S波速度	V_s (m/s)	1,600
単位体積重量	γ (kN/m ³)	24.5
動ポアソン比	ν_d	0.377
減衰定数	h	0.030
弾性係数	E (kN/m ²)	17,650,000

注記* : ⑤-⑤断面の岩盤の設定に用いる。

表 4.1.7-11 地盤の解析用物性値
(有効応力解析(3号機エリア))

		岩盤②速度層	岩盤③速度層	岩盤④速度層	岩盤⑤速度層
P波速度	V_p (m/s)	1,710	2,270	3,240	3,860
S波速度	V_s (m/s)	620	960	1,520	1,900
単位体積重量	γ (kN/m ³)	23.3	23.4	24.5	25.2
動ポアソン比	ν_d	0.42	0.39	0.36	0.34
減衰定数	h	0.03	0.03	0.03	0.03
弾性係数	E (kN/m ²)	2,601,000	6,188,000	15,690,000	24,860,000

(4) 地下水位

設計地下水位については、VI-2-1-3「地盤の支持性能に係る基本方針」に従い設定する。設計地下水位を表 4.1.7-12 に示す。

表 4.1.7-12 設計地下水位

施設名称	設計地下水位
防波壁（波返重力擁壁） （②-②断面，③-③断面，④-④断面，⑦-⑦断面）	EL 8.5m*
防波壁（波返重力擁壁） （⑤-⑤断面）	EL 5.5m

注記*：地表面が 8.5m よりも低い地点については、地下水位を地表面とする。

4.1.8 評価方法

防波壁（波返重力擁壁）の耐震評価は，地震応答解析に基づいて算定した発生応力度が「3.4 許容限界」で設定した許容限界を満足することを確認する。

(1) 重力擁壁

重力擁壁の評価は，曲げモーメント及び軸力より算定される曲げ圧縮応力度，曲げ引張応力度及びせん断力により算定されるせん断応力度が許容限界以下であることを確認する。

図 4.1.8-1 に荷重作用方向が海方向の場合の発生断面力イメージ図を示す。発生断面力は重力擁壁下端に集中することから，評価は重力擁壁下端で実施する。重力擁壁下端で発生した応力を基に，重力擁壁の中心位置における軸力 N ，曲げモーメント M ，せん断力 Q を設定する。断面力算定の概念図を図 4.1.8-2 に示す。

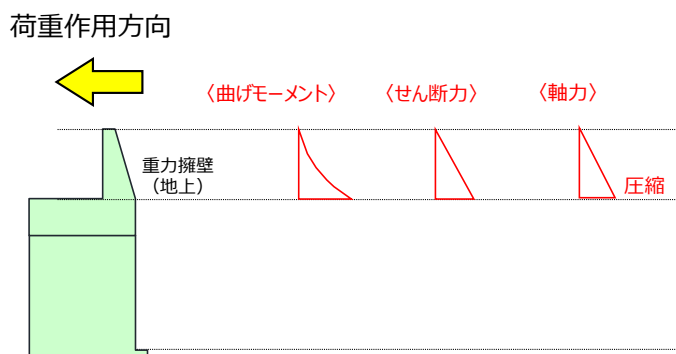


図 4.1.8-1 発生断面力イメージ図

$$\text{軸力} \quad N = \sum (\sigma_{yi} \times l_i)$$

$$\text{曲げモーメント} \quad M = \sum (\sigma_{yi} \times l_i \times L_i)$$

$$\text{せん断力} \quad Q = \sum (\tau_{xyi} \times l_i)$$

ここに， σ_{yi} ：重力擁壁下端要素の垂直応力 (kN/m²)

τ_{xyi} ：重力擁壁下端要素のせん断応力 (kN/m²)

l_i ：重力擁壁下端要素の要素幅 (m)

L_i ：重力擁壁下端中心からのアーム長 (m)

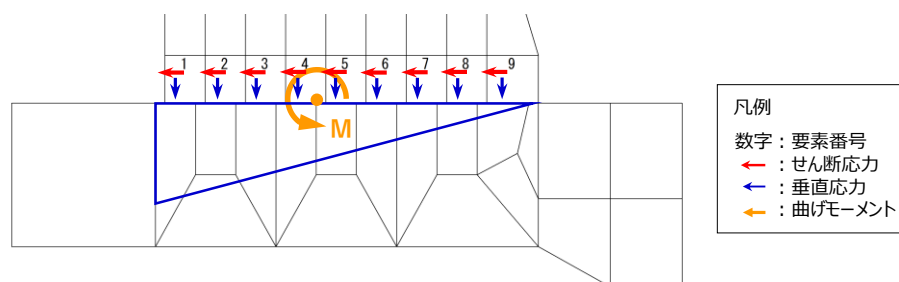


図 4.1.8-2 断面力算定の概念図 (例：②-②断面)

重力擁壁の応力度算定には、解析コード「EMR G I N G」を使用する。なお、解析コードの検証、妥当性確認等の概要については、VI-5「計算機プログラム（解析コード）の概要」に示す。

a. 曲げ照査

コンクリート及び鉄筋の発生応力度が許容限界以下であることを確認する。

b. せん断照査

コンクリートの発生応力度が許容限界以下であることを確認する。

(2) H形鋼

H形鋼は、⑤－⑤断面において、擁壁下端に発生するせん断力から算定されるせん断応力度が許容限界以下であることを確認する。H形鋼のせん断応力度は、H形鋼の配置を踏まえ、フランジ部の断面積を用いて算定する。

(3) MMR

MMRの評価は、②－②断面、③－③断面及び④－④断面において、すべり線上のすべり安全率が1.2以上であることを確認する。すべり安全率の算定フロー図を図4.1.8-3に示す。すべり安全率は、想定したすべり線上の応力状態を基に、すべり線上のせん断抵抗力の和をせん断力の和で除した値を求め、最小すべり安全率を算定する。すべり安全率の算定には、解析コード「CPOSTSK」を使用する。なお、解析コードの検証、妥当性確認等の概要については、VI-5「計算機プログラム（解析コード）の概要」に示す。

MMRの想定すべり線を図4.1.8-4に示す。

(4) 改良地盤

改良地盤⑥の評価は、②－②断面において、改良地盤⑥を通るすべり線上のすべり安全率が1.2以上であることを確認する。すべり安全率の算定フロー図を図4.1.8-3に示す。すべり安全率は、想定したすべり線上の応力状態を基に、すべり線上のせん断抵抗力の和をせん断力の和で除した値を求め、最小すべり安全率を算定する。すべり安全率の算定には、解析コード「CPOSTSK」を使用する。なお、解析コードの検証、妥当性確認等の概要については、VI-5「計算機プログラム（解析コード）の概要」に示す。

改良地盤⑥の想定すべり線を図4.1.8-5に示す。

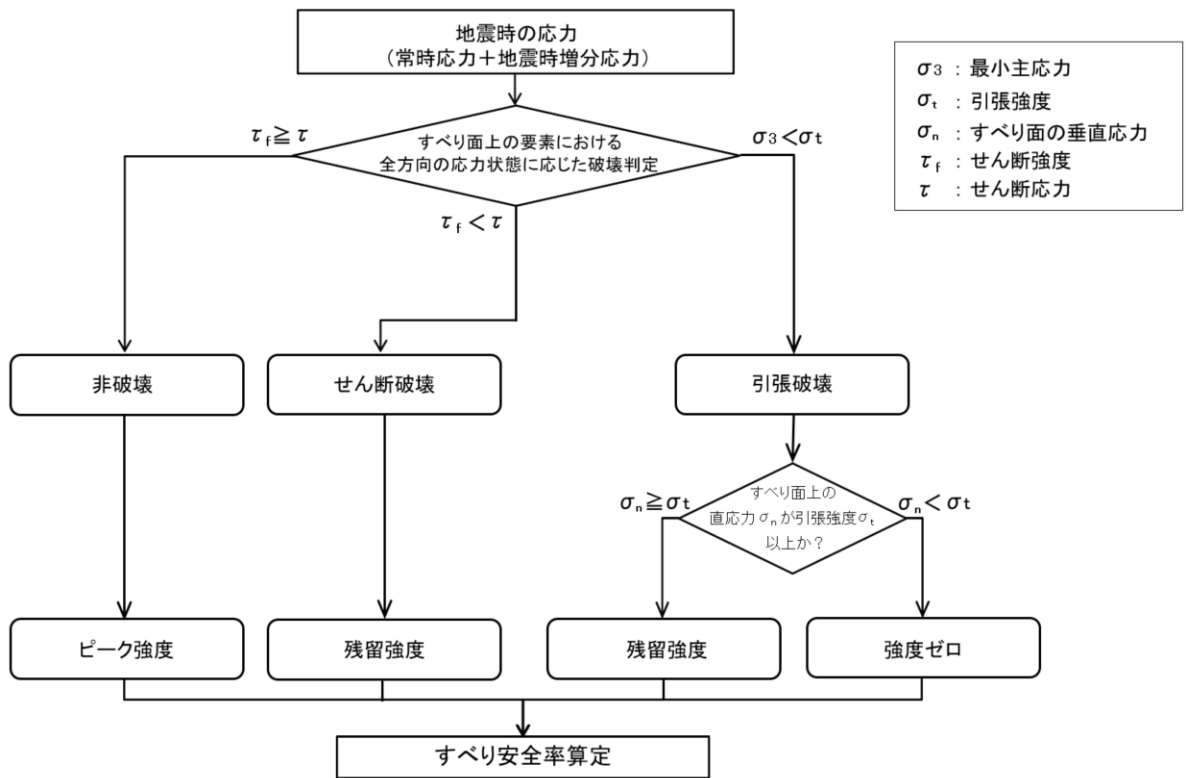


図 4.1.8-3 すべり安全率算定のフロー

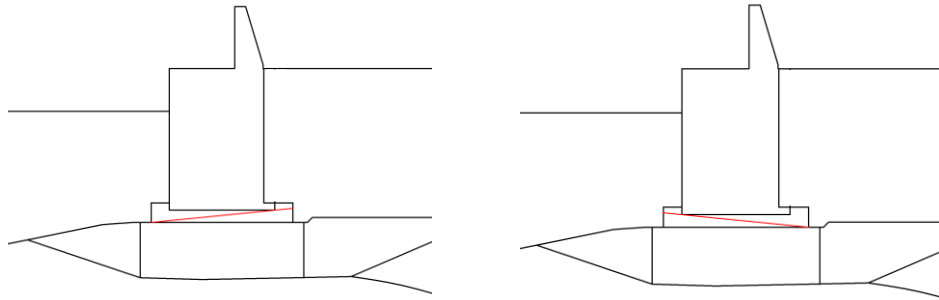


図 4.1.8-4(1) MMRの想定すべり線 (②-②断面)



図 4.1.8-4(2) MMRの想定すべり線 (③-③断面)

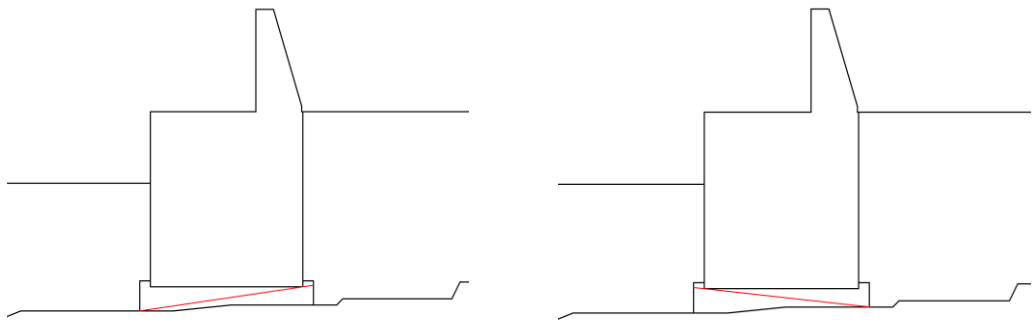


図 4.1.8-4(3) MMRの想定すべり線 (④-④断面)

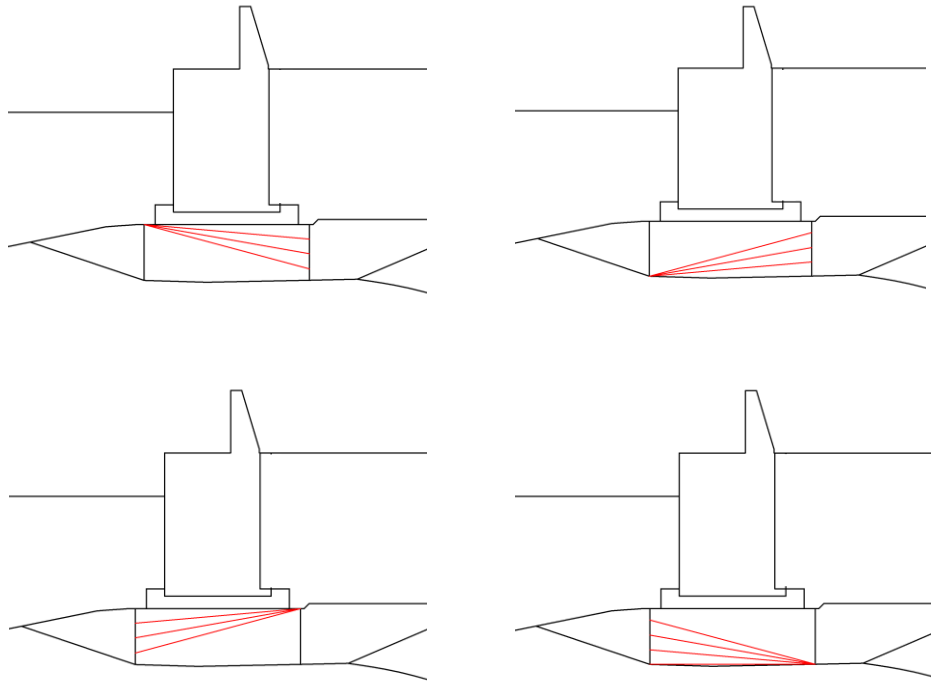


図 4.1.8-5 改良地盤⑥の想定すべり線 (②-②断面)

(5) 止水目地

止水目地（シートジョイント）の地震時の変形性評価について、法線直交方向、法線方向及び深度方向いずれも、防波壁（波返重力擁壁）の地震時の最大変位量が許容限界以下であることを確認する。

x方向（法線直交方向）及びz方向（深度方向）の変位量は、図4.1.8-6に示すとおり、防波壁（波返重力擁壁）天端における地震時の相対変位量とし、保守的に各ブロックの位相が逆になったことを考慮し、時刻歴最大の相対変位量を2倍したものを算定する。

y方向（法線方向）の変位は、隣接する重力擁壁の天端間の相対変位量とする。相対変位の抽出位置を図4.1.8-7に示す。

x方向（法線直交方向）の地震時の変位量	$\delta x : \delta x = \delta x(T) \times 2$
y方向（法線方向）の地震時の変位量	$\delta y : \delta y = \delta y(T) $
z方向（深度方向）の地震時の変位量	$\delta z : \delta z = \delta z(T) \times 2$

ここで、

$\delta x(T)$:	x方向（法線直交方向）の地震時の最大相対変位量
$\delta y(T)$:	y方向（法線方向）の地震時の最大相対変位量
$\delta z(T)$:	z方向（深度方向）の地震時の最大相対変位量

法線直交方向、法線方向及び深度方向の変位量を用い、下式のとおり合成方向（3方向合成）の変位量を求め、止水目地（シートジョイント）の地震時の最大変位量とする。止水目地の変位量の算定方法を表4.1.7-13に示す。

最大変位量 $\delta : \delta = \sqrt{\delta_x^2 + \delta_y^2 + \delta_z^2}$

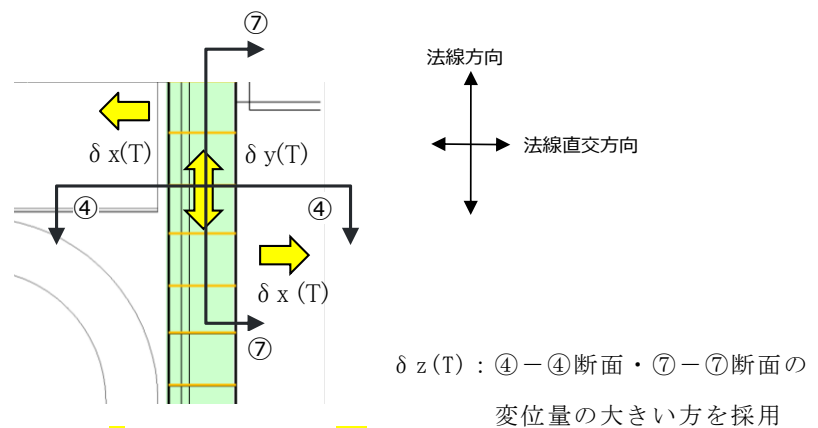


図4.1.8-6 地震時の変位量の概念図

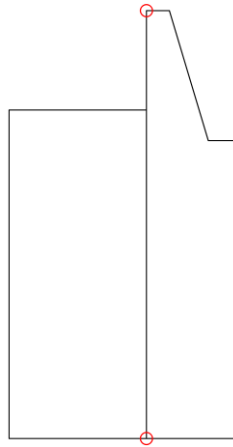


図 4.1.8-7 相対変位抽出位置

表 4.1.7-13 止水目地の変位量の算定方法

	δ_x	δ_z	δ_y
②-②断面	②-②断面の防波壁（波返重力擁壁）天端の最大相対変位量（ $\delta_x(T)$ ）の2倍	②-②断面及び⑦-⑦断面のうち、防波壁（波返重力擁壁）天端の最大相対変位量（ $\delta_z(T)$ ）大きい変位量の2倍	⑦-⑦断面の隣接する重力擁壁の天端間の相対変位量 $\delta_y(T)$
③-③断面	③-③断面の防波壁（波返重力擁壁）天端の最大相対変位量（ $\delta_x(T)$ ）の2倍	③-③断面及び⑦-⑦断面のうち、防波壁（波返重力擁壁）天端の最大相対変位量（ $\delta_z(T)$ ）大きい変位量の2倍	
④-④断面	④-④断面の防波壁（波返重力擁壁）天端の最大相対変位量（ $\delta_x(T)$ ）の2倍	④-④断面及び⑦-⑦断面のうち、防波壁（波返重力擁壁）天端の最大相対変位量（ $\delta_z(T)$ ）大きい変位量の2倍	
⑤-⑤断面	⑤-⑤断面の防波壁（波返重力擁壁）天端の最大相対変位量（ $\delta_x(T)$ ）の2倍	⑤-⑤断面及び⑦-⑦断面のうち、防波壁（波返重力擁壁）天端の最大相対変位量（ $\delta_z(T)$ ）大きい変位量の2倍	

(6) 基礎地盤

基礎地盤の支持性能評価においては、MMR、改良地盤⑥及び防波壁直下に生じる接地圧が許容限界以下であることを確認する。

4.2 地震応答解析結果

地震応答解析結果として「最大過剰間隙水圧分布」及び「最大せん断ひずみ分布」記載する。

耐震評価においては、全ての基準地震動 S_s に対して実施するケース①において、2次元有限要素法による重力擁壁の曲げ・軸力系の破壊に対する照査、せん断破壊に対する照査及び基礎地盤の支持性能に対する照査並びに3次元構造解析によるケーソンの曲げ・軸力系の破壊に対する照査及びせん断破壊に対する照査の各評価項目のうち、照査値が0.5を超える評価項目に対して、最も厳しい（許容限界に対する裕度が最も小さい）地震動を用いて追加解析ケース②、③を実施する。

2次元有限要素法及び3次元構造解析による照査値が0.5を超える解析ケースのうち、最も厳しい地震動を表4.2.1-1に示す。

表4.2.1-1(1) 照査値が0.5を超える解析ケースのうち最も厳しい地震動

断面	評価項目			
	重力擁壁		H形鋼	基礎地盤
	曲げ	せん断	せん断	
②-②断面	$S_s - D (-+)$ 解析ケース① 0.53 (曲げ引張)	$S_s - D (-+)$ 解析ケース② 0.57	—	$S_s - D (++)$ 解析ケース② 0.72 (改良地盤⑥)
③-③断面	$S_s - N 1 (++)$ 解析ケース① 0.84 (曲げ引張)	$S_s - N 2 (EW)$ (++) 解析ケース① 0.77	—	全地震動において 0.5以下
④-④断面	$S_s - D (-+)$ 解析ケース③ 0.74 (曲げ引張)	$S_s - D (-+)$ 解析ケース③ 0.65	—	全地震動において 0.5以下
⑤-⑤断面	全地震動において 0.5以下	全地震動において 0.5以下	全地震動において 0.5以下	全地震動において 0.5以下

表 4.2.1-1(2) 照査値が 0.5 を超える解析ケースのうち最も厳しい地震動

断面	ケース		
	曲げ	せん断 (面外)	せん断 (面内)
②-②断面	S _s -N1 (++) 解析ケース② 0.68 (曲げ引張)	全地震動において 0.5 以下	S _s -D (++) 解析ケース① 0.53
③-③断面	S _s -N1 (-+) 解析ケース① 0.95* ¹ (曲げ引張)	S _s -N1 (-+) 解析ケース③ 1.07* ¹ 【0.65】* ²	S _s -N1 (-+) 解析ケース③ 1.22 (0.27)* ³
④-④断面	S _s -N1 (-+) 解析ケース② 0.65 (曲げ引張)	S _s -N1 (-+) 解析ケース② 0.69	S _s -N1 (-+) 解析ケース② 0.81
⑤-⑤断面	—	—	—

注記*1：応力度の平均化実施後の照査値を示す。

*2：括弧内【 】は「鉄筋コンクリート構造計算規準・同解説（（社）日本建築学会，1999年）」（以下「RC規準（1999）」という。）に基づき，短期許容せん断応力度 1.11 (N/mm²) を許容値とした場合の照査値を示す。

*3：括弧内（ ）は，3次元非線形構造解析による照査値を示す。

4.2.1 解析ケースと照査値

(1) 重力擁壁の曲げ照査

表 4.2.1-2 及び表 4.2.1-3 に重力擁壁における曲げ・軸力系の破壊に対する照査の実施ケースと照査値を示す。

表 4.2.1-2(1) 重力擁壁の曲げ・軸力系の破壊に対する
照査における実施ケースと照査値
(②-②断面)

地震動 \ 解析ケース		コンクリートの曲げ圧縮応力度 に対する照査値		
		①	②	③
S _s -D	(++)	0.24	0.23	0.23
	(-+)	0.29	0.26	0.29
	(+-)	0.26		
	(--)	0.26		
S _s -F1	(++)	0.18		
S _s -F2	(++)	0.19		
S _s -N1	(++)	0.27	0.26	0.27
	(-+)	0.18		
S _s -N2 (NS)	(++)	0.25		
	(-+)	0.19		
S _s -N2 (EW)	(++)	0.23		
	(-+)	0.21		

表 4.2.1-2(2) 重力擁壁の曲げ・軸力系の破壊に対する
照査における実施ケースと照査値
(③-③断面)

地震動 \ 解析ケース		コンクリートの曲げ圧縮応力度 に対する照査値		
		①	②	③
S _s -D	(++)	0.34		
	(-+)	0.31		
	(+-)	0.36		
	(--)	0.36		
S _s -F1	(++)	0.20		
S _s -F2	(++)	0.25		
S _s -N1	(++)	0.45	0.45	0.45
	(-+)	0.41	0.41	0.40
S _s -N2 (NS)	(++)	0.25		
	(-+)	0.19		
S _s -N2 (EW)	(++)	0.38	0.38	0.38
	(-+)	0.32		

表 4.2.1-2(3) 重力擁壁の曲げ・軸力系の破壊に対する
照査における実施ケースと照査値
(④-④断面)

地震動 \ 解析ケース		コンクリートの曲げ圧縮応力度 に対する照査値		
		①	②	③
S _s -D	(++)	0.22		
	(-+)	0.19	0.36	0.36
	(+-)	0.32		
	(--)	0.27		
S _s -F1	(++)	0.16		
S _s -F2	(++)	0.20		
S _s -N1	(++)	0.23		
	(-+)	0.27	0.28	0.27
S _s -N2 (NS)	(++)	0.15		
	(-+)	0.17		
S _s -N2 (EW)	(++)	0.21		
	(-+)	0.18		

表 4.2.1-2(4) 重力擁壁の曲げ・軸力系の破壊に対する
照査における実施ケースと照査値
(⑤-⑤断面)

地震動 \ 解析ケース		コンクリートの曲げ圧縮応力度 に対する照査値		
		①	②	③
S _s -D	(++)	0.28	0.28	0.28
	(-+)	0.26		
	(+-)	0.28		
	(--)	0.26		
S _s -F1	(++)	0.26		
S _s -F2	(++)	0.21		
S _s -N1	(++)	0.14		
	(-+)	0.23		
S _s -N2 (NS)	(++)	0.26		
	(-+)	0.21		
S _s -N2 (EW)	(++)	0.21		
	(-+)	0.28		

表 4.2.1-3(1) 重力擁壁の曲げ・軸力系の破壊に対する照査に対する
照査における実施ケースと照査値

(②-②断面)

地震動 解析ケース		鉄筋の曲げ引張応力度 に対する照査値		
		①	②	③
S _s -D	(++)	0.44	0.43	0.42
	(-+)	0.53	0.46	0.52
	(+-)	0.46		
	(--)	0.41		
S _s -F1	(++)	0.29		
S _s -F2	(++)	0.36		
S _s -N1	(++)	0.42	0.42	0.42
	(-+)	0.23		
S _s -N2 (NS)	(++)	0.45		
	(-+)	0.23		
S _s -N2 (EW)	(++)	0.32		
	(-+)	0.34		

0.53 : 解析ケース①において、曲げ・軸力系の破壊に対する
評価のうち、照査値 0.5 を超える最も厳しい照査値

表 4.2.1-3(2) 重力擁壁の曲げ・軸力系の破壊に対する照査に対する
照査における実施ケースと照査値

(③-③断面)

地震動		鉄筋の曲げ引張応力度 に対する照査値		
		①	②	③
S _s -D	(++)	0.59		
	(-+)	0.60		
	(+-)	0.64		
	(--)	0.68		
S _s -F1	(++)	0.34		
S _s -F2	(++)	0.43		
S _s -N1	(++)	0.84	0.83	0.84
	(-+)	0.78	0.79	0.78
S _s -N2 (NS)	(++)	0.48		
	(-+)	0.26		
S _s -N2 (EW)	(++)	0.75	0.75	0.74
	(-+)	0.60		

0.84 : 解析ケース①において、曲げ・軸力系の破壊に対する
評価のうち、照査値 0.5 を超える最も厳しい照査値

表 4.2.1-3(3) 重力擁壁の曲げ・軸力系の破壊に対する照査に対する
照査における実施ケースと照査値

(④-④断面)

地震動 \ 解析ケース		鉄筋の曲げ引張応力度 に対する照査値		
		①	②	③
S _s -D	(++)	0.32		
	(-+)	0.74	0.63	0.74
	(+-)	0.57		
	(--)	0.48		
S _s -F1	(++)	0.23		
S _s -F2	(++)	0.31		
S _s -N1	(++)	0.37		
	(-+)	0.45	0.48	0.44
S _s -N2 (NS)	(++)	0.15		
	(-+)	0.25		
S _s -N2 (EW)	(++)	0.34		
	(-+)	0.31		

0.74 : 解析ケース①において、曲げ・軸力系の破壊に対する
評価のうち、照査値 0.5 を超える最も厳しい照査値

表 4.2.1-3(4) 重力擁壁の曲げ・軸力系の破壊に対する照査に対する
照査における実施ケースと照査値

(⑤-⑤断面)

地震動		鉄筋の曲げ引張応力度 に対する照査値		
		①	②	③
S _s -D	(++)	0.50	0.50	0.50
	(-+)	0.42		
	(+-)	0.49		
	(--)	0.39		
S _s -F1	(++)	0.42		
S _s -F2	(++)	0.28		
S _s -N1	(++)	0.14		
	(-+)	0.32		
S _s -N2 (NS)	(++)	0.40		
	(-+)	0.29		
S _s -N2 (EW)	(++)	0.29		
	(-+)	0.46		

(2) 重力擁壁のせん断照査

表 4.2.1-4 に重力擁壁におけるせん断破壊に対する照査の実施ケースと照査値を示す。

表 4.2.1-4(1) 重力擁壁のせん断破壊に対する照査における実施ケースと照査値
(②-②断面)

地震動 解析ケース		コンクリートのせん断応力度 に対する照査値		
		①	②	③
S _s -D	(++)	0.39	0.39	0.40
	(-+)	0.54	0.57	0.56
	(+-)	0.42		
	(--)	0.54		
S _s -F1	(++)	0.36		
S _s -F2	(++)	0.48		
S _s -N1	(++)	0.55	0.56	0.54
	(-+)	0.28		
S _s -N2 (NS)	(++)	0.41		
	(-+)	0.34		
S _s -N2 (EW)	(++)	0.32		
	(-+)	0.33		

0.55 : 解析ケース①において、曲げ・軸力系の破壊に対する評価のうち、照査値 0.5 を超える最も厳しい照査値

表 4.2.1-4(2) 重力擁壁のせん断破壊に対する照査における実施ケースと照査値
(③-③断面)

地震動 \ 解析ケース		コンクリートのせん断応力度 に対する照査値		
		①	②	③
S s - D	(++)	0.56		
	(-+)	0.75		
	(+-)	0.71		
	(--)	0.76		
S s - F 1	(++)	0.37		
S s - F 2	(++)	0.46		
S s - N 1	(++)	0.73	0.72	0.72
	(-+)	0.64	0.65	0.65
S s - N 2 (NS)	(++)	0.39		
	(-+)	0.44		
S s - N 2 (EW)	(++)	0.77	0.74	0.74
	(-+)	0.49		

0.77 : 解析ケース①において、せん断破壊に対する評価のうち、照査値 0.5 を超える最も厳しい照査値

表 4.2.1-4(3) 重力擁壁のせん断破壊に対する照査における実施ケースと照査値

(④-④断面)

地震動 \ 解析ケース		コンクリートのせん断応力度 に対する照査値		
		①	②	③
S _s -D	(++)	0.44		
	(-+)	0.65	0.64	0.65
	(+-)	0.52		
	(--)	0.41		
S _s -F1	(++)	0.24		
S _s -F2	(++)	0.38		
S _s -N1	(++)	0.53		
	(-+)	0.43	0.44	0.43
S _s -N2 (NS)	(++)	0.31		
	(-+)	0.29		
S _s -N2 (EW)	(++)	0.43		
	(-+)	0.33		

0.65 : 解析ケース①において、せん断破壊に対する評価のうち、照査値 0.5 を超える最も厳しい照査値

表 4.2.1-4(4) 重力擁壁のせん断破壊に対する照査における実施ケースと照査値
(⑤-⑤断面)

地震動 \ 解析ケース		コンクリートのせん断応力度 に対する照査値		
		①	②	③
S _s -D	(++)	0.43	0.43	0.43
	(-+)	0.42		
	(+-)	0.43		
	(--)	0.42		
S _s -F1	(++)	0.37		
S _s -F2	(++)	0.27		
S _s -N1	(++)	0.27		
	(-+)	0.31		
S _s -N2 (NS)	(++)	0.32		
	(-+)	0.28		
S _s -N2 (EW)	(++)	0.31		
	(-+)	0.35		

(3) H形鋼のせん断照査

表 4.2.1-5 に H形鋼のせん断破壊に対する照査の実施ケースと照査値を示す。

表 4.2.1-5 H形鋼のせん断破壊に対する照査における実施ケースと照査値
(⑤-⑤断面)

地震動 解析ケース		H形鋼のせん断応力度 に対する照査値		
		①	②	③
S _s -D	(++)	0.37	0.37	0.37
	(-+)	0.36		
	(+-)	0.37		
	(--)	0.37		
S _s -F1	(++)	0.32		
S _s -F2	(++)	0.24		
S _s -N1	(++)	0.23		
	(-+)	0.27		
S _s -N2 (NS)	(++)	0.28		
	(-+)	0.24		
S _s -N2 (EW)	(++)	0.27		
	(-+)	0.31		

(4) MMRのすべり安全率による評価

表 4.2.1-6 に MMRのすべり安全率による評価の実施ケースとすべり安全率を示す。

表 4.2.1-6(1) MMRのすべり安全率による評価の実施ケースとすべり安全率
(②-②断面)

地震動 \ 解析ケース		MMRのすべりに対する安全率		
		①	②	③
S _s -D	(++)	7.62	7.48	7.60
	(-+)	9.47	10.05	8.59
	(+-)	9.74		
	(--)	8.56		
S _s -F1	(++)	15.13		
S _s -F2	(++)	15.88		
S _s -N1	(++)	11.40	11.48	12.38
	(-+)	8.68		
S _s -N2 (NS)	(++)	17.54		
	(-+)	15.40		
S _s -N2 (EW)	(++)	13.78		
	(-+)	17.45		

表 4.2.1-6(2) MMR のすべり安全率による評価の実施ケースとすべり安全率
(③-③断面)

地震動 \ 解析ケース		MMR のすべりに対する安全率		
		①	②	③
S _s -D	(++)	11.78		
	(-+)	12.10		
	(+-)	9.39		
	(--)	11.25		
S _s -F1	(++)	19.69		
S _s -F2	(++)	11.95		
S _s -N1	(++)	8.59	8.48	8.96
	(-+)	12.34	12.36	12.34
S _s -N2 (NS)	(++)	16.13		
	(-+)	15.87		
S _s -N2 (EW)	(++)	8.68		
	(-+)	12.76		

表 4.2.1-6(3) MMRのすべり安全率による評価の実施ケースとすべり安全率

(④-④断面)

地震動 \ 解析ケース		MMRのすべりに対する安全率		
		①	②	③
S _s -D	(++)	9.46		
	(-+)	8.25	8.23	8.31
	(+-)	8.96		
	(--)	7.53		
S _s -F1	(++)	12.43		
S _s -F2	(++)	11.20		
S _s -N1	(++)	13.35		
	(-+)	7.32	7.30	7.34
S _s -N2 (NS)	(++)	15.67		
	(-+)	13.78		
S _s -N2 (EW)	(++)	13.52		
	(-+)	15.05		

(5) 改良地盤⑥のすべり安全率による評価

表 4.2.1-7 に改良地盤⑥のすべり安全率による評価の実施ケースとすべり安全率を表 4.2.1-7 に示す。

表 4.2.1-7 改良地盤⑥のすべり安全率による評価の実施ケースとすべり安全率
(②-②断面)

地震動 解析ケース		改良地盤のすべりに対する安全率		
		①	②	③
S _s -D	(++)	2.59	3.07	2.84
	(-+)	2.63	2.37	2.62
	(+-)	2.57		
	(--)	2.05		
S _s -F1	(++)	3.50		
S _s -F2	(++)	3.76		
S _s -N1	(++)	2.93	3.03	2.92
	(-+)	2.86		
S _s -N2 (NS)	(++)	3.87		
	(-+)	3.74		
S _s -N2 (EW)	(++)	3.67		
	(-+)	3.96		

(6) 基礎地盤の支持性能に対する照査

表 4.2.1-8 に基礎地盤の支持性能に対する照査の実施ケースと照査値を示す。

表 4.2.1-8(1) 基礎地盤の支持性能に対する照査における実施ケースと照査値
(②-②断面, MMR)

地震動 \ 解析ケース		基礎地盤の支持性能 に対する照査値		
		①	②	③
S _s -D	(++)	0.10	0.08	0.08
	(-+)	0.11	0.10	0.10
	(+-)	0.12		
	(--)	0.09		
S _s -F1	(++)	0.06		
S _s -F2	(++)	0.09		
S _s -N1	(++)	0.11	0.11	0.11
	(-+)	0.07		
S _s -N2 (NS)	(++)	0.05		
	(-+)	0.05		
S _s -N2 (EW)	(++)	0.06		
	(-+)	0.05		

表 4.2.1-8(2) 基礎地盤の支持性能に対する照査における実施ケースと照査値
 (②-②断面, 改良地盤⑥)

地震動 \ 解析ケース		基礎地盤の支持性能 に対する照査値		
		①	②	③
S _s -D	(++)	0.71	0.72	0.72
	(-+)	0.67	0.61	0.64
	(+-)	0.69		
	(--)	0.70		
S _s -F1	(++)	0.35		
S _s -F2	(++)	0.35		
S _s -N1	(++)	0.29	0.29	0.29
	(-+)	0.47		
S _s -N2 (NS)	(++)	0.40		
	(-+)	0.41		
S _s -N2 (EW)	(++)	0.44		
	(-+)	0.46		

0.71 : 解析ケース①において, 基礎地盤の支持性能に対する
 評価のうち, 照査値 0.5 を超える最も厳しい照査値

表 4.2.1-8(3) 基礎地盤の支持性能に対する照査における実施ケースと照査値
 (②-②断面, 岩盤)

地震動 \ 解析ケース		基礎地盤の支持性能 に対する照査値		
		①	②	③
S _s -D	(++)	0.20	0.19	0.19
	(-+)	0.18	0.18	0.19
	(+-)	0.18		
	(--)	0.21		
S _s -F1	(++)	0.17		
S _s -F2	(++)	0.12		
S _s -N1	(++)	0.15	0.15	0.15
	(-+)	0.18		
S _s -N2 (NS)	(++)	0.13		
	(-+)	0.12		
S _s -N2 (EW)	(++)	0.17		
	(-+)	0.13		

表 4.2.1-8(4) 基礎地盤の支持性能に対する照査における実施ケースと照査値
(③-③断面, MMR)

地震動 \ 解析ケース		基礎地盤の支持性能 に対する照査値		
		①	②	③
S _s -D	(++)	0.06		
	(-+)	0.04		
	(+-)	0.05		
	(--)	0.05		
S _s -F1	(++)	0.04		
S _s -F2	(++)	0.05		
S _s -N1	(++)	0.08	0.08	0.08
	(-+)	0.05	0.05	0.05
S _s -N2 (NS)	(++)	0.04		
	(-+)	0.03		
S _s -N2 (EW)	(++)	0.06	0.06	0.06
	(-+)	0.04		

表 4.2.1-8(5) 基礎地盤の支持性能に対する照査における実施ケースと照査値
 (③-③断面, 岩盤)

地震動 \ 解析ケース		基礎地盤の支持性能 に対する照査値		
		①	②	③
S _s -D	(++)	0.28		
	(-+)	0.19		
	(+-)	0.26		
	(--)	0.24		
S _s -F1	(++)	0.13		
S _s -F2	(++)	0.20		
S _s -N1	(++)	0.24	0.24	0.24
	(-+)	0.29	0.29	0.29
S _s -N2 (NS)	(++)	0.17		
	(-+)	0.15		
S _s -N2 (EW)	(++)	0.22	0.22	0.22
	(-+)	0.18		

表 4.2.1-8(6) 基礎地盤の支持性能に対する照査における実施ケースと照査値

(④-④断面, MMR)

地震動 \ 解析ケース		基礎地盤の支持性能 に対する照査値		
		①	②	③
S _s -D	(++)	0.08		
	(-+)	0.12	0.12	0.12
	(+-)	0.08		
	(--)	0.09		
S _s -F1	(++)	0.04		
S _s -F2	(++)	0.06		
S _s -N1	(++)	0.09		
	(-+)	0.09	0.09	0.08
S _s -N2 (NS)	(++)	0.05		
	(-+)	0.06		
S _s -N2 (EW)	(++)	0.06		
	(-+)	0.07		

表 4.2.1-8(7) 基礎地盤の支持性能に対する照査における実施ケースと照査値

(④-④断面, 岩盤)

地震動 \ 解析ケース		基礎地盤の支持性能 に対する照査値		
		①	②	③
S _s -D	(++)	0.23		
	(-+)	0.24	0.25	0.24
	(+-)	0.24		
	(--)	0.30		
S _s -F1	(++)	0.16		
S _s -F2	(++)	0.17		
S _s -N1	(++)	0.18		
	(-+)	0.29	0.24	0.24
S _s -N2 (NS)	(++)	0.14		
	(-+)	0.14		
S _s -N2 (EW)	(++)	0.15		
	(-+)	0.16		

表 4.2.1-8(8) 基礎地盤の支持性能に対する照査における実施ケースと照査値
 (⑤-⑤断面, 岩盤)

地震動 \ 解析ケース		基礎地盤の支持性能 に対する照査値		
		①	②	③
S _s -D	(++)	0.20	0.20	0.20
	(-+)	0.19		
	(+-)	0.20		
	(--)	0.19		
S _s -F1	(++)	0.19		
S _s -F2	(++)	0.16		
S _s -N1	(++)	0.13		
	(-+)	0.17		
S _s -N2 (NS)	(++)	0.19		
	(-+)	0.16		
S _s -N2 (EW)	(++)	0.16		
	(-+)	0.20		

4.2.2 重力擁壁の曲げ照査

重力擁壁の曲げ・軸力系の破壊に対する照査のうち、コンクリートの曲げ・軸力系の破壊に対する照査において各解析ケースのうち最も厳しい照査値となる結果を表 4.2.2-1 に、鉄筋の曲げ・軸力系の破壊に対する照査において各解析ケースのうち最も厳しい照査値となる結果を表 4.2.2-2 に示す。

表 4.2.2-1(1) コンクリートの曲げ・軸力系の破壊に対する照査における最大照査値
(②-②断面)

地震動	解析 ケース	発生断面力		曲げ圧縮 応力度 σ_c (N/mm ²)	短期許容 応力度 σ_{ca} (N/mm ²)	照査値 σ_c / σ_{ca}
		曲げモーメント M (kN・m)	軸力 N (kN)			
S s - D (-+)	①	5491	1367	3.9	13.5	0.29

表 4.2.2-1(2) コンクリートの曲げ・軸力系の破壊に対する照査における最大照査値
(③-③断面)

地震動	解析 ケース	発生断面力		曲げ圧縮 応力度 σ_c (N/mm ²)	短期許容 応力度 σ_{ca} (N/mm ²)	照査値 σ_c / σ_{ca}
		曲げモーメント M (kN・m)	軸力 N (kN)			
S s - N 1 (++)	①	8700	1979	6.0	13.5	0.45

表 4.2.2-1(3) コンクリートの曲げ・軸力系の破壊に対する照査における最大照査値
(④-④断面)

地震動	解析 ケース	発生断面力		曲げ圧縮 応力度 σ_c (N/mm ²)	短期許容 応力度 σ_{ca} (N/mm ²)	照査値 σ_c / σ_{ca}
		曲げモーメント M (kN・m)	軸力 N (kN)			
S s - D (-+)	③	5409	1266	4.8	13.5	0.36

表 4.2.2-1(4) コンクリートの曲げ・軸力系の破壊に対する照査における最大照査値
(⑤-⑤断面)

地震動	解析 ケース	発生断面力		曲げ圧縮 応力度 σ_c (N/mm ²)	短期許容 応力度 σ_{ca} (N/mm ²)	照査値 σ_c / σ_{ca}
		曲げモーメント M (kN・m)	軸力 N (kN)			
S s - D (+-)	①	3848	1249	3.7	13.5	0.28

表 4.2.2-2(1) 鉄筋の曲げ・軸力系の破壊に対する照査における最大照査値
(②-②断面)

地震動	解析 ケース	発生断面力		曲げ引張 応力度 σ_s (N/mm ²)	短期許容 応力度 σ_{sa} (N/mm ²)	照査値 σ_s / σ_{sa}
		曲げモーメント M (kN・m)	軸力 N (kN)			
S s - D (-+)	①	5491	1367	155.2	294	0.53

表 4.2.2-2(2) 鉄筋の曲げ・軸力系の破壊に対する照査における最大照査値
(③-③断面)

地震動	解析 ケース	発生断面力		曲げ引張 応力度 σ_s (N/mm ²)	短期許容 応力度 σ_{sa} (N/mm ²)	照査値 σ_s / σ_{sa}
		曲げモーメント M (kN・m)	軸力 N (kN)			
S s - N 1 (++)	①	8700	1979	244.6	294	0.84

表 4.2.2-2(3) 鉄筋の曲げ・軸力系の破壊に対する照査における最大照査値
(④-④断面)

地震動	解析 ケース	発生断面力		曲げ引張 応力度 σ_s (N/mm ²)	短期許容 応力度 σ_{sa} (N/mm ²)	照査値 σ_s / σ_{sa}
		曲げモーメント M (kN・m)	軸力 N (kN)			
S s - D (-+)	③	5409	1266	216.5	294	0.74

表 4.2.2-2(4) 鉄筋の曲げ・軸力系の破壊に対する照査における最大照査値
(⑤-⑤断面)

地震動	解析 ケース	発生断面力		曲げ引張 応力度 σ_s (N/mm ²)	短期許容 応力度 σ_{sa} (N/mm ²)	照査値 σ_s / σ_{sa}
		曲げモーメント M (kN・m)	軸力 N (kN)			
S s - D (++)	③	3837	1196	145.0	294	0.50

4.2.3 重力擁壁のせん断照査

重力擁壁のせん断破壊に対する照査において各解析ケースのうち最も厳しい照査値となる結果を表 4.2.3-1 に示す。

表 4.2.3-1(1) コンクリートのせん断破壊に対する照査における最大照査値
(②-②断面)

地震動	解析 ケース	発生断面力	せん断 応力度 τ_c (N/mm ²)	短期許容 応力度 τ_{a1} (N/mm ²)	照査値 τ_c/τ_{a1}
		せん断力 Q (kN)			
S s - D (-+)	②	1089	0.36	0.64	0.57

表 4.2.3-1(2) コンクリートのせん断破壊に対する照査における最大照査値
(③-③断面)

地震動	解析 ケース	発生断面力	せん断 応力度 τ_c (N/mm ²)	短期許容 応力度 τ_{a1} (N/mm ²)	照査値 τ_c/τ_{a1}
		せん断力 Q (kN)			
S s - N 2 (EW) (++)	①	1470	0.49	0.64	0.77

表 4.2.3-1(3) コンクリートのせん断破壊に対する照査における最大照査値
(④-④断面)

地震動	解析 ケース	発生断面力	せん断 応力度 τ_c (N/mm ²)	短期許容 応力度 τ_{a1} (N/mm ²)	照査値 τ_c/τ_{a1}
		せん断力 Q (kN)			
S s - D (-+)	③	1249	0.44	0.67	0.65

表 4.2.3-1(4) コンクリートのせん断破壊に対する照査における最大照査値
(⑤-⑤断面)

地震動	解析 ケース	発生断面力	せん断 応力度 τ_c (N/mm ²)	短期許容 応力度 τ_{a1} (N/mm ²)	照査値 τ_c/τ_{a1}
		せん断力 Q (kN)			
S s - D (++)	③	770	0.29	0.67	0.38

4.2.4 過剰間隙水圧分布

地盤の液状化対象層に発生した過剰間隙水圧比を確認するため、重力擁壁、ケーソン及び基礎地盤の照査値のうち 0.5 を超える照査値で最大の照査値を示す解析ケースを表 4.2.4-1 に、最大の照査値を示す解析ケースにおける地震応答解析の過剰間隙水圧比の最大値分布図を図 4.2.4-1 に示す。

表 4.2.4-1(1) 最大照査値を示す解析ケースの一覧

断面	評価項目			
	重力擁壁			基礎地盤
	曲げ	せん断	H形鋼	
②-②断面	S s - D (-+) 解析ケース① 0.53 (曲げ引張)	S s - D (-+) 解析ケース② 0.57	-	S s - D (++) 解析ケース② 0.72
③-③断面	S s - N 1 (++) 解析ケース① 0.84 (曲げ引張)	S s - N 2 (EW) (++) 解析ケース① 0.77	-	全地震動において 0.5 以下
④-④断面	S s - D (-+) 解析ケース③ 0.74 (曲げ引張)	S s - D (-+) 解析ケース③ 0.65	-	全地震動において 0.5 以下

表 4.2.4-1(2) 最大照査値を示す解析ケースの一覧

断面	ケース		
	曲げ	せん断 (面外)	せん断 (面内)
②-②断面	S _s -N ₁ (++) 解析ケース② 0.68 (曲げ引張)	全地震動において 0.5以下	S _s -D (++) 解析ケース① 0.53
③-③断面	S _s -N ₁ (-+) 解析ケース① 0.95* ¹ (曲げ引張)	S _s -N ₁ (-+) 解析ケース③ 1.07* ¹ 【0.65】* ²	S _s -N ₁ (-+) 解析ケース③ 1.22 (0.27)* ³
④-④断面	S _s -N ₁ (-+) 解析ケース② 0.65 (曲げ引張)	S _s -N ₁ (-+) 解析ケース② 0.69	S _s -N ₁ (-+) 解析ケース② 0.81

注記*1：応力度の平均化実施後の照査値を示す。

*2：括弧内【 】は「RC規準（1999年）」に基づき，短期許容せん断応力度
1.11 (N/mm²) を許容値とした場合の照査値を示す。

*3：括弧内（ ）は，3次元非線形構造解析による照査値を示す。

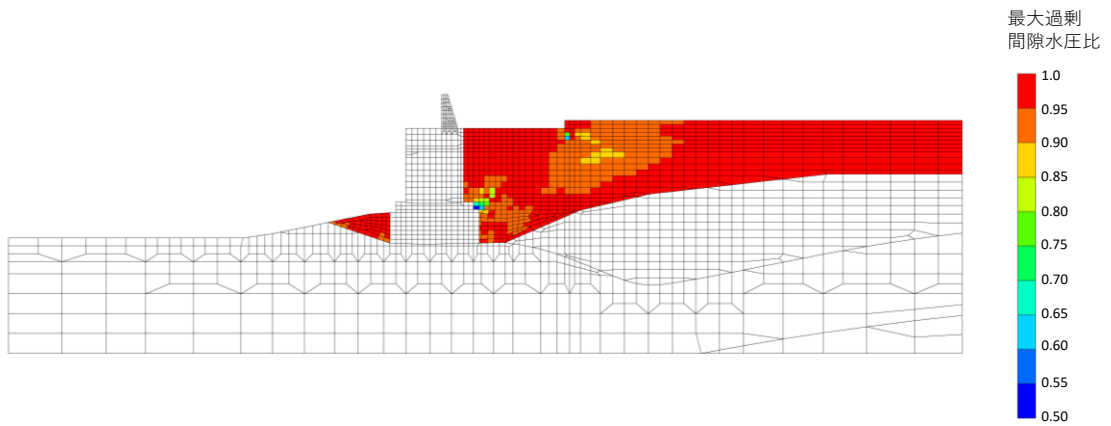


図 4.2.4-1(1) ②-②断面の過剰間隙水圧比最大値分布
(解析ケース①, $S_s - D(++)$)

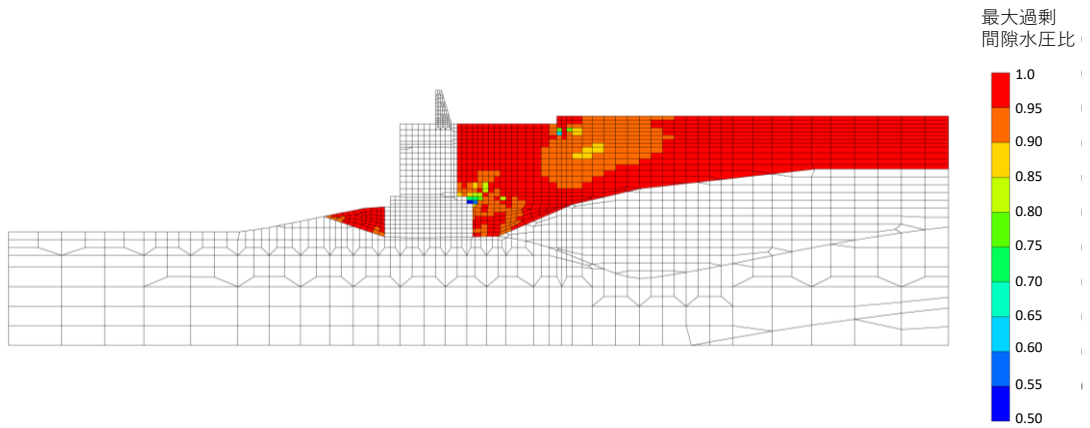


図 4.2.4-1(2) ②-②断面の過剰間隙水圧比最大値分布
(解析ケース②, $S_s - D(++)$)

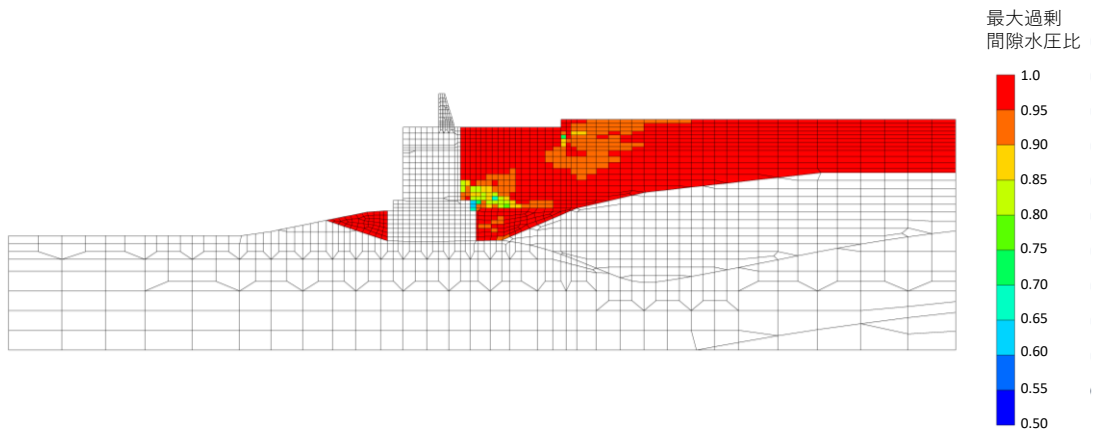


図 4.2.4-1(3) ②-②断面の過剰間隙水圧比最大値分布
(解析ケース①, $S_s - D(-+)$)

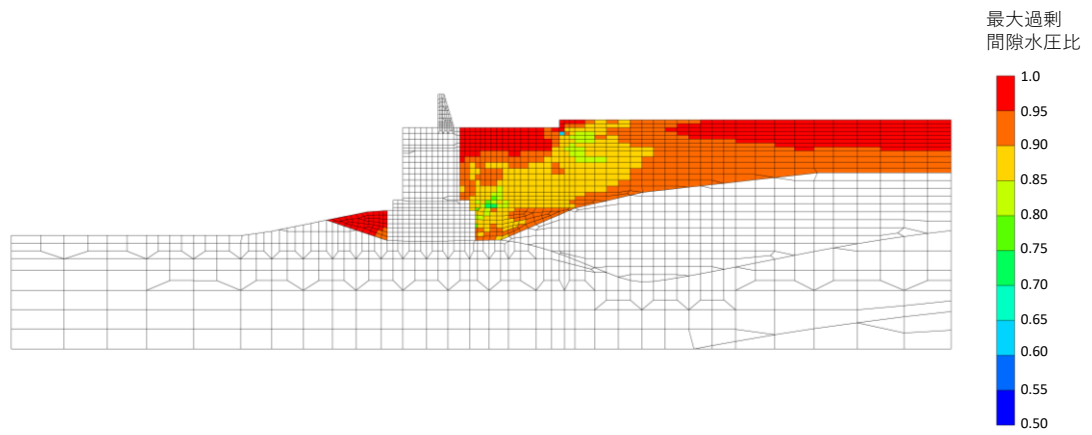


図 4.2.4-1(4) ②-②断面の過剰間隙水圧比最大値分布
(解析ケース②, $S_s - N1$ (++))

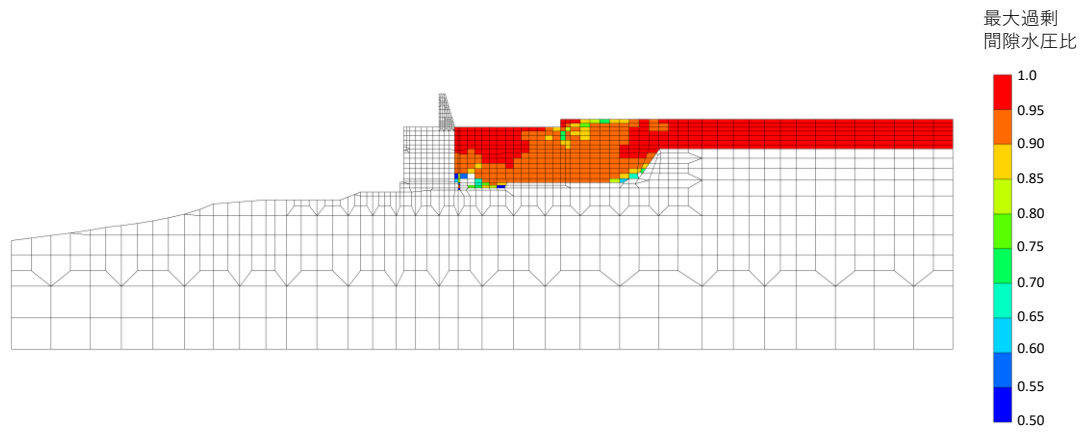


図 4.2.4-1(5) ③-③断面の過剰間隙水圧比最大値分布
(解析ケース①, $S_s - N1$ (++))

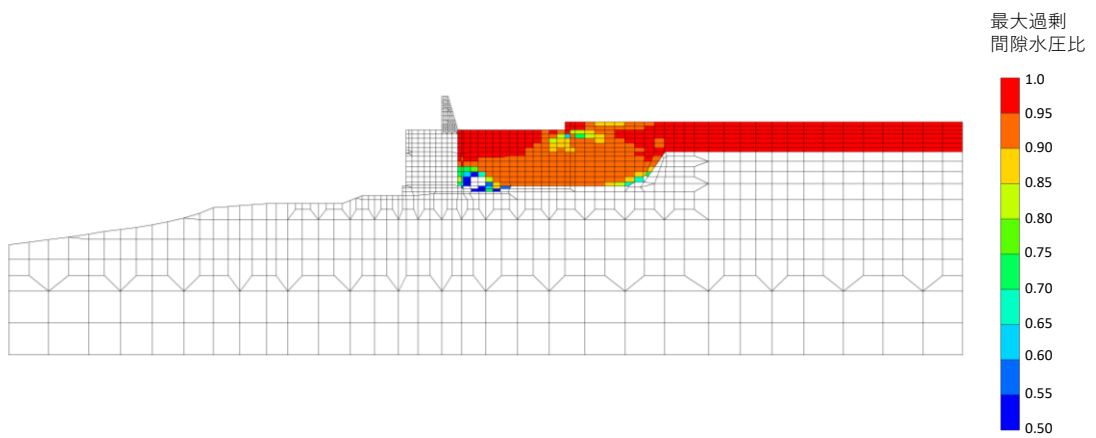


図 4.2.4-1(6) ③-③断面の過剰間隙水圧比最大値分布
(解析ケース①, $S_s - N1$ (-+))

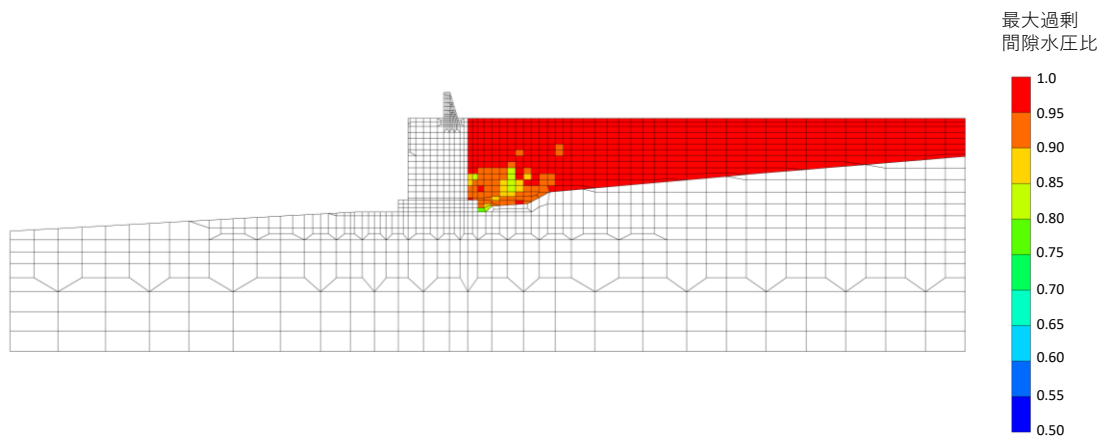


図 4.2.4-1(7) ④-④断面の過剰間隙水圧比最大値分布
(解析ケース③, $S_s - D (-+)$)

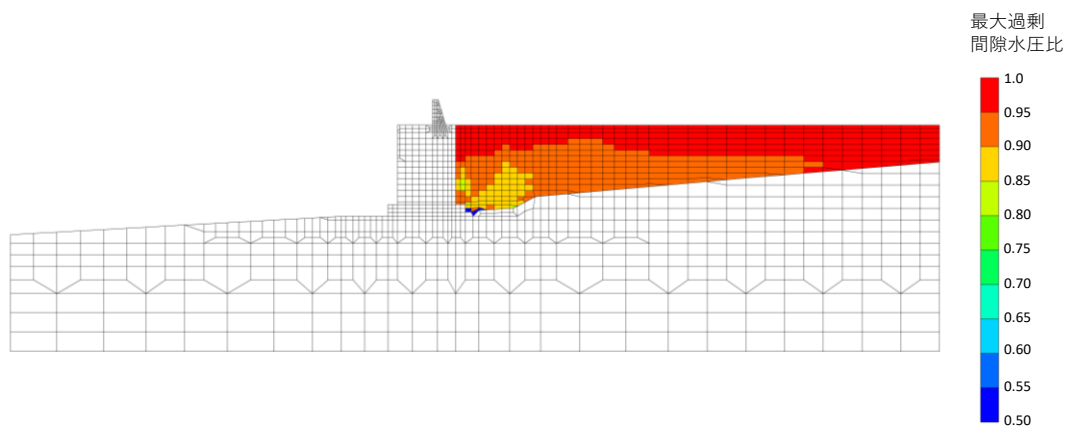


図 4.2.4-1(8) ④-④断面の過剰間隙水圧比最大値分布
(解析ケース②, $S_s - N1 (-+)$)

4.2.5 最大せん断ひずみ分布

地盤の最大せん断ひずみ分布を確認するため、重力擁壁、ケーソン及び基礎地盤の照査値のうち0.5を超える照査値で最大の照査値を示す解析ケースを表4.2.5-1に、最大の照査値を示す解析ケースにおける地震応答解析の最大せん断ひずみ分布図を図4.2.5-1に示す。

表 4.2.5-1(1) 最大照査値を示す解析ケースの一覧

断面	評価項目			
	重力擁壁			基礎地盤
	曲げ	せん断	H形鋼	
②-②断面	S _s -D (-+) 解析ケース① 0.53 (曲げ引張)	S _s -D (-+) 解析ケース② 0.57	—	S _s -D (++) 解析ケース② 0.72
③-③断面	S _s -N1 (++) 解析ケース① 0.84 (曲げ引張)	S _s -N2 (EW) (++) 解析ケース① 0.77	—	全地震動において 0.5以下
④-④断面	S _s -D (-+) 解析ケース③ 0.74 (曲げ引張)	S _s -D (-+) 解析ケース③ 0.65	—	全地震動 において 0.5以下

表 4.2.5-1(2) 最大照査値を示す解析ケースの一覧

断面	ケース		
	曲げ	せん断 (面外)	せん断 (面内)
②-②断面	S _s -N1(++) 解析ケース② 0.68 (曲げ引張)	全地震動において 0.5以下	S _s -D(++) 解析ケース① 0.53
③-③断面	S _s -N1(-+) 解析ケース① 0.95* ¹ (曲げ引張)	S _s -N1(-+) 解析ケース③ 1.07* ¹ 【0.65】* ²	S _s -N1(-+) 解析ケース③ 1.22 (0.27)* ³
④-④断面	S _s -N1(-+) 解析ケース② 0.65 (曲げ引張)	S _s -N1(-+) 解析ケース② 0.69	S _s -N1(-+) 解析ケース② 0.81

注記*1：応力度の平均化実施後の照査値を示す。

*2：括弧内【 】は「RC規準（1999年）」に基づき，短期許容せん断応力度
1.11 (N/mm²) を許容値とした場合の照査値を示す。

*3：括弧内（ ）は，3次元非線形構造解析による照査値を示す。

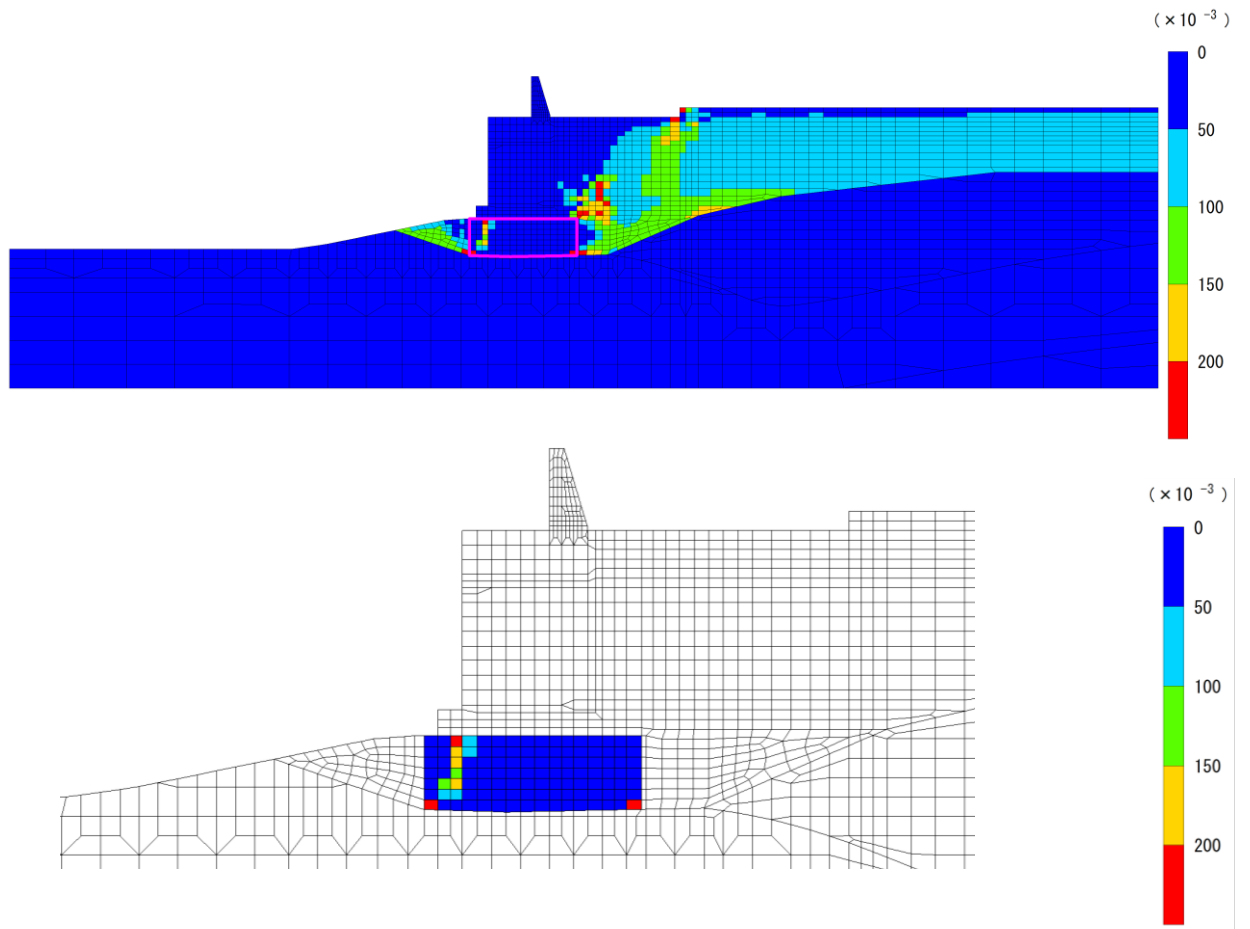


図 4.2.5-1(1) ②-②断面の最大せん断ひずみ分布図
(解析ケース①, $S_s - D(++)$)

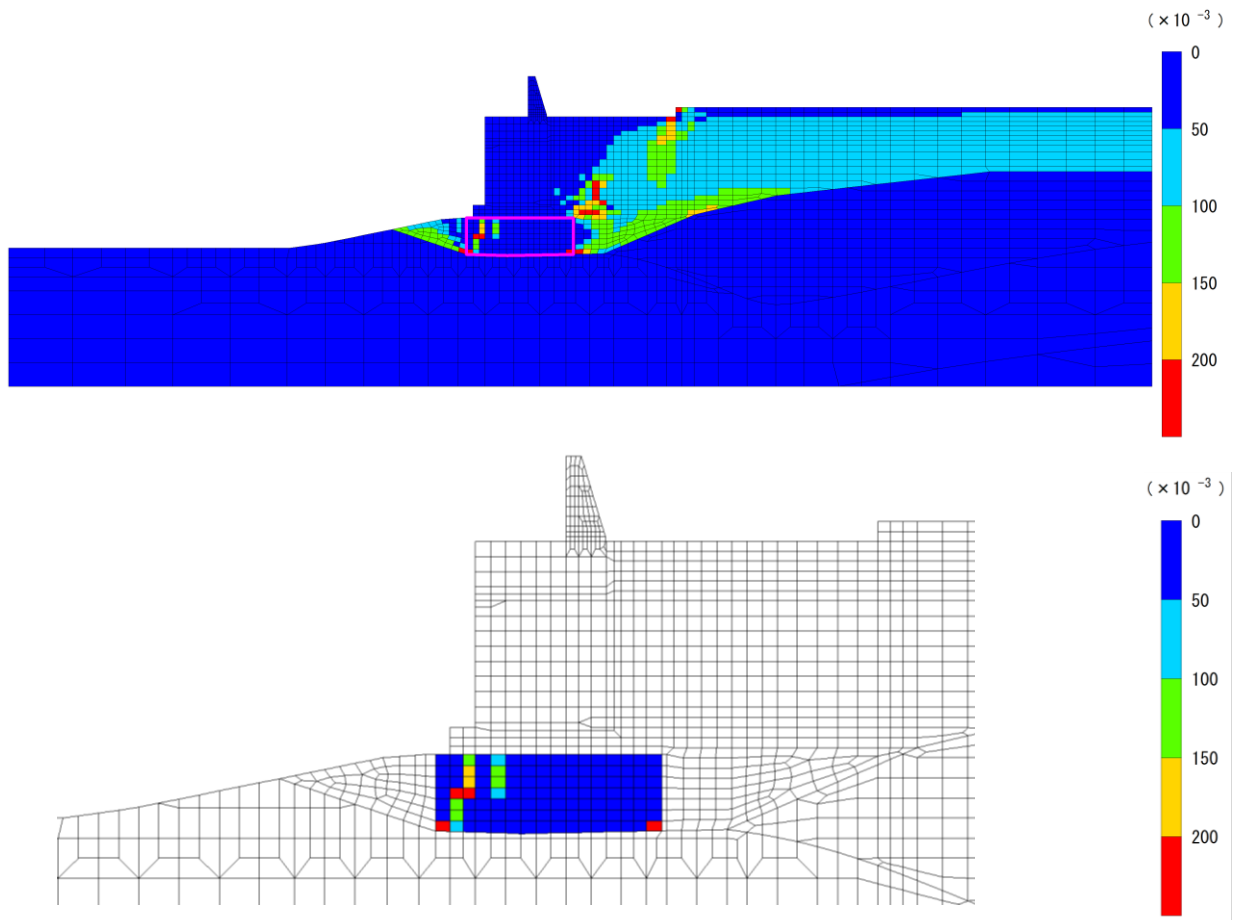


図 4.2.5-1(2) ②-②断面の最大せん断ひずみ分布図
(解析ケース②, $S_s - D(++)$)

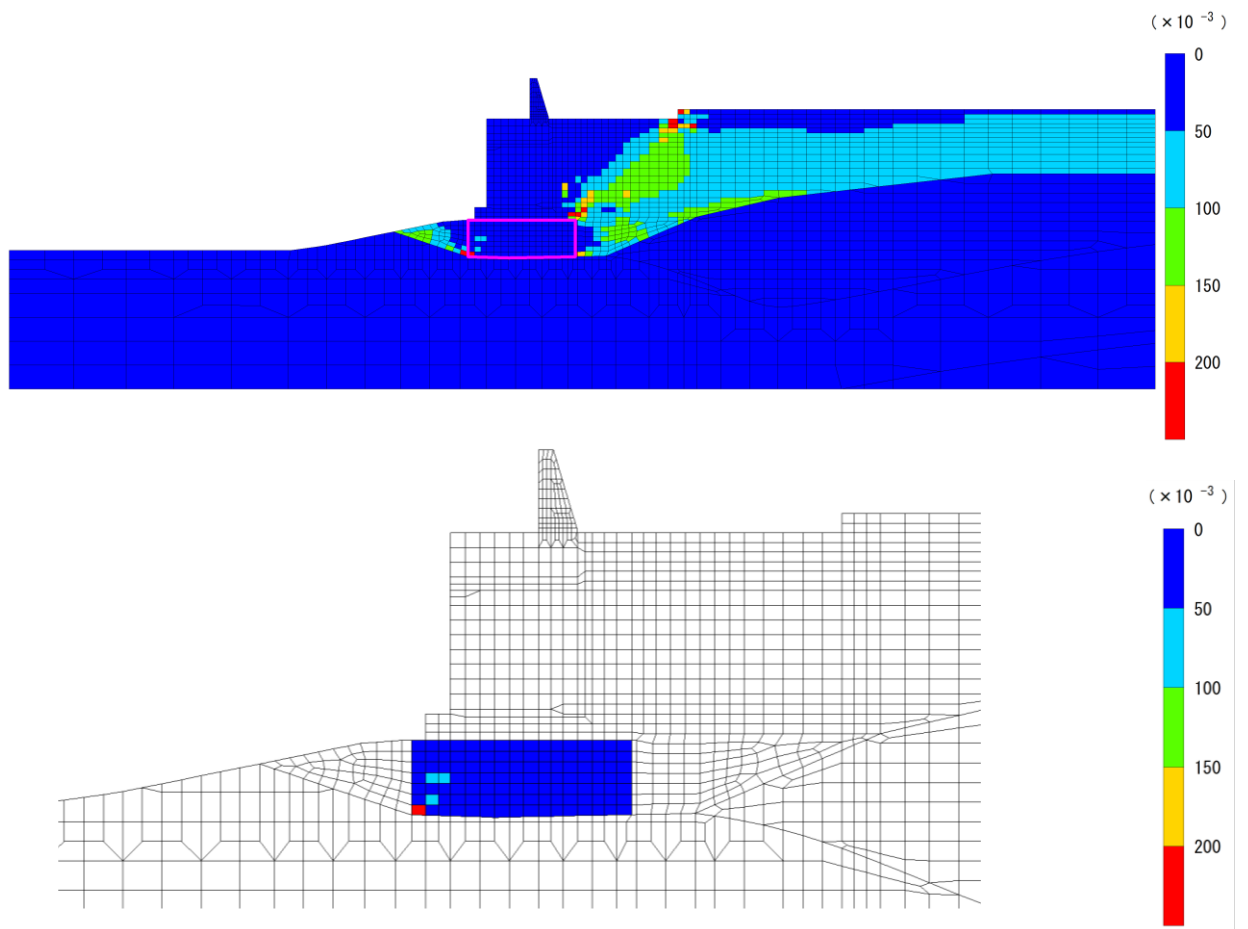


図 4.2.5-1(3) ②-②断面の最大せん断ひずみ分布図
 (解析ケース①, $S_s - D(-+)$)

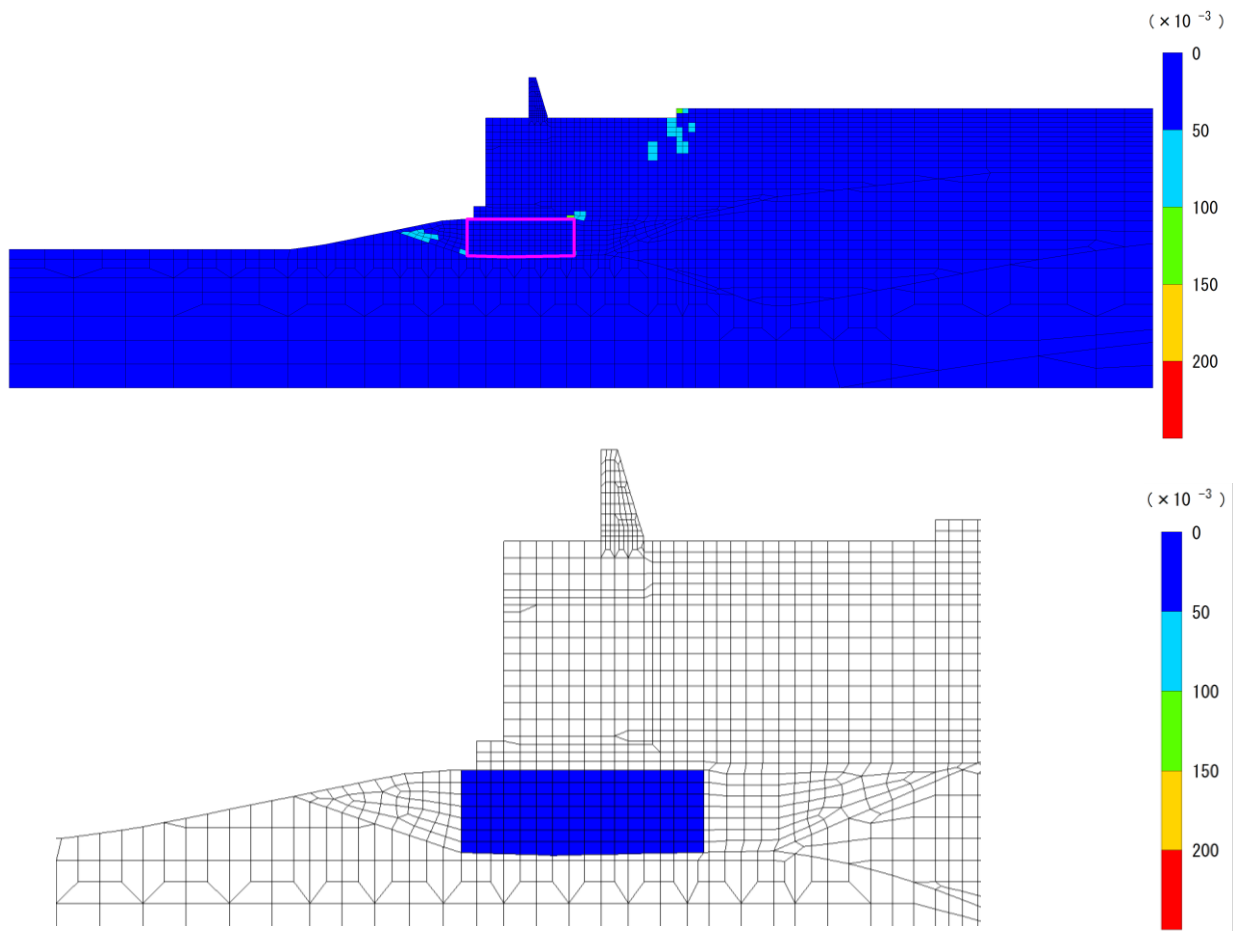


図 4.2.5-1(4) ②-②断面の最大せん断ひずみ分布図
 (解析ケース②, S_s-N1 (++))

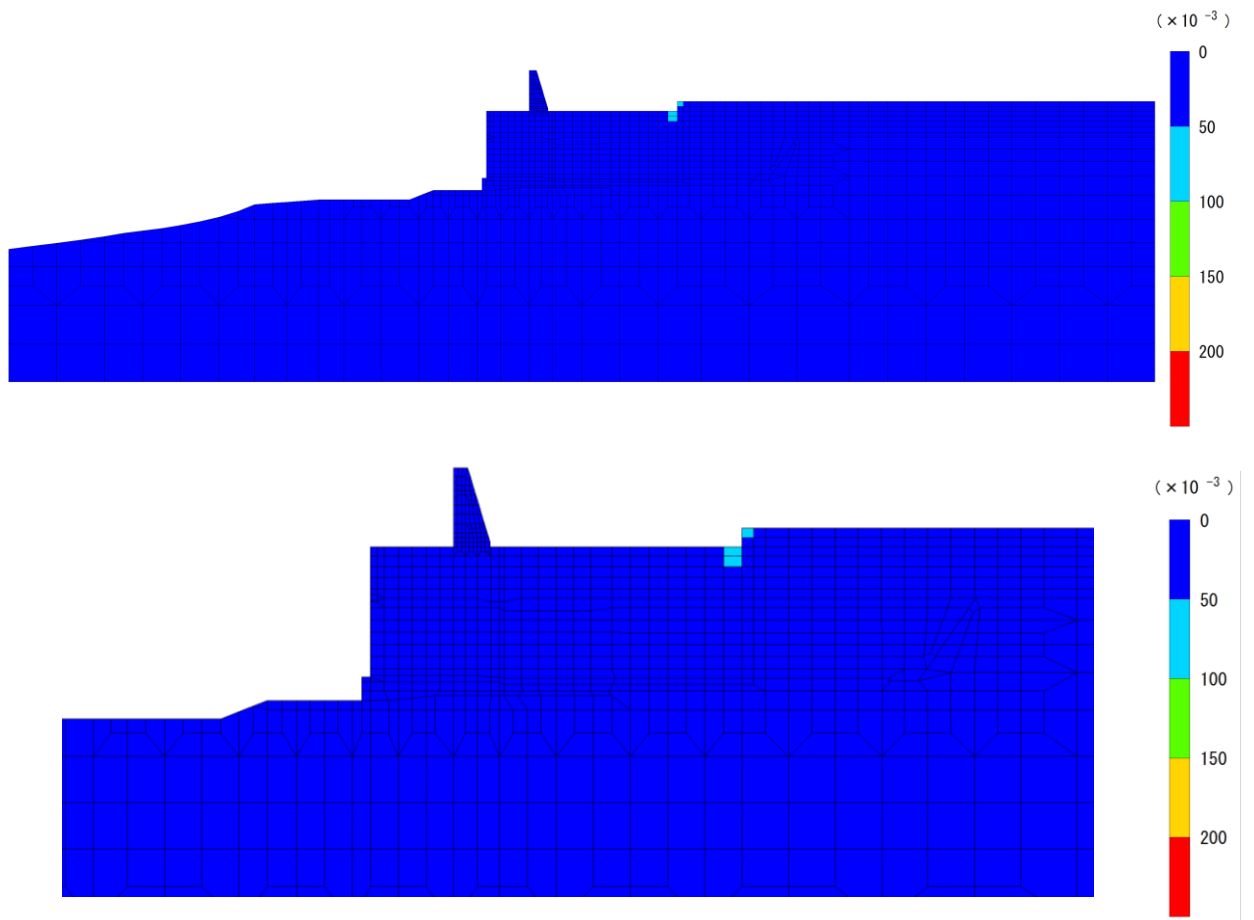


図 4.2.5-1(5) ③-③断面の最大せん断ひずみ分布図
 (解析ケース①, $S_s - N1$ (++))

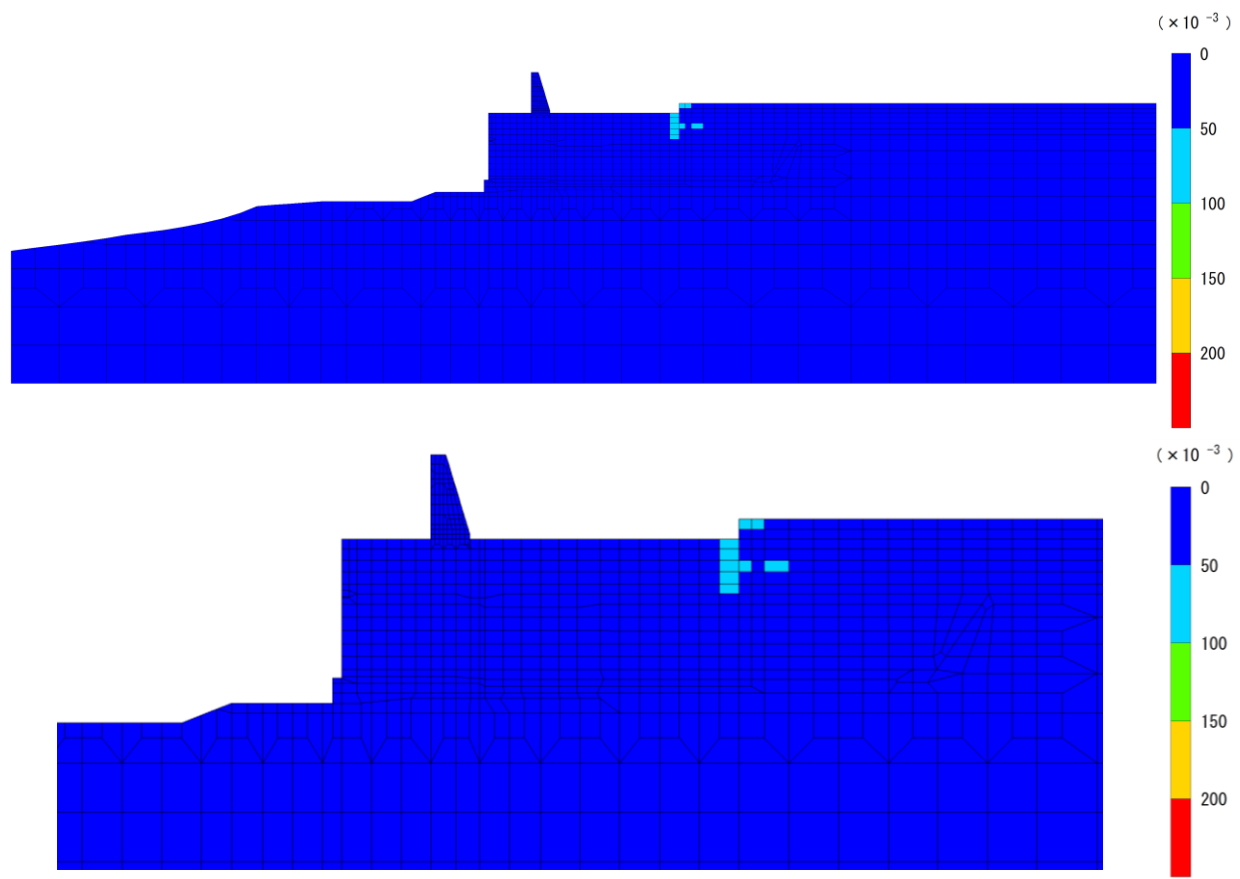


図 4.2.5-1(6) ③-③断面の最大せん断ひずみ分布図
 (解析ケース①, $S_s - N1 (-+)$)

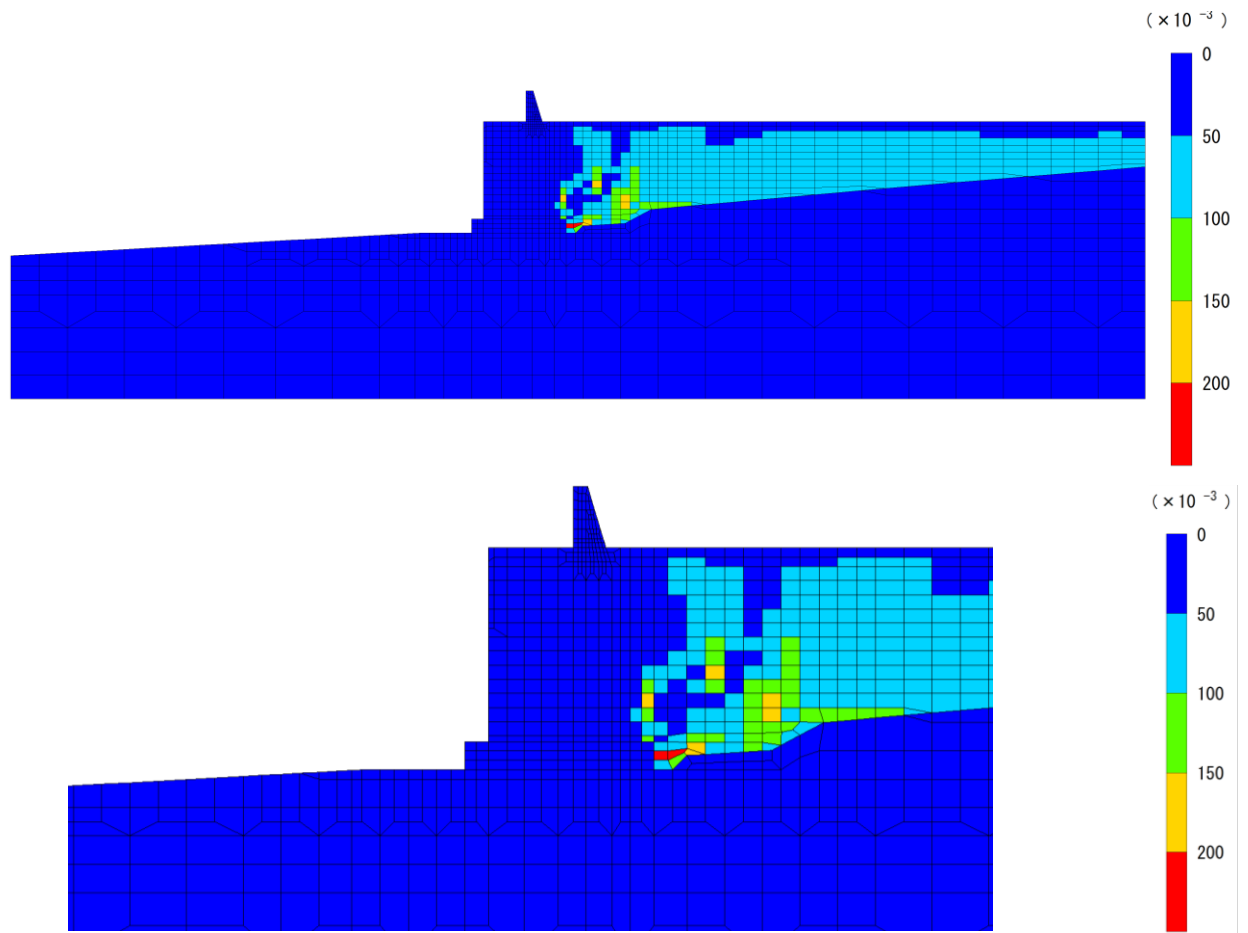


図 4.2.5-1(7) ④-④断面の最大せん断ひずみ分布図
(解析ケース③, $S_s - D(-+)$)

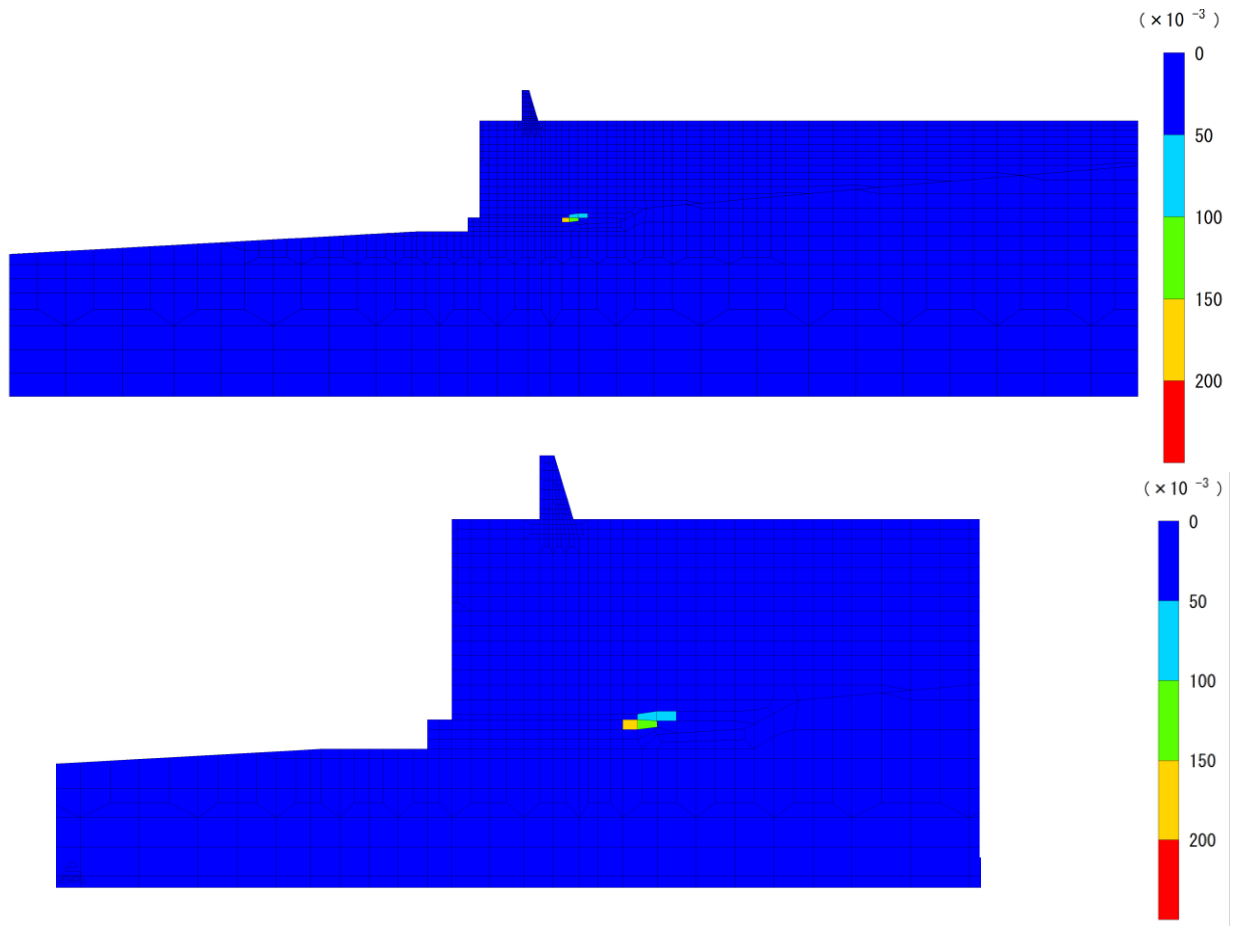


図 4.2.5-1(8) ④-④断面の最大せん断ひずみ分布図
(解析ケース②, $S_s - N1 (-+)$)

4.2.6 重力擁壁

(1) 曲げ照査

重力擁壁におけるコンクリートの曲げ圧縮応力度に対する照査結果を表 4.2.6-1 に、鉄筋の曲げ引張応力度に対する照査結果を表 4.2.6-2 に示す。この結果から、重力擁壁のコンクリート及び鉄筋における発生応力度が許容限界以下であることを確認した。

表 4.2.6-1(1) コンクリートの曲げ・軸力系の破壊に対する照査における最大照査値
(②-②断面, 重力擁壁)

解析 ケース	地震動		曲げモーメント M (kN・m)	軸力 N (kN)	曲げ圧縮 応力度 σ_c (N/mm ²)	短期許容 応力度 σ_{ca} (N/mm ²)	照査値 σ_c / σ_{ca}
①	S s - D	(++)	4473	1090	3.1	13.5	0.24
		(-+)	5491	1367	3.9	13.5	0.29
		(+-)	4874	1252	3.4	13.5	0.26
		(--)	4885	1488	3.4	13.5	0.26
	S s - F 1	(++)	3422	1034	2.4	13.5	0.18
	S s - F 2	(++)	3457	767	2.4	13.5	0.19
	S s - N1	(++)	5062	1575	3.5	13.5	0.27
		(-+)	3478	1407	2.3	13.5	0.18
	S s - N 2 (NS)	(++)	4614	1137	3.2	13.5	0.25
		(-+)	3719	1545	2.5	13.5	0.19
	S s - N 2 (EW)	(++)	4351	1576	3.0	13.5	0.23
		(-+)	3961	1178	2.8	13.5	0.21
②	S s - D	(++)	4351	1067	3.1	13.5	0.23
		(-+)	4897	1310	3.4	13.5	0.26
	S s - N1	(++)	5031	1577	3.5	13.5	0.26
③	S s - D	(++)	4337	1069	3.1	13.5	0.23
		(-+)	5397	1381	3.8	13.5	0.29
	S s - N1	(++)	5088	1596	3.5	13.5	0.27

表 4.2.6-1(2) コンクリートの曲げ・軸力系の破壊に対する照査における最大照査値
 (③-③断面, 重力擁壁)

解析 ケース	地震動		曲げモーメント M (kN・m)	軸力 N (kN)	曲げ圧縮 応力度 σ_c (N/mm ²)	短期許容 応力度 σ_{ca} (N/mm ²)	照査値 σ_c / σ_{ca}
①	S s - D	(++)	6624	1749	4.6	13.5	0.34
		(-+)	5976	1266	4.2	13.5	0.31
		(+-)	6847	1637	4.7	13.5	0.36
		(--)	6933	1539	4.8	13.5	0.36
	S s - F 1	(++)	3844	1025	2.7	13.5	0.20
	S s - F 2	(++)	4836	1290	3.3	13.5	0.25
	S s - N 1	(++)	8700	1979	6.0	13.5	0.45
		(-+)	7792	1623	5.4	13.5	0.41
	S s - N 2	(++)	4788	1028	3.3	13.5	0.25
	(N S)	(-+)	3703	1346	2.5	13.5	0.19
	S s - N 2 (E W)	(++)	7346	1484	5.1	13.5	0.38
		(-+)	6046	1312	4.2	13.5	0.32
②	S s - N 1	(++)	8668	1992	6.0	13.5	0.45
		(-+)	7891	1639	5.5	13.5	0.41
	S s - N 2 (E W)	(++)	7352	1463	5.1	13.5	0.38
③	S s - N 1	(++)	8663	1957	6.0	13.5	0.45
		(-+)	7736	1609	5.4	13.5	0.40
	S s - N 2 (E W)	(++)	7275	1452	5.1	13.5	0.38

表 4.2.6-1(3) コンクリートの曲げ・軸力系の破壊に対する照査における最大照査値

(④-④断面, 重力擁壁)

解析 ケース	地震動		曲げモーメント M (kN・m)	軸力 N (kN)	曲げ圧縮 応力度 σ_c (N/mm ²)	短期許容 応力度 σ_{ca} (N/mm ²)	照査値 σ_c / σ_{ca}
①	S s - D	(++)	3435	1385	3.0	13.5	0.22
		(-+)	2846	837	2.5	13.5	0.19
		(+-)	4904	1540	4.3	13.5	0.32
		(--)	4065	1245	3.6	13.5	0.27
	S s - F 1	(++)	2473	1000	2.1	13.5	0.16
	S s - F 2	(++)	3059	1155	2.7	13.5	0.20
	S s - N 1	(++)	3492	1225	3.0	13.5	0.23
		(-+)	4137	1411	3.6	13.5	0.27
	S s - N 2	(++)	2374	1322	2.0	13.5	0.15
	(NS)	(-+)	2546	973	2.2	13.5	0.17
	S s - N 2 (EW)	(++)	3146	1085	2.7	13.5	0.21
		(-+)	2777	944	2.4	13.5	0.18
②	S s - D	(-+)	5405	1698	4.7	13.5	0.36
	S s - N 1	(-+)	4270	1387	3.7	13.5	0.28
③	S s - D	(-+)	5409	1266	4.8	13.5	0.36
	S s - N 1	(-+)	4101	1419	3.6	13.5	0.27

表 4.2.6-1(4) コンクリートの曲げ・軸力系の破壊に対する照査における最大照査値
 (⑤-⑤断面, 重力擁壁)

解析 ケース	地震動		曲げモーメント M (kN・m)	軸力 N (kN)	曲げ圧縮 応力度 σ_c (N/mm ²)	短期許容 応力度 σ_{ca} (N/mm ²)	照査値 σ_c / σ_{ca}
①	S _s -D	(++)	3836	1196	3.7	13.5	0.28
		(-+)	3562	1283	3.4	13.5	0.26
		(+-)	3847	1249	3.7	13.5	0.28
		(--)	3527	1371	3.4	13.5	0.26
	S _s -F1	(++)	3607	1312	3.5	13.5	0.26
	S _s -F2	(++)	2847	1262	2.7	13.5	0.21
	S _s -N1	(++)	2060	1211	1.9	13.5	0.14
		(-+)	3131	1341	3.0	13.5	0.23
	S _s -N2 (NS)	(++)	3516	1308	3.4	13.5	0.26
		(-+)	2885	1226	2.7	13.5	0.21
	S _s -N2 (EW)	(++)	2894	1235	2.8	13.5	0.21
		(-+)	3855	1353	3.7	13.5	0.28
②	S _s -D	(++)	3835	1196	3.7	13.5	0.28
③	S _s -D	(++)	3837	1196	3.7	13.5	0.28

表 4.2.6-2(1) 鉄筋の曲げ・軸力系の破壊に対する照査における最大照査値
 (②-②断面, 重力擁壁)

解析 ケース	地震動		曲げモーメント M (kN・m)	軸力 N (kN)	引張 応力度 σ_s (N/mm ²)	短期許容 応力度 σ_{sa} (N/mm ²)	照査値 σ_s / σ_{sa}
①	S _s -D	(++)	4473	1090	128	294	0.44
		(-+)	5491	1367	155	294	0.53
		(+-)	4874	1252	135	294	0.46
		(--)	4885	1488	120	294	0.41
	S _s -F1	(++)	3422	1034	85	294	0.29
	S _s -F2	(++)	3457	767	104	294	0.36
	S _s -N1	(++)	5062	1575	123	294	0.42
		(-+)	3478	1407	65	294	0.23
	S _s -N2 (NS)	(++)	4614	1137	131	294	0.45
		(-+)	3719	1545	67	294	0.23
	S _s -N2 (EW)	(++)	4351	1576	92	294	0.32
		(-+)	3961	1178	100	294	0.34
②	S _s -D	(++)	4351	1067	124	294	0.43
		(-+)	4897	1310	132	294	0.46
	S _s -N1	(++)	5031	1577	121	294	0.42
③	S _s -D	(++)	4337	1069	123	294	0.42
		(-+)	5397	1381	150	294	0.52
	S _s -N1	(++)	5088	1596	123	294	0.42

表 4.2.6-2(2) 鉄筋の曲げ・軸力系の破壊に対する照査における最大照査値
 (③-③断面, 重力擁壁)

解析 ケース	地震動		曲げモーメント M (kN・m)	軸力 N (kN)	引張 応力度 σ_s (N/mm ²)	短期許容 応力度 σ_{sa} (N/mm ²)	照査値 σ_s / σ_{sa}
①	S _s -D	(++)	6624	1749	171	294	0.59
		(-+)	5976	1266	174	294	0.60
		(+-)	6847	1637	188	294	0.64
		(--)	6933	1539	197	294	0.68
	S _s -F1	(++)	3844	1025	99	294	0.34
	S _s -F2	(++)	4836	1290	124	294	0.43
	S _s -N1	(++)	8700	1979	245	294	0.84
		(-+)	7792	1623	228	294	0.78
	S _s -N2 (NS)	(++)	4788	1028	138	294	0.48
		(-+)	3703	1346	74	294	0.26
	S _s -N2 (EW)	(++)	7346	1484	218	294	0.75
		(-+)	6046	1312	174	294	0.60
②	S _s -N1	(++)	8668	1992	242	294	0.83
		(-+)	7891	1639	232	294	0.79
	S _s -N2 (EW)	(++)	7352	1463	220	294	0.75
③	S _s -N1	(++)	8663	1957	244	294	0.84
		(-+)	7736	1609	227	294	0.78
	S _s -N2 (EW)	(++)	7275	1452	217	294	0.74

表 4.2.6-2(3) 鉄筋の曲げ・軸力系の破壊に対する照査における最大照査値

(④-④断面, 重力擁壁)

解析 ケース	地震動		曲げモーメント M (kN・m)	軸力 N (kN)	引張 応力度 σ_s (N/mm ²)	短期許容 応力度 σ_{sa} (N/mm ²)	照査値 σ_s / σ_{sa}
①	S _s -D	(++)	3435	1385	93	294	0.32
		(-+)	5364	1255	215	294	0.74
		(+-)	4904	1540	166	294	0.57
		(--)	4065	1245	140	294	0.48
	S _s -F1	(++)	2473	1000	67	294	0.23
	S _s -F2	(++)	3059	1155	89	294	0.31
	S _s -N1	(++)	3492	1225	108	294	0.37
		(-+)	4137	1411	131	294	0.45
	S _s -N2 (NS)	(++)	2374	1322	41	294	0.15
		(-+)	2546	973	73	294	0.25
	S _s -N2 (EW)	(++)	3146	1085	99	294	0.34
		(-+)	2777	944	88	294	0.31
②	S _s -D	(-+)	5405	1698	182	294	0.63
	S _s -N1	(-+)	4270	1387	141	294	0.48
③	S _s -D	(-+)	5409	1266	217	294	0.74
	S _s -N1	(-+)	4101	1419	128	294	0.44

表 4.2.6-2(4) 鉄筋の曲げ・軸力系の破壊に対する照査における最大照査値
 (⑤-⑤断面, 重力擁壁)

解析 ケース	地震動		曲げモーメント M (kN・m)	軸力 N (kN)	引張 応力度 σ_s (N/mm ²)	短期許容 応力度 σ_{sa} (N/mm ²)	照査値 σ_s / σ_{sa}
①	S _s -D	(++)	3836	1196	145	294	0.50
		(-+)	3562	1283	121	294	0.42
		(+-)	3847	1249	142	294	0.49
		(--)	3527	1371	113	294	0.39
	S _s -F1	(++)	3607	1312	122	294	0.42
	S _s -F2	(++)	2847	1262	80	294	0.28
	S _s -N1	(++)	2060	1211	39	294	0.14
		(-+)	3131	1341	91	294	0.32
	S _s -N2 (NS)	(++)	3516	1308	117	294	0.40
		(-+)	2885	1226	85	294	0.29
	S _s -N2 (EW)	(++)	2894	1235	85	294	0.29
		(-+)	3855	1353	134	294	0.46
②	S _s -D	(++)	3835	1196	145	294	0.50
③	S _s -D	(++)	3837	1196	145	294	0.50

(2) せん断照査

重力擁壁におけるコンクリートのせん断破壊に対する照査結果を表 4.2.6-3 に示す。この結果から、重力擁壁のコンクリートにおける発生応力度が許容限界以下であることを確認した。

表 4.2.6-3(1) コンクリートのせん断破壊に対する照査における最大照査値
(②-②断面, 重力擁壁)

解析 ケース	地震動		発生断面力	せん断 応力度 τ_c (N/mm ²)	短期許容 応力度 τ_{a1} (N/mm ²)	照査値 τ_c / τ_{a1}
			せん断力 Q (kN)			
①	S s - D	(++)	754	0.25	0.64	0.39
		(-+)	1038	0.34	0.64	0.54
		(+-)	865	0.27	0.64	0.42
		(--)	1026	0.34	0.64	0.54
	S s - F 1	(++)	682	0.23	0.64	0.36
	S s - F 2	(++)	920	0.30	0.64	0.48
	S s - N 1	(++)	1054	0.35	0.64	0.55
		(-+)	581	0.18	0.64	0.28
	S s - N 2	(++)	838	0.26	0.64	0.41
	(NS)	(-+)	652	0.22	0.64	0.34
S s - N 2 (EW)	(++)	646	0.20	0.64	0.32	
	(-+)	667	0.21	0.64	0.33	
②	S s - D	(++)	746	0.25	0.64	0.39
		(-+)	1089	0.36	0.64	0.57
	S s - N 1	(++)	1067	0.35	0.64	0.56
③	S s - D	(++)	753	0.25	0.64	0.40
		(-+)	1070	0.31	0.64	0.56
	S s - N 1	(++)	1037	0.34	0.64	0.54

表 4.2.6-3(2) コンクリートのせん断破壊に対する照査における最大照査値
(③-③断面, 重力擁壁)

解析 ケース	地震動		発生断面力	せん断 応力度 τ_c (N/mm ²)	短期許容 応力度 τ_{a1} (N/mm ²)	照査値 τ_c / τ_{a1}
			せん断力 Q (kN)			
①	S s - D	(++)	1147	0.35	0.64	0.56
		(-+)	1436	0.48	0.64	0.75
		(+-)	1371	0.45	0.64	0.71
		(--)	1456	0.48	0.64	0.76
	S s - F 1	(++)	701	0.23	0.64	0.37
	S s - F 2	(++)	874	0.29	0.64	0.46
	S s - N 1	(++)	1500	0.46	0.64	0.73
		(-+)	1315	0.41	0.64	0.64
	S s - N 2 (NS)	(++)	795	0.25	0.64	0.39
		(-+)	848	0.28	0.64	0.44
	S s - N 2 (EW)	(++)	1470	0.49	0.64	0.77
		(-+)	1009	0.31	0.64	0.49
②	S s - N 1	(++)	1492	0.46	0.64	0.72
		(-+)	1331	0.41	0.64	0.65
	S s - N 2 (EW)	(++)	1423	0.47	0.64	0.74
③	S s - N 1	(++)	1492	0.46	0.64	0.72
		(-+)	1331	0.41	0.64	0.65
	S s - N 2 (EW)	(++)	1415	0.47	0.64	0.74

表 4.2.6-3(3) コンクリートのせん断破壊に対する照査における最大照査値

(④-④断面, 重力擁壁)

解析 ケース	地震動		発生断面力	せん断 応力度 τ_c (N/mm ²)	短期許容 応力度 τ_{a1} (N/mm ²)	照査値 τ_c / τ_{a1}
			せん断力 Q (kN)			
①	S s - D	(++)	834	0.29	0.67	0.44
		(-+)	1241	0.43	0.67	0.65
		(+-)	989	0.34	0.67	0.52
		(--)	775	0.27	0.67	0.41
	S s - F 1	(++)	455	0.16	0.67	0.24
	S s - F 2	(++)	717	0.25	0.67	0.38
	S s - N 1	(++)	1005	0.35	0.67	0.53
		(-+)	814	0.28	0.67	0.43
	S s - N 2 (NS)	(++)	580	0.20	0.67	0.31
		(-+)	553	0.19	0.67	0.29
	S s - N 2 (EW)	(++)	826	0.29	0.67	0.43
		(-+)	615	0.21	0.67	0.33
②	S s - D	(-+)	1213	0.42	0.67	0.64
	S s - N 1	(-+)	838	0.29	0.67	0.44
③	S s - D	(-+)	1249	0.44	0.67	0.65
	S s - N 1	(-+)	816	0.28	0.67	0.43

表 4.2.6-3(4) コンクリートのせん断破壊に対する照査における最大照査値
 (⑤-⑤断面, 重力擁壁)

解析 ケース	地震動		発生断面力	せん断 応力度 τ_c (N/mm ²)	短期許容 応力度 τ_{a1} (N/mm ²)	照査値 τ_c / τ_{a1}
			せん断力 Q (kN)			
①	S s - D	(++)	769	0.25	0.67	0.43
		(-+)	749	0.24	0.67	0.42
		(+-)	761	0.25	0.67	0.43
		(--)	757	0.24	0.67	0.42
	S s - F 1	(++)	655	0.21	0.67	0.37
	S s - F 2	(++)	485	0.16	0.67	0.27
	S s - N 1	(++)	476	0.15	0.67	0.27
		(-+)	548	0.18	0.67	0.31
	S s - N 2 (NS)	(++)	575	0.19	0.67	0.32
		(-+)	491	0.16	0.67	0.28
	S s - N 2 (EW)	(++)	545	0.18	0.67	0.31
		(-+)	628	0.20	0.67	0.35
②	S s - D	(++)	769	0.29	0.67	0.38
③	S s - D	(++)	770	0.29	0.67	0.38

4.2.7 H形鋼

H形鋼におけるせん断破壊に対する照査結果を表 4.2.7-1 に示す。この結果から、H形鋼における発生応力度が許容限界以下であることを確認した。

表 4.2.7-1 H形鋼のせん断破壊に対する照査における最大照査値
(⑤-⑤断面)

解析 ケース	地震動		発生断面力	せん断 応力度	短期許容 応力度	照査値	
			せん断力 Q (kN)	τ_H (N/mm ²)			τ_{Ha} (N/mm ²)
①	S _s -D	(++)	769	58	157	0.37	
		(-+)	749	56	157	0.36	
		(+-)	761	57	157	0.37	
		(--)	757	57	157	0.37	
	S _s -F1	(++)	655	49	157	0.32	
	S _s -F2	(++)	485	36	157	0.24	
	S _s -N1	(++)	476	36	157	0.23	
		(-+)	548	41	157	0.27	
	S _s -N2 (NS)	(++)	575	43	157	0.28	
		(-+)	491	37	157	0.24	
	S _s -N2 (EW)	(++)	545	41	157	0.27	
		(-+)	628	47	157	0.31	
	②	S _s -D	(++)	769	58	157	0.37
	③	S _s -D	(++)	770	58	157	0.37

注記* : H形鋼のせん断応力度は、H形鋼の配置を踏まえ、フランジ部の断面積を用いて算定する。

4.2.8 MMR

MMRのすべり安全率に対する評価結果を表4.2.8-1に、MMRの最小すべり安全率時刻におけるすべり線及び局所安全係数分布を図4.2.8-1に示す。

この結果から、MMRのすべり安全率が1.2以上であることを確認した。

表4.2.8-1(1) MMRのすべり安全率評価結果
(②-②断面)

解析 ケース	地震動		発生時刻(s)	最小すべり安全率
①	S _s -D	(++)	60.00	7.62
		(-+)	34.35	9.47
		(+-)	9.91	9.74
		(--)	29.01	8.56
	S _s -F1	(++)	8.10	15.13
	S _s -F2	(++)	16.11	15.88
	S _s -N1	(++)	7.65	11.40
		(-+)	7.63	8.68
	S _s -N2 (NS)	(++)	26.49	17.54
		(-+)	25.25	15.40
	S _s -N2 (EW)	(++)	26.36	13.78
		(-+)	26.89	17.45
②	S _s -D	(++)	24.73	7.48
		(-+)	12.90	10.05
	S _s -N1	(++)	7.65	11.48
③	S _s -D	(++)	17.36	7.60
		(-+)	34.36	8.59
	S _s -N1	(++)	7.65	12.38

表 4.2.8-1(2) MMR のすべり安全率評価結果
(③-③断面)

解析 ケース	地震動		発生時刻 (s)	最小すべり安全率
①	S _s -D	(++)	28.04	11.78
		(-+)	12.88	12.10
		(+-)	28.33	9.39
		(--)	29.18	11.25
	S _s -F 1	(++)	8.88	19.69
	S _s -F 2	(++)	16.09	11.95
	S _s -N 1	(++)	8.26	8.59
		(-+)	7.54	12.34
	S _s -N 2 (NS)	(++)	25.70	16.13
		(-+)	25.71	15.87
	S _s -N 2 (EW)	(++)	26.52	8.68
		(-+)	26.20	12.76
②	S _s -N 1	(++)	8.26	8.48
		(-+)	7.54	12.36
③	S _s -N 1	(++)	8.26	8.96
		(-+)	7.54	12.34

表 4.2.8-1(3) MMR のすべり安全率評価結果

(④-④断面)

解析 ケース	地震動		発生時刻 (s)	最小すべり安全率
①	S _s -D	(++)	23.69	9.46
		(-+)	34.29	8.25
		(+-)	19.12	8.96
		(--)	10.27	7.53
	S _s -F 1	(++)	9.31	12.43
	S _s -F 2	(++)	16.12	11.20
	S _s -N 1	(++)	7.63	13.35
		(-+)	7.62	7.32
	S _s -N 2 (NS)	(++)	26.80	15.67
		(-+)	24.89	13.78
	S _s -N 2 (EW)	(++)	25.49	13.52
		(-+)	24.88	15.05
②	S _s -D	(-+)	34.29	8.23
	S _s -N 1	(-+)	7.62	7.30
③	S _s -D	(-+)	34.29	8.31
	S _s -N 1	(-+)	7.62	7.34

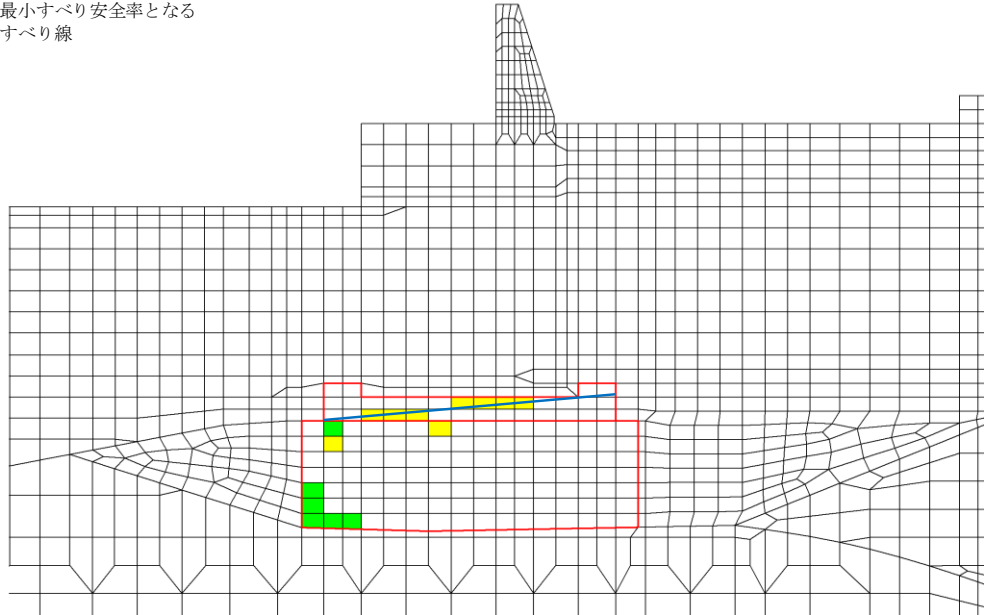
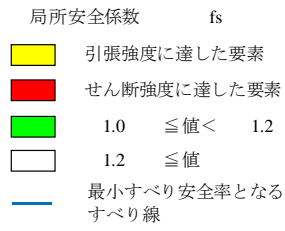


図 4.2.8-1(1) MMR の最小すべり安全率時刻におけるすべり線及び局所安全係数分布図
 (②-②断面, S s - D (++) , t = 24.73 s , 解析ケース②)

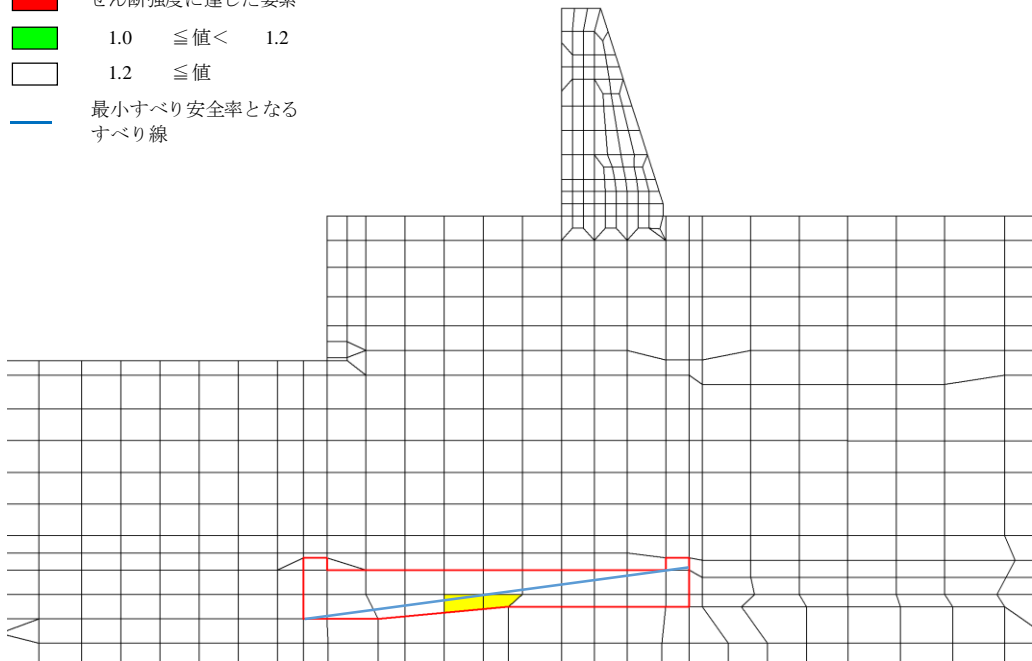
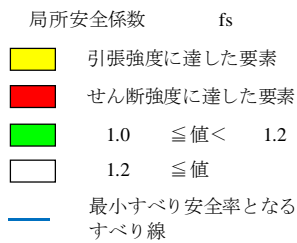


図 4.2.8-1(2) MMR の最小すべり安全率時刻におけるすべり線及び局所安全係数分布図
 (③-③断面, S s - N 1 (++) , t = 8.26 s , 解析ケース②)

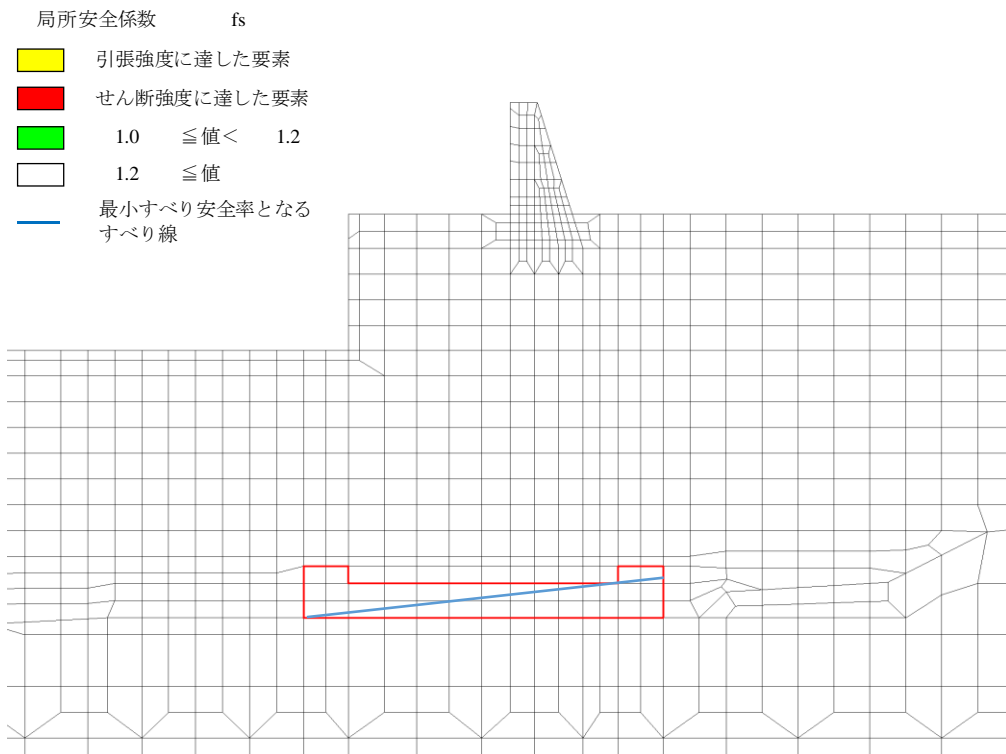


図 4.2.8-1(3) MMR の最小すべり安全率時刻におけるすべり線及び局所安全係数分布図
 (④-④断面, $S_s - N1 (-+)$, $t = 7.62 \text{ s}$, 解析ケース②)

4.2.9 改良地盤⑥

改良地盤⑥のすべり安全率に対する評価結果を表 4.2.9-1 に、最小すべり安全率となる時刻におけるすべり線及び局所安全係数分布を図 4.2.9-1 に示す。

この結果から、改良地盤⑥のすべり安全率が 1.2 以上であることを確認した。

表 4.2.9-1 改良地盤⑥のすべり安全率評価結果
(②-②断面)

解析 ケース	地震動		発生時刻 (s)	最小すべり安全率
①	S _s -D	(++)	17.80	2.59
		(-+)	10.43	2.63
		(+-)	13.83	2.57
		(--)	10.26	2.05
	S _s -F 1	(++)	8.10	3.50
	S _s -F 2	(++)	16.29	3.76
	S _s -N 1	(++)	8.45	2.93
		(-+)	7.62	2.86
	S _s -N 2 (NS)	(++)	27.33	3.87
		(-+)	25.52	3.74
	S _s -N 2 (EW)	(++)	26.36	3.67
		(-+)	24.82	3.96
②	S _s -D	(++)	10.03	3.07
		(-+)	10.42	2.37
	S _s -N 1	(++)	8.45	3.03
③	S _s -D	(++)	17.80	2.84
		(-+)	10.43	2.62
	S _s -N 1	(++)	8.45	2.92

- 局所安全係数 f_s
- 引張強度に達した要素
 - せん断強度に達した要素
 - $1.0 \leq \text{値} < 1.2$
 - $1.2 \leq \text{値}$
 - 最小すべり安全率となるすべり線

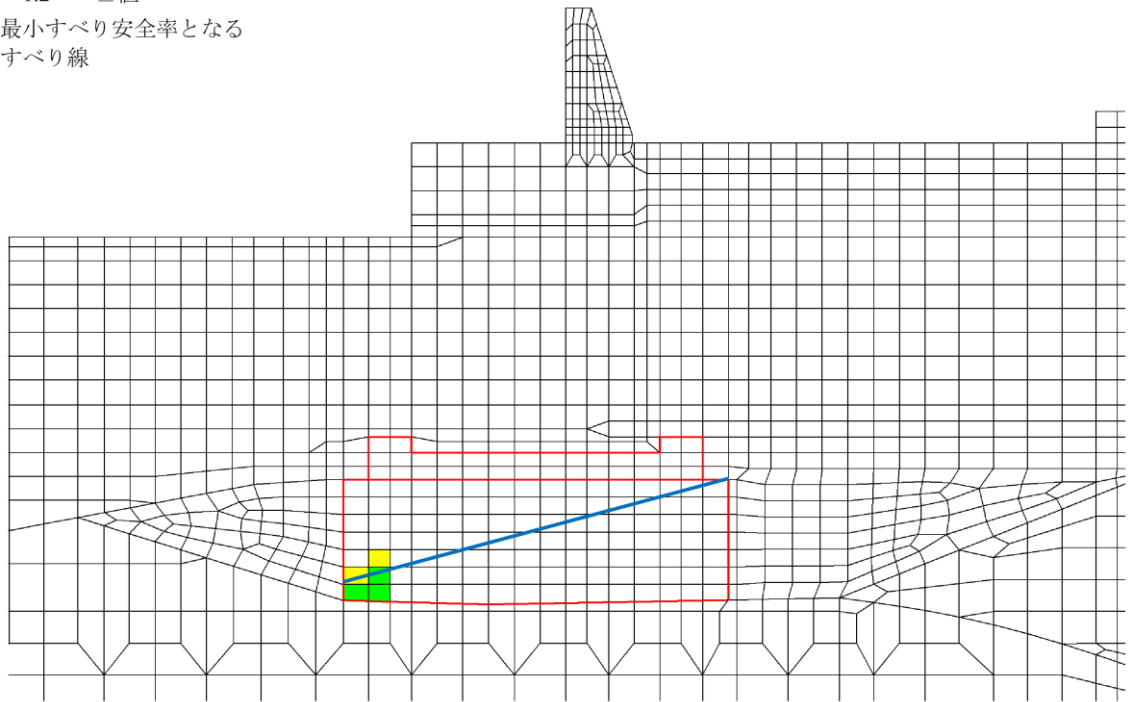


図 4.2.9-1 改良地盤⑥の最小すべり安全率時刻におけるすべり線
及び局所安全係数分布
(②-②断面, $S_s - D$ (---), $t = 10.26 \text{ s}$, 解析ケース①)

4.2.10 止水目地

地震時の止水目地（シートジョイント）の変位量に対する評価結果を表 4.2.10-1 及び表 4.2.10-2 に示す。この結果から、位量が許容限界以下であることを確認した。

表 4.2.10-1(1) 地震時の止水目地（シートジョイント）の変位量（②-②断面）

解析 ケース	地震動		防波壁天端変位量	
			法線直交方向 $\delta x(T)$ (mm)	深度方向 $\delta z(T)$ (mm)
①	S _s -D	(++)	146	0
		(-+)	144	1
		(+-)	139	1
		(--)	119	1
	S _s -F1	(++)	32	0
	S _s -F2	(++)	49	0
	S _s -N1	(++)	144	1
		(-+)	147	0
	S _s -N2 (NS)	(++)	41	0
		(-+)	74	1
	S _s -N2 (EW)	(++)	83	1
		(-+)	51	0
②	S _s -D	(++)	143	0
	S _s -N1	(++)	145	1
③	S _s -D	(++)	143	0
	S _s -N1	(++)	144	0

表 4.2.10-1(2) 地震時の止水目地 (シートジョイント) の変位量 (③-③断面)

解析 ケース	地震動		防波壁天端変位量	
			法線直交方向	深度方向
			$\delta_x(T)$ (mm)	$\delta_z(T)$ (mm)
①	S _s -D	(++)	70	1
		(-+)	53	1
		(+-)	81	1
		(--)	97	1
	S _s -F1	(++)	13	0
	S _s -F2	(++)	40	1
	S _s -N1	(++)	109	1
		(-+)	117	1
	S _s -N2 (NS)	(++)	58	0
		(-+)	27	1
	S _s -N2 (EW)	(++)	56	1
		(-+)	35	0
②	S _s -N1	(++)	109	1
		(-+)	117	1
	S _s -N2 (EW)	(++)	57	1
③	S _s -N1	(++)	108	1
		(-+)	116	1
	S _s -N2 (EW)	(++)	58	1

表 4.2.10-1(3) 地震時の止水目地（シートジョイント）の変位量（④-④断面）

解析 ケース	地震動		防波壁天端変位量	
			法線直交方向 $\delta_x(T)$ (mm)	深度方向 $\delta_z(T)$ (mm)
①	S _s -D	(++)	164	1
		(-+)	278	1
		(+-)	246	1
		(--)	140	1
	S _s -F1	(++)	70	0
	S _s -F2	(++)	62	0
	S _s -N1	(++)	138	1
		(-+)	299	1
	S _s -N2 (NS)	(++)	34	1
		(-+)	61	0
	S _s -N2 (EW)	(++)	89	1
		(-+)	95	1
②	S _s -D	(-+)	273	1
	S _s -N1	(-+)	299	1
③	S _s -D	(-+)	278	1
	S _s -N1	(-+)	299	1

299 : 止水目地の変形性評価に使用する変位量

表 4.2.10-1(4) 地震時の止水目地 (シートジョイント) の変位量 (⑤-⑤断面)

解析 ケース	地震動		防波壁天端変位量	
			法線直交方向 $\delta_x(T)$ (mm)	深度方向 $\delta_z(T)$ (mm)
①	S _s -D	(++)	2	0
		(-+)	2	0
		(+-)	2	0
		(--)	2	0
	S _s -F1	(++)	2	0
	S _s -F2	(++)	1	0
	S _s -N1	(++)	1	0
		(-+)	1	0
	S _s -N2 (NS)	(++)	2	0
		(-+)	1	0
	S _s -N2 (EW)	(++)	2	0
		(-+)	2	0
②	S _s -D	(++)	2	0
③	S _s -D	(++)	2	0

表 4.2.10-1(5) 地震時の止水目地 (シートジョイント) の変位量 (⑦-⑦断面)

解析 ケース	地震動		防波壁天端変位量	
			法線方向 $\delta y(T)$ (mm)	深度方向 $\delta z(T)$ (mm)
①	S s - D	(++)	46	42
		(-+)	21	57
		(+-)	58	43
		(--)	29	46
	S s - F1	(++)	2	8
	S s - F2	(++)	5	14
	S s - N1	(++)	29	80
		(-+)	15	22
	S s - N2 (NS)	(++)	6	19
		(-+)	4	12
	S s - N2 (EW)	(++)	13	38
		(-+)	6	15

 : 止水目地の変形性評価に使用する変位量

表 4.2.10-2 止水目地 (シートジョイント) の変位量に対する照査結果

方向	地震動	解析 ケース	地震時変位量 (mm)	許容限界 (mm)
δ_x : ④-④断面 (法線直交方向)	S _s -N1 (-+)	①	599	-
δ_y : ⑦-⑦断面 (法線方向)	S _s -D (+-)	①	58	-
δ_z : ⑦-⑦断面 (深度方向)	S _s -N1 (++)	①	159	-
合成方向 (3方向合成)	-	-	622	1936

4.2.11 基礎地盤

基礎地盤の支持性能評価結果を表 4.2.11-1 に示す。この結果から、防波壁（波返重力擁壁）の基礎地盤に生じる最大接地圧が極限支持力度又は支圧強度以下であることを確認した。

表 4.2.11-1(1) 基礎地盤の支持性能評価結果（②-②断面，MMR）

解析 ケース	地震動		最大接地圧	支圧強度	照査値
			R_d (N/mm ²)	f'_a (N/mm ²)	R_d / f'_a
①	S _s -D	(++)	2.3	24.0	0.10
		(-+)	2.6	24.0	0.11
		(+-)	2.8	24.0	0.12
		(--)	2.1	24.0	0.09
	S _s -F1	(++)	1.2	24.0	0.06
	S _s -F2	(++)	1.9	24.0	0.09
	S _s -N1	(++)	2.4	24.0	0.11
		(-+)	1.5	24.0	0.07
	S _s -N2 (NS)	(++)	1.1	24.0	0.05
		(-+)	1.1	24.0	0.05
	S _s -N2 (EW)	(++)	1.4	24.0	0.06
		(-+)	1.1	24.0	0.05
②	S _s -D	(++)	1.9	24.0	0.08
		(-+)	2.3	24.0	0.10
	S _s -N1	(++)	2.4	24.0	0.11
③	S _s -D	(++)	1.8	24.0	0.08
		(-+)	2.3	24.0	0.10
	S _s -N1	(++)	2.5	24.0	0.11

表 4.2.11-1(2) 基礎地盤の支持性能評価結果 (②-②断面, 改良地盤⑥)

解析 ケース	地震動		最大接地圧	極限支持力度	照査値
			R_d (N/mm ²)	R_u (N/mm ²)	R_d / R_u
①	S _s -D	(++)	2.1	3.0	0.71
		(-+)	2.0	3.0	0.67
		(+-)	2.0	3.0	0.69
		(--)	2.1	3.0	0.70
	S _s -F1	(++)	1.0	3.0	0.35
	S _s -F2	(++)	1.0	3.0	0.35
	S _s -N1	(++)	0.9	3.0	0.29
		(-+)	1.4	3.0	0.47
	S _s -N2 (NS)	(++)	1.2	3.0	0.40
		(-+)	1.2	3.0	0.41
	S _s -N2 (EW)	(++)	1.3	3.0	0.44
		(-+)	1.4	3.0	0.46
②	S _s -D	(++)	2.1	3.0	0.72
		(-+)	1.8	3.0	0.61
	S _s -N1	(++)	0.9	3.0	0.29
③	S _s -D	(++)	2.1	3.0	0.72
		(-+)	1.9	3.0	0.64
	S _s -N1	(++)	0.9	3.0	0.29

表 4.2.11-1(3) 基礎地盤の支持性能評価結果 (②-②断面, 岩盤)

解析 ケース	地震動		最大接地圧	極限支持力度	照査値
			R_d (N/mm ²)	R_u (N/mm ²)	R_d / R_u
①	S _s -D	(++)	1.9	9.8	0.20
		(-+)	1.7	9.8	0.18
		(+-)	1.7	9.8	0.18
		(--)	2.0	9.8	0.21
	S _s -F1	(++)	1.6	9.8	0.17
	S _s -F2	(++)	1.1	9.8	0.12
	S _s -N1	(++)	1.4	9.8	0.15
		(-+)	1.7	9.8	0.18
	S _s -N2 (NS)	(++)	1.2	9.8	0.13
		(-+)	1.2	9.8	0.12
	S _s -N2 (EW)	(++)	1.6	9.8	0.17
		(-+)	1.2	9.8	0.13
②	S _s -D	(++)	1.8	9.8	0.19
		(-+)	1.7	9.8	0.18
	S _s -N1	(++)	1.4	9.8	0.15
③	S _s -D	(++)	1.9	9.8	0.19
		(-+)	1.8	9.8	0.19
	S _s -N1	(++)	1.4	9.8	0.15

表 4.2.11-1(4) 基礎地盤の支持性能評価結果 (③-③断面, MMR)

解析 ケース	地震動		最大接地圧	支圧強度	照査値
			R_d (N/mm ²)	f'_a (N/mm ²)	R_d / f'_a
①	S _s -D	(++)	1.3	24.0	0.06
		(-+)	0.9	24.0	0.04
		(+-)	1.1	24.0	0.05
		(--)	1.2	24.0	0.05
	S _s -F1	(++)	0.7	24.0	0.04
	S _s -F2	(++)	1.1	24.0	0.05
	S _s -N1	(++)	1.7	24.0	0.08
		(-+)	1.2	24.0	0.05
	S _s -N2 (NS)	(++)	0.7	24.0	0.04
		(-+)	0.7	24.0	0.03
	S _s -N2 (EW)	(++)	1.4	24.0	0.06
		(-+)	0.8	24.0	0.04
②	S _s -N1	(++)	1.7	24.0	0.08
		(-+)	1.2	24.0	0.05
	S _s -N2 (EW)	(++)	1.4	24.0	0.06
③	S _s -N1	(++)	1.7	24.0	0.08
		(-+)	1.2	24.0	0.05
	S _s -N2 (EW)	(++)	1.3	24.0	0.06

表 4.2.11-1(5) 基礎地盤の支持性能評価結果 (③-③断面, 岩盤)

解析 ケース	地震動		最大接地圧	極限支持力度	照査値
			R_d (N/mm ²)	R_u (N/mm ²)	R_d / R_u
①	S _s -D	(++)	2.7	9.8	0.28
		(-+)	1.9	9.8	0.19
		(+-)	2.5	9.8	0.26
		(--)	2.3	9.8	0.24
	S _s -F1	(++)	1.2	9.8	0.13
	S _s -F2	(++)	1.9	9.8	0.20
	S _s -N1	(++)	2.3	9.8	0.24
		(-+)	2.8	9.8	0.29
	S _s -N2 (NS)	(++)	1.6	9.8	0.17
		(-+)	1.4	9.8	0.15
	S _s -N2 (EW)	(++)	2.1	9.8	0.22
		(-+)	1.7	9.8	0.18
②	S _s -N1	(++)	2.3	9.8	0.24
		(-+)	2.8	9.8	0.29
	S _s -N2 (EW)	(++)	2.1	9.8	0.22
③	S _s -N1	(++)	2.3	9.8	0.24
		(-+)	2.8	9.8	0.29
	S _s -N2 (EW)	(++)	2.1	9.8	0.22

表 4.2.11-1(6) 基礎地盤の支持性能評価結果 (④-④断面, MMR)

解析 ケース	地震動		最大接地圧	支圧強度	照査値
			R_d (N/mm ²)	f'_a (N/mm ²)	R_d / f'_a
①	S _s -D	(++)	1.7	24.0	0.08
		(-+)	2.8	24.0	0.12
		(+-)	1.9	24.0	0.08
		(--)	2.1	24.0	0.09
	S _s -F1	(++)	0.8	24.0	0.04
	S _s -F2	(++)	1.2	24.0	0.06
	S _s -N1	(++)	2.0	24.0	0.09
		(-+)	2.1	24.0	0.09
	S _s -N2 (NS)	(++)	1.0	24.0	0.05
		(-+)	1.3	24.0	0.06
	S _s -N2 (EW)	(++)	1.3	24.0	0.06
		(-+)	1.5	24.0	0.07
②	S _s -D	(-+)	2.8	24.0	0.12
	S _s -N1	(-+)	2.1	24.0	0.09
③	S _s -D	(-+)	2.8	24.0	0.12
	S _s -N1	(-+)	2.1	24.0	0.08

表 4.2.11-1(7) 基礎地盤の支持性能評価結果 (④-④断面, 岩盤)

解析 ケース	地震動		最大接地圧	極限支持力度	照査値
			R_d (N/mm ²)	R_u (N/mm ²)	R_d / R_u
①	S _s -D	(++)	2.2	9.8	0.23
		(-+)	2.3	9.8	0.24
		(+-)	2.3	9.8	0.24
		(--)	2.9	9.8	0.30
	S _s -F1	(++)	1.5	9.8	0.16
	S _s -F2	(++)	1.6	9.8	0.17
	S _s -N1	(++)	1.7	9.8	0.18
		(-+)	2.8	9.8	0.29
	S _s -N2 (NS)	(++)	1.3	9.8	0.14
		(-+)	1.4	9.8	0.14
	S _s -N2 (EW)	(++)	1.4	9.8	0.15
		(-+)	1.5	9.8	0.16
②	S _s -D	(-+)	2.4	9.8	0.25
	S _s -N1	(-+)	2.8	9.8	0.24
③	S _s -D	(-+)	2.3	9.8	0.24
	S _s -N1	(-+)	2.8	9.8	0.24

表 4.2.11-1(8) 基礎地盤の支持性能評価結果 (⑤-⑤断面, 岩盤)

解析 ケース	地震動		最大接地圧	極限支持力度	照査値
			R_d (N/mm ²)	R_u (N/mm ²)	R_d / R_u
①	S _s -D	(++)	1.9	9.8	0.20
		(-+)	1.8	9.8	0.19
		(+-)	1.9	9.8	0.20
		(--)	1.8	9.8	0.19
	S _s -F1	(++)	1.8	9.8	0.19
	S _s -F2	(++)	1.5	9.8	0.16
	S _s -N1	(++)	1.2	9.8	0.13
		(-+)	1.6	9.8	0.17
	S _s -N2 (NS)	(++)	1.8	9.8	0.19
		(-+)	1.5	9.8	0.16
	S _s -N2 (EW)	(++)	1.5	9.8	0.16
		(-+)	1.9	9.8	0.20
②	S _s -D	(++)	1.8	9.8	0.20
③	S _s -D	(++)	1.8	9.8	0.20

基礎地盤の支持性能評価において、各解析ケースのうち最も厳しい照査値となる解析ケースの支持地盤の接地圧分布図を図 4.2.11-1～図 4.2.11-4 に示す。

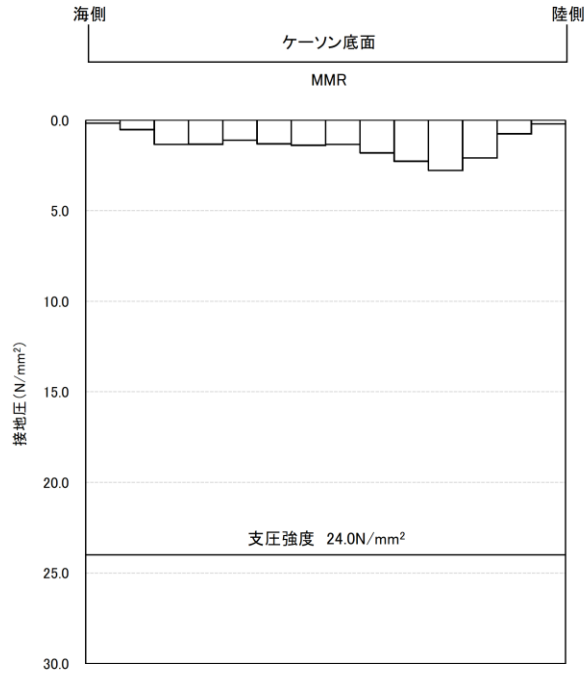


図 4.2.11-1(1) 支持地盤の接地圧分布図 (②-②断面, MMR)
 (S_s-D(+))
 解析ケース①: 基本ケース

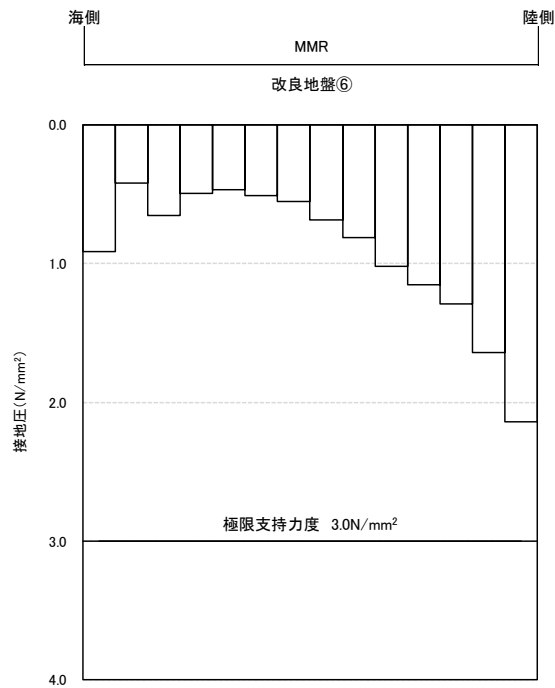


図 4.2.11-1(2) 支持地盤の接地圧分布図 (②-②断面, 改良地盤⑥)
(S_s-D(++))

解析ケース②：地盤物性のばらつきを考慮した解析ケース (平均値 + 1σ)

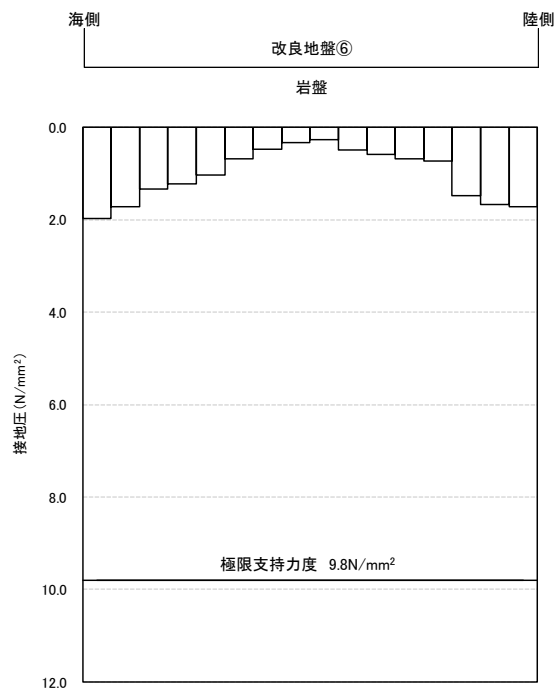


図 4.2.11-1(3) 支持地盤の接地圧分布図 (②-②断面, 岩盤)
(S_s-D(--))

解析ケース①：基本ケース

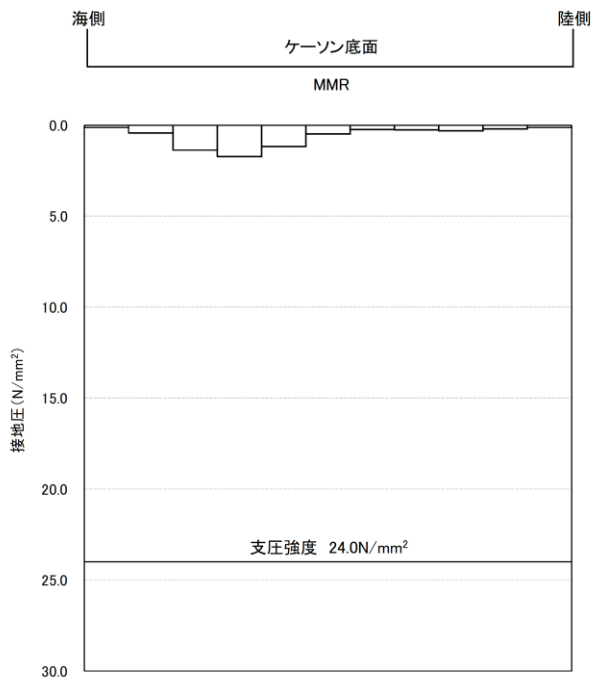


図 4.2.11-2(1) 支持地盤の接地圧分布図 (③-③断面, MMR)
(S_s-N1(++))

解析ケース③：地盤物性のばらつきを考慮した解析ケース (平均値-1σ)

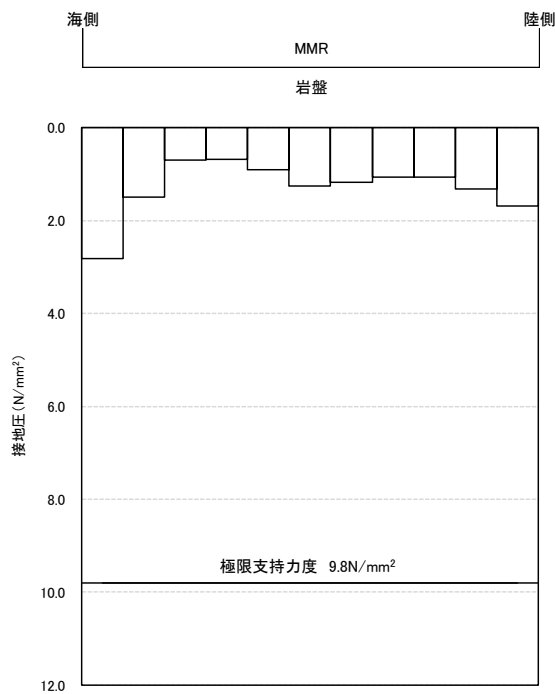


図 4.2.11-2(2) 支持地盤の接地圧分布図 (③-③断面, 岩盤)
(S_s-N1(-+))

解析ケース①：基本ケース

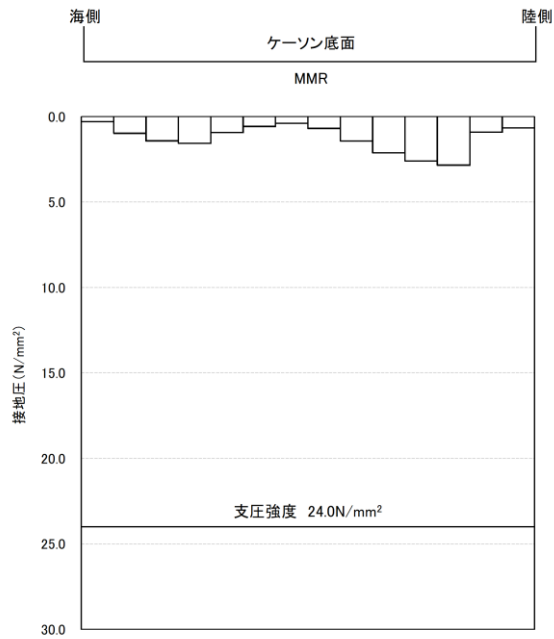


図 4.2.11-3(1) 支持地盤の接地圧分布図 (④-④断面, MMR)
(S s - D (-+))

解析ケース③：地盤物性のばらつきを考慮した解析ケース (平均値 - 1σ)

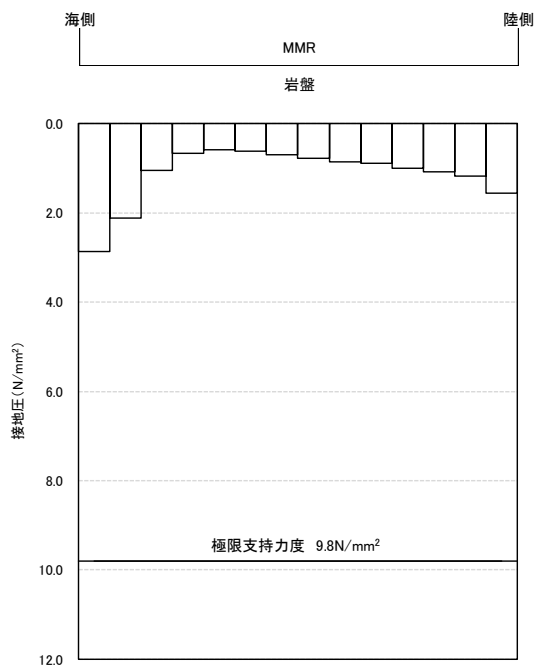


図 4.2.11-3(2) 支持地盤の接地圧分布図 (④-④断面, 岩盤)
(S s - D (--))

解析ケース①：基本ケース

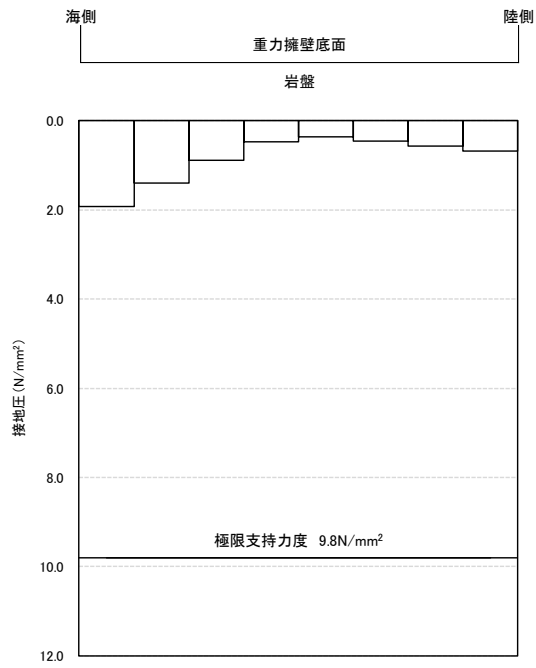


図 4.2.11-4 支持地盤の接地圧分布図 (⑤-⑤断面, 岩盤)
 (S s - N 2 (E W) (-+))
 解析ケース①: 基本ケース

5. 3次元構造解析

防波壁（波返重力擁壁）のうちケーソンは、複数の隔壁を有しており、その影響を考慮する必要があることから、3次元構造解析により耐震評価を行う。

5.1 解析方法

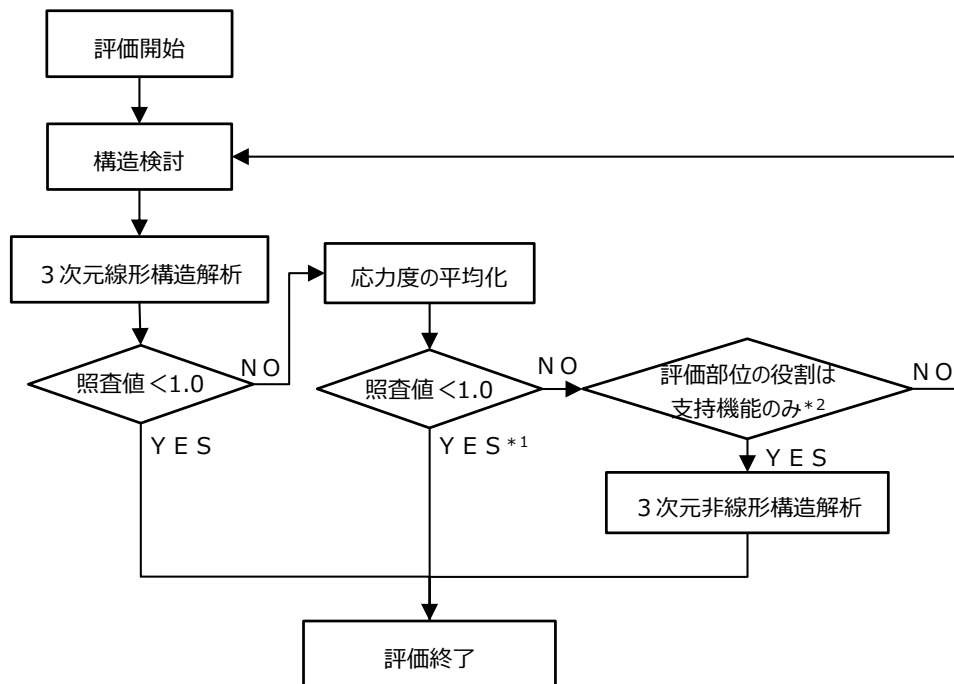
5.1.1 3次元構造解析手法

3次元構造解析では、常時応力解析を行い、そのうえで地震時応力解析を行うことで、ケーソン及び放水路ケーソンの耐震評価を実施する。具体的には、2次元有限要素法の常時応力解析における土圧や地震応答解析における土圧及び慣性力、公式により算定した荷重（水圧、風荷重及び積雪荷重）を3次元構造解析モデルに入力する。地震時応力解析においては、構造的特徴を踏まえ、損傷モードごと及び部材ごとに評価が厳しくなる時刻を選定のうえ、当該時刻における地震時応答から荷重を設定し、耐震評価を実施する。

ケーソン並びに放水路ケーソンのうち頂版、側壁及び底版は、重力擁壁を支持する機能及び遮水性を保持する機能を有する必要があることから、ケーソンがおおむね弾性状態にとどまることを確認するために、3次元線形構造解析による耐震評価を行う。3次元線形構造解析の結果、「コンクリート標準示方書（2002）」に基づく許容限界を超える場合においては、発生応力度の平均化を実施し、評価を行う。発生応力度の平均化実施後においても、「コンクリート標準示方書（2002）」に基づく許容限界を超える場合は、許容限界を超える範囲が局所的であることを確認し、部材全体としての機能維持されていることの確認を行う。また、参考に「鉄筋コンクリート構造計算規準・同解説（（社）日本建築学会，1999年）」（以下「RC規準（1999）」という。）に基づく短期許容応力度以下であることの確認を行う。

放水路ケーソンのうち隔壁は、重力擁壁を支持する機能を有する必要があることから、構造強度を有することを確認するために、3次元線形構造解析を行い、発生応力度の平均化実施後においても、許容限界を超える場合は、3次元非線形構造解析による耐震評価を行う。評価フローを図5.1.1-1に示す。

3次元構造解析には、解析コード「FINAS/STAR」を用いる。なお、解析コードの検証及び妥当性確認等の概要については、VI-5「計算機プログラム（解析コード）の概要」に示す。



注記 * 1 : 照査値 ≥ 1.0 となる場合は、その範囲が局所的であることから機能維持に影響がないことを確認する。また、参考に発生応力度が「鉄筋コンクリート構造計算規準（1999）」の短期許容応力度以下であることを確認する。

* 2 : 放水路ケーソンのうち隔壁が対象。

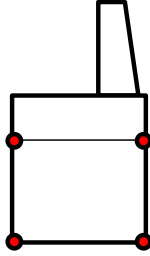
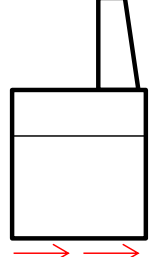
図 5.1.1-1 ケーソンの評価フロー図

5.1.2 照査時刻の設定

ケーソン及び放水路ケーソンの健全性評価において、構造的特徴を踏まえ、損傷モードごと及び部材ごとに評価が厳しくなる時刻を地震応答解析の結果から選定する。

防波壁（波返重力擁壁）の照査時刻の考え方を表 5.1.2-1 に示す。

表 5.1.2-1 照査時刻の考え方

照査時刻	損傷モード	着目部位	荷重抽出時刻
時刻1	曲げ・軸力系の破壊 及び せん断破壊		ケーソン頂底板間で変位が最大となる時刻
時刻2	曲げ・軸力系の破壊 及び せん断破壊		総水平荷重が最大となる時刻

(1) 時刻1の選定理由

ケーソンは箱型構造であることから、ケーソン全体の変形に伴い、各部材における曲げ・軸力系の破壊及びせん断破壊が生じることが想定されるため、変形量に着目し、ケーソン全体における層間変位が最大となる時刻を選定する。

(2) 時刻2の選定理由

地震時荷重により、各部材における曲げ・軸力系の破壊及びせん断破壊が生じることが想定されるため、重力擁壁を含めた防波壁全体に作用する水平荷重に着目し、総水平荷重が最大となる時刻を選定する。

5.1.3 入力値の設定

「3.3 荷重及び荷重の組合せ」に基づき、3次元構造解析における入力値を設定する。3次元構造解析の入力値のうち、動土圧、間隙水圧及び慣性力は「5.1.2 照査時刻の設定」にて選定した照査時刻において、地震応答解析から応答値を抽出する。入力値の一覧を表 5.1.3-1 に、3次元構造解析への入力イメージを図 5.1.3-1 に、3次元構造解析のフローを図 5.1.3-2 に示す。
放水路ケーソンにおいても、同様とする。

表 5.1.3-1 入力値の一覧

入力値		算定方法	2次元有限要素法から抽出する 応答値	载荷位置
土圧	静止土圧	2次元有限要素法における常時応力解析	土圧	作用位置
	動土圧	地震応答解析	土圧	作用位置
静水圧及び動水圧		公式	—	作用位置
間隙水圧		地震応答解析	過剰間隙水圧	作用位置
風荷重・積雪荷重		公式	—	作用位置
慣性力	躯体の慣性力	地震応答解析	応答加速度	躯体全体
	機器荷重の慣性力	地震応答解析	応答加速度	設置位置

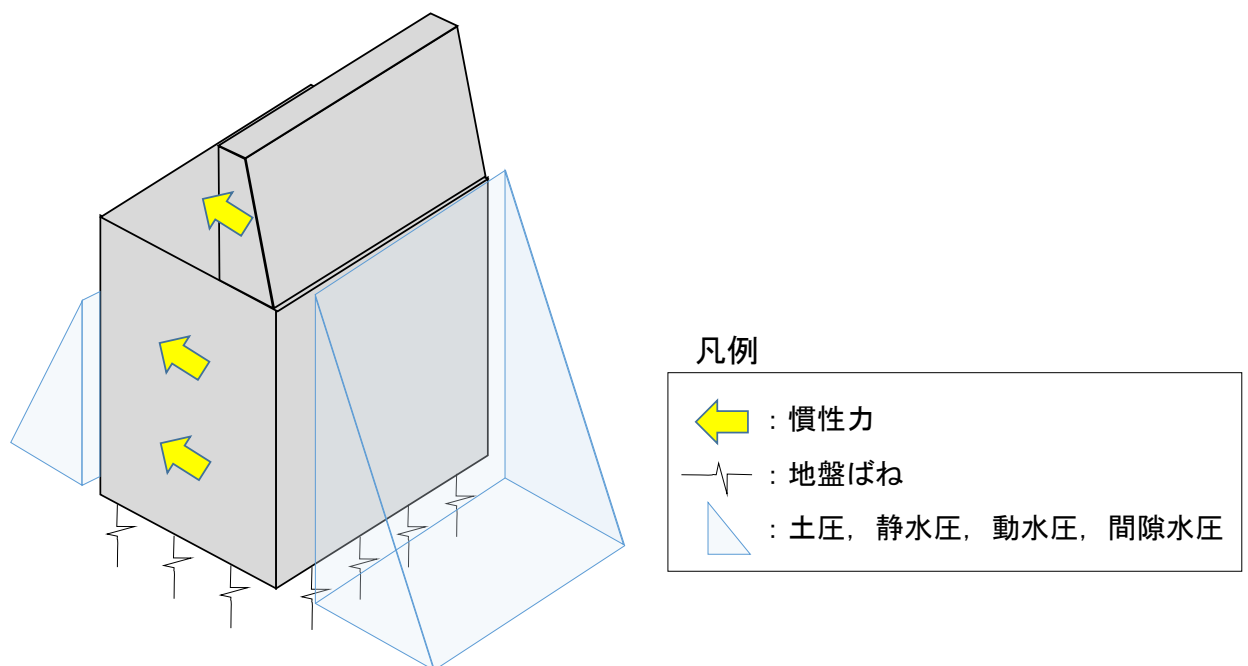
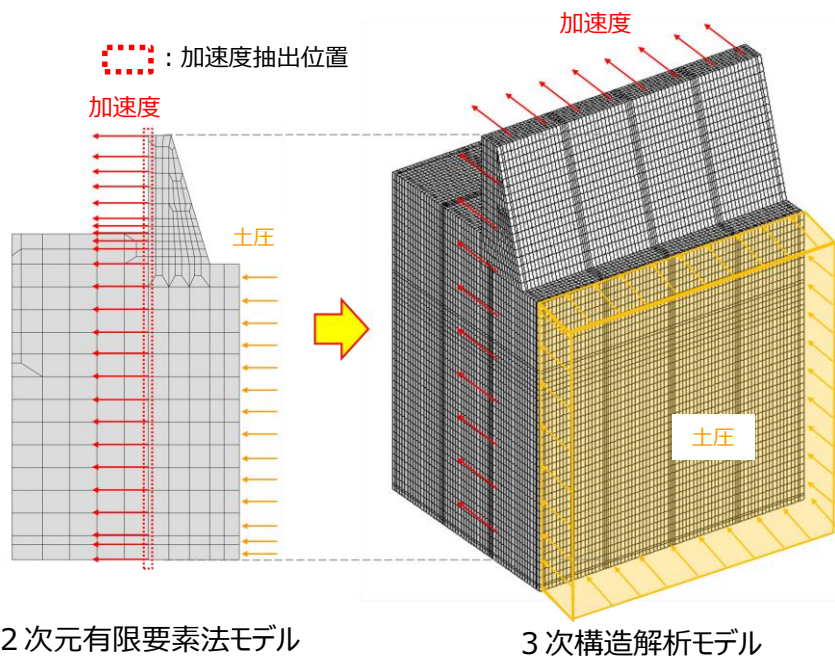


図 5.1.3-1(1) 3次元構造解析への入力イメージ



- 土圧は2次元有限要素法より背面の地盤要素から抽出し、3次元構造解析モデルに入力
- 加速度は2次元有限要素法よりケーソン・重力擁壁の節点から抽出し、節点高さに対応する3次元構造解析モデルの全要素に入力

図 5.1.3-1(2) 3次元構造解析への入力イメージ

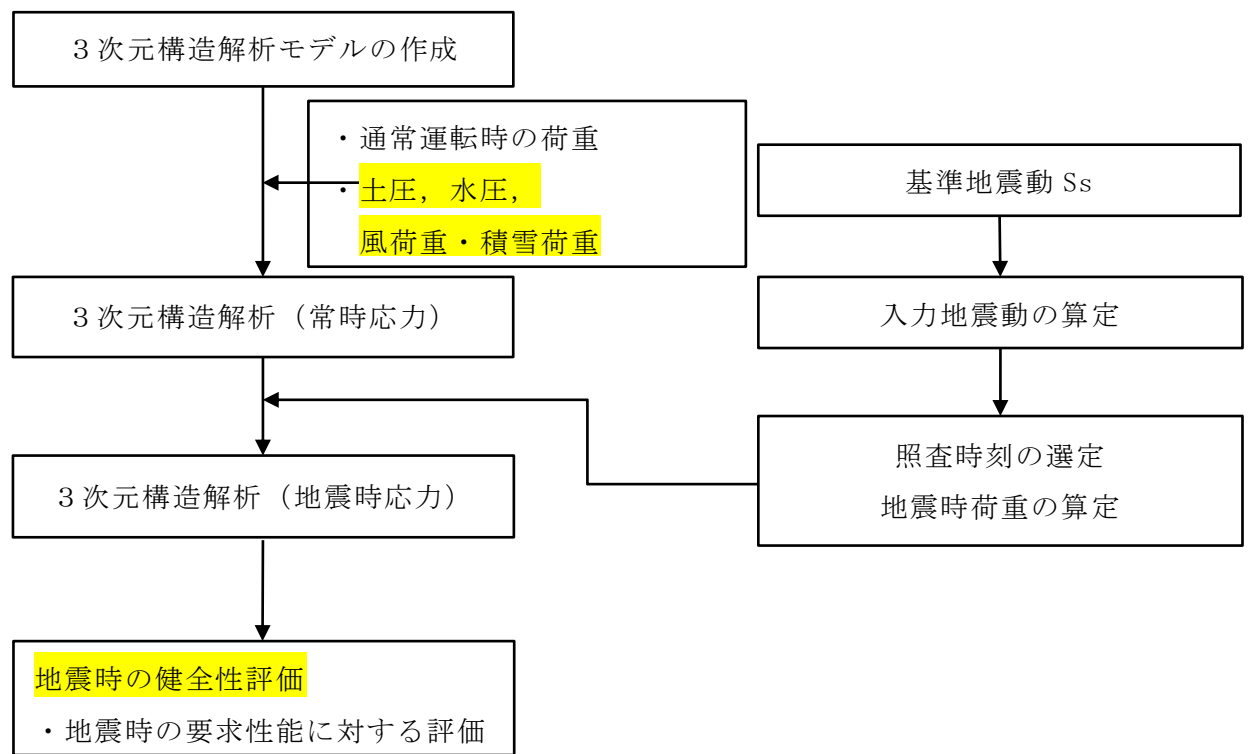


図 5.1.3-2 3次元構造解析のフロー図

(1) 常時荷重

a. 自重

重力擁壁及びケーソンの各部材については、各部材の体積にコンクリートの密度を乗じて設定し、中詰材については、体積に各中詰材の密度を乗じて設定する。漂流物対策工は、設置位置に漂流物対策工の重量を考慮する。

b. 静止土圧及び静水圧

静止土圧及び静水圧を躯体に作用させる。静止土圧は、常時応力解析より算出された土圧を用いる。静水圧は公式により算定し、その算定にあたっては、海水の密度 1.03t/m^3 を考慮する。

(2) 地震時荷重

a. 慣性力

躯体の慣性力は、地震応答解析モデルにおけるケーソン及び重力擁壁の各節点、各照査時刻における応答加速度から算定する。応答加速度の抽出位置を図 5.1.3-3 に示す。

水平方向及び鉛直方向の加速度の抽出は、抽出位置の全節点とする。

算定した慣性力は、防波壁（波返重力擁壁）の3次元構造解析モデルに水平方向及び鉛直方向に同時に入力する。慣性力は、各照査時刻における水平方向及び鉛直方向の応答加速度の正負の方向とし、3次元構造解析モデルの要素の高さ位置に合わせ、全要素に入力する。

b. 動水圧

躯体に作用する動水圧は、抽出する加速度を踏まえ、Westergaardの式により算定し、その算定にあたっては、海水の密度 1.03t/m^3 を考慮する。

c. 動土圧及び過剰間隙水圧

躯体に作用する動土圧及び過剰間隙水圧は、各地盤要素、各照査時刻における地震時荷重から算定する。動土圧及び過剰間隙水圧の抽出位置を図 5.1.3-4 に示す。

抽出した水平及び鉛直方向の動土圧及び過剰間隙水圧は、防波壁（波返重力擁壁）の3次元構造解析モデルに水平方向及び鉛直方向に同時に入力する。

- | | | | |
|----------------|------------------|-----------|---------------|
| ■ : 岩盤 (第②速度層) | ■ : 防波壁 (波返重力擁壁) | ■ : MMR | — : ジョイント要素 |
| ■ : 岩盤 (第④速度層) | ■ : 埋戻土 (護岸背面) | ■ : 砂礫層 | — : 地下水面及び海水面 |
| ■ : 埋戻土 | ■ : 海水 | ■ : 改良地盤⑥ | |

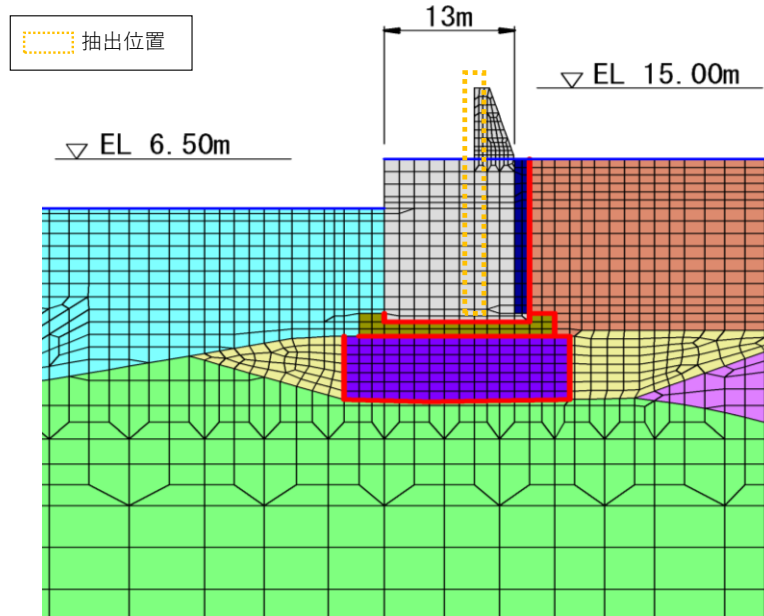


図 5.1.3-3(1) 応答加速度の抽出位置 (②-②断面)

- | | | |
|------------------|---------|---------------|
| ■ : 岩盤 (第④速度層) | ■ : MMR | — : ジョイント要素 |
| ■ : 埋戻土 | ■ : 海水 | — : 地下水面及び海水面 |
| ■ : 防波壁 (波返重力擁壁) | | |

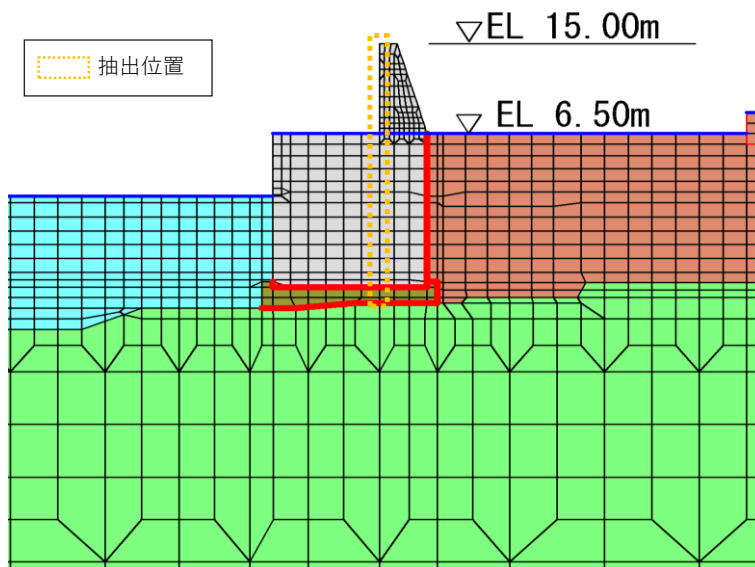


図 5.1.3-3(2) 応答加速度の抽出位置 (③-③断面)

- | | | |
|----------------|------------------|---------------|
| ■ : 岩盤 (第③速度層) | ■ : 防波壁 (波返重力擁壁) | ■ : 海水 |
| ■ : 岩盤 (第④速度層) | ■ : 埋戻土 (護岸背面) | — : ジョイント要素 |
| ■ : 埋戻土 | ■ : MMR | — : 地下水面及び海水面 |

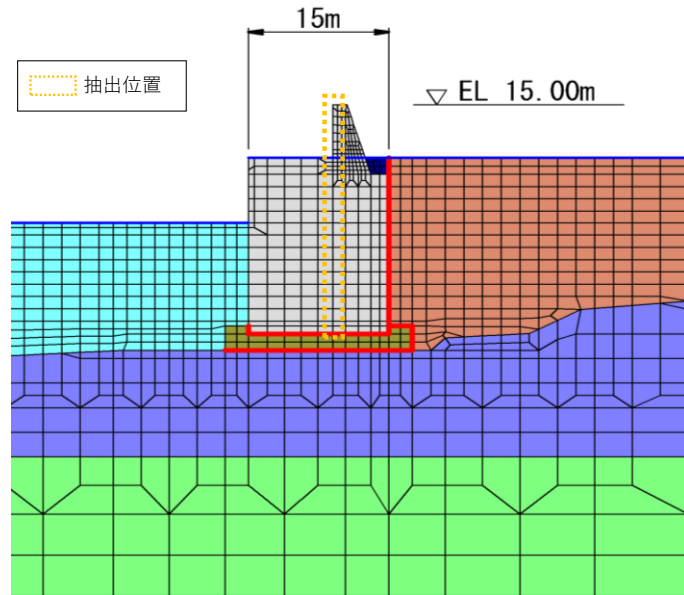


図 5.1.3-3(3) 応答加速度の抽出位置 (④-④断面)

- | | | | |
|----------------|------------------|-----------|---------------|
| ■ : 岩盤 (第②速度層) | ■ : 防波壁 (波返重力擁壁) | ■ : MMR | — : ジョイント要素 |
| ■ : 岩盤 (第④速度層) | ■ : 埋戻土 (護岸背面) | ■ : 砂礫層 | — : 地下水面及び海水面 |
| ■ : 埋戻土 | ■ : 海水 | ■ : 改良地盤⑥ | |

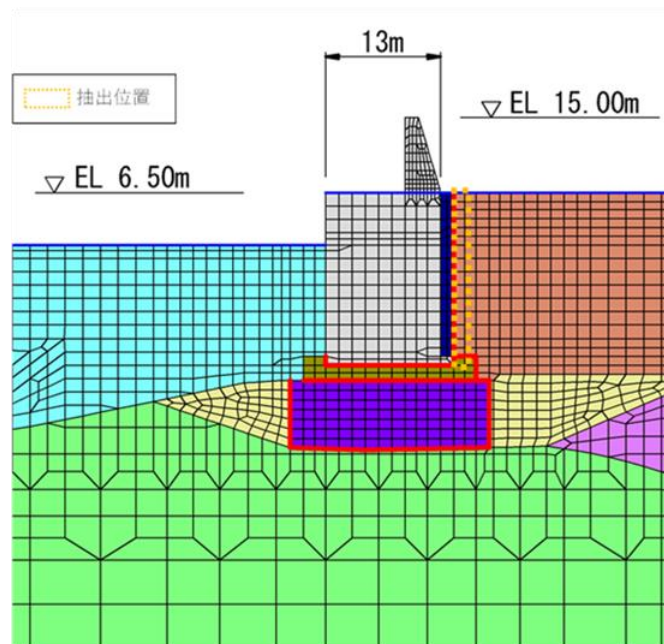




図 5.1.3-4(1) 地震時荷重の抽出位置 (②-②断面)

- | | | |
|--|---|---|
|  : 岩盤 (第④速度層) |  : MMR |  : ジョイント要素 |
|  : 埋戻土 |  : 海水 |  : 地下水面及び海水面 |
|  : 防波壁 (波返重力擁壁) | | |

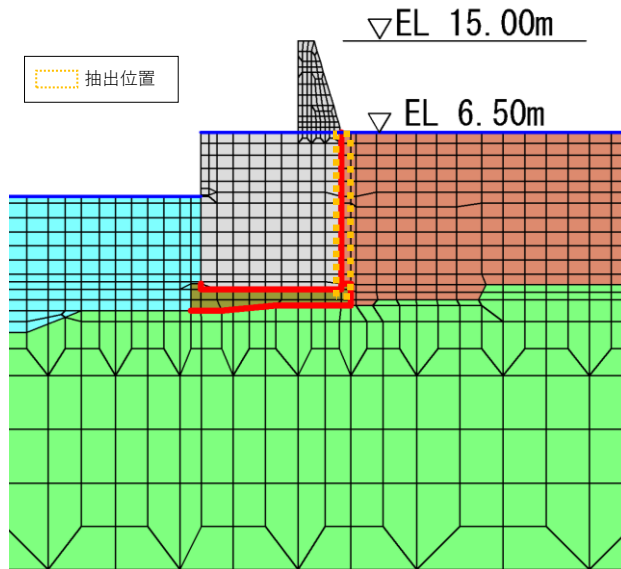











図 5.1.3-4(2) 地震時荷重の抽出位置 (③-③断面)

- | | | |
|--|--|---|
|  : 岩盤 (第③速度層) |  : 防波壁 (波返重力擁壁) |  : 海水 |
|  : 岩盤 (第④速度層) |  : 埋戻土 (護岸背面) |  : ジョイント要素 |
|  : 埋戻土 |  : MMR |  : 地下水面及び海水面 |

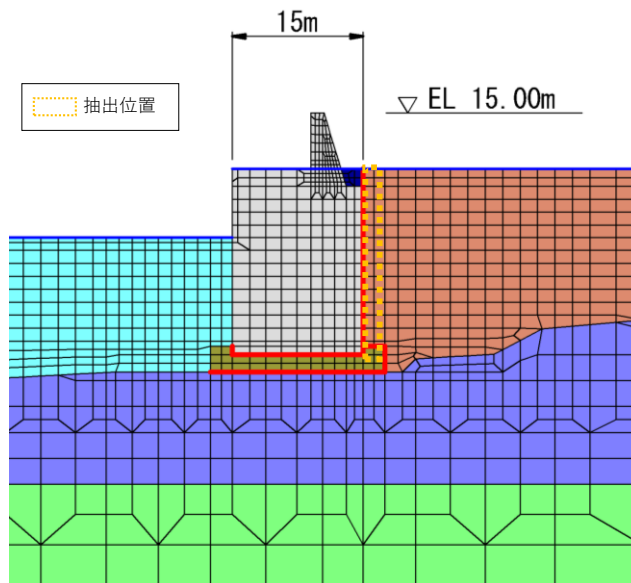


図 5.1.3-4(3) 地震時荷重の抽出位置 (④-④断面)

d. 風荷重及び積雪荷重

風荷重及び積雪荷重は、「3.3(2) 荷重」を基に設定する。風荷重は重力擁壁及びケーソン側面に、積雪荷重は重力擁壁に作用させる。

5.1.4 解析モデル及び諸元

(1) 構造物のモデル化

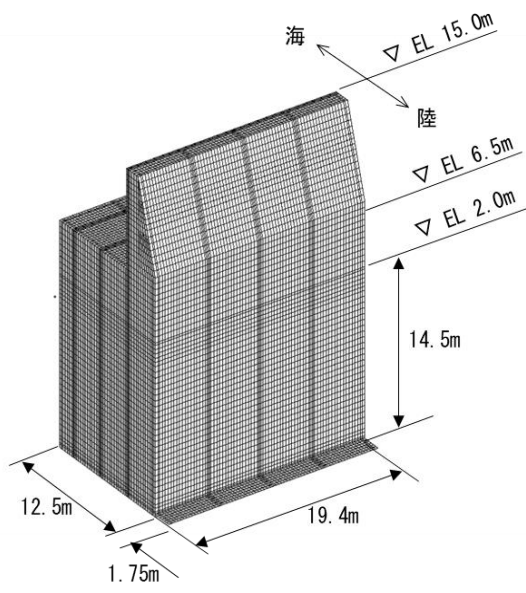
a. ②-②断面及び④-④断面

3次元線形構造解析モデルにおいて、ケーソンは線形シェル要素でモデル化し、重力擁壁及び中詰材（中詰コンクリート又は中詰材改良体）については線形ソリッド要素でモデル化する。なお、漂流物対策工はモデル化せず、設置位置に漂流物対策工の重量を考慮する。

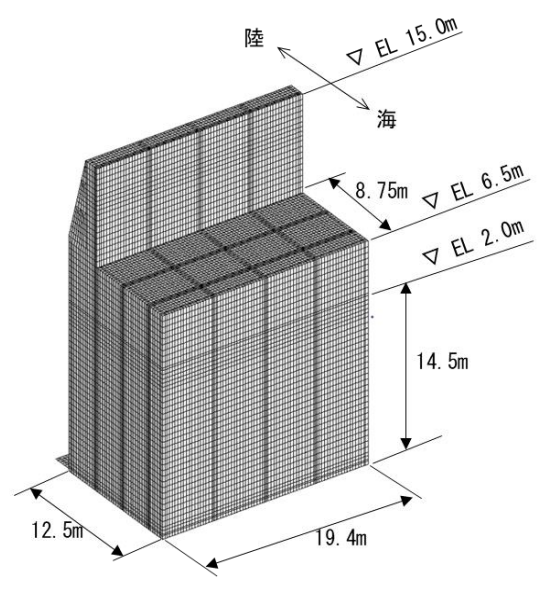
使用要素一覧を表 5.1.4-1 に、3次元線形構造解析モデルを図 5.1.4-1 及び図 5.1.4-2 に、境界条件を表 5.1.4-2 に示す。

表 5.1.4-1 使用要素一覧

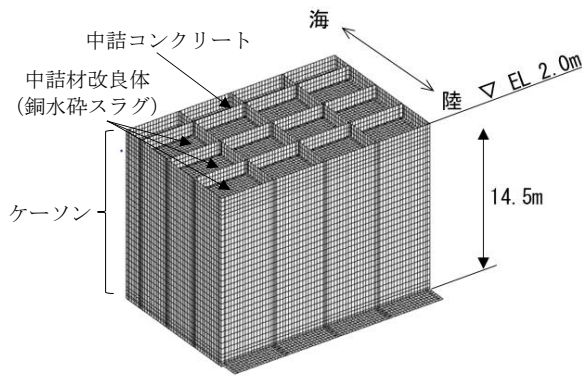
部位・材料	使用要素
ケーソン	線形シェル要素
重力擁壁 中詰材	線形ソリッド要素
漂流物対策工	モデル化しない (重量のみを考慮)
地盤	地盤ばね



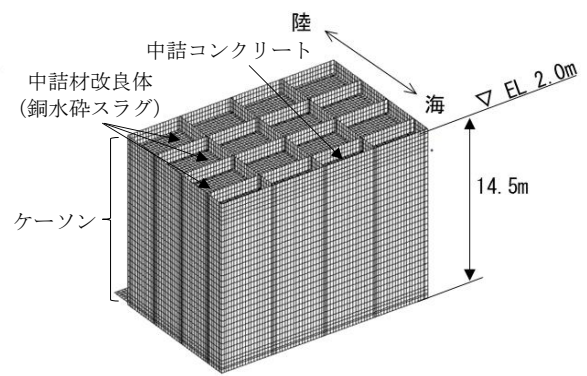
モデル全体図（陸側）



モデル全体図（海側）



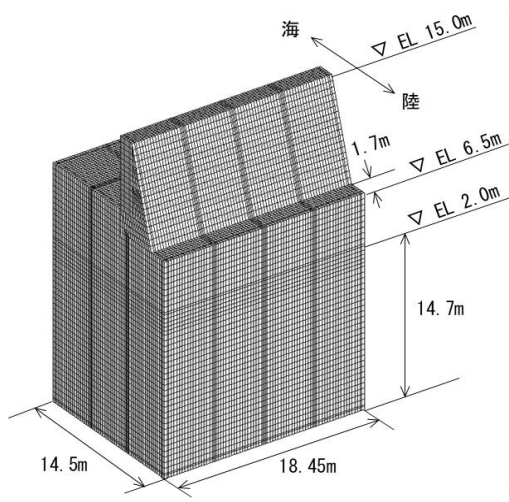
ケーソンのモデル図（陸側）*



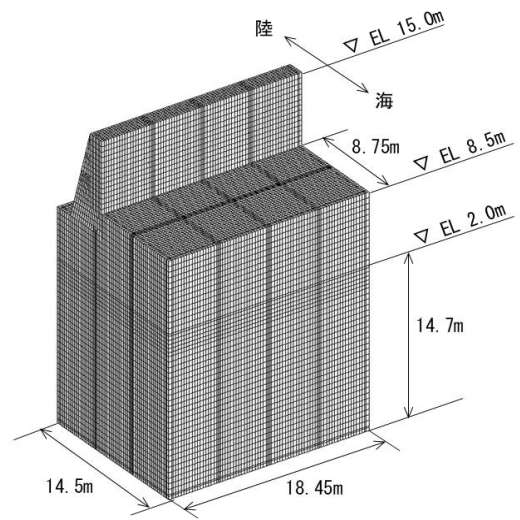
ケーソンのモデル図（海側）*

注記*：重力擁壁及び蓋コンクリートを非表示

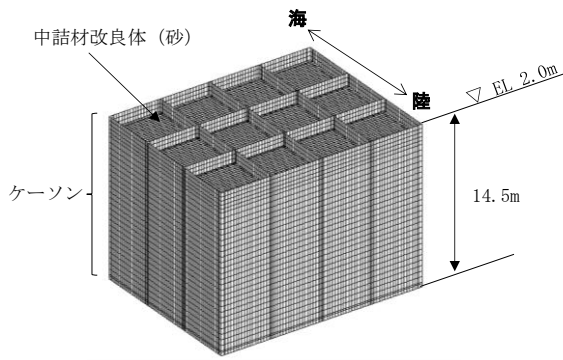
図 5.1.4-1 3次元線形構造解析モデル（②-②断面）



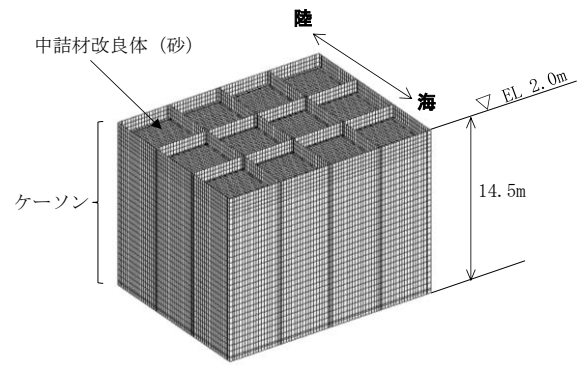
モデル全体図（陸側）



モデル全体図（海側）



ケーソンのモデル図（陸側）*



ケーソンのモデル図（海側）*

注記*：重力擁壁及び蓋コンクリートを非表示

図 5.1.4-2 3次元線形構造解析モデル（④-④断面）

表 5.1.4-2 境界条件

部材・材料	境界条件	備考
底版	地盤ばね	「道路橋示方書(平成 14 年)」に基づき設定
前壁	拘束なし	地震時荷重を載荷
後壁		
側壁	拘束なし	地震時荷重を載荷
中詰材	前壁, 側壁, 後壁, 隔壁 及び底版と節点共有	地震時荷重を載荷
重力擁壁	各部材と節点共有	地震時荷重を載荷

b. ③－③断面

(a) 3次元線形構造解析

②－②断面及び④－④断面の壁部材の部材厚と比較し、③－③断面の部材厚が大きいことから、③－③断面については、線形ソリッド要素でモデル化する。なお、部材内にH形鋼が含まれているが、保守的にH形鋼を考慮せず、各部材を無筋コンクリートとして評価を実施する。

なお、漂流物対策工はモデル化せず、設置位置に漂流物対策工の重量を考慮する。

使用要素一覧を表 5.1.4-3 に、3次元線形構造解析モデルを図 5.1.4-3 に、境界条件を表 5.1.4-4 に示す。

表 5.1.4-3 使用要素一覧

部位	使用要素
重力擁壁 放水路ケーソン	線形ソリッド要素
漂流物対策工	モデル化しない (重量のみを考慮)
地盤	地盤ばね



図 5.1.4-3 3次元線形構造解析モデル (③－③断面)

表 5.1.4-4 境界条件

部材	境界条件	備考
底版	地盤ばね	「道路橋示方書(平成 14 年)」に基づき設定
側壁	拘束なし	地震時荷重を載荷
隔壁		
頂版	重力擁壁と節点共有	地震時荷重を載荷
重力擁壁	各部材と節点共有	地震時荷重を載荷

(b) 3次元非線形構造解析

3次元非線形構造解析においては、役割が支持機能である隔壁を評価対象部位とし、3次元線形構造解析と同様にソリッド要素を用いる。重力擁壁は線形ソリッド要素でモデル化し、放水路ケーソンは、材料非線形特性を考慮するため、非線形ソリッド要素でモデル化する。なお、漂流物対策工はモデル化せず、設置位置に漂流物対策工の重量を考慮する。

鉄筋を有する隔壁のモデル化にあたっては、鉄筋の付着が有効な領域を鉄筋コンクリート要素としてモデル化する。また、隔壁の鉄筋は、頂版及び底版に定着されているが、鉄筋コンクリート要素は保守的にハンチよりも内側の要素に設定する。鉄筋を含まない底版、側壁、頂版及びハンチのモデル化にあたっては、部材内にH形鋼が含まれるが、すべて無筋コンクリート要素としてモデル化する。

隔壁の部材厚方向の要素分割数については、鉄筋コンクリート要素と無筋コンクリート要素を明確に指定できる分割数が望ましいこと、及び3層以上の分割数をとる場合、解析結果に大きな差異が生じないことから3層以上に設定する。

具体的には、鉄筋を含む要素は、鉄筋を中心としてかぶり厚さのおおむね2倍程度とし、無筋領域については、要素形状が極端に扁平とならないように分割する。3次元非線形構造解析におけるモデル化方法を図 5.1.4-4 に、使用要素一覧を表 5.1.4-5 に示す。

3次元非線形構造解析モデルの境界条件については、表 5.1.4-4 に示す3次元線形構造解析と同様とする。

なお、3次元非線形構造解析を実施する解析ケースは、3次元線形構造解析により隔壁に発生する応力が許容応力を上回った場合の解析ケースについて実施し、隔壁に発生するひずみが許容限界以下であることを確認する。

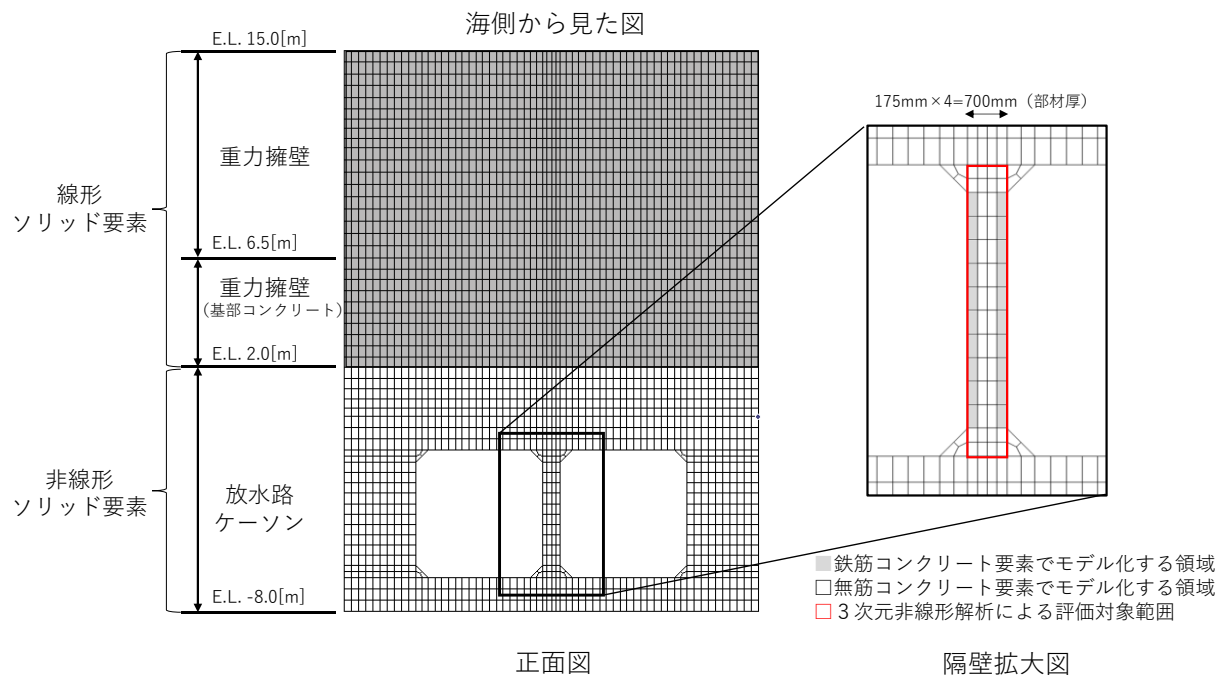


図 5.1.4-4 3次元非線形構造解析におけるモデル化方法

表 5.1.4-5 使用要素一覧

部位	使用要素
重り擁壁	線形ソリッド要素
放水路ケーソン	非線形ソリッド要素
漂流物対策工	モデル化しない (重量のみを考慮)
地盤	地盤ばね

(2) 地盤ばね

ケーソン底面に水平方向及び鉛直方向の地盤ばねを設定し、ケーソンに作用する地盤抵抗を表現する。地盤ばねの設定には、ケーソン直下のMMRの物性値を用いる。

ケーソン底面に設定する地盤ばねは、「道路橋示方書(平成14年)」に基づき設定し、構造物間の剥離を考慮できる非線形ばねで設定する。ケーソン底面に設定する地盤ばねを表5.1.4-6に示す。

放水路ケーソンの3次元線形構造解析及び3次元非線形構造解析においても、同様に設定する。

表 5.1.4-6 ケーソン底面に設定する地盤ばね

		ケーソン底面
常時	鉛直	地盤ばね
	水平	
地震時	鉛直	地盤ばね
	水平	

a. 鉛直方向

(a) 常時

「道路橋示方書(平成 14 年)」に基づき、鉛直方向の地盤ばねを設定する。

$$k_v = k_{v0} \left(\frac{B_v}{0.3} \right)^{-\frac{3}{4}}$$

$$k_{v0} = \frac{1}{0.3} \alpha E_0$$

$$B_v = \sqrt{A_v}$$

ここで、

k_v : 鉛直方向地盤反力係数 (kN/m³)

k_{v0} : 平板載荷試験の値に相当する鉛直方向地盤反力係数 (kN/m³)

α : 地盤反力係数の推定に用いる係数 (常時 : 4, 図 5.1.2-5 参照)

E_0 : 地盤の変形係数 (kN/m²)

B_v : 基礎の換算載荷幅 (m)

A_v : 鉛直方向の載荷面積 (m²)

変形係数 E_0 の推定方法	地盤反力係数の推定に用いる係数 α	
	常時	地震時
直径 0.3m の剛体円板による平板載荷試験の繰返し曲線から求めた変形係数の 1/2	1	2
孔内水平載荷試験で測定した変形係数	4	8
供試体の一軸圧縮試験又は三軸圧縮試験から求めた変形係数	4	8
標準貫入試験の N 値より $E_0=2,800N$ で推定した変形係数	1	2

図 5.1.4-5 変形係数 E_0 と α

(「道路橋示方書(平成 14 年)」に加筆)

(b) 地震時

5.1.4(2)a.(a)と同様に鉛直方向の地盤ばねを設定する。なお、地盤反力係数の推定に用いる係数 α は 8 とする。

b. 水平方向

(a) 常時

「道路橋示方書(平成 14 年)」に基づき、水平方向の地盤ばねを設定する。

$$k_s = 0.3k_v$$

ここで、

k_s : 基礎底面の水平方向せん断地盤反力係数 (常時) (kN/m³)

(b) 地震時

5.1.4(2)b.(a)と同様に水平方向の地盤ばねを設定する。なお、基礎底面の水平方向せん断地盤反力係数は地震時のものを用いる。

(3) 使用材料及び材料の物性値

耐震評価に用いる材料定数は、適用基準類を基に設定する。

a. ケーソン及び放水路ケーソン（3次元線形構造解析）

ケーソン及び放水路ケーソンの使用材料を表 5.1.4-7 に、材料の物性値を表 5.1.4-8 に示す。

表 5.1.4-7 使用材料

材料		諸元
コンクリート	ケーソン 放水路ケーソン	24.0 N/mm ²
鉄筋		SD345

表 5.1.4-8 材料の物性値

材料		単位体積重量 (kN/m ³)	ヤング係数 (N/mm ²)	ポアソン比
コンクリート	ケーソン 放水路ケーソン	24.0*2	2.5×10 ⁴ *2	0.2*2

注記*1：港湾基準

*2：コンクリート標準示方書（2002）

b. 放水路ケーソン（3次元非線形構造解析）

3次元非線形構造解析に用いる物性値は、文献を基に設定する。コンクリート及び鉄筋の物性値を表 5.1.4-9 及び表 5.1.4-10 に示す。

表 5.1.4-9 コンクリートの物性値

項目	物性値	諸元
単位体積重量	24.0kN/m ³	コンクリート標準示方書〔設計編〕（土木学会，2017年制定）
圧縮強度	24.0 N/mm ²	コンクリート標準示方書〔設計編〕（土木学会，2017年制定）
引張強度	1.91 N/mm ²	コンクリート標準示方書〔設計編〕（土木学会，2017年制定）
圧縮ピークひずみ	0.002	コンクリート標準示方書〔設計編〕（土木学会，2017年制定）
破壊エネルギー	0.07830 N/mm	コンクリート標準示方書〔設計編〕（土木学会，2017年制定）

表 5.1.4-10 鉄筋の物性値

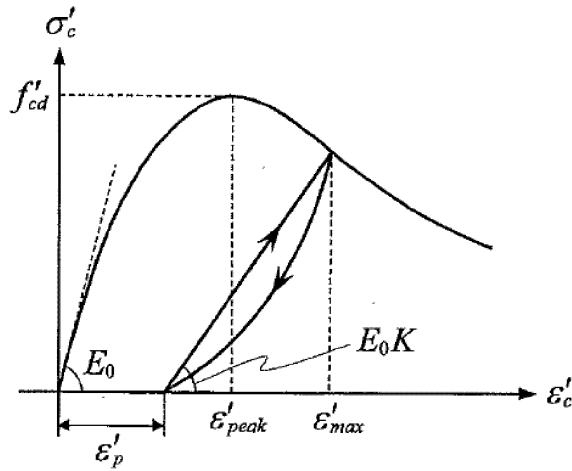
項目	物性値	諸元
ヤング係数	2.0×10 ⁵ N/mm ²	コンクリート標準示方書 2012
降伏強度	345N/mm ²	コンクリート標準示方書 2012

(a) コンクリートの非線形特性

イ 圧縮応力下における応力-ひずみ関係

図 5.1.4-6 に一軸圧縮応力下における応力-ひずみ関係を示す。圧縮応力下の応力-ひずみの骨格曲線は、最大応力点までの硬化域と、最大応力点を越えた軟化域で表され、残留塑性ひずみと除荷再載荷時の剛性低下を考慮している。また、ひび割れ発生後のコンクリートの圧縮強度については、図 5.1.4-7 に示す。

低減係数を破壊パラメータに乗じることで、ひび割れ発生後の圧縮強度の低下を考慮する。



$$\sigma'_c = E_0 K (\varepsilon'_c - \varepsilon'_p) \geq 0$$

$$E_0 = \frac{2 \cdot f'_{cd}}{\varepsilon'_{peak}}$$

$$K = \exp \left\{ -0.73 \frac{\varepsilon'_{max}}{\varepsilon'_{peak}} \left(1 - \exp \left(-1.25 \frac{\varepsilon'_{max}}{\varepsilon'_{peak}} \right) \right) \right\}$$

$$\varepsilon'_p = \varepsilon'_{max} - 2.86 \cdot \varepsilon'_{peak} \left\{ 1 - \exp \left(-0.35 \frac{\varepsilon'_{max}}{\varepsilon'_{peak}} \right) \right\}$$

ここに、 $f'_{cd} = f'_{ck} / \gamma_c$

ε'_{peak} : 圧縮強度に対応するひずみ (一般に、0.002 としてもよい)

ε'_{max} : 過去に受けた圧縮ひずみの最大値

ε'_p : 塑性ひずみ

K : 弾性剛性残存率

図 5.1.4-6 一軸圧縮応力下におけるコンクリートの応力-ひずみ関係
 (「コンクリート標準示方書 [設計編] (土木学会, 2017 年制定)」(以下「コンクリート標準示方書 2017」という。)より引用)

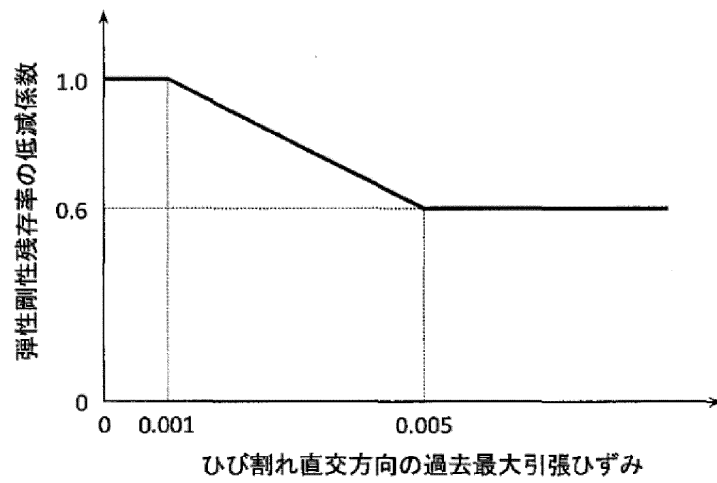
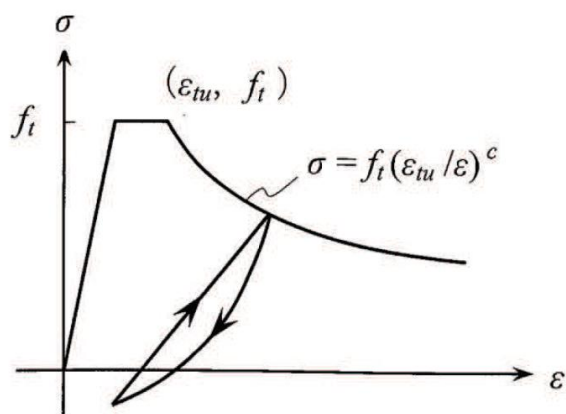


図 5.1. 4-7 弾性剛性残存率の低減係数
 (「コンクリート標準示方書 2017」より引用)

ロ 引張応力下における応力-ひずみ関係

引張応力下における応力-ひずみ関係は、ひび割れ発生までは線形弾性とし、ひび割れ強度以降は、鉄筋とコンクリートの付着の影響等を考慮し、図 5.1.4-8 に示す骨格曲線を用いて、ひび割れ間のコンクリートに引張応力分担を考慮する。

引張力を受ける無筋コンクリート要素では、引張軟化挙動は、破壊エネルギーによって代表される。引張軟化挙動の考慮にあたっては、図 5.1.4-9 に示す引張軟化曲線を設定する。



ここに、 f_t : 引張強度
 ϵ_{tu} : 引張軟化開始ひずみ
 c : 引張軟化特性を表す係数

図 5.1.4-8 引張応力下における鉄筋とコンクリートの付着効果を考慮した
 応力-ひずみ関係（「コンクリート標準示方書 2017」より引用）

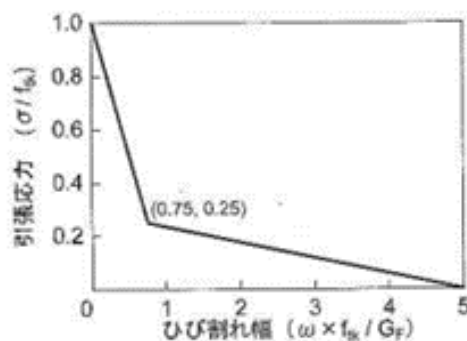
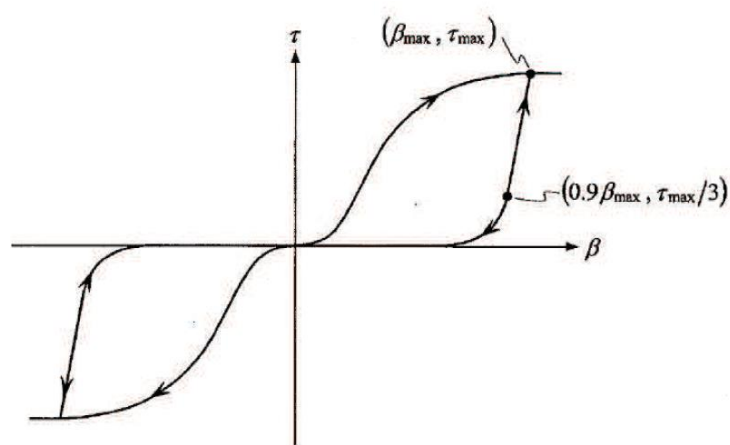


図 5.1.4-9 コンクリートの破壊エネルギー
 （「コンクリート標準示方書 2017」より引用）

ハ ひび割れ面でのせん断伝達関係

コンクリートのひび割れ発生後にひび割れ角度を固定する固定ひび割れモデルでは、ひび割れ面のずれによるせん断応力伝達特性を考慮する必要がある。

ひび割れ面でのせん断伝達挙動は、斜めひび割れの発生に伴う剛性低下や破壊を評価するため、図 5.1.4-10 に示すとおり、ひび割れ面におけるせん断ひずみ γ とひび割れ開口ひずみ ε の比をパラメータとし、コンクリートの剛性低下を考慮するモデルを用いる。



ここに、 β : ひび割れ面におけるせん断ひずみ γ とひび割れ開口ひずみ ε の比 (γ / ε)

τ : ひび割れ面でのせん断応力

τ_{\max} : 除荷開始時せん断応力

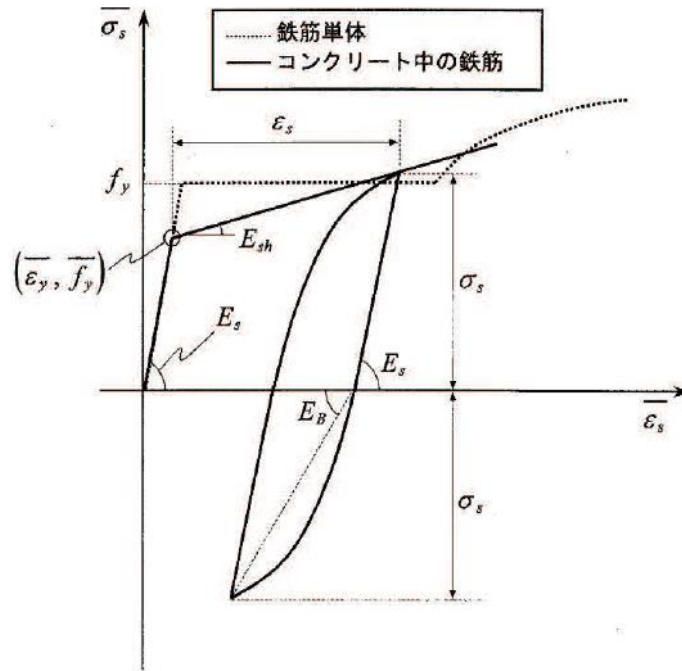
β_{\max} : 除荷開始時せん断ひずみ γ とひび割れ開口ひずみ ε の比

図 5.1.4-10 ひび割れ面でのせん断伝達モデル

(「コンクリート標準示方書 2017」より引用)

(b) 鉄筋の非線形特性

ひび割れを複数含む領域におけるコンクリート中の鉄筋の平均応力-平均ひずみ関係は、単体鉄筋の応力-ひずみ関係と異なり、図 5.1.4-11 に示すひずみ硬化特性を考慮する。



$$\begin{aligned} \overline{\sigma}_s &= E_s \overline{\varepsilon}_s && (\overline{\varepsilon}_s \leq \overline{\varepsilon}_y) \\ &= \overline{f}_y + E_{sh} (\overline{\varepsilon}_s - \overline{\varepsilon}_y) && (\overline{\varepsilon}_y < \overline{\varepsilon}_s) \end{aligned}$$

ここに、 $\overline{\sigma}_s$: コンクリート中における鉄筋の平均応力

$\overline{\varepsilon}_s$: コンクリート中における鉄筋の平均ひずみ

f_y : 鉄筋単体の降伏強度

E_s : 鉄筋のヤング率

\overline{f}_y : コンクリート中における鉄筋の平均降伏強度

$\overline{\varepsilon}_y$: コンクリート中における鉄筋の平均降伏ひずみ

E_{sh} : コンクリート中における鉄筋の降伏後の二次勾配

図 5.1.4-11 ひずみ硬化域を簡略化した鉄筋の平均応力-平均ひずみ関係
(「コンクリート標準示方書 2012」より引用)

(c) 鉄筋コンクリートとしてのモデル化

コンクリートと鉄筋の界面の付着特性をテンションスティフニング効果（引張特性が硬化する現象）として、鉄筋コンクリート要素の中心に取り込むことにより、鉄筋コンクリートの構成則を直接与える。

鉄筋コンクリートの引張応力下の平均応力は以下の式で表される。

$$\overline{\sigma}_{RC} = \frac{A_s}{A_{RC}} \overline{\sigma}_s + \frac{A_c}{A_{RC}} \overline{\sigma}_c$$

ここに、 $\overline{\sigma}_s$ 、 $\overline{\sigma}_c$: それぞれ鉄筋とコンクリートの平面応力

A_s 、 A_c : それぞれ鉄筋とコンクリートの断面積、

$$A_{RC} = A_s + A_c$$

c. 重力擁壁

重力擁壁の使用材料は、「4.1.7(2) 使用材料及び材料の物性値」を基に設定する。

d. 中詰材

(a) 中詰コンクリート

中詰コンクリートの使用材料を表 5.1.4-11 に、材料の物性値を表 5.1.4-12 に示す。

表 5.1.4-11 使用材料

材料	諸元
コンクリート	18.0 N/mm ²

表 5.1.4-12 材料の物性値

材料	単位体積重量 (kN/m ³)	ヤング係数 (N/mm ²)	ポアソン比
コンクリート	22.6*1	2.2×10 ^{4*2}	0.2*2

注記*1：港湾基準

*2：コンクリート標準示方書（2002）

(b) 中詰材改良体（銅水砕スラグ）

中詰材改良体（銅水砕スラグ）は、物性値は「（参考資料3）ケーソン中詰材改良体の解析用物性値について」に示す原位置でのP S検層結果及び室内試験結果を用いて設定する。設定する物性値を表 5.1.4-13 に示す。

表 5.1.4-13 材料の物性値

材料		単位体積重量 (kN/m ³)	ヤング係数 (N/mm ²)	ポアソン比
中詰材改良体 (銅水砕スラグ)	EL-5.5m 以浅	22.6	8.8×10 ³	0.33
	EL-5.5m 以深		1.2×10 ⁴	

(c) 中詰材改良体（砂）

中詰材改良体（砂）は、物性値は「（参考資料3）ケーソン中詰材改良体の解析用物性値について」に示す原位置でのP S検層結果及び室内試験結果を用いて設定する。設定する物性値を表 5.1.4-14 に示す。

表 5.1.4-14 材料の物性値

材料		単位体積重量 (kN/m ³)	ヤング係数 (N/mm ²)	ポアソン比
中詰材改良体 (砂)	EL-5.5m 以浅	20.0	7.8×10 ³	0.33
	EL-5.5m 以深		1.1×10 ⁴	

(4) 地下水位

設計地下水位は、「4.1.7(4) 地下水位」を基に設定する。

5.1.5 評価方法

(1) ②-②断面及び④-④断面

3次元構造解析より得られた曲げモーメント及び軸力より算定される曲げ圧縮応力度，曲げ引張応力度及びせん断力より算定されるせん断応力度が「3.4 許容限界」で設定した許容限界以下であることを確認する。

各要素の応力の方向を図 5.1.5-1 に示す。

応力度算定には，解析コード「EMR G I N G」を使用する。なお，解析コードの検証，妥当性確認等の概要については，VI-5「計算機プログラム（解析コード）の概要」に示す。

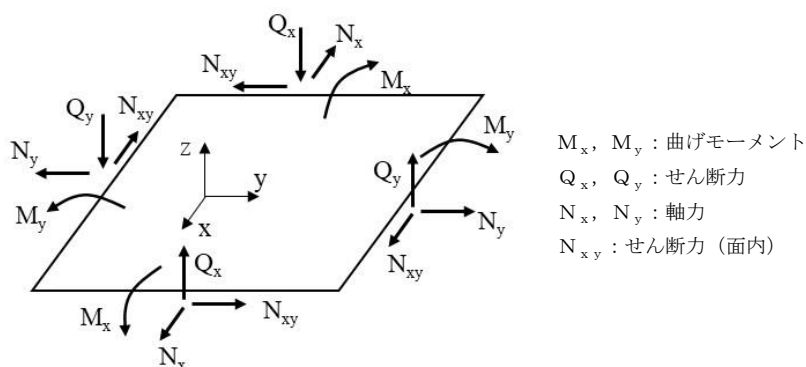


図 5.1.5-1 シェル要素における断面力の方向

(2) ③-③断面

a. 3次元線形構造解析

3次元構造解析に基づいて算定した圧縮応力度，引張応力度及びせん断応力度が「3.4 許容限界」で設定した許容限界以下であることを確認する。

各要素の応力の方向を図 5.1.5-2 に示す。

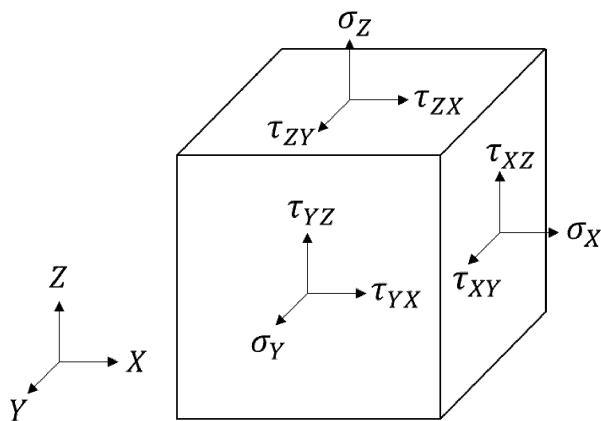


図 5.1.5-2 ソリッド要素における応力の方向

b. 3次元非線形構造解析

3次元非線形構造解析に基づいて算定したひずみ量が「3.4 許容限界」で設定した許容限界以下であることを確認する。

5.2 3次元構造解析結果

5.2.1 解析ケースと照査値

耐震評価においては、全ての基準地震動 S_s に対して実施するケース①において、2次元有限要素法による重力擁壁の曲げ・軸力系の破壊に対する照査、せん断破壊に対する照査及び基礎地盤の支持性能に対する照査並びに3次元構造解析によるケーソンの曲げ・軸力系の破壊及びせん断破壊に対する照査の各評価項目のうち、照査値が0.5を超える評価項目に対して、最も厳しい（許容限界に対する裕度が最も小さい）地震動を用いて追加解析ケース②、③を実施する。

2次元有限要素法及び3次元構造解析による照査値が0.5を超える解析ケースのうち、最も厳しい地震動を表5.2.1-1に示す。

表 5.2.1-1(1) 照査値が0.5を超える解析ケースのうち最も厳しい地震動

断面	評価項目		
	重力擁壁		基礎地盤
	曲げ	せん断	
②-②断面	$S_s - D (-+)$ 解析ケース① 0.53 (曲げ引張)	$S_s - D (-+)$ 解析ケース② 0.57	$S_s - D (++)$ 解析ケース② 0.72 (改良地盤⑥)
③-③断面	$S_s - N 1 (++)$ 解析ケース① 0.84 (曲げ引張)	$S_s - N 2 (EW)$ (++) 解析ケース① 0.77	全地震動において 0.5以下
④-④断面	$S_s - D (-+)$ 解析ケース③ 0.74 (曲げ引張)	$S_s - D (-+)$ 解析ケース③ 0.65	全地震動において 0.5以下

表 5.2.1-1(2) 照査値が 0.5 を超える解析ケースのうち最も厳しい地震動

断面	ケース		
	曲げ	せん断 (面外)	せん断 (面内)
②-②断面	S _s -N ₁ (++) 解析ケース② 0.68 (曲げ引張)	全地震動において 0.5 以下	S _s -D (++) 解析ケース① 0.53
③-③断面	S _s -N ₁ (-+) 解析ケース① 0.95* ¹ (曲げ引張)	S _s -N ₁ (-+) 解析ケース③ 1.07* ¹ 【0.65】* ²	S _s -N ₁ (-+) 解析ケース③ 1.22 (0.27)* ³
④-④断面	S _s -N ₁ (-+) 解析ケース② 0.65 (曲げ引張)	S _s -N ₁ (-+) 解析ケース② 0.69	S _s -N ₁ (-+) 解析ケース② 0.81

注記*1：応力度の平均化実施後の照査値を示す。

*2：括弧内【 】は「RC規準（1999年）」に基づき，短期許容せん断応力度
1.11 (N/mm²) を許容値とした場合の照査値を示す。

*3：括弧内（ ）は，3次元非線形構造解析による照査値を示す。

(1) ケーソンの曲げ照査

ケーソン及び放水路ケーソンの構造部材について図 5.2.1-1 に示す。3次元線形構造解析によるケーソン及び放水路ケーソンの耐震評価として、表 5.2.1-2 及び表 5.2.1-3 に各部材における曲げ・軸力系の破壊に対する照査の実施ケースと照査値を示す。③-③断面の照査結果については、一部応力の平均化を実施していることから、応力の平均化に関しては、「(参考資料5)発生応力度の平均化について」に示す。

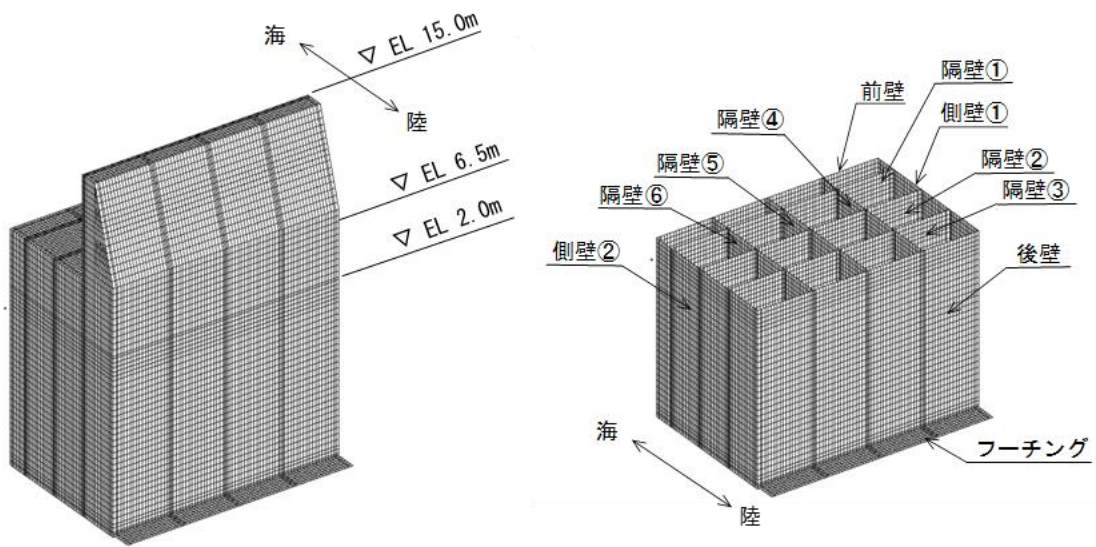


図 5.2.1-1(1) ケーソンの構造部材 (②-②断面)

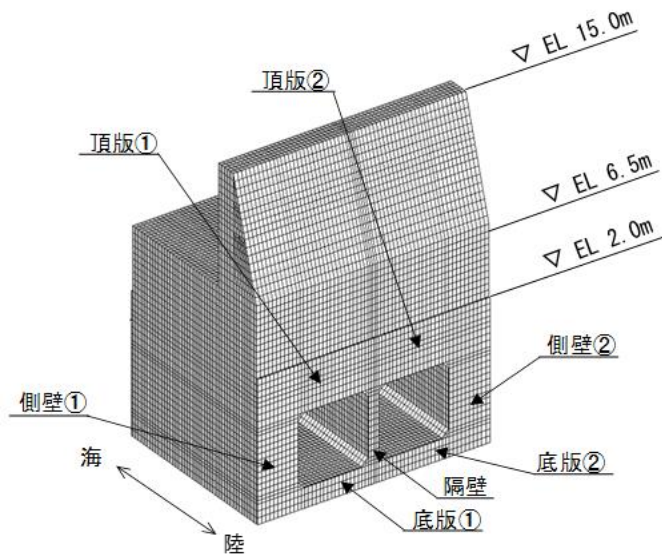


図 5.2.1-1(2) 放水路ケーソンの構造部材 (③-③断面)

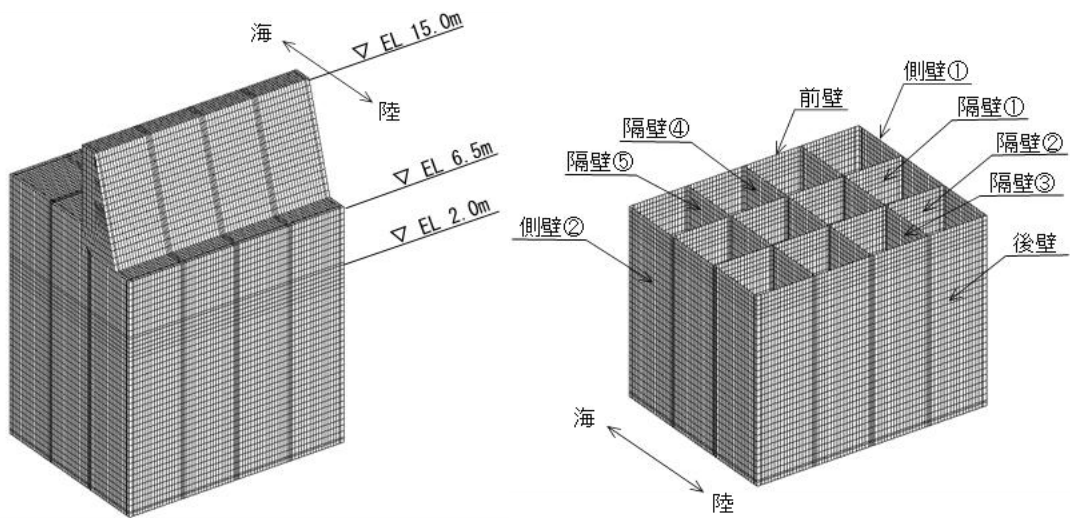


図 5.2.1-1(3) ケーソンの構造部材 (④-④断面)

表 5.2.1-2(1) コンクリートの曲げ・軸力系の破壊に対する照査における
実施ケースと照査値

(②-②断面, ケーソン, 底版)

地震動		解析ケース			コンクリートの曲げ圧縮応力度に 対する照査値		
		①	②	③			
S _s -D	(++)	0.13	0.10	0.12			
	(-+)	0.15	0.13	0.14			
	(+-)	0.12					
	(--)	0.11					
S _s -F1	(++)	0.09					
S _s -F2	(++)	0.11					
S _s -N1	(++)	0.21	0.21	0.21			
	(-+)	0.13					
S _s -N2 (NS)	(++)	0.10					
	(-+)	0.10					
S _s -N2 (EW)	(++)	0.12					
	(-+)	0.09					

表 5.2.1-2(2) コンクリートの曲げ・軸力系の破壊に対する照査における
実施ケースと照査値

(②-②断面, ケーソン, フーチング)

地震動		解析ケース			コンクリートの曲げ圧縮応力度に 対する照査値		
		①	②	③	①	②	③
S _s -D	(++)	0.01	0.01	0.01			
	(-+)	0.02	0.01	0.08			
	(+-)	0.01					
	(--)	0.01					
S _s -F 1	(++)	0.03					
S _s -F 2	(++)	0.01					
S _s -N 1	(++)	0.08	0.08	0.08			
	(-+)	0.01					
S _s -N 2 (NS)	(++)	0.03					
	(-+)	0.01					
S _s -N 2 (EW)	(++)	0.02					
	(-+)	0.03					

表 5.2.1-2(3) コンクリートの曲げ・軸力系の破壊に対する
 照査における実施ケースと照査値
 (②-②断面, ケーソン, 前壁)

地震動		解析ケース	コンクリートの曲げ圧縮応力度に 対する照査値		
			①	②	③
S _s -D	(++)		0.19	0.15	0.18
	(-+)		0.21	0.18	0.20
	(+-)		0.18		
	(--)		0.16		
S _s -F1	(++)		0.13		
S _s -F2	(++)		0.15		
S _s -N1	(++)		0.07	0.07	0.08
	(-+)		0.18		
S _s -N2 (NS)	(++)		0.13		
	(-+)		0.14		
S _s -N2 (EW)	(++)		0.18		
	(-+)		0.14		

表 5.2.1-2(4) コンクリートの曲げ・軸力系の破壊に対する
照査における実施ケースと照査
(②-②断面, ケーソン, 後壁)

地震動		解析ケース	コンクリートの曲げ圧縮応力度に 対する照査値		
			①	②	③
S _s -D	(++)		0.12	0.11	0.14
	(-+)		0.11	0.14	0.11
	(+-)		0.12		
	(--)		0.13		
S _s -F1	(++)		0.11		
S _s -F2	(++)		0.14		
S _s -N1	(++)		0.31	0.31	0.31
	(-+)		0.07		
S _s -N2 (NS)	(++)		0.10		
	(-+)		0.11		
S _s -N2 (EW)	(++)		0.11		
	(-+)		0.11		

表 5.2.1-2(5) コンクリートの曲げ・軸力系の破壊に対する
 照査における実施ケースと照査値
 (②-②断面, ケーソン, 側壁①)

地震動		解析ケース	コンクリートの曲げ圧縮応力度に 対する照査値		
			①	②	③
S _s -D	(++)		0.17	0.14	0.17
	(-+)		0.21	0.17	0.19
	(+-)		0.17		
	(--)		0.15		
S _s -F1	(++)		0.13		
S _s -F2	(++)		0.15		
S _s -N1	(++)		0.28	0.29	0.28
	(-+)		0.18		
S _s -N2 (NS)	(++)		0.13		
	(-+)		0.14		
S _s -N2 (EW)	(++)		0.16		
	(-+)		0.13		

表 5.2.1-2(6) コンクリートの曲げ・軸力系の破壊に対する
 照査における実施ケースと照査値
 (②-②断面, ケーソン, 側壁②)

地震動		解析ケース	コンクリートの曲げ圧縮応力度に 対する照査値		
			①	②	③
S _s -D	(++)		0.17	0.14	0.17
	(-+)		0.21	0.17	0.19
	(+-)		0.17		
	(--)		0.15		
S _s -F1	(++)		0.13		
S _s -F2	(++)		0.15		
S _s -N1	(++)		0.28	0.29	0.28
	(-+)		0.18		
S _s -N2 (NS)	(++)		0.13		
	(-+)		0.14		
S _s -N2 (EW)	(++)		0.16		
	(-+)		0.13		

表 5.2.1-2(7) コンクリートの曲げ・軸力系の破壊に対する
 照査における実施ケースと照査値
 (②-②断面, ケーソン, 隔壁①)

地震動		解析ケース	コンクリートの曲げ圧縮応力度に 対する照査値		
			①	②	③
S _s -D	(++)		0.16	0.13	0.15
	(-+)		0.17	0.16	0.16
	(+-)		0.15		
	(--)		0.15		
S _s -F1	(++)		0.12		
S _s -F2	(++)		0.14		
S _s -N1	(++)		0.10	0.10	0.10
	(-+)		0.18		
S _s -N2 (NS)	(++)		0.13		
	(-+)		0.14		
S _s -N2 (EW)	(++)		0.15		
	(-+)		0.12		

表 5.2.1-2(8) コンクリートの曲げ・軸力系の破壊に対する
照査における実施ケースと照査値
(②-②断面, ケーソン, 隔壁②)

地震動		解析ケース	コンクリートの曲げ圧縮応力度に 対する照査値		
			①	②	③
S _s -D	(++)		0.13	0.12	0.15
	(-+)		0.14	0.15	0.14
	(+-)		0.16		
	(--)		0.16		
S _s -F1	(++)		0.12		
S _s -F2	(++)		0.11		
S _s -N1	(++)		0.14	0.14	0.14
	(-+)		0.14		
S _s -N2 (NS)	(++)		0.12		
	(-+)		0.12		
S _s -N2 (EW)	(++)		0.14		
	(-+)		0.10		

表 5.2.1-2(9) コンクリートの曲げ・軸力系の破壊に対する
照査における実施ケースと照査値
(②-②断面, ケーソン, 隔壁③)

地震動		解析ケース	コンクリートの曲げ圧縮応力度に 対する照査値		
			①	②	③
S _s -D	(++)		0.13	0.12	0.15
	(-+)		0.13	0.15	0.13
	(+-)		0.14		
	(--)		0.15		
S _s -F1	(++)		0.12		
S _s -F2	(++)		0.12		
S _s -N1	(++)		0.17	0.18	0.17
	(-+)		0.10		
S _s -N2 (NS)	(++)		0.11		
	(-+)		0.12		
S _s -N2 (EW)	(++)		0.12		
	(-+)		0.11		

表 5.2.1-2(10) コンクリートの曲げ・軸力系の破壊に対する
照査における実施ケースと照査値
(②-②断面, ケーソン, 隔壁④)

地震動		解析ケース	コンクリートの曲げ圧縮応力度に 対する照査値		
			①	②	③
S _s -D	(++)		0.17	0.13	0.16
	(-+)		0.19	0.16	0.18
	(+-)		0.16		
	(--)		0.15		
S _s -F1	(++)		0.12		
S _s -F2	(++)		0.14		
S _s -N1	(++)		0.23	0.23	0.23
	(-+)		0.17		
S _s -N2 (NS)	(++)		0.12		
	(-+)		0.13		
S _s -N2 (EW)	(++)		0.16		
	(-+)		0.12		

表 5.2.1-2(11) コンクリートの曲げ・軸力系の破壊に対する照査
 における実施ケースと照査値

(②-②断面, ケーソン, 隔壁⑤)

地震動		解析ケース			コンクリートの曲げ圧縮応力度に 対する照査値		
		①	②	③			
S _s -D	(++)	0.16	0.13	0.15			
	(-+)	0.18	0.15	0.17			
	(+-)	0.15					
	(--)	0.14					
S _s -F1	(++)	0.11					
S _s -F2	(++)	0.13					
S _s -N1	(++)	0.23	0.23	0.23			
	(-+)	0.16					
S _s -N2 (NS)	(++)	0.12					
	(-+)	0.13					
S _s -N2 (EW)	(++)	0.15					
	(-+)	0.11					

表 5.2.1-2(12) コンクリートの曲げ・軸力系の破壊に対する照査
 における実施ケースと照査値

(②-②断面, ケーソン, 隔壁⑥)

地震動		解析ケース			コンクリートの曲げ圧縮応力度に 対する照査値		
		①	②	③			
S _s -D	(++)	0.17	0.13	0.16			
	(-+)	0.19	0.16	0.18			
	(+-)	0.16					
	(--)	0.15					
S _s -F1	(++)	0.12					
S _s -F2	(++)	0.14					
S _s -N1	(++)	0.23	0.23	0.23			
	(-+)	0.17					
S _s -N2 (NS)	(++)	0.12					
	(-+)	0.13					
S _s -N2 (EW)	(++)	0.16					
	(-+)	0.12					

表 5.2.1-2(13) コンクリートの圧縮応力度に対する
照査における実施ケースと照査値
(③-③断面, 放水路ケーソン, 底版①)

地震動 解析ケース		コンクリートの圧縮応力度に 対する照査値		
		①	②	③
S _s -D	(++)	0.29		
	(-+)	0.19		
	(+-)	0.27		
	(--)	0.23		
S _s -F1	(++)	0.14		
S _s -F2	(++)	0.19		
S _s -N1	(++)	0.30	0.30	0.30
	(-+)	0.31	0.30	0.32
S _s -N2 (NS)	(++)	0.15		
	(-+)	0.17		
S _s -N2 (EW)	(++)	0.23	0.23	0.23
	(-+)	0.19		

表 5.2.1-2(14) コンクリートの圧縮応力度に対する
照査における実施ケースと照査値
(③-③断面, 放水路ケーソン, 底版②)

地震動 解析ケース		コンクリートの圧縮応力度に 対する照査値		
		①	②	③
S _s -D	(++)	0.29		
	(-+)	0.19		
	(+-)	0.27		
	(--)	0.23		
S _s -F1	(++)	0.14		
S _s -F2	(++)	0.19		
S _s -N1	(++)	0.30	0.30	0.30
	(-+)	0.31	0.30	0.32
S _s -N2 (NS)	(++)	0.15		
	(-+)	0.17		
S _s -N2 (EW)	(++)	0.23	0.23	0.23
	(-+)	0.19		

表 5.2.1-2(15) コンクリートの圧縮応力度に対する
照査における実施ケースと照査値
(③-③断面, 放水路ケーソン, 側壁①)

地震動		解析ケース			コンクリートの圧縮応力度に 対する照査値		
		①	②	③	①	②	③
S _s -D	(++)	0.45					
	(-+)	0.28					
	(+-)	0.53					
	(--)	0.39					
S _s -F1	(++)	0.20					
S _s -F2	(++)	0.28					
S _s -N1	(++)	0.47	0.47	0.47			
	(-+)	0.47	0.46	0.48			
S _s -N2 (NS)	(++)	0.22					
	(-+)	0.27					
S _s -N2 (EW)	(++)	0.52	0.51	0.50			
	(-+)	0.30					

表 5.2.1-2(16) コンクリートの圧縮応力度に対する
照査における実施ケースと照査値
(③-③断面, 放水路ケーソン, 側壁②)

地震動 解析ケース		コンクリートの圧縮応力度に 対する照査値		
		①	②	③
S _s -D	(++)	0.45		
	(-+)	0.28		
	(+-)	0.53		
	(--)	0.39		
S _s -F1	(++)	0.20		
S _s -F2	(++)	0.28		
S _s -N1	(++)	0.47	0.47	0.47
	(-+)	0.47	0.46	0.48
S _s -N2 (NS)	(++)	0.22		
	(-+)	0.27		
S _s -N2 (EW)	(++)	0.52	0.51	0.50
	(-+)	0.30		

表 5.2.1-2(17) コンクリートの圧縮応力度に対する
照査における実施ケースと照査値
(③-③断面, 放水路ケーソン, 隔壁)

地震動		解析ケース			コンクリートの圧縮応力度に 対する照査値		
		①	②	③			
S _s -D	(++)	0.64					
	(-+)	0.40					
	(+-)	0.62					
	(--)	0.47					
S _s -F1	(++)	0.29					
S _s -F2	(++)	0.40					
S _s -N1	(++)	0.64	0.64	0.64			
	(-+)	0.66	0.65	0.67			
S _s -N2 (NS)	(++)	0.32					
	(-+)	0.37					
S _s -N2 (EW)	(++)	0.60	0.59	0.58			
	(-+)	0.39					

表 5.2.1-2(18) コンクリートの圧縮応力度に対する
照査における実施ケースと照査値
(③-③断面, 放水路ケーソン, 頂版①)

地震動		解析ケース			コンクリートの圧縮応力度に 対する照査値		
		①	②	③			
S _s -D	(++)	0.13					
	(-+)	0.13					
	(+-)	0.26					
	(--)	0.20					
S _s -F1	(++)	0.10					
S _s -F2	(++)	0.14					
S _s -N1	(++)	0.23	0.23	0.23			
	(-+)	0.13	0.13	0.15			
S _s -N2 (NS)	(++)	0.09					
	(-+)	0.14					
S _s -N2 (EW)	(++)	0.25	0.25	0.24			
	(-+)	0.16					

表 5.2.1-2(19) コンクリートの圧縮応力度に対する
照査における実施ケースと照査値
(③-③断面, 放水路ケーソン, 頂版②)

地震動		解析ケース			コンクリートの圧縮応力度に 対する照査値		
		①	②	③			
S _s -D	(++)	0.13					
	(-+)	0.13					
	(+-)	0.26					
	(--)	0.20					
S _s -F1	(++)	0.10					
S _s -F2	(++)	0.14					
S _s -N1	(++)	0.23	0.23	0.23			
	(-+)	0.13	0.13	0.15			
S _s -N2 (NS)	(++)	0.09					
	(-+)	0.14					
S _s -N2 (EW)	(++)	0.25	0.25	0.24			
	(-+)	0.16					

表 5.2.1-2(20) コンクリートの曲げ・軸力系の破壊に対する
照査における実施ケースと照査値
(④-④断面, ケーソン, 底版)

地震動		解析ケース	コンクリートの曲げ圧縮応力度に 対する照査値		
			①	②	③
S _s -D	(++)		0.22		
	(-+)		0.26	0.27	0.26
	(+-)		0.27		
	(--)		0.21		
S _s -F1	(++)		0.15		
S _s -F2	(++)		0.20		
S _s -N1	(++)		0.21		
	(-+)		0.29	0.31	0.30
S _s -N2 (NS)	(++)		0.19		
	(-+)		0.18		
S _s -N2 (EW)	(++)		0.10		
	(-+)		0.11		

表 5.2.1-2(21) コンクリートの曲げ・軸力系の破壊に対する
 照査における実施ケースと照査値
 (④-④断面, ケーソン, 前壁)

地震動		解析ケース	コンクリートの曲げ圧縮応力度に 対する照査値		
			①	②	③
S _s -D	(++)		0.33		
	(-+)		0.35	0.36	0.35
	(+-)		0.38		
	(--)		0.40		
S _s -F1	(++)		0.28		
S _s -F2	(++)		0.28		
S _s -N1	(++)		0.14		
	(-+)		0.44	0.46	0.45
S _s -N2 (NS)	(++)		0.26		
	(-+)		0.25		
S _s -N2 (EW)	(++)		0.10		
	(-+)		0.24		

表 5.2.1-2(22) コンクリートの曲げ・軸力系の破壊に対する
 照査における実施ケースと照査値
 (④-④断面, ケーソン, 後壁)

地震動		解析ケース			コンクリートの曲げ圧縮応力度に 対する照査値		
		①	②	③			
S _s -D	(++)	0.11					
	(-+)	0.29	0.28	0.29			
	(+-)	0.16					
	(--)	0.11					
S _s -F1	(++)	0.07					
S _s -F2	(++)	0.07					
S _s -N1	(++)	0.36					
	(-+)	0.15	0.16	0.15			
S _s -N2 (NS)	(++)	0.08					
	(-+)	0.11					
S _s -N2 (EW)	(++)	0.18					
	(-+)	0.13					

表 5.2.1-2(23) コンクリートの曲げ・軸力系の破壊に対する
照査における実施ケースと照査値
(④-④断面, ケーソン, 側壁①)

地震動		解析ケース	コンクリートの曲げ圧縮応力度に 対する照査値		
			①	②	③
S _s -D	(++)		0.32		
	(-+)		0.36	0.38	0.37
	(+-)		0.39		
	(--)		0.38		
S _s -F1	(++)		0.26		
S _s -F2	(++)		0.29		
S _s -N1	(++)		0.36		
	(-+)		0.44	0.46	0.45
S _s -N2 (NS)	(++)		0.27		
	(-+)		0.25		
S _s -N2 (EW)	(++)		0.18		
	(-+)		0.19		

表 5.2.1-2(24) コンクリートの曲げ・軸力系の破壊に対する
照査における実施ケースと照査値
(④-④断面, ケーソン, 側壁②)

地震動		解析ケース			コンクリートの曲げ圧縮応力度に 対する照査値		
		①	②	③			
S _s -D	(++)	0.32					
	(-+)	0.36	0.38	0.37			
	(+-)	0.39					
	(--)	0.38					
S _s -F1	(++)	0.26					
S _s -F2	(++)	0.29					
S _s -N1	(++)	0.36					
	(-+)	0.44	0.46	0.45			
S _s -N2 (NS)	(++)	0.27					
	(-+)	0.25					
S _s -N2 (EW)	(++)	0.18					
	(-+)	0.19					

表 5.2.1-2(25) コンクリートの曲げ・軸力系の破壊に対する
照査における実施ケースと照査値
(④-④断面, ケーソン, 隔壁①)

地震動		解析ケース	コンクリートの曲げ圧縮応力度に 対する照査値		
			①	②	③
S _s -D	(++)		0.25		
	(-+)		0.28	0.29	0.29
	(+-)		0.27		
	(--)		0.26		
S _s -F1	(++)		0.18		
S _s -F2	(++)		0.21		
S _s -N1	(++)		0.14		
	(-+)		0.30	0.31	0.31
S _s -N2 (NS)	(++)		0.15		
	(-+)		0.16		
S _s -N2 (EW)	(++)		0.14		
	(-+)		0.15		

表 5.2.1-2(26) コンクリートの曲げ・軸力系の破壊に対する
照査における実施ケースと照査値
(④-④断面, ケーソン, 隔壁②)

地震動		解析ケース			コンクリートの曲げ圧縮応力度に 対する照査値		
		①	②	③			
S _s -D	(++)	0.18					
	(-+)	0.19	0.19	0.19			
	(+-)	0.18					
	(--)	0.16					
S _s -F1	(++)	0.12					
S _s -F2	(++)	0.14					
S _s -N1	(++)	0.21					
	(-+)	0.18	0.18	0.17			
S _s -N2 (NS)	(++)	0.12					
	(-+)	0.14					
S _s -N2 (EW)	(++)	0.15					
	(-+)	0.14					

表 5.2.1-2(27) コンクリートの曲げ・軸力系の破壊に対する
照査における実施ケースと照査値
(④-④断面, ケーソン, 隔壁③)

地震動		解析ケース	コンクリートの曲げ圧縮応力度に 対する照査値		
			①	②	③
S _s -D	(++)		0.26		
	(-+)		0.30	0.31	0.30
	(+-)		0.32		
	(--)		0.30		
S _s -F1	(++)		0.21		
S _s -F2	(++)		0.24		
S _s -N1	(++)		0.29		
	(-+)		0.36	0.37	0.37
S _s -N2 (NS)	(++)		0.22		
	(-+)		0.20		
S _s -N2 (EW)	(++)		0.14		
	(-+)		0.16		

表 5.2.1-2(28) コンクリートの曲げ・軸力系の破壊に対する
照査における実施ケースと照査値
(④-④断面, ケーソン, 隔壁④)

地震動		解析ケース			コンクリートの曲げ圧縮応力度に 対する照査値		
		①	②	③			
S _s -D	(++)	0.24					
	(-+)	0.27	0.28	0.27			
	(+-)	0.29					
	(--)	0.27					
S _s -F1	(++)	0.19					
S _s -F2	(++)	0.21					
S _s -N1	(++)	0.26					
	(-+)	0.32	0.33	0.33			
S _s -N2 (NS)	(++)	0.20					
	(-+)	0.18					
S _s -N2 (EW)	(++)	0.13					
	(-+)	0.16					

表 5.2.1-2(29) コンクリートの曲げ・軸力系の破壊に対する
 照査における実施ケースと照査値
 (④-④断面, ケーソン, 隔壁⑤)

地震動		解析ケース			コンクリートの曲げ圧縮応力度に 対する照査値		
		①	②	③			
S _s -D	(++)	0.26					
	(-+)	0.30	0.31	0.30			
	(+-)	0.32					
	(--)	0.30					
S _s -F1	(++)	0.21					
S _s -F2	(++)	0.24					
S _s -N1	(++)	0.29					
	(-+)	0.36	0.37	0.37			
S _s -N2 (NS)	(++)	0.22					
	(-+)	0.20					
S _s -N2 (EW)	(++)	0.14					
	(-+)	0.16					

表 5.2.1-3(1) 鉄筋の曲げ・軸力系の破壊に対する照査における実施ケースと照査値
(②-②断面, ケーソン, 底版)

地震動 解析ケース		鉄筋の曲げ引張応力度に対する 照査値		
		①	②	③
S _s -D	(++)	0.27	0.23	0.30
	(-+)	0.36	0.30	0.35
	(+-)	0.31		
	(--)	0.31		
S _s -F1	(++)	0.26		
S _s -F2	(++)	0.30		
S _s -N1	(++)	0.67	0.68	0.67
	(-+)	0.31		
S _s -N2 (NS)	(++)	0.24		
	(-+)	0.24		
S _s -N2 (EW)	(++)	0.25		
	(-+)	0.23		

0.67 : 解析ケース①において, 曲げ・軸力系の破壊に対する
評価のうち, 照査値 0.5 を超える最も厳しい照査値

表 5.2.1-3(2) 鉄筋の曲げ・軸力系の破壊に対する照査における実施ケースと照査値
 (②-②断面, ケーソン, フーチング)

地震動		解析ケース	鉄筋の曲げ引張応力度に対する 照査値		
			①	②	③
S _s -D	(++)		0.20	0.21	0.22
	(-+)		0.24	0.22	0.25
	(+-)		0.28		
	(--)		0.25		
S _s -F1	(++)		0.20		
S _s -F2	(++)		0.15		
S _s -N1	(++)		0.32	0.32	0.32
	(-+)		0.09		
S _s -N2 (NS)	(++)		0.24		
	(-+)		0.17		
S _s -N2 (EW)	(++)		0.23		
	(-+)		0.16		

表 5.2.1-3(3) 鉄筋の曲げ・軸力系の破壊に対する照査における実施ケースと照査値
 (②-②断面, ケーソン, 前壁)

地震動		解析ケース	鉄筋の曲げ引張応力度に対する 照査値		
			①	②	③
S _s -D	(++)		0.11	0.09	0.11
	(-+)		0.15	0.11	0.14
	(+-)		0.12		
	(--)		0.11		
S _s -F1	(++)		0.09		
S _s -F2	(++)		0.14		
S _s -N1	(++)		0.33	0.32	0.32
	(-+)		0.11		
S _s -N2 (NS)	(++)		0.09		
	(-+)		0.09		
S _s -N2 (EW)	(++)		0.10		
	(-+)		0.09		

表 5.2.1-3(4) 鉄筋の曲げ・軸力系の破壊に対する照査における実施ケースと照査値
 (②-②断面, ケーソン, 後壁)

地震動		解析ケース	鉄筋の曲げ引張応力度に対する 照査値		
			①	②	③
S _s -D	(++)		0.15	0.14	0.15
	(-+)		0.20	0.14	0.33
	(+-)		0.14		
	(--)		0.14		
S _s -F1	(++)		0.14		
S _s -F2	(++)		0.14		
S _s -N1	(++)		0.25	0.25	0.25
	(-+)		0.15		
S _s -N2 (NS)	(++)		0.14		
	(-+)		0.12		
S _s -N2 (EW)	(++)		0.15		
	(-+)		0.13		

表 5.2.1-3(5) 鉄筋の曲げ・軸力系の破壊に対する照査における実施ケースと照査値
 (②-②断面, ケーソン, 側壁①)

地震動		解析ケース	鉄筋の曲げ引張応力度に対する 照査値		
			①	②	③
S _s -D	(++)		0.20	0.19	0.23
	(-+)		0.21	0.22	0.25
	(+-)		0.25		
	(--)		0.23		
S _s -F1	(++)		0.13		
S _s -F2	(++)		0.17		
S _s -N1	(++)		0.39	0.39	0.39
	(-+)		0.12		
S _s -N2 (NS)	(++)		0.20		
	(-+)		0.17		
S _s -N2 (EW)	(++)		0.21		
	(-+)		0.16		

表 5.2.1-3(6) 鉄筋の曲げ・軸力系の破壊に対する照査における実施ケースと照査値
 (②-②断面, ケーソン, 側壁②)

地震動		解析ケース		鉄筋の曲げ引張応力度に対する 照査値		
				①	②	③
S _s -D	(++)			0.20	0.19	0.23
	(-+)			0.21	0.22	0.25
	(+-)			0.25		
	(--)			0.23		
S _s -F1	(++)			0.13		
S _s -F2	(++)			0.17		
S _s -N1	(++)			0.39	0.39	0.39
	(-+)			0.12		
S _s -N2 (NS)	(++)			0.20		
	(-+)			0.17		
S _s -N2 (EW)	(++)			0.21		
	(-+)			0.16		

表 5.2.1-3(7) 鉄筋の曲げ・軸力系の破壊に対する照査における実施ケースと照査値
 (②-②断面, ケーソン, 隔壁①)

地震動		解析ケース	鉄筋の曲げ引張応力度に対する 照査値		
			①	②	③
S _s -D	(++)		0.24	0.20	0.23
	(-+)		0.22	0.19	0.21
	(+-)		0.19		
	(--)		0.22		
S _s -F1	(++)		0.16		
S _s -F2	(++)		0.16		
S _s -N1	(++)		0.10	0.10	0.10
	(-+)		0.20		
S _s -N2 (NS)	(++)		0.17		
	(-+)		0.17		
S _s -N2 (EW)	(++)		0.24		
	(-+)		0.16		

表 5.2.1-3(8) 鉄筋の曲げ・軸力系の破壊に対する照査における実施ケースと照査値
 (②-②断面, ケーソン, 隔壁②)

地震動		解析ケース	鉄筋の曲げ引張応力度に対する 照査値		
			①	②	③
S _s -D	(++)		0.25	0.22	0.24
	(-+)		0.23	0.24	0.23
	(+-)		0.22		
	(--)		0.23		
S _s -F1	(++)		0.20		
S _s -F2	(++)		0.20		
S _s -N1	(++)		0.21	0.21	0.21
	(-+)		0.26		
S _s -N2 (NS)	(++)		0.21		
	(-+)		0.21		
S _s -N2 (EW)	(++)		0.24		
	(-+)		0.20		

表 5.2.1-3(9) 鉄筋の曲げ・軸力系の破壊に対する照査における実施ケースと照査値
 (②-②断面, ケーソン, 隔壁③)

地震動		解析ケース	鉄筋の曲げ引張応力度に対する 照査値		
			①	②	③
S _s -D	(++)		0.20	0.18	0.22
	(-+)		0.18	0.21	0.18
	(+-)		0.20		
	(--)		0.21		
S _s -F1	(++)		0.20		
S _s -F2	(++)		0.20		
S _s -N1	(++)		0.36	0.36	0.36
	(-+)		0.19		
S _s -N2 (NS)	(++)		0.18		
	(-+)		0.18		
S _s -N2 (EW)	(++)		0.19		
	(-+)		0.18		

表 5.2.1-3(10) 鉄筋の曲げ・軸力系の破壊に対する照査における実施ケースと照査値
 (②-②断面, ケーソン, 隔壁④)

地震動		解析ケース	鉄筋の曲げ引張応力度に対する 照査値		
			①	②	③
S _s -D	(++)		0.07	0.08	0.08
	(-+)		0.09	0.09	0.13
	(+-)		0.12		
	(--)		0.11		
S _s -F1	(++)		0.04		
S _s -F2	(++)		0.06		
S _s -N1	(++)		0.16	0.16	0.16
	(-+)		0.11		
S _s -N2 (NS)	(++)		0.10		
	(-+)		0.06		
S _s -N2 (EW)	(++)		0.09		
	(-+)		0.05		

表 5.2.1-3(11) 鉄筋の曲げ・軸力系の破壊に対する照査における実施ケースと照査値
 (②-②断面, ケーソン, 隔壁⑤)

地震動		解析ケース	鉄筋の曲げ引張応力度に対する 照査値		
			①	②	③
S _s -D	(++)		0.07	0.06	0.07
	(-+)		0.10	0.10	0.12
	(+-)		0.10		
	(--)		0.11		
S _s -F1	(++)		0.04		
S _s -F2	(++)		0.07		
S _s -N1	(++)		0.19	0.19	0.19
	(-+)		0.11		
S _s -N2 (NS)	(++)		0.08		
	(-+)		0.06		
S _s -N2 (EW)	(++)		0.08		
	(-+)		0.05		

表 5.2.1-3(12) 鉄筋の曲げ・軸力系の破壊に対する照査における実施ケースと照査値
 (②-②断面, ケーソン, 隔壁⑥)

地震動		解析ケース	鉄筋の曲げ引張応力度に対する 照査値		
			①	②	③
S _s -D	(++)		0.07	0.08	0.08
	(-+)		0.09	0.09	0.13
	(+-)		0.12		
	(--)		0.11		
S _s -F1	(++)		0.04		
S _s -F2	(++)		0.06		
S _s -N1	(++)		0.16	0.16	0.16
	(-+)		0.11		
S _s -N2 (NS)	(++)		0.10		
	(-+)		0.06		
S _s -N2 (EW)	(++)		0.09		
	(-+)		0.05		

表 5.2.1-3(13) コンクリートの引張応力度に対する照査における実施ケースと照査値
 (③-③断面, 放水路ケーソン, 底版①)

地震動 \ 解析ケース		コンクリートの引張応力度 に対する照査値		
		①	②	③
S _s -D	(++)	0.55		
	(-+)	0.36		
	(+-)	0.40		
	(--)	0.47		
S _s -F1	(++)	0.29		
S _s -F2	(++)	0.35		
S _s -N1	(++)	0.44	0.44	0.44
	(-+)	0.59	0.58	0.58
S _s -N2 (NS)	(++)	0.16		
	(-+)	0.31		
S _s -N2 (EW)	(++)	0.43	0.43	0.43
	(-+)	0.40		

表 5.2.1-3(14) コンクリートの引張応力度に対する照査における実施ケースと照査値
 (③-③断面, 放水路ケーソン, 底版②)

地震動 \ 解析ケース		コンクリートの引張応力度 に対する照査値		
		①	②	③
S _s -D	(++)	0.55		
	(-+)	0.36		
	(+-)	0.40		
	(--)	0.47		
S _s -F1	(++)	0.29		
S _s -F2	(++)	0.35		
S _s -N1	(++)	0.44	0.44	0.44
	(-+)	0.59	0.58	0.58
S _s -N2 (NS)	(++)	0.16		
	(-+)	0.31		
S _s -N2 (EW)	(++)	0.43	0.43	0.43
	(-+)	0.40		

表 5.2.1-3(15) コンクリートの引張応力度に対する照査における実施ケースと照査値
 (③-③断面, 放水路ケーソン, 側壁①)

地震動		解析ケース	コンクリートの引張応力度 に対する照査値		
			①	②	③
S _s -D	(++)		0.47		
	(-+)		0.26		
	(+-)		0.46		
	(--)		0.34		
S _s -F1	(++)		0.19		
S _s -F2	(++)		0.22		
S _s -N1	(++)		0.49	0.49	0.49
	(-+)		0.52	0.52	0.51
S _s -N2 (NS)	(++)		0.09		
	(-+)		0.34		
S _s -N2 (EW)	(++)		0.35	0.31	0.30
	(-+)		0.29		

表 5.2.1-3(16) コンクリートの引張応力度に対する照査における実施ケースと照査値
 (③-③断面, 放水路ケーソン, 側壁②)

地震動		解析ケース	コンクリートの引張応力度 に対する照査値		
			①	②	③
S _s -D	(++)		0.47		
	(-+)		0.26		
	(+-)		0.46		
	(--)		0.34		
S _s -F1	(++)		0.19		
S _s -F2	(++)		0.22		
S _s -N1	(++)		0.49	0.49	0.49
	(-+)		0.52	0.52	0.51
S _s -N2 (NS)	(++)		0.09		
	(-+)		0.34		
S _s -N2 (EW)	(++)		0.35	0.31	0.30
	(-+)		0.29		

表 5.2.1-3(17) コンクリートの引張応力度に対する照査における実施ケースと照査値
 (③-③断面, 放水路ケーソン, 隔壁)

地震動		解析ケース			コンクリートの引張応力度 に対する照査値		
		①	②	③	①	②	③
S _s -D	(++)	0.85*					
	(-+)	0.60					
	(+-)	0.89					
	(--)	0.84					
S _s -F1	(++)	0.45					
S _s -F2	(++)	0.55					
S _s -N1	(++)	0.94	0.94	0.94			
	(-+)	0.95*	0.94*	0.95*			
S _s -N2 (NS)	(++)	0.08					
	(-+)	0.68					
S _s -N2 (EW)	(++)	0.75	0.74	0.73			
	(-+)	0.70					

0.95* : 解析ケース①において, 曲げ・軸力系の破壊に対する
 評価のうち, 照査値 0.5 を超える最も厳しい照査値
 注記* : 応力度の平均化実施後の照査値を示す。

表 5.2.1-3(18) コンクリートの引張応力度に対する照査における実施ケースと照査値
 (③-③断面, 放水路ケーソン, 頂版①)

地震動		解析ケース	コンクリートの引張応力度 に対する照査値		
			①	②	③
S _s -D	(++)		0.61		
	(-+)		0.40		
	(+-)		0.79		
	(--)		0.55		
S _s -F1	(++)		0.30		
S _s -F2	(++)		0.39		
S _s -N1	(++)		0.64	0.65	0.66
	(-+)		0.62	0.61	0.63
S _s -N2 (NS)	(++)		0.34		
	(-+)		0.43		
S _s -N2 (EW)	(++)		0.74	0.73	0.72
	(-+)		0.45		

表 5.2.1-3(19) コンクリートの引張応力度に対する照査における実施ケースと照査値
 (③-③断面, 放水路ケーソン, 頂版②)

地震動		解析ケース	コンクリートの引張応力度 に対する照査値		
			①	②	③
S _s -D	(++)		0.61		
	(-+)		0.40		
	(+-)		0.79		
	(--)		0.55		
S _s -F1	(++)		0.30		
S _s -F2	(++)		0.39		
S _s -N1	(++)		0.64	0.65	0.66
	(-+)		0.62	0.61	0.63
S _s -N2 (NS)	(++)		0.34		
	(-+)		0.43		
S _s -N2 (EW)	(++)		0.74	0.73	0.72
	(-+)		0.45		

表 5.2.1-3(20) 鉄筋の曲げ・軸力系の破壊に対する照査における実施ケースと照査値

(④-④断面, ケーソン, 底版)

地震動 \ 解析ケース		鉄筋の曲げ引張応力度に対する 照査値		
		①	②	③
S _s -D	(++)	0.46		
	(-+)	0.50	0.53	0.51
	(+-)	0.55		
	(--)	0.56		
S _s -F1	(++)	0.40		
S _s -F2	(++)	0.41		
S _s -N1	(++)	0.54		
	(-+)	0.63	0.65	0.65
S _s -N2 (NS)	(++)	0.37		
	(-+)	0.35		
S _s -N2 (EW)	(++)	0.29		
	(-+)	0.30		

0.63 : 解析ケース①において, 曲げ・軸力系の破壊に対する
評価のうち, 照査値 0.5 を超える最も厳しい照査値

表 5.2.1-3(21) 鉄筋の曲げ・軸力系の破壊に対する照査における実施ケースと照査値

(④-④断面, ケーソン, 前壁)

地震動		解析ケース	鉄筋の曲げ引張応力度に対する 照査値		
			①	②	③
S _s -D	(++)		0.26		
	(-+)		0.25	0.26	0.25
	(+-)		0.28		
	(--)		0.31		
S _s -F1	(++)		0.23		
S _s -F2	(++)		0.21		
S _s -N1	(++)		0.16		
	(-+)		0.31	0.32	0.32
S _s -N2 (NS)	(++)		0.20		
	(-+)		0.19		
S _s -N2 (EW)	(++)		0.12		
	(-+)		0.19		

表 5.2.1-3(22) 鉄筋の曲げ・軸力系の破壊に対する照査における実施ケースと照査値

(④-④断面, ケーソン, 後壁)

地震動		解析ケース	鉄筋の曲げ引張応力度に対する 照査値		
			①	②	③
S _s -D	(++)		0.19		
	(-+)		0.23	0.23	0.23
	(+-)		0.21		
	(--)		0.21		
S _s -F1	(++)		0.24		
S _s -F2	(++)		0.18		
S _s -N1	(++)		0.28		
	(-+)		0.24	0.25	0.26
S _s -N2 (NS)	(++)		0.19		
	(-+)		0.16		
S _s -N2 (EW)	(++)		0.18		
	(-+)		0.17		

表 5.2.1-3(23) 鉄筋の曲げ・軸力系の破壊に対する照査における実施ケースと照査値

(④-④断面, ケーソン, 側壁①)

地震動		解析ケース	鉄筋の曲げ引張応力度に対する 照査値		
			①	②	③
S _s -D	(++)		0.17		
	(-+)		0.20	0.20	0.20
	(+-)		0.17		
	(--)		0.16		
S _s -F1	(++)		0.22		
S _s -F2	(++)		0.13		
S _s -N1	(++)		0.14		
	(-+)		0.22	0.23	0.24
S _s -N2 (NS)	(++)		0.16		
	(-+)		0.13		
S _s -N2 (EW)	(++)		0.06		
	(-+)		0.12		

表 5.2.1-3(24) 鉄筋の曲げ・軸力系の破壊に対する照査における実施ケースと照査値

(④-④断面, ケーソン, 側壁②)

地震動		解析ケース	鉄筋の曲げ引張応力度に対する 照査値		
			①	②	③
S _s -D	(++)		0.17		
	(-+)		0.20	0.20	0.20
	(+-)		0.17		
	(--)		0.16		
S _s -F1	(++)		0.22		
S _s -F2	(++)		0.13		
S _s -N1	(++)		0.14		
	(-+)		0.22	0.23	0.24
S _s -N2 (NS)	(++)		0.16		
	(-+)		0.13		
S _s -N2 (EW)	(++)		0.06		
	(-+)		0.12		

表 5.2.1-3(25) 鉄筋の曲げ・軸力系の破壊に対する照査における実施ケースと照査値

(④-④断面, ケーソン, 隔壁①)

地震動		解析ケース	鉄筋の曲げ引張応力度に対する 照査値		
			①	②	③
S _s -D	(++)		0.32		
	(-+)		0.33	0.35	0.33
	(+-)		0.37		
	(--)		0.35		
S _s -F1	(++)		0.25		
S _s -F2	(++)		0.28		
S _s -N1	(++)		0.21		
	(-+)		0.40	0.42	0.41
S _s -N2 (NS)	(++)		0.27		
	(-+)		0.26		
S _s -N2 (EW)	(++)		0.17		
	(-+)		0.21		

表 5.2.1-3(26) 鉄筋の曲げ・軸力系の破壊に対する照査における実施ケースと照査値

(④-④断面, ケーソン, 隔壁②)

地震動		解析ケース	鉄筋の曲げ引張応力度に対する 照査値		
			①	②	③
S _s -D	(++)		0.23		
	(-+)		0.28	0.28	0.28
	(+-)		0.24		
	(--)		0.22		
S _s -F1	(++)		0.18		
S _s -F2	(++)		0.19		
S _s -N1	(++)		0.35		
	(-+)		0.24	0.24	0.23
S _s -N2 (NS)	(++)		0.17		
	(-+)		0.18		
S _s -N2 (EW)	(++)		0.22		
	(-+)		0.21		

表 5.2.1-3(27) 鉄筋の曲げ・軸力系の破壊に対する照査における実施ケースと照査値

(④-④断面, ケーソン, 隔壁③)

地震動		解析ケース	鉄筋の曲げ引張応力度に対する 照査値		
			①	②	③
S _s -D	(++)		0.29		
	(-+)		0.36	0.37	0.37
	(+-)		0.33		
	(--)		0.30		
S _s -F1	(++)		0.17		
S _s -F2	(++)		0.22		
S _s -N1	(++)		0.14		
	(-+)		0.38	0.39	0.39
S _s -N2 (NS)	(++)		0.17		
	(-+)		0.16		
S _s -N2 (EW)	(++)		0.09		
	(-+)		0.13		

表 5.2.1-3(28) 鉄筋の曲げ・軸力系の破壊に対する照査における実施ケースと照査値

(④-④断面, ケーソン, 隔壁④)

地震動		解析ケース	鉄筋の曲げ引張応力度に対する 照査値		
			①	②	③
S _s -D	(++)		0.31		
	(-+)		0.38	0.39	0.38
	(+-)		0.35		
	(--)		0.33		
S _s -F1	(++)		0.19		
S _s -F2	(++)		0.24		
S _s -N1	(++)		0.16		
	(-+)		0.41	0.42	0.42
S _s -N2 (NS)	(++)		0.19		
	(-+)		0.18		
S _s -N2 (EW)	(++)		0.09		
	(-+)		0.14		

表 5.2.1-3(29) 鉄筋の曲げ・軸力系の破壊に対する照査における実施ケースと照査値

(④-④断面, ケーソン, 隔壁⑤)

地震動		解析ケース	鉄筋の曲げ引張応力度に対する 照査値		
			①	②	③
S _s -D	(++)		0.29		
	(-+)		0.36	0.37	0.37
	(+-)		0.33		
	(--)		0.30		
S _s -F1	(++)		0.17		
S _s -F2	(++)		0.22		
S _s -N1	(++)		0.14		
	(-+)		0.38	0.39	0.39
S _s -N2 (NS)	(++)		0.17		
	(-+)		0.16		
S _s -N2 (EW)	(++)		0.09		
	(-+)		0.13		

(2) ケーソンのせん断照査

3次元線形構造解析によるケーソン及び放水路ケーソンの耐震評価として、表5.2.1-4に各部材におけるせん断破壊（面外，面内）に対する照査の実施ケースと照査値を示す。③-③断面のせん断（面内，面外）に対する照査結果については、一部応力の平均化を実施していることから、応力の平均化に関しては、「（参考資料5）発生応力度の平均化について」に示す。

また、3次元線形構造解析による照査の結果、許容限界を満足しない項目については、3次元非線形構造解析による照査結果を示す。

表 5.2.1-4(1) コンクリートのせん断破壊（面外）に対する
照査における実施ケースと照査値
（②-②断面，ケーソン，底版）

地震動 解析ケース		コンクリートのせん断応力度 に対する照査値		
		①	②	③
S _s -D	(++)	0.22	0.17	0.20
	(-+)	0.25	0.21	0.28
	(+-)	0.21		
	(--)	0.21		
S _s -F1	(++)	0.17		
S _s -F2	(++)	0.20		
S _s -N1	(++)	0.43	0.43	0.43
	(-+)	0.26		
S _s -N2 (NS)	(++)	0.17		
	(-+)	0.20		
S _s -N2 (EW)	(++)	0.24		
	(-+)	0.15		

表 5.2.1-4(2) コンクリートのせん断破壊（面外）に対する
照査における実施ケースと照査値

(②-②断面, ケーソン, フーチング)

地震動 \ 解析ケース		コンクリートのせん断応力度 に対する照査値		
		①	②	③
S _s -D	(++)	0.05	0.04	0.06
	(-+)	0.05	0.06	0.28
	(+-)	0.03		
	(--)	0.05		
S _s -F1	(++)	0.08		
S _s -F2	(++)	0.08		
S _s -N1	(++)	0.25	0.25	0.25
	(-+)	0.02		
S _s -N2 (NS)	(++)	0.08		
	(-+)	0.06		
S _s -N2 (EW)	(++)	0.05		
	(-+)	0.06		

表 5.2.1-4(3) コンクリートのせん断破壊（面外）に対する
 照査における実施ケースと照査値
 (②-②断面, ケーソン, 前壁)

地震動 \ 解析ケース		コンクリートのせん断応力度 に対する照査値		
		①	②	③
S _s -D	(++)	0.29	0.26	0.30
	(-+)	0.27	0.16	0.27
	(+-)	0.19		
	(--)	0.28		
S _s -F1	(++)	0.12		
S _s -F2	(++)	0.15		
S _s -N1	(++)	0.04	0.04	0.04
	(-+)	0.16		
S _s -N2 (NS)	(++)	0.11		
	(-+)	0.10		
S _s -N2 (EW)	(++)	0.17		
	(-+)	0.16		

表 5.2.1-4(4) コンクリートのせん断破壊（面外）に対する
 照査における実施ケースと照査値
 (②-②断面, ケーソン, 後壁)

地震動 \ 解析ケース		コンクリートのせん断応力度 に対する照査値		
		①	②	③
S _s -D	(++)	0.20	0.23	0.21
	(-+)	0.27	0.21	0.37
	(+-)	0.31		
	(--)	0.25		
S _s -F1	(++)	0.24		
S _s -F2	(++)	0.10		
S _s -N1	(++)	0.45	0.47	0.45
	(-+)	0.09		
S _s -N2 (NS)	(++)	0.26		
	(-+)	0.17		
S _s -N2 (EW)	(++)	0.25		
	(-+)	0.16		

表 5.2.1-4(5) コンクリートのせん断破壊（面外）に対する
 照査における実施ケースと照査値
 (②-②断面, ケーソン, 側壁①)

地震動 \ 解析ケース		コンクリートのせん断応力度 に対する照査値		
		①	②	③
S _s -D	(++)	0.13	0.11	0.14
	(-+)	0.14	0.13	0.13
	(+-)	0.12		
	(--)	0.13		
S _s -F1	(++)	0.10		
S _s -F2	(++)	0.15		
S _s -N1	(++)	0.24	0.24	0.24
	(-+)	0.13		
S _s -N2 (NS)	(++)	0.10		
	(-+)	0.11		
S _s -N2 (EW)	(++)	0.12		
	(-+)	0.11		

表 5.2.1-4(6) コンクリートのせん断破壊（面外）に対する
 照査における実施ケースと照査値
 (②-②断面, ケーソン, 側壁②)

地震動 \ 解析ケース		コンクリートのせん断応力度 に対する照査値		
		①	②	③
S _s -D	(++)	0.13	0.11	0.14
	(-+)	0.14	0.13	0.13
	(+-)	0.12		
	(--)	0.13		
S _s -F1	(++)	0.10		
S _s -F2	(++)	0.15		
S _s -N1	(++)	0.24	0.24	0.24
	(-+)	0.13		
S _s -N2 (NS)	(++)	0.10		
	(-+)	0.11		
S _s -N2 (EW)	(++)	0.12		
	(-+)	0.11		

表 5.2.1-4(7) コンクリートのせん断破壊（面外）に対する
 照査における実施ケースと照査値
 (②-②断面, ケーソン, 隔壁①)

地震動 \ 解析ケース		コンクリートのせん断応力度 に対する照査値		
		①	②	③
S _s -D	(++)	0.14	0.10	0.12
	(-+)	0.10	0.09	0.09
	(+-)	0.08		
	(--)	0.13		
S _s -F1	(++)	0.08		
S _s -F2	(++)	0.07		
S _s -N1	(++)	0.07	0.07	0.07
	(-+)	0.13		
S _s -N2 (NS)	(++)	0.09		
	(-+)	0.10		
S _s -N2 (EW)	(++)	0.15		
	(-+)	0.07		

表 5.2.1-4(8) コンクリートのせん断破壊（面外）に対する
 照査における実施ケースと照査値
 (②-②断面, ケーソン, 隔壁②)

地震動 \ 解析ケース		コンクリートのせん断応力度 に対する照査値		
		①	②	③
S _s -D	(++)	0.12	0.11	0.13
	(-+)	0.18	0.14	0.16
	(+-)	0.14		
	(--)	0.14		
S _s -F1	(++)	0.11		
S _s -F2	(++)	0.11		
S _s -N1	(++)	0.17	0.18	0.17
	(-+)	0.16		
S _s -N2 (NS)	(++)	0.11		
	(-+)	0.11		
S _s -N2 (EW)	(++)	0.11		
	(-+)	0.11		

表 5.2.1-4(9) コンクリートのせん断破壊（面外）に対する
 照査における実施ケースと照査値
 (②-②断面, ケーソン, 隔壁③)

地震動 \ 解析ケース		コンクリートのせん断応力度 に対する照査値		
		①	②	③
S _s -D	(++)	0.10	0.10	0.11
	(-+)	0.11	0.11	0.11
	(+-)	0.12		
	(--)	0.12		
S _s -F1	(++)	0.08		
S _s -F2	(++)	0.08		
S _s -N1	(++)	0.10	0.10	0.10
	(-+)	0.10		
S _s -N2 (NS)	(++)	0.10		
	(-+)	0.08		
S _s -N2 (EW)	(++)	0.10		
	(-+)	0.08		

表 5.2.1-4(10) コンクリートのせん断破壊（面外）に対する
 照査における実施ケースと照査値
 (②-②断面, ケーソン, 隔壁④)

地震動 \ 解析ケース		コンクリートのせん断応力度 に対する照査値		
		①	②	③
S _s -D	(++)	0.04	0.04	0.05
	(-+)	0.04	0.05	0.04
	(+-)	0.04		
	(--)	0.04		
S _s -F1	(++)	0.04		
S _s -F2	(++)	0.05		
S _s -N1	(++)	0.08	0.08	0.08
	(-+)	0.04		
S _s -N2 (NS)	(++)	0.03		
	(-+)	0.04		
S _s -N2 (EW)	(++)	0.04		
	(-+)	0.04		

表 5.2.1-4(11) コンクリートのせん断破壊（面外）に対する
 照査における実施ケースと照査値
 (②-②断面, ケーソン, 隔壁⑤)

地震動 \ 解析ケース		コンクリートのせん断応力度 に対する照査値		
		①	②	③
S _s -D	(++)	0.01	0.01	0.01
	(-+)	0.01	0.01	0.01
	(+-)	0.01		
	(--)	0.01		
S _s -F1	(++)	0.01		
S _s -F2	(++)	0.01		
S _s -N1	(++)	0.00	0.00	0.00
	(-+)	0.01		
S _s -N2 (NS)	(++)	0.01		
	(-+)	0.01		
S _s -N2 (EW)	(++)	0.01		
	(-+)	0.00		

表 5.2.1-4(12) コンクリートのせん断破壊（面外）に対する
 照査における実施ケースと照査値
 (②-②断面, ケーソン, 隔壁⑥)

地震動 \ 解析ケース		コンクリートのせん断応力度 に対する照査値		
		①	②	③
S _s -D	(++)	0.04	0.04	0.05
	(-+)	0.04	0.05	0.04
	(+-)	0.04		
	(--)	0.04		
S _s -F1	(++)	0.04		
S _s -F2	(++)	0.05		
S _s -N1	(++)	0.08	0.08	0.08
	(-+)	0.04		
S _s -N2 (NS)	(++)	0.03		
	(-+)	0.04		
S _s -N2 (EW)	(++)	0.04		
	(-+)	0.04		

表 5.2.1-4(13) コンクリートのせん断破壊（面内）に対する
 照査における実施ケースと照査値
 (②-②断面, ケーソン, 底版)

地震動 \ 解析ケース		コンクリートのせん断応力度 に対する照査値		
		①	②	③
S _s -D	(++)	0.28	0.24	0.27
	(-+)	0.24	0.27	0.25
	(+-)	0.27		
	(--)	0.27		
S _s -F1	(++)	0.23		
S _s -F2	(++)	0.22		
S _s -N1	(++)	0.24	0.25	0.25
	(-+)	0.33		
S _s -N2 (NS)	(++)	0.23		
	(-+)	0.25		
S _s -N2 (EW)	(++)	0.28		
	(-+)	0.22		

表 5.2.1-4(14) コンクリートのせん断破壊（面内）に対する
照査における実施ケースと照査値

（②-②断面，ケーソン，フーチング）

地震動 \ 解析ケース		コンクリートのせん断応力度 に対する照査値		
		①	②	③
S _s -D	(++)	0.12	0.11	0.14
	(-+)	0.10	0.14	0.11
	(+-)	0.12		
	(--)	0.13		
S _s -F1	(++)	0.12		
S _s -F2	(++)	0.14		
S _s -N1	(++)	0.22	0.22	0.21
	(-+)	0.03		
S _s -N2 (NS)	(++)	0.10		
	(-+)	0.11		
S _s -N2 (EW)	(++)	0.11		
	(-+)	0.11		

表 5.2.1-4(15) コンクリートのせん断破壊（面内）に対する
 照査における実施ケースと照査値
 (②-②断面, ケーソン, 前壁)

地震動 \ 解析ケース		コンクリートのせん断応力度 に対する照査値		
		①	②	③
S _s -D	(++)	0.11	0.09	0.10
	(-+)	0.11	0.09	0.10
	(+-)	0.09		
	(--)	0.10		
S _s -F1	(++)	0.08		
S _s -F2	(++)	0.08		
S _s -N1	(++)	0.07	0.07	0.07
	(-+)	0.09		
S _s -N2 (NS)	(++)	0.08		
	(-+)	0.08		
S _s -N2 (EW)	(++)	0.11		
	(-+)	0.08		

表 5.2.1-4(16) コンクリートのせん断破壊（面内）に対する
 照査における実施ケースと照査値
 (②-②断面, ケーソン, 後壁)

地震動 \ 解析ケース		コンクリートのせん断応力度 に対する照査値		
		①	②	③
S _s -D	(++)	0.19	0.17	0.21
	(-+)	0.17	0.21	0.17
	(+-)	0.19		
	(--)	0.21		
S _s -F1	(++)	0.19		
S _s -F2	(++)	0.21		
S _s -N1	(++)	0.30	0.30	0.30
	(-+)	0.07		
S _s -N2 (NS)	(++)	0.16		
	(-+)	0.17		
S _s -N2 (EW)	(++)	0.17		
	(-+)	0.17		

表 5.2.1-4(17) コンクリートのせん断破壊（面内）に対する
 照査における実施ケースと照査値
 (②-②断面, ケーソン, 側壁①)

地震動 \ 解析ケース		コンクリートのせん断応力度 に対する照査値		
		①	②	③
S _s -D	(++)	0.48	0.39	0.44
	(-+)	0.43	0.41	0.41
	(+-)	0.40		
	(--)	0.44		
S _s -F1	(++)	0.35		
S _s -F2	(++)	0.34		
S _s -N1	(++)	0.38	0.38	0.37
	(-+)	0.48		
S _s -N2 (NS)	(++)	0.36		
	(-+)	0.38		
S _s -N2 (EW)	(++)	0.46		
	(-+)	0.34		

表 5.2.1-4(18) コンクリートのせん断破壊（面内）に対する
 照査における実施ケースと照査値
 (②-②断面, ケーソン, 側壁②)

地震動 \ 解析ケース		コンクリートのせん断応力度 に対する照査値		
		①	②	③
S _s -D	(++)	0.48	0.39	0.44
	(-+)	0.43	0.41	0.41
	(+-)	0.40		
	(--)	0.44		
S _s -F1	(++)	0.35		
S _s -F2	(++)	0.34		
S _s -N1	(++)	0.38	0.38	0.37
	(-+)	0.48		
S _s -N2 (NS)	(++)	0.36		
	(-+)	0.38		
S _s -N2 (EW)	(++)	0.46		
	(-+)	0.34		

表 5.2.1-4(19) コンクリートのせん断破壊（面内）に対する
 照査における実施ケースと照査値
 (②-②断面, ケーソン, 隔壁①)

地震動 \ 解析ケース		コンクリートのせん断応力度 に対する照査値		
		①	②	③
S _s -D	(++)	0.15	0.13	0.15
	(-+)	0.17	0.15	0.16
	(+-)	0.15		
	(--)	0.14		
S _s -F1	(++)	0.12		
S _s -F2	(++)	0.13		
S _s -N1	(++)	0.11	0.11	0.11
	(-+)	0.16		
S _s -N2 (NS)	(++)	0.12		
	(-+)	0.13		
S _s -N2 (EW)	(++)	0.15		
	(-+)	0.12		

表 5.2.1-4(20) コンクリートのせん断破壊（面内）に対する
 照査における実施ケースと照査値
 (②-②断面, ケーソン, 隔壁②)

地震動 \ 解析ケース		コンクリートのせん断応力度 に対する照査値		
		①	②	③
S _s -D	(++)	0.18	0.16	0.18
	(-+)	0.18	0.18	0.18
	(+-)	0.18		
	(--)	0.19		
S _s -F1	(++)	0.16		
S _s -F2	(++)	0.16		
S _s -N1	(++)	0.19	0.19	0.19
	(-+)	0.20		
S _s -N2 (NS)	(++)	0.16		
	(-+)	0.16		
S _s -N2 (EW)	(++)	0.17		
	(-+)	0.15		

表 5.2.1-4(21) コンクリートのせん断破壊（面内）に対する
 照査における実施ケースと照査値
 (②-②断面, ケーソン, 隔壁③)

地震動 \ 解析ケース		コンクリートのせん断応力度 に対する照査値		
		①	②	③
S _s -D	(++)	0.18	0.16	0.20
	(-+)	0.17	0.19	0.17
	(+-)	0.18		
	(--)	0.20		
S _s -F1	(++)	0.18		
S _s -F2	(++)	0.18		
S _s -N1	(++)	0.27	0.27	0.27
	(-+)	0.17		
S _s -N2 (NS)	(++)	0.16		
	(-+)	0.17		
S _s -N2 (EW)	(++)	0.16		
	(-+)	0.16		

表 5.2.1-4(22) コンクリートのせん断破壊（面内）に対する
 照査における実施ケースと照査値
 (②-②断面, ケーソン, 隔壁④)

地震動 \ 解析ケース		コンクリートのせん断応力度 に対する照査値		
		①	②	③
S _s -D	(++)	0.52	0.42	0.48
	(-+)	0.46	0.45	0.42
	(+-)	0.43		
	(--)	0.48		
S _s -F1	(++)	0.38		
S _s -F2	(++)	0.38		
S _s -N1	(++)	0.36	0.36	0.36
	(-+)	0.51		
S _s -N2 (NS)	(++)	0.39		
	(-+)	0.42		
S _s -N2 (EW)	(++)	0.52		
	(-+)	0.37		

表 5.2.1-4(23) コンクリートのせん断破壊（面内）に対する
 照査における実施ケースと照査値
 (②-②断面, ケーソン, 隔壁⑤)

地震動 \ 解析ケース		コンクリートのせん断応力度 に対する照査値		
		①	②	③
S _s -D	(++)	0.53	0.43	0.49
	(-+)	0.47	0.45	0.43
	(+-)	0.43		
	(--)	0.49		
S _s -F1	(++)	0.38		
S _s -F2	(++)	0.39		
S _s -N1	(++)	0.36	0.37	0.36
	(-+)	0.52		
S _s -N2 (NS)	(++)	0.40		
	(-+)	0.42		
S _s -N2 (EW)	(++)	0.52		
	(-+)	0.38		

0.53 : 解析ケース①において, せん断破壊に対する評価のうち, 照査値 0.5 を超える最も厳しい照査値

表 5.2.1-4(24) コンクリートのせん断破壊（面内）に対する
 照査における実施ケースと照査値
 (②-②断面, ケーソン, 隔壁⑥)

地震動 \ 解析ケース		コンクリートのせん断応力度 に対する照査値		
		①	②	③
S _s -D	(++)	0.52	0.42	0.48
	(-+)	0.46	0.45	0.42
	(+-)	0.43		
	(--)	0.48		
S _s -F1	(++)	0.38		
S _s -F2	(++)	0.38		
S _s -N1	(++)	0.36	0.36	0.36
	(-+)	0.51		
S _s -N2 (NS)	(++)	0.39		
	(-+)	0.42		
S _s -N2 (EW)	(++)	0.52		
	(-+)	0.37		

表 5.2.1-4(25) コンクリートのせん断破壊（面外）に対する
照査における実施ケースと照査値

（③-③断面，放水路ケーソン，底版①）

地震動 解析ケース		コンクリートのせん断 応力度 に対する照査値		
		①	②	③
S _s -D	(++)	0.99 ^{*1}		
	(-+)	0.63 ^{*1}		
	(+-)	0.85 ^{*1}		
	(--)	0.77 ^{*1}		
S _s -F 1	(++)	0.45 ^{*1}		
S _s -F 2	(++)	0.63 ^{*1}		
S _s -N1	(++)	0.95 ^{*1}	0.95 ^{*1}	0.95 ^{*1}
	(-+)	1.05 ^{*1} 【0.63】 ^{*2}	1.02 ^{*1} 【0.62】 ^{*2}	1.07 ^{*1} 【0.65】 ^{*2}
S _s -N 2 (NS)	(++)	0.51 ^{*1}		
	(-+)	0.54 ^{*1}		
S _s -N 2 (EW)	(++)	0.77 ^{*1}	0.76 ^{*1}	0.74 ^{*1}
	(-+)	0.63 ^{*1}		

 ：解析ケース①において，せん断破壊に対する評価のうち，照査値 0.5 を超える最も厳しい照査値

注記*1：応力度の平均化実施後の照査値を示す。

*2：括弧内【 】は「RC規準（1999年）」に基づき，短期許容せん断応力度 1.11 (N/mm²) を許容値とした場合の照査値を示す。

表 5.2.1-4(26) コンクリートのせん断破壊（面外）に対する
照査における実施ケースと照査値

(③-③断面，放水路ケーソン，底版②)

地震動 解析ケース		コンクリートのせん断応力度 に対する照査値		
		①	②	③
S _s -D	(++)	0.99 ^{*1}		
	(-+)	0.63 ^{*1}		
	(+-)	0.85 ^{*1}		
	(--)	0.77 ^{*1}		
S _s -F1	(++)	0.45 ^{*1}		
S _s -F2	(++)	0.63 ^{*1}		
S _s -N1	(++)	0.95 ^{*1}	0.95 ^{*1}	0.95 ^{*1}
	(-+)	1.05 ^{*1} 【0.63】 ^{*2}	1.02 ^{*1} 【0.62】 ^{*2}	1.07 ^{*1} 【0.65】 ^{*2}
S _s -N2 (NS)	(++)	0.51 ^{*1}		
	(-+)	0.54 ^{*1}		
S _s -N2 (EW)	(++)	0.77 ^{*1}	0.76 ^{*1}	0.74 ^{*1}
	(-+)	0.63 ^{*1}		

注記*1：応力度の平均化実施後の照査値を示す。

*2：括弧内【 】は「RC規準（1999年）」に基づき，短期許容せん断応力度 1.11 (N/mm²) を許容値とした場合の照査値を示す。

表 5.2.1-4(27) コンクリートのせん断破壊（面外）に対する
照査における実施ケースと照査値

(③-③断面，放水路ケーソン，側壁①)

地震動 解析ケース		コンクリートのせん断応力度 に対する照査値		
		①	②	③
S _s -D	(++)	0.18*		
	(-+)	0.75		
	(+-)	0.22*		
	(--)	0.15*		
S _s -F1	(++)	0.55		
S _s -F2	(++)	0.76		
S _s -N1	(++)	0.18*	0.18*	0.18*
	(-+)	0.17*	0.17*	0.16*
S _s -N2 (NS)	(++)	0.48		
	(-+)	0.83		
S _s -N2 (EW)	(++)	0.20*	0.20*	0.20*
	(-+)	0.93		

注記*：応力度の平均化実施後の照査値を示す。

表 5.2.1-4(28) コンクリートのせん断破壊（面外）に対する
照査における実施ケースと照査値

(③-③断面，放水路ケーソン，側壁②)

地震動		コンクリートのせん断 応力度 に対する照査値		
		①	②	③
S _s -D	(++)	0.18*		
	(-+)	0.75		
	(+-)	0.22*		
	(--)	0.15*		
S _s -F1	(++)	0.55		
S _s -F2	(++)	0.76		
S _s -N1	(++)	0.18*	0.18*	0.18*
	(-+)	0.17*	0.17*	0.16*
S _s -N2 (NS)	(++)	0.48		
	(-+)	0.83		
S _s -N2 (EW)	(++)	0.20*	0.20*	0.20*
	(-+)	0.93		

注記*：応力度の平均化実施後の照査値を示す。

表 5.2.1-4(29) コンクリートのせん断破壊（面外）に対する
照査における実施ケースと照査値

（③-③断面，放水路ケーソン，隔壁）

地震動		コンクリートのせん断 応力度 に対する照査値		
		①	②	③
S _s -D	(++)	0.00*		
	(-+)	0.00*		
	(+-)	0.00*		
	(--)	0.00*		
S _s -F1	(++)	0.96		
S _s -F2	(++)	0.00*		
S _s -N1	(++)	0.00*	0.00*	0.00*
	(-+)	0.00*	0.00*	0.00*
S _s -N2 (NS)	(++)	0.00*		
	(-+)	0.00*		
S _s -N2 (EW)	(++)	0.00*	0.00*	0.00*
	(-+)	0.00*		

注記*：応力度の平均化実施後の照査値を示す。

表 5.2.1-4(30) コンクリートのせん断破壊（面外）に対する
照査における実施ケースと照査値

（③-③断面，放水路ケーソン，頂版①）

地震動 解析ケース		コンクリートのせん断応力度 に対する照査値		
		①	②	③
S _s -D	(++)	0.35*		
	(-+)	0.09*		
	(+-)	0.66*		
	(--)	0.47*		
S _s -F1	(++)	0.91		
S _s -F2	(++)	0.09*		
S _s -N1	(++)	0.56*	0.56*	0.56*
	(-+)	0.35*	0.35*	0.35*
S _s -N2 (NS)	(++)	0.84		
	(-+)	0.10*		
S _s -N2 (EW)	(++)	0.61*	0.60*	0.59*
	(-+)	0.40*		

注記*：応力度の平均化実施後の照査値を示す。

表 5.2.1-4(31) コンクリートのせん断破壊（面外）に対する
照査における実施ケースと照査値

（③-③断面，放水路ケーソン，頂版②）

地震動 解析ケース		コンクリートのせん断 応力度 に対する照査値		
		①	②	③
S _s -D	(++)	0.35*		
	(-+)	0.09*		
	(+-)	0.66*		
	(--)	0.47*		
S _s -F1	(++)	0.91		
S _s -F2	(++)	0.09*		
S _s -N1	(++)	0.56*	0.56*	0.56*
	(-+)	0.35*	0.35*	0.35*
S _s -N2 (NS)	(++)	0.84		
	(-+)	0.10*		
S _s -N2 (EW)	(++)	0.61*	0.60*	0.59*
	(-+)	0.40*		

注記*：応力度の平均化実施後の照査値を示す。

表 5.2.1-4(32) コンクリートのせん断破壊（面内）に対する
照査における実施ケースと照査値

（③-③断面，放水路ケーソン，底版①）

地震動		コンクリートのせん断応力度 に対する照査値		
		①	②	③
S _s -D	(++)	0.52		
	(-+)	0.34		
	(+-)	0.44		
	(--)	0.40		
S _s -F1	(++)	0.26		
S _s -F2	(++)	0.35		
S _s -N1	(++)	0.53	0.53	0.53
	(-+)	0.53	0.52	0.54
S _s -N2 (NS)	(++)	0.28		
	(-+)	0.27		
S _s -N2 (EW)	(++)	0.40	0.40	0.39
	(-+)	0.34		

表 5.2.1-4(33) コンクリートのせん断破壊（面内）に対する
照査における実施ケースと照査値

（③-③断面，放水路ケーソン，底版②）

地震動		コンクリートのせん断応力度 に対する照査値		
		①	②	③
S _s -D	(++)	0.52		
	(-+)	0.34		
	(+-)	0.44		
	(--)	0.40		
S _s -F1	(++)	0.26		
S _s -F2	(++)	0.35		
S _s -N1	(++)	0.53	0.53	0.53
	(-+)	0.53	0.52	0.54
S _s -N2 (NS)	(++)	0.28		
	(-+)	0.27		
S _s -N2 (EW)	(++)	0.40	0.40	0.39
	(-+)	0.34		

表 5.2.1-4(34) コンクリートのせん断破壊（面内）に対する
照査における実施ケースと照査値

（③-③断面，放水路ケーソン，側壁①）

地震動 解析ケース		コンクリートのせん断 応力度 に対する照査値		
		①	②	③
S _s -D	(++)	0.66*		
	(-+)	0.68		
	(+-)	0.77		
	(--)	0.87		
S _s -F1	(++)	0.50		
S _s -F2	(++)	0.67		
S _s -N1	(++)	0.91	0.92	0.91
	(-+)	0.72*	0.69*	0.75*
S _s -N2 (NS)	(++)	0.50		
	(-+)	0.45		
S _s -N2 (EW)	(++)	0.89	0.88	0.88
	(-+)	0.72		

注記*：応力度の平均化実施後の照査値を示す。

表 5.2.1-4(35) コンクリートのせん断破壊（面内）に対する
照査における実施ケースと照査値

（③-③断面，放水路ケーソン，側壁②）

地震動 解析ケース		コンクリートのせん断応力度 に対する照査値		
		①	②	③
S _s -D	(++)	0.66*		
	(-+)	0.68		
	(+-)	0.77		
	(--)	0.87		
S _s -F1	(++)	0.50		
S _s -F2	(++)	0.67		
S _s -N1	(++)	0.91	0.92	0.91
	(-+)	0.72*	0.69*	0.75*
S _s -N2 (NS)	(++)	0.50		
	(-+)	0.45		
S _s -N2 (EW)	(++)	0.89	0.88	0.88
	(-+)	0.72		

注記*：応力度の平均化実施後の照査値を示す。

表 5.2.1-4(36) コンクリートのせん断破壊（面内）に対する
照査における実施ケースと照査値

（③-③断面，放水路ケーソン，隔壁）

地震動 解析ケース		コンクリートのせん断応力度 に対する照査値		
		①	②	③
S _s -D	(++)	1.09* ^{1, 2}		
	(-+)	0.76		
	(+-)	0.79		
	(--)	0.95		
S _s -F 1	(++)	0.56		
S _s -F 2	(++)	0.73		
S _s -N 1	(++)	0.91	0.92	0.91
	(-+)	1.18* ^{1, 2}	1.13* ^{1, 2}	1.22* ^{1, 2}
S _s -N 2 (NS)	(++)	0.57		
	(-+)	0.44		
S _s -N 2 (EW)	(++)	0.95	0.94	0.94
	(-+)	0.79		

 : 解析ケース①において，せん断破壊に対する評価のうち，照査値 0.5 を超える最も厳しい照査値

注記*1：応力度の平均化実施後の照査値を示す。

*2：照査値が 1.0 を上回る解析ケースについては，3次元非線形構造解析による照査を実施する。

表 5.2.1-4(37) コンクリートのせん断破壊（面内）に対する
照査における実施ケースと照査値

（③-③断面，放水路ケーソン，頂版①）

地震動		コンクリートのせん断応力度 に対する照査値		
		①	②	③
S _s -D	(++)	0.29		
	(-+)	0.24		
	(+-)	0.38		
	(--)	0.32		
S _s -F1	(++)	0.17		
S _s -F2	(++)	0.27		
S _s -N1	(++)	0.38	0.37	0.36
	(-+)	0.30	0.29	0.31
S _s -N2 (NS)	(++)	0.18		
	(-+)	0.21		
S _s -N2 (EW)	(++)	0.37	0.36	0.36
	(-+)	0.28		

表 5.2.1-4(38) コンクリートのせん断破壊（面内）に対する
照査における実施ケースと照査値

（③-③断面，放水路ケーソン，頂版②）

地震動		コンクリートのせん断応力度 に対する照査値		
		①	②	③
S _s -D	(++)	0.29		
	(-+)	0.24		
	(+-)	0.38		
	(--)	0.32		
S _s -F1	(++)	0.17		
S _s -F2	(++)	0.27		
S _s -N1	(++)	0.38	0.37	0.36
	(-+)	0.30	0.29	0.31
S _s -N2 (NS)	(++)	0.18		
	(-+)	0.21		
S _s -N2 (EW)	(++)	0.37	0.36	0.36
	(-+)	0.28		

表 5.2.1-4(39) コンクリートのせん断破壊（面外）に対する
照査における実施ケースと照査値
（④-④断面，ケーソン，底版）

地震動 \ 解析ケース		コンクリートのせん断応力度 に対する照査値		
		①	②	③
S _s -D	(++)	0.52		
	(-+)	0.61	0.65	0.62
	(+-)	0.61		
	(--)	0.54		
S _s -F1	(++)	0.37		
S _s -F2	(++)	0.43		
S _s -N1	(++)	0.55		
	(-+)	0.64	0.69	0.67
S _s -N2 (NS)	(++)	0.43		
	(-+)	0.37		
S _s -N2 (EW)	(++)	0.29		
	(-+)	0.28		

0.64 : 解析ケース①において，せん断破壊に対する評価のうち，照査値 0.5 を超える最も厳しい照査値

表 5.2.1-4(40) コンクリートのせん断破壊（面外）に対する
照査における実施ケースと照査値
（④-④断面，ケーソン，前壁）

地震動		コンクリートのせん断応力度 に対する照査値		
		①	②	③
S _s -D	(++)	0.41		
	(-+)	0.18	0.19	0.19
	(+-)	0.25		
	(--)	0.55		
S _s -F1	(++)	0.44		
S _s -F2	(++)	0.22		
S _s -N1	(++)	0.08		
	(-+)	0.34	0.32	0.33
S _s -N2 (NS)	(++)	0.16		
	(-+)	0.16		
S _s -N2 (EW)	(++)	0.08		
	(-+)	0.41		

表 5.2.1-4(41) コンクリートのせん断破壊（面外）に対する
照査における実施ケースと照査値
（④-④断面，ケーソン，後壁）

地震動		コンクリートのせん断応力度 に対する照査値		
		①	②	③
S _s -D	(++)	0.12		
	(-+)	0.10	0.10	0.10
	(+-)	0.16		
	(--)	0.14		
S _s -F1	(++)	0.10		
S _s -F2	(++)	0.11		
S _s -N1	(++)	0.15		
	(-+)	0.16	0.16	0.16
S _s -N2 (NS)	(++)	0.10		
	(-+)	0.12		
S _s -N2 (EW)	(++)	0.15		
	(-+)	0.14		

表 5.2.1-4(42) コンクリートのせん断破壊（面外）に対する
 照査における実施ケースと照査値
 (④-④断面, ケーソン, 側壁①)

地震動 \ 解析ケース		コンクリートのせん断応力度 に対する照査値		
		①	②	③
S _s -D	(++)	0.22		
	(-+)	0.25	0.26	0.26
	(+-)	0.27		
	(--)	0.24		
S _s -F1	(++)	0.17		
S _s -F2	(++)	0.20		
S _s -N1	(++)	0.21		
	(-+)	0.29	0.31	0.30
S _s -N2 (NS)	(++)	0.18		
	(-+)	0.17		
S _s -N2 (EW)	(++)	0.11		
	(-+)	0.14		

表 5.2.1-4(43) コンクリートのせん断破壊（面外）に対する
照査における実施ケースと照査値
（④-④断面，ケーソン，側壁②）

地震動		コンクリートのせん断応力度 に対する照査値		
		①	②	③
S _s -D	(++)	0.22		
	(-+)	0.25	0.26	0.26
	(+-)	0.27		
	(--)	0.24		
S _s -F1	(++)	0.17		
S _s -F2	(++)	0.20		
S _s -N1	(++)	0.21		
	(-+)	0.29	0.31	0.30
S _s -N2 (NS)	(++)	0.18		
	(-+)	0.17		
S _s -N2 (EW)	(++)	0.11		
	(-+)	0.14		

表 5.2.1-4(44) コンクリートのせん断破壊（面外）に対する
照査における実施ケースと照査値
（④-④断面，ケーソン，隔壁①）

地震動 \ 解析ケース		コンクリートのせん断応力度 に対する照査値		
		①	②	③
S _s -D	(++)	0.26		
	(-+)	0.31	0.33	0.31
	(+-)	0.32		
	(--)	0.25		
S _s -F1	(++)	0.18		
S _s -F2	(++)	0.24		
S _s -N1	(++)	0.20		
	(-+)	0.33	0.35	0.34
S _s -N2 (NS)	(++)	0.20		
	(-+)	0.20		
S _s -N2 (EW)	(++)	0.14		
	(-+)	0.14		

表 5.2.1-4(45) コンクリートのせん断破壊（面外）に対する
照査における実施ケースと照査値
（④-④断面，ケーソン，隔壁②）

地震動 \ 解析ケース		コンクリートのせん断応力度 に対する照査値		
		①	②	③
S _s -D	(++)	0.21		
	(-+)	0.23	0.22	0.23
	(+-)	0.17		
	(--)	0.17		
S _s -F1	(++)	0.15		
S _s -F2	(++)	0.16		
S _s -N1	(++)	0.15		
	(-+)	0.19	0.20	0.20
S _s -N2 (NS)	(++)	0.12		
	(-+)	0.13		
S _s -N2 (EW)	(++)	0.13		
	(-+)	0.10		

表 5.2.1-4(46) コンクリートのせん断破壊（面外）に対する
 照査における実施ケースと照査値
 (④-④断面, ケーソン, 隔壁③)

地震動 \ 解析ケース		コンクリートのせん断応力度 に対する照査値		
		①	②	③
S _s -D	(++)	0.07		
	(-+)	0.07	0.07	0.07
	(+-)	0.08		
	(--)	0.09		
S _s -F1	(++)	0.06		
S _s -F2	(++)	0.06		
S _s -N1	(++)	0.09		
	(-+)	0.09	0.09	0.09
S _s -N2 (NS)	(++)	0.06		
	(-+)	0.05		
S _s -N2 (EW)	(++)	0.06		
	(-+)	0.05		

表 5.2.1-4(47) コンクリートのせん断破壊（面外）に対する
照査における実施ケースと照査値
（④-④断面，ケーソン，隔壁④）

地震動 \ 解析ケース		コンクリートのせん断応力度 に対する照査値		
		①	②	③
S _s -D	(++)	0.00		
	(-+)	0.01	0.01	0.01
	(+-)	0.01		
	(--)	0.01		
S _s -F1	(++)	0.00		
S _s -F2	(++)	0.01		
S _s -N1	(++)	0.01		
	(-+)	0.01	0.01	0.01
S _s -N2 (NS)	(++)	0.01		
	(-+)	0.01		
S _s -N2 (EW)	(++)	0.01		
	(-+)	0.00		

表 5.2.1-4(48) コンクリートのせん断破壊（面外）に対する
照査における実施ケースと照査値
（④-④断面，ケーソン，隔壁⑤）

地震動		解析ケース			コンクリートのせん断応力度 に対する照査値		
		①	②	③			
S _s -D	(++)	0.07					
	(-+)	0.07	0.07	0.07			
	(+-)	0.08					
	(--)	0.09					
S _s -F1	(++)	0.06					
S _s -F2	(++)	0.06					
S _s -N1	(++)	0.09					
	(-+)	0.09	0.09	0.09			
S _s -N2 (NS)	(++)	0.06					
	(-+)	0.05					
S _s -N2 (EW)	(++)	0.06					
	(-+)	0.05					

表 5.2.1-4(49) コンクリートのせん断破壊（面内）に対する
照査における実施ケースと照査値
（④-④断面，ケーソン，底版）

地震動		解析ケース			コンクリートのせん断応力度 に対する照査値		
		①	②	③			
S _s -D	(++)	0.41					
	(-+)	0.49	0.53	0.50			
	(+-)	0.52					
	(--)	0.37					
S _s -F1	(++)	0.28					
S _s -F2	(++)	0.37					
S _s -N1	(++)	0.26					
	(-+)	0.50	0.55	0.53			
S _s -N2 (NS)	(++)	0.41					
	(-+)	0.39					
S _s -N2 (EW)	(++)	0.24					
	(-+)	0.21					

表 5.2.1-4(50) コンクリートのせん断破壊（面内）に対する
照査における実施ケースと照査値
（④-④断面，ケーソン，前壁）

地震動		解析ケース			コンクリートのせん断応力度 に対する照査値		
			①	②	③		
S _s -D	(++)	0.21					
	(-+)	0.22	0.23	0.22			
	(+-)	0.24					
	(--)	0.25					
S _s -F1	(++)	0.20					
S _s -F2	(++)	0.19					
S _s -N1	(++)	0.12					
	(-+)	0.26	0.26	0.26			
S _s -N2 (NS)	(++)	0.18					
	(-+)	0.17					
S _s -N2 (EW)	(++)	0.09					
	(-+)	0.17					

表 5.2.1-4(51) コンクリートのせん断破壊（面内）に対する
照査における実施ケースと照査値
（④-④断面，ケーソン，後壁）

地震動		コンクリートのせん断応力度 に対する照査値		
		①	②	③
S _s -D	(++)	0.10		
	(-+)	0.21	0.21	0.21
	(+-)	0.16		
	(--)	0.11		
S _s -F1	(++)	0.08		
S _s -F2	(++)	0.07		
S _s -N1	(++)	0.25		
	(-+)	0.15	0.16	0.16
S _s -N2 (NS)	(++)	0.09		
	(-+)	0.11		
S _s -N2 (EW)	(++)	0.16		
	(-+)	0.14		

表 5.2.1-4(52) コンクリートのせん断破壊（面内）に対する
照査における実施ケースと照査値
（④-④断面，ケーソン，側壁①）

地震動		解析ケース			コンクリートのせん断応力度 に対する照査値		
		①	②	③			
S _s -D	(++)	0.53					
	(-+)	0.60	0.64	0.61			
	(+-)	0.62					
	(--)	0.54					
S _s -F1	(++)	0.43					
S _s -F2	(++)	0.49					
S _s -N1	(++)	0.37					
	(-+)	0.62	0.66	0.64			
S _s -N2 (NS)	(++)	0.49					
	(-+)	0.48					
S _s -N2 (EW)	(++)	0.33					
	(-+)	0.36					

表 5.2.1-4(53) コンクリートのせん断破壊（面内）に対する
照査における実施ケースと照査値
（④-④断面，ケーソン，側壁②）

地震動		解析ケース			コンクリートのせん断応力度 に対する照査値		
			①	②	③		
S _s -D	(++)	0.53					
	(-+)	0.60	0.64	0.61			
	(+-)	0.62					
	(--)	0.54					
S _s -F1	(++)	0.43					
S _s -F2	(++)	0.49					
S _s -N1	(++)	0.37					
	(-+)	0.62	0.66	0.64			
S _s -N2 (NS)	(++)	0.49					
	(-+)	0.48					
S _s -N2 (EW)	(++)	0.33					
	(-+)	0.36					

表 5.2.1-4(54) コンクリートのせん断破壊（面内）に対する
照査における実施ケースと照査値
（④-④断面，ケーソン，隔壁①）

地震動 \ 解析ケース		コンクリートのせん断応力度 に対する照査値		
		①	②	③
S _s -D	(++)	0.28		
	(-+)	0.29	0.30	0.29
	(+-)	0.31		
	(--)	0.31		
S _s -F1	(++)	0.23		
S _s -F2	(++)	0.25		
S _s -N1	(++)	0.22		
	(-+)	0.33	0.34	0.34
S _s -N2 (NS)	(++)	0.24		
	(-+)	0.23		
S _s -N2 (EW)	(++)	0.17		
	(-+)	0.20		

表 5.2.1-4(55) コンクリートのせん断破壊（面内）に対する
照査における実施ケースと照査値
（④-④断面，ケーソン，隔壁②）

地震動		解析ケース			コンクリートのせん断応力度 に対する照査値		
			①	②	③		
S _s -D	(++)	0.24					
	(-+)	0.27	0.27	0.27			
	(+-)	0.25					
	(--)	0.24					
S _s -F1	(++)	0.19					
S _s -F2	(++)	0.20					
S _s -N1	(++)	0.32					
	(-+)	0.25	0.26	0.25			
S _s -N2 (NS)	(++)	0.19					
	(-+)	0.20					
S _s -N2 (EW)	(++)	0.22					
	(-+)	0.22					

表 5.2.1-4(56) コンクリートのせん断破壊（面内）に対する
照査における実施ケースと照査値
（④-④断面，ケーソン，隔壁③）

地震動		解析ケース			コンクリートのせん断応力度 に対する照査値		
			①	②	③		
S _s -D	(++)	0.65					
	(-+)	0.74	0.77	0.75			
	(+-)	0.74					
	(--)	0.62					
S _s -F1	(++)	0.48					
S _s -F2	(++)	0.59					
S _s -N1	(++)	0.40					
	(-+)	0.77	0.80	0.79			
S _s -N2 (NS)	(++)	0.61					
	(-+)	0.58					
S _s -N2 (EW)	(++)	0.37					
	(-+)	0.40					

表 5.2.1-4(57) コンクリートのせん断破壊（面内）に対する
照査における実施ケースと照査値
（④-④断面，ケーソン，隔壁④）

地震動 \ 解析ケース		コンクリートのせん断応力度 に対する照査値		
		①	②	③
S _s -D	(++)	0.66		
	(-+)	0.75	0.78	0.76
	(+-)	0.75		
	(--)	0.63		
S _s -F1	(++)	0.49		
S _s -F2	(++)	0.60		
S _s -N1	(++)	0.40		
	(-+)	0.78	0.81	0.80
S _s -N2 (NS)	(++)	0.62		
	(-+)	0.59		
S _s -N2 (EW)	(++)	0.37		
	(-+)	0.41		

0.78 : 解析ケース①において，せん断破壊に対する評価のうち，照査値 0.5 を超える最も厳しい照査値

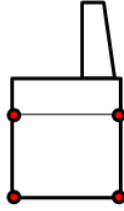
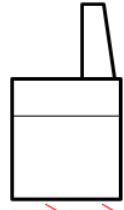
表 5.2.1-4(58) コンクリートのせん断破壊（面内）に対する
照査における実施ケースと照査値
（④-④断面，ケーソン，隔壁⑤）

地震動 \ 解析ケース		コンクリートのせん断応力度 に対する照査値		
		①	②	③
S _s -D	(++)	0.65		
	(-+)	0.74	0.77	0.75
	(+-)	0.74		
	(--)	0.62		
S _s -F1	(++)	0.48		
S _s -F2	(++)	0.59		
S _s -N1	(++)	0.40		
	(-+)	0.77	0.80	0.79
S _s -N2 (NS)	(++)	0.61		
	(-+)	0.58		
S _s -N2 (EW)	(++)	0.37		
	(-+)	0.40		

5.2.2 3次元構造解析の照査時刻の選定

ケーソン及び放水路ケーソンの評価においては、構造的特徴を踏まえ、損傷モードごと及び部材ごとに評価が厳しくなる照査時刻を選定しており、防波壁（波返重力擁壁）のケーソン及び放水路ケーソンについては表 5.2.2-1 に示す照査時刻を選定し、3次元構造解析を実施する。地震動1波に対する耐震評価のフローを図 5.2.2-1 に示す。

表 5.2.2-1 照査時刻の考え方

照査時刻	損傷モード	着目部位	荷重抽出時刻
時刻1	曲げ・軸力系の破壊 及び せん断破壊		ケーソン丁底板間で変位が最大となる時刻
時刻2	曲げ・軸力系の破壊 及び せん断破壊		水平荷重が最大となる時刻

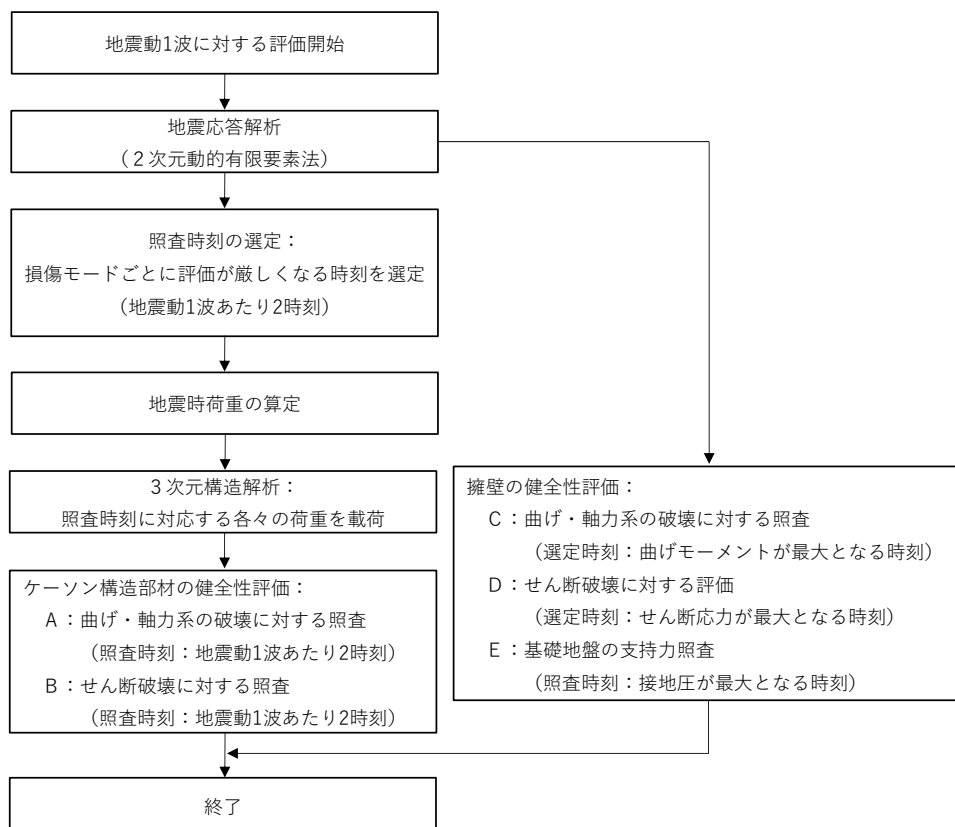


図 5.2.2-1 地震動1波に対する耐震評価のフロー

- (1) ケーソンにおける頂底版間の層間変位が最大となる時刻（時刻1）
地震応答解析結果のうち，ケーソンにおける頂底版間の層間変位の算定結果を
表 5.2.2-2 に示す。

表 5.2.2-2(1) ケーソンにおける頂底版間の層間変位の算定結果（②-②断面）

解析 ケース	地震動		最大相対変位 (mm)	時刻 (s)	
①	S _s -D	(++)	0.722	17.61	
		(-+)	0.689	24.00	
		(+-)	0.752	9.90	
		(--)	0.687	29.23	
	S _s -F1	(++)	0.441	10.57	
	S _s -F2	(++)	0.472	13.68	
	S _s -N1	(++)	0.715	7.66	
		(-+)	0.645	7.65	
	S _s -N2	(++)	0.449	26.68	
		(NS)	(-+)	0.521	25.25
		(EW)	(++)	0.587	26.54
	(EW)	(-+)	0.57	26.90	
②	S _s -D	(++)	0.624	35.05	
		(-+)	0.628	12.91	
	S _s -N1	(++)	0.71	7.66	
③	S _s -D	(++)	0.692	17.62	
		(-+)	0.701	23.99	
	S _s -N1	(++)	0.718	7.66	

表 5.2.2-2(2) ケーソンにおける頂底板間の層間変位の算定結果 (③-③断面)

解析 ケース	地震動		最大相対変位 (mm)	時刻 (s)
①	S s - D	(++)	0.615	28.06
		(-+)	0.535	31.07
		(+-)	0.592	14.75
		(--)	0.544	14.75
	S s - F 1	(++)	0.295	10.38
	S s - F 2	(++)	0.443	16.50
	S s - N 1	(++)	0.64	7.66
		(-+)	0.577	7.56
	S s - N 2 (NS)	(++)	0.43	25.71
		(-+)	0.378	24.40
	S s - N 2 (EW)	(++)	0.467	26.43
		(-+)	0.414	25.02
②	S s - N 1	(++)	0.639	7.66
		(-+)	0.575	7.56
	S s - N 2 (EW)	(++)	0.471	26.43
③	S s - N 1	(++)	0.639	7.66
		(-+)	0.577	7.56
	S s - N 2 (EW)	(++)	0.458	26.43

表 5.2.2-2(3) ケーソンにおける頂底版間の層間変位の算定結果 (④-④断面)

解析 ケース	地震動		最大相対変位 (mm)	時刻 (s)
①	S _s -D	(++)	1.437	28.44
		(-+)	1.265	17.77
		(+-)	1.311	19.13
		(--)	1.706	10.28
	S _s -F1	(++)	0.963	8.12
	S _s -F2	(++)	0.840	16.12
	S _s -N1	(++)	1.182	7.64
		(-+)	1.507	7.64
	S _s -N2 (NS)	(++)	0.648	24.67
		(-+)	0.788	25.20
	S _s -N2 (EW)	(++)	0.890	26.05
		(-+)	0.929	25.25
②	S _s -D	(-+)	1.304	17.77
	S _s -N1	(-+)	1.510	7.64
③	S _s -D	(-+)	1.301	17.77
	S _s -N1	(-+)	1.505	7.64

(2) 総水平荷重が最大となる時刻（時刻 2）

地震応答解析結果のうち，総水平荷重が最大となる時刻の算定結果を表 5.2.2-3 に示す。

表 5.2.2-3(1) 総水平荷重の算定結果（②-②断面）

解析 ケース	地震動		総水平荷重 (kN)	時刻 (s)
①	S s - D	(++)	4600	17.82
		(-+)	4999	10.44
		(+-)	5102	13.83
		(--)	6027	10.27
	S s - F 1	(++)	3233	7.84
	S s - F 2	(++)	4085	16.31
	S s - N 1	(++)	5779	8.45
		(-+)	3155	7.61
	S s - N 2 (NS)	(++)	3563	26.82
		(-+)	2927	25.53
	S s - N 2 (EW)	(++)	3808	26.77
		(-+)	3400	25.94
②	S s - D	(++)	3237	17.78
		(-+)	4934	10.43
	S s - N 1	(++)	5944	8.45
③	S s - D	(++)	4191	17.80
		(-+)	4924	10.44
	S s - N 1	(++)	5837	8.45

表 5.2.2-3(2) 総水平荷重の算定結果 (③-③断面)

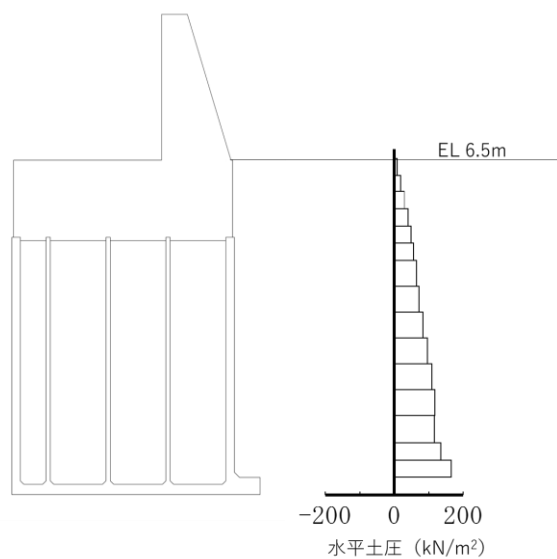
解析 ケース	地震動		総水平荷重 (kN)	時刻 (s)
①	S s - D	(++)	3477	17.32
		(-+)	4497	12.90
		(+-)	4612	28.34
		(--)	3968	29.19
	S s - F 1	(++)	2741	8.89
	S s - F 2	(++)	4489	16.10
	S s - N 1	(++)	5282	8.27
		(-+)	3731	7.55
	S s - N 2 (NS)	(++)	3135	26.06
		(-+)	2988	25.72
	S s - N 2 (EW)	(++)	5401	26.53
		(-+)	3518	26.21
②	S s - N 1	(++)	5329	8.27
		(-+)	3709	7.55
	S s - N 2 (EW)	(++)	5402	26.53
③	S s - N 1	(++)	5129	8.27
		(-+)	3772	7.54
	S s - N 2 (EW)	(++)	5292	26.53

表 5.2.2-3(3) 総水平荷重の算定結果 (④-④断面)

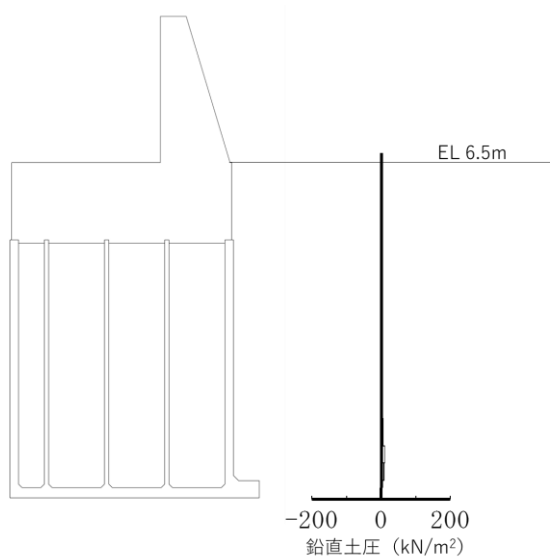
解析 ケース	地震動		総水平荷重 (kN)	時刻 (s)
①	S s - D	(++)	5102	23.69
		(-+)	5867	34.29
		(+-)	4381	35.76
		(--)	4548	19.15
	S s - F 1	(++)	3574	9.32
	S s - F 2	(++)	3869	16.13
	S s - N 1	(++)	3518	8.68
		(-+)	5424	9.54
	S s - N 2 (NS)	(++)	3331	27.31
		(-+)	3737	26.53
	S s - N 2 (EW)	(++)	4752	26.79
		(-+)	4063	24.89
②	S s - D	(-+)	5860	34.29
	S s - N 1	(-+)	5640	9.54
③	S s - D	(-+)	5924	34.29
	S s - N 1	(-+)	5488	9.55

5.2.3 作用荷重分布図

曲げ・軸力系の破壊に対する照査及びせん断破壊に対する照査のうち、照査値が最大となる照査時における作用荷重分布図を図 5.2.3-1～図 5.2.3-6 に示す。

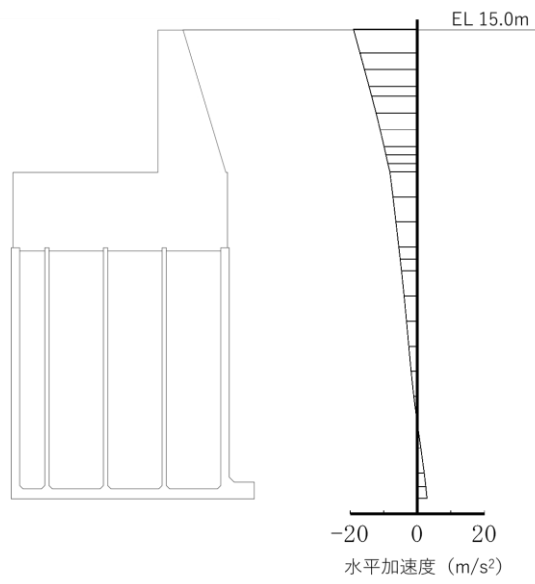


水平土圧

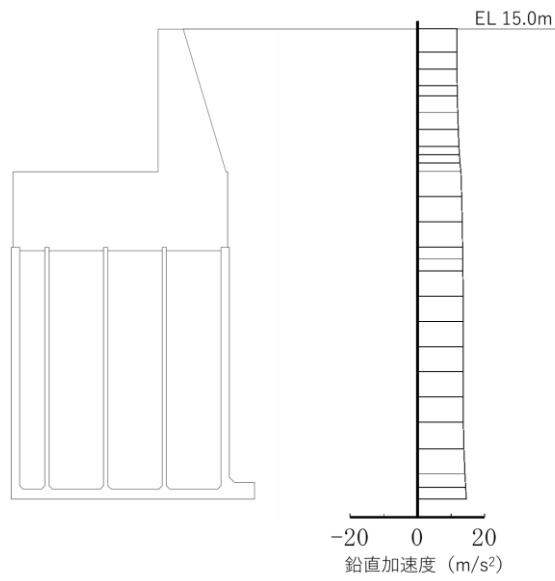


鉛直土圧

図 5.2.3-1 作用荷重分布図（土圧）
（解析ケース②，S s - N 1（++），②-②断面）

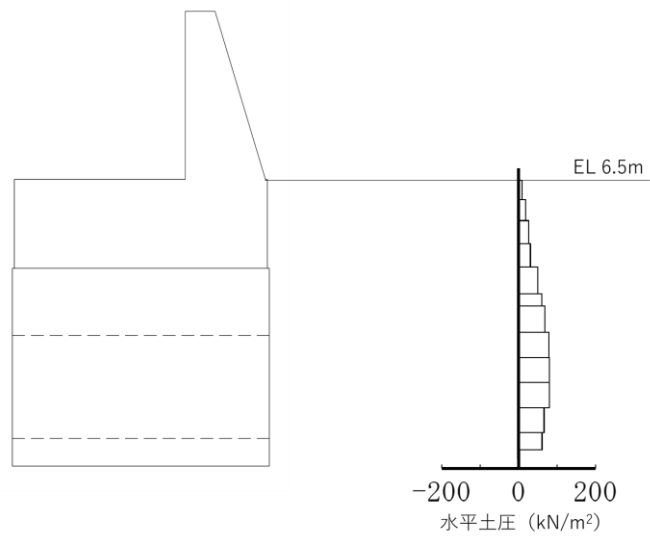


水平加速度

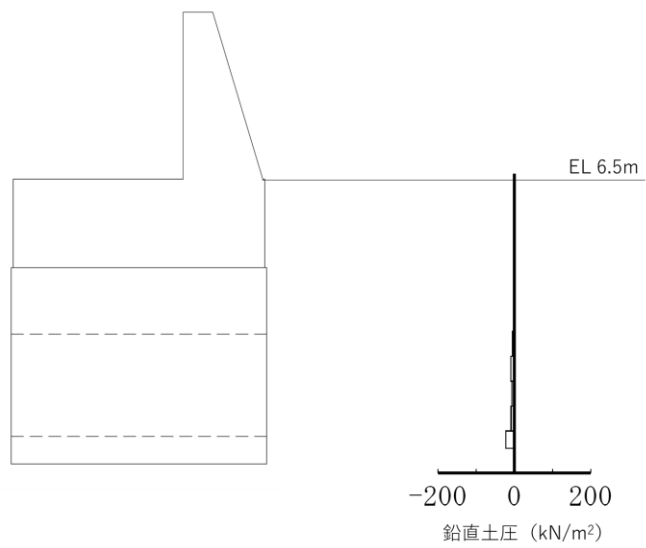


鉛直加速度

図 5.2.3-2 作用荷重分布図（加速度）
 （解析ケース②，S s - N 1（++），②-②断面）

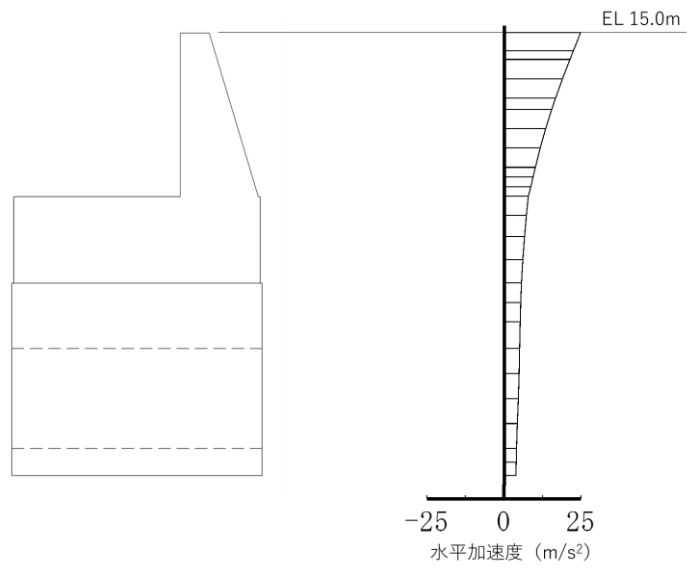


水平土圧

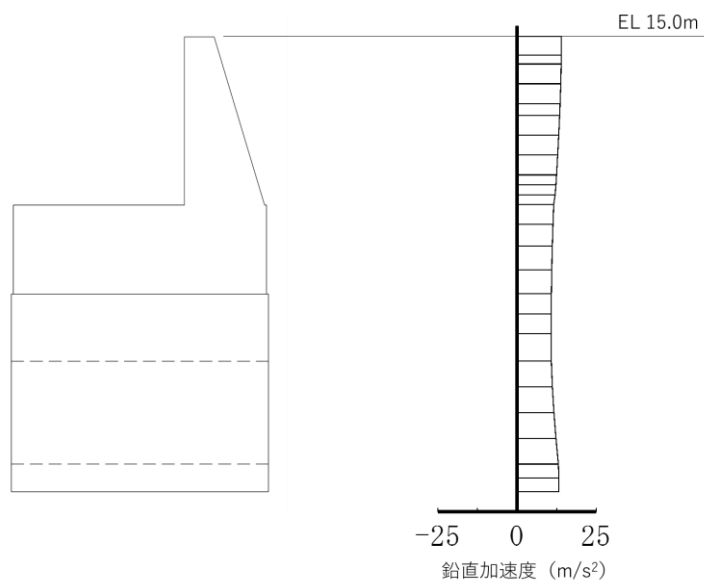


鉛直土圧

図 5.2.3-3 作用荷重分布図 (土圧)
(解析ケース①, S s - N 1 (-+), ③-③断面)

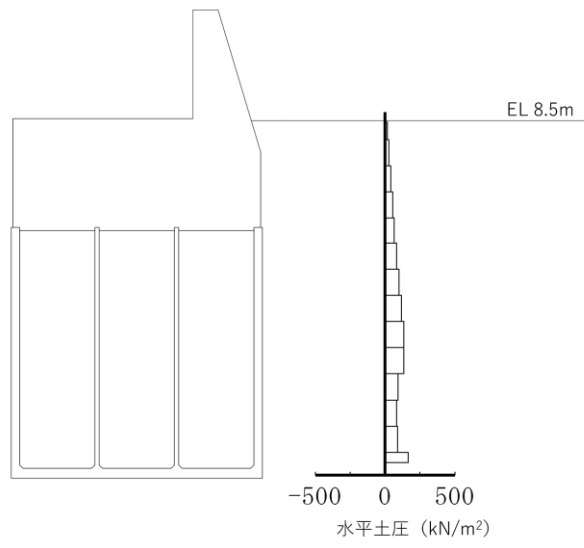


水平加速度

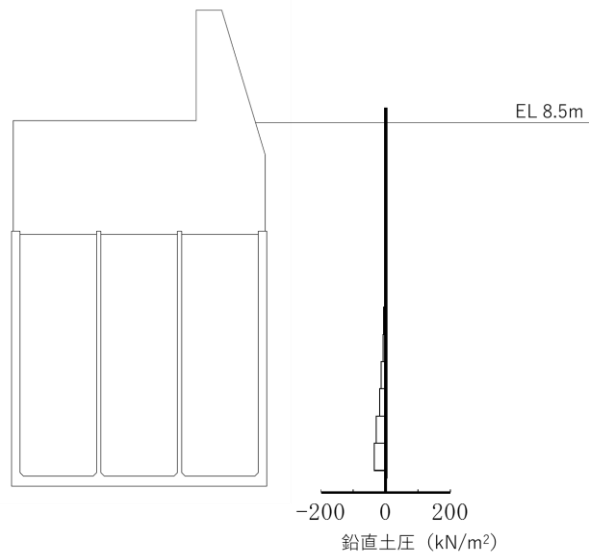


鉛直加速度

図 5.2.3-4 作用荷重分布図 (加速度)
 (解析ケース①, S s - N 1 (-+), ③-③断面)

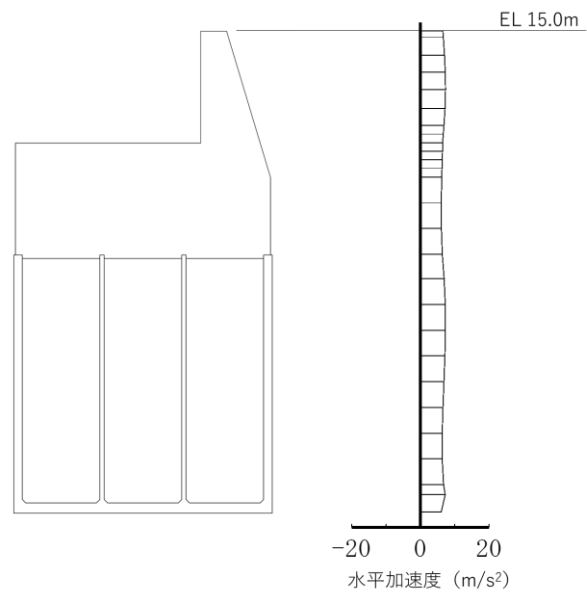


水平土圧

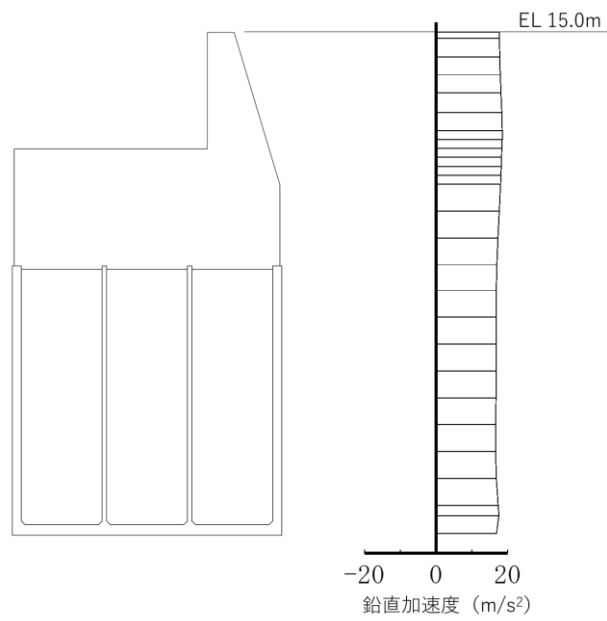


鉛直土圧

図 5.2.3-5 作用荷重分布図 (土圧)
(解析ケース②, S s - N 1 (-+), ④-④断面)



水平加速度



鉛直加速度

図 5.2.3-6 作用荷重分布図 (加速度)
(解析ケース②, S_s-N1 (-+), ④-④断面)

5.2.4 評価対象部材と照査値

(1) ②-②断面及び④-④断面

3次元構造解析に基づく、ケーソンの照査結果を示す。評価対象部材は、前壁、後壁、側壁、隔壁、底版及びフーチングとした。評価対象部材位置図を図5.2.4-1に示す。

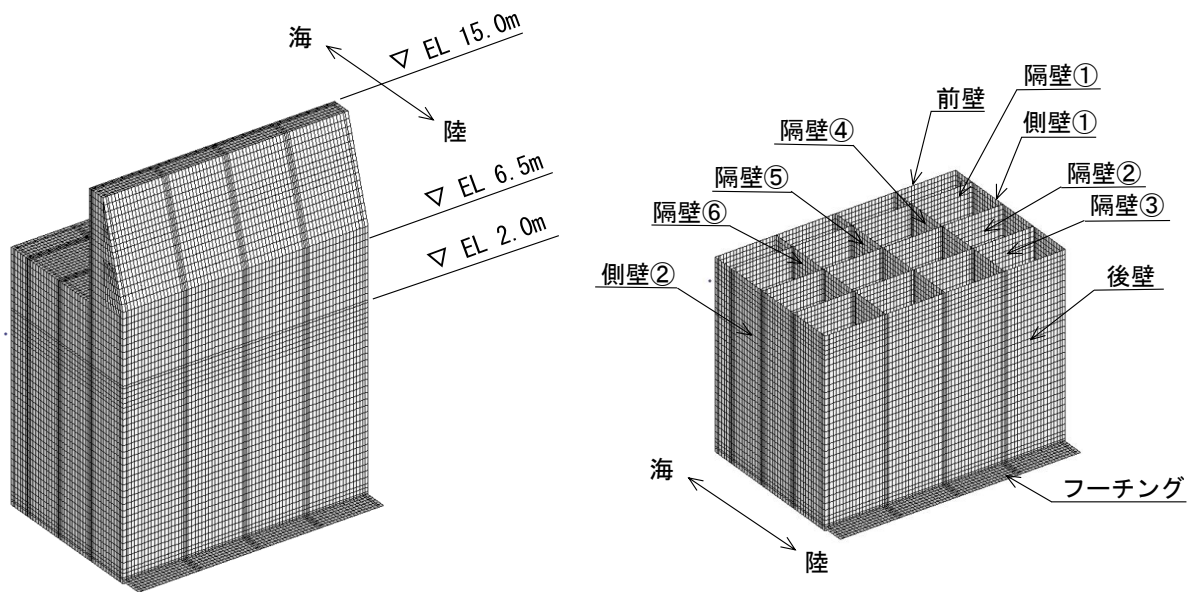


図5.2.4-1(1) 評価対象部材位置図 (②-②断面)

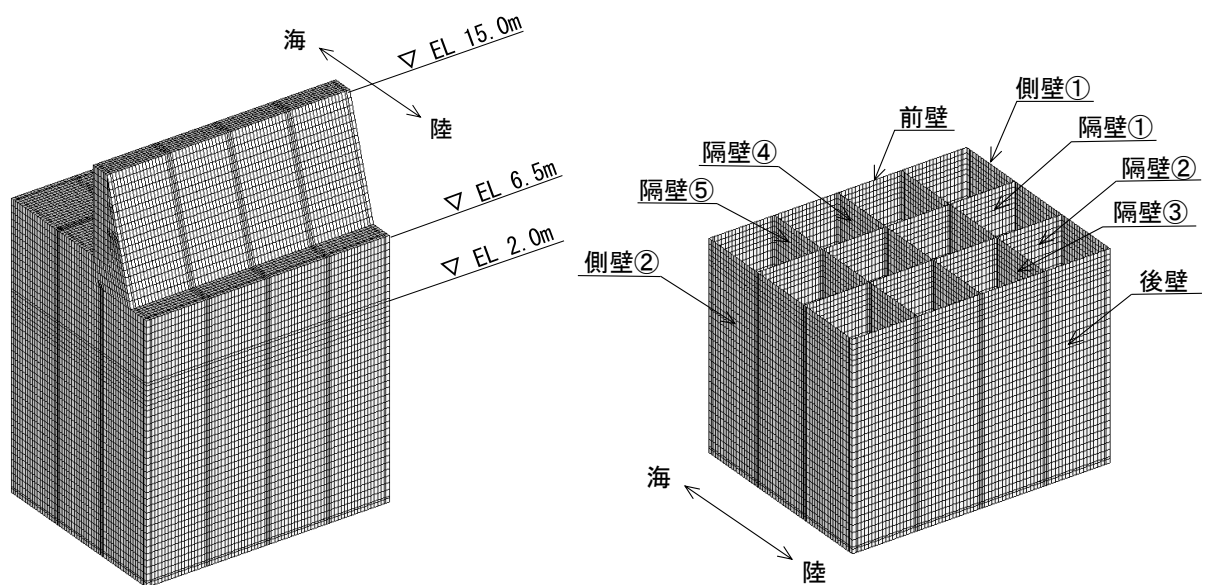


図5.2.4-1(2) 評価対象部材位置図 (④-④断面)

a. 構造部材の健全性に対する評価結果

各評価対象部材に対し，コンクリートの曲げ・軸力系の破壊に対する照査において各解析ケースのうち最も厳しい照査値となる結果を表 5.2.4-1 に，鉄筋の曲げ・軸力系の破壊に対する照査において各解析ケースのうち最も厳しい照査値となる結果を表 5.2.4-2 に，コンクリートのせん断破壊（面外）に対する照査において各解析ケースのうち最も厳しい照査値となる結果を表 5.2.4-3 に，コンクリートのせん断破壊（面内）に対する照査において各解析ケースのうち最も厳しい照査値となる結果を表 5.2.4-4 に示す。

この結果から，ケーソンの各部材に発生する応力度が，構造部材の健全性に対する許容限界以下であることを確認した。

表 5.2.4-1(1) コンクリートの曲げ・軸力系の破壊に対する照査における最大照査値
(②-②断面)

評価対象 部材	地震動	解析 ケース	発生断面力		曲げ圧縮 応力度 σ_c (N/mm ²)	短期許容 応力度 σ_{ca} (N/mm ²)	照査値 σ_c / σ_{ca}
			曲げ モーメント M (kN・m)	軸力 N (kN)			
底版	S s - N 1 (++)	②	124	121	2.8	13.5	0.21
フーチング	S s - D (-+)	③	140	49	1.1	13.5	0.08
前壁	S s - D (-+)	①	2	1479	2.8	13.5	0.21
後壁	S s - N 1 (++)	②	4	1967	4.1	13.5	0.31
側壁①	S s - N 1 (++)	②	30	1603	3.8	13.5	0.29
側壁②	S s - N 1 (++)	②	30	1603	3.8	13.5	0.29
隔壁①	S s - N 1 (-+)	①	10	384	2.3	13.5	0.18
隔壁②	S s - D (--)	①	8	390	2.1	13.5	0.16
隔壁③	S s - N 1 (++)	②	2	619	2.3	13.5	0.18
隔壁④	S s - N 1 (++)	②	5	749	3.1	13.5	0.23
隔壁⑤	S s - N 1 (++)	②	0	866	3.0	13.5	0.23
隔壁⑥	S s - N 1 (++)	②	5	749	3.1	13.5	0.23

表 5.2.4-1(2) コンクリートの曲げ・軸力系の破壊に対する照査における最大照査値
(④-④断面)

評価対象 部材	地震動	解析 ケース	発生断面力		曲げ圧縮 応力度 σ_c (N/mm ²)	短期許容 応力度 σ_{ca} (N/mm ²)	照査値 σ_c / σ_{ca}
			曲げ モーメント M (kN・m)	軸力 N (kN)			
底板	S s - N 1 (- +)	②	212	272	4.1	13.5	0.31
前壁	S s - N 1 (- +)	②	22	2744	6.1	13.5	0.46
後壁	S s - N 1 (+ +)	①	26	2059	4.7	13.5	0.36
側壁①	S s - N 1 (- +)	②	87	2147	6.1	13.5	0.46
側壁②	S s - N 1 (- +)	②	87	2147	6.1	13.5	0.46
隔壁①	S s - N 1 (- +)	②	20	657	4.1	13.5	0.31
隔壁②	S s - N 1 (+ +)	①	3	730	2.7	13.5	0.21
隔壁③	S s - N 1 (- +)	②	5	1375	4.9	13.5	0.37
隔壁④	S s - N 1 (- +)	②	0	1376	4.4	13.5	0.33
隔壁⑤	S s - N 1 (- +)	②	5	1375	4.9	13.5	0.37

表 5.2.4-2(1) 鉄筋の曲げ・軸力系の破壊に対する照査における最大照査値
(②-②断面)

評価対象 部材	地震動	解析 ケース	発生断面力		曲げ引張 応力度 σ_s (N/mm ²)	短期許容 応力度 σ_{sa} (N/mm ²)	照査値 σ_s / σ_{sa}
			曲げ モーメント M (kN・m)	軸力 N (kN)			
底版	S s - N 1 (++)	②	124	121	197.1	294	0.68
フーチング	S s - N 1 (++)	②	121	250	93.4	294	0.32
前壁	S s - N 1 (++)	①	4	282	94.3	294	0.33
後壁	S s - D (-+)	③	7	244	94.2	294	0.33
側壁①	S s - N 1 (++)	①	0	259	113.7	294	0.39
側壁②	S s - N 1 (++)	①	0	259	113.7	294	0.39
隔壁①	S s - D (++)	①	0	85	70.3	294	0.24
隔壁②	S s - N 1 (-+)	①	0	95	75.0	294	0.26
隔壁③	S s - N 1 (++)	②	0	133	105.5	294	0.36
隔壁④	S s - N 1 (++)	②	0	57	46.3	294	0.16
隔壁⑤	S s - N 1 (++)	②	0	69	54.7	294	0.19
隔壁⑥	S s - N 1 (++)	②	0	57	46.3	294	0.16

表 5.2.4-2(2) 鉄筋の曲げ・軸力系の破壊に対する照査における最大照査値
(④-④断面)

評価対象 部材	地震動	解析 ケース	発生断面力		曲げ引張 応力度 σ_s (N/mm ²)	短期許容 応力度 σ_{sa} (N/mm ²)	照査値 σ_s / σ_{sa}
			曲げ モーメント M (kN・m)	軸力 N (kN)			
底版	S _s - N 1 (-+)	②	208	110	190.7	294	0.65
前壁	S _s - N 1 (-+)	②	11	227	93.5	294	0.32
後壁	S _s - N 1 (++)	①	7	211	82.3	294	0.28
側壁①	S _s - N 1 (-+)	③	1	164	70.0	294	0.24
側壁②	S _s - N 1 (-+)	③	1	164	70.0	294	0.24
隔壁①	S _s - N 1 (-+)	②	0	195	121.1	294	0.42
隔壁②	S _s - N 1 (++)	①	0	164	101.4	294	0.35
隔壁③	S _s - N 1 (-+)	③	0	183	112.8	294	0.39
隔壁④	S _s - N 1 (-+)	③	0	197	120.9	294	0.42
隔壁⑤	S _s - N 1 (-+)	③	0	183	112.8	294	0.39

表 5.2.4-3(1) コンクリートのせん断破壊（面外）に対する照査における最大照査値
 (②-②断面)

評価対象 部材	地震動	解析 ケース	発生断面力	せん断 応力度 τ_c (N/mm ²)	短期許容 応力度 τ_{a1} (N/mm ²)	照査値 τ_c / τ_{a1}
			せん断力 Q (kN)			
底版	S _s -N1 (++)	②	129	0.29	0.67	0.43
フーチング	S _s -D (-+)	③	149	0.19	0.67	0.28
前壁	S _s -D (++)	③	68	0.20	0.67	0.30
後壁	S _s -N1 (++)	②	113	0.31	0.67	0.47
側壁①	S _s -N1 (++)	②	67	0.16	0.67	0.24
側壁②	S _s -N1 (++)	②	67	0.16	0.67	0.24
隔壁①	S _s -N2 (EW) (++)	①	11	0.10	0.67	0.15
隔壁②	S _s -D (-+)	①	13	0.12	0.67	0.18
隔壁③	S _s -D (+-)	①	9	0.08	0.67	0.12
隔壁④	S _s -N1 (++)	②	5	0.05	0.67	0.08
隔壁⑤	S _s -D (++)	①	0	0.00	0.67	0.01
隔壁⑥	S _s -N1 (++)	②	5	0.05	0.67	0.08

表 5.2.4-3(2) コンクリートのせん断破壊（面外）に対する照査における最大照査値
 (④-④断面)

評価対象 部材	地震動	解析 ケース	発生断面力	せん断 応力度 τ_c (N/mm ²)	短期許容 応力度 τ_{a1} (N/mm ²)	照査値 τ_c / τ_{a1}
			せん断力 Q (kN)			
底版	S _s -N1 (-+)	②	207	0.46	0.67	0.69
前壁	S _s -D (--)	①	133	0.37	0.67	0.55
後壁	S _s -N1 (-+)	②	43	0.11	0.67	0.16
側壁①	S _s -N1 (-+)	②	82	0.20	0.67	0.31
側壁②	S _s -N1 (-+)	②	82	0.20	0.67	0.31
隔壁①	S _s -N1 (-+)	②	25	0.23	0.67	0.35
隔壁②	S _s -D (-+)	③	16	0.15	0.67	0.23
隔壁③	S _s -N1 (-+)	②	7	0.06	0.67	0.09
隔壁④	S _s -D (-+)	①	0	0.00	0.67	0.01
隔壁⑤	S _s -N1 (-+)	②	7	0.06	0.67	0.09

表 5.2.4-4(1) コンクリートのせん断破壊（面内）に対する照査における最大照査値
 (②-②断面)

評価対象 部材	地震動	解析 ケース	発生断面力	せん断 応力度 (面内) τ_c (N/mm ²)	許容せん断 応力度 (面内) τ_1 (N/mm ²)	照査値 τ_c/τ_1
			せん断力 Q (kN)			
底版	S s - N 1 (-+)	①	292	0.49	1.51	0.33
フーチング	S s - N 1 (++)	②	319	0.32	1.51	0.22
前壁	S s - D (++)	①	121	0.24	2.20	0.11
後壁	S s - N 1 (++)	②	406	0.81	2.75	0.30
側壁①	S s - N 1 (-+)	①	463	0.93	1.95	0.48
側壁②	S s - N 1 (-+)	①	463	0.93	1.95	0.48
隔壁①	S s - D (-+)	①	91	0.36	2.24	0.17
隔壁②	S s - N 1 (-+)	①	91	0.37	1.91	0.20
隔壁③	S s - N 1 (++)	②	157	0.63	2.34	0.27
隔壁④	S s - D (++)	①	238	0.95	1.83	0.52
隔壁⑤	S s - D (++)	①	243	0.97	1.84	0.53
隔壁⑥	S s - D (++)	①	238	0.95	1.83	0.52

表 5.2.4-4(2) コンクリートのせん断破壊（面内）に対する照査における最大照査値
（④-④断面）

評価対象 部材	地震動	解析 ケース	発生断面力	せん断 応力度 （面内） τ_c (N/mm ²)	許容せん断 応力度 （面内） τ_1 (N/mm ²)	照査値 τ_c / τ_1
			せん断力 Q (kN)			
底版	S s - N 1 (-+)	②	497	0.83	1.51	0.55
前壁	S s - N 1 (-+)	②	380	0.76	2.93	0.26
後壁	S s - N 1 (++)	①	334	0.67	2.67	0.25
側壁①	S s - N 1 (-+)	②	694	1.39	2.13	0.66
側壁②	S s - N 1 (-+)	②	694	1.39	2.13	0.66
隔壁①	S s - N 1 (-+)	②	200	0.80	2.37	0.34
隔壁②	S s - N 1 (++)	①	192	0.77	2.46	0.32
隔壁③	S s - N 1 (-+)	②	463	1.85	2.32	0.80
隔壁④	S s - N 1 (-+)	②	468	1.87	2.31	0.81
隔壁⑤	S s - N 1 (-+)	②	463	1.85	2.32	0.80

(2) ③-③断面

3次元構造解析に基づく、放水路ケーソンの照査結果を示す。評価対象部材は、頂版、底版、側壁及び隔壁とした。評価対象部材位置図を図 5.2.4-2 に示す。

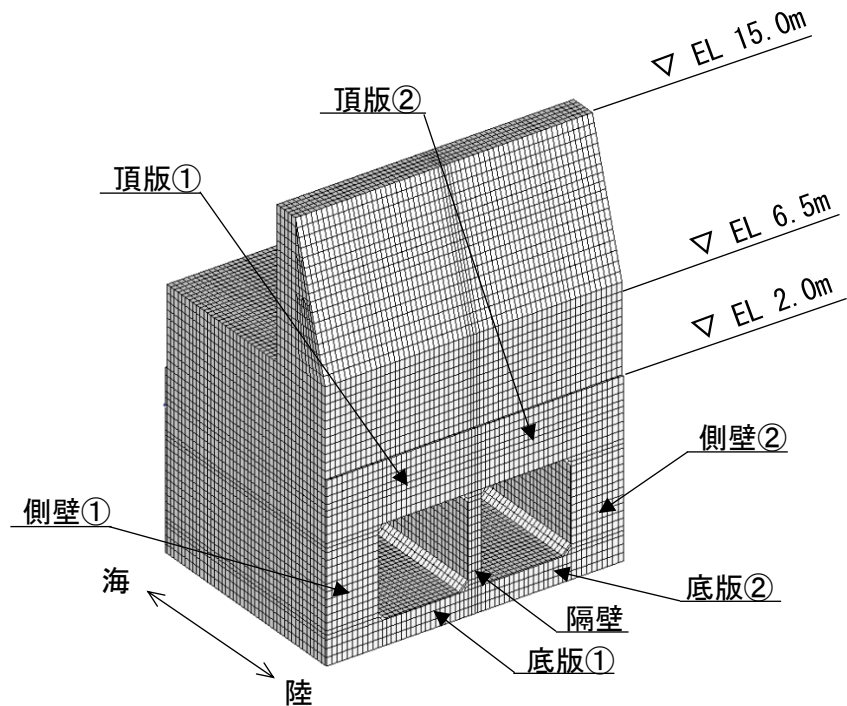


図 5.2.4-2 評価対象部材位置図 (③-③断面)

a. 構造部材の健全性に対する評価結果

3次元線形構造解析による各評価対象部材に対し、**度コンクリートの曲げ・軸力系の破壊**に対する照査において各解析ケースのうち最も厳しい照査値となる結果を表 5.2.4-5 **及び**表 5.2.4-6 に、**コンクリートのせん断破壊**に対する照査において各解析ケースのうち最も厳しい照査値となる結果を表 5.2.4-7 **及び**表 5.2.4-8 に示す。なお、照査結果については、一部応力の平均化を実施していることから、応力の平均化に関しては、**「(参考資料5)発生応力度の平均化について」**に示す。

この結果から、放水路ケーソンの頂版、側壁及び底版に発生する応力度が、構造部材の健全性に対する許容限界以下であることを確認した。

隔壁については、表 5.2.4-8 に示すコンクリートのせん断破壊 (面内) に対する照査値が 1.0 を上回る解析ケースがあることから、当該解析ケースについて、3次元非線形構造解析によりせん断破壊に対する照査を実施した結果を表 5.2.4-9 に、せん断ひずみ分布図を図 5.2.4-3 に示す。

この結果から放水路ケーソンの隔壁に発生するひずみが構造部材の健全性に対する許容限界以下であることを確認した。

表 5.2.4-5 コンクリートの圧縮応力度に対する照査における最大照査値
(③-③断面)

評価対象 部材	地震動	解析 ケース	発生応力	短期許容 応力度 σ_{ca} (N/mm ²)	照査値 σ_c / σ_{ca}
			圧縮応力度 σ_c (N/mm ²)		
底版①	S s - N 1 (-+)	③	4.2	13.5	0.32
底版②	S s - N 1 (-+)	③	4.2	13.5	0.32
側壁①	S s - D (+-)	①	7.1	13.5	0.53
側壁②	S s - D (+-)	①	7.1	13.5	0.53
隔壁	S s - N 1 (-+)	③	9.0	13.5	0.67
頂版①	S s - D (+-)	①	3.4	13.5	0.26
頂版②	S s - D (+-)	①	3.4	13.5	0.26

表 5.2.4-6 コンクリートの引張応力度に対する照査における最大照査値
(③-③断面)

評価対象 部材	地震動	解析 ケース	発生応力	引張強度 f_{tk} (N/mm ²)	照査値* σ_s/f_{tk}
			引張応力度* σ_s (N/mm ²)		
底版①	S s - N 1 (-+)	①	1.11	1.91	0.59
底版②	S s - N 1 (-+)	①	1.11	1.91	0.59
側壁①	S s - N 1 (-+)	②	0.98	1.91	0.52
側壁②	S s - N 1 (-+)	②	0.98	1.91	0.52
隔壁	S s - N 1 (-+)	①	1.80 (2.19)	1.91	0.95 (1.15)
頂版①	S s - D (+-)	①	1.50	1.91	0.79
頂版②	S s - D (+-)	①	1.50	1.91	0.79

注記*：括弧内（ ）は応力度平均化前の値を示す。

表 5.2.4-7 コンクリートのせん断破壊（面外）に対する照査における最大照査値
 (③-③断面)

評価対象 部材	地震動	解析 ケース	発生応力	短期許容 応力度 τ_{a1} (N/mm ²)	照査値* ¹ τ_c/τ_{a1}
			せん断応力度* ¹ τ_c (N/mm ²)		
底版①	S s - N 1 (-+)	③	0.72 (1.91)	0.67	1.07 (2.86) 【0.65】* ²
底版②	S s - N 1 (-+)	③	0.72 (1.91)	0.67	1.07 (2.86) 【0.65】* ²
側壁①	S s - D (+-)	①	0.14 (1.11)	0.67	0.22 (1.66)
側壁②	S s - D (+-)	①	0.14 (1.11)	0.67	0.22 (1.66)
隔壁	S s - N 1 (-+)	③	0.00 (1.53)	0.67	0.00 (2.29)
頂版①	S s - D (+-)	①	0.44 (1.65)	0.67	0.66 (2.46)
頂版②	S s - D (+-)	①	0.44 (1.65)	0.67	0.66 (2.46)

注記*1：括弧内（ ）は応力度平均化前の値を示す。

*2：括弧内【 】は「RC規準（1999年）」に基づき、短期許容せん断応力度 1.11 (N/mm²) を許容値とした場合の照査値を示す。

表 5.2.4-8 コンクリートのせん断破壊（面内）に対する照査における最大照査値
 (③-③断面)

評価対象 部材	地震動	解析 ケース	発生応力	許容せん断 応力度 (面内) τ_1 (N/mm ²)	照査値*1 τ_c/τ_1
			せん断応力度*1 τ_c (N/mm ²)		
底版①	S s - N 1 (-+)	③	0.80	1.51	0.54
底版②	S s - N 1 (-+)	③	0.80	1.51	0.54
側壁①	S s - N 1 (-+)	③	1.12 (1.79)	1.51	0.75 (1.19)
側壁②	S s - N 1 (-+)	③	1.12 (1.79)	1.51	0.75 (1.19)
隔壁	S s - N 1 (-+)	③	1.84 (1.91)	1.51	1.22*2 (1.27)
頂版①	S s - N 1 (++)	①	0.56	1.51	0.38
頂版②	S s - N 1 (++)	①	0.56	1.51	0.38

注記*1：括弧内（ ）は応力度平均化前の値を示す。

*2：照査値が 1.0 を上回る解析ケースについては，3次元非線形構造解析による照査を実施する。

表 5.2.4-9 隔壁のせん断破壊（面内）に対する照査における最大照査値
 (③-③断面)

評価対象 部材	地震動	解析 ケース	発生ひずみ ϵ_c	許容ひずみ ϵ_{ca}	照査値 $\epsilon_c / \epsilon_{ca}$
隔壁	S _s -N1 (-+)	③	536 μ	2000 μ	0.27

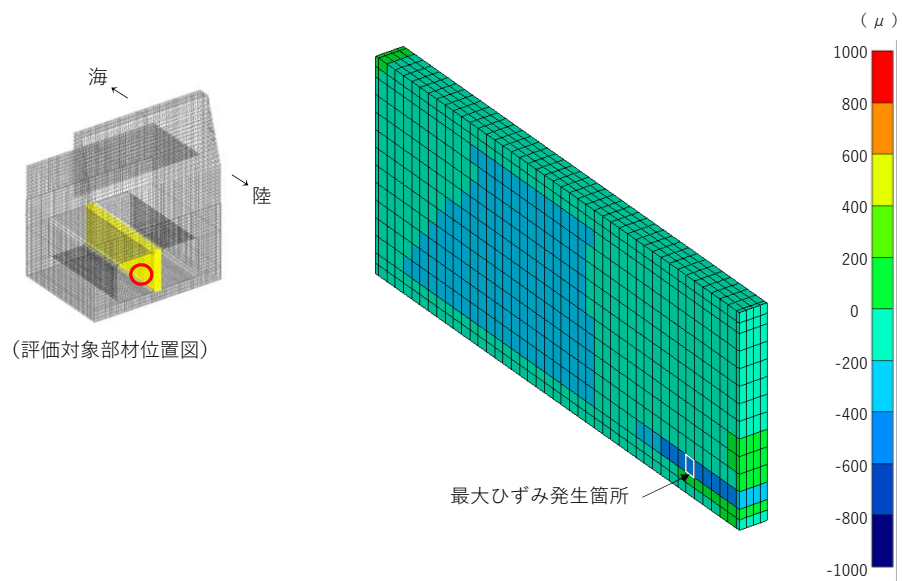


図 5.2.4-3 せん断ひずみ分布図 (S_s-N1 (-+), 解析ケース③, 隔壁)

b. 構造部材の機能維持に対する確認結果

「5.2.4(2)a. 構造部材の健全性に対する評価結果」において、底版のせん断（面外）のみ発生応力度の平均化実施後における照査値が1.0を上回る結果となった。底版に要求される重力擁壁の支持及び遮水性が維持されていることを確認するため、許容限界を超える範囲を確認する。せん断応力度（面外）コンター図を図5.2.4-4に示す。

せん断応力度（面外）の分布を確認の結果、「コンクリート標準示方書(2002)」に基づく許容限界を超える範囲は局所的で、海陸方向に連続しておらず、部材の大部分において健全であることから、部材全体として機能が損なわれていないことを確認した。

なお、「5.2.4(2)a. 構造部材の健全性に対する評価結果」において、参考としてせん断応力度（面外）の許容限界を「RC規準（1999年）」に基づき短期許容応力度 1.11N/mm^2 と設定した場合、発生応力度の平均化を実施することで照査値が1.0を下回ることを確認している。

以上より、発生応力度の平均化実施後における照査値が1.0を上回る底版においても、機能維持されていることを確認した。

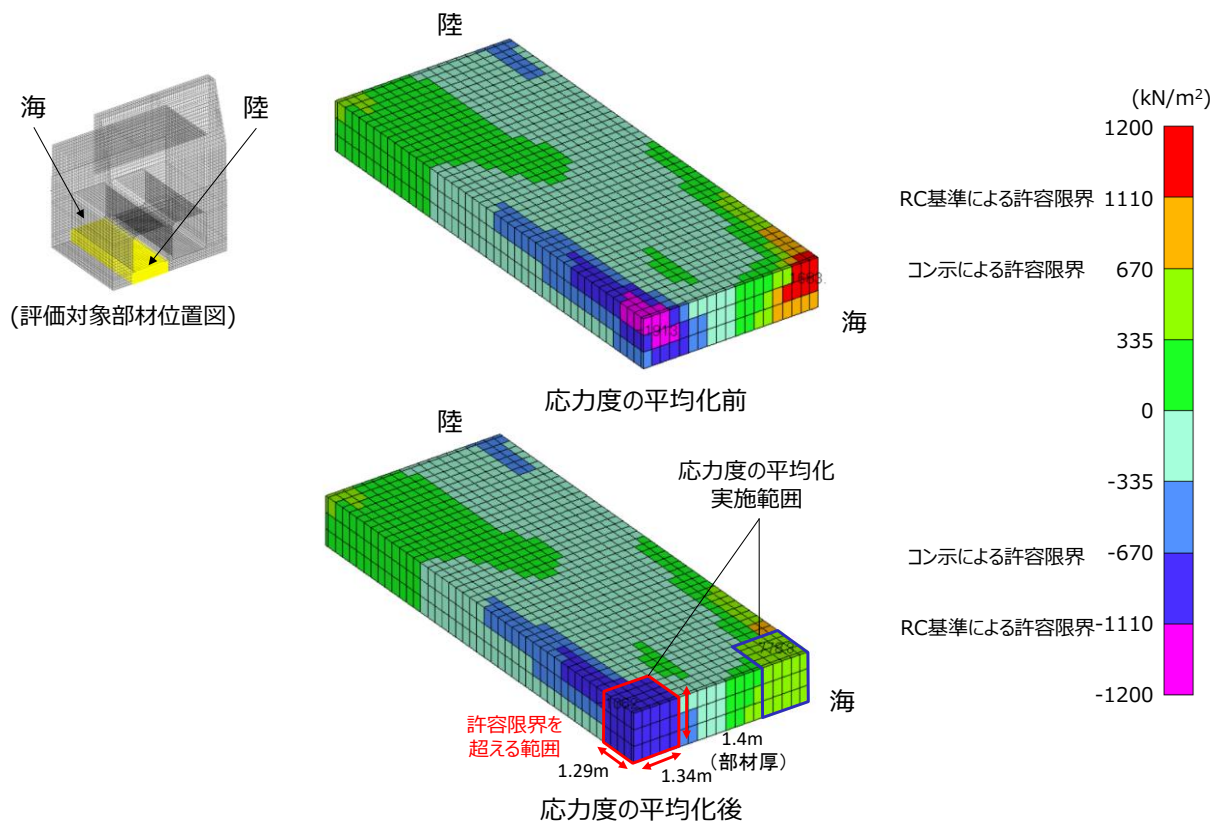


図 5.2.4-4 せん断（面外）応力度コンター図
（S s - N 1 (-+), 解析ケース③, 底版)

5.2.5 断面力分布（曲げ・軸力系の破壊に対する照査：②－②断面及び④－④断面）

ケーソンの曲げ・軸力系の破壊に対する照査において、最も厳しい照査値となる解析ケース及び評価対象部材における断面力図を図 5.2.5-1 及び図 5.2.5-2 に示す。

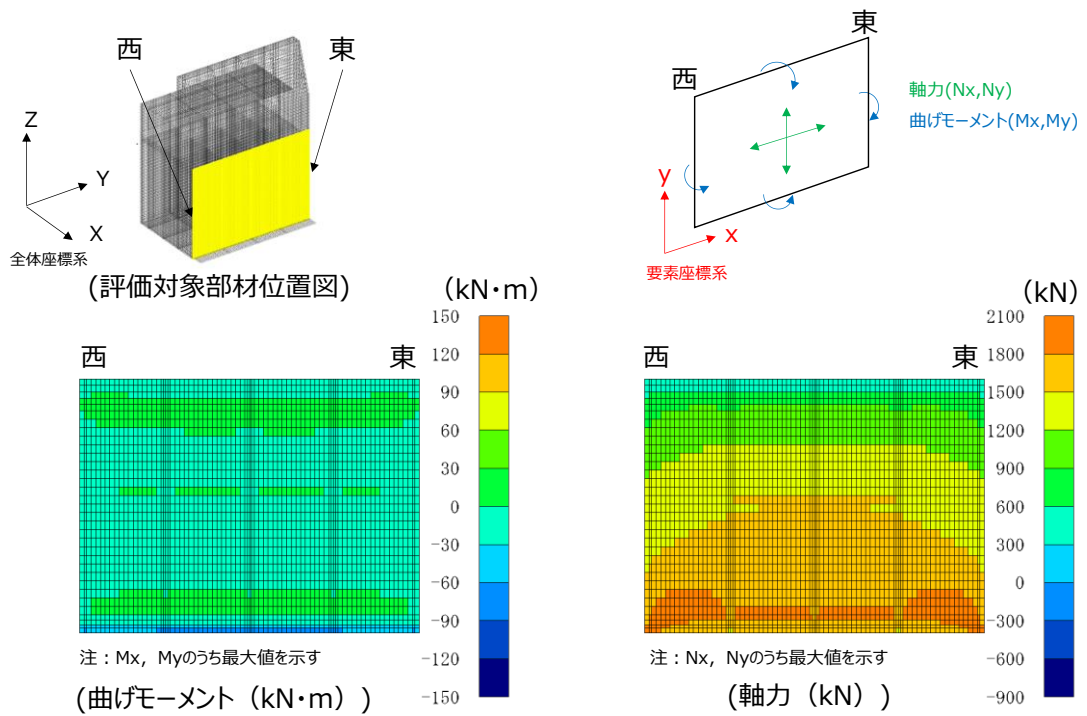


図 5.2.5-1(1) コンクリートの曲げ圧縮応力に対する照査に用いる断面力図

(②－②断面, S s - N 1 (++) , 評価対象部材：後壁)

解析ケース②：地盤物性のばらつきを考慮した解析ケース (平均値+1 σ)

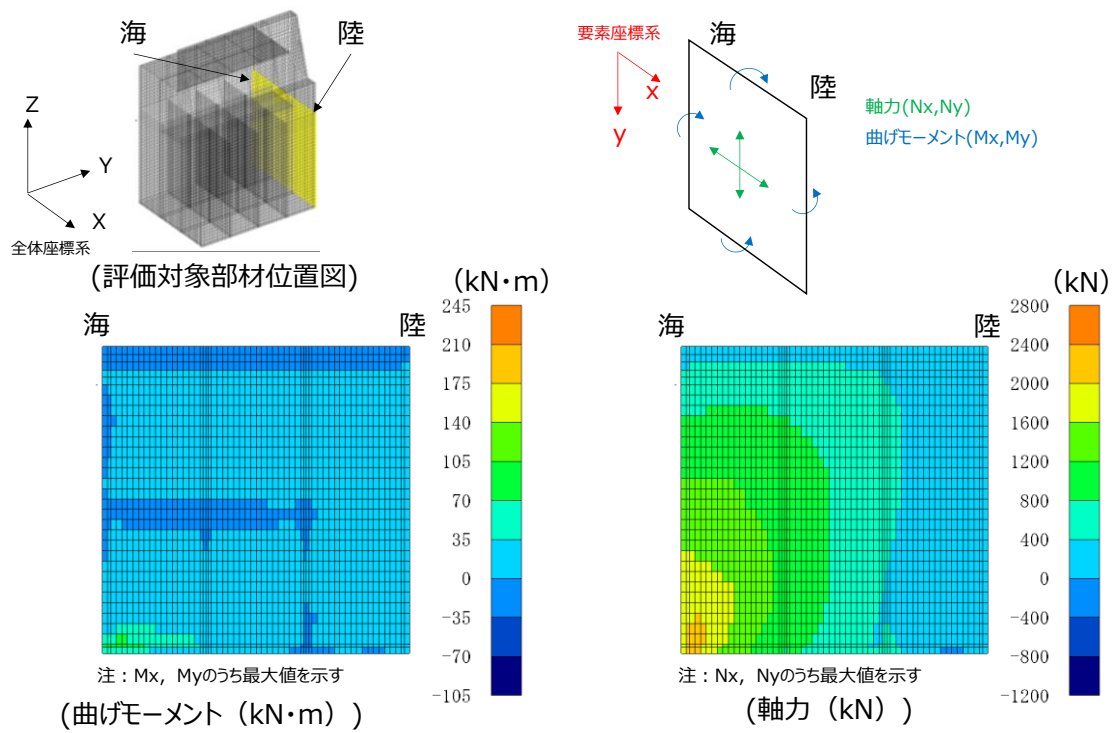


図 5.2.5-1(2) コンクリートの曲げ圧縮応力に対する照査に用いる断面力図

(④-④断面, $S_s - N1 (-+)$, 評価対象部材: 側壁①)

解析ケース②: 地盤物性のばらつきを考慮した解析ケース (平均値 $+1\sigma$)

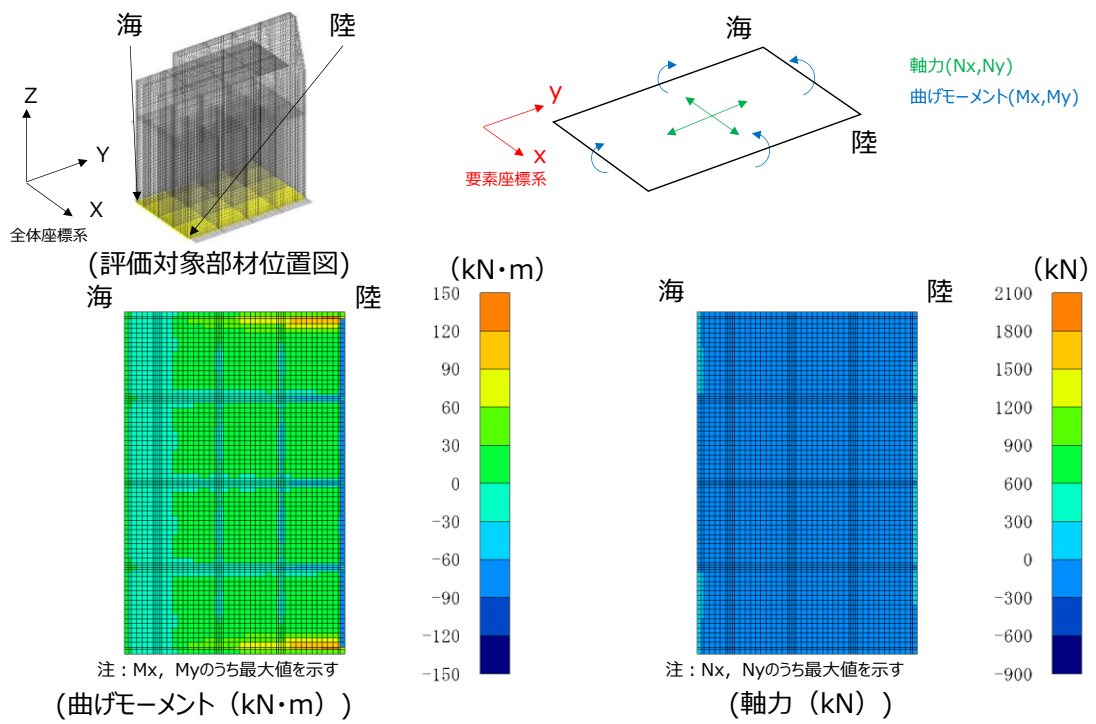


図 5.2.5-2(1) 鉄筋の曲げ引張応力に対する照査に用いる断面力図

(②-②断面, S s - N 1 (++) , 評価対象部材：底版)

解析ケース②：地盤物性のばらつきを考慮した解析ケース (平均値+1σ)

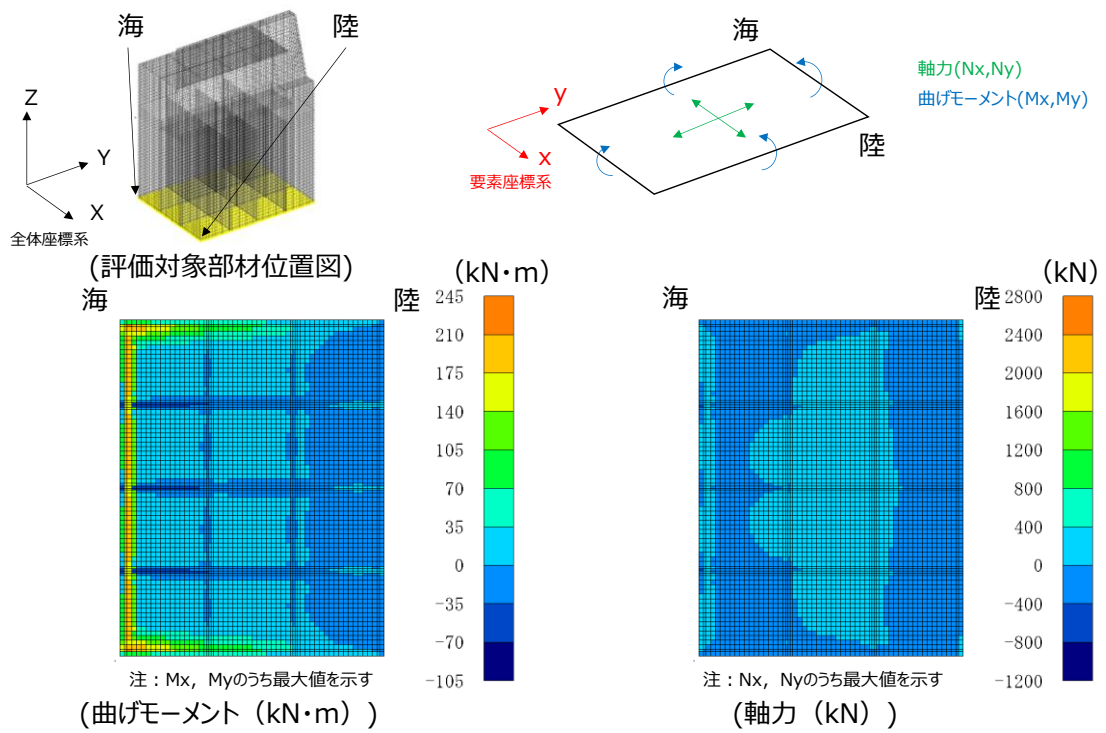


図 5.2.5-2(2) 鉄筋の曲げ引張応力に対する照査に用いる断面力図

(④-④断面, S s - N 1 (-+), 評価対象部材: 底版)

解析ケース②: 地盤物性のばらつきを考慮した解析ケース (平均値+1σ)

5.2.6 断面力分布（せん断破壊（面外）に対する照査：②－②断面及び④－④断面）
 ケーソンのせん断破壊（面外）に対する照査において、最も厳しい照査値となる
 解析ケース及び評価対象部材における断面力図を図 5.2.6-1 に示す。

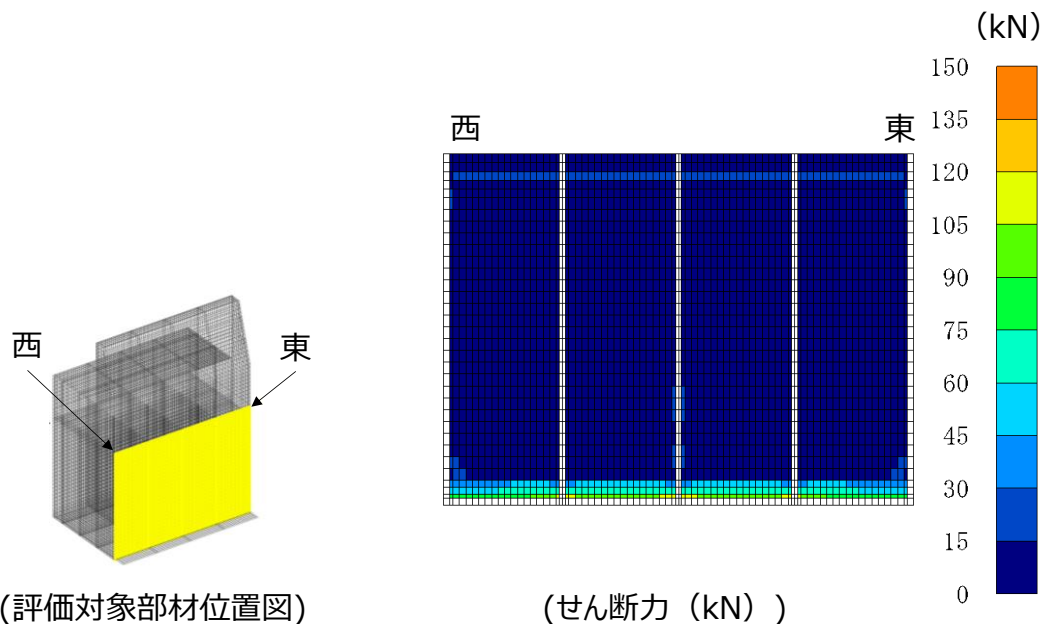


図 5.2.6-1(1) コンクリートのせん断破壊（面外）に対する照査に用いる断面力図
 (②－②断面, $S_s - N1(++)$, 評価対象部材：後壁)

解析ケース②：地盤物性のばらつきを考慮した解析ケース（平均値+1 σ ）

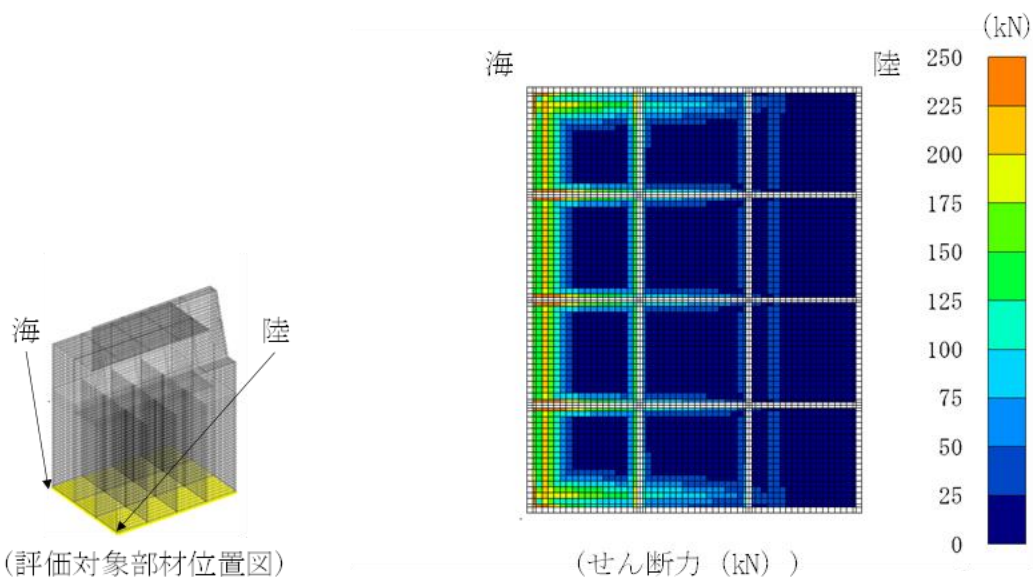


図 5.2.6-1(2) コンクリートのせん断破壊（面外）に対する照査に用いる断面力図
 (④－④断面, $S_s - N1(-+)$, 評価対象部材：底版)

解析ケース②：地盤物性のばらつきを考慮した解析ケース（平均値+1 σ ）

5.2.7 断面力分布（せん断破壊（面内）に対する照査：②－②断面及び④－④断面）
 ケーソンのせん断破壊（面内）に対する照査において、最も厳しい照査値となる解析ケース及び評価対象部材における断面力図を図 5.2.7-1 に示す。

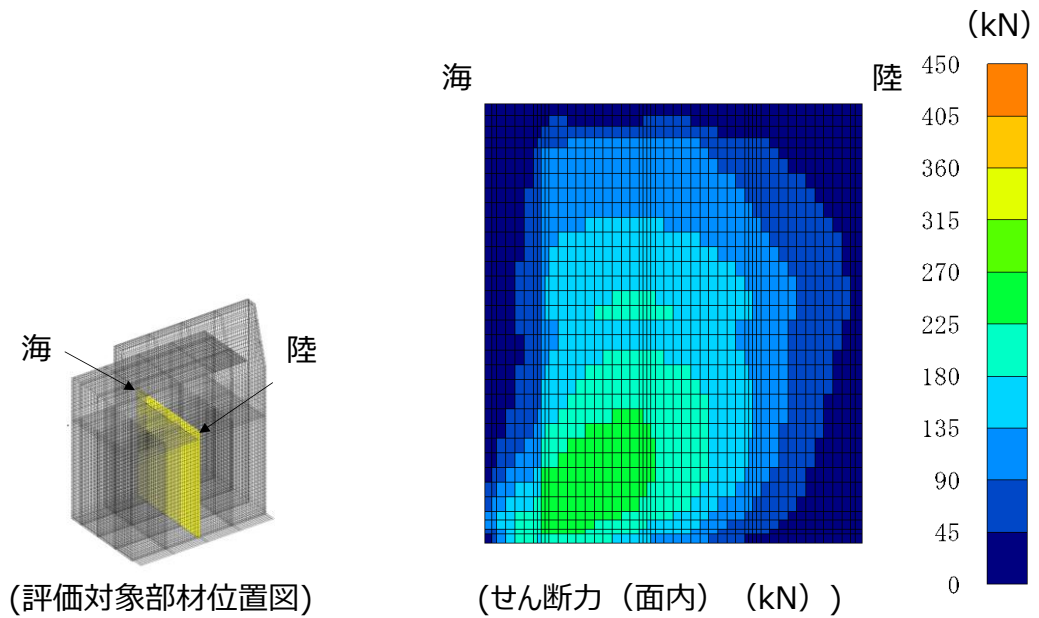


図 5.2.7-1(1) コンクリートのせん断破壊（面内）に対する照査に用いる断面力図
 (②－②断面, $S_s - D(++)$, 評価対象部材：隔壁⑤)
 解析ケース①：基本ケース

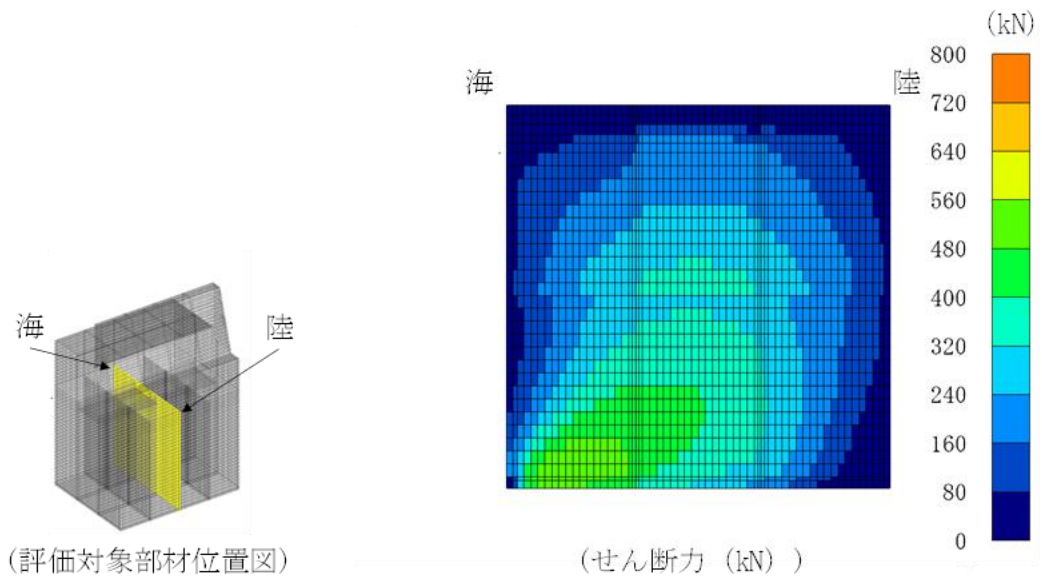


図 5.2.7-1(2) コンクリートのせん断破壊（面内）に対する照査に用いる断面力図
 (④－④断面, $S_s - N1(-+)$, 解析ケース②, 評価対象部材：隔壁④)
 解析ケース②：地盤物性のばらつきを考慮した解析ケース（平均値+ 1σ ）

5.2.8 断面力分布（圧縮破壊に対する照査：③-③断面）

放水路ケーソンの圧縮破壊に対する照査において、最も厳しい照査値となる解析ケース及び評価対象部材における断面力図を図 5.2.8-1 に示す。

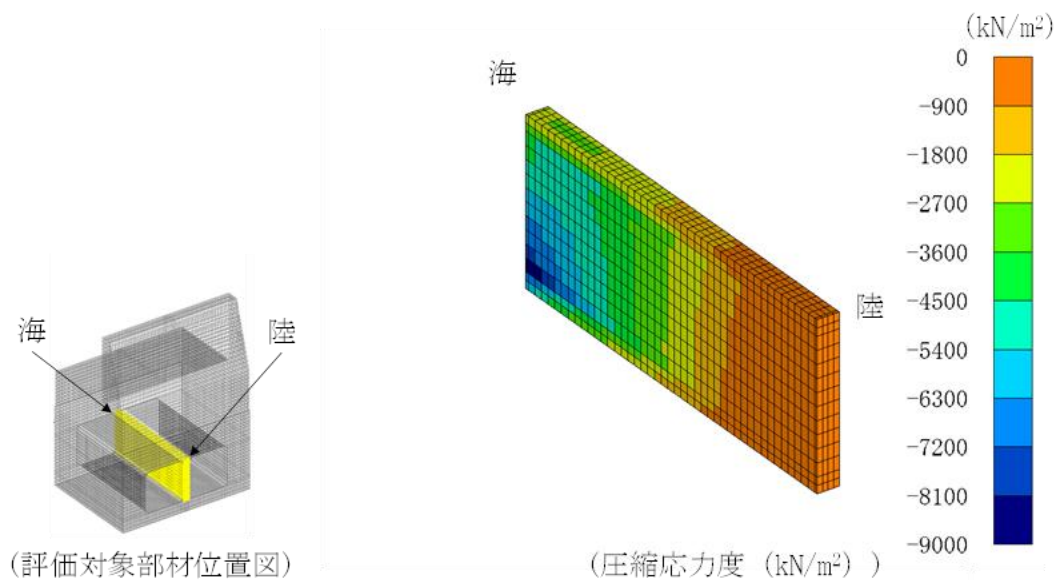


図 5.2.8-1 コンクリートの圧縮破壊に対する照査に用いる断面力図

（③-③断面， $S_s - N1 (-+)$ ，評価対象部材：隔壁）

解析ケース③：地盤物性のばらつきを考慮した解析ケース（平均値 -1σ ）

5.2.9 断面力分布（引張破壊に対する照査：③－③断面）

放水路ケーソンの引張破壊に対する照査において、最も厳しい照査値となる解析ケース及び評価対象部材における断面力図を図 5.2.9-1 に示す。

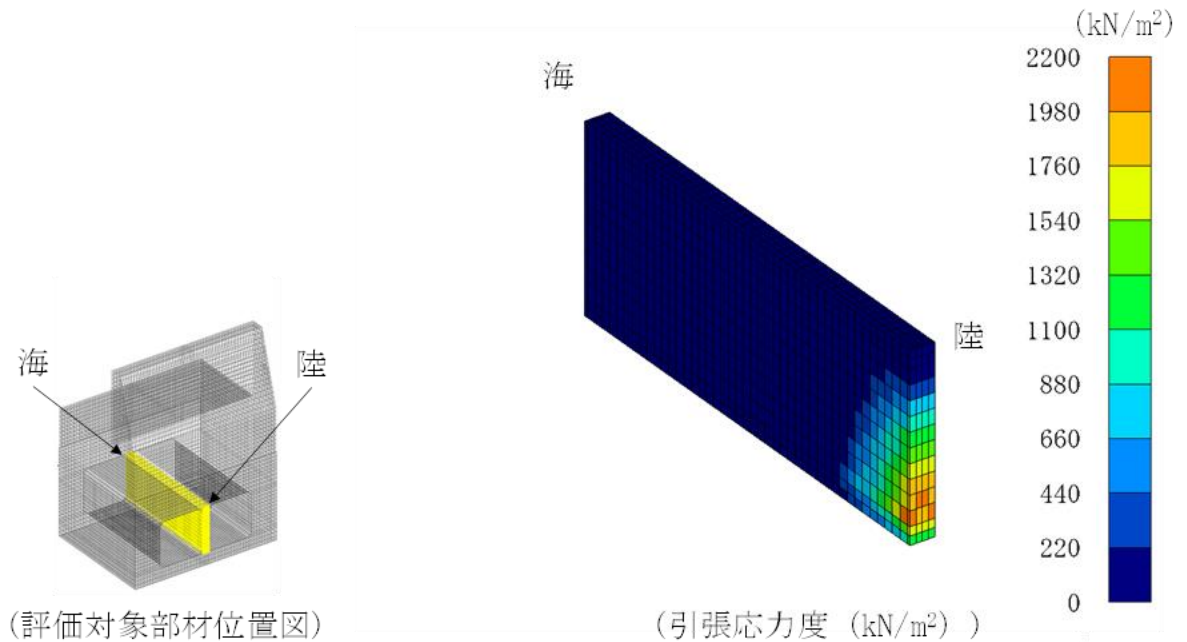


図 5.2.9-1 コンクリートの引張破壊に対する照査に用いる断面力図

(③－③断面， $S_s - N1 (-+)$ ，評価対象部材：隔壁)

解析ケース①：基本ケース

5.2.10 断面力分布（せん断破壊（面外）に対する照査：③-③断面）

放水路ケーソンの引張破壊に対する照査において、最も厳しい照査値となる解析ケース及び評価対象部材における断面力図を図 5.2.10-1 に示す。

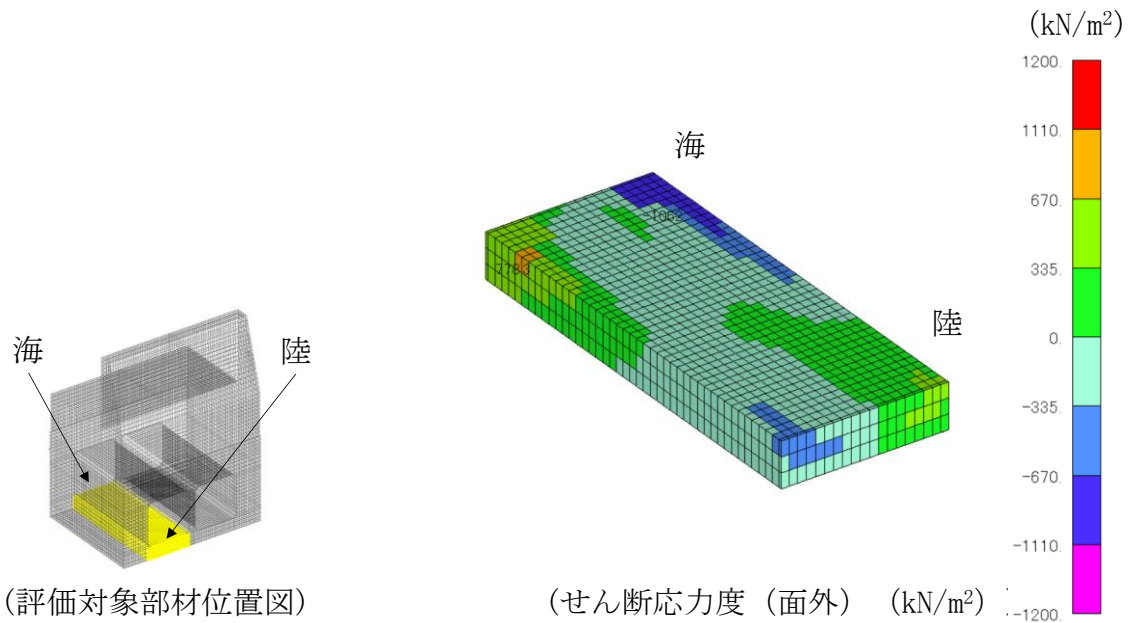


図 5.2.10-1 コンクリートのせん断破壊（面外）に対する照査に用いる断面力分布

（③-③断面， $S_s - N_1 (-+)$ ，評価対象部材：底版①）

解析ケース③：地盤物性のばらつきを考慮した解析ケース（平均値 -1σ ）

5.2.11 断面力分布（せん断破壊（面内）に対する照査：③-③断面）

放水路ケーソンの引張破壊に対する照査において、最も厳しい照査値となる解析ケース及び評価対象部材における断面力図を図 5.2.11-1 に示す。

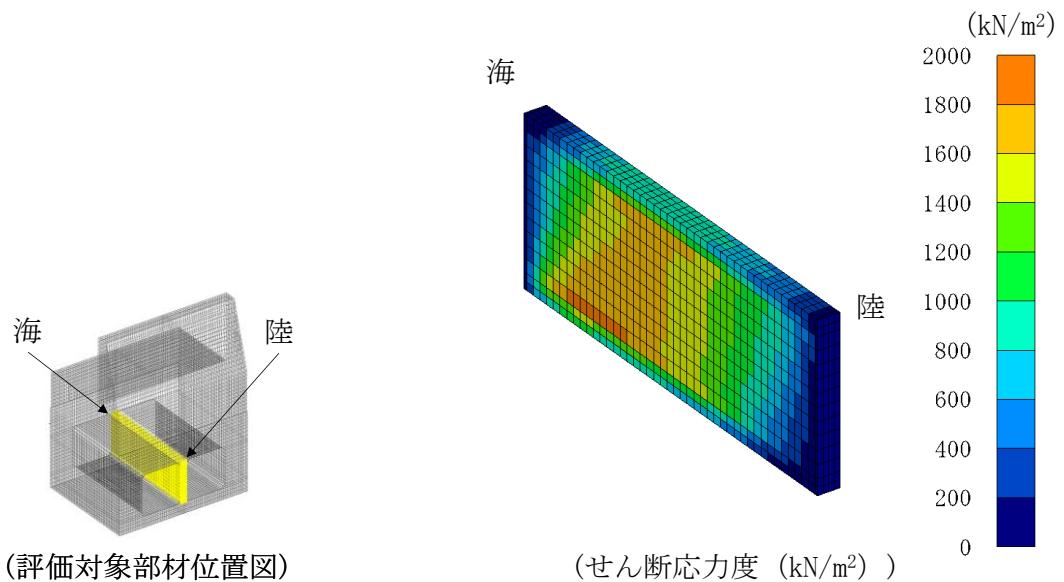


図 5.2.11-1 コンクリートのせん断破壊（面内）に対する照査に用いる断面力分布
（③-③断面， $S_s - N1 (-+)$ ，評価対象部材：隔壁）

解析ケース③：地盤物性のばらつきを考慮した解析ケース（平均値 -1σ ）

5.3 前壁，後壁，側壁，隔壁，底版及びフーチング（②－②断面及び④－④断面）

5.3.1 曲げ照査

各地震動における各部材の曲げ・軸力系の破壊に対する照査結果を表 5.3.1-1 及び表 5.3.1-2 に示す。

表 5.3.1-1(1) コンクリートの曲げ・軸力系の破壊に対する照査における最大照査値
(②－②断面)

解析 ケース	地震動		評価対象 部材	曲げ モーメント M (kN・m)	軸力 N (kN)	曲げ圧縮 応力度 σ_c (N/mm ²)	短期許容 応力度 σ_{ca} (N/mm ²)	照査値 σ_c / σ_{ca}
①	S s - D	(++)	底版	67	74	1.6	13.5	0.13
			フーチング	5	36	0.1	13.5	0.01
			前壁	2	1310	2.5	13.5	0.19
			後壁	1	797	1.6	13.5	0.12
			側壁①	30	840	2.3	13.5	0.17
			側壁②	30	840	2.3	13.5	0.17
			隔壁①	10	312	2.0	13.5	0.16
			隔壁②	8	61	1.7	13.5	0.13
			隔壁③	6	339	1.7	13.5	0.13
			隔壁④	1	589	2.2	13.5	0.17
			隔壁⑤	0	588	2.1	13.5	0.16
		隔壁⑥	1	589	2.2	13.5	0.17	
		(-+)	底版	79	56	1.9	13.5	0.15
			フーチング	30	11	0.2	13.5	0.02
			前壁	2	1479	2.8	13.5	0.21
			後壁	1	687	1.4	13.5	0.11
			側壁①	34	1023	2.7	13.5	0.21
			側壁②	34	1023	2.7	13.5	0.21
			隔壁①	6	512	2.3	13.5	0.17
			隔壁②	8	311	1.8	13.5	0.14
			隔壁③	7	290	1.7	13.5	0.13
			隔壁④	2	680	2.5	13.5	0.19
隔壁⑤	0		683	2.4	13.5	0.18		
隔壁⑥	2	680	2.5	13.5	0.19			

表 5.3.1-1(2) コンクリートの曲げ・軸力系の破壊に対する照査における最大照査値
(②-②断面)

解析 ケース	地震動		評価対象 部材	曲げ モーメント M (kN・m)	軸力 N (kN)	曲げ圧縮 応力度 σ_c (N/mm ²)	短期許容 応力度 σ_{ca} (N/mm ²)	照査値 σ_c / σ_{ca}
①	S s - D	(+-)	底版	65	51	1.6	13.5	0.12
			フーチング	17	15	0.1	13.5	0.01
			前壁	2	1213	2.3	13.5	0.18
			後壁	49	217	1.6	13.5	0.12
			側壁①	29	835	2.2	13.5	0.17
			側壁②	29	835	2.2	13.5	0.17
			隔壁①	6	417	2.0	13.5	0.15
			隔壁②	9	338	2.0	13.5	0.16
			隔壁③	8	326	1.9	13.5	0.14
			隔壁④	1	560	2.1	13.5	0.16
			隔壁⑤	0	561	2.0	13.5	0.15
			隔壁⑥	1	560	2.1	13.5	0.16
		(--)	底版	59	67	1.4	13.5	0.11
			フーチング	9	34	0.1	13.5	0.01
			前壁	12	1074	2.1	13.5	0.16
			後壁	0	835	1.7	13.5	0.13
			側壁①	27	724	2.0	13.5	0.15
			側壁②	27	724	2.0	13.5	0.15
			隔壁①	7	379	2.0	13.5	0.15
			隔壁②	8	390	2.1	13.5	0.16
			隔壁③	7	383	2.0	13.5	0.15
			隔壁④	1	519	1.9	13.5	0.15
隔壁⑤	0	518	1.8	13.5	0.14			
隔壁⑥	1	519	1.9	13.5	0.15			

表 5.3.1-1(3) コンクリートの曲げ・軸力系の破壊に対する照査における最大照査値
(②-②断面)

解析 ケース	地震動		評価対象 部材	曲げ モーメント M (kN・m)	軸力 N (kN)	曲げ圧縮 応力度 σ_c (N/mm ²)	短期許容 応力度 σ_{ca} (N/mm ²)	照査値 σ_c / σ_{ca}
①	S _s -F 1	(++)	底版	49	47	1.2	13.5	0.09
			フーチング	45	7	0.4	13.5	0.03
			前壁	3	874	1.7	13.5	0.13
			後壁	29	433	1.5	13.5	0.11
			側壁①	22	613	1.7	13.5	0.13
			側壁②	22	613	1.7	13.5	0.13
			隔壁①	7	276	1.6	13.5	0.12
			隔壁②	6	305	1.6	13.5	0.12
			隔壁③	5	325	1.6	13.5	0.12
			隔壁④	1	426	1.6	13.5	0.12
			隔壁⑤	0	424	1.5	13.5	0.11
			隔壁⑥	1	426	1.6	13.5	0.12
	S _s -F 2	(++)	底版	57	48	1.4	13.5	0.11
			フーチング	23	42	0.1	13.5	0.01
			前壁	4	966	1.9	13.5	0.15
			後壁	1	893	1.8	13.5	0.14
			側壁①	25	716	1.9	13.5	0.15
			側壁②	25	716	1.9	13.5	0.15
			隔壁①	6	350	1.8	13.5	0.14
			隔壁②	7	208	1.4	13.5	0.11
			隔壁③	4	339	1.6	13.5	0.12
			隔壁④	1	490	1.8	13.5	0.14
隔壁⑤	0	490	1.7	13.5	0.13			
隔壁⑥	1	490	1.8	13.5	0.14			

表 5.3.1-1(4) コンクリートの曲げ・軸力系の破壊に対する照査における最大照査値
(②-②断面)

解析 ケース	地震動		評価対象 部材	曲げ モーメント M (kN・m)	軸力 N (kN)	曲げ圧縮 応力度 σ_c (N/mm ²)	短期許容 応力度 σ_{ca} (N/mm ²)	照査値 σ_c / σ_{ca}
①	S s - N 1	(++)	底版	123	121	2.7	13.5	0.21
			フーチング	129	56	0.9	13.5	0.08
			前壁	6	417	0.9	13.5	0.07
			後壁	4	1953	4.1	13.5	0.31
			側壁①	30	1588	3.8	13.5	0.28
			側壁②	30	1588	3.8	13.5	0.28
			隔壁①	6	205	1.3	13.5	0.10
			隔壁②	7	325	1.8	13.5	0.14
			隔壁③	2	614	2.3	13.5	0.17
			隔壁④	5	740	3.0	13.5	0.23
			隔壁⑤	0	859	3.0	13.5	0.23
			隔壁⑥	5	740	3.0	13.5	0.23
		(-+)	底版	85	198	1.7	13.5	0.13
			フーチング	13	19	0.1	13.5	0.01
			前壁	9	1148	2.4	13.5	0.18
			後壁	1	409	0.8	13.5	0.07
			側壁①	30	880	2.4	13.5	0.18
			側壁②	30	880	2.4	13.5	0.18
			隔壁①	10	384	2.3	13.5	0.18
			隔壁②	10	262	1.9	13.5	0.14
			隔壁③	6	54	1.2	13.5	0.10
			隔壁④	1	608	2.2	13.5	0.17
隔壁⑤	0	606	2.1	13.5	0.16			
隔壁⑥	1	608	2.2	13.5	0.17			

表 5.3.1-1(5) コンクリートの曲げ・軸力系の破壊に対する照査における最大照査値
(②-②断面)

解析 ケース	地震動		評価対象 部材	曲げ モーメント M (kN・m)	軸力 N (kN)	曲げ圧縮 応力度 σ_c (N/mm ²)	短期許容 応力度 σ_{ca} (N/mm ²)	照査値 σ_c / σ_{ca}
①	S _s -N2 (NS)	(++)	底版	51	50	1.2	13.5	0.10
			フーチング	44	7	0.4	13.5	0.03
			前壁	4	876	1.7	13.5	0.13
			後壁	44	116	1.3	13.5	0.10
			側壁①	22	628	1.7	13.5	0.13
			側壁②	22	628	1.7	13.5	0.13
			隔壁①	7	276	1.6	13.5	0.13
			隔壁②	7	260	1.5	13.5	0.12
			隔壁③	6	255	1.5	13.5	0.11
			隔壁④	1	438	1.6	13.5	0.12
			隔壁⑤	0	437	1.5	13.5	0.12
		隔壁⑥	1	438	1.6	13.5	0.12	
		(-+)	底版	55	54	1.3	13.5	0.10
			フーチング	14	24	0.1	13.5	0.01
			前壁	6	912	1.8	13.5	0.14
			後壁	0	714	1.4	13.5	0.11
			側壁①	24	676	1.8	13.5	0.14
			側壁②	24	676	1.8	13.5	0.14
			隔壁①	8	294	1.8	13.5	0.14
			隔壁②	6	292	1.6	13.5	0.12
			隔壁③	5	310	1.5	13.5	0.12
			隔壁④	1	474	1.7	13.5	0.13
隔壁⑤	0		472	1.6	13.5	0.13		
隔壁⑥	1	474	1.7	13.5	0.13			

表 5.3.1-1(6) コンクリートの曲げ・軸力系の破壊に対する照査における最大照査値
(②-②断面)

解析 ケース	地震動		評価対象 部材	曲げ モーメント M (kN・m)	軸力 N (kN)	曲げ圧縮 応力度 σ_c (N/mm ²)	短期許容 応力度 σ_{ca} (N/mm ²)	照査値 σ_c / σ_{ca}
①	S s - N 2 (E W)	(++)	底版	65	79	1.6	13.5	0.12
			フーチング	26	3	0.2	13.5	0.02
			前壁	6	1159	2.3	13.5	0.18
			後壁	1	692	1.4	13.5	0.11
			側壁①	28	794	2.2	13.5	0.16
			側壁②	28	794	2.2	13.5	0.16
			隔壁①	10	270	1.9	13.5	0.15
			隔壁②	7	37	1.8	13.5	0.14
			隔壁③	7	274	1.6	13.5	0.12
			隔壁④	1	564	2.1	13.5	0.16
			隔壁⑤	0	562	2.0	13.5	0.15
			隔壁⑥	1	564	2.1	13.5	0.16
		(-+)	底版	49	44	1.2	13.5	0.09
			フーチング	35	9	0.3	13.5	0.03
			前壁	2	924	1.8	13.5	0.14
			後壁	1	690	1.4	13.5	0.11
			側壁①	22	616	1.7	13.5	0.13
			側壁②	22	616	1.7	13.5	0.13
			隔壁①	6	288	1.6	13.5	0.12
			隔壁②	5	225	1.3	13.5	0.10
			隔壁③	5	276	1.4	13.5	0.11
			隔壁④	1	424	1.6	13.5	0.12
隔壁⑤	0	423	1.5	13.5	0.11			
隔壁⑥	1	424	1.6	13.5	0.12			

表 5.3.1-1(7) コンクリートの曲げ・軸力系の破壊に対する照査における最大照査値
(②-②断面)

解析 ケース	地震動		評価対象 部材	曲げ モーメント M (kN・m)	軸力 N (kN)	曲げ圧縮 応力度 σ_c (N/mm ²)	短期許容 応力度 σ_{ca} (N/mm ²)	照査値 σ_c / σ_{ca}
②	S s - D	(++)	底版	54	51	1.3	13.5	0.10
			フーチング	13	28	0.1	13.5	0.01
			前壁	12	1019	2.0	13.5	0.15
			後壁	1	689	1.4	13.5	0.11
			側壁①	25	676	1.9	13.5	0.14
			側壁②	25	676	1.9	13.5	0.14
			隔壁①	8	281	1.7	13.5	0.13
			隔壁②	7	254	1.5	13.5	0.12
			隔壁③	6	282	1.5	13.5	0.12
			隔壁④	1	475	1.8	13.5	0.13
			隔壁⑤	0	473	1.7	13.5	0.13
			隔壁⑥	1	475	1.8	13.5	0.13
		(-+)	底版	67	57	1.6	13.5	0.13
			フーチング	14	12	0.1	13.5	0.01
			前壁	4	1187	2.3	13.5	0.18
			後壁	1	899	1.8	13.5	0.14
			側壁①	29	849	2.3	13.5	0.17
			側壁②	29	849	2.3	13.5	0.17
			隔壁①	8	401	2.1	13.5	0.16
			隔壁②	8	352	2.0	13.5	0.15
			隔壁③	7	379	1.9	13.5	0.15
			隔壁④	1	578	2.1	13.5	0.16
隔壁⑤	0	577	2.0	13.5	0.15			
隔壁⑥	1	579	2.1	13.5	0.16			

表 5.3.1-1(8) コンクリートの曲げ・軸力系の破壊に対する照査における最大照査値
(②-②断面)

解析 ケース	地震動		評価対象 部材	曲げ モーメント M (kN・m)	軸力 N (kN)	曲げ圧縮 応力度 σ_c (N/mm ²)	短期許容 応力度 σ_{ca} (N/mm ²)	照査値 σ_c / σ_{ca}
②	S s - N 1	(++)	底版	124	121	2.8	13.5	0.21
			フーチング	131	62	1.0	13.5	0.08
			前壁	6	423	0.9	13.5	0.07
			後壁	4	1967	4.1	13.5	0.31
			側壁①	30	1603	3.8	13.5	0.29
			側壁②	30	1603	3.8	13.5	0.29
			隔壁①	6	198	1.3	13.5	0.10
			隔壁②	7	319	1.8	13.5	0.14
			隔壁③	2	619	2.3	13.5	0.18
			隔壁④	5	749	3.1	13.5	0.23
			隔壁⑤	0	866	3.0	13.5	0.23
			隔壁⑥	5	749	3.1	13.5	0.23

表 5.3.1-1(9) コンクリートの曲げ・軸力系の破壊に対する照査における最大照査値
(②-②断面)

解析 ケース	地震動		評価対象 部材	曲げ モーメント M (kN・m)	軸力 N (kN)	曲げ圧縮 応力度 σ_c (N/mm ²)	短期許容 応力度 σ_{ca} (N/mm ²)	照査値 σ_c / σ_{ca}
③	S s - D	(++)	底版	64	59	1.5	13.5	0.12
			フーチング	9	11	0.1	13.5	0.01
			前壁	14	1187	2.3	13.5	0.18
			後壁	1	922	1.8	13.5	0.14
			側壁①	29	794	2.2	13.5	0.17
			側壁②	29	794	2.2	13.5	0.17
			隔壁①	9	316	1.9	13.5	0.15
			隔壁②	8	340	1.9	13.5	0.15
			隔壁③	7	383	1.9	13.5	0.15
			隔壁④	1	558	2.1	13.5	0.16
			隔壁⑤	0	557	1.9	13.5	0.15
			隔壁⑥	1	558	2.1	13.5	0.16
		(-+)	底版	73	52	1.8	13.5	0.14
			フーチング	140	49	1.1	13.5	0.08
			前壁	8	1280	2.6	13.5	0.20
			後壁	1	704	1.4	13.5	0.11
			側壁①	32	939	2.5	13.5	0.19
			側壁②	32	939	2.5	13.5	0.19
			隔壁①	5	486	2.1	13.5	0.16
			隔壁②	8	315	1.9	13.5	0.14
			隔壁③	7	296	1.7	13.5	0.13
			隔壁④	1	625	2.3	13.5	0.18
隔壁⑤	0	628	2.2	13.5	0.17			
隔壁⑥	1	625	2.3	13.5	0.18			

表 5.3.1-1(10) コンクリートの曲げ・軸力系の破壊に対する照査における最大照査値
(②-②断面)

解析 ケース	地震動		評価対象 部材	曲げ モーメント M (kN・m)	軸力 N (kN)	曲げ圧縮 応力度 σ_c (N/mm ²)	短期許容 応力度 σ_{ca} (N/mm ²)	照査値 σ_c / σ_{ca}
③	S s - N 1	(++)	底版	122	120	2.7	13.5	0.21
			フーチング	128	61	0.9	13.5	0.08
			前壁	6	434	0.9	13.5	0.08
			後壁	4	1943	4.1	13.5	0.31
			側壁①	29	1580	3.8	13.5	0.28
			側壁②	29	1580	3.8	13.5	0.28
			隔壁①	6	206	1.3	13.5	0.10
			隔壁②	7	323	1.8	13.5	0.14
			隔壁③	2	611	2.3	13.5	0.17
			隔壁④	5	736	3.0	13.5	0.23
			隔壁⑤	0	855	3.0	13.5	0.23
			隔壁⑥	5	736	3.0	13.5	0.23

表 5.3.1-1(11) コンクリートの曲げ・軸力系の破壊に対する照査における最大照査値
(④-④断面)

解析 ケース	地震動		評価対象 部材	曲げ モーメント M (kN・m)	軸力 N (kN)	曲げ圧縮 応力度 σ_c (N/mm ²)	短期許容 応力度 σ_{ca} (N/mm ²)	照査値 σ_c / σ_{ca}
①	S s - D	(++)	底版	157	90	2.9	13.5	0.22
			前壁	9	2030	4.4	13.5	0.33
			後壁	1	714	1.4	13.5	0.11
			側壁①	63	1477	4.3	13.5	0.32
			側壁②	63	1477	4.3	13.5	0.32
			隔壁①	15	559	3.3	13.5	0.25
			隔壁②	12	367	2.4	13.5	0.18
			隔壁③	3	971	3.5	13.5	0.26
			隔壁④	0	968	3.1	13.5	0.24
		隔壁⑤	3	971	3.5	13.5	0.26	
		(-+)	底版	184	85	3.4	13.5	0.26
			前壁	26	2008	4.6	13.5	0.35
			後壁	17	1696	3.8	13.5	0.29
			側壁①	72	1675	4.8	13.5	0.36
			側壁②	72	1675	4.8	13.5	0.36
			隔壁①	18	607	3.7	13.5	0.28
			隔壁②	13	384	2.5	13.5	0.19
			隔壁③	4	1112	3.9	13.5	0.30
			隔壁④	0	1108	3.6	13.5	0.27
隔壁⑤	4		1112	3.9	13.5	0.30		

表 5.3.1-1(12) コンクリートの曲げ・軸力系の破壊に対する照査における最大照査値
(④-④断面)

解析 ケース	地震動		評価対象 部材	曲げ モーメント M (kN・m)	軸力 N (kN)	曲げ圧縮 応力度 σ_c (N/mm ²)	短期許容 応力度 σ_{ca} (N/mm ²)	照査値 σ_c / σ_{ca}
①	S s - D	(+-)	底版	187	235	3.6	13.5	0.27
			前壁	21	2275	5.1	13.5	0.38
			後壁	0	1005	2.1	13.5	0.16
			側壁①	75	1817	5.2	13.5	0.39
			側壁②	75	1817	5.2	13.5	0.39
			隔壁①	18	560	3.6	13.5	0.27
			隔壁②	8	483	2.4	13.5	0.18
			隔壁③	4	1177	4.2	13.5	0.32
			隔壁④	0	1177	3.8	13.5	0.29
			隔壁⑤	4	1177	4.2	13.5	0.32
		(--)	底版	143	386	2.8	13.5	0.21
			前壁	9	2528	5.4	13.5	0.40
			後壁	3	694	1.5	13.5	0.11
			側壁①	74	1745	5.0	13.5	0.38
			側壁②	74	1745	5.0	13.5	0.38
			隔壁①	14	632	3.4	13.5	0.26
			隔壁②	10	340	2.1	13.5	0.16
			隔壁③	5	1086	3.9	13.5	0.30
			隔壁④	0	1091	3.5	13.5	0.27
			隔壁⑤	5	1086	3.9	13.5	0.30

表 5.3.1-1(13) コンクリートの曲げ・軸力系の破壊に対する照査における最大照査値
(④-④断面)

解析 ケース	地震動		評価対象 部材	曲げ モーメント M (kN・m)	軸力 N (kN)	曲げ圧縮 応力度 σ_c (N/mm ²)	短期許容 応力度 σ_{ca} (N/mm ²)	照査値 σ_c / σ_{ca}
①	S _s -F1	(++)	底版	118	24	1.9	13.5	0.15
			前壁	16	1684	3.8	13.5	0.28
			後壁	0	400	0.8	13.5	0.07
			側壁①	54	1192	3.5	13.5	0.26
			側壁②	54	1192	3.5	13.5	0.26
			隔壁①	10	400	2.3	13.5	0.18
			隔壁②	8	238	1.6	13.5	0.12
			隔壁③	3	759	2.8	13.5	0.21
			隔壁④	0	776	2.5	13.5	0.19
			隔壁⑤	3	759	2.8	13.5	0.21
	S _s -F2	(++)	底版	134	212	2.6	13.5	0.20
			前壁	15	1668	3.7	13.5	0.28
			後壁	1	424	0.9	13.5	0.07
			側壁①	58	1311	3.8	13.5	0.29
			側壁②	58	1311	3.8	13.5	0.29
			隔壁①	13	435	2.7	13.5	0.21
			隔壁②	9	280	1.8	13.5	0.14
			隔壁③	3	872	3.1	13.5	0.24
			隔壁④	0	869	2.8	13.5	0.21
隔壁⑤	3	872	3.1	13.5	0.24			

表 5.3.1-1(14) コンクリートの曲げ・軸力系の破壊に対する照査における最大照査値
(④-④断面)

解析 ケース	地震動		評価対象 部材	曲げ モーメント M (kN・m)	軸力 N (kN)	曲げ圧縮 応力度 σ_c (N/mm ²)	短期許容 応力度 σ_{ca} (N/mm ²)	照査値 σ_c / σ_{ca}
①	S _s -N1	(++)	底版	146	179	2.8	13.5	0.21
			前壁	9	802	1.8	13.5	0.14
			後壁	26	2059	4.7	13.5	0.36
			側壁①	65	1738	4.8	13.5	0.36
			側壁②	65	1738	4.8	13.5	0.36
			隔壁①	8	310	1.8	13.5	0.14
			隔壁②	3	730	2.7	13.5	0.21
			隔壁③	5	1044	3.8	13.5	0.29
			隔壁④	0	1052	3.4	13.5	0.26
			隔壁⑤	5	1044	3.8	13.5	0.29
		(-+)	底版	199	270	3.8	13.5	0.29
			前壁	21	2667	5.9	13.5	0.44
			後壁	0	974	2.0	13.5	0.15
			側壁①	84	2065	5.9	13.5	0.44
			側壁②	84	2065	5.9	13.5	0.44
			隔壁①	19	673	4.0	13.5	0.30
			隔壁②	9	442	2.4	13.5	0.18
			隔壁③	5	1320	4.7	13.5	0.36
			隔壁④	0	1317	4.3	13.5	0.32
			隔壁⑤	5	1320	4.7	13.5	0.36

表 5.3.1-1(15) コンクリートの曲げ・軸力系の破壊に対する照査における最大照査値
(④-④断面)

解析 ケース	地震動		評価対象 部材	曲げ モーメント M (kN・m)	軸力 N (kN)	曲げ圧縮 応力度 σ_c (N/mm ²)	短期許容 応力度 σ_{ca} (N/mm ²)	照査値 σ_c / σ_{ca}
①	S s - N 2 (N S)	(++)	底版	133	202	2.6	13.5	0.19
			前壁	15	1545	3.5	13.5	0.26
			後壁	1	501	1.0	13.5	0.08
			側壁①	53	1211	3.5	13.5	0.27
			側壁②	53	1211	3.5	13.5	0.27
			隔壁①	11	268	2.0	13.5	0.15
			隔壁②	6	293	1.5	13.5	0.12
			隔壁③	3	808	2.9	13.5	0.22
			隔壁④	0	804	2.6	13.5	0.20
			隔壁⑤	3	808	2.9	13.5	0.22
		(-+)	底版	118	219	2.3	13.5	0.18
			前壁	13	1456	3.3	13.5	0.25
			後壁	0	662	1.4	13.5	0.11
			側壁①	50	1110	3.3	13.5	0.25
			側壁②	50	1110	3.3	13.5	0.25
			隔壁①	8	371	2.0	13.5	0.16
			隔壁②	7	326	1.8	13.5	0.14
			隔壁③	3	736	2.6	13.5	0.20
			隔壁④	0	736	2.4	13.5	0.18
			隔壁⑤	3	736	2.6	13.5	0.20

表 5.3.1-1(16) コンクリートの曲げ・軸力系の破壊に対する照査における最大照査値
(④-④断面)

解析 ケース	地震動		評価対象 部材	曲げ モーメント M (kN・m)	軸力 N (kN)	曲げ圧縮 応力度 σ_c (N/mm ²)	短期許容 応力度 σ_{ca} (N/mm ²)	照査値 σ_c / σ_{ca}
①	S s - N 2 (E W)	(++)	底版	86	50	1.3	13.5	0.10
			前壁	10	553	1.3	13.5	0.10
			後壁	5	108 2	2.3	13.5	0.18
			側壁①	33	866	2.4	13.5	0.18
			側壁②	33	866	2.4	13.5	0.18
			隔壁①	8	317	1.8	13.5	0.14
			隔壁②	7	390	1.9	13.5	0.15
			隔壁③	2	508	1.9	13.5	0.14
			隔壁④	0	516	1.7	13.5	0.13
		隔壁⑤	2	508	1.9	13.5	0.14	
		(-+)	底版	87	17	1.4	13.5	0.11
			前壁	16	138 6	3.2	13.5	0.24
			後壁	1	783	1.6	13.5	0.13
			側壁①	41	848	2.5	13.5	0.19
			側壁②	41	848	2.5	13.5	0.19
			隔壁①	6	400	1.9	13.5	0.15
			隔壁②	5	391	1.8	13.5	0.14
			隔壁③	0	646	2.1	13.5	0.16
隔壁④	0		637	2.1	13.5	0.16		
隔壁⑤	0	646	2.1	13.5	0.16			

表 5.3.1-1(17) コンクリートの曲げ・軸力系の破壊に対する照査における最大照査値

(④-④断面)

解析 ケース	地震動		評価対象 部材	曲げ モーメント M (kN・m)	軸力 N (kN)	曲げ圧縮 応力度 σ_c (N/mm ²)	短期許容 応力度 σ_{ca} (N/mm ²)	照査値 σ_c / σ_{ca}
②	S s - D	(- +)	底版	195	94	3.6	13.5	0.27
			前壁	27	2102	4.9	13.5	0.36
			後壁	17	1677	3.8	13.5	0.28
			側壁①	75	1750	5.1	13.5	0.38
			側壁②	75	1750	5.1	13.5	0.38
			隔壁①	19	623	3.9	13.5	0.29
			隔壁②	13	362	2.4	13.5	0.19
			隔壁③	4	1165	4.1	13.5	0.31
			隔壁④	0	1161	3.8	13.5	0.28
			隔壁⑤	4	1165	4.1	13.5	0.31

表 5.3.1-1(18) コンクリートの曲げ・軸力系の破壊に対する照査における最大照査値
(④-④断面)

解析 ケース	地震動		評価対象 部材	曲げ モーメント M (kN・m)	軸力 N (kN)	曲げ圧縮 応力度 σ_c (N/mm ²)	短期許容 応力度 σ_{ca} (N/mm ²)	照査値 σ_c / σ_{ca}
②	S s - N 1	(- +)	底版	212	272	4.1	13.5	0.31
			前壁	22	2744	6.1	13.5	0.46
			後壁	0	1008	2.0	13.5	0.16
			側壁①	87	2147	6.1	13.5	0.46
			側壁②	87	2147	6.1	13.5	0.46
			隔壁①	20	657	4.1	13.5	0.31
			隔壁②	9	438	2.3	13.5	0.18
			隔壁③	5	1375	4.9	13.5	0.37
			隔壁④	0	1376	4.4	13.5	0.33
			隔壁⑤	5	1375	4.9	13.5	0.37

表 5.3.1-1(19) コンクリートの曲げ・軸力系の破壊に対する照査における最大照査値

(4-4断面)

解析 ケース	地震動		評価対象 部材	曲げ モーメント M (kN・m)	軸力 N (kN)	曲げ圧縮 応力度 σ_c (N/mm ²)	短期許容 応力度 σ_{ca} (N/mm ²)	照査値 σ_c / σ_{ca}
③	S s - D	(- +)	底版	187	84	3.5	13.5	0.26
			前壁	27	2029	4.7	13.5	0.35
			後壁	17	1705	3.8	13.5	0.29
			側壁①	72	1693	4.9	13.5	0.37
			側壁②	72	1693	4.9	13.5	0.37
			隔壁①	18	611	3.8	13.5	0.29
			隔壁②	13	387	2.5	13.5	0.19
			隔壁③	4	1126	4.0	13.5	0.30
			隔壁④	0	1122	3.6	13.5	0.27
			隔壁⑤	4	1126	4.0	13.5	0.30

表 5.3.1-1(20) コンクリートの曲げ・軸力系の破壊に対する照査における最大照査値
(④-④断面)

解析 ケース	地震動		評価対象 部材	曲げ モーメント M (kN・m)	軸力 N (kN)	曲げ圧縮 応力度 σ_c (N/mm ²)	短期許容 応力度 σ_{ca} (N/mm ²)	照査値 σ_c / σ_{ca}
③	S s - N 1	(- +)	底版	207	272	4.0	13.5	0.30
			前壁	22	2727	6.0	13.5	0.45
			後壁	1	994	2.0	13.5	0.15
			側壁①	86	2122	6.1	13.5	0.45
			側壁②	86	2122	6.1	13.5	0.45
			隔壁①	19	669	4.1	13.5	0.31
			隔壁②	11	126	2.3	13.5	0.17
			隔壁③	5	1358	4.9	13.5	0.37
			隔壁④	0	1357	4.4	13.5	0.33
			隔壁⑤	5	1358	4.9	13.5	0.37

表 5.3.1-2(1) 鉄筋の曲げ・軸力系の破壊に対する照査における最大照査値
(②-②断面)

解析 ケース	地震動		評価対象 部材	曲げ モーメント M (kN・m)	軸力 N (kN)	曲げ引張 応力度 σ_s (N/mm ²)	短期許容 応力度 σ_{sa} (N/mm ²)	照査値 σ_s / σ_{sa}
①	S s - D	(++)	底版	50	42	77.1	294	0.27
			フーチング	27	399	58.2	294	0.20
			前壁	1	73	30.4	294	0.11
			後壁	8	110	41.8	294	0.15
			側壁①	4	113	56.9	294	0.20
			側壁②	-4	113	56.9	294	0.20
			隔壁①	0	85	70.3	294	0.24
			隔壁②	2	76	71.4	294	0.25
			隔壁③	0	71	56.6	294	0.20
			隔壁④	0	20	19.0	294	0.07
			隔壁⑤	0	24	18.8	294	0.07
		隔壁⑥	0	20	19.0	294	0.07	
		(-+)	底版	69	54	105.7	294	0.36
			フーチング	6	417	70.1	294	0.24
			前壁	1	103	44.0	294	0.15
			後壁	1	137	58.3	294	0.20
			側壁①	3	121	59.4	294	0.21
			側壁②	3	121	59.4	294	0.21
			隔壁①	0	78	63.4	294	0.22
			隔壁②	0	84	67.6	294	0.23
			隔壁③	0	66	52.4	294	0.18
			隔壁④	1	26	24.8	294	0.09
隔壁⑤	0		36	28.4	294	0.10		
隔壁⑥	1	26	24.8	294	0.09			

表 5.3.1-2(2) 鉄筋の曲げ・軸力系の破壊に対する照査における最大照査値

(②-②断面)

解析 ケース	地震動		評価対象 部材	曲げ モーメント M (kN・m)	軸力 N (kN)	曲げ引張 応力度 σ_s (N/mm ²)	短期許容 応力度 σ_{sa} (N/mm ²)	照査値 σ_s / σ_{sa}
①	S s - D	(+-)	底版	58	45	88.7	294	0.31
			フーチング	13	497	81.1	294	0.28
			前壁	0	76	33.0	294	0.12
			後壁	6	110	38.7	294	0.14
			側壁①	4	144	70.6	294	0.25
			側壁②	4	144	70.6	294	0.25
			隔壁①	0	66	53.8	294	0.19
			隔壁②	0	80	63.6	294	0.22
			隔壁③	0	70	56.2	294	0.20
			隔壁④	0	37	32.8	294	0.12
			隔壁⑤	0	35	27.9	294	0.10
		隔壁⑥	0	37	32.8	294	0.12	
		(--)	底版	57	52	88.6	294	0.31
			フーチング	23	462	71.1	294	0.25
			前壁	1	76	32.2	294	0.11
			後壁	7	108	40.1	294	0.14
			側壁①	5	134	67.0	294	0.23
			側壁②	5	134	67.0	294	0.23
			隔壁①	0	78	64.6	294	0.22
			隔壁②	2	72	67.0	294	0.23
			隔壁③	0	78	61.5	294	0.21
			隔壁④	1	31	29.7	294	0.11
隔壁⑤	0		38	29.9	294	0.11		
隔壁⑥	1	31	29.7	294	0.11			

表 5.3.1-2(3) 鉄筋の曲げ・軸力系の破壊に対する照査における最大照査値
(②-②断面)

解析 ケース	地震動		評価対象 部材	曲げ モーメント M (kN・m)	軸力 N (kN)	曲げ引張 応力度 σ_s (N/mm ²)	短期許容 応力度 σ_{sa} (N/mm ²)	照査値 σ_s / σ_{sa}
①	S _s -F 1	(++)	底版	47	44	74.2	294	0.26
			フーチング	29	394	56.8	294	0.20
			前壁	0	59	25.4	294	0.09
			後壁	8	104	40.2	294	0.14
			側壁①	2	74	37.6	294	0.13
			側壁②	2	74	37.6	294	0.13
			隔壁①	0	57	46.5	294	0.16
			隔壁②	0	74	58.6	294	0.20
			隔壁③	0	71	56.4	294	0.20
			隔壁④	1	8	10.6	294	0.04
			隔壁⑤	0	13	10.5	294	0.04
			隔壁⑥	1	8	10.6	294	0.04
	S _s -F 2	(++)	底版	54	54	86.4	294	0.30
			フーチング	21	201	44.1	294	0.15
			前壁	3	126	40.3	294	0.14
			後壁	1	115	38.4	294	0.14
			側壁①	0	112	49.4	294	0.17
			側壁②	0	112	49.4	294	0.17
			隔壁①	0	57	46.2	294	0.16
			隔壁②	0	72	57.5	294	0.20
			隔壁③	0	74	58.3	294	0.20
			隔壁④	0	16	16.2	294	0.06
隔壁⑤	0	23	18.2	294	0.07			
隔壁⑥	0	16	16.2	294	0.06			

表 5.3.1-2(4) 鉄筋の曲げ・軸力系の破壊に対する照査における最大照査値

(②-②断面)

解析 ケース	地震動		評価対象 部材	曲げ モーメント M (kN・m)	軸力 N (kN)	曲げ引張 応力度 σ_s (N/mm ²)	短期許容 応力度 σ_{sa} (N/mm ²)	照査値 σ_s / σ_{sa}
①	S s - N 1	(++)	底版	123	121	195.5	294	0.67
			フーチング	120	249	92.7	294	0.32
			前壁	4	282	94.3	294	0.33
			後壁	14	154	72.0	294	0.25
			側壁①	0	259	113.7	294	0.39
			側壁②	0	259	113.7	294	0.39
			隔壁①	0	35	27.8	294	0.10
			隔壁②	0	76	60.8	294	0.21
			隔壁③	0	131	104.6	294	0.36
			隔壁④	0	56	45.7	294	0.16
			隔壁⑤	0	68	54.0	294	0.19
		隔壁⑥	0	56	45.7	294	0.16	
		(-+)	底版	57	52	88.9	294	0.31
			フーチング	1	141	24.9	294	0.09
			前壁	1	76	32.2	294	0.11
			後壁	7	119	43.0	294	0.15
			側壁①	2	66	34.0	294	0.12
			側壁②	2	66	34.0	294	0.12
			隔壁①	0	72	58.4	294	0.20
			隔壁②	0	95	75.0	294	0.26
			隔壁③	0	70	55.5	294	0.19
			隔壁④	1	33	31.1	294	0.11
隔壁⑤	0		41	32.3	294	0.11		
隔壁⑥	1	33	31.1	294	0.11			

表 5.3.1-2(5) 鉄筋の曲げ・軸力系の破壊に対する照査における最大照査値

(②-②断面)

解析 ケース	地震動		評価対象 部材	曲げ モーメント M (kN・m)	軸力 N (kN)	曲げ引張 応力度 σ_s (N/mm ²)	短期許容 応力度 σ_{sa} (N/mm ²)	照査値 σ_s / σ_{sa}
①	S s - N 2 (N S)	(++)	底版	10	224	68.7	294	0.24
			フーチング	9	413	68.2	294	0.24
			前壁	0	58	25.0	294	0.09
			後壁	8	107	41.1	294	0.14
			側壁①	3	117	57.1	294	0.20
			側壁②	3	117	57.1	294	0.20
			隔壁①	0	59	48.1	294	0.17
			隔壁②	0	75	59.9	294	0.21
			隔壁③	0	65	52.1	294	0.18
			隔壁④	0	30	26.8	294	0.10
			隔壁⑤	0	29	22.8	294	0.08
		隔壁⑥	0	30	26.8	294	0.10	
		(-+)	底版	44	39	69.3	294	0.24
			フーチング	27	347	49.3	294	0.17
			前壁	0	59	25.5	294	0.09
			後壁	6	97	35.1	294	0.12
			側壁①	3	95	48.2	294	0.17
			側壁②	3	95	48.2	294	0.17
			隔壁①	0	60	49.3	294	0.17
			隔壁②	0	76	60.5	294	0.21
			隔壁③	0	66	52.2	294	0.18
			隔壁④	1	16	16.0	294	0.06
隔壁⑤	0		22	17.1	294	0.06		
隔壁⑥	1	16	16.0	294	0.06			

表 5.3.1-2(6) 鉄筋の曲げ・軸力系の破壊に対する照査における最大照査値

(②-②断面)

解析 ケース	地震動		評価対象 部材	曲げ モーメント M (kN・m)	軸力 N (kN)	曲げ引張 応力度 σ_s (N/mm ²)	短期許容 応力度 σ_{sa} (N/mm ²)	照査値 σ_s / σ_{sa}
①	S s - N 2 (E W)	(++)	底版	6	251	71.2	294	0.25
			フーチング	20	430	66.9	294	0.23
			前壁	1	67	28.2	294	0.10
			後壁	9	109	42.2	294	0.15
			側壁①	4	122	60.2	294	0.21
			側壁②	4	122	60.2	294	0.21
			隔壁①	0	83	68.7	294	0.24
			隔壁②	2	72	67.8	294	0.24
			隔壁③	0	66	53.1	294	0.19
			隔壁④	0	28	25.3	294	0.09
			隔壁⑤	0	27	21.1	294	0.08
		隔壁⑥	0	28	25.3	294	0.09	
		(-+)	底版	41	41	65.7	294	0.23
			フーチング	27	330	46.5	294	0.16
			前壁	0	58	24.7	294	0.09
			後壁	7	100	37.4	294	0.13
			側壁①	3	91	46.0	294	0.16
			側壁②	3	91	46.0	294	0.16
			隔壁①	0	56	46.0	294	0.16
			隔壁②	0	71	56.6	294	0.20
			隔壁③	0	65	51.9	294	0.18
			隔壁④	0	12	12.6	294	0.05
隔壁⑤	0		15	11.9	294	0.05		
隔壁⑥	0	12	12.6	294	0.05			

表 5.3.1-2(7) 曲げ・軸力系の破壊に対する照査における最大照査値
(②-②断面)

解析 ケース	地震動		評価対象 部材	曲げ モーメント M (kN・m)	軸力 N (kN)	曲げ引張 応力度 σ_s (N/mm ²)	短期許容 応力度 σ_{sa} (N/mm ²)	照査値 σ_s / σ_{sa}
②	S s - D	(++)	底版	43	40	67.3	294	0.23
			フーチング	19	398	61.5	294	0.21
			前壁	1	62	26.2	294	0.09
			後壁	8	108	40.8	294	0.14
			側壁①	3	112	55.4	294	0.19
			側壁②	3	112	55.4	294	0.19
			隔壁①	0	68	56.4	294	0.20
			隔壁②	1	68	63.6	294	0.22
			隔壁③	0	65	51.9	294	0.18
			隔壁④	0	23	21.4	294	0.08
			隔壁⑤	0	22	17.2	294	0.06
			隔壁⑥	0	23	21.4	294	0.08
		(-+)	底版	58	42	86.9	294	0.30
			フーチング	33	443	63.4	294	0.22
			前壁	1	75	31.6	294	0.11
			後壁	7	112	40.5	294	0.14
			側壁①	5	127	64.4	294	0.22
			側壁②	5	127	64.4	294	0.22
			隔壁①	0	68	55.2	294	0.19
			隔壁②	0	86	68.0	294	0.24
			隔壁③	0	77	60.8	294	0.21
			隔壁④	1	27	24.9	294	0.09
隔壁⑤	0	35	27.4	294	0.10			
隔壁⑥	1	27	24.9	294	0.09			

表 5.3.1-2(8) 鉄筋の曲げ・軸力系の破壊に対する照査における最大照査値
(②-②断面)

解析 ケース	地震動		評価対象 部材	曲げ モーメント M (kN・m)	軸力 N (kN)	曲げ引張 応力度 σ_s (N/mm ²)	短期許容 応力度 σ_{sa} (N/mm ²)	照査値 σ_s / σ_{sa}
②	S s - N 1	(++)	底版	124	121	197.1	294	0.68
			フーチング	121	250	93.4	294	0.32
			前壁	4	279	93.1	294	0.32
			後壁	14	156	72.6	294	0.25
			側壁①	0	255	112.2	294	0.39
			側壁②	0	255	112.2	294	0.39
			隔壁①	0	34	27.5	294	0.10
			隔壁②	0	77	61.7	294	0.21
			隔壁③	0	133	105.5	294	0.36
			隔壁④	0	57	46.3	294	0.16
			隔壁⑤	0	69	54.7	294	0.19
			隔壁⑥	0	57	46.3	294	0.16

表 5.3.1-2(9) 鉄筋の曲げ・軸力系の破壊に対する照査における最大照査値

(②-②断面)

解析 ケース	地震動		評価対象 部材	曲げ モーメント M (kN・m)	軸力 N (kN)	曲げ引張 応力度 σ_s (N/mm ²)	短期許容 応力度 σ_{sa} (N/mm ²)	照査値 σ_s / σ_{sa}
③	S s - D	(++)	底版	55	51	86.5	294	0.30
			フーチング	35	443	62.8	294	0.22
			前壁	1	73	31.0	294	0.11
			後壁	8	112	42.1	294	0.15
			側壁①	5	128	64.7	294	0.23
			側壁②	5	128	64.7	294	0.23
			隔壁①	0	79	65.2	294	0.23
			隔壁②	2	75	70.1	294	0.24
			隔壁③	0	78	62.2	294	0.22
			隔壁④	1	20	20.8	294	0.08
			隔壁⑤	0	25	19.7	294	0.07
		隔壁⑥	1	20	20.8	294	0.08	
		(-+)	底版	66	52	101.3	294	0.35
			フーチング	8	427	71.0	294	0.25
			前壁	0	91	38.8	294	0.14
			後壁	7	244	94.2	294	0.33
			側壁①	5	136	70.9	294	0.25
			側壁②	5	136	70.9	294	0.25
			隔壁①	0	74	60.6	294	0.21
			隔壁②	0	83	66.0	294	0.23
			隔壁③	0	66	52.8	294	0.18
			隔壁④	0	86	35.5	294	0.13
隔壁⑤	0		84	34.7	294	0.12		
隔壁⑥	0	86	35.5	294	0.13			

表 5.3.1-2(10) 鉄筋の曲げ・軸力系の破壊に対する照査における最大照査値
(②-②断面)

解析 ケース	地震動		評価対象 部材	曲げ モーメント M (kN・m)	軸力 N (kN)	曲げ引張 応力度 σ_s (N/mm ²)	短期許容 応力度 σ_{sa} (N/mm ²)	照査値 σ_s / σ_{sa}
③	S s - N 1	(++)	底版	122	120	194.4	294	0.67
			フーチング	119	246	92.1	294	0.32
			前壁	4	280	93.6	294	0.32
			後壁	13	153	71.5	294	0.25
			側壁①	0	257	112.9	294	0.39
			側壁②	0	257	112.9	294	0.39
			隔壁①	0	35	28.3	294	0.10
			隔壁②	0	76	60.6	294	0.21
			隔壁③	0	131	104.0	294	0.36
			隔壁④	0	56	45.3	294	0.16
			隔壁⑤	0	68	53.6	294	0.19
			隔壁⑥	0	56	45.3	294	0.16

表 5.3.1-2(11) 曲げ・軸力系の破壊に対する照査における最大照査値

(④-④断面)

解析 ケース	地震動		評価対象 部材	曲げ モーメント M (kN・m)	軸力 N (kN)	曲げ引張 応力度 σ_s (N/mm ²)	短期許容 応力度 σ_{sa} (N/mm ²)	照査値 σ_s / σ_{sa}
①	S s - D	(++)	底版	142	87	133.0	294	0.46
			前壁	19	134	73.6	294	0.26
			後壁	8	153	53.1	294	0.19
			側壁①	12	116	49.2	294	0.17
			側壁②	12	116	49.2	294	0.17
			隔壁①	0	148	92.1	294	0.32
			隔壁②	0	105	64.8	294	0.23
			隔壁③	0	138	85.2	294	0.29
			隔壁④	0	146	89.5	294	0.31
		隔壁⑤	0	138	85.2	294	0.29	
		(-+)	底版	163	71	146.4	294	0.50
			前壁	16	140	70.9	294	0.25
			後壁	6	170	66.8	294	0.23
			側壁①	13	141	57.5	294	0.20
			側壁②	13	141	57.5	294	0.20
			隔壁①	0	153	94.6	294	0.33
			隔壁②	0	132	81.4	294	0.28
			隔壁③	0	169	104.2	294	0.36
			隔壁④	0	178	109.1	294	0.38
隔壁⑤	0		169	104.2	294	0.36		

表 5.3.1-2(12) 鉄筋の曲げ・軸力系の破壊に対する照査における最大照査値

(④-④断面)

解析 ケース	地震動		評価対象 部材	曲げ モーメント M (kN・m)	軸力 N (kN)	曲げ引張 応力度 σ_s (N/mm ²)	短期許容 応力度 σ_{sa} (N/mm ²)	照査値 σ_s / σ_{sa}
①	S s - D	(+-)	底版	177	88	161.5	294	0.55
			前壁	9	194	79.7	294	0.28
			後壁	10	168	60.6	294	0.21
			側壁①	10	128	49.1	294	0.17
			側壁②	10	128	49.1	294	0.17
			隔壁①	0	174	108.1	294	0.37
			隔壁②	0	112	69.0	294	0.24
			隔壁③	0	154	94.7	294	0.33
			隔壁④	0	165	101.5	294	0.35
		隔壁⑤	0	154	94.7	294	0.33	
		(--)	底版	173	116	163.8	294	0.56
			前壁	23	168	89.7	294	0.31
			後壁	11	166	61.2	294	0.21
			側壁①	2	114	46.3	294	0.16
			側壁②	2	114	46.3	294	0.16
			隔壁①	0	164	101.5	294	0.35
			隔壁②	1	94	62.6	294	0.22
			隔壁③	0	143	88.2	294	0.30
			隔壁④	0	155	95.3	294	0.33
隔壁⑤	0		143	88.2	294	0.30		

表 5.3.1-2(13) 鉄筋の曲げ・軸力系の破壊に対する照査における最大照査値

(④-④断面)

解析 ケース	地震動		評価対象 部材	曲げ モーメント M (kN・m)	軸力 N (kN)	曲げ引張 応力度 σ_s (N/mm ²)	短期許容 応力度 σ_{sa} (N/mm ²)	照査値 σ_s / σ_{sa}
①	S _s -F1	(++)	底版	121	85	115.3	294	0.40
			前壁	17	121	65.9	294	0.23
			後壁	2	162	68.7	294	0.24
			側壁①	1	147	62.5	294	0.22
			側壁②	1	147	62.5	294	0.22
			隔壁①	0	116	71.9	294	0.25
			隔壁②	0	79	50.1	294	0.18
			隔壁③	0	79	48.8	294	0.17
			隔壁④	0	88	54.0	294	0.19
			隔壁⑤	0	79	48.8	294	0.17
	S _s -F2	(++)	底版	131	66	119.3	294	0.41
			前壁	8	144	60.6	294	0.21
			後壁	9	142	51.9	294	0.18
			側壁①	8	88	35.5	294	0.13
			側壁②	8	88	35.5	294	0.13
			隔壁①	0	132	82.0	294	0.28
			隔壁②	0	86	53.8	294	0.19
			隔壁③	0	103	63.4	294	0.22
			隔壁④	0	111	68.4	294	0.24
隔壁⑤	0	103	63.4	294	0.22			

表 5.3.1-2(14) 鉄筋の曲げ・軸力系の破壊に対する照査における最大照査値
(④-④断面)

解析 ケース	地震動		評価対象 部材	曲げ モーメント M (kN・m)	軸力 N (kN)	曲げ引張 応力度 σ_s (N/mm ²)	短期許容 応力度 σ_{sa} (N/mm ²)	照査値 σ_s / σ_{sa}
①	S _s - N 1	(++)	底版	168	111	158.4	294	0.54
			前壁	0	134	45.5	294	0.16
			後壁	7	211	82.3	294	0.28
			側壁①	17	56	38.7	294	0.14
			側壁②	17	56	38.7	294	0.14
			隔壁①	0	97	59.9	294	0.21
			隔壁②	0	164	101.4	294	0.35
			隔壁③	0	65	40.4	294	0.14
			隔壁④	0	76	46.7	294	0.16
			隔壁⑤	0	65	40.4	294	0.14
		(-+)	底版	200	109	184.5	294	0.63
			前壁	11	220	90.9	294	0.31
			後壁	4	175	68.9	294	0.24
			側壁①	1	149	63.0	294	0.22
			側壁②	1	149	63.0	294	0.22
			隔壁①	0	186	115.3	294	0.40
			隔壁②	0	108	67.8	294	0.24
			隔壁③	0	179	110.1	294	0.38
			隔壁④	0	192	118.1	294	0.41
			隔壁⑤	0	179	110.1	294	0.38

表 5.3.1-2(15) 鉄筋の曲げ・軸力系の破壊に対する照査における最大照査値
(④-④断面)

解析 ケース	地震動		評価対象 部材	曲げ モーメント M (kN・m)	軸力 N (kN)	曲げ引張 応力度 σ_s (N/mm ²)	短期許容 応力度 σ_{sa} (N/mm ²)	照査値 σ_s / σ_{sa}
①	S s - N 2 (N S)	(++)	底版	121	54	108.6	294	0.37
			前壁	5	147	57.2	294	0.20
			後壁	1	124	53.1	294	0.19
			側壁①	1	110	46.4	294	0.16
			側壁②	1	110	46.4	294	0.16
			隔壁①	0	125	77.7	294	0.27
			隔壁②	0	79	49.1	294	0.17
			隔壁③	0	80	49.5	294	0.17
			隔壁④	0	87	53.7	294	0.19
		隔壁⑤	0	80	49.5	294	0.17	
		(-+)	底版	112	54	101.5	294	0.35
			前壁	6	136	54.3	294	0.19
			後壁	6	132	45.1	294	0.16
			側壁①	1	89	36.8	294	0.13
			側壁②	1	89	36.8	294	0.13
			隔壁①	0	123	76.4	294	0.26
			隔壁②	0	83	51.1	294	0.18
			隔壁③	0	75	46.2	294	0.16
			隔壁④	0	82	50.3	294	0.18
隔壁⑤	0		75	46.2	294	0.16		

表 5.3.1-2(16) 鉄筋の曲げ・軸力系の破壊に対する照査における最大照査値

(④-④断面)

解析 ケース	地震動		評価対象 部材	曲げ モーメント M (kN・m)	軸力 N (kN)	曲げ引張 応力度 σ_s (N/mm ²)	短期許容 応力度 σ_{sa} (N/mm ²)	照査値 σ_s / σ_{sa}
①	S s - N 2 (E W)	(++)	底版	86	64	83.1	294	0.29
			前壁	1	101	33.5	294	0.12
			後壁	0	147	50.8	294	0.18
			側壁①	4	30	14.7	294	0.06
			側壁②	4	30	14.7	294	0.06
			隔壁①	0	77	47.6	294	0.17
			隔壁②	0	102	63.0	294	0.22
			隔壁③	0	39	24.2	294	0.09
			隔壁④	0	41	24.9	294	0.09
		隔壁⑤	0	39	24.2	294	0.09	
		(-+)	底版	89	71	87.0	294	0.30
			前壁	19	83	55.5	294	0.19
			後壁	1	139	48.1	294	0.17
			側壁①	1	82	33.5	294	0.12
			側壁②	1	82	33.5	294	0.12
			隔壁①	0	99	61.5	294	0.21
			隔壁②	0	98	60.1	294	0.21
			隔壁③	0	60	37.3	294	0.13
			隔壁④	0	66	40.5	294	0.14
隔壁⑤	0		60	37.3	294	0.13		

表 5.3.1-2(17) 鉄筋の曲げ・軸力系の破壊に対する照査における最大照査値
(④-④断面)

解析 ケース	地震動		評価対象 部材	曲げ モーメント M (kN・m)	軸力 N (kN)	曲げ引張 応力度 σ_s (N/mm ²)	短期許容 応力度 σ_{sa} (N/mm ²)	照査値 σ_s / σ_{sa}
②	S s - D	(- +)	底版	171	73	153.0	294	0.53
			前壁	17	146	73.8	294	0.26
			後壁	6	168	66.3	294	0.23
			側壁①	14	141	58.6	294	0.20
			側壁②	14	141	58.6	294	0.20
			隔壁①	0	162	100.1	294	0.35
			隔壁②	0	131	80.9	294	0.28
			隔壁③	0	175	107.7	294	0.37
			隔壁④	0	184	112.8	294	0.39
			隔壁⑤	0	175	107.7	294	0.37

表 5.3.1-2(18) 鉄筋の曲げ・軸力系の破壊に対する照査における最大照査値
(④-④断面)

解析 ケース	地震動		評価対象 部材	曲げ モーメント M (kN・m)	軸力 N (kN)	曲げ引張 応力度 σ_s (N/mm ²)	短期許容 応力度 σ_{sa} (N/mm ²)	照査値 σ_s / σ_{sa}
②	S s - N 1	(- +)	底版	208	110	190.7	294	0.65
			前壁	11	227	93.5	294	0.32
			後壁	4	184	73.1	294	0.25
			側壁①	1	159	67.4	294	0.23
			側壁②	1	159	67.4	294	0.23
			隔壁①	0	195	121.1	294	0.42
			隔壁②	0	109	68.0	294	0.24
			隔壁③	0	183	112.5	294	0.39
			隔壁④	0	196	120.7	294	0.42
			隔壁⑤	0	183	112.5	294	0.39

表 5.3.1-2(19) 鉄筋の曲げ・軸力系の破壊に対する照査における最大照査値
(④-④断面)

解析 ケース	地震動		評価対象 部材	曲げ モーメント M (kN・m)	軸力 N (kN)	曲げ引張 応力度 σ_s (N/mm ²)	短期許容 応力度 σ_{sa} (N/mm ²)	照査値 σ_s / σ_{sa}
③	S s - D	(- +)	底版	165	71	147.8	294	0.51
			前壁	16	141	71.6	294	0.25
			後壁	6	171	67.2	294	0.23
			側壁①	13	143	58.3	294	0.20
			側壁②	13	143	58.3	294	0.20
			隔壁①	0	154	95.7	294	0.33
			隔壁②	0	133	81.9	294	0.28
			隔壁③	0	173	106.4	294	0.37
			隔壁④	0	181	111.3	294	0.38
			隔壁⑤	0	173	106.4	294	0.37

表 5.3.1-2(20) 鉄筋の曲げ・軸力系の破壊に対する照査における最大照査値
(④-④断面)

解析 ケース	地震動		評価対象 部材	曲げ モーメント M (kN・m)	軸力 N (kN)	曲げ引張 応力度 σ_s (N/mm ²)	短期許容 応力度 σ_{sa} (N/mm ²)	照査値 σ_s / σ_{sa}
③	S s - N 1	(- +)	底版	206	111	189.1	294	0.65
			前壁	11	225	92.9	294	0.32
			後壁	4	191	75.9	294	0.26
			側壁①	1	164	70.0	294	0.24
			側壁②	1	164	70.0	294	0.24
			隔壁①	0	191	118.6	294	0.41
			隔壁②	0	108	67.4	294	0.23
			隔壁③	0	183	112.8	294	0.39
			隔壁④	0	197	120.9	294	0.42
			隔壁⑤	0	183	112.8	294	0.39

5.3.2 せん断力照査（面外）

各地震動における各部材のせん断破壊（面外）に対する照査結果を表 5.3.2-1 に示す。

表 5.3.2-1(1) コンクリートのせん断破壊（面外）に対する照査における最大照査値
（②-②断面）

解析 ケース	地震動		評価対象 部材	せん断力 Q (kN)	せん断 応力度 τ_c (N/mm ²)	短期許容 応力度 τ_{a1} (N/mm ²)	照査値 τ_c / τ_{a1}
①	S s - D	(++)	底版	67	0.14	0.67	0.22
			フーチング	25	0.03	0.67	0.05
			前壁	66	0.19	0.67	0.29
			後壁	53	0.13	0.67	0.20
			側壁①	33	0.08	0.67	0.13
			側壁②	33	0.08	0.67	0.13
			隔壁①	10	0.09	0.67	0.14
			隔壁②	8	0.08	0.67	0.12
			隔壁③	7	0.06	0.67	0.10
			隔壁④	3	0.03	0.67	0.04
			隔壁⑤	0	0.00	0.67	0.01
		隔壁⑥	3	0.03	0.67	0.04	
		(-+)	底版	73	0.16	0.67	0.25
			フーチング	23	0.03	0.67	0.05
			前壁	64	0.17	0.67	0.27
			後壁	73	0.18	0.67	0.27
			側壁①	38	0.09	0.67	0.14
			側壁②	38	0.09	0.67	0.14
			隔壁①	7	0.06	0.67	0.10
			隔壁②	13	0.12	0.67	0.18
			隔壁③	8	0.07	0.67	0.11
			隔壁④	2	0.02	0.67	0.04
隔壁⑤	0		0.00	0.67	0.01		
隔壁⑥	2	0.02	0.67	0.04			

表 5.3.2-1(2) コンクリートのせん断破壊（面外）に対する照査における最大照査値
 (②-②断面)

解析 ケース	地震動		評価対象 部材	せん断力 Q (kN)	せん断 応力度 τ_c (N/mm ²)	短期許容 応力度 τ_{a1} (N/mm ²)	照査値 τ_c / τ_{a1}
①	S s - D	(+-)	底版	61	0.13	0.67	0.21
			フーチング	14	0.02	0.67	0.03
			前壁	44	0.13	0.67	0.19
			後壁	84	0.21	0.67	0.31
			側壁①	32	0.08	0.67	0.12
			側壁②	32	0.08	0.67	0.12
			隔壁①	6	0.05	0.67	0.08
			隔壁②	10	0.09	0.67	0.14
			隔壁③	9	0.08	0.67	0.12
			隔壁④	3	0.02	0.67	0.04
			隔壁⑤	0	0.00	0.67	0.01
		隔壁⑥	3	0.02	0.67	0.04	
		(--)	底版	61	0.14	0.67	0.21
			フーチング	25	0.03	0.67	0.05
			前壁	64	0.18	0.67	0.28
			後壁	66	0.16	0.67	0.25
			側壁①	31	0.08	0.67	0.13
			側壁②	31	0.08	0.67	0.13
			隔壁①	9	0.08	0.67	0.13
			隔壁②	9	0.09	0.67	0.14
			隔壁③	8	0.07	0.67	0.12
			隔壁④	3	0.03	0.67	0.04
隔壁⑤	0		0.00	0.67	0.01		
隔壁⑥	3	0.03	0.67	0.04			

表 5.3.2-1(3) コンクリートのせん断破壊（面外）に対する照査における最大照査値
 (②-②断面)

解析 ケース	地震動		評価対象 部材	せん断力 Q (kN)	せん断 応力度 τ_c (N/mm ²)	短期許容 応力度 τ_{a1} (N/mm ²)	照査値 τ_c / τ_{a1}
①	S s - F 1	(++)	底版	50	0.11	0.67	0.17
			フーチング	38	0.05	0.67	0.08
			前壁	26	0.08	0.67	0.12
			後壁	65	0.16	0.67	0.24
			側壁①	27	0.06	0.67	0.10
			側壁②	27	0.06	0.67	0.10
			隔壁①	6	0.05	0.67	0.08
			隔壁②	7	0.07	0.67	0.11
			隔壁③	6	0.05	0.67	0.08
			隔壁④	3	0.02	0.67	0.04
			隔壁⑤	0	0.00	0.67	0.01
	隔壁⑥	3	0.02	0.67	0.04		
	S s - F 2	(++)	底版	58	0.13	0.67	0.20
			フーチング	42	0.05	0.67	0.08
			前壁	34	0.10	0.67	0.15
			後壁	26	0.06	0.67	0.10
			側壁①	36	0.10	0.67	0.15
			側壁②	36	0.10	0.67	0.15
			隔壁①	5	0.04	0.67	0.07
			隔壁②	8	0.07	0.67	0.11
			隔壁③	5	0.05	0.67	0.08
			隔壁④	3	0.03	0.67	0.05
隔壁⑤			0	0.00	0.67	0.01	
隔壁⑥	3	0.03	0.67	0.05			

表 5.3.2-1(4) コンクリートのせん断破壊（面外）に対する照査における最大照査値
 (②-②断面)

解析 ケース	地震動		評価対象 部材	せん断力 Q (kN)	せん断 応力度 τ_c (N/mm ²)	短期許容 応力度 τ_{a1} (N/mm ²)	照査値 τ_c / τ_{a1}
①	S s - N 1	(++)	底版	128	0.28	0.67	0.43
			フーチング	130	0.16	0.67	0.25
			前壁	8	0.02	0.67	0.04
			後壁	109	0.30	0.67	0.45
			側壁①	67	0.16	0.67	0.24
			側壁②	67	0.16	0.67	0.24
			隔壁①	5	0.04	0.67	0.07
			隔壁②	12	0.11	0.67	0.17
			隔壁③	7	0.06	0.67	0.10
			隔壁④	5	0.05	0.67	0.08
			隔壁⑤	0	0.00	0.67	0.00
			隔壁⑥	5	0.05	0.67	0.08
		(-+)	底版	81	0.17	0.67	0.26
			フーチング	10	0.01	0.67	0.02
			前壁	36	0.10	0.67	0.16
			後壁	24	0.06	0.67	0.09
			側壁①	35	0.09	0.67	0.13
			側壁②	35	0.09	0.67	0.13
			隔壁①	9	0.09	0.67	0.13
			隔壁②	11	0.10	0.67	0.16
			隔壁③	7	0.07	0.67	0.10
			隔壁④	2	0.02	0.67	0.04
隔壁⑤	0	0.00	0.67	0.01			
隔壁⑥	2	0.02	0.67	0.04			

表 5.3.2-1(5) コンクリートのせん断破壊（面外）に対する照査における最大照査値
 (②-②断面)

解析 ケース	地震動		評価対象 部材	せん断力 Q (kN)	せん断 応力度 τ_c (N/mm ²)	短期許容 応力度 τ_{a1} (N/mm ²)	照査値 τ_c / τ_{a1}
①	S s - N 2 (N S)	(++)	底版	53	0.11	0.67	0.17
			フーチング	38	0.05	0.67	0.08
			前壁	24	0.07	0.67	0.11
			後壁	70	0.17	0.67	0.26
			側壁①	25	0.06	0.67	0.10
			側壁②	25	0.06	0.67	0.10
			隔壁①	6	0.06	0.67	0.09
			隔壁②	7	0.07	0.67	0.11
			隔壁③	7	0.06	0.67	0.10
			隔壁④	2	0.02	0.67	0.03
			隔壁⑤	0	0.00	0.67	0.01
		隔壁⑥	2	0.02	0.67	0.03	
		(-+)	底版	60	0.13	0.67	0.20
			フーチング	32	0.04	0.67	0.06
			前壁	22	0.06	0.67	0.10
			後壁	46	0.11	0.67	0.17
			側壁①	27	0.07	0.67	0.11
			側壁②	27	0.07	0.67	0.11
			隔壁①	7	0.07	0.67	0.10
			隔壁②	8	0.07	0.67	0.11
			隔壁③	6	0.05	0.67	0.08
			隔壁④	2	0.02	0.67	0.04
隔壁⑤	0		0.00	0.67	0.01		
隔壁⑥	2	0.02	0.67	0.04			

表 5.3.2-1(6) コンクリートのせん断破壊（面外）に対する照査における最大照査値
 (②-②断面)

解析 ケース	地震動		評価対象 部材	せん断力 Q (kN)	せん断 応力度 τ_c (N/mm ²)	短期許容 応力度 τ_{a1} (N/mm ²)	照査値 τ_c / τ_{a1}
①	S s - N 2 (E W)	(++)	底版	73	0.16	0.67	0.24
			フーチング	22	0.03	0.67	0.05
			前壁	38	0.11	0.67	0.17
			後壁	66	0.16	0.67	0.25
			側壁①	32	0.08	0.67	0.12
			側壁②	32	0.08	0.67	0.12
			隔壁①	11	0.10	0.67	0.15
			隔壁②	8	0.07	0.67	0.11
			隔壁③	7	0.07	0.67	0.10
			隔壁④	2	0.02	0.67	0.04
			隔壁⑤	0	0.00	0.67	0.01
		隔壁⑥	2	0.02	0.67	0.04	
		(-+)	底版	44	0.10	0.67	0.15
			フーチング	29	0.04	0.67	0.06
			前壁	37	0.11	0.67	0.16
			後壁	42	0.10	0.67	0.16
			側壁①	27	0.07	0.67	0.11
			側壁②	27	0.07	0.67	0.11
			隔壁①	5	0.05	0.67	0.07
			隔壁②	7	0.07	0.67	0.11
			隔壁③	5	0.05	0.67	0.08
			隔壁④	2	0.02	0.67	0.04
隔壁⑤	0		0.00	0.67	0.00		
隔壁⑥	2	0.02	0.67	0.04			

表 5.3.2-1(7) コンクリートのせん断破壊（面外）に対する照査における最大照査値
 (②-②断面)

解析 ケース	地震動		評価対象 部材	せん断力 Q (kN)	せん断 応力度 τ_c (N/mm ²)	短期許容 応力度 τ_{a1} (N/mm ²)	照査値 τ_c / τ_{a1}
②	S s - D	(++)	底版	51	0.11	0.67	0.17
			フーチング	18	0.02	0.67	0.04
			前壁	59	0.17	0.67	0.26
			後壁	62	0.15	0.67	0.23
			側壁①	27	0.07	0.67	0.11
			側壁②	27	0.07	0.67	0.11
			隔壁①	7	0.06	0.67	0.10
			隔壁②	7	0.07	0.67	0.11
			隔壁③	7	0.06	0.67	0.10
			隔壁④	2	0.02	0.67	0.04
			隔壁⑤	0	0.00	0.67	0.01
			隔壁⑥	2	0.02	0.67	0.04
		(-+)	底版	66	0.14	0.67	0.21
			フーチング	30	0.04	0.67	0.06
			前壁	36	0.10	0.67	0.16
			後壁	55	0.14	0.67	0.21
			側壁①	33	0.09	0.67	0.13
			側壁②	33	0.09	0.67	0.13
			隔壁①	6	0.06	0.67	0.09
			隔壁②	10	0.09	0.67	0.14
			隔壁③	8	0.07	0.67	0.11
			隔壁④	3	0.03	0.67	0.05
隔壁⑤	0	0.00	0.67	0.01			
隔壁⑥	3	0.03	0.67	0.05			

表 5.3.2-1(8) コンクリートのせん断破壊（面外）に対する照査における最大照査値
 (②-②断面)

解析 ケース	地震動		評価対象 部材	せん断力 Q (kN)	せん断 応力度 τ_c (N/mm ²)	短期許容 応力度 τ_{a1} (N/mm ²)	照査値 τ_c / τ_{a1}
②	S s - N 1	(++)	底版	129	0.29	0.67	0.43
			フーチング	132	0.16	0.67	0.25
			前壁	9	0.02	0.67	0.04
			後壁	113	0.31	0.67	0.47
			側壁①	67	0.16	0.67	0.24
			側壁②	67	0.16	0.67	0.24
			隔壁①	5	0.05	0.67	0.07
			隔壁②	12	0.11	0.67	0.18
			隔壁③	7	0.07	0.67	0.10
			隔壁④	5	0.05	0.67	0.08
			隔壁⑤	0	0.00	0.67	0.00
			隔壁⑥	5	0.05	0.67	0.08

表 5.3.2-1(9) コンクリートのせん断破壊（面外）に対する照査における最大照査値
 (②-②断面)

解析 ケース	地震動		評価対象 部材	せん断力 Q (kN)	せん断 応力度 τ_c (N/mm ²)	短期許容 応力度 τ_{a1} (N/mm ²)	照査値 τ_c / τ_{a1}
③	S s - D	(++)	底版	59	0.13	0.67	0.20
			フーチング	31	0.04	0.67	0.06
			前壁	68	0.20	0.67	0.30
			後壁	57	0.14	0.67	0.21
			側壁①	36	0.09	0.67	0.14
			側壁②	36	0.09	0.67	0.14
			隔壁①	8	0.08	0.67	0.12
			隔壁②	9	0.08	0.67	0.13
			隔壁③	8	0.07	0.67	0.11
			隔壁④	3	0.03	0.67	0.05
			隔壁⑤	0	0.00	0.67	0.01
		隔壁⑥	3	0.03	0.67	0.05	
		(-+)	底版	86	0.18	0.67	0.28
			フーチング	149	0.19	0.67	0.28
			前壁	64	0.18	0.67	0.27
			後壁	100	0.25	0.67	0.37
			側壁①	35	0.09	0.67	0.13
			側壁②	35	0.09	0.67	0.13
			隔壁①	6	0.06	0.67	0.09
			隔壁②	11	0.10	0.67	0.16
			隔壁③	8	0.07	0.67	0.11
			隔壁④	2	0.02	0.67	0.04
隔壁⑤	0		0.00	0.67	0.01		
隔壁⑥	2	0.02	0.67	0.04			

表 5.3.2-1(10) コンクリートのせん断破壊（面外）に対する照査における最大照査値
 (②-②断面)

解析 ケース	地震動		評価対象 部材	せん断力 Q (kN)	せん断 応力度 τ_c (N/mm ²)	短期許容 応力度 τ_{a1} (N/mm ²)	照査値 τ_c / τ_{a1}
③	S s - N 1	(++)	底版	127	0.28	0.67	0.43
			フーチング	129	0.16	0.67	0.25
			前壁	8	0.02	0.67	0.04
			後壁	109	0.30	0.67	0.45
			側壁①	66	0.16	0.67	0.24
			側壁②	66	0.16	0.67	0.24
			隔壁①	5	0.04	0.67	0.07
			隔壁②	12	0.11	0.67	0.17
			隔壁③	7	0.07	0.67	0.10
			隔壁④	5	0.05	0.67	0.08
			隔壁⑤	0	0.00	0.67	0.00
			隔壁⑥	5	0.05	0.67	0.08

表 5.3.2-1(11) コンクリートのせん断破壊（面外）に対する照査における最大照査値

(④-④断面)

解析 ケース	地震動		評価対象 部材	せん断力 Q (kN)	せん断 応力度 τ_c (N/mm ²)	短期許容 応力度 τ_{al} (N/mm ²)	照査値 τ_c / τ_{al}
①	S s - D	(++)	底版	155	0.34	0.67	0.52
			前壁	98	0.27	0.67	0.41
			後壁	32	0.08	0.67	0.12
			側壁①	58	0.14	0.67	0.22
			側壁②	58	0.14	0.67	0.22
			隔壁①	18	0.17	0.67	0.26
			隔壁②	15	0.14	0.67	0.21
			隔壁③	5	0.04	0.67	0.07
			隔壁④	0	0.00	0.67	0.00
			隔壁⑤	5	0.04	0.67	0.07
		(-+)	底版	183	0.41	0.67	0.61
			前壁	45	0.12	0.67	0.18
			後壁	25	0.06	0.67	0.10
			側壁①	67	0.17	0.67	0.25
			側壁②	67	0.17	0.67	0.25
			隔壁①	22	0.20	0.67	0.31
			隔壁②	16	0.15	0.67	0.23
			隔壁③	5	0.04	0.67	0.07
			隔壁④	0	0.00	0.67	0.01
			隔壁⑤	5	0.04	0.67	0.07

表 5.3.2-1(12) コンクリートのせん断破壊（面外）に対する照査における最大照査値

(④-④断面)

解析 ケース	地震動		評価対象 部材	せん断力 Q (kN)	せん断 応力度 τ_c (N/mm ²)	短期許容 応力度 τ_{a1} (N/mm ²)	照査値 τ_c / τ_{a1}
①	S s - D	(+-)	底版	183	0.40	0.67	0.61
			前壁	67	0.16	0.67	0.25
			後壁	41	0.10	0.67	0.16
			側壁①	71	0.17	0.67	0.27
			側壁②	71	0.17	0.67	0.27
			隔壁①	23	0.21	0.67	0.32
			隔壁②	12	0.11	0.67	0.17
			隔壁③	6	0.05	0.67	0.08
			隔壁④	0	0.00	0.67	0.01
			隔壁⑤	6	0.05	0.67	0.08
		(--)	底版	169	0.36	0.67	0.54
			前壁	133	0.37	0.67	0.55
			後壁	36	0.09	0.67	0.14
			側壁①	64	0.16	0.67	0.24
			側壁②	64	0.16	0.67	0.24
			隔壁①	18	0.16	0.67	0.25
			隔壁②	12	0.11	0.67	0.17
			隔壁③	6	0.05	0.67	0.09
			隔壁④	0	0.00	0.67	0.01
			隔壁⑤	6	0.05	0.67	0.09

表 5.3.2-1(13) コンクリートのせん断破壊（面外）に対する照査における最大照査値

(④-④断面)

解析 ケース	地震動		評価対象 部材	せん断力 Q (kN)	せん断 応力度 τ_c (N/mm ²)	短期許容 応力度 τ_{al} (N/mm ²)	照査値 τ_c / τ_{al}
①	S s - F 1	(++)	底版	115	0.25	0.67	0.37
			前壁	107	0.29	0.67	0.44
			後壁	27	0.06	0.67	0.10
			側壁①	44	0.11	0.67	0.17
			側壁②	44	0.11	0.67	0.17
			隔壁①	13	0.12	0.67	0.18
			隔壁②	10	0.09	0.67	0.15
			隔壁③	4	0.04	0.67	0.06
			隔壁④	0	0.00	0.67	0.00
			隔壁⑤	4	0.04	0.67	0.06
	S s - F 2	(++)	底版	130	0.29	0.67	0.43
			前壁	59	0.15	0.67	0.22
			後壁	30	0.07	0.67	0.11
			側壁①	52	0.13	0.67	0.20
			側壁②	52	0.13	0.67	0.20
			隔壁①	17	0.15	0.67	0.24
			隔壁②	11	0.10	0.67	0.16
			隔壁③	4	0.04	0.67	0.06
			隔壁④	0	0.00	0.67	0.01
			隔壁⑤	4	0.04	0.67	0.06

表 5.3.2-1(14) コンクリートのせん断破壊（面外）に対する照査における最大照査値

(④-④断面)

解析 ケース	地震動		評価対象 部材	せん断力 Q (kN)	せん断 応力度 τ_c (N/mm ²)	短期許容 応力度 τ_{a1} (N/mm ²)	照査値 τ_c / τ_{a1}
①	S s - N 1	(++)	底版	172	0.37	0.67	0.55
			前壁	19	0.05	0.67	0.08
			後壁	39	0.10	0.67	0.15
			側壁①	56	0.14	0.67	0.21
			側壁②	56	0.14	0.67	0.21
			隔壁①	14	0.13	0.67	0.20
			隔壁②	11	0.10	0.67	0.15
			隔壁③	6	0.06	0.67	0.09
			隔壁④	0	0.00	0.67	0.01
			隔壁⑤	6	0.06	0.67	0.09
		(-+)	底版	193	0.43	0.67	0.64
			前壁	91	0.22	0.67	0.34
			後壁	43	0.10	0.67	0.16
			側壁①	78	0.19	0.67	0.29
			側壁②	78	0.19	0.67	0.29
			隔壁①	24	0.22	0.67	0.33
			隔壁②	14	0.12	0.67	0.19
			隔壁③	6	0.06	0.67	0.09
			隔壁④	0	0.00	0.67	0.01
			隔壁⑤	6	0.06	0.67	0.09

表 5.3.2-1(15) コンクリートのせん断破壊（面外）に対する照査における最大照査値

(④-④断面)

解析 ケース	地震動		評価対象 部材	せん断力 Q (kN)	せん断 応力度 τ_c (N/mm ²)	短期許容 応力度 τ_{a1} (N/mm ²)	照査値 τ_c / τ_{a1}
①	S s - N 2 (N S)	(++)	底版	128	0.28	0.67	0.43
			前壁	42	0.10	0.67	0.16
			後壁	25	0.06	0.67	0.10
			側壁①	49	0.12	0.67	0.18
			側壁②	49	0.12	0.67	0.18
			隔壁①	14	0.13	0.67	0.20
			隔壁②	9	0.08	0.67	0.12
			隔壁③	4	0.03	0.67	0.06
			隔壁④	0	0.00	0.67	0.01
		隔壁⑤	4	0.03	0.67	0.06	
		(-+)	底版	111	0.25	0.67	0.37
			前壁	42	0.10	0.67	0.16
			後壁	30	0.07	0.67	0.12
			側壁①	45	0.11	0.67	0.17
			側壁②	45	0.11	0.67	0.17
			隔壁①	14	0.13	0.67	0.20
			隔壁②	9	0.09	0.67	0.13
			隔壁③	4	0.03	0.67	0.05
			隔壁④	0	0.00	0.67	0.01
隔壁⑤	4		0.03	0.67	0.05		

表 5.3.2-1(16) コンクリートのせん断破壊（面外）に対する照査における最大照査値

(④-④断面)

解析 ケース	地震動		評価対象 部材	せん断力 Q (kN)	せん断 応力度 τ_c (N/mm ²)	短期許容 応力度 τ_{a1} (N/mm ²)	照査値 τ_c / τ_{a1}
①	S s - N 2 (E W)	(++)	底版	91	0.19	0.67	0.29
			前壁	20	0.05	0.67	0.08
			後壁	39	0.10	0.67	0.15
			側壁①	26	0.07	0.67	0.11
			側壁②	26	0.07	0.67	0.11
			隔壁①	10	0.09	0.67	0.14
			隔壁②	9	0.08	0.67	0.13
			隔壁③	4	0.03	0.67	0.06
			隔壁④	0	0.00	0.67	0.01
		隔壁⑤	4	0.03	0.67	0.06	
		(-+)	底版	88	0.19	0.67	0.28
			前壁	99	0.27	0.67	0.41
			後壁	36	0.09	0.67	0.14
			側壁①	36	0.09	0.67	0.14
			側壁②	36	0.09	0.67	0.14
			隔壁①	10	0.09	0.67	0.14
			隔壁②	7	0.06	0.67	0.10
			隔壁③	3	0.03	0.67	0.05
			隔壁④	0	0.00	0.67	0.00
隔壁⑤	3		0.03	0.67	0.05		

表 5.3.2-1(17) コンクリートのせん断破壊（面外）に対する照査における最大照査値

(4-4断面)

解析 ケース	地震動		評価対象 部材	せん断力 Q (kN)	せん断 応力度 τ_c (N/mm ²)	短期許容 応力度 τ_{a1} (N/mm ²)	照査値 τ_c / τ_{a1}
②	S s - D	(- +)	底版	195	0.43	0.67	0.65
			前壁	47	0.12	0.67	0.19
			後壁	25	0.06	0.67	0.10
			側壁①	71	0.17	0.67	0.26
			側壁②	71	0.17	0.67	0.26
			隔壁①	23	0.21	0.67	0.33
			隔壁②	16	0.15	0.67	0.22
			隔壁③	5	0.05	0.67	0.07
			隔壁④	0	0.00	0.67	0.01
			隔壁⑤	5	0.05	0.67	0.07

表 5.3.2-1(18) コンクリートのせん断破壊（面外）に対する照査における最大照査値

(④-④断面)

解析 ケース	地震動		評価対象 部材	せん断力 Q (kN)	せん断 応力度 τ_c (N/mm ²)	短期許容 応力度 τ_{a1} (N/mm ²)	照査値 τ_c / τ_{a1}
②	S s - N 1	(- +)	底版	207	0.46	0.67	0.69
			前壁	85	0.21	0.67	0.32
			後壁	43	0.11	0.67	0.16
			側壁①	82	0.20	0.67	0.31
			側壁②	82	0.20	0.67	0.31
			隔壁①	25	0.23	0.67	0.35
			隔壁②	14	0.13	0.67	0.20
			隔壁③	7	0.06	0.67	0.09
			隔壁④	0	0.00	0.67	0.01
			隔壁⑤	7	0.06	0.67	0.09

表 5.3.2-1(19) コンクリートのせん断破壊（面外）に対する照査における最大照査値

(④-④断面)

解析 ケース	地震動		評価対象 部材	せん断力 Q (kN)	せん断 応力度 τ_c (N/mm ²)	短期許容 応力度 τ_{a1} (N/mm ²)	照査値 τ_c / τ_{a1}
③	S s - D	(- +)	底版	187	0.41	0.67	0.62
			前壁	46	0.12	0.67	0.19
			後壁	25	0.06	0.67	0.10
			側壁①	68	0.17	0.67	0.26
			側壁②	68	0.17	0.67	0.26
			隔壁①	22	0.21	0.67	0.31
			隔壁②	16	0.15	0.67	0.23
			隔壁③	5	0.04	0.67	0.07
			隔壁④	0	0.00	0.67	0.01
			隔壁⑤	5	0.04	0.67	0.07

表 5.3.2-1(20) コンクリートのせん断破壊（面外）に対する照査における最大照査値

(④-④断面)

解析 ケース	地震動		評価対象 部材	せん断力 Q (kN)	せん断 応力度 τ_c (N/mm ²)	短期許容 応力度 τ_{a1} (N/mm ²)	照査値 τ_c / τ_{a1}
③	S s - N 1	(- +)	底版	201	0.45	0.67	0.67
			前壁	90	0.22	0.67	0.33
			後壁	43	0.11	0.67	0.16
			側壁①	81	0.20	0.67	0.30
			側壁②	81	0.20	0.67	0.30
			隔壁①	24	0.22	0.67	0.34
			隔壁②	14	0.13	0.67	0.20
			隔壁③	6	0.06	0.67	0.09
			隔壁④	0	0.00	0.67	0.01
			隔壁⑤	6	0.06	0.67	0.09

5.3.3 せん断力照査（面内）

各地震動における各部材のせん断破壊（面内）に対する照査結果を表 5.3.3-1 に示す。

表 5.3.3-1(1) コンクリートのせん断破壊（面内）に対する照査における最大照査値
（②-②断面）

解析 ケース	地震動		評価対象 部材	せん断力 Q (kN)	せん断 応力度 τ_c (N/mm ²)	短期許容 応力度 τ_1 (N/mm ²)	照査値 τ_c / τ_1
①	S s - D	(++)	底版	253	0.42	1.51	0.28
			フーチング	178	0.18	1.51	0.12
			前壁	121	0.24	2.20	0.11
			後壁	172	0.34	1.83	0.19
			側壁①	431	0.86	1.83	0.48
			側壁②	431	0.86	1.83	0.48
			隔壁①	73	0.29	1.97	0.15
			隔壁②	75	0.30	1.67	0.18
			隔壁③	91	0.36	2.05	0.18
			隔壁④	238	0.95	1.83	0.52
			隔壁⑤	243	0.97	1.84	0.53
		隔壁⑥	238	0.95	1.83	0.52	
		(-+)	底版	217	0.36	1.51	0.24
			フーチング	148	0.15	1.51	0.10
			前壁	128	0.26	2.48	0.11
			後壁	133	0.27	1.61	0.17
			側壁①	397	0.79	1.87	0.43
			側壁②	397	0.79	1.87	0.43
			隔壁①	91	0.36	2.24	0.17
			隔壁②	87	0.35	1.94	0.18
			隔壁③	80	0.32	1.99	0.17
			隔壁④	213	0.85	1.88	0.46
隔壁⑤	217		0.87	1.87	0.47		
隔壁⑥	213	0.85	1.88	0.46			

表 5.3.3-1(2) コンクリートのせん断破壊（面内）に対する照査における最大照査値
 (②-②断面)

解析 ケース	地震動		評価対象 部材	せん断力 Q (kN)	せん断 応力度 τ_c (N/mm ²)	短期許容 応力度 τ_1 (N/mm ²)	照査値 τ_c/τ_1
①	S s - D	(+-)	底版	243	0.41	1.51	0.27
			フーチング	175	0.18	1.51	0.12
			前壁	104	0.21	2.33	0.09
			後壁	155	0.31	1.65	0.19
			側壁①	385	0.77	1.95	0.40
			側壁②	385	0.77	1.95	0.40
			隔壁①	75	0.30	2.12	0.15
			隔壁②	88	0.35	2.06	0.18
			隔壁③	89	0.36	2.04	0.18
			隔壁④	208	0.83	1.97	0.43
			隔壁⑤	207	0.83	1.97	0.43
		隔壁⑥	208	0.83	1.97	0.43	
		(--)	底版	238	0.40	1.51	0.27
			フーチング	190	0.19	1.51	0.13
			前壁	99	0.20	2.11	0.10
			後壁	179	0.36	1.79	0.21
			側壁①	391	0.78	1.78	0.44
			側壁②	391	0.78	1.78	0.44
			隔壁①	64	0.26	1.90	0.14
			隔壁②	99	0.40	2.12	0.19
			隔壁③	101	0.40	2.11	0.20
			隔壁④	226	0.90	1.89	0.48
隔壁⑤	227		0.91	1.88	0.49		
隔壁⑥	226	0.90	1.89	0.48			

表 5.3.3-1(3) コンクリートのせん断破壊（面内）に対する照査における最大照査値
 (②-②断面)

解析 ケース	地震動		評価対象 部材	せん断力 Q (kN)	せん断 応力度 τ_c (N/mm ²)	短期許容 応力度 τ_1 (N/mm ²)	照査値 τ_c / τ_1
①	S s - F 1	(++)	底版	202	0.34	1.51	0.23
			フーチング	169	0.17	1.51	0.12
			前壁	71	0.14	2.00	0.08
			後壁	163	0.33	1.81	0.19
			側壁①	318	0.64	1.83	0.35
			側壁②	318	0.64	1.83	0.35
			隔壁①	55	0.22	1.94	0.12
			隔壁②	79	0.32	2.01	0.16
			隔壁③	88	0.35	2.03	0.18
			隔壁④	176	0.70	1.88	0.38
			隔壁⑤	177	0.71	1.87	0.38
	隔壁⑥	176	0.70	1.88	0.38		
	S s - F 2	(++)	底版	191	0.32	1.51	0.22
			フーチング	197	0.20	1.51	0.14
			前壁	87	0.17	2.22	0.08
			後壁	202	0.40	2.01	0.21
			側壁①	313	0.63	1.85	0.34
			側壁②	313	0.63	1.85	0.34
			隔壁①	63	0.25	2.04	0.13
			隔壁②	69	0.28	1.84	0.16
			隔壁③	91	0.36	2.05	0.18
			隔壁④	179	0.72	1.91	0.38
隔壁⑤			181	0.72	1.90	0.39	
隔壁⑥	179	0.72	1.91	0.38			

表 5.3.3-1(4) コンクリートのせん断破壊（面内）に対する照査における最大照査値
 (②-②断面)

解析 ケース	地震動		評価対象 部材	せん断力 Q (kN)	せん断 応力度 τ_c (N/mm ²)	短期許容 応力度 τ_1 (N/mm ²)	照査値 τ_c/τ_1
①	S s - N 1	(++)	底版	212	0.35	1.51	0.24
			フーチング	318	0.32	1.51	0.22
			前壁	57	0.11	1.78	0.07
			後壁	403	0.81	2.74	0.30
			側壁①	305	0.61	1.64	0.38
			側壁②	305	0.61	1.64	0.38
			隔壁①	46	0.18	1.82	0.11
			隔壁②	94	0.38	2.07	0.19
			隔壁③	155	0.62	2.34	0.27
			隔壁④	150	0.60	1.69	0.36
			隔壁⑤	153	0.61	1.71	0.36
		隔壁⑥	150	0.60	1.69	0.36	
		(-+)	底版	292	0.49	1.51	0.33
			フーチング	38	0.04	1.51	0.03
			前壁	104	0.21	2.34	0.09
			後壁	54	0.11	1.57	0.07
			側壁①	463	0.93	1.95	0.48
			側壁②	463	0.93	1.95	0.48
			隔壁①	78	0.31	2.08	0.16
			隔壁②	91	0.37	1.91	0.20
			隔壁③	73	0.29	1.75	0.17
			隔壁④	265	1.06	2.08	0.51
隔壁⑤	267		1.07	2.07	0.52		
隔壁⑥	265	1.06	2.08	0.51			

表 5.3.3-1(5) コンクリートのせん断破壊（面内）に対する照査における最大照査値
 (②-②断面)

解析 ケース	地震動		評価対象 部材	せん断力 Q (kN)	せん断 応力度 τ_c (N/mm ²)	短期許容 応力度 τ_1 (N/mm ²)	照査値 τ_c / τ_1
①	S s - N 2 (N S)	(++)	底版	208	0.35	1.51	0.23
			フーチング	142	0.14	1.51	0.10
			前壁	72	0.14	2.00	0.08
			後壁	124	0.25	1.61	0.16
			側壁①	327	0.65	1.83	0.36
			側壁②	327	0.65	1.83	0.36
			隔壁①	56	0.22	1.93	0.12
			隔壁②	67	0.27	1.76	0.16
			隔壁③	73	0.29	1.94	0.16
			隔壁④	184	0.73	1.91	0.39
			隔壁⑤	185	0.74	1.90	0.40
		隔壁⑥	184	0.73	1.91	0.39	
		(-+)	底版	223	0.37	1.51	0.25
			フーチング	156	0.16	1.51	0.11
			前壁	80	0.16	2.19	0.08
			後壁	151	0.30	1.78	0.17
			側壁①	349	0.70	1.84	0.38
			側壁②	349	0.70	1.84	0.38
			隔壁①	61	0.24	1.96	0.13
			隔壁②	69	0.27	1.79	0.16
			隔壁③	82	0.33	2.01	0.17
			隔壁④	205	0.82	2.00	0.42
隔壁⑤	208		0.83	2.00	0.42		
隔壁⑥	205	0.82	2.00	0.42			

表 5.3.3-1(6) コンクリートのせん断破壊（面内）に対する照査における最大照査値
 (②-②断面)

解析 ケース	地震動		評価対象 部材	せん断力 Q (kN)	せん断 応力度 τ_c (N/mm ²)	短期許容 応力度 τ_1 (N/mm ²)	照査値 τ_c/τ_1
①	S s - N 2 (E W)	(++)	底版	245	0.41	1.51	0.28
			フーチング	160	0.16	1.51	0.11
			前壁	111	0.22	2.13	0.11
			後壁	142	0.28	1.69	0.17
			側壁①	412	0.82	1.80	0.46
			側壁②	412	0.82	1.80	0.46
			隔壁①	68	0.27	1.91	0.15
			隔壁②	67	0.27	1.62	0.17
			隔壁③	77	0.31	1.97	0.16
			隔壁④	235	0.94	1.84	0.52
			隔壁⑤	237	0.95	1.83	0.52
		隔壁⑥	235	0.94	1.84	0.52	
		(-+)	底版	193	0.32	1.51	0.22
			フーチング	157	0.16	1.51	0.11
			前壁	75	0.15	2.02	0.08
			後壁	153	0.31	1.83	0.17
			側壁①	308	0.62	1.82	0.34
			側壁②	308	0.62	1.82	0.34
			隔壁①	56	0.23	1.95	0.12
			隔壁②	65	0.26	1.78	0.15
			隔壁③	76	0.30	1.96	0.16
			隔壁④	173	0.69	1.89	0.37
隔壁⑤	175		0.70	1.88	0.38		
隔壁⑥	173	0.69	1.89	0.37			

表 5.3.3-1(7) コンクリートのせん断破壊（面内）に対する照査における最大照査値
 (②-②断面)

解析 ケース	地震動		評価対象 部材	せん断力 Q (kN)	せん断 応力度 τ_c (N/mm ²)	短期許容 応力度 τ_1 (N/mm ²)	照査値 τ_c/τ_1
②	S s - D	(++)	底版	216	0.36	1.51	0.24
			フーチング	156	0.16	1.51	0.11
			前壁	90	0.18	2.08	0.09
			後壁	142	0.28	1.70	0.17
			側壁①	349	0.70	1.80	0.39
			側壁②	349	0.70	1.80	0.39
			隔壁①	61	0.25	1.93	0.13
			隔壁②	68	0.27	1.72	0.16
			隔壁③	76	0.31	1.97	0.16
			隔壁④	198	0.79	1.89	0.42
			隔壁⑤	197	0.79	1.85	0.43
			隔壁⑥	198	0.79	1.89	0.42
		(-+)	底版	239	0.40	1.51	0.27
			フーチング	198	0.20	1.51	0.14
			前壁	104	0.21	2.34	0.09
			後壁	191	0.38	1.87	0.21
			側壁①	385	0.77	1.91	0.41
			側壁②	385	0.77	1.91	0.41
			隔壁①	74	0.30	2.10	0.15
			隔壁②	83	0.33	1.88	0.18
			隔壁③	100	0.40	2.10	0.19
			隔壁④	218	0.87	1.96	0.45
隔壁⑤	221	0.88	1.97	0.45			
隔壁⑥	218	0.87	1.96	0.45			

表 5.3.3-1(8) コンクリートのせん断破壊（面内）に対する照査における最大照査値
 (②-②断面)

解析 ケース	地震動		評価対象 部材	せん断力 Q (kN)	せん断 応力度 τ_c (N/mm ²)	短期許容 応力度 τ_1 (N/mm ²)	照査値 τ_c / τ_1
②	S s - N 1	(++)	底版	218	0.36	1.51	0.25
			フーチング	319	0.32	1.51	0.22
			前壁	60	0.12	1.78	0.07
			後壁	406	0.81	2.75	0.30
			側壁①	306	0.61	1.64	0.38
			側壁②	306	0.61	1.64	0.38
			隔壁①	47	0.19	1.82	0.11
			隔壁②	95	0.38	2.07	0.19
			隔壁③	157	0.63	2.34	0.27
			隔壁④	152	0.61	1.71	0.36
			隔壁⑤	154	0.62	1.71	0.37
			隔壁⑥	152	0.61	1.71	0.36

表 5.3.3-1(9) コンクリートのせん断破壊（面内）に対する照査における最大照査値
 (②-②断面)

解析 ケース	地震動		評価対象 部材	せん断力 Q (kN)	せん断 応力度 τ_c (N/mm ²)	短期許容 応力度 τ_1 (N/mm ²)	照査値 τ_c / τ_1
③	S s - D	(++)	底版	243	0.40	1.51	0.27
			フーチング	207	0.21	1.51	0.14
			前壁	103	0.21	2.16	0.10
			後壁	199	0.40	1.90	0.21
			側壁①	397	0.79	1.82	0.44
			側壁②	397	0.79	1.82	0.44
			隔壁①	70	0.28	1.98	0.15
			隔壁②	75	0.30	1.72	0.18
			隔壁③	101	0.40	2.11	0.20
			隔壁④	227	0.91	1.90	0.48
			隔壁⑤	229	0.91	1.89	0.49
		隔壁⑥	227	0.91	1.90	0.48	
		(-+)	底版	222	0.37	1.51	0.25
			フーチング	153	0.15	1.51	0.11
			前壁	118	0.24	2.41	0.10
			後壁	136	0.27	1.62	0.17
			側壁①	377	0.75	1.84	0.41
			側壁②	377	0.75	1.84	0.41
			隔壁①	86	0.34	2.21	0.16
			隔壁②	88	0.35	1.98	0.18
			隔壁③	81	0.33	2.00	0.17
			隔壁④	208	0.83	1.99	0.42
隔壁⑤	204		0.81	1.92	0.43		
隔壁⑥	208	0.83	1.99	0.42			

表 5.3.3-1(10) コンクリートのせん断破壊（面内）に対する照査における最大照査値
 (②-②断面)

解析 ケース	地震動		評価対象 部材	せん断力 Q (kN)	せん断 応力度 τ_c (N/mm ²)	短期許容 応力度 τ_1 (N/mm ²)	照査値 τ_c / τ_1
③	S s - N 1	(++)	底版	218	0.36	1.51	0.25
			フーチング	315	0.32	1.51	0.21
			前壁	59	0.12	1.79	0.07
			後壁	401	0.80	2.73	0.30
			側壁①	303	0.61	1.64	0.37
			側壁②	303	0.61	1.64	0.37
			隔壁①	48	0.19	1.83	0.11
			隔壁②	94	0.37	2.06	0.19
			隔壁③	154	0.62	2.34	0.27
			隔壁④	148	0.59	1.69	0.36
			隔壁⑤	152	0.61	1.71	0.36
			隔壁⑥	148	0.59	1.69	0.36

表 5.3.3-1(11) コンクリートのせん断破壊（面内）に対する照査における最大照査値

(④-④断面)

解析 ケース	地震動		評価対象 部材	せん断力 Q (kN)	せん断 応力度 τ_c (N/mm ²)	短期許容 応力度 τ_1 (N/mm ²)	照査値 τ_c / τ_1
①	S s - D	(++)	底版	368	0.61	1.51	0.41
			前壁	258	0.52	2.52	0.21
			後壁	77	0.15	1.59	0.10
			側壁①	512	1.02	1.94	0.53
			側壁②	512	1.02	1.94	0.53
			隔壁①	142	0.57	2.08	0.28
			隔壁②	118	0.47	2.04	0.24
			隔壁③	357	1.43	2.21	0.65
			隔壁④	361	1.44	2.20	0.66
		隔壁⑤	357	1.43	2.21	0.65	
		(-+)	底版	437	0.73	1.51	0.49
			前壁	300	0.60	2.80	0.22
			後壁	271	0.54	2.64	0.21
			側壁①	685	1.37	2.30	0.60
			側壁②	685	1.37	2.30	0.60
			隔壁①	165	0.66	2.35	0.29
			隔壁②	149	0.59	2.25	0.27
			隔壁③	418	1.67	2.27	0.74
			隔壁④	422	1.69	2.26	0.75
隔壁⑤	418		1.67	2.27	0.74		

表 5.3.3-1(12) コンクリートのせん断破壊（面内）に対する照査における最大照査値

(④-④断面)

解析 ケース	地震動		評価対象 部材	せん断力 Q (kN)	せん断 応力度 τ_c (N/mm ²)	短期許容 応力度 τ_1 (N/mm ²)	照査値 τ_c / τ_1
①	S s - D	(+-)	底版	465	0.77	1.51	0.52
			前壁	332	0.66	2.86	0.24
			後壁	144	0.29	1.87	0.16
			側壁①	682	1.36	2.22	0.62
			側壁②	682	1.36	2.22	0.62
			隔壁①	176	0.70	2.27	0.31
			隔壁②	133	0.53	2.19	0.25
			隔壁③	409	1.64	2.22	0.74
			隔壁④	429	1.71	2.29	0.75
		隔壁⑤	409	1.64	2.22	0.74	
		(--)	底版	331	0.55	1.51	0.37
			前壁	326	0.65	2.67	0.25
			後壁	87	0.17	1.66	0.11
			側壁①	548	1.10	2.04	0.54
			側壁②	548	1.10	2.04	0.54
			隔壁①	177	0.71	2.36	0.31
			隔壁②	108	0.43	1.86	0.24
			隔壁③	351	1.40	2.28	0.62
隔壁④	357		1.43	2.27	0.63		
隔壁⑤	351	1.40	2.28	0.62			

表 5.3.3-1(13) コンクリートのせん断破壊（面内）に対する照査における最大照査値

(④-④断面)

解析 ケース	地震動		評価対象 部材	せん断力 Q (kN)	せん断 応力度 τ_c (N/mm ²)	短期許容 応力度 τ_1 (N/mm ²)	照査値 τ_c / τ_1
①	S s - F 1	(++)	底版	247	0.41	1.51	0.28
			前壁	228	0.46	2.37	0.20
			後壁	57	0.11	1.51	0.08
			側壁①	389	0.78	1.85	0.43
			側壁②	389	0.78	1.85	0.43
			隔壁①	120	0.48	2.10	0.23
			隔壁②	86	0.34	1.87	0.19
			隔壁③	243	0.97	2.04	0.48
			隔壁④	246	0.99	2.03	0.49
			隔壁⑤	243	0.97	2.04	0.48
	S s - F 2	(++)	底版	331	0.55	1.51	0.37
			前壁	243	0.49	2.57	0.19
			後壁	55	0.11	1.61	0.07
			側壁①	513	1.03	2.12	0.49
			側壁②	513	1.03	2.12	0.49
			隔壁①	132	0.53	2.13	0.25
			隔壁②	87	0.35	1.78	0.20
			隔壁③	307	1.23	2.09	0.59
			隔壁④	319	1.28	2.14	0.60
隔壁⑤	307	1.23	2.09	0.59			

表 5.3.3-1(14) コンクリートのせん断破壊（面内）に対する照査における最大照査値

(④-④断面)

解析 ケース	地震動		評価対象 部材	せん断力 Q (kN)	せん断 応力度 τ_c (N/mm ²)	短期許容 応力度 τ_1 (N/mm ²)	照査値 τ_c / τ_1
①	S s - N 1	(++)	底版	231	0.39	1.51	0.26
			前壁	83	0.17	1.51	0.12
			後壁	334	0.67	2.67	0.25
			側壁①	338	0.68	1.85	0.37
			側壁②	338	0.68	1.85	0.37
			隔壁①	115	0.46	2.16	0.22
			隔壁②	192	0.77	2.46	0.32
			隔壁③	191	0.76	1.93	0.40
			隔壁④	192	0.77	1.93	0.40
		隔壁⑤	191	0.76	1.93	0.40	
		(-+)	底版	452	0.75	1.51	0.50
			前壁	368	0.74	2.88	0.26
			後壁	135	0.27	1.82	0.15
			側壁①	641	1.28	2.08	0.62
			側壁②	641	1.28	2.08	0.62
			隔壁①	195	0.78	2.39	0.33
			隔壁②	115	0.46	1.85	0.25
			隔壁③	447	1.79	2.33	0.77
			隔壁④	452	1.81	2.32	0.78
隔壁⑤	447		1.79	2.33	0.77		

表 5.3.3-1(15) コンクリートのせん断破壊（面内）に対する照査における最大照査値

(④-④断面)

解析 ケース	地震動		評価対象 部材	せん断力 Q (kN)	せん断 応力度 τ_c (N/mm ²)	短期許容 応力度 τ_1 (N/mm ²)	照査値 τ_c/τ_1
①	S s - N 2 (N S)	(++)	底版	364	0.61	1.51	0.41
			前壁	221	0.44	2.53	0.18
			後壁	73	0.15	1.65	0.09
			側壁①	492	0.98	2.02	0.49
			側壁②	492	0.98	2.02	0.49
			隔壁①	111	0.45	1.91	0.24
			隔壁②	89	0.36	1.96	0.19
			隔壁③	341	1.37	2.26	0.61
			隔壁④	355	1.42	2.31	0.62
		隔壁⑤	341	1.37	2.26	0.61	
		(-+)	底版	345	0.57	1.51	0.39
			前壁	205	0.41	2.45	0.17
			後壁	89	0.18	1.70	0.11
			側壁①	484	0.97	2.03	0.48
			側壁②	484	0.97	2.03	0.48
			隔壁①	110	0.44	1.93	0.23
			隔壁②	95	0.38	2.00	0.20
			隔壁③	323	1.29	2.23	0.58
			隔壁④	327	1.31	2.22	0.59
隔壁⑤	323		1.29	2.23	0.58		

表 5.3.3-1(16) コンクリートのせん断破壊（面内）に対する照査における最大照査値

(④-④断面)

解析 ケース	地震動		評価対象 部材	せん断力 Q (kN)	せん断 応力度 τ_c (N/mm ²)	短期許容 応力度 τ_1 (N/mm ²)	照査値 τ_c / τ_1
①	S s - N 2 (E W)	(++)	底版	213	0.35	1.51	0.24
			前壁	80	0.16	1.83	0.09
			後壁	178	0.36	2.23	0.16
			側壁①	305	0.61	1.88	0.33
			側壁②	305	0.61	1.88	0.33
			隔壁①	83	0.33	2.01	0.17
			隔壁②	114	0.45	2.07	0.22
			隔壁③	175	0.70	1.93	0.37
			隔壁④	175	0.70	1.93	0.37
		隔壁⑤	175	0.70	1.93	0.37	
		(-+)	底版	188	0.31	1.51	0.21
			前壁	168	0.34	2.08	0.17
			後壁	128	0.26	1.89	0.14
			側壁①	323	0.65	1.82	0.36
			側壁②	323	0.65	1.82	0.36
			隔壁①	105	0.42	2.10	0.20
			隔壁②	112	0.45	2.08	0.22
			隔壁③	204	0.81	2.05	0.40
			隔壁④	207	0.83	2.04	0.41
隔壁⑤	204		0.81	2.05	0.40		

表 5.3.3-1(17) コンクリートのせん断破壊（面内）に対する照査における最大照査値

(4-4断面)

解析 ケース	地震動		評価対象 部材	せん断力 Q (kN)	せん断 応力度 τ_c (N/mm ²)	短期許容 応力度 τ_1 (N/mm ²)	照査値 τ_c / τ_1
②	S s - D	(- +)	底版	472	0.79	1.51	0.53
			前壁	314	0.63	2.85	0.23
			後壁	268	0.54	2.63	0.21
			側壁①	729	1.46	2.31	0.64
			側壁②	729	1.46	2.31	0.64
			隔壁①	171	0.68	2.35	0.30
			隔壁②	148	0.59	2.24	0.27
			隔壁③	435	1.74	2.28	0.77
			隔壁④	438	1.75	2.26	0.78
			隔壁⑤	435	1.74	2.28	0.77

表 5.3.3-1(18) コンクリートのせん断破壊（面内）に対する照査における最大照査値
 (④-④断面)

解析 ケース	地震動		評価対象 部材	せん断力 Q (kN)	せん断 応力度 τ_c (N/mm ²)	短期許容 応力度 τ_1 (N/mm ²)	照査値 τ_c / τ_1
②	S s - N 1	(- +)	底版	497	0.83	1.51	0.55
			前壁	380	0.76	2.93	0.26
			後壁	140	0.28	1.85	0.16
			側壁①	694	1.39	2.13	0.66
			側壁②	694	1.39	2.13	0.66
			隔壁①	200	0.80	2.37	0.34
			隔壁②	113	0.45	1.80	0.26
			隔壁③	463	1.85	2.32	0.80
			隔壁④	468	1.87	2.31	0.81
			隔壁⑤	463	1.85	2.32	0.80

表 5.3.3-1(19) コンクリートのせん断破壊（面内）に対する照査における最大照査値

(④-④断面)

解析 ケース	地震動		評価対象 部材	せん断力 Q (kN)	せん断 応力度 τ_c (N/mm ²)	短期許容 応力度 τ_1 (N/mm ²)	照査値 τ_c / τ_1
③	S s - D	(- +)	底版	447	0.74	1.51	0.50
			前壁	303	0.61	2.81	0.22
			後壁	273	0.55	2.64	0.21
			側壁①	689	1.38	2.28	0.61
			側壁②	689	1.38	2.28	0.61
			隔壁①	167	0.67	2.36	0.29
			隔壁②	150	0.60	2.25	0.27
			隔壁③	425	1.70	2.28	0.75
			隔壁④	428	1.71	2.27	0.76
			隔壁⑤	425	1.70	2.28	0.75

表 5.3.3-1(20) コンクリートのせん断破壊（面内）に対する照査における最大照査値

(④-④断面)

解析 ケース	地震動		評価対象 部材	せん断力 Q (kN)	せん断 応力度 τ_c (N/mm ²)	短期許容 応力度 τ_1 (N/mm ²)	照査値 τ_c / τ_1
③	S s - N 1	(- +)	底版	474	0.79	1.51	0.53
			前壁	378	0.76	2.91	0.26
			後壁	145	0.29	1.91	0.16
			側壁①	657	1.31	2.07	0.64
			側壁②	657	1.31	2.07	0.64
			隔壁①	198	0.79	2.39	0.34
			隔壁②	113	0.45	1.82	0.25
			隔壁③	457	1.83	2.33	0.79
			隔壁④	462	1.85	2.32	0.80
			隔壁⑤	457	1.83	2.33	0.79

5.4 隔壁，頂版，側壁及び底版（③－③断面）

5.4.1 圧縮に対する照査

各地震動における各部材の圧縮応力度に対する照査結果を表 5.4.1-1 に示す。

表 5.4.1-1(1) コンクリートの圧縮応力度に対する照査における最大照査値
(③-③断面)

解析 ケース	地震動		評価対象 部材	圧縮 応力度 σ_c (N/mm ²)	短期許容 応力度 σ_{ca} (N/mm ²)	照査値 σ_c / σ_{ca}
①	S s-D	(++)	底版①	3.9	13.5	0.29
			底版②	3.9	13.5	0.29
			側壁①	6.1	13.5	0.45
			側壁②	6.1	13.5	0.45
			隔壁	8.6	13.5	0.64
			頂版①	1.6	13.5	0.13
		頂版②	1.6	13.5	0.13	
		(-+)	底版①	2.5	13.5	0.19
			底版②	2.5	13.5	0.19
			側壁①	3.7	13.5	0.28
			側壁②	3.7	13.5	0.28
			隔壁	5.3	13.5	0.40
			頂版①	1.7	13.5	0.13
		頂版②	1.7	13.5	0.13	
		(+-)	底版①	3.6	13.5	0.27
			底版②	3.6	13.5	0.27
			側壁①	7.1	13.5	0.53
			側壁②	7.1	13.5	0.53
			隔壁	8.3	13.5	0.62
			頂版①	3.4	13.5	0.26
		頂版②	3.4	13.5	0.26	
		(--)	底版①	3.0	13.5	0.23
			底版②	3.0	13.5	0.23
			側壁①	5.1	13.5	0.39
			側壁②	5.1	13.5	0.39
			隔壁	6.3	13.5	0.47
			頂版①	2.6	13.5	0.20
		頂版②	2.6	13.5	0.20	

表 5.4.1-1(2) コンクリートの圧縮応力度に対する照査における最大照査値
(③-③断面)

解析 ケース	地震動		評価対象 部材	圧縮 応力度 σ_c (N/mm ²)	短期許容 応力度 σ_{ca} (N/mm ²)	照査値 σ_c / σ_{ca}
①	S s - F 1	(++)	底版①	1.8	13.5	0.14
			底版②	1.8	13.5	0.14
			側壁①	2.7	13.5	0.20
			側壁②	2.7	13.5	0.20
			隔壁	3.8	13.5	0.29
			頂版①	1.3	13.5	0.10
			頂版②	1.3	13.5	0.10
	S s - F 2	(++)	底版①	2.5	13.5	0.19
			底版②	2.5	13.5	0.19
			側壁①	3.7	13.5	0.28
			側壁②	3.7	13.5	0.28
			隔壁	5.4	13.5	0.40
			頂版①	1.8	13.5	0.14
			頂版②	1.8	13.5	0.14
	S s - N 1	(++)	底版①	4.0	13.5	0.30
			底版②	4.0	13.5	0.30
			側壁①	6.3	13.5	0.47
			側壁②	6.3	13.5	0.47
			隔壁	8.6	13.5	0.64
			頂版①	3.0	13.5	0.23
			頂版②	3.0	13.5	0.23
		(-+)	底版①	4.1	13.5	0.31
			底版②	4.1	13.5	0.31
			側壁①	6.3	13.5	0.47
			側壁②	6.3	13.5	0.47
			隔壁	8.8	13.5	0.66
			頂版①	1.7	13.5	0.13
			頂版②	1.7	13.5	0.13

表 5.4.1-1(3) コンクリートの圧縮応力度に対する照査における最大照査値
(③-③断面)

解析 ケース	地震動		評価対象 部材	圧縮 応力度 σ_c (N/mm ²)	短期許容 応力度 σ_{ca} (N/mm ²)	照査値 σ_c / σ_{ca}
①	S _s -N 2 (N S)	(++)	底版①	2.0	13.5	0.15
			底版②	2.0	13.5	0.15
			側壁①	3.0	13.5	0.22
			側壁②	3.0	13.5	0.22
			隔壁	4.3	13.5	0.32
			頂版①	1.2	13.5	0.09
			頂版②	1.2	13.5	0.09
		(-+)	底版①	2.3	13.5	0.17
			底版②	2.3	13.5	0.17
			側壁①	3.6	13.5	0.27
			側壁②	3.6	13.5	0.27
			隔壁	4.9	13.5	0.37
			頂版①	1.8	13.5	0.14
			頂版②	1.8	13.5	0.14
	S _s -N 2 (E W)	(++)	底版①	3.1	13.5	0.23
			底版②	3.1	13.5	0.23
			側壁①	6.9	13.5	0.52
			側壁②	6.9	13.5	0.52
			隔壁	8.0	13.5	0.60
			頂版①	3.3	13.5	0.25
			頂版②	3.3	13.5	0.25
		(-+)	底版①	2.5	13.5	0.19
			底版②	2.5	13.5	0.19
			側壁①	4.0	13.5	0.30
			側壁②	4.0	13.5	0.30
			隔壁	5.2	13.5	0.39
			頂版①	2.1	13.5	0.16
			頂版②	2.1	13.5	0.16

表 5.4.1-1(4) コンクリートの圧縮応力度に対する照査における最大照査値
(③-③断面)

解析 ケース	地震動		評価対象 部材	圧縮 応力度 σ_c (N/mm ²)	短期許容 応力度 σ_{ca} (N/mm ²)	照査値 σ_c / σ_{ca}
②	S s - N 1	(++)	底版①	4.0	13.5	0.30
			底版②	4.0	13.5	0.30
			側壁①	6.3	13.5	0.47
			側壁②	6.3	13.5	0.47
			隔壁	8.6	13.5	0.64
			頂版①	3.0	13.5	0.23
			頂版②	3.0	13.5	0.23
		(-+)	底版①	3.9	13.5	0.30
			底版②	3.9	13.5	0.30
			側壁①	6.2	13.5	0.46
			側壁②	6.2	13.5	0.46
			隔壁	8.7	13.5	0.65
			頂版①	1.6	13.5	0.13
			頂版②	1.6	13.5	0.13
	S s - N 2 (E W)	(++)	底版①	3.0	13.5	0.23
			底版②	3.0	13.5	0.23
			側壁①	6.8	13.5	0.51
			側壁②	6.8	13.5	0.51
			隔壁	7.9	13.5	0.59
			頂版①	3.3	13.5	0.25
			頂版②	3.3	13.5	0.25

表 5.4.1-1(5) コンクリートの圧縮応力度に対する照査における最大照査値
(③-③断面)

解析 ケース	地震動		評価対象 部材	圧縮 応力度 σ_c (N/mm ²)	短期許容 応力度 σ_{ca} (N/mm ²)	照査値 σ_c / σ_{ca}
③	S s - N 1	(++)	底版①	4.0	13.5	0.30
			底版②	4.0	13.5	0.30
			側壁①	6.3	13.5	0.47
			側壁②	6.3	13.5	0.47
			隔壁	8.6	13.5	0.64
			頂版①	3.0	13.5	0.23
			頂版②	3.0	13.5	0.23
		(-+)	底版①	4.2	13.5	0.32
			底版②	4.2	13.5	0.32
			側壁①	6.4	13.5	0.48
			側壁②	6.4	13.5	0.48
			隔壁	9.0	13.5	0.67
			頂版①	2.0	13.5	0.15
			頂版②	2.0	13.5	0.15
	S s - N 2 (E W)	(++)	底版①	3.0	13.5	0.23
			底版②	3.0	13.5	0.23
			側壁①	6.7	13.5	0.50
			側壁②	6.7	13.5	0.50
			隔壁	7.8	13.5	0.58
			頂版①	3.2	13.5	0.24
			頂版②	3.2	13.5	0.24

5.4.2 引張に対する照査

各地震動における各部材の引張応力度に対する照査結果を表 5.4.2-1 に示す。

表 5.4.2-1(1) コンクリートの引張応力度に対する照査における最大照査値
(③-③断面)

解析 ケース	地震動		評価対象 部材	引張 応力度* σ_s (N/mm ²)	引張強度 f_{tk} (N/mm ²)	照査値* σ_s/f_{tk}
①	S s-D	(++)	底版①	1.03	1.91	0.55
			底版②	1.03	1.91	0.55
			側壁①	0.89	1.91	0.47
			側壁②	0.89	1.91	0.47
			隔壁	1.62 (2.01)	1.91	0.85 (1.06)
			頂版①	1.15	1.91	0.61
			頂版②	1.15	1.91	0.61
		(-+)	底版①	0.67	1.91	0.36
			底版②	0.67	1.91	0.36
			側壁①	0.49	1.91	0.26
			側壁②	0.49	1.91	0.26
			隔壁	1.14	1.91	0.60
			頂版①	0.75	1.91	0.40
			頂版②	0.75	1.91	0.40
		(+-)	底版①	0.76	1.91	0.40
			底版②	0.76	1.91	0.40
			側壁①	0.87	1.91	0.46
			側壁②	0.87	1.91	0.46
			隔壁	1.70	1.91	0.89
			頂版①	1.50	1.91	0.79
			頂版②	1.50	1.91	0.79
		(--)	底版①	0.89	1.91	0.47
			底版②	0.89	1.91	0.47
			側壁①	0.64	1.91	0.34
			側壁②	0.64	1.91	0.34
			隔壁	1.59	1.91	0.84
			頂版①	1.05	1.91	0.55
			頂版②	1.05	1.91	0.55

注記* : 括弧内 () は応力度平均化前の値を示す。

表 5.4.2-1(2) コンクリートの引張応力度に対する照査における最大照査値
(③-③断面)

解析 ケース	地震動		評価対象 部材	引張 応力度* σ_s (N/mm ²)	引張強度 f_{tk} (N/mm ²)	照査値* σ_s/f_{tk}
①	S _s -F 1	(++)	底版①	0.54	1.91	0.29
			底版②	0.54	1.91	0.29
			側壁①	0.34	1.91	0.19
			側壁②	0.34	1.91	0.19
			隔壁	0.85	1.91	0.45
			頂版①	0.56	1.91	0.30
			頂版②	0.56	1.91	0.30
	S _s -F 2	(++)	底版①	0.65	1.91	0.35
			底版②	0.65	1.91	0.35
			側壁①	0.41	1.91	0.22
			側壁②	0.41	1.91	0.22
			隔壁	1.04	1.91	0.55
			頂版①	0.74	1.91	0.39
			頂版②	0.74	1.91	0.39
	S _s -N 1	(++)	底版①	0.82	1.91	0.44
			底版②	0.82	1.91	0.44
			側壁①	0.92	1.91	0.49
			側壁②	0.92	1.91	0.49
			隔壁	1.79	1.91	0.94
			頂版①	1.21	1.91	0.64
			頂版②	1.21	1.91	0.64
		(-+)	底版①	1.11	1.91	0.59
			底版②	1.11	1.91	0.59
			側壁①	0.98	1.91	0.52
側壁②			0.98	1.91	0.52	
隔壁			1.80 (2.19)	1.91	0.95 (1.15)	
頂版①			1.17	1.91	0.62	
頂版②			1.17	1.91	0.62	

注記* : 括弧内 () は応力度平均化前の値を示す。

表 5.4.2-1(3) コンクリートの引張応力度に対する照査における最大照査値
(③-③断面)

解析 ケース	地震動		評価対象 部材	引張 応力度 σ_s (N/mm ²)	引張強度 f_{tk} (N/mm ²)	照査値 σ_s/f_{tk}
①	S _s -N 2 (N S)	(++)	底版①	0.30	1.91	0.16
			底版②	0.30	1.91	0.16
			側壁①	0.16	1.91	0.09
			側壁②	0.16	1.91	0.09
			隔壁	0.15	1.91	0.08
			頂版①	0.64	1.91	0.34
			頂版②	0.64	1.91	0.34
		(-+)	底版①	0.57	1.91	0.31
			底版②	0.57	1.91	0.31
			側壁①	0.65	1.91	0.34
			側壁②	0.65	1.91	0.34
			隔壁	1.29	1.91	0.68
			頂版①	0.82	1.91	0.43
			頂版②	0.82	1.91	0.43
	S _s -N 2 (E W)	(++)	底版①	0.82	1.91	0.43
			底版②	0.82	1.91	0.43
			側壁①	0.66	1.91	0.35
			側壁②	0.66	1.91	0.35
			隔壁	1.42	1.91	0.75
			頂版①	1.40	1.91	0.74
			頂版②	1.40	1.91	0.74
		(-+)	底版①	0.76	1.91	0.40
			底版②	0.76	1.91	0.40
			側壁①	0.54	1.91	0.29
			側壁②	0.54	1.91	0.29
			隔壁	1.33	1.91	0.70
			頂版①	0.86	1.91	0.45
			頂版②	0.86	1.91	0.45

表 5.4.2-1(4) コンクリートの引張応力度に対する照査における最大照査値
(③-③断面)

解析 ケース	地震動		評価対象 部材	引張 応力度* σ_s (N/mm ²)	引張強度 f_{tk} (N/mm ²)	照査値* σ_s/f_{tk}
②	S s - N 1	(++)	底版①	0.82	1.91	0.44
			底版②	0.82	1.91	0.44
			側壁①	0.92	1.91	0.49
			側壁②	0.92	1.91	0.49
			隔壁	1.78	1.91	0.94
			頂版①	1.23	1.91	0.65
			頂版②	1.23	1.91	0.65
		(-+)	底版①	1.10	1.91	0.58
			底版②	1.10	1.91	0.58
			側壁①	0.98	1.91	0.52
			側壁②	0.98	1.91	0.52
			隔壁	1.79 (2.20)	1.91	0.94 (1.16)
			頂版①	1.16	1.91	0.61
			頂版②	1.16	1.91	0.61
	S s - N 2 (E W)	(++)	底版①	0.81	1.91	0.43
			底版②	0.81	1.91	0.43
			側壁①	0.59	1.91	0.31
			側壁②	0.59	1.91	0.31
			隔壁	1.41	1.91	0.74
			頂版①	1.38	1.91	0.73
			頂版②	1.38	1.91	0.73

注記* : 括弧内 () は応力度平均化前の値を示す。

表 5.4.2-1(5) コンクリートの引張応力度に対する照査における最大照査値
(③-③断面)

解析 ケース	地震動		評価対象 部材	引張 応力度* σ_s (N/mm ²)	引張強度 f_{tk} (N/mm ²)	照査値* σ_s/f_{tk}
③	S s - N 1	(++)	底版①	0.82	1.91	0.44
			底版②	0.82	1.91	0.44
			側壁①	0.92	1.91	0.49
			側壁②	0.92	1.91	0.49
			隔壁	1.79	1.91	0.94
			頂版①	1.25	1.91	0.66
			頂版②	1.25	1.91	0.66
		(-+)	底版①	1.10	1.91	0.58
			底版②	1.10	1.91	0.58
			側壁①	0.97	1.91	0.51
			側壁②	0.97	1.91	0.51
			隔壁	1.80 (2.18)	1.91	0.95 (1.14)
			頂版①	1.19	1.91	0.63
			頂版②	1.19	1.91	0.63
	S s - N 2 (E W)	(++)	底版①	0.80	1.91	0.43
			底版②	0.80	1.91	0.43
			側壁①	0.57	1.91	0.30
			側壁②	0.57	1.91	0.30
			隔壁	1.39	1.91	0.73
			頂版①	1.36	1.91	0.72
			頂版②	1.36	1.91	0.72

注記* : 括弧内 () は応力度平均化前の値を示す。

5.4.3 せん断力照査（面外）

各地震動におけるコンクリートのせん断破壊（面外）に対する照査結果を表 5.4.3-1 に示す。

表 5.4.3-1(1) コンクリートのせん断破壊（面外）に対する照査における最大照査値
 (③-③断面)

解析 ケース	地震動		評価対象 部材	せん断 応力度* τ_c (N/mm ²)	短期許容 応力度 τ_{a1} (N/mm ²)	照査値* τ_c / τ_{a1}
①	S s - D	(++)	底版①	0.66 (1.76)	0.67	0.99 (2.64)
			底版②	0.66 (1.76)	0.67	0.99 (2.64)
			側壁①	0.11 (0.70)	0.67	0.18 (1.05)
			側壁②	0.11 (0.70)	0.67	0.18 (1.05)
			隔壁	0.00 (1.44)	0.67	0.00 (2.16)
			頂版①	0.23 (0.72)	0.67	0.35 (1.08)
			頂版②	0.23 (0.72)	0.67	0.35 (1.08)
		(-+)	底版①	0.42 (1.11)	0.67	0.63 (1.66)
			底版②	0.42 (1.11)	0.67	0.63 (1.66)
			側壁①	0.50	0.67	0.75
			側壁②	0.50	0.67	0.75
			隔壁	0.00 (0.90)	0.67	0.00 (1.35)
			頂版①	0.06 (0.81)	0.67	0.09 (1.21)
			頂版②	0.06 (0.81)	0.67	0.09 (1.21)

注記*：括弧内（ ）は応力度平均化前の値を示す。

表 5.4.3-1(2) コンクリートのせん断破壊（面外）に対する照査における最大照査値
 (③-③断面)

解析 ケース	地震動		評価対象 部材	せん断 応力度* τ_c (N/mm ²)	短期許容 応力度 τ_{a1} (N/mm ²)	照査値* τ_c / τ_{a1}
①	S s - D	(+-)	底版①	0.56 (1.56)	0.67	0.85 (2.34)
			底版②	0.56 (1.56)	0.67	0.85 (2.34)
			側壁①	0.14 (1.11)	0.67	0.22 (1.66)
			側壁②	0.14 (1.11)	0.67	0.22 (1.66)
			隔壁	0.00 (1.31)	0.67	0.00 (1.96)
			頂版①	0.44 (1.65)	0.67	0.66 (2.46)
			頂版②	0.44 (1.65)	0.67	0.66 (2.46)
		(- -)	底版①	0.51 (1.36)	0.67	0.77 (2.03)
			底版②	0.51 (1.36)	0.67	0.77 (2.03)
			側壁①	0.10 (0.79)	0.67	0.15 (1.19)
			側壁②	0.10 (0.79)	0.67	0.15 (1.19)
			隔壁	0.00 (1.09)	0.67	0.00 (1.62)
			頂版①	0.31 (1.23)	0.67	0.47 (1.84)
			頂版②	0.31 (1.23)	0.67	0.47 (1.84)

注記*：括弧内（ ）は応力度平均化前の値を示す。

表 5.4.3-1(3) コンクリートのせん断破壊（面外）に対する照査における最大照査値
 (③-③断面)

解析 ケース	地震動		評価対象 部材	せん断 応力度* τ_c (N/mm ²)	短期許容 応力度 τ_{a1} (N/mm ²)	照査値* τ_c / τ_{a1}
①	S _s -F 1	(++)	底版①	0.30 (0.80)	0.67	0.45 (1.20)
			底版②	0.30 (0.80)	0.67	0.45 (1.20)
			側壁①	0.37	0.67	0.55
			側壁②	0.37	0.67	0.55
			隔壁	0.64	0.67	0.96
			頂版①	0.60	0.67	0.91
			頂版②	0.60	0.67	0.91
	S _s -F 2	(++)	底版①	0.42 (1.11)	0.67	0.63 (1.66)
			底版②	0.42 (1.11)	0.67	0.63 (1.66)
			側壁①	0.51	0.67	0.76
			側壁②	0.51	0.67	0.76
			隔壁	0.00 (0.90)	0.67	0.00 (1.35)
			頂版①	0.06 (0.85)	0.67	0.09 (1.27)
			頂版②	0.06 (0.85)	0.67	0.09 (1.27)

注記*：括弧内（ ）は応力度平均化前の値を示す。

表 5.4.3-1(4) コンクリートのせん断破壊（面外）に対する照査における最大照査値
 (③-③断面)

解析 ケース	地震動		評価対象 部材	せん断 応力度* τ_c (N/mm ²)	短期許容 応力度 τ_{a1} (N/mm ²)	照査値* τ_c / τ_{a1}
①	S s - N 1	(++)	底版①	0.63 (1.79)	0.67	0.95 (2.68)
			底版②	0.63 (1.79)	0.67	0.95 (2.68)
			側壁①	0.12 (0.92)	0.67	0.18 (1.38)
			側壁②	0.12 (0.92)	0.67	0.18 (1.38)
			隔壁	0.00 (1.44)	0.67	0.00 (2.15)
			頂版①	0.37 (1.42)	0.67	0.56 (2.13)
			頂版②	0.37 (1.42)	0.67	0.56 (2.13)

注記*：括弧内（ ）は応力度平均化前の値を示す。

表 5.4.3-1(5) コンクリートのせん断破壊（面外）に対する照査における最大照査値
 (③-③断面)

解析 ケース	地震動		評価対象 部材	せん断 応力度*1 τ_c (N/mm ²)	短期許容 応力度 τ_{a1} (N/mm ²)	照査値*1 τ_c / τ_{a1}
①	S s - N 1	(- +)	底版①	0.70 (1.86)	0.67	1.05 (2.78) 【0.63】*2
			底版②	0.70 (1.86)	0.67	1.05 (2.78) 【0.63】*2
			側壁①	0.11 (0.75)	0.67	0.17 (1.12)
			側壁②	0.11 (0.75)	0.67	0.17 (1.12)
			隔壁	0.00 (1.50)	0.67	0.00 (2.24)
			頂版①	0.23 (0.69)	0.67	0.35 (1.04)
			頂版②	0.23 (0.69)	0.67	0.35 (1.04)

注記*1：括弧内（ ）は応力度平均化前の値を示す。

*2：括弧内【 】は「RC規準（1999年）」に基づき、短期許容せん断応力度
 1.11 (N/mm²) を許容値とした場合の照査値を示す。

表 5.4.3-1(6) コンクリートのせん断破壊（面外）に対する照査における最大照査値
 (③-③断面)

解析 ケース	地震動		評価対象 部材	せん断 応力度* τ_c (N/mm ²)	短期許容 応力度 τ_{a1} (N/mm ²)	照査値* τ_c / τ_{a1}
①	S s - N 2 (N S)	(++)	底版①	0.34 (0.89)	0.67	0.51 (1.33)
			底版②	0.34 (0.89)	0.67	0.51 (1.33)
			側壁①	0.32	0.67	0.48
			側壁②	0.32	0.67	0.48
			隔壁	0.00 (0.72)	0.67	0.00 (1.08)
			頂版①	0.56	0.67	0.84
			頂版②	0.56	0.67	0.84
		(-+)	底版①	0.36 (0.98)	0.67	0.54 (1.46)
			底版②	0.36 (0.98)	0.67	0.54 (1.46)
			側壁①	0.55	0.67	0.83
			側壁②	0.55	0.67	0.83
			隔壁	0.00 (0.81)	0.67	0.00 (1.21)
			頂版①	0.07 (0.84)	0.67	0.10 (1.26)
			頂版②	0.07 (0.84)	0.67	0.10 (1.26)

注記* : 括弧内 () は応力度平均化前の値を示す。

表 5.4.3-1(7) コンクリートのせん断破壊（面外）に対する照査における最大照査値
 (③-③断面)

解析 ケース	地震動		評価対象 部材	せん断 応力度* τ_c (N/mm ²)	短期許容 応力度 τ_{a1} (N/mm ²)	照査値* τ_c / τ_{a1}
①	S s - N 2 (E W)	(++)	底版①	0.51 (1.35)	0.67	0.77 (2.03)
			底版②	0.51 (1.35)	0.67	0.77 (2.03)
			側壁①	0.13 (1.07)	0.67	0.20 (1.60)
			側壁②	0.13 (1.07)	0.67	0.20 (1.60)
			隔壁	0.00 (1.27)	0.67	0.00 (1.90)
			頂版①	0.40 (1.60)	0.67	0.61 (2.39)
			頂版②	0.40 (1.60)	0.67	0.61 (2.39)
		(-+)	底版①	0.42 (1.13)	0.67	0.63 (1.69)
			底版②	0.42 (1.13)	0.67	0.63 (1.69)
			側壁①	0.62	0.67	0.93
			側壁②	0.62	0.67	0.93
			隔壁	0.00 (0.89)	0.67	0.00 (1.33)
			頂版①	0.26 (0.98)	0.67	0.40 (1.47)
			頂版②	0.26 (0.98)	0.67	0.40 (1.47)

注記*：括弧内（ ）は応力度平均化前の値を示す。

表 5.4.3-1(8) コンクリートのせん断破壊（面外）に対する照査における最大照査値
 (③-③断面)

解析 ケース	地震動		評価対象 部材	せん断 応力度* τ_c (N/mm ²)	短期許容 応力度 τ_{a1} (N/mm ²)	照査値* τ_c / τ_{a1}
②	S s - N 1	(++)	底版①	0.64 (1.79)	0.67	0.95 (2.68)
			底版②	0.64 (1.79)	0.67	0.95 (2.68)
			側壁①	0.12 (0.93)	0.67	0.18 (1.39)
			側壁②	0.12 (0.93)	0.67	0.18 (1.39)
			隔壁	0.00 (1.44)	0.67	0.00 (2.16)
			頂版①	0.37 (1.43)	0.67	0.56 (2.14)
			頂版②	0.37 (1.43)	0.67	0.56 (2.14)

注記*：括弧内（ ）は応力度平均化前の値を示す。

表 5.4.3-1(9) コンクリートのせん断破壊（面外）に対する照査における最大照査値
 (③-③断面)

解析 ケース	地震動		評価対象 部材	せん断 応力度*1 τ_c (N/mm ²)	短期許容 応力度 τ_{a1} (N/mm ²)	照査値*1 τ_c / τ_{a1}
②	S s - N 1	(- +)	底版①	0.68 (1.81)	0.67	1.02 (2.71) 【0.62】*2
			底版②	0.68 (1.81)	0.67	1.02 (2.71) 【0.62】*2
			側壁①	0.11 (0.72)	0.67	0.17 (1.08)
			側壁②	0.11 (0.72)	0.67	0.17 (1.08)
			隔壁	0.00 (1.47)	0.67	0.00 (2.20)
			頂版①	0.23 (0.69)	0.67	0.35 (1.03)
			頂版②	0.23 (0.69)	0.67	0.35 (1.03)

注記*1：括弧内（ ）は応力度平均化前の値を示す。

*2：括弧内【 】は「RC規準（1999年）」に基づき、短期許容せん断応力度
 1.11 (N/mm²) を許容値とした場合の照査値を示す。

表 5.4.3-1(10) コンクリートのせん断破壊（面外）に対する照査における最大照査値
 (③-③断面)

解析 ケース	地震動		評価対象 部材	せん断 応力度* τ_c (N/mm ²)	短期許容 応力度 τ_{a1} (N/mm ²)	照査値* τ_c / τ_{a1}
②	S s - N 2 (E W)	(++)	底版①	0.50 (1.34)	0.67	0.76 (2.00)
			底版②	0.50 (1.34)	0.67	0.76 (2.00)
			側壁①	0.13 (1.05)	0.67	0.20 (1.57)
			側壁②	0.13 (1.05)	0.67	0.20 (1.57)
			隔壁	0.00 (1.25)	0.67	0.00 (1.87)
			頂版①	0.40 (1.58)	0.67	0.60 (2.36)
			頂版②	0.40 (1.58)	0.67	0.60 (2.36)
③	S s - N 1	(++)	底版①	0.63 (1.79)	0.67	0.95 (2.68)
			底版②	0.63 (1.79)	0.67	0.95 (2.68)
			側壁①	0.12 (0.95)	0.67	0.18 (1.42)
			側壁②	0.12 (0.95)	0.67	0.18 (1.42)
			隔壁	0.00 (1.44)	0.67	0.00 (2.15)
			頂版①	0.37 (1.44)	0.67	0.56 (2.16)
			頂版②	0.37 (1.44)	0.67	0.56 (2.16)

注記*：括弧内（ ）は応力度平均化前の値を示す。

表 5.4.3-1(11) コンクリートのせん断破壊（面外）に対する照査における最大照査値
 (③-③断面)

解析 ケース	地震動		評価対象 部材	せん断 応力度*1 τ_c (N/mm ²)	短期許容 応力度 τ_{a1} (N/mm ²)	照査値*1 τ_c / τ_{a1}
③	S s - N 1	(- +)	底版①	0.72 (1.91)	0.67	1.07 (2.86) 【0.65】*2
			底版②	0.72 (1.91)	0.67	1.07 (2.86) 【0.65】*2
			側壁①	0.11 (0.77)	0.67	0.16 (1.16)
			側壁②	0.11 (0.77)	0.67	0.16 (1.16)
			隔壁	0.00 (1.53)	0.67	0.00 (2.29)
			頂版①	0.23 (0.93)	0.67	0.35 (1.39)
			頂版②	0.23 (0.93)	0.67	0.35 (1.39)

注記*1：括弧内（ ）は応力度平均化前の値を示す。

*2：括弧内【 】は「RC規準（1999年）」に基づき、短期許容せん断応力度
 1.11 (N/mm²) を許容値とした場合の照査値を示す。

表 5.4.3-1(12) コンクリートのせん断破壊（面外）に対する照査における最大照査値
 (③-③断面)

解析 ケース	地震動		評価対象 部材	せん断 応力度* τ_c (N/mm ²)	短期許容 応力度 τ_{a1} (N/mm ²)	照査値* τ_c / τ_{a1}
③	S s - N 2 (E W)	(++)	底版①	0.49 (1.33)	0.67	0.74 (2.00)
			底版②	0.49 (1.33)	0.67	0.74 (2.00)
			側壁①	0.13 (1.03)	0.67	0.20 (1.55)
			側壁②	0.13 (1.03)	0.67	0.20 (1.55)
			隔壁	0.00 (1.23)	0.67	0.00 (1.84)
			頂版①	0.39 (1.55)	0.67	0.59 (2.32)
			頂版②	0.39 (1.55)	0.67	0.59 (2.32)

注記*：括弧内（ ）は応力度平均化前の値を示す。

5.4.4 せん断力照査（面内）

各地震動におけるコンクリートのせん断破壊（面内）に対する照査結果を表 5.4.4-1 に示す。

表 5.4.4-1(1) コンクリートのせん断破壊（面内）に対する照査における最大照査値
 (③-③断面)

解析 ケース	地震動		評価対象 部材	せん断 応力度* τ_c (N/mm ²)	許容せん断 応力度 τ_1 (N/mm ²)	照査値* τ_c / τ_1
①	S s-D	(++)	底版①	0.78	1.51	0.52
			底版②	0.78	1.51	0.52
			側壁①	0.99 (1.59)	1.51	0.66 (1.06)
			側壁②	0.99 (1.59)	1.51	0.66 (1.06)
			隔壁	1.65 (1.71)	1.51	1.09 (1.14)
			頂版①	0.43	1.51	0.29
			頂版②	0.43	1.51	0.29
		(-+)	底版①	0.51	1.51	0.34
			底版②	0.51	1.51	0.34
			側壁①	1.02	1.51	0.68
			側壁②	1.02	1.51	0.68
			隔壁	1.13	1.51	0.76
			頂版①	0.35	1.51	0.24
			頂版②	0.35	1.51	0.24
		(+ -)	底版①	0.66	1.51	0.44
			底版②	0.66	1.51	0.44
			側壁①	1.15	1.51	0.77
			側壁②	1.15	1.51	0.77
			隔壁	1.18	1.51	0.79
			頂版①	0.56	1.51	0.38
			頂版②	0.56	1.51	0.38

注記*：括弧内（ ）は応力度平均化前の値を示す。

表 5.4.4-1(2) コンクリートのせん断破壊（面内）に対する照査における最大照査値
 (③-③断面)

解析 ケース	地震動		評価対象 部材	せん断 応力度 τ_c (N/mm ²)	許容せん断 応力度 τ_1 (N/mm ²)	照査値 τ_c / τ_1
①	S s - D	(- -)	底版①	0.59	1.51	0.40
			底版②	0.59	1.51	0.40
			側壁①	1.31	1.51	0.87
			側壁②	1.31	1.51	0.87
			隔壁	1.43	1.51	0.95
			頂版①	0.47	1.51	0.32
			頂版②	0.47	1.51	0.32
	S s - F 1	(+ +)	底版①	0.39	1.51	0.26
			底版②	0.39	1.51	0.26
			側壁①	0.75	1.51	0.50
			側壁②	0.75	1.51	0.50
			隔壁	0.83	1.51	0.56
			頂版①	0.24	1.51	0.17
			頂版②	0.24	1.51	0.17
	S s - F 2	(+ +)	底版①	0.52	1.51	0.35
			底版②	0.52	1.51	0.35
			側壁①	1.00	1.51	0.67
			側壁②	1.00	1.51	0.67
			隔壁	1.10	1.51	0.73
			頂版①	0.40	1.51	0.27
			頂版②	0.40	1.51	0.27

表 5.4.4-1(3) コンクリートのせん断破壊（面内）に対する照査における最大照査値
 (③-③断面)

解析 ケース	地震動		評価対象 部材	せん断 応力度* τ_e (N/mm ²)	許容せん断 応力度 τ_1 (N/mm ²)	照査値* τ_e / τ_1
①	S s - N 1	(++)	底版①	0.79	1.51	0.53
			底版②	0.79	1.51	0.53
			側壁①	1.37	1.51	0.91
			側壁②	1.37	1.51	0.91
			隔壁	1.37	1.51	0.91
			頂版①	0.56	1.51	0.38
			頂版②	0.56	1.51	0.38
		(-+)	底版①	0.80	1.51	0.53
			底版②	0.80	1.51	0.53
			側壁①	1.08 (1.73)	1.51	0.72 (1.15)
			側壁②	1.08 (1.73)	1.51	0.72 (1.15)
			隔壁	1.78 (1.85)	1.51	1.18 (1.23)
			頂版①	0.45	1.51	0.30
			頂版②	0.45	1.51	0.30

注記* : 括弧内 () は応力度平均化前の値を示す。

表 5.4.4-1(4) コンクリートのせん断破壊（面内）に対する照査における最大照査値
 (③-③断面)

解析 ケース	地震動		評価対象 部材	せん断 応力度 τ_c (N/mm ²)	許容せん断 応力度 τ_1 (N/mm ²)	照査値 τ_c / τ_1
①	S s - N 2 (N S)	(++)	底版①	0.42	1.51	0.28
			底版②	0.42	1.51	0.28
			側壁①	0.75	1.51	0.50
			側壁②	0.75	1.51	0.50
			隔壁	0.85	1.51	0.57
			頂版①	0.26	1.51	0.18
			頂版②	0.26	1.51	0.18
		(-+)	底版①	0.41	1.51	0.27
			底版②	0.41	1.51	0.27
			側壁①	0.67	1.51	0.45
			側壁②	0.67	1.51	0.45
			隔壁	0.65	1.51	0.44
			頂版①	0.30	1.51	0.21
			頂版②	0.30	1.51	0.21
	S s - N 2 (E W)	(++)	底版①	0.60	1.51	0.40
			底版②	0.60	1.51	0.40
			側壁①	1.34	1.51	0.89
			側壁②	1.34	1.51	0.89
			隔壁	1.43	1.51	0.95
			頂版①	0.55	1.51	0.37
			頂版②	0.55	1.51	0.37
		(-+)	底版①	0.51	1.51	0.34
			底版②	0.51	1.51	0.34
			側壁①	1.08	1.51	0.72
			側壁②	1.08	1.51	0.72
			隔壁	1.18	1.51	0.79
			頂版①	0.41	1.51	0.28
			頂版②	0.41	1.51	0.28

表 5.4.4-1(5) コンクリートのせん断破壊（面内）に対する照査における最大照査値
 (③-③断面)

解析 ケース	地震動		評価対象 部材	せん断 応力度* τ_e (N/mm ²)	許容せん断 応力度 τ_1 (N/mm ²)	照査値* τ_e / τ_1
②	S s - N 1	(++)	底版①	0.79	1.51	0.53
			底版②	0.79	1.51	0.53
			側壁①	1.38	1.51	0.92
			側壁②	1.38	1.51	0.92
			隔壁	1.38	1.51	0.92
			頂版①	0.55	1.51	0.37
			頂版②	0.55	1.51	0.37
		(-+)	底版①	0.78	1.51	0.52
			底版②	0.78	1.51	0.52
			側壁①	1.03 (1.65)	1.51	0.69 (1.10)
			側壁②	1.03 (1.65)	1.51	0.69 (1.10)
			隔壁	1.70 (1.77)	1.51	1.13 (1.18)
			頂版①	0.43	1.51	0.29
			頂版②	0.43	1.51	0.29
	S s - N 2 (E W)	(++)	底版①	0.59	1.51	0.40
			底版②	0.59	1.51	0.40
			側壁①	1.32	1.51	0.88
			側壁②	1.32	1.51	0.88
			隔壁	1.41	1.51	0.94
			頂版①	0.54	1.51	0.36
			頂版②	0.54	1.51	0.36

注記*：括弧内（ ）は応力度平均化前の値を示す。

表 5.4.4-1(6) コンクリートのせん断破壊（面内）に対する照査における最大照査値
 (③-③断面)

解析 ケース	地震動		評価対象 部材	せん断 応力度* τ_e (N/mm ²)	許容せん断 応力度 τ_1 (N/mm ²)	照査値* τ_e / τ_1
③	S s - N 1	(++)	底版①	0.79	1.51	0.53
			底版②	0.79	1.51	0.53
			側壁①	1.37	1.51	0.91
			側壁②	1.37	1.51	0.91
			隔壁	1.37	1.51	0.91
			頂版①	0.54	1.51	0.36
			頂版②	0.54	1.51	0.36
		(-+)	底版①	0.80	1.51	0.54
			底版②	0.80	1.51	0.54
			側壁①	1.12 (1.79)	1.51	0.75 (1.19)
			側壁②	1.12 (1.79)	1.51	0.75 (1.19)
			隔壁	1.84 (1.91)	1.51	1.22 (1.27)
			頂版①	0.46	1.51	0.31
			頂版②	0.46	1.51	0.31
	S s - N 2 (E W)	(++)	底版①	0.59	1.51	0.39
			底版②	0.59	1.51	0.39
			側壁①	1.32	1.51	0.88
			側壁②	1.32	1.51	0.88
			隔壁	1.41	1.51	0.94
			頂版①	0.53	1.51	0.36
			頂版②	0.53	1.51	0.36

注記*：括弧内（ ）は応力度平均化前の値を示す。

5.4.5 3次元非線形構造解析によるせん断破壊に対する照査

「5.4.4 せん断力照査（面内）」のうち、隔壁の照査値が1.0を上回る結果となった解析ケースにおける隔壁のせん断破壊に対する照査結果を表5.4.5-1に示す。

表5.4.5-1 コンクリートのせん断破壊（面内）に対する照査

（③-③断面）

解析 ケース	地震動		評価対象 部材	発生ひずみ ϵ_c	許容ひずみ ϵ_{ca}	照査値 $\epsilon_c / \epsilon_{ca}$
①	S s-D	(++)	隔壁	363 μ	2000 μ	0.19
①	S s-N 1	(-+)	隔壁	501 μ	2000 μ	0.26
②	S s-N 1	(-+)	隔壁	452 μ	2000 μ	0.23
③	S s-N 1	(-+)	隔壁	536 μ	2000 μ	0.27

6. 防波壁（波返重力擁壁）の耐震性に関する影響検討

6.1 改良地盤⑥の解析用物性値に関する影響検討

6.1.1 概要

防波壁（波返重力擁壁）において、図 6.1.1-1 及び図 6.1.1-2 のとおり改良地盤⑥を設置している。改良地盤⑥については、VI-2-1-3「地盤の支持性能に係る基本方針」において、表 6.1.1-1 のとおり物性値を設定している。

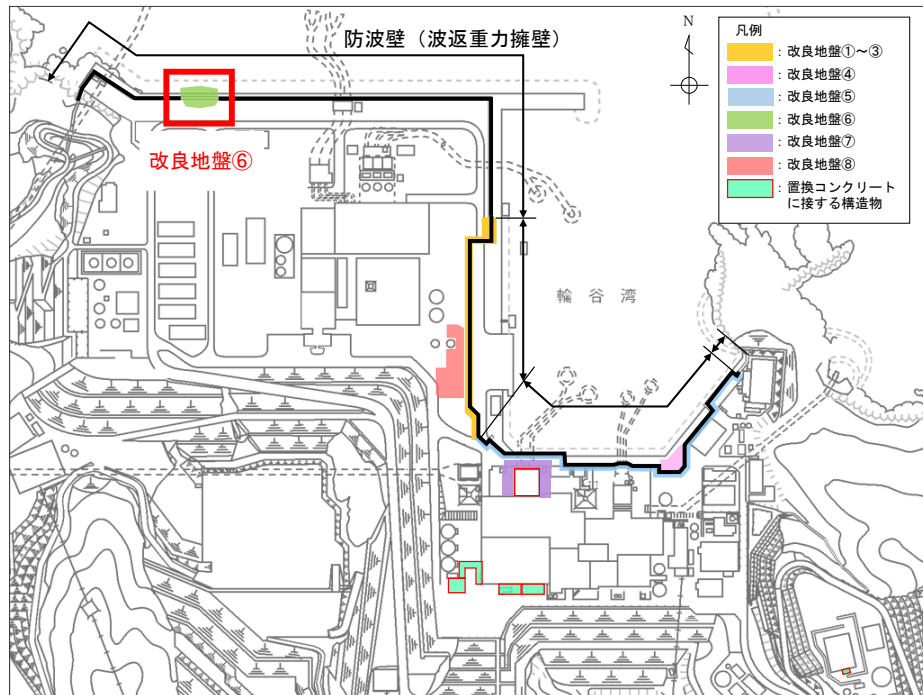


図 6.1.1-1 改良地盤を設置する施設の平面配置図

(単位：m)

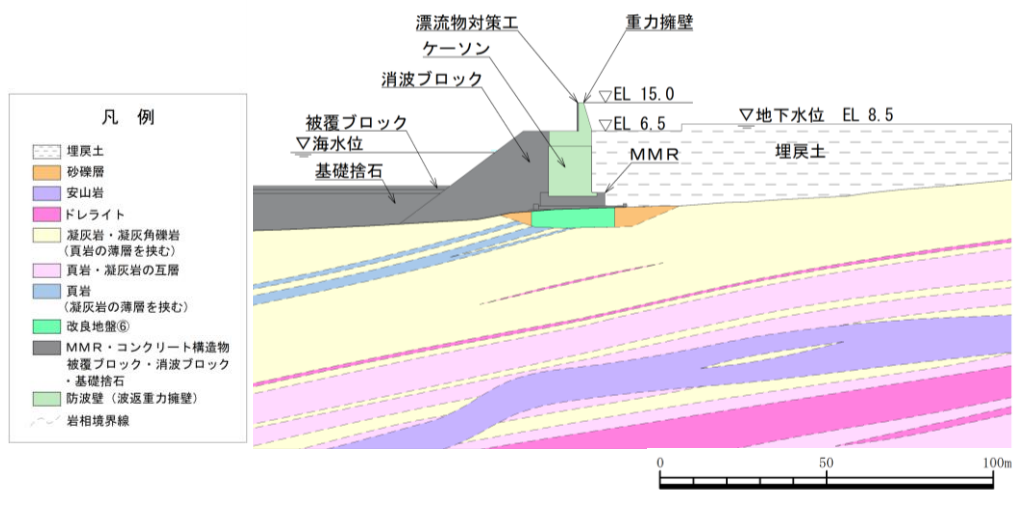


図 6.1.1-2 改良地盤⑥の配置図（②-②断面）

表 6.1.1-1 改良地盤⑥における解析用物性値

		解析用物性値 (改良地盤⑥)
物理特性	密度 ρ (g/cm ³)	2.05
	間隙率 n	0.45
変形特性	動せん断弾性係数 G_{ma} (kN/m ²)	360500
	基準平均有効拘束圧 σ_{ma}' (kN/m ²)	98
	ポアソン比 ν	0.33
	減衰定数の上限値 h_{max}	0.095
強度特性	粘着力 c' (kN/m ²)	1250
	内部摩擦角 ϕ'	0

注：動せん断弾性係数は代表的な数値を示す。

改良地盤⑥の動せん断弾性係数 G_{ma} は、密度 ρ 、S波速度 V_s より、(式1)に基づき算定したせん断弾性係数 G_m 及び港湾技研資料に基づく(式2)のとおり設定した。なお、 G_{ma} 算定に用いる σ_v' は図 6.1.1-3 のとおりとする。

$$G_m = \rho V_s^2 \quad (\text{式1})$$

G_m : せん断弾性係数 (kN/m²)

ρ : 密度 (g/cm³)

V_s : S波速度 (m/s)

$$G_{ma} = G_m \cdot (\sigma_{ma}' / \sigma_m')^{0.5} \quad (\text{式2})$$

G_{ma} : 基準せん断弾性係数 (kN/m²)

σ_{ma}' : 基準平均有効拘束圧 (kN/m²)

σ_m' : 平均有効拘束圧 (kN/m²)

ここで、 $\sigma_m' = (\sigma_v' + \sigma_h') / 2 = (1+K_0) \sigma_v' / 2$, $K_0 = 0.5$

σ_v' : 改良地盤の層中心における有効上載圧 (kN/m²)

(単位：m)

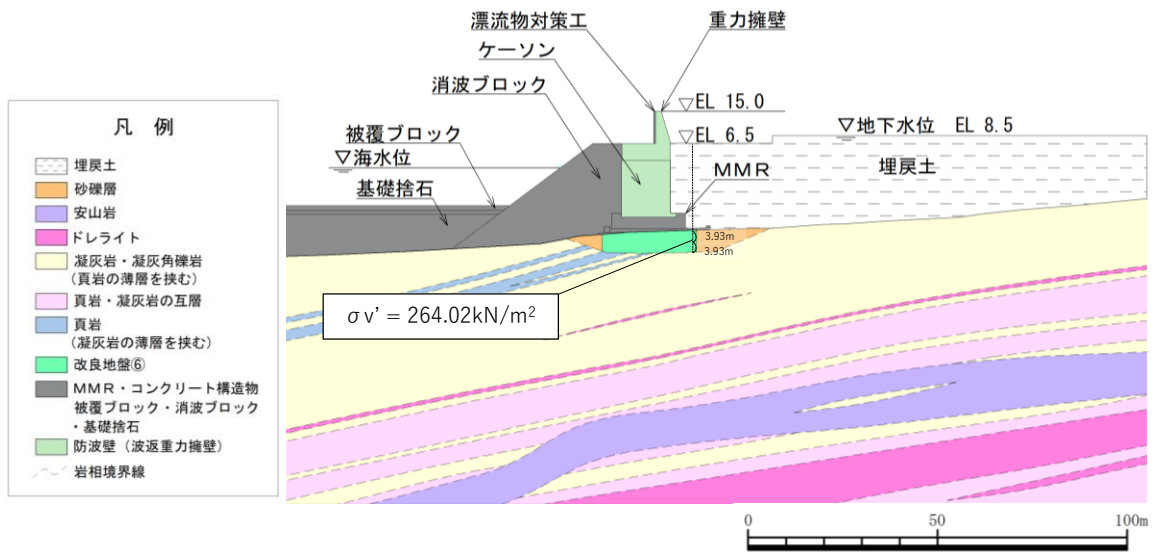


図 6.1.1-3 改良地盤⑥における G_{ma} 算定に用いる σ_v'

改良地盤⑥の原位置試験位置図を図 6.1.1-4 に、P S 検層結果を表 6.1.1-2 に示す。

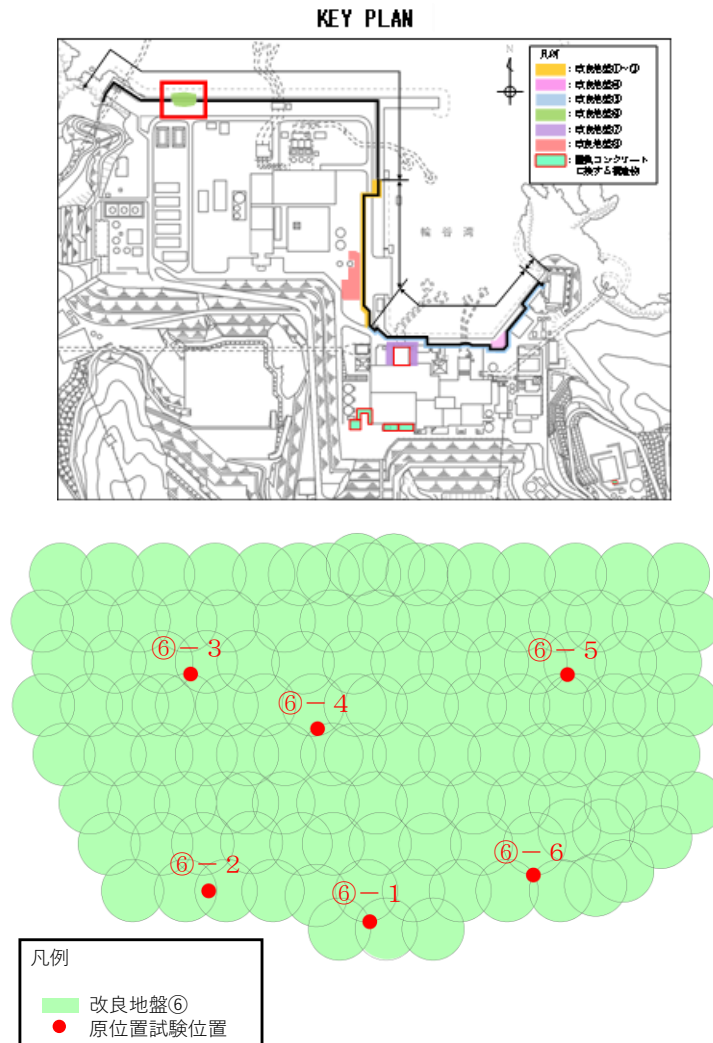


図 6.1.1-4 改良地盤⑥の原位置試験位置図

表 6.1.1-2 P S 検層試験結果

試験実施 位置	P 波速度 (m/s)		S 波速度 (m/s)	
	試験数*	速度値	試験数*	速度値
⑥-1	8.0	1830	8.0	860
⑥-2	1.0	3367	1.0	913
	1.0	3155	1.0	829
	1.0	2933	1.0	633
⑥-3	0.6	3003	0.6	1245
	1.0	3195	1.0	1543
	1.0	3165	1.0	1560
⑥-4	1.0	2941	1.0	810
	1.0	2950	1.0	755
	1.0	2890	1.0	710
	1.0	2976	1.0	814
	1.0	3195	1.0	900
⑥-5	1.0	2833	1.0	853
	1.0	3413	1.0	1222
	0.5	3378	0.5	1086
⑥-6	1.0	2358	1.0	688
	1.0	2320	1.0	600
	1.0	2222	1.0	576
加重平均		2574		895

注記* : P S 検層の測定区間長 1m を一つの試験数とみなす。

P S 検層の結果から、S 波速度の平均は 895m/s であることから、S 波速度から設定される動せん断弾性係数による影響を確認するため、表 6.1.1-3 に示す物性値とした場合の影響検討を実施する。

表 6.1.1-3 解析用物性値と試験値との比較 (動せん断弾性係数)

	解析用物性値	試験値
S 波速度 V_s (m/s)	500	895
動せん断弾性係数 G_{ma} (kN/m ²)	360500	1155218

6.1.2 評価内容

評価対象断面については、改良地盤⑥が分布する断面は②-②断面のみとなるため、②-②断面を選定する。

入力地震動については、防波壁（波返重力擁壁）の応答加速度に影響すると考えられるため、施設の中で加速度の大きい重力擁壁の照査値に着目し、「4. 耐震評価結果」において、重力擁壁の曲げ・軸力系の破壊に対する照査値が最大となる、解析ケース①（基本ケース）の「S_s-D（-+）」を選定する。

②-②断面の地震応答解析モデルを図 6.1.2-1 に、改良地盤⑥による影響検討における解析ケースを表 6.1.2-1 に示す。

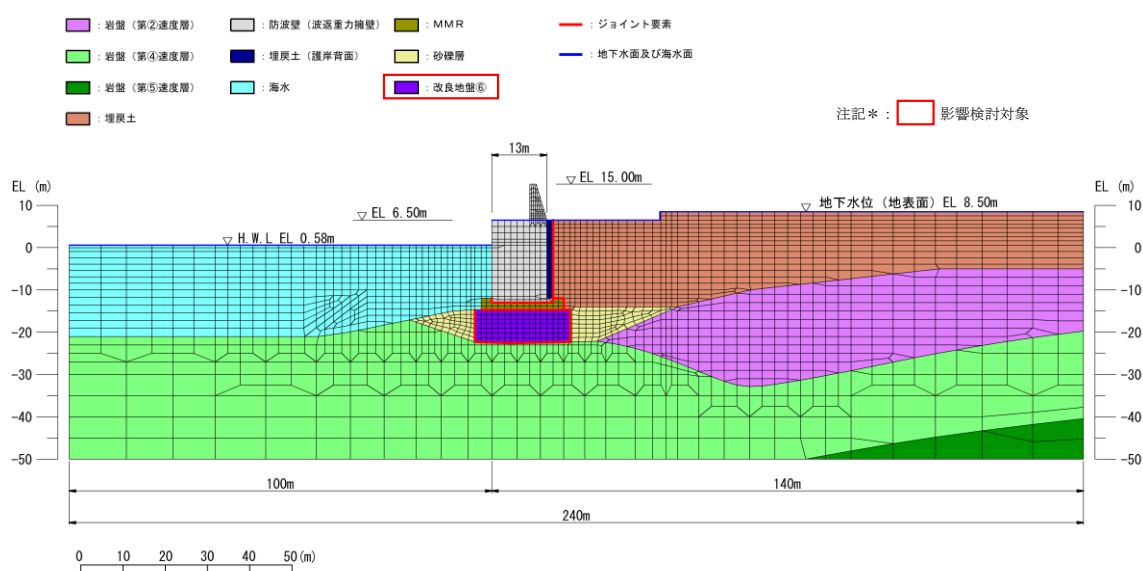


図 6.1.2-1 地震応答解析モデル（②-②断面）

表 6.1.2-1 解析ケース

改良地盤⑥ 動せん断弾性係数 G_{ma} (kN/m ²)	解析ケース	地盤物性	
		埋戻土 (G_0 : 初期せん断 弾性係数)	岩盤 (G_d : 動せん断 弾性係数)
$G_{ma}=360500$ 「4. 耐震評価結果」 にて評価済み	ケース① (基本ケース)	平均値	平均値
$G_{ma}=1155218$		平均値	平均値

6.1.3 評価結果

改良地盤⑥の動せん断弾性係数を試験値から得られたせん断弾性波速度から設定した場合の重力擁壁の評価結果を表 6.1.3-1 に示す。

改良地盤⑥の動せん断弾性係数について、VI-2-1-3「地盤の支持性能に係る基本方針」で設定している物性値を用いた場合と変更した場合における、重力擁壁の曲げ・軸力系及びせん断破壊に対する照査値の比較結果として、動せん断弾性係数が大きいことで、照査値は小さくなることを確認した。

表 6.1.3-1(1) 重力擁壁の曲げ・軸力系の破壊に対する照査における最大照査値
(②-②断面) (S_s-D (-+))

改良地盤⑥ 動せん断弾性係数 G _{ma} (kN/m ²)	解析 ケース	発生断面力		曲げ圧縮 応力度 σ _c (N/mm ²)	短期許容 応力度 σ _{ca} (N/mm ²)	照査値 σ _c /σ _{ca}
		曲げモー メント M (kN・m)	軸力 N (kN)			
G _{ma} =360500 「4. 耐震評価結 果」にて評価済み	①	5491	1367	3.9	13.5	0.29
G _{ma} =1155218	①	4923	1070	3.9	13.5	0.26

表 6.1.3-1(2) 重力擁壁の曲げ・軸力系の破壊に対する照査における最大照査値
(②-②断面) (S_s-D (-+))

改良地盤⑥ 動せん断弾性係数 G _{ma} (kN/m ²)	解析 ケース	発生断面力		曲げ引張 応力度 σ _s (N/mm ²)	短期許容 応力度 σ _{sa} (N/mm ²)	照査値 σ _s /σ _{sa}
		曲げモー メント M (kN・m)	軸力 N (kN)			
G _{ma} =360500 「4. 耐震評価結 果」にて評価済み	①	5491	1367	155.2	294	0.53
G _{ma} =1155218	①	4923	1070	149.4	294	0.51

表 6.1.3-1(3) 重力擁壁のせん断破壊に対する照査における最大照査値 (②-②断面)
(S s - D (-+))

改良地盤⑥ 動せん断弾性係数 $G_{m a}$ (kN/m ²)	解析 ケース	発生断面力	せん断 応力度	短期許容 応力度	照査値 τ_c / τ_{a1}
		せん断力 Q (kN)	τ_c (N/mm ²)	τ_{a1} (N/mm ²)	
$G_{m a}=360500$ 「4. 耐震評価結 果」にて評価済み	①	1038	0.34	0.64	0.54
$G_{m a}=1155218$	①	826	0.27	0.64	0.43